


ČÁST D.2

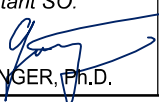

VÝŠKOVÝ SYSTÉM Bpv

SOUŘADNICOVÝ SYSTÉM S-JTSK

Číslo změny:	Obsah změny:	Datum změny:
00	-	-
01	-	-
02	-	-

Objednatel:	 SPRÁVA ŽELEZNIČNÍ DOPRAVNÍ CESTY	Správa železniční dopravní cesty, s.o. Dlážděná 1003/7, 110 00 Praha 1 Stavební správa západ Sokolovská 278/1955, 190 00 Praha 9
-------------	---	---

Generální projektant:	 SUDOP PRAHA	SUDOP PRAHA a.s. Olšanská 1a, 130 00 Praha 3 tel.: +420 267 094 111 fax: +420 224 230 316 e-mail: praha@sudop.cz	Hlavní inženýr projektu: ING. MARTIN VLASÁK Garant profese: ING. MARTIN VLASÁK
-----------------------	--	--	---

Středisko: SUDOP PRAHA a.s., STŘEDISKO - MOSTŮ			
Vedoucí střediska:	Odpovědný projektant SO:	Vypracoval:	Kontroloval:
ING. DANA WANGLER	ING. JAKUB GÖRINGER, Ph.D. 	ING. JAKUB GÖRINGER, Ph.D.	ING. TOMÁŠ MARTINEK 

Název akce: REKONSTRUKCE MOSTU V KM 41,791 TRATI TÁBOR - PÍSEK	Číslo smlouvy: 17 186 209	
	Projektový stupeň: DUSP+PDPS	
Část: INŽENÝRSKÉ OBJEKTY MOSTY, PROPUSTKY A ZDI SO 20-01 ŽELEZNIČNÍ MOST PŘES VD ORLÍK	Datum: 10/2019	
	Číslo části: D.2.1.4	
Název přílohy: STATICKÝ VÝPOČET SPODNÍ STAVBA A NOSNÁ KONSTRUKCE	Měřítko: -	Počet formátů: 244 x A4
	Číslo přílohy: 009.2	

Obsah

1	Identifikační údaje mostu	6
2	Základní údaje o objektu	7
2.1	Založení	8
2.2	Opěry	8
2.3	Pilíře	8
2.4	Nosná konstrukce	8
2.4.1	Oblouk	8
2.4.2	Mostovka	8
2.5	Uložení NK	8
2.6	Materiály	9
2.6.1	Beton	9
2.6.2	Betonářská výztuž	9
2.6.3	Předpínací výztuž	9
3	Úvod	10
3.1	Rozsah a účel statického výpočtu	10
3.2	Metodika výpočtu	10
3.3	Použité programové vybavení	10
4	Statický výpočet	11
4.1	Výpočet zatížení	11
4.1.1	Úvod	11
4.1.2	Skupina zatížení G0 – stálé – vlastní tíha	11
4.1.3	Skupina zatěžovacích stavů G1 – ostatní stálé	12
4.1.4	Skupina zatěžovacích stavů W – zatížení větrem	12
4.1.4.1	Zatížení větrem – oblouk	14
4.1.4.2	Zatížení větrem – pilíře	16
4.1.4.3	Zatížení větrem – mostovka	19
4.1.4.4	Zatížení větrem – ostatní směry zatížení	21
4.1.4.5	Zatížení větrem – ztráta aeroelastické stability	21
4.1.5	Skupina zatěžovacích stavů W – zatížení větrem – dynamická odezva	22
4.1.5.1	Ověření součinitele konstrukce $c_s c_d$	22
4.1.5.2	Metoda A – výpočet turbulentní pomoci iFFT	22
4.1.5.3	Metoda B – výpočet turbulentní pomoci dle metodika (Nichita et al., 2002)	23
4.1.5.4	Metoda C – výpočet turbulentní pomoci směrodatné odchylky rychlosti větru	24
4.1.5.5	Porovnání jednotlivých metod	24
4.1.5.6	Výpočet hodnoty dynamického zatížení větrem	25
4.1.5.7	Dynamická odezva při výstavbě	26
4.1.6	Skupina zatěžovacích stavů T – zatížení teplotou	26
4.1.7	Skupina zatěžovacích stavů MVL – svislá dopravní zatížení	27
4.1.8	Skupina zatěžovacích stavů R – Zatížení bočním rázem	28
4.1.9	Skupina zatěžovacích stavů B – Zatížení rozjezdovými a brzdovými silami	28
4.1.10	Skupina zat. stavů K – zatížení teplotním rozdílem mezi kolejí a NK	28
4.1.11	Skupina zat. stavů S – účinky nerovnoměrného sedání opěr	28
4.1.12	Rozsah dopravy pro posouzení na únavu	29
4.1.13	Skupina zatěžovacích stavů EQ – Zatížení zemětřesením – mimořádné	29
4.1.14	Zatížení v rámci fází výstavby	29
4.1.14.1	Betonážní vozík	29
4.1.14.2	Skrůž mostovky	29
4.2	Model konstrukce	30

4.2.1	Popis modelu.....	30
4.2.2	Podélná tuhost konstrukce.....	34
4.2.3	Geometrické imperfekce v modelu.....	34
4.2.4	Fáze výstavby uvažované modelem.....	35
4.2.4.1	Grafické řešení fází výstavby.....	38
5	Mostovka	49
5.1	Posouzení nosné konstrukce v podélném směru	49
5.1.1	Schéma vedení kabelů.....	49
5.1.2	Vnitřní síly.....	50
5.1.3	Mezní stav použitelnosti – omezení napětí.....	53
5.1.3.1	Časový vývoj materiálových vlastností betonu	53
5.1.3.2	Ověření stanovených požadavků na omezení napětí – lineární dotvarování.....	54
5.1.3.3	Ověření stanovených požadavků na omezení napětí – uvedení do provozu.....	56
5.1.4	Mezní stav únosnosti	59
5.1.4.1	Typová vyztužení	59
5.1.4.2	1. pole (1. takt) – rozpětí 20,0 m	60
5.1.4.3	4. pole (4. takt) – rozpětí 23,5 m	61
5.1.4.4	6. pole (6. takt) – rozpětí ~24,0 m	63
5.1.4.5	7. pole (7. takt) – středový krček.....	65
5.2	Posouzení nosné konstrukce v příčném směru	67
5.2.1	Konzola	79
5.3	Posudky detailů nosné konstrukce.....	82
5.3.1	Kotevní oblasti předpětí	82
5.3.2	Oblast pod ložisky	85
5.4	Posouzení na únavu.....	87
5.4.1	Posouzení tláčeného betonu na únavu.....	87
5.4.2	Posouzení únavy betonářské a předpínací výztuže	90
5.5	Návrh uložení mostu	93
5.5.1	Reakce na ložiska	93
5.5.2	Posuny na ložiskách	93
5.5.3	Souhrnná tabulka ložisek	94
5.5.4	Návrh vrubových kloubů.....	95
5.6	Návrh dilatačních závěrů	103
6	Oblouk	104
6.1.1	Vnitřní síly.....	104
6.1.2	Mezní stav použitelnosti.....	106
6.1.3	Posouzení hlavních napětí.....	109
6.1.4	Mezní stav únosnosti	110
6.1.4.1	Únosnost M+N+V+T	110
6.1.5	Posouzení konzoly oblouku při výstavbě (dynamické zatížení větrem)	129
6.2	Posudky detailů oblouku.....	131
6.2.1	Kotevní oblasti závěsů	131
6.2.2	Spojovací krček oblouk – mostovka.....	134
6.2.3	Ztužující diafragmata pod stojkami oblouku / v místě krčku	135
6.2.3.1	Diafragma pod stojkou P4 / P8 a P5 / P7	136
6.2.4	Lokální posouzení průřezu komory pod krčkem	139
6.3	Posouzení na únavu.....	142
6.3.1	Posouzení tláčeného betonu na únavu.....	142
6.3.2	Posouzení únavy betonářské výztuže	142
6.4	Nadvýšení konstrukce a vliv reologie	143
6.5	Vývoj hydratačního tepla v rámci betonáže lamel	144
6.6	Závěsy v rámci výstavby	148

7	Spodní stavba	150
7.1	Opěry	150
7.1.1	Základy	150
7.1.1.1	Základ opěry OP1 – vnitřní síly	150
7.1.1.2	Základ opěry OP2 – vnitřní síly	151
7.1.1.3	Základ opěry OP1 – posouzení	152
7.1.1.4	Základ opěry OP2 – posouzení	156
7.1.2	Dřík opěr	160
7.1.3	Závěrná zídka	168
7.1.4	Křídla	174
7.1.4.1	Posouzení průřezů křídel OP1	175
7.1.4.2	Posouzení průřezů křídel OP2	178
7.1.5	Oblast pod ložisky	183
7.2	Pilíře	185
7.2.1	Vnitřní síly	185
7.2.1.1	Pilíř P1	185
7.2.1.2	Pilíře P2, P11	187
7.2.1.3	Pilíř P10	188
7.2.1.4	Pilíře P3, P9	190
7.2.1.5	Stojky P4, P8	191
7.2.2	Ověření účinků 2. řádu	193
7.2.3	Návrh výztuže – pilíř P1, P2, P10 a P11	198
7.2.4	Návrh výztuže – pilíř P3 a P9	199
7.2.5	Návrh výztuže – obloukové stojky P4 a P8	200
7.2.6	Návrh výztuže – obloukové stojky P5 a P7	201
7.2.7	Základ pilířů	203
7.2.8	Oblast pod ložisky	206
7.3	Základ oblouku	207
8	Založení	211
8.1	Opěra OP1	211
8.2	Opěra OP2	215
8.3	Pilíře – samostatně stojící	218
8.3.1	Pilíř P1	218
8.3.2	Pilíř P2	221
8.3.3	Pilíř P10	223
8.3.4	Pilíř P10	225
8.4	Pilíře – základ oblouku P3	227
8.5	Pilíře – základ oblouku P9	231
9	Mezní stavy z pohledu bezpečnosti železniční dopravy	236
9.1	Zkroucení nosné konstrukce	236
9.2	Svislá přetvoření nosné konstrukce	236
9.3	Svislá přetvoření nosné konstrukce	236
9.4	Mezní hodnoty pro deformaci konstrukce	236
9.5	Průhyb při ověření pohody cestujících	237
10	Předběžné ověření zatížení pro ZZ	238
11	Závěr	240
12	Předpisy, normy, použité podklady	241
12.1	Normy	241
12.2	Použitá literatura	241
12.3	Použitý software	242

13 Přehled zatížitelnosti částí mostu.....243

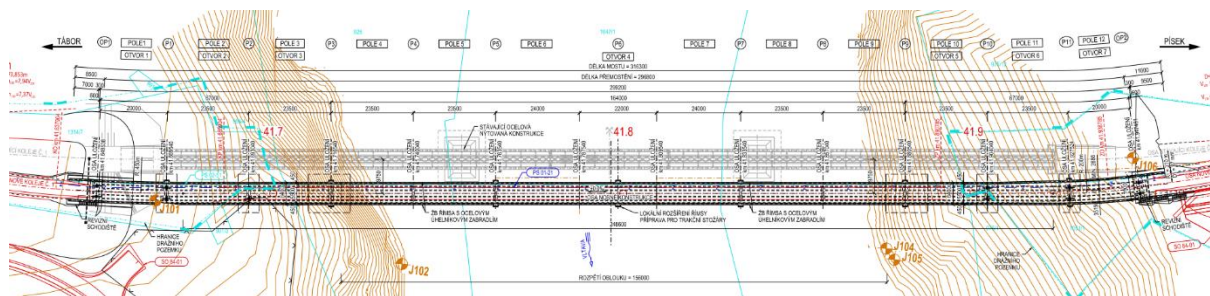
1 Identifikační údaje mostu

Název stavby	Rekonstrukce mostu v km 41,791 trati Tábor - Písek
Objekt č.	SO 20-01 Železniční most přes VD Orlík
<i>Katastrální území</i>	Oslov
<i>Kraj</i>	Jihočeský
<i>Objednatel stavby</i>	Správa železniční dopravní cesty, státní organizace Dlážděná 1003/7, 110 00 Praha 1 - Nové Město IČ: 709 94 234
<i>Projektant</i>	SUDOP PRAHA, a.s.; Olšanská 1a; 130 80 Praha 3 IČ 257 933 49
<i>Zpracovatelský útvar</i>	SUDOP PRAHA, a.s.; středisko 209 – mostů
<i>Hlavní inženýr projektu</i>	Ing. Martin Vlasák, tel: 267 094 462, martin.vlasak@sudop.cz
<i>Odpovědný projektant objektu</i>	Ing. Jakub Göringer, Ph.D., tel: 267 094 128, jakub.goringer@sudop.cz
<i>Stupeň dokumentace</i>	DUSP
<i>Druh přemost'ované překážky</i>	vodní dílo Orlík

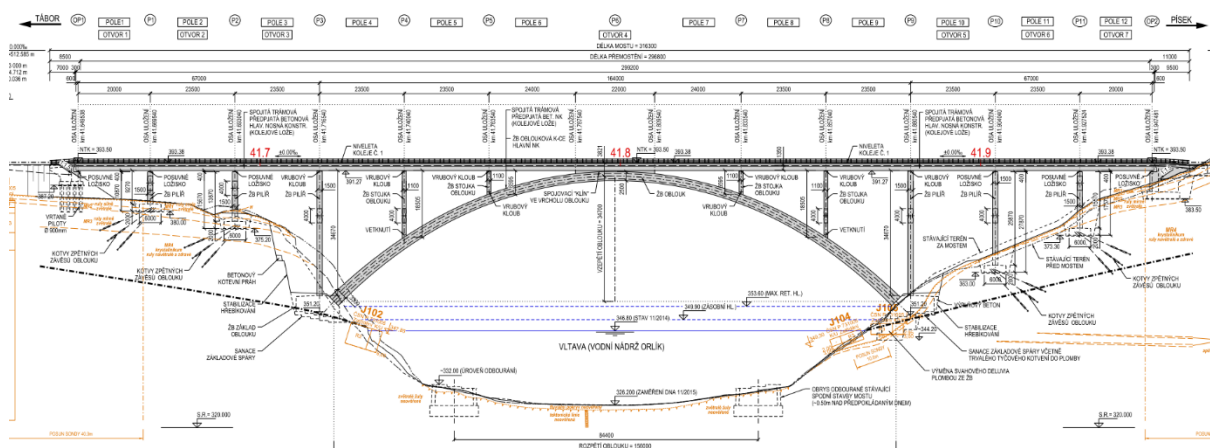
2 Základní údaje o objektu

Jedná se o trvalý mostní objekt, který je tvořen komorovým železobetonovým obloukem o rozpětí 156,0 m a vzezření 34,7 m. Mostovka je tvořena předpjatým dvourámem o 13 polích s rozpětími 20,0 + 4 x 23,5 + 24,0 + 22,0 + 24,0 + 4 x 23,5 + 20,0 m. Střední pole, které se nachází nad vrcholem oblouku je po celé délce spojeno s konstrukcí oblouku a je navrženo železobetonové. Výška dvourámové konstrukce je navržena 1,35 m. Uložení nosné konstrukce je v běhových částech realizováno přes kalotová ložiska, v případě pilířů, které jsou součástí obloukové konstrukce je využito vrubových kloubů. Pilíře přímo na oblouku jsou pak řešeny jako kyvné stojky, v případě vysokých stojek vetknutých do konstrukce oblouku. Založení mostu je navrženo plošné na skalním podkladu, vyjma opěry OP1, která je s ohledem na její umístění v násypu založena na velkopřůměrových pilotách.

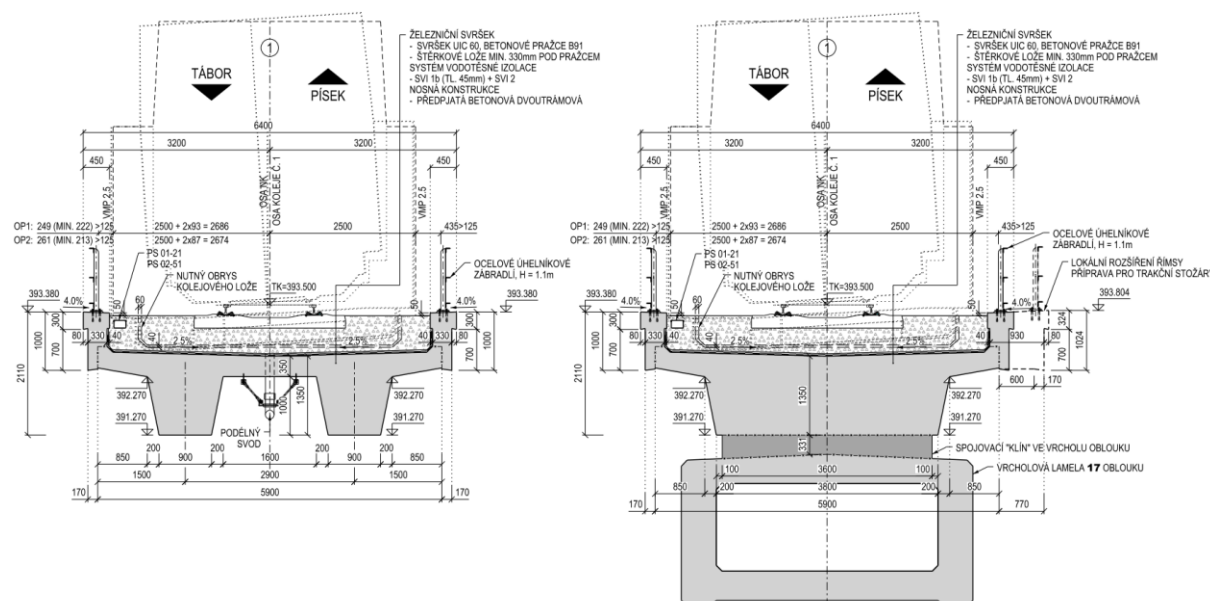
Obrázek 2-1: Nový stav – půdorys



Obrázek 2-2: Nový stav – podélný řez NK



Obrázek 2-3: Nový stav – příčný řez NK



2.1 Založení

Všechny podpěry, mimo opěry OP1, jsou založeny plošně na základové spáře vyrubané do skalního masivu. Opěra OP1 je založena v násypu a její založení je tedy navrženo hlubinné na vrtaných pilotách vetknutých do žulového masivu.

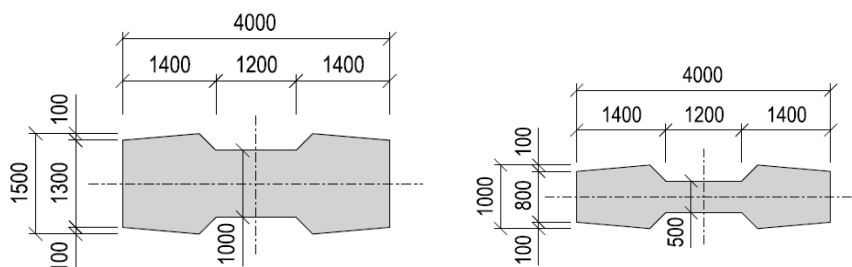
2.2 Opěry

Opěra OP1 je tvořena základovou deskou nasazenou na pilotách, masivním dříkem s úložnými prahy, závěrnou zídou s rovnoběžnými křídly.

Opěra OP2 je tvořena základovou deskou založenou plošně, masivním dříkem s úložnými prahy, závěrnou zídou s rovnoběžnými křídly.

2.3 Pilíře

Pilíře jsou tvořeny základovou deskou na podkladním betonu. Základové desky jsou navrženy tl. 2000 mm. Dříky pilířů jsou ve tvaru činky s šířkou 4,0 m a délkou dle jejich pozice. Břehové pilíře jsou navrženy masivnějšího průřezu s maximální tloušťkou 1,5 m, kyvné stojky na oblouku jsou navrženy subtilní s maximální tl. 1,0 m.



2.4 Nosná konstrukce

2.4.1 Oblouk

Oblouk je navržen jako komorová, železobetonová konstrukce s proměnnou výškou. Ve vetknutí oblouku do základu je výška komory navržena 3,3 m, ve vrcholu je navržena 2,5 m. S ohledem na zjednodušení provádění je navržena konstantní vnitřní světlá výška 1,5 m. Stěny jsou konstantní tloušťky 600 mm. Rozpětí oblouku je navrženo 156,0 m při vzepětí 34,7 m.

2.4.2 Mostovka

Konstrukce mostovky je navržena jako předpjatý dvoutřás o 13 polích s rozpětím 20,0 + 4 x 23,5 + 24,0 + 22,0 + 24,0 + 4 x 23,5 + 20,0 m. Střední pole, které je nad vrcholem oblouku a je v celé délce podpíráno je navrženo jako železobetonové. Výška trámu je navržena 1,35 m. Šířka nosné konstrukce činí 5,9 m s vyložení konzol 0,85 m. Mostovka má tloušťku od 350 mm do 370 mm ve vetknutí do trámů, u konzol pak od 300 mm do 400 mm. Mostovka je vyjma části středního pole spádována do středu při sklonu 2,5%. V místě středového pole je odvodnění řešeno proměnným sklonem (psaníčkem) s příčným sklonem 0% nad vrcholem oblouku. V mostovce jsou umístěny odvodňovače, které svádí vodu z mostu do systému odvodnění.

2.5 Uložení NK

Nosná konstrukce je na břehových pilířích a na opěrách uložena vždy na dvojici kalotových ložisek. S pilíři na oblouku, včetně břehového pilíře oblouku je spojena pomocí vrubových kloubů (elektroizolační provedení).

2.6 Materiály

V následujícím souhrnu jsou uvedeny pouze materiály, které vstupují do jednotlivých posouzení. Doprovodné materiály (beton říms apod.) jsou vynechány.

2.6.1 Beton

Tabulka 2-1: Použité betony

Konstrukční část stavby	Min. třída betonu	Stupeň vlivu prostředí
Základy opěr	C25/30	XA2
Základy pilířů	C30/37	XA2
Základy oblouku	C30/37	XA2
Dříky opěr, křídla, ZZ	C30/37	XC4, XF3
Dříky pilířů	C35/45	XC4, XF3
Nosná konstrukce – oblouk	C45/55	XC4, XF3
Nosná konstrukce – trám	C35/45	XC4, XF3

2.6.2 Betonářská výztuž

Výztuž je navržena prutová z žebírkové oceli B 500B.

2.6.3 Předpínací výztuž

Podélné předpětí je navrženo z 15-ti lanových kabelů Y1860S7 - 15,7 - A s následujícími parametry:

modul pružnosti 195 GPa (lineární pracovní diagram), koeficient tření v oblouku $\mu = 0,13 \text{ rad}^{-1}$, úhel nepředvídaného zakřivení $0,0075 \text{ rad/m}$, pokluz v kotvě 6 mm, kotevní napětí $\sigma_{p,in} = 1425 \text{ MPa}$ podržení napětí $t=300 \text{ s}$ a následné zakotvení při napínacím napětí.

3 Úvod

3.1 Rozsah a účel statického výpočtu

Tento statický výpočet je nedílnou součástí projektové dokumentace SO 20-01. Statický výpočet je nutno považovat za závazný pro provádění mostního objektu.

Statický výpočet byl zpracován bez znalosti konkrétního zhotovitele SO 20-01. Případné změny, které by vyplynuly z realizační dokumentace zhotovitele, musí být odsouhlaseny odpovědným projektantem objektu a schváleny objednatelem.

Cílem statického výpočtu je posouzení prvků **nosného systému mostu** a jeho detailů v rozsahu dokumentace Projekt stavby.

3.2 Metodika výpočtu

Statický výpočet byl proveden s ohledem na platný soubor norem ČSN a ČSN EN:

- dle metodiky mezních stavů

Ve statickém výpočtu jsou posouzeny tyto mezní stavy:

- mezní stavy únosnosti
 - únosnost průřezů na kombinaci namáhání M+N+V (nosná konstrukce a spodní stavba)
 - únosnost průřezu v příčném směru (nosná konstrukce)
 - únosnost při únavovém zatížení (nosná konstrukce)
 - posouzení podkotevních oblastí
 - posouzení podložiskových oblastí
 - únosnost pilot
- mezní stavy použitelnosti
 - omezení napětí od charakteristického zatížení
 - ověření šířky trhliny pro časté zatížení
 - ověření dekomprese pro kvazistálé zatížení
 - sedání základů
 - ZKROUCENÍ ATD. DLE MIKULÁŠSKÁ /REZONANCE

3.3 Použité programové vybavení

Pro globální analýzu nosné konstrukce včetně spojení s pilíři vrubovými klouby byl využit 3D prutový model v MKP software MIDAS Civil 2019 (v1.1). Pro analýzu detailů – podkotevních oblastí, byl využit MKP SW SCIA Enginner 2008 (v8.1.238). Pro posouzení jednotlivých průřezů byly využity produkty IDEA StatiCa a posudky v tabulkovém procesoru MS Excel. Posouzení založení bylo provedeno v modulech programu GEO5 (Patky, Piloty).

4 Statický výpočet

4.1 Výpočet zatížení

4.1.1 Úvod

Most je navržen na zatížení dopravou dle evropské normy ČSN EN 1991-2 „Zatížení konstrukcí, Část 2: Zatížení dopravou“.

Uvažovaná zatěžovací schémata vycházejí ze zatřídění do 3. třídy trati dle kategorizace tratí z hlediska mostů, pro předpjatou nosnou konstrukci je zohledněn požadavek investora na zvýšení klasifikačního součinitele α na hodnotu 1,21:

Oblouk a spodní stavba:

zatěžovací schéma **71** (dle ČSN EN 1991-2) klasifikované součinitelem $\alpha=1,1$ (dle NA k ČSN EN 1991-2), které reprezentuje statický účinek běžné železniční dopravy;

zatěžovací schéma **SW/0** (dle ČSN EN 1991-2) klasifikované součinitelem $\alpha=1,1$ (dle NA k ČSN EN 1991-2), které reprezentuje statický účinek normální železniční dopravy na spojitých mostech;

Nosná konstrukce – trám:

zatěžovací schéma **71** (dle ČSN EN 1991-2) klasifikované součinitelem $\alpha=1,21$ (dle NA k ČSN EN 1991-2), které reprezentuje statický účinek běžné železniční dopravy;

zatěžovací schéma **SW/0** (dle ČSN EN 1991-2) klasifikované součinitelem $\alpha=1,21$ (dle NA k ČSN EN 1991-2), které reprezentuje statický účinek normální železniční dopravy na spojitých mostech;

Dynamické účinky pohyblivého zatížení jsou uvažovány dle ČSN EN 1991-2 čl. 6.4.5 pro standardně udržovanou kolej (tj. dynamický součinitel δ_3). Parciální součinitele zatížení jsou uvažovány dle téže normy. Roznos zatížení šterkovým ložem je uvažován ve sklonu 4:1 dle ČSN EN 1991-2 čl. 6.3.6.3.

Obecná zatížení (tíha materiálů aj.) bylo uvažováno dle ČSN EN 1991-1-1.

Zatížení větrem bylo uvažováno dle ČSN EN 1991-1-4.

Zatížení teplotou bylo uvažováno dle ČSN EN 1991-1-5.

Kombinace zatížení byly použity dle ČSN EN 1990 ed. 2./A2 včetně sestav zatížení.

4.1.2 Skupina zatížení G0 – stálé – vlastní tíha

Zatížení vlastní tíhou je automaticky generováno použitým programem MIDAS Civil. Pro dílčí ověření geometrické správnosti zadaného modelu je zde provedena kontrola generovaného zatížení.

Kontrola generovaného stavu									
Označ.	Popis	b	h	n	A	y	q	L	Celkem - R _z
		[m]	[m]	[ks]	[m ²]	[kN/m ³]	[kN/m]	[m]	[kN]
G0	Deska NK	-	-	1.00	4.40	26.00	114.28	299.20	34191.92
G0	Pilíře 1500	-	-	1.00	5.05	25.00	126.13	132.72	16739.31
G0	Pilíře 1000	-	-	1.00	3.01	25.00	75.13	50.30	3778.79
G0	Spojení 1/2L	0.75	-	2.00	12.90	25.00	-	-	483.75
G0	Oblouk	-	-	-	-	-	-	-	34204.00
Celkem NK									89397.77
Celkem MIDAS									88620.00
Poměr									0.99 OK

4.1.3 Skupina zatěžovacích stavů G1 – ostatní stálé

Uvažovaná zatížení jsou zadávána jejich náhradami (plošnými, liniovými, bodovými), tak aby jejich působení odpovídalo co nejvíce skutečnosti.

V rámci vozovkového souvrství byla zadávána střední hodnota zatížení odpovídající skladbě vozovky. Následně v kombinacích byla zohledněna odchylka $\pm 20\%$ pro zatížení vozovkovým souvrstvím v souladu s čl. 5.2.3 (3) ČSN EN 1991-1-1.

Plošná zatížení				
Označ.	Popis	tl.	γ	q
		[m]	[kN/m ³]	[kN/m ²]
G1	Štěrkové lože	0.56	23.00	12.98
G1	Ochrana izolace 40 mm	0.04	24.00	0.96
G1	Izolace 5 mm	0.01	24.00	0.12

Liniová a bodová zatížení										
Označ.	Popis	\bar{s}	A	γ	Q	q	Q_{m2}	q_{m2}	r	M
		[m]	[m ²]	[kN/m ³]	[kN]	[kN/m]	[kN/m ²]	[kN/m ²]	[m]	[kNm/m]
G1	Římsa levá	-	0.30	25.00	-	7.50	-	-	3.00	22.50
G1	Římsa pravá	-	0.30	25.00	-	7.50	-	-	-3.00	-22.50
G1	Zábradlí levé	-	-	-	-	1.00	-	-	2.98	2.98
G1	Zábradlí pravé	-	-	-	-	1.00	-	-	-2.98	-2.98

4.1.4 Skupina zatěžovacích stavů W – zatížení větrem

S ohledem na rozsah a typ konstrukce je zatížení větrem jedním ze zásadních účinků, které se na konstrukci vyskytují. V rámci posouzení byly řešeny dva přístupy:

- využití ekvivalentního statického zatížení dle ČSN EN 1991-1-4 ed.2, které zohledňuje dynamický účinek větru pomocí zahrnutí turbulencí do maximálního dynamického tlaku (kapitoly 4.1.4.1 – 4.1.4.4),
- využití výpočtu dynamické odezvy na zatížení větrem (kapitola 4.1.5) za pomoci metody
 - A) generovaného účinku větru za využití výkonové spektrální hustoty v souladu s přílohou B v ČSN EN 1991-1-4 (použití modifikovaného Kaimalova spektra, kde $L_{1u} = 1,7L(z)$) – převod z frekvenční domény spektra do časové domény zatížení pomocí inverzní FFT (Rychlá Fourierova transformace);
 - B) generovaného účinku větru za využití výkonové spektrální hustoty v souladu s přílohou B v ČSN EN 1991-1-4 (použití modifikovaného Kaimalova spektra, kde $L_{1u} = 1,7L(z)$) – převod do časové domény využitím poznatku z *Large Band Simulation of the Wind Speed for Real-Time Wind Turbine Simulators* (Nichita et al., 2002);
 - C) náhodně generovaného účinku větru za využití směrodatné odchylky turbulentní složky větru v souladu s kap. 4.4 v ČSN EN 1991-1-4.

Pro řešení odezvy konstrukce na zatížení větrem byly získány doplňující informace vypočtené v aplikaci WAsP Engineering. Jako vstup do modelu byly využity rastry s rozlišením 5 m o velikosti 2x2 km popisující orografii a drsnost povrchu. Přiřazení kategorie drsnosti bylo stanoveno na základě mapové vrstvy CORINE Land Cover. Dalším vstupem byla rychlost větru s dobou návratu 50 let pro 8 směrů získaná statistickým zpracováním průměrných desetiminutových rychlostí větru z profesionální meteorologické stanice Temelín. Data byla poskytnuta ČHMÚ, pobočka Plzeň. Kompletní výstup viz příloha 1.

Rychlosti společně s horizontálními turbulencemi byly vypočteny pro dvě výšky nad terénem – 22,5 m (cca ½ výšky oblouku) a 45,0 m (úroveň mostovky). Vzhledem k orientaci mostního objektu ve směru cca západ – východ byly využity a porovnány výsledné hodnoty pro vítr ze směru J, JV a SZ. Největší účinky větru byly určeny pro severozápadní vítr.

Modelové výpočty požadovaných veličin v lokalitě Červená nad Vltavou		
49°22'53.4"N, 14°15'09.2"E, 349 m n. m., výška 22.5 m, drsnost 0 m		
Směr větru	v_{50} [m/s]	IHT [%]
S	15.2	22.5
SV	7.0	52.4
V	8.1	58.0
JV	19.1	27.6
J	23.7	16.4
JZ	14.3	53.8
Z	12.0	75.0
SZ	21.8	25.2

49°22'53.4"N, 14°15'09.2"E, 349 m n. m., výška 45 m, drsnost 0 m		
Směr větru	v_{50} [m/s]	IHT [%]
S	16.7	21.9
SV	9.0	39.3
V	10.9	42.4
JV	21.5	22.8
J	25.2	18.3
JZ	18.9	36.6
Z	17.1	49.9
SZ	24.2	24.5

Vysvětlivky: v_{50}50letá rychlost větru

IHT.....Intenzita horizontální turbulence

Vypočtené účinky větru pro zadání na konstrukci zohlednily v souladu s normativním výpočtem součinitele sil pro jednotlivé konstrukční části (případně prvky – např. proměnnost součinitele po průřezu oblouku s proměnnou výškou průřezu). Systém výpočtu maximálního dynamického tlaku na konstrukci pro obě výšky viz níže.

Charakteristiky zatížení větrem - ČHMÚ - 22.5 m

výchozí rychlost větru $v_{b,0}$ = 25.00 m/s posuzovaná výška z = 22.50 m
kategorie terénu kat I m/s z_0 = 0.01 m z_{min} = 1.00 m

základní rychlost větru v_b = 21.80 m/s

součinitel směru větru c_{dir} = 1.00 -

součinitel ročního období c_{season} = 1.00 -

střední rychlost větru $v_m(z)$ = 21.80 m/s

součinitel drsnosti terénu $c_r(z)$ = 1.00 -

součinitel terénu k_r = 0.17 -

turbulence větru $I_v(z)$ = 0.25 -

souč. turbulence k_l = 1.00 -

souč. orografie c_0 = 1.00 -

maximální dynamický tlak $q_p(z)$ = 820.98 Pa

souč. expozice c_e = 2.76 -

Charakteristiky zatížení větrem - ČHMÚ - 45.0 m

výchozí rychlost větru	$v_{b,0} =$	25.00	m/s	posuzovaná výška	$z =$	45.00	m
kategorie terénu	kat	I	m/s	$z_0 =$	0.01	m	$z_{min} =$ 1.00 m

základní rychlost větru $v_b =$ 24.20 m/s

součinitel směru větru $C_{dir} =$ 1.00 -

součinitel ročního období $C_{season} =$ 1.00 -

střední rychlost větru $v_m(z) =$ 24.20 m/s

součinitel drsnosti terénu $c_r(z) =$ 1.00 -

součinitel terénu $k_r =$ 0.17 -

turbulence větru $I_v(z) =$ 0.25 -

souč. turbulence $k_l =$ 1.00 -

souč. orografie $C_0 =$ 1.00 -

maximální dynamický tlak $q_p(z) =$ 993.76 Pa

souč. expozice $C_e =$ 2.72 -

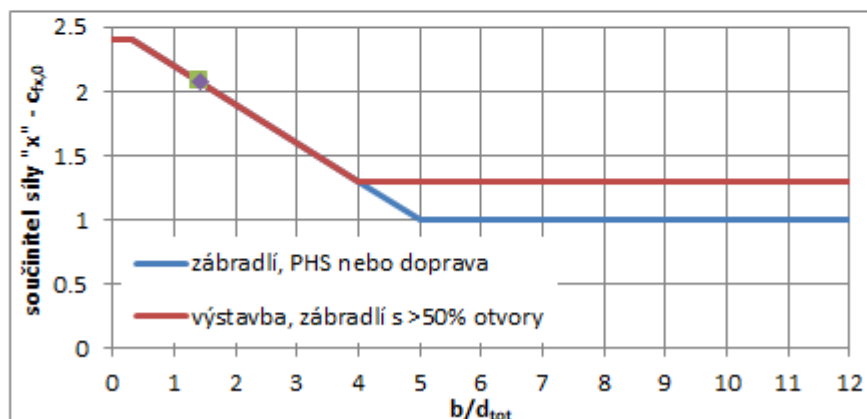
4.1.4.1 Zatížení větrem – oblouk

Účinky větru na oblouk byly řešeny s ohledem na rozměry jednotlivých lamel. Takto bylo určeno zatížení větrem v závislosti na geometrii průřezu. Vzhledem k datům pro dvě výšky a s ohledem na skutečnost, že hodnota zatížení větrem stoupá s výškou nad terénem bylo pro určení konkrétního zatížení na jednotlivé lamely uvažováno s tlakem pro 22,5 m do cca 4. lamely a následně pro ostatní lamely bylo uvažováno s tlakem pro 45,0 m.

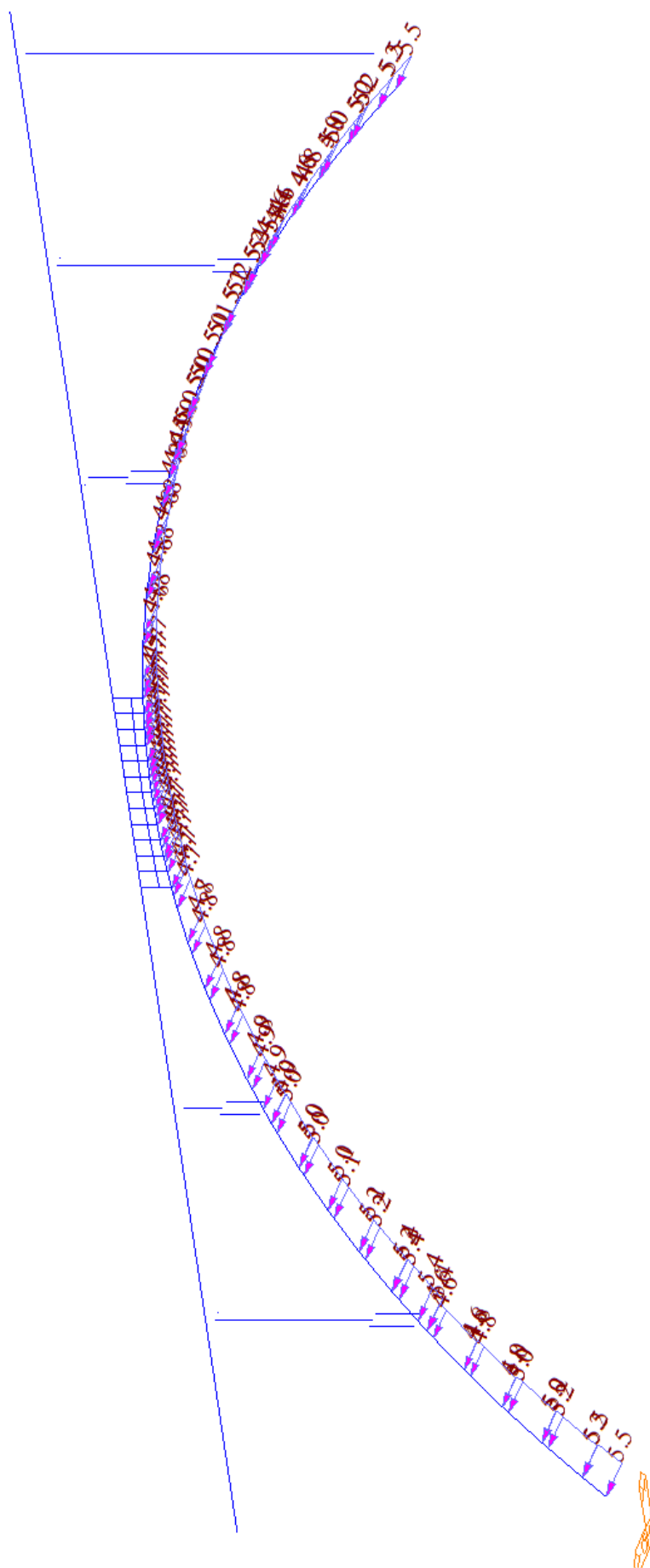
Síly větru podle směrů na NK

Ve směru X

výška konstrukce	$d_{tot} =$	3.30	m	$NK = 2.5 - 3.3$ m	
šířka konstrukce	$b =$	4.70	m	vyber	
souč. síly pro mosty - x	$C_{fx,0} =$	2.07	-	zábradlí, PHS nebo doprava	
souč. síly pro mosty - x	$C_{fx,0} =$	2.07	-	A výstavba, zábradlí s >50% otvory	
souč. zatížení větrem - x	$C =$	5.73	-		
tlak větru ve směru - x	$q_{px} =$	1701.66	Pa		



Obrázek 4-1: Zatížení větrem – oblouk

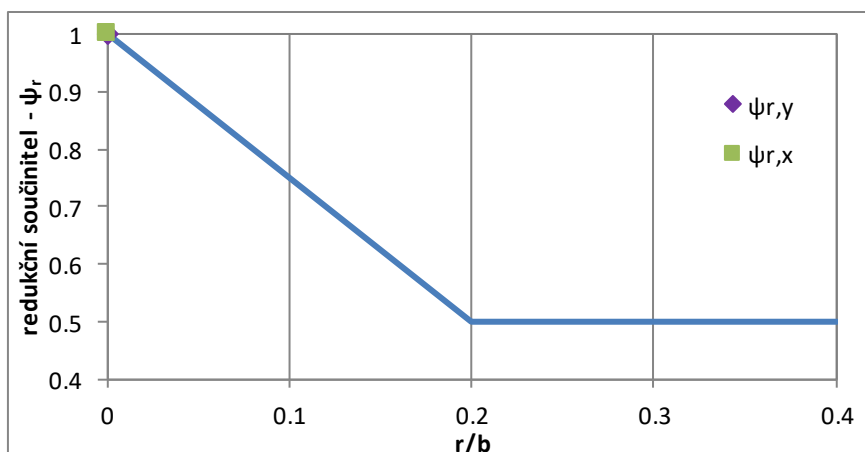
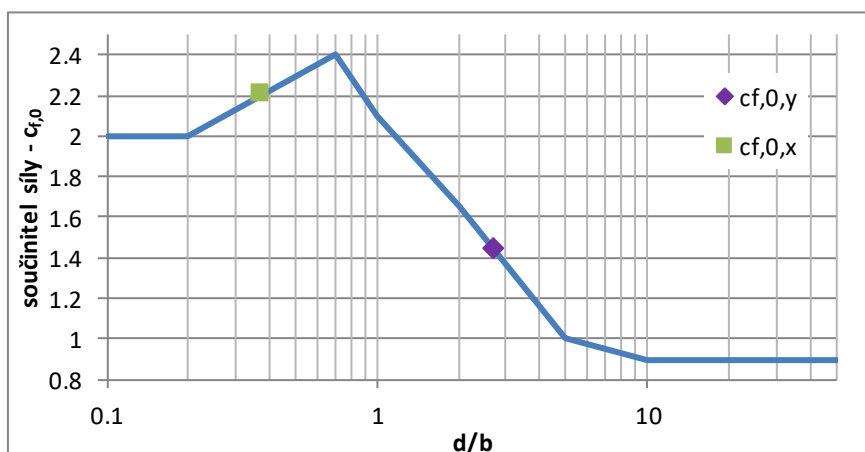


4.1.4.2 Zatížení větrem - pilíře

V rámci pilířů bylo zanedbána rozdílná drsnost terénu mimo vodní hladinu (v souladu s *postupem 1 i 2* v příloze A.2 ČSN EN 1991-1-4 ed.2) a bylo zjednodušeně, na straně bezpečné, uvažováno se stejným maximálním dynamickým tlakem jako pro výšku 45,0 m. Na základě tohoto tlaku bylo určeno zatížení větrem a aplikováno konzervativně na celou výšku pilířů.

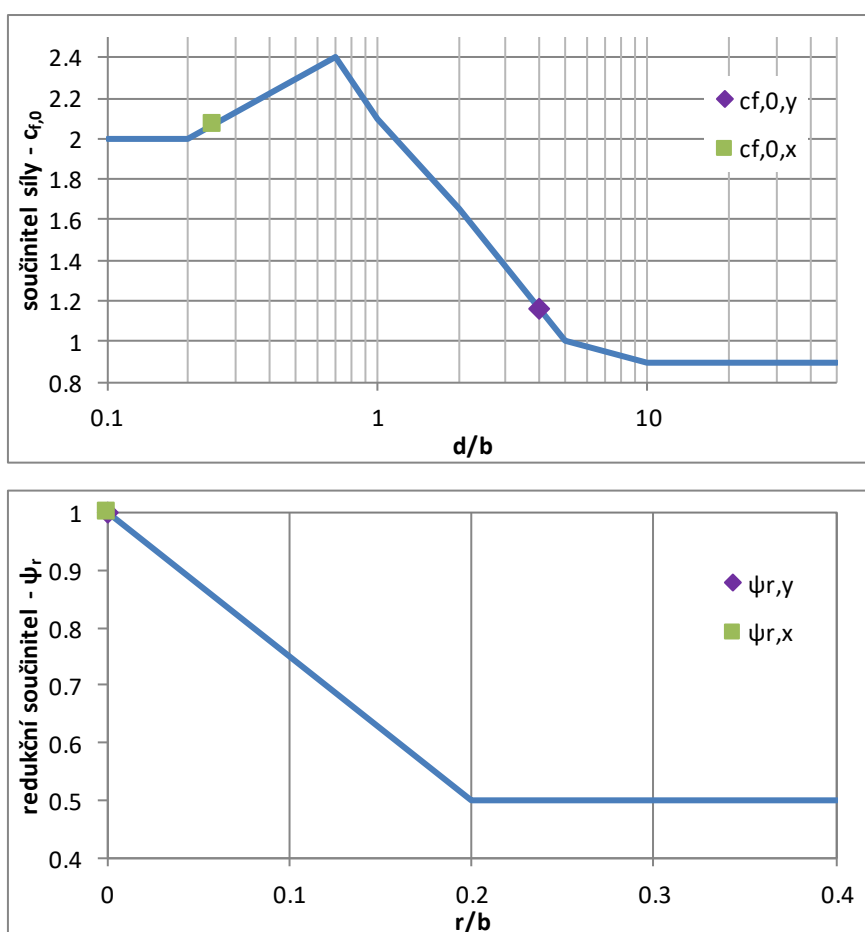
Síly větru na pilíře - obdélníkové průřezy - břehové pilíře

délka ve směru větru	d=	4.00	m	<i>kolmo na most (vážený průměr)</i>
šířka kolmá na směr větru	b=	1.50	m	
poloměr zaoblení rohů	r=	0.00	m	
souč. síly - příč. směr - y	$c_{f,0,y}$ =	1.45	-	<i>uvažuje se kolmo na most</i>
souč. síly - podél. směr - x	$c_{f,0,x}$ =	2.20	-	<i>uvažuje se ve směru mostu</i>
redukční součinitel - y	$\psi_{r,y}$ =	1.00	-	
redukční součinitel - x	$\psi_{r,x}$ =	1.00	-	
souč. koncového efektu	ψ_{λ} =	1.00	-	<i>jde o redukční součinitel (uvažován 1,0)</i>
souč. zatížení větrem - y	C_y =	3.93	-	
souč. zatížení větrem - x	C_x =	5.97	-	
tlak větru ve směru - y	q_{py}=	1436.90	Pa	
tlak větru ve směru - x	q_{px}=	2186.53	Pa	

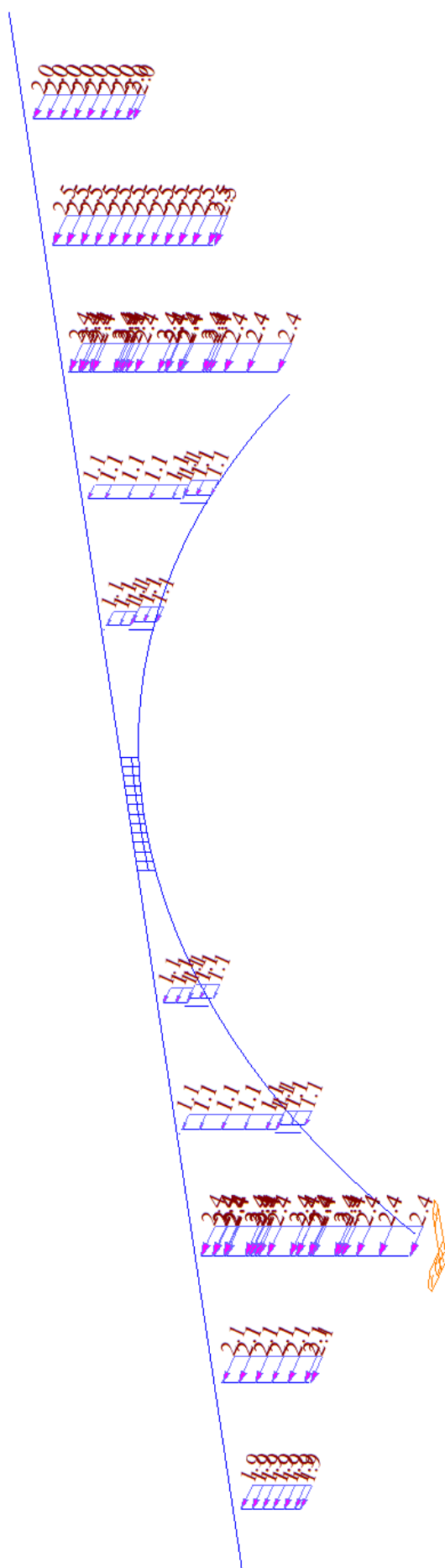


Síly větru na pilíře - obdélníkové průřezy - obloukové stojky

délka ve směru větru	$d=$	4.00	m	<i>kolmo na most (vážený průměr)</i>
šířka kolmá na směr větru	$b=$	1.00	m	
poloměr zaoblení rohů	$r=$	0.00	m	
souč. síly - příč. směr - y	$c_{f,0,y}=$	1.16	-	<i>uvažuje se kolmo na most</i>
souč. síly - podél. směr - x	$c_{f,0,x}=$	2.07	-	<i>uvažuje se ve směru mostu</i>
redukční součinitel - y	$\psi_{r,y}=$	1.00	-	
redukční součinitel - x	$\psi_{r,x}=$	1.00	-	
souč. koncového efektu	$\psi_{\lambda}=$	1.00	-	<i>jde o redukční součinitel (uvažován 1,0)</i>
souč. zatížení větrem - y	$C_y=$	3.14	-	
souč. zatížení větrem - x	$C_x=$	5.62	-	
tlak větru ve směru - y	$q_{py}=$	1151.06	Pa	
tlak větru ve směru - x	$q_{px}=$	2058.16	Pa	



Obrázek 4-2: Zatížení větrem – pilíře



4.1.4.3 Zatížení větrem – mostovka

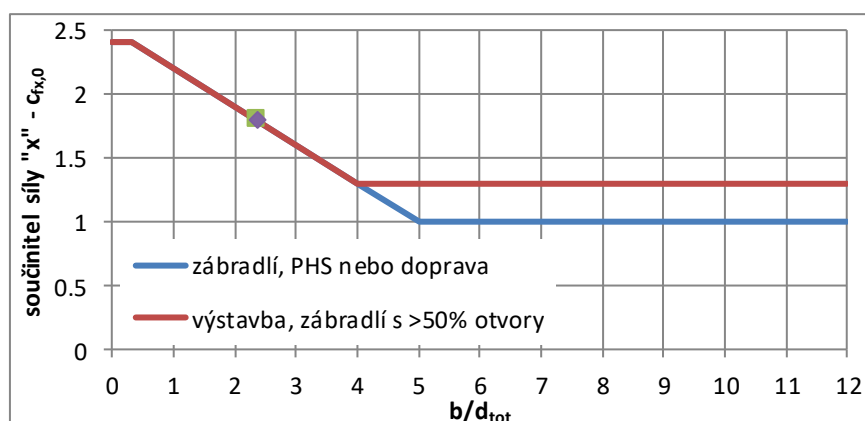
Kategorie terénu a jeho drsnost byla pro mostovku uvažována jednoho typu obdobně jako pro pilíře. Pro zatížení větrem bylo vycházeno z maximálního dynamického tlaku ve výšce 45,0 m nad terénem.

V rámci určení zatížení větrem na mostovku byly rozlišeny dva případy:

- Zatížení samotné konstrukce mostovky vč. účinku zábradlí ($2,1 + 2 \times 0,3 \text{ m} = 2,7 \text{ m}$)
- Zatížení konstrukce včetně dopravního zatížení

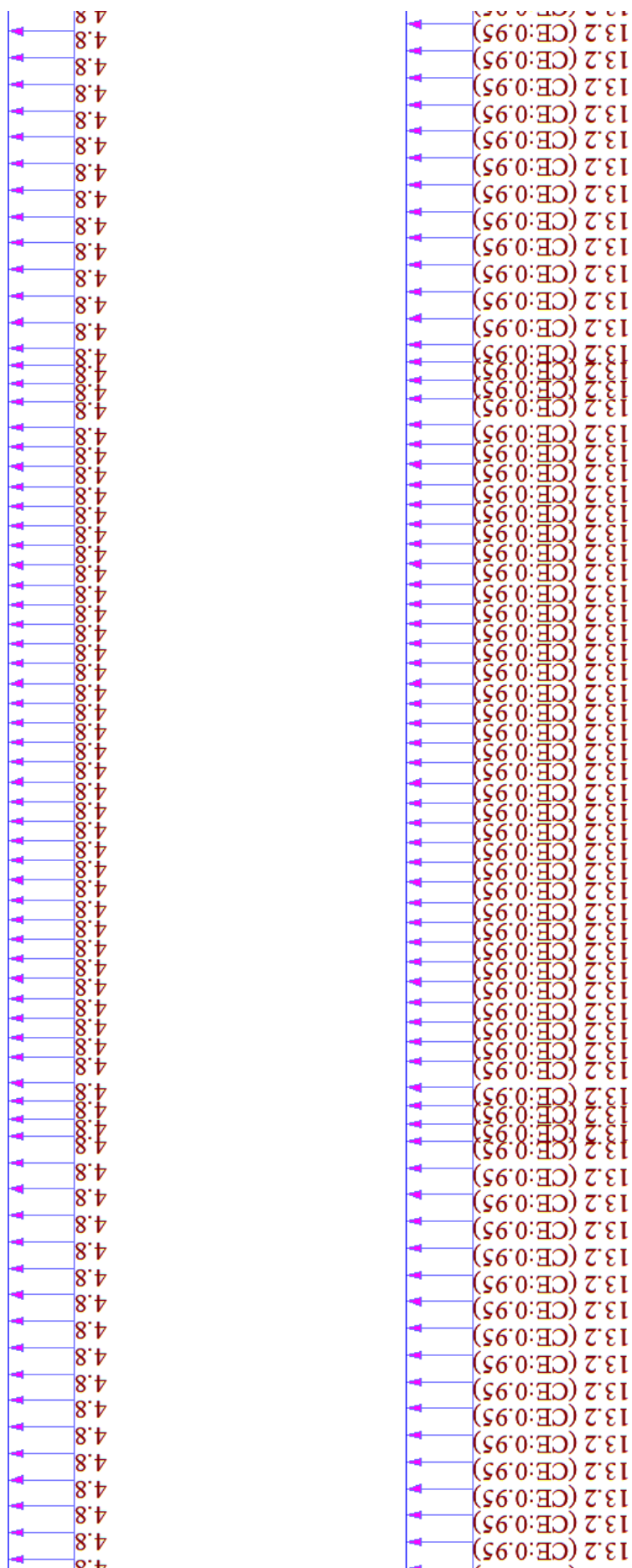
V případě dopravního zatížení je nutno uvažovat s upravenou excentricitou zatížení větrem, kdy vzdálenost reálné výslednice zatížení od těžiště průřezu může hrát významnou roli. Při výpočtu excentricity je uvažováno s předpokladem, že vlak zatížený větrem nepřenáší do konstrukce momentové účinky, ale pouze vodorovnou sílu, která působí v úrovni TK. Skutečná excentricita zatížení je získána jako výslednice síly působící na nosnou konstrukci a síly od větru na vlak (přenesenou na NK ve výšce TK).

Síly větru podle směrů na NK				
Ve směru X				
výška konstrukce	$d_{\text{tot}} =$	2.70	m	$NK = 2.1 + 0.6 \text{ m}$ (NK + 2x zábradlí)
šířka konstrukce	$b =$	6.40	m	vyber
souč. síly pro mosty - x	$c_{fx,0} =$	1.79	-	zábradlí, PHS nebo doprava
souč. síly pro mosty - x	$c_{fx,0} =$	1.79	-	A výstavba, zábradlí s >50% otvory
souč. zatížení větrem - x	$C =$	4.86	-	
tlak větru ve směru - x	$q_{px} =$	1777.72	Pa	



Síly větru podle směrů na NK				
Ve směru X				
výška konstrukce	$d_{\text{tot}} =$	6.10	m	$NK = 2.1 + 4.0 \text{ m}$ (NK + doprava)
šířka konstrukce	$b =$	6.40	m	vyber
souč. síly pro mosty - x	$c_{fx,0} =$	2.19	-	A zábradlí, PHS nebo doprava
souč. síly pro mosty - x	$c_{fx,0} =$	2.19	-	výstavba, zábradlí s >50% otvory
souč. zatížení větrem - x	$C =$	5.93	-	
tlak větru ve směru - x	$q_{px} =$	2171.61	Pa	

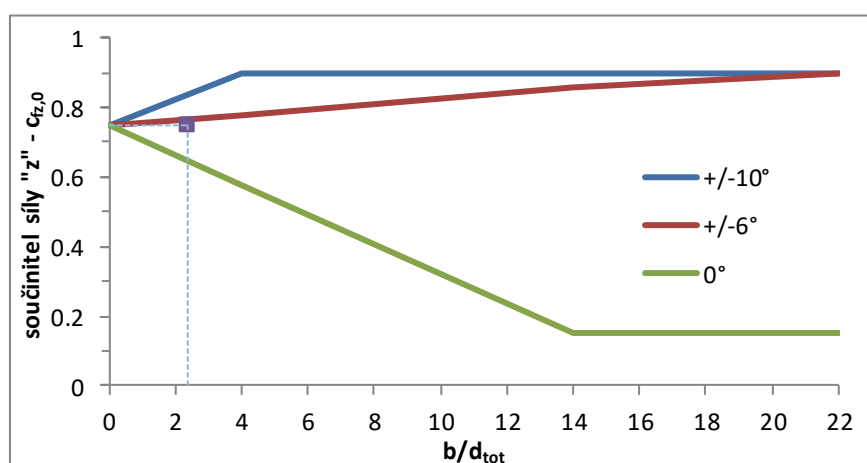
Obrázek 4-3: Zatížení větrem – mostovka (vlevo), vč. pásu dopravního zatížení (vpravo) /půdorys/



4.1.4.4 Zatížení větrem – ostatní směry zatížení

Ostatní směry zatížení – v podélné ose mostu a svislé nejsou pro mostní konstrukci s ohledem na jejich velikost rozhodující. Jejich vyčíslení viz níže.

Ve směru Y			
tlak větru ve směru - y	$q_{py}=$	1.20 kN/m	25% účinku od směru "x"
Ve směru Z			
výška konstrukce	$d_{tot}=$	2.70 m	$NK=2.1 + 2 \times 0.3 = 2.7 \text{ m}$
šířka konstrukce	$b=$	6.40 m	
příčný sklon konstrukce	$\beta=$	0.00 °	0.00%
úhel větru od vodorovné	$\alpha=$	5.00 °	
úhel větru ke konstrukci	$\theta=$	5.00 °	
souč. síly pro mosty - z	$C_{fx,0}=$	0.75 -	pro záporná θ je hodnota záporná
souč. zatížení větrem - z	$C=$	2.03 -	
tlak větru ve směru - z	$q_{pz}=$	741.88 Pa	



4.1.4.5 Zatížení větrem – ztráta aeroelastické stability

Problematika případné ztráty aeroelastické stability je řešeno v samostatné části tohoto statického výpočtu.

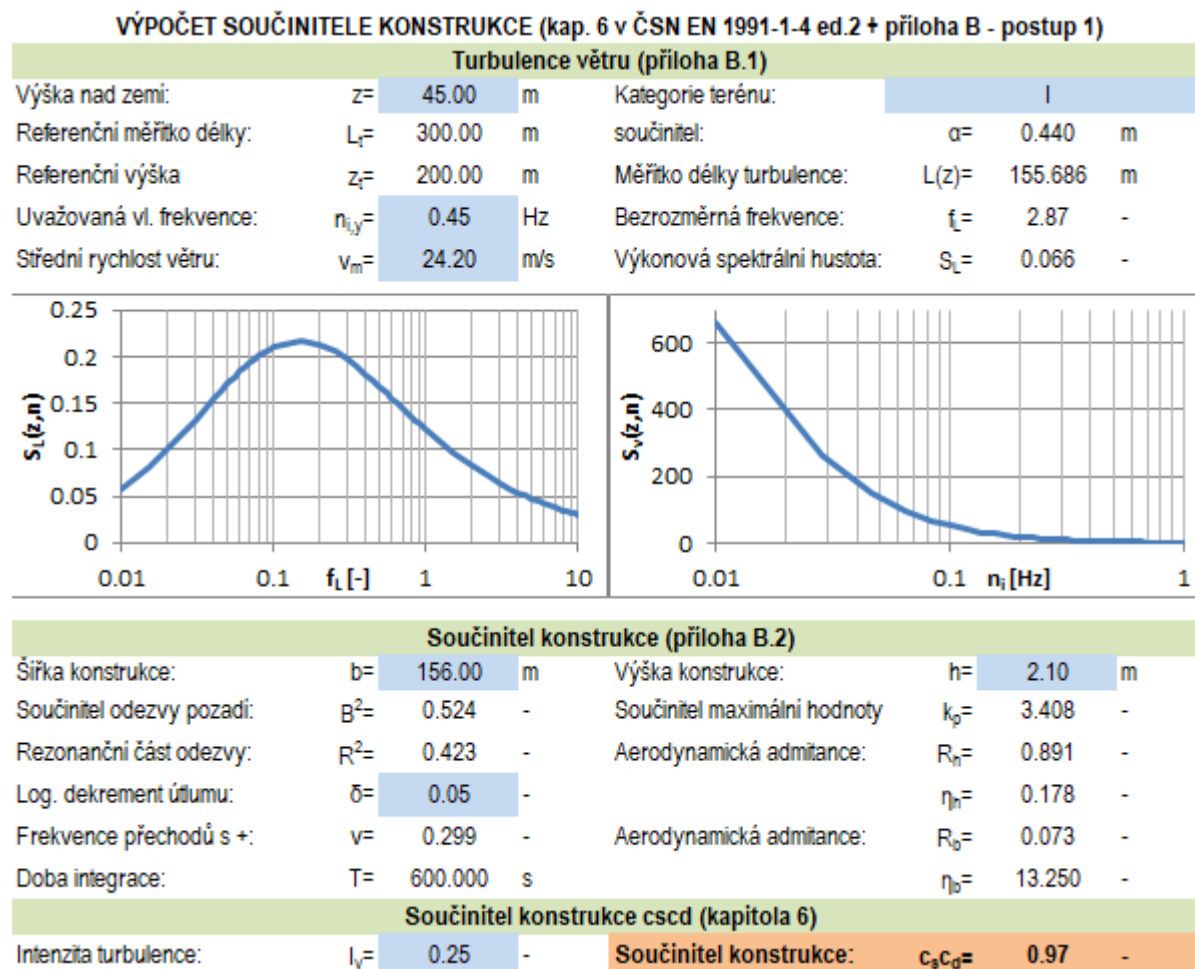
4.1.5 Skupina zatěžovacích stavů W – zatížení větrem – dynamická odezva

Pro určení dynamické odezvy mostní konstrukce byly metodami popsány v kapitole 4.1.4 generována v čase proměnná zatížení větrem. Pro zajištění dostatečného vzorku generovaných dat byl pro každou metodu vytvořen soubor celkem 10 dvouhodinových sekvencí, který byl doplněn 1 sekvencí o délce 60 tisíc sekund (100 x 10 min). Pro každou metodu bylo uvažováno celkem cca 37 hodin generovaného zatížení větrem.

Podrobný popis jednotlivých metod a systém výpočtu zatížení viz další kapitoly.

4.1.5.1 Ověření součinitele konstrukce c_{scd}

V rámci řešení dynamické odezvy konstrukce mostu byl pro ověření možnosti použití ekvivalentního statického zatížení (kapitola 4.1.4) vypočten součinitel konstrukce c_{scd} v souladu s kapitolou 6 v ČSN EN 1991-1-4 ed.2. Součinitel konstrukce byl vypočten hodnotou nižší než 1,0. Konzervativně byl uvažován v rámci ekvivalentního statického zatížení hodnotou 1,0.



4.1.5.2 Metoda A – výpočet turbulencí pomocí iFFT

Na základě výkonového spektra (PSD – power spectral density) v příloze B ČSN EN 1991-1-4 ed.2, které popisuje hustotu energie turbulencí pro jednotlivé frekvence vanutí větru (četnost výskytu turbulence při konkrétní frekvenci působení), byl generován časový průběh turbulentní rychlosti větru zohledňující rozložení četnosti frekvencí. Zjednodušení použitého postupu:

- 1/ Výpočet PSD pro jednotlivé frekvence na základě měřítka délky turbulence a směrodatné odchylky větru (zůstává stejné pro všechny výpočty – viz výpočet c_{scd})

$$S_v(z, n) = \frac{6.8 \cdot L(z) \cdot \sigma_v^2}{v_m(z) \left(1 + 10.2 \frac{n_i L(z)}{v_m(z)} \right)^{5/3}}$$

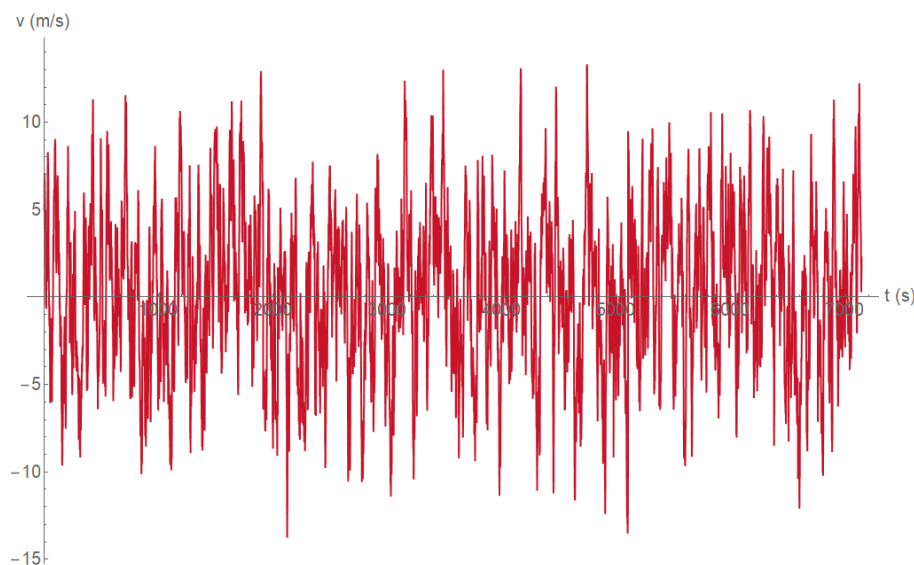
- 2/ Algoritmus pro získání generovaných dat
 - a. Přiřazení náhodně generované fáze $\varphi \in (0, 2\pi)$ každé spektrální komponentě
 - b. Vytvoření signálu ve frekvenční doméně

$$Z(n_i) = \text{PSD} \cdot e^{i \cdot \varphi(n_i)}$$

- c. Generace signálu v časové doméně pomocí iFFT
- 3/ Sečtení střední rychlosti větru s rychlostmi generovaných turbulencí
- 4/ Výpočet tlaku větru v závislosti na výsledných rychlostech

S ohledem na vnoření generování náhodných fází je získána při každém opakování výpočtu nová sada rychlostí turbulence. Pomocí jejich skládání je následně dosaženo požadované délky zatížení.

Obrázek 4-4: Příklad generovaných turbulencí – iFFT



4.1.5.3 Metoda B – výpočet turbulencí dle metodika (Nichita et al., 2002)

Pro výpočet turbulencí je opět využito výkonové spektrum uvedeno v ČSN EN 1991-1-4 ed.2. Průběh turbulencí v čase je generován opět náhodně za použití následujícího postupu:

- 1/ Výpočet PSD pro jednotlivé frekvence na základě měřítka délky turbulence a směrodatné odchylky větru (zůstává stejné pro všechny výpočty – viz výpočet $c_s C_d$)
- 2/ Algoritmus pro získání generovaných dat
 - a. Výpočet amplitudy pro každou frekvenci větru n_i

$$A_i = \frac{2}{\pi} \sqrt{\frac{1}{2} [S_v(\omega_i) + S_v(\omega_{i+1})] \cdot [\omega_{i+1} - \omega_i]}$$

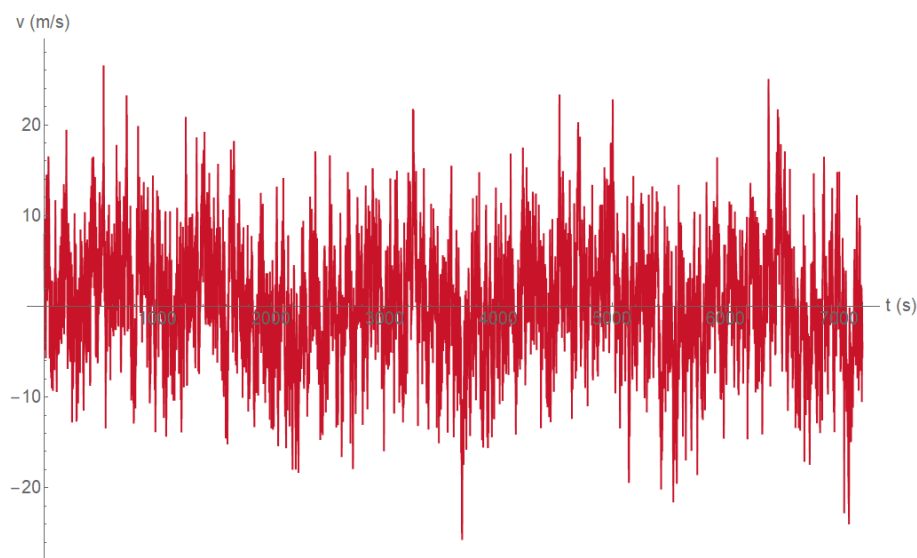
- b. Výpočet rychlosti pro každý i jako suma amplitudy násobené cosinem frekvence s fázovým posunem pro daný čas

$$v(t) = \sum_{i=0}^N A_i \cos(\omega_i t + \varphi_i)$$

- 3/ Sečtení střední rychlosti větru s rychlostmi generovaných turbulencí
- 4/ Výpočet tlaku větru v závislosti na výsledných rychlostech

S ohledem na vnoření generování náhodných fází je získána při každém opakování výpočtu nová sada rychlostí turbulence. Pomocí jejich skládání je následně dosaženo požadované délky zatížení.

Obrázek 4-5: Příklad generovaných turbulencí – (Nichita et al., 2002)



4.1.5.4 Metoda C – výpočet turbulencí pomocí směrodatné odchylky rychlosti větru

Poslední variantou získání náhodného časového průběhu větru je využití směrodatné odchylky turbulentní rychlosti větru. Střední hodnota turbulentní rychlosti je 0 (v souladu s kap. 4.4 v ČSN EN 1991-1-4 ed.2). Postup výpočtu:

- 1/ Vygenerování náhodného souboru turbulentních rychlostí pro každý čas i pomocí Gaussova rozdělení při směrodatné odchylce σ_v a střední hodnotě 0.

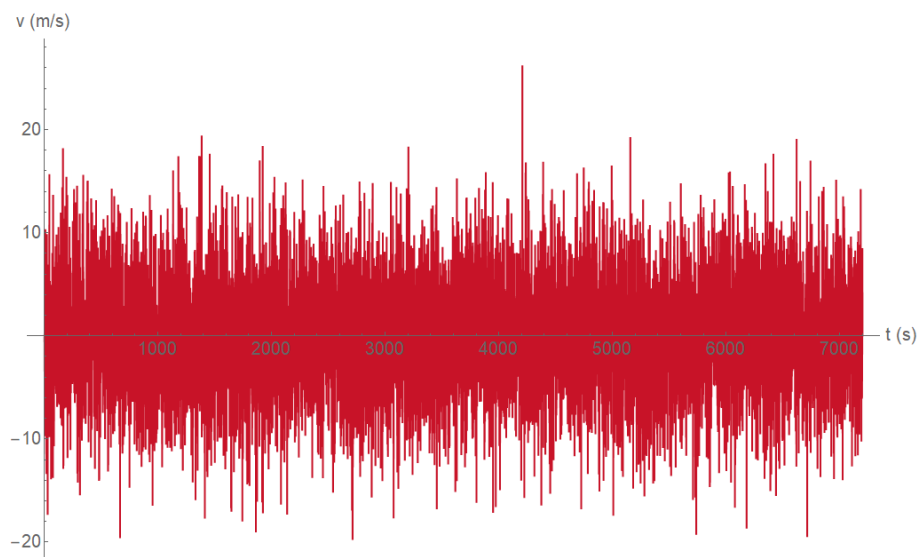
$$\sigma_v = I_v \cdot v_m$$

- 2/ Sečtení střední rychlosti větru s rychlostmi generovaných turbulencí
- 3/ Výpočet tlaku větru v závislosti na výsledných rychlostech

S ohledem na systém generování je s každým opakováním získána nová sada rychlostí turbulence.

Výraznou nevýhodou tohoto postupu je zanedbání rozložení hustoty turbulencí dle frekvencí, která je zřejmá při porovnání obrázků 4-4 a 4-5 s obrázkem 4-6.

Obrázek 4-6: Příklad generovaných turbulencí – Gaussovo rozdělení turbulencí

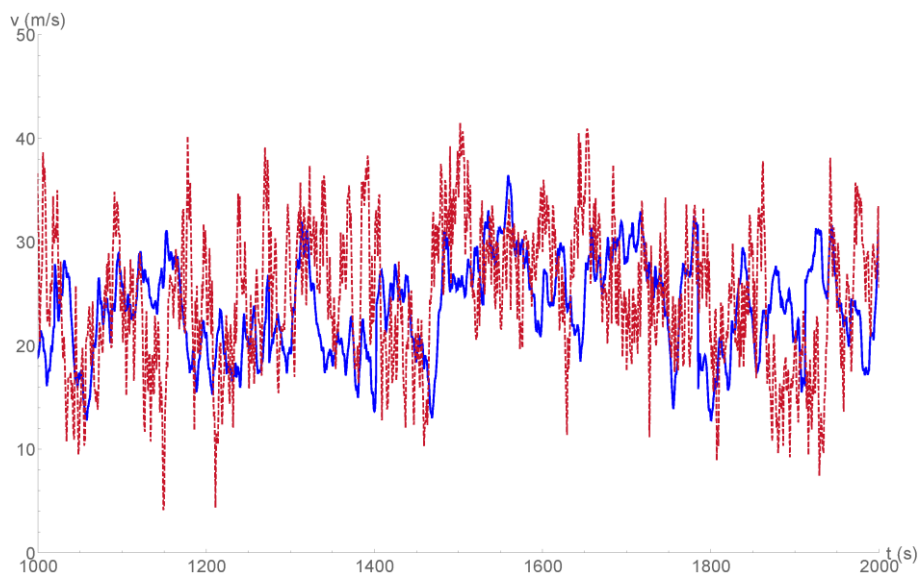


4.1.5.5 Porovnání jednotlivých metod

V rámci porovnání jednotlivých metod byly řešeny maximální získané hodnoty rychlosti turbulencí, časový průběh turbulencí i jejich frekvenční spektrum.

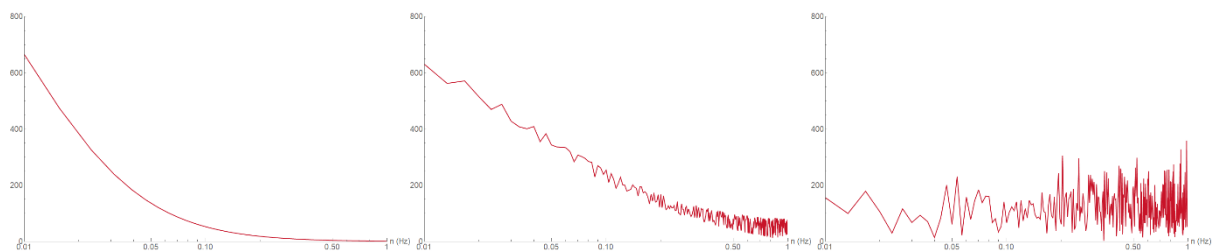
V případě maximálních rychlostí vypočtených turbulentností jsou srovnatelné výsledky metody B a C. Metoda používající iFFT dosahuje nižších maximálních hodnot rychlostí a zároveň při podrobném pohledu je zřejmé, že výsledný časový průběh je spíše pozvolný s menšími rychlostními skoky. Při porovnání metody A a B, které jsou obě založeny na výkonovém spektru se metoda A projevuje spíše jako časový průměr metody B. Nicméně u obou metod je zřejmý frekvenční systém vycházející z výkonového spektra. I s ohledem na dosažené vnitřní síly je zřejmé, že metoda B je v porovnání s metodou A pro konstrukci méně příznivá.

Obrázek 4-7: Detail časového průběhu konečné rychlosti dle metody A (modře) a metody B (červeně čárkovaně)



S ohledem na skutečnost, že maximální rychlosti vypočtené dle metody B a C jsou srovnatelné je dalším krokem porovnání jejich časového průběhu, respektive frekvenčního spektra. Metoda B vychází z výkonového spektra a při zpětném využití FFT na výsledný signál je zřejmé, že s ním koresponduje. Metoda C, generována náhodně bez příslušnosti k jednotlivým frekvencím má jejich rozložení téměř rovnoměrné a je tedy stejně účinná napříč všech řešených frekvencí. S ohledem na tuto skutečnost se jeví tato metoda jako značně konzervativní a nevedla by k ekonomickému návrhu konstrukce. Porovnání zpětného převodu signálů z časové domény do frekvenční viz grafy níže.

Obrázek 4-8: Převedení generovaného signálu do frekvenční domény (metoda A – vlevo, B – uprostřed, C – vpravo)



Na základě převedení signálů zpět do frekvenční domény je jasné, že postup metody A s pomocí iFFT zachovává frekvenční rozložení signálu přesně. Naopak u metody C je potvrzeno rovnoměrné rozdělení po frekvencích. Metoda B zvyšuje oproti metodě A účinek vyšších frekvencí v rozsahu 0,1 – 1,0 Hz. S ohledem na skutečnost, že 1. vlastní frekvence konstrukce účinná ve směru větru je ~0,45 Hz je možné uvažovat při použití metody B s hodnotami na straně bezpečné. Pro řešení dynamické odezvy je tedy zvolena metoda B.

4.1.5.6 Výpočet hodnoty dynamického zatížení větrem

Pro určení konkrétní hodnoty dynamického zatížení bylo uvažováno s daty střední rychlosti a intenzity turbulence poskytnutých ČHMÚ. Jednotlivými metodami vypočtené rychlosti větru v čase byly převedeny na tlak větru v souladu s vztahem 4.10 (ČSN EN 1991-1-4 ed.2). Součinitel expozice, který

je závislý na turbulencích nebyl uvažován s ohledem na skutečnost, že turbulence jsou do rychlostí větru zahrnuty již při generaci časově proměnného zatížení.

4.1.5.7 Dynamická odezva při výstavbě

S ohledem na systém výpočtu je dynamická odezva v rámci stavby řešena pro stejný dynamický průběh zatížení větrem. Posouzení viz jednotlivé části statického výpočtu. Ztráta aeroelastické stability je řešena také jednotlivě pro dílčí části konstrukce.

4.1.6 Skupina zatěžovacích stavů T – zatížení teplotou

Pro návrh NK byly uvažovány vlivy rovnoměrného oteplení, resp. ochlazení a lineární průběh teploty dle tab. 6.1 a redukcemi v souladu s tab. 6.2 v ČSN EN 1991-1-5. Teplota provádění NK byla uvažována 10°C.

S ohledem na ustanovení čl. 6.1.4.3 v ČSN EN 1991-1-5 bylo řešeno nerovnoměrné oteplení v příčném směru, kdy se uvažuje oslunění z jedné strany a rozdílová teplot na krajích mostu je uvažován jako gradient 5°C.

Zároveň byl s ohledem na ustanovení čl. 6.1.6 v ČSN EN 1991-1-5 zohledněn rozdíl teploty mezi nosnými prvky, konkrétně mezi mostovkou a obloukem o 15°C.

Kombinování účinků teplot bylo řešeno v souladu s čl. 6.1.5 v ČSN EN 1991-1-5. Řešené vztahy byly vypočteny tak, aby maximální, resp. minimální teplota při kombinaci nepřesáhla maximální a minimální teplotu stanovenou dle kapitoly 6.1.3 v ČSN EN 1991-1-5.

Teplota - rovnoměrná									
Označ.	Popis	T_{max}	T_{min}	$T_{e,max}$	$T_{e,min}$	$T_{n,exp}$	$T_{n,con}$	Typ NK	
		[°C]	[°C]	[°C]	[°C]	[°C]	[°C]		
T	rovnoměrná teplota	40.0	-34.0	41.5	-26.0	31.5	-36.0	-	-

Typ nosné konstrukce	Horní povrch teplejší než dolní	Dolní povrch teplejší než horní
	$\Delta T_{M,heat} (^{\circ}C)$	$\Delta T_{M,cool} (^{\circ}C)$
1. typ: ocelová nosná konstrukce	18	13
2. typ: ocelobetonová nosná konstrukce	15	18
3. typ: betonová nosná konstrukce		
– betonový komorový nosník	10	5
– betonový nosník	15	8
– betonová deska	15	8
POZNÁMKA 1 Hodnoty uvedené v tabulce jsou horními mezními hodnotami lineárně proměnné složky teploty pro reprezentativní vzorek geometrie mostů.		
POZNÁMKA 2 Hodnoty uvedené v tabulce pro mosty pozemních komunikací, lávky a pro železniční mosty vycházejí z 50 mm tloušťky mostního svršku. Pro jiné tloušťky mostního svršku se mají tyto hodnoty vynásobit součinitelem k_{sur} . Doporučené hodnoty součinitele k_{sur} jsou uvedené v tabulce 6.2.		

4.1.7 Skupina zatěžovacích stavů MVL – svislá dopravní zatížení

Pro vyhodnocení svislých pohyblivých zatížení od dopravy byl využit modul „moving load“ programu MIDAS Civil. Pro kolej byla definována dráha, která kopíruje její směrové vedení.

Excentricita pohyblivého zatížení byla zadána v souladu s čl. 6.3.5 v ČSN EN 1991-2 ed. 2 hodnotou 83 mm.

Dynamické součinitele byly uvažovány dle ČSN EN 1991-2 ed. 2. Vliv možného použití dynamického součinitele pro pečlivě udržovanou kolej v rámci mezních stavů použitelnosti je v tomto případě zanedbatelný. Z tohoto důvodu byl použit součinitel pro standardně udržovanou kolej bez výjimky.

Pozn.: Klasifikace zatížení pro NK $\alpha=1,21$ (požadavek Odboru traťového hospodářství pro zajištění rezervy předpjaté konstrukce); pro oblouk v souladu se zatříděním trati $\alpha=1,1$.

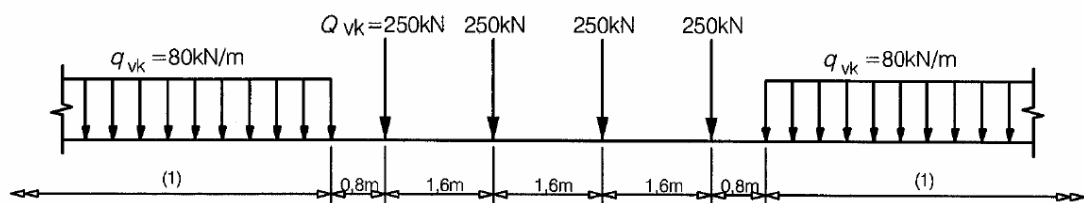
Dynamický součinitel

pro standardně udržovanou kolej	$\Phi_3 = 2,16/(L_\Phi^{0,5-0,2})+0,73$	< 2,00
pro pečlivě udržovanou kolej	$\Phi_2 = 1,73/(L_\Phi^{0,5-0,2})+0,82$	< 1,67

Náhradní délky prvků NK			Φ_3	Φ_2
hlavní nosná konstrukce - mostovka	L =	m		
	$L_\Phi = L/13 \cdot 1,5$	m		
	$L_\Phi = 34,44$	m	1.111	1.074
oblouk	L =	m		
	$L_\Phi = L/2$	m		
	$L_\Phi = 78,00$	m	1.000	1.000

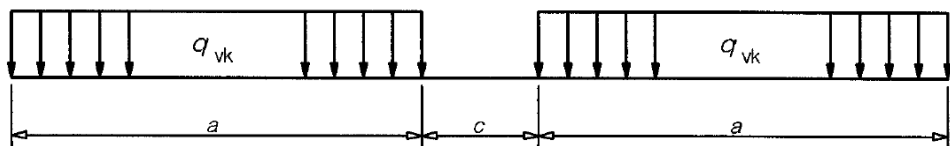
Zatěžovací schéma LM71 klasifikované součinitelem α , s osamělými nápravovými silami

klasifikační součinitel	$\alpha = 1,21$	-
nápravová síla, char. hodnota	$Q_{71,1,k} = \alpha \cdot 250$	kN
	= 302,5	kN
rovnoměrné zatížení, char. hodnota	$q_{71,2,k} = \alpha \cdot 80$	kN/m
	= 96,8	kN/m



Zatěžovací schéma SW/0 (klasifikované součinitelem α)

Zatěžovací schéma SW/2 (bez klasifikace souč. α)



Obrázek 6.2 – Modely zatížení SW/0 a SW/2

Model zatížení	q_{vk} (kN/m)	a (m)	c (m)
SW/0	133	15,0	5,3
SW/2	150	25,0	7,0

4.1.8 Skupina zatěžovacích stavů R – Zatížení bočním rázem

Boční ráz byl zadán v souladu s ČSN EN 1991-2 ed.2. Nicméně s ohledem na účinky ostatních zatížení působících v příčném směru (např. vítr) nebyl dále vyhodnocován.

charakteristické zatížení bočním rázem, klasifikované součinitelem α

$$Q_{sk,0} = 100.00 \text{ kN}$$

$$\alpha = 1.21$$

$$Q_{sk} = 121.00 \text{ kN}$$

Pozn.: Klasifikace zatížení pro NK $\alpha=1,21$ (požadavek Odboru traťového hospodářství pro zajištění rezervy předpjaté konstrukce); pro oblouk v souladu se zatříděním trati $\alpha=1,1$.

4.1.9 Skupina zatěžovacích stavů B – Zatížení rozjezdovými a brzdnými silami

Rozjezdové a brzdné síly byly zadávány s jednotným klasifikačním součinitelem. Rozdíl účinku na oblouk v MSÚ je do cca 3%, v mezních stavech použitelnosti (charakteristická kombinace) pak pouze do cca 5%.

R: rozjezdová síla pro zatěžovací schéma LM-71, klasifikované součinitelem α

$$\begin{aligned} \text{char. hodnota rozjezdové} \quad q_{la,71,k} &= 33 \cdot 1,21 \text{ kN/m} \\ &= 39.9 \text{ kN/m} \end{aligned}$$

$$\text{Přičiňující délka NK1} \quad L_{R,1} = 300.00 \text{ m}$$

$$\text{Součinitel přenosu zat.} \quad \xi_{R,1} = 1.00 \quad \text{dílatační zařízení}$$

Zatížení v ose hlavního nosníku T.L/ T.P (1 kolej)

$$\text{zatížení na jednu kolej} \quad q_{K,1} = 39.9 \text{ kN/m}$$

B: brzdná síla pro zatěžovací schéma LM-71, klasifikované součinitelem α

$$\begin{aligned} \text{char. hodnota brzdné síly} \quad q_{lb,71,k} &= 20 \cdot 1,21 \text{ kN/m} \\ &= 24.2 \text{ kN/m} \end{aligned}$$

$$\text{Přičiňující délka NK1} \quad L_{B,1} = 300.00 \text{ m}$$

$$\text{Součinitel přenosu zat.} \quad \xi_{B,1} = 1.00$$

Zatížení v ose hl .nosníku T.L/ T.P (1 kolej)

$$\text{zatížení na jednu kolej} \quad q_{K,1} = 24.2 \text{ kN/m}$$

$$\text{plošné zatížení} \quad q_{K,1} = 9.31 \text{ kN/m}^2$$

kontrola reakcí Rx:

$$\text{Reakce } R_{x,1} \text{ (R)} \quad R_{x,1} = 1210 \text{ kN}$$

$$\text{Reakce } R_{x,2} \text{ (B)} \quad R_{x,2} = 7260 \text{ kN}$$

Pozn.: Klasifikace zatížení pro NK $\alpha=1,21$ (požadavek Odboru traťového hospodářství pro zajištění rezervy předpjaté konstrukce); pro oblouk v souladu se zatříděním trati $\alpha=1,1$.

4.1.10 Skupina zat. stavů K – zatížení teplotním rozdílem mezi kolejí a NK

Vzhledem k využití mostního dilatačního zařízení na obou stranách nosné konstrukce je účinek teplotního rozdílu mezi kolejí a NK nulový (viz vztah 6.29 v ČSN EN 1991-2 ed.2).

4.1.11 Skupina zat. stavů S – účinky nerovnoměrného sedání opěr

Účinky nerovnoměrného sedání podpěr byly zohledněny celkovou hodnotou +/-2,5 mm pro vzájemné posuny jednotlivých podpor.

4.1.12 Rozsah dopravy pro posouzení na únavu

Pro posouzení na únavu byly využity výhledové rozsahy dopravy dle části B.02 – Provozní a dopravní technologie.

Tabulka 4-1: Rozsah dopravy pro jednotlivé koleje

Kolej	T_f (mil. hr. t / rok)
1	3,0

4.1.13 Skupina zatěžovacích stavů EQ – Zatížení zemětřesením – mimořádné

S ohledem na umístění konstrukce je možno vliv zemětřesení zanedbat.

ZATŘÍDĚNÍ OBLASTI KONSTRUKCE S OHLEDEM NA SEISMICKÉ ZATÍŽENÍ

Oblast konstrukce					
Třída významu mostu:	III	~CC3	Součinitel významu mostu:	$\gamma_I =$	1.30 -
Seismická oblast	Písek		Ref. špičkové zrychlení A:	$a_{gR} =$	0.00 -

Specifikace základové půdy				
Typ základové půdy:	A	$v_{s,30}$ [m/s]	N_{SPT} [úderů/30 cm]	c_u [kPa]
Popis základové půdy:		>800	-	-

Skalní horninový masiv nebo geologická formace typu skalních hornin při nadloží z měkčího materiálu v maximální mocnosti do 5 m

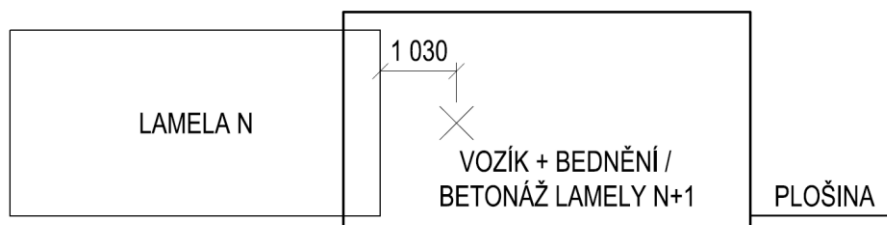
Vlastnosti spektra pružné odezvy								
Tvar spektra pruž. odezvy:		Spektrum 2		Směr	S	T _B	T _C	T _D
					[-]	[s]	[s]	[s]
Návrhové zrychlení podloží:	a _g =	0.000	g [m/s ²]	H	1.00	0.05	0.25	1.20
Návrhové svislé zrychlení:	a _{vg} =	0.000	g [m/s ²]	V	-	0.05	0.15	1.00
Poměrný viskózní útlum:	ξ=	2.00	%	Korekční součinitel útlumu: η= 1.20 -				
Oblast seismicity	a _{gS} =	0.000	g [m/s ²]	Velmi malá seizmicita - ČSN EN 1998 se zanedbá				

4.1.14 Zatížení v rámci fází výstavby

S ohledem na použité technologie a jejich nezanedbatelné hmotnosti byly do modelu implementovány zatížení od uložení (kotvení) betonážního vozíku lamel oblouku a od skruže pro betonáž mostovky.

4.1.14.1 Betonážní vozík

Zatížení od betonážního vozíku bylo zadáváno na konstrukci jako silový a momentový účinek na konci předchozí lamely. Tímto způsobem byla zadávána jak samotná hmotnost vozíku, tak i tíha čerstvého betonu při betonáži lamely. Hmotnost vozíku včetně bednění byla uvažována 70 t, vzdálenost těžiště od konce hotové lamely 1,03 m.



4.1.14.2 Skruž mostovky

Zatížení od posuvné skruže pro betonáž mostovky bylo zadáváno v předpokládaných pozicích jako bodové zatížení. Celková tíha skruže byla uvažována 100 t. S rozdělením na dvě stojky. Přední stojka je umístěna na následujícím pilíři, zadní stojka je uvažována ve vzdálenosti 1,5 m od konce vykonzolování

předchozího pole. Poměr přenosu zatížení od tíhy skruže – přední : zadní = 0,625 : 0,375; od tíhy čerstvého betonu: přední : zadní = 0,65 : 0,35.

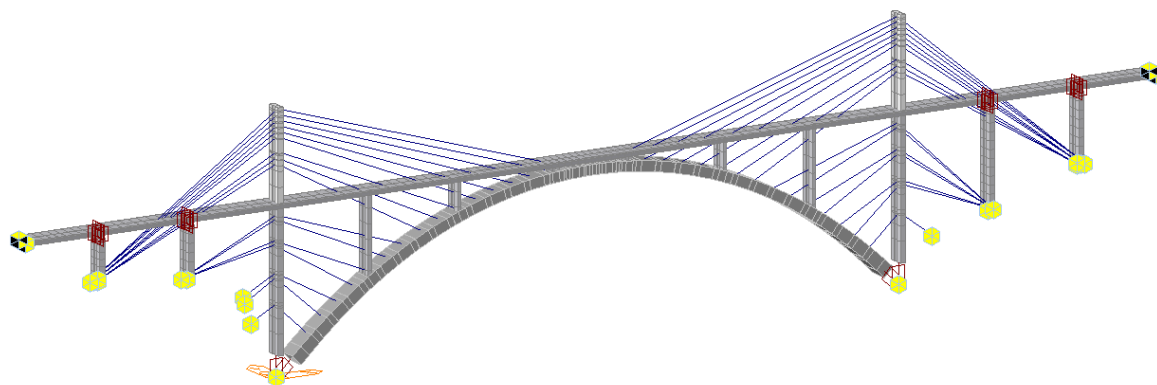
4.2 Model konstrukce

Výpočet vnitřních sil byl proveden na 3D prutovém modelu v MKP SW MIDAS Civil 2020 (v1.2). Vnitřní síly byly využity pro posouzení mezních stavů únosnosti v programu IDEA StatiCa – RCS (v10.1.99.54266). Mezní stavy použitelnosti byly posouzeny na základě vykreslení napětí v SW MIDAS Civil.

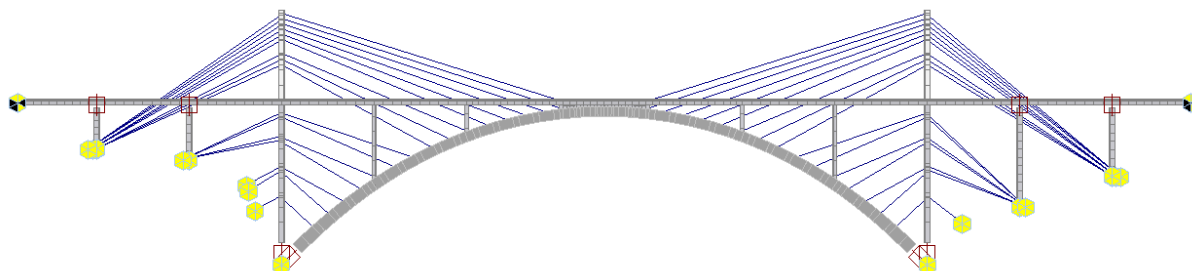
4.2.1 Popis modelu

Nosná konstrukce byla modelována pomocí prutových náhrad, které vystihují tvar jednotlivých konstrukcí. Pro zohlednění postupu výstavby bylo vytvořeno celkem 114 po sobě jdoucích konstrukčních fází. Systém výstavby letmou betonáží s vyvážováním byl modelován pomocí použití lanových prvků, které byly v jednotlivých fázích výstavby napínány pro zajištění požadovaného tvaru oblouku a zajištění dimenzovatelných vnitřních sil na vyvážené konzole ve fázích výstavby. Spojení mostovky s pilíři pomocí vrubových kloubů bylo realizováno pomocí uvolněných momentových vazeb v podélném směru. Pro zahrnutí vlivu uložení na dvojice ložisek nad břehovými pilíři byly použity soustavy pružných spojení, která zohlednila působení dvojice sil na kroutící účinky zatížení. Základy pilířů byly modelovány pružnými podporami s tuhostmi získanými z modulu Patky SW GEO 5.

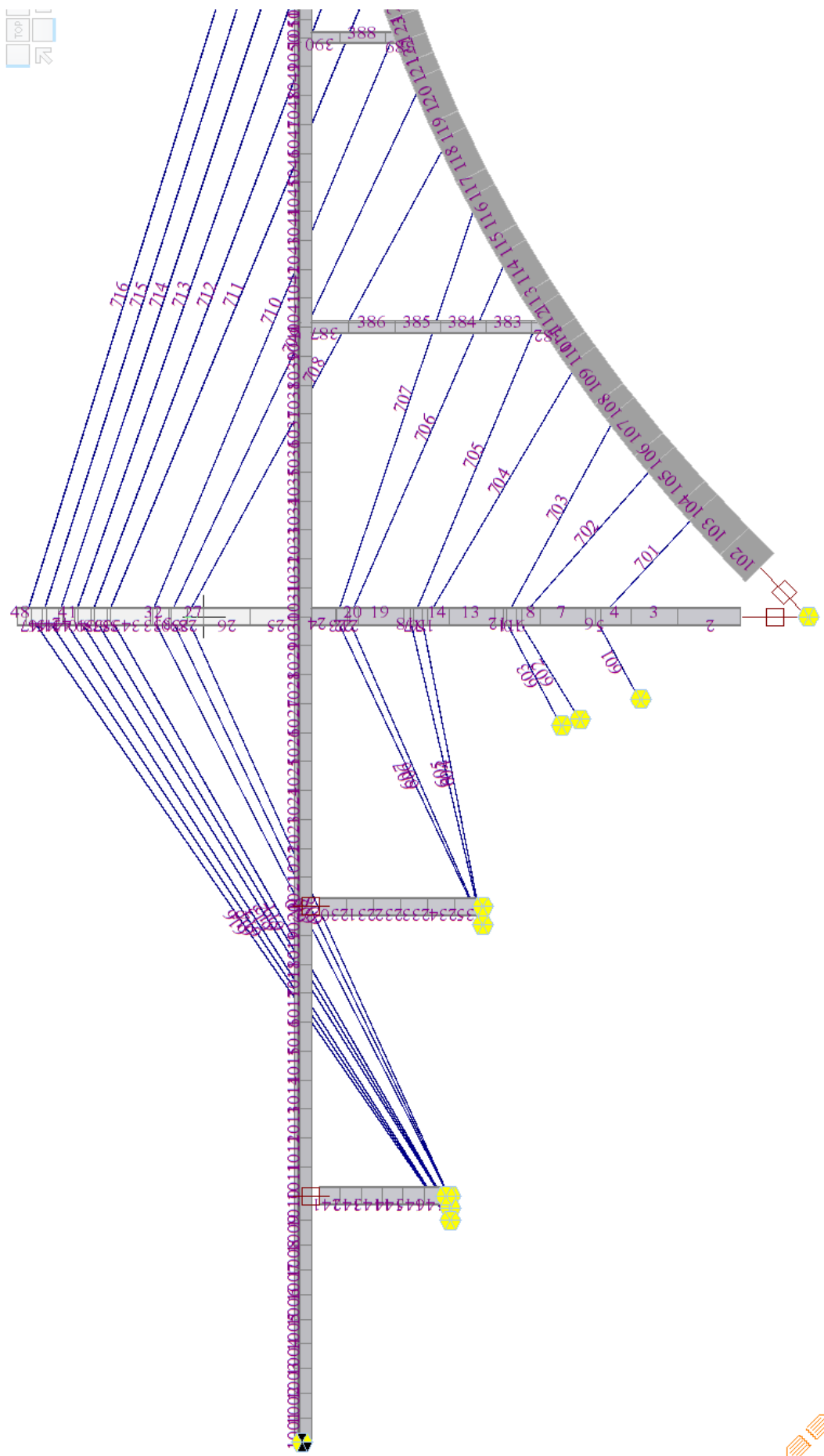
Obrázek 4-9: Model konstrukce – axonometrie



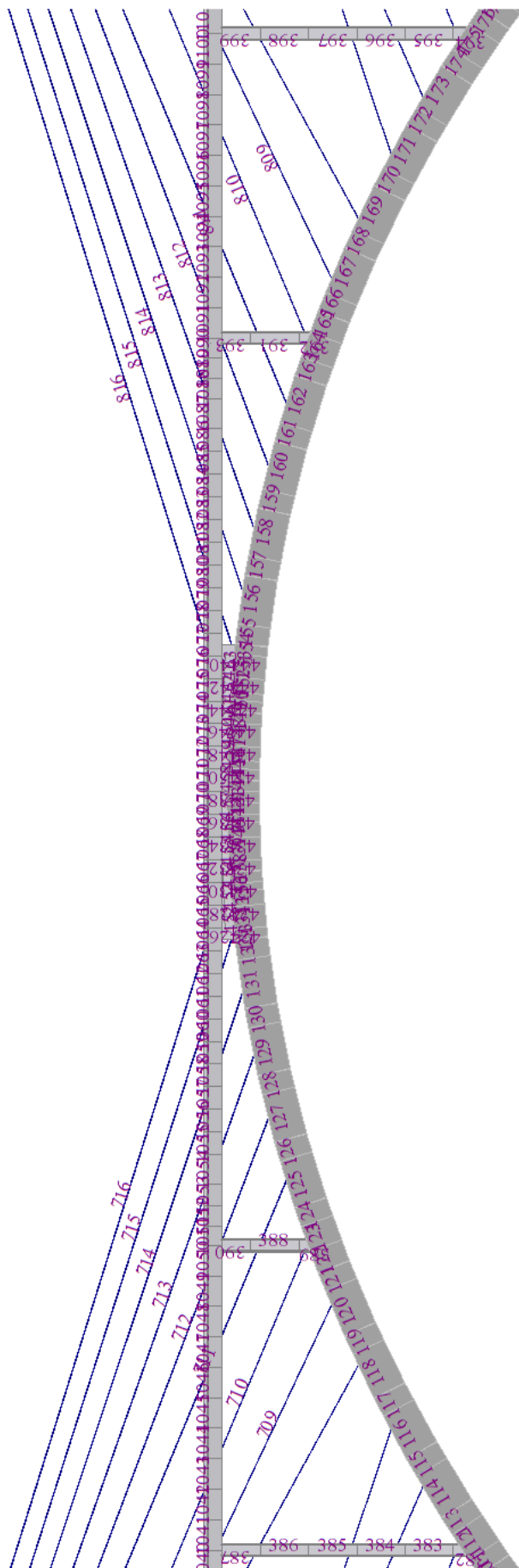
Obrázek 4-10: Model konstrukce – pohled



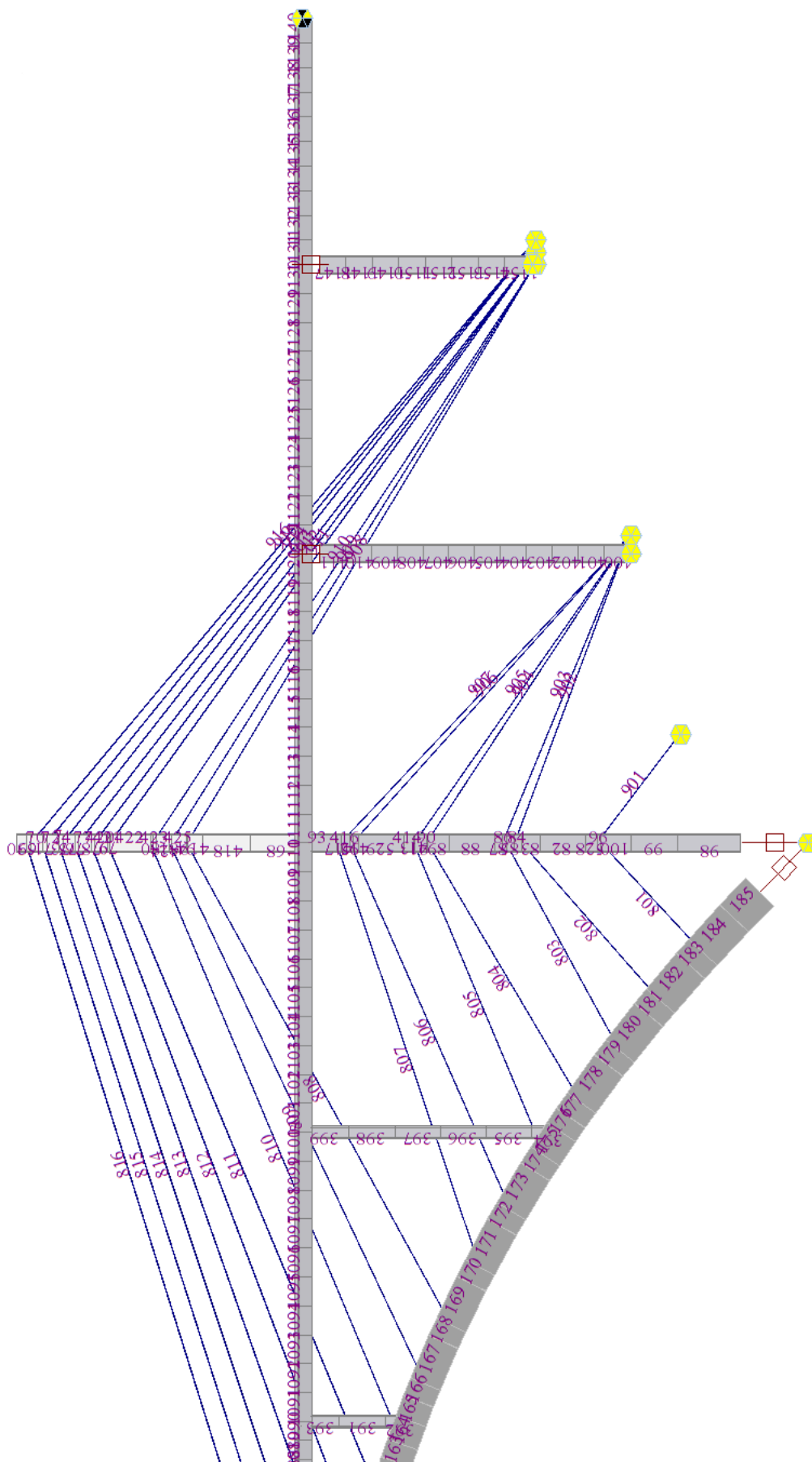
Obrázek 4-11: Model konstrukce – pohled, levá část



Obrázek 4-12: Model konstrukce – pohled, střední část



Obrázek 4-13: Model konstrukce – pohled, pravá část



4.2.2 Podélná tuhost konstrukce

V rámci výpočtu byly porovnány dva přístupy pro zohlednění podélné tuhosti desky mostovky s vlivem smykového ochabnutí – se zahrnutím smykového ochabnutí a bez jeho zahrnutí. Smykové ochabnutí se s ohledem na rozměry nosné konstrukce projevuje dle kap. 5.3.2.1 v ČSN EN 1992-1-1 ed. 2 pouze v oblasti nad vnitřními podporami. Smykové ochabnutí nebylo s ohledem na níže předložené výsledky uvažováno. Vliv na ohybovou tuhost průřezu byl stanoven do velikosti 1%.

SPOLUPŮSOBÍCÍ ŠÍŘKA

geometrie konstrukce							
délka počátečního pole	L_1	20.0	m	šířka trámu	B_w	1.30	m
délka vnitřního pole (a)	L_{2a}	23.5	m	šířka konzoly 1	B_1	0.90	m
délka vnitřního pole (b)	L_{2b}	23.5	m	šířka konzoly 2	B_2	0.75	m
délka koncového pole	L_3	20.0	m	celková šířka	B	2.95	m
Vzdálenosti nulových ohybových momentů							
inflexní body - pole	$l_{0,1}$	17.00	m	inflexní body - podpory	$l_{0,1-2a}$	6.53	m
	$l_{0,2a}$	16.45	m		$l_{0,2a-2a}$	7.05	m
	$l_{0,2b}$	16.45	m		$l_{0,2a-2b}$	7.05	m
	$l_{0,3}$	17.00	m		$l_{0,2b-2b}$	7.05	m
					$l_{0,2b-3}$	6.53	m

Spolupůsobící šířky

Umístění	$b_{eff,1}$ [m]	$b_{eff,2}$ [m]	b_{eff} [m]	Umístění	$b_{eff,1}$ [m]	$b_{eff,2}$ [m]	b_{eff} [m]
Pole 1	0.90	0.75	2.95	Podpora 2 (p-a)	0.83	0.75	2.88
Pole vnitřní (a)	0.90	0.75	2.95	Podpora vnitřní (a)	0.89	0.75	2.94
pole vnitřní (b)	0.90	0.75	2.95	Podp. vnitřní (a-b)	0.89	0.75	2.94
Pole n	0.90	0.75	2.95	Podpora vnitřní (b)	0.89	0.75	2.94
				Podpora n (b-k)	0.83	0.75	2.88

4.2.3 Geometrické imperfekce v modelu

S ohledem na velké rozpětí a předpokládanou štíhlost oblouku byly do modelu zaneseny vlivy geometrických imperfekcí pro vypočtené tvary vybočení v rovině (1. tvar) a z roviny (2. tvar). Tyto účinky se projeví zejména na vnitřních silách v oblouku. Pro břehové pilíře jsou účinky 2. řádu uvažovány samostatně dle jejich štíhlosti (viz posouzení pilířů). Pro obloukové stojky byl vliv imperfekce oblouku určen jako zanedbatelný a jsou tedy posouzeny také dle štíhlosti metodou jmenovité křivosti.

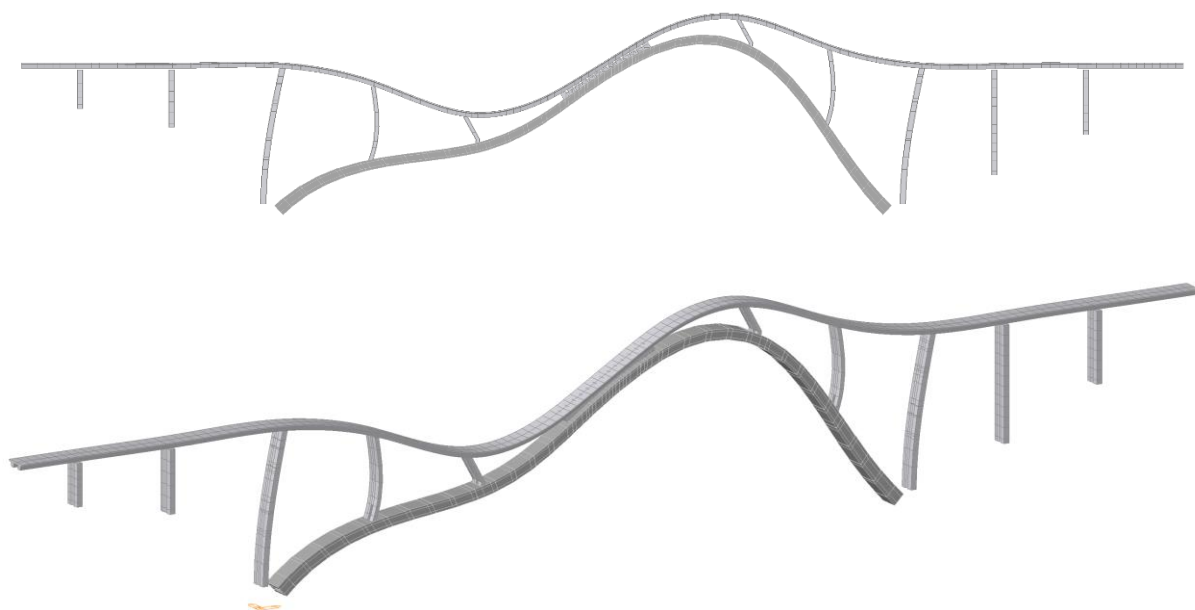
S ohledem na tvar vybočení byla uvažována délka idealizované sinusoidy jako rozpětí oblouku (viz grafické znázornění tvaru vybočení níže). Amplituda výchylky pro zadání geometrických imperfekcí byla vypočtena v souladu s kapitolou 5.2 v ČSN EN 1992-2. Vypočtená výchylka odpovídá 1/1200 rozpětí oblouku. S ohledem na systém výstavby byla tato výchylka uvážena za podhodnocenou i s ohledem na porovnání předpokládaných výchylek u ocelových oblouků (tab. D.8 v ČSN EN 1993-2). Do modelu pro posouzení oblouku byly na základě tohoto porovnání zaneseny imperfekce dle dvou typů vybočení (v rovině / z roviny), kdy pro každý imperfektní tvar byla uvažována výchylka $L/1200$.

Využitím geometricky nelineárního výpočtu pro imperfektní stav nedochází k dalšímu významnému navýšení vnitřních sil.

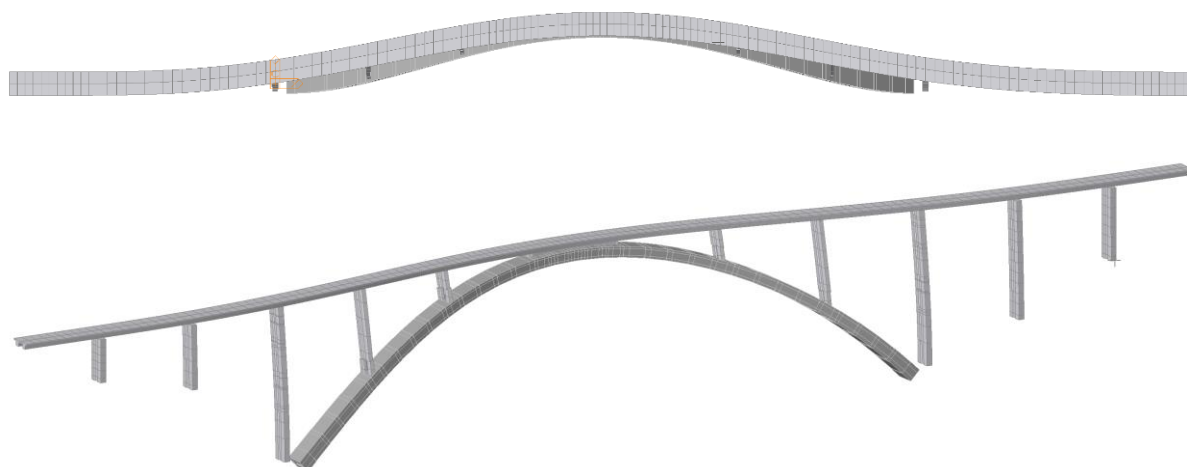
IMPERFEKCE - VÝPOČET (ČSN EN 1992-2 ed.2)

výpočet imperfekcí a výchylek pro obloukovou konstrukci							
výška / délka:	l	78.00	m	pro oblouk je " l " = 1/2 vlnové délky idealizované sinusoidy			
základní hodnota odklonu:	Θ_0	0.005	-	redukční součinitel:	α_h	0.667	-
celková hodnota odklonu:	Θ_1	0.003	-	amplituda výchylky:	a	0.130	m

Obrázek 4-14: 1. Tvar vybočení oblouku – v rovině

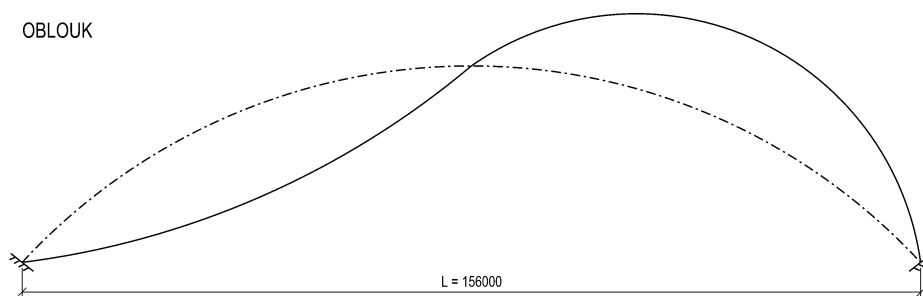


Obrázek 4-15: 2. Tvar vybočení oblouku – z roviny

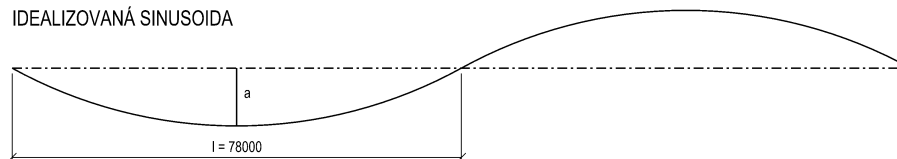


Obrázek 4-16: 2. Tvar idealizované sinusoidy

OBLOUK



IDEALIZOVANÁ SINUSOIDA



4.2.4 Fáze výstavby uvažované modelem

Pro zohlednění vlivu reologických jevů byly do modelu zaneseny fáze výstavby. Vlastní tíha u předpjatých prvků začíná působit společně s vnesením předpětí. U jednotlivých lamel pak v čase

vyvážení. U ŽB prvků působí vlastní tíha ihned po přidání (prvky jsou přidávány se stářím min. 3 dny (čas ošetřování)).

Upozornění: číslování polí v názvu fází v modelu je založeno na starším označení a je u polí mostovky o 1 nižší (uvažuje se číslování pro polovinu mostu).

Tabulka 4-2: Fáze výstavby

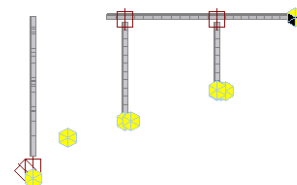
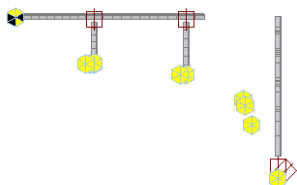
Fáze	Model	Trvání [den]	Konečný čas [den]
Pilíře P1, P2, P10, P11, opěry OP1, OP2	1-supp_P0_P1	51	51
Betonáž pole 1 a pole 12	2-D0	7	58
Betonáž pole 2 a pole 11	3-D1	0	58
Pilíř P3 a P9	4-P2	0	58
Betonáž zárodku oblouku	5-O_0	1	59
Instalace vozíku na zárodek	6-O_F1	5	64
Betonáž lamely 1	7-O_C1	3	67
Přidání lamely 1 do matice tuhosti	8-O_1	0	67
Aktivace závěsů 1. lamely	9-O_1C	1	68
Přesun vozíku pro betonáž lamely 2	10-O_F2	5	73
Betonáž lamely 2	11-O_C2	3	76
Přidání lamely 2 do matice tuhosti	12-O_2	0	76
Aktivace závěsů 2. lamely	13-O_2C	1	77
Přesun vozíku pro betonáž lamely 3	14-O_F3	5	82
Betonáž lamely 3	15-O_C3	3	85
Přidání lamely 3 do matice tuhosti	16-O_3	0	85
Aktivace závěsů 3. lamely	17-O_3C	1	86
Přesun vozíku pro betonáž lamely 4	18-O_F4	5	91
Betonáž lamely 4	19-O_C4	3	94
Přidání lamely 4 do matice tuhosti	20-O_4	0	94
Aktivace závěsů 4. lamely	21-O_4C	1	95
Přesun vozíku pro betonáž lamely 5	22-O_F5	5	100
Betonáž lamely 5	23-O_C5	3	103
Přidání lamely 5 do matice tuhosti	24-O_5	0	103
Aktivace závěsů 5. lamely	25-O_5C	1	104
Přesun vozíku pro betonáž lamely 6	26-O_F6	5	109
Betonáž lamely 6	27-O_C6	3	112
Přidání lamely 6 do matice tuhosti	28-O_6	0	112
Aktivace závěsů 6. lamely	29-O_6C	1	113
Přesun vozíku pro betonáž lamely 7	30-O_F7	5	118
Betonáž lamely 7	31-O_C7	3	121
Přidání lamely 7 do matice tuhosti	32-O_7	0	121
Aktivace závěsů 7. lamely	33-O_7C	1	122
Přesun vozíku pro betonáž lamely 8	34-O_F8	5	127
Betonáž pole 3 a pole 10	35-D2	0	127
Výstavba provizorního pylonu	36-P2_supp	0	127
Betonáž lamely 8	37-O_C8	3	130
Přidání lamely 8 do matice tuhosti	38-O_8	0	130
Aktivace závěsů 8. lamely	39-O_8C	1	131
Přesun vozíku pro betonáž lamely 9	40-O_F9	5	136
Betonáž lamely 9	41-O_C9	3	139
Přidání lamely 9 do matice tuhosti	42-O_9	0	139
Aktivace závěsů 9. lamely	43-O_9C	1	140
Přesun vozíku pro betonáž lamely 10	44-O_F10	5	145
Betonáž lamely 10	45-O_C10	3	148

Fáze	Model	Trvání [den]	Konečný čas [den]
Přidání lamely 10 do matice tuhosti	46-O_10	0	148
Aktivace závěsů 10. lamely	47-O_10C	1	149
Přesun vozíku pro betonáž lamely 11	48-O_F11	5	154
Betonáž lamely 11	49-O_C11	3	157
Přidání lamely 11 do matice tuhosti	50-O_11	0	157
Aktivace závěsů 11. lamely	51-O_11C	1	158
Přesun vozíku pro betonáž lamely 12	52-O_F12	5	163
Betonáž lamely 12	53-O_C12	3	166
Přidání lamely 12 do matice tuhosti	54-O_12	0	166
Aktivace závěsů 12. lamely	55-O_12C	1	167
Přesun vozíku pro betonáž lamely 13	56-O_F13	5	172
Betonáž lamely 13	57-O_C13	3	175
Přidání lamely 13 do matice tuhosti	58-O_13	0	175
Aktivace závěsů 13. lamely	59-O_13C	1	176
Přesun vozíku pro betonáž lamely 14	60-O_F14	5	181
Betonáž lamely 14	61-O_C14	3	184
Přidání lamely 14 do matice tuhosti	62-O_14	0	184
Aktivace závěsů 14. lamely	63-O_14C	1	185
Přesun vozíku pro betonáž lamely 15	64-O_F15	5	190
Betonáž lamely 15	65-O_C15	3	193
Přidání lamely 15 do matice tuhosti	66-O_15	0	193
Aktivace závěsů 15. lamely	67-O_15C	1	194
Přesun vozíku pro betonáž lamely 16	68-O_F16	5	199
Betonáž lamely 16	69-O_C16	3	202
Přidání lamely 16 do matice tuhosti	70-O_16	0	202
Aktivace závěsů 16. lamely - prázdné	71-O_16C	1	203
Přesun vozíku pro betonáž lamely 17	72-O_F17	5	208
Rozepření mezi koncovými lamelami	73-O_F17_jack	0	208
Betonáž spojení oblouku	74-O_C17	3	211
Zmonolitnění oblouku do matice tuhosti	75-O_17	14	225
Betonáž spojovacích krčků nad korunou oblouku	76-Joint	14	239
Odstranění skupiny závěsů lamely 16 - prázdné	77-Cable_min1	1	240
Odstranění skupiny závěsů lamely 15	78-Cable_min2	1	241
Odstranění skupiny závěsů lamely 14	79-Cable_min3	1	242
Odstranění skupiny závěsů lamely 13	80-Cable_min4	0	242
Odstranění skupiny závěsů lamely 12	81-Cable_min5	0	242
Odstranění skupiny závěsů lamely 11	82-Cable_min6	0	242
Odstranění skupiny závěsů lamely 10	83-Cable_min7	0	242
Odstranění skupiny závěsů lamely 9	84-Cable_min8	0	242
Odstranění skupiny závěsů lamely 8	85-Cable_min9	0	242
Zhotovení pilíře nad obloukem (P4, P8)	86-P3	0	242
Zhotovení pilíře nad obloukem (P5, P9)	87-P4	0	242
Posun skruže pro betonáž pole 4	88-SS-F3-A	3	245
Posun skruže pro betonáž pole 9	89-SS-F3-Z	3	248
Betonáž pole 4	90-SS-Fc3-A	3	251
Betonáž pole 9	91-SS-Fc3-Z	3	254
Předepnutí, přidání polí do matice tuhosti	92-D3	2	256
Posun skruže pro betonáž pole 5	93-SS-F4-A	3	259
Posun skruže pro betonáž pole 8	94-SS-F4-Z	3	262
Betonáž pole 5	95-SS-Fc4-A	3	265
Betonáž pole 8	96-SS-Fc4-Z	3	268

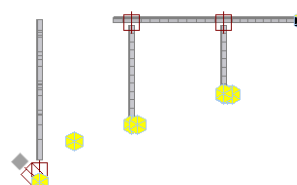
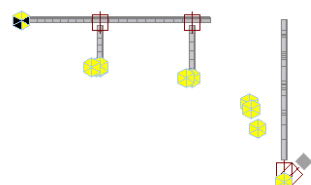
Fáze	Model	Trvání [den]	Konečný čas [den]
Předeprnutí, přidání polí do matice tuhosti	97-D4	2	270
Posun skruže pro betonáž pole 6	98-SS-F5-A	3	273
Posun skruže pro betonáž pole 7	99-SS-F5-Z	3	276
Betonáž pole 6	100-MSS-Fc5-A	3	279
Betonáž pole 7	101-MSS-Fc5-Z	3	282
Předeprnutí, přidání polí do matice tuhosti	102-D5	2	284
Odstranění skruže z pole 7	103-MSS-F5-Z-rem	1	285
Posun skruže nad korunu oblouku	104-MSS-F6-A	3	288
Betonáž pole nad korunou oblouku	105-MSS-Fc6-A	3	291
Přidání pole do matice tuhosti	106-D6	2	293
Odstranění skruže z koruny oblouku	107-MSS-F6-A-rem	1	294
Odstranění skupiny závěsů lamely 7,6,5,4	108-Cable_min4	1	295
Odstranění skupiny závěsů lamely 3,2,1	109-Cable_min5	1	296
Zhotovení říms a vybavení	110-G1_access	14	310
Zhotovení štěrkového lože a svršku	111-G1_wear	30	340
Uvedení do provozu	112-UP	0	340
Provoz	113-Provoz	36200	36540
Konec životnosti	114-INF	0	36540

4.2.4.1 Grafické řešení fází výstavby

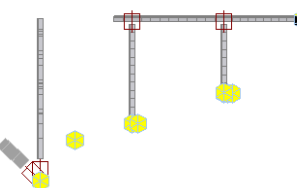
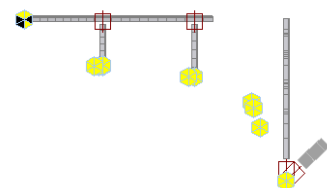
- Pilíře P1, P2, P10, P11, opěry OP1, OP2
- Betonáž pole 1 a pole 12
- Betonáž pole 2 a pole 11
- Pilíř P3 a P9



- Betonáž zárodku oblouku
- Instalace vozíku na zárodek



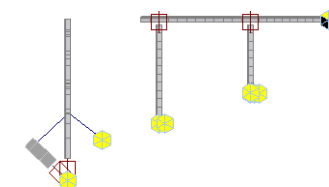
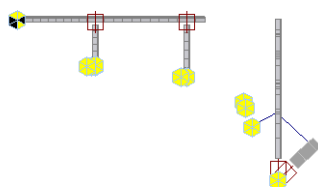
- Betonáž lamely 1
- Přidání lamely 1 do matice tuhosti



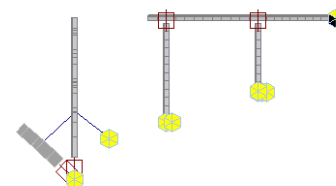
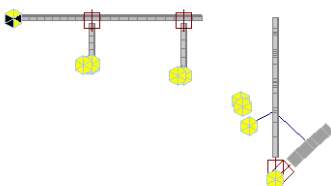
- Aktivace závěsů 1. lamely

10. Přesun vozíku pro betonáž lamely 2

11. Betonáž lamely 2



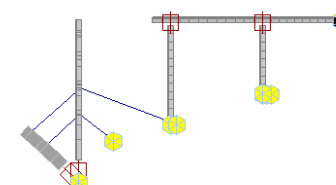
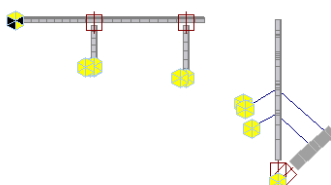
12. Přidání lamely 2 do matice tuhosti



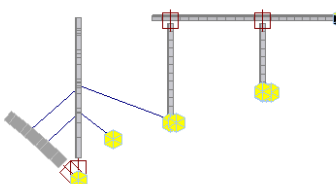
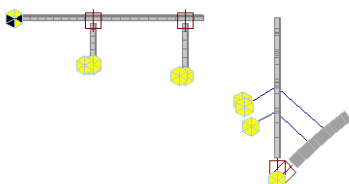
13. Aktivace závěsů 2. lamely

14. Přesun vozíku pro betonáž lamely 3

15. Betonáž lamely 3



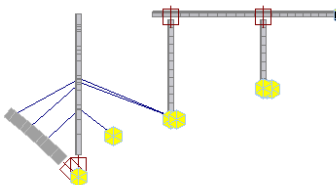
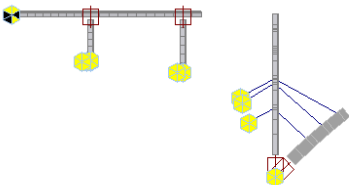
16. Přidání lamely 3 do matice tuhosti



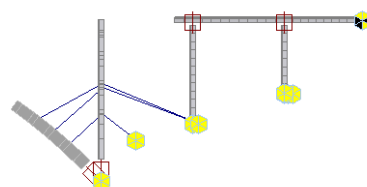
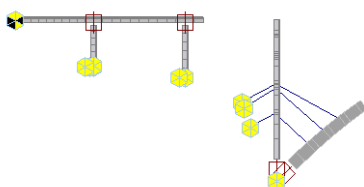
17. Aktivace závěsů 3. lamely

18. Přesun vozíku pro betonáž lamely 4

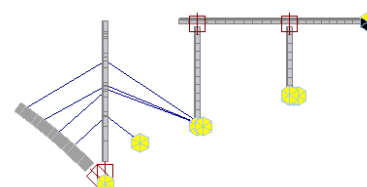
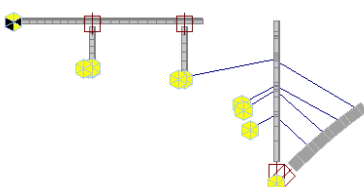
19. Betonáž lamely 4



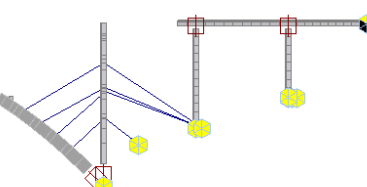
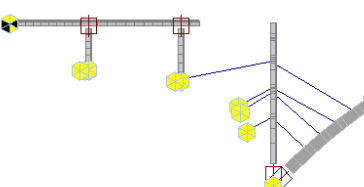
20. Přidání lamely 4 do matice tuhosti



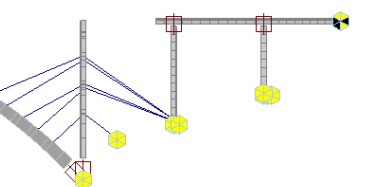
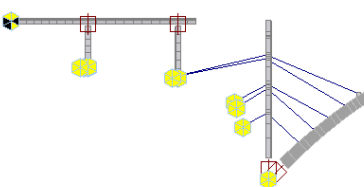
- 21. Aktivace závěsů 4. lamely
- 22. Přesun vozíku pro betonáž lamely 5
- 23. Betonáž lamely 5



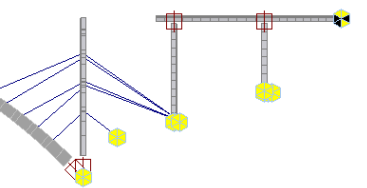
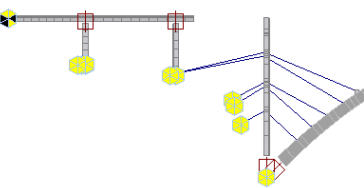
- 24. Přidání lamely 5 do matice tuhosti



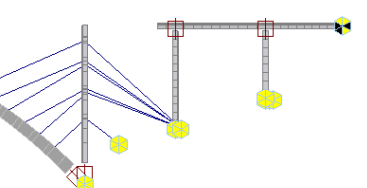
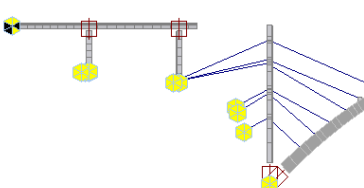
- 25. Aktivace závěsů 5. lamely
- 26. Přesun vozíku pro betonáž lamely 6
- 27. Betonáž lamely 6



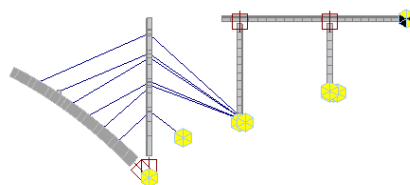
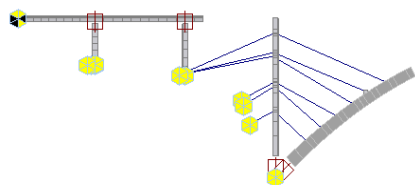
- 28. Přidání lamely 6 do matice tuhosti



- 29. Aktivace závěsů 6. lamely
- 30. Přesun vozíku pro betonáž lamely 7
- 31. Betonáž lamely 7

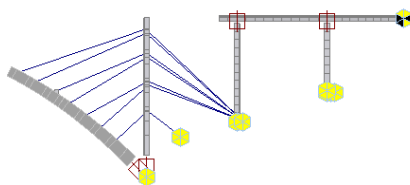
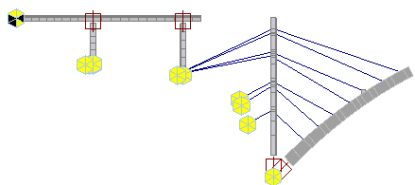


- 32. Přidání lamely 7 do matice tuhosti



33. Aktivace závěsů 7. lamely

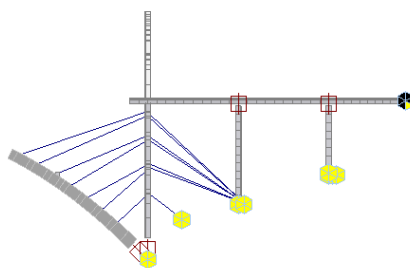
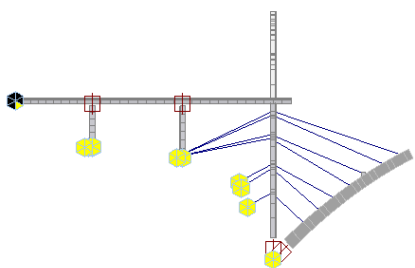
34. Přesun vozíku pro betonáž lamely 8



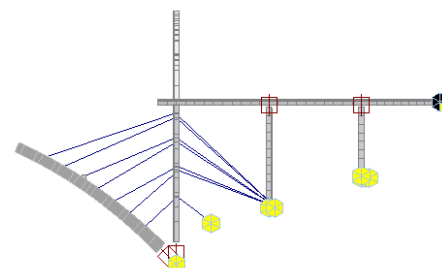
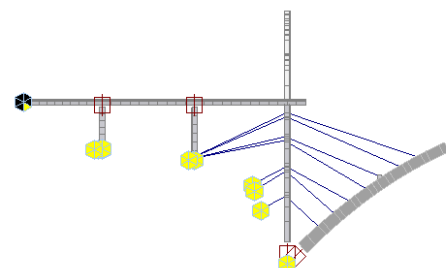
35. Betonáž pole 3 a pole 10

36. Výstavba provizorního pylonu

37. Betonáž lamely 8



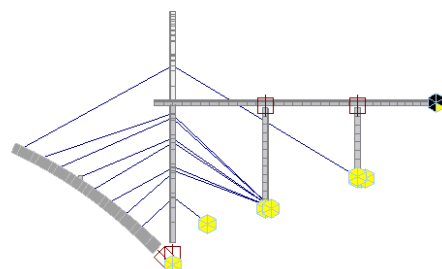
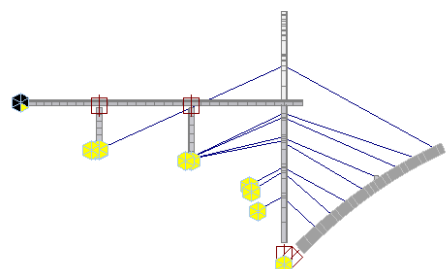
38. Přidání lamely 8 do matice tuhosti



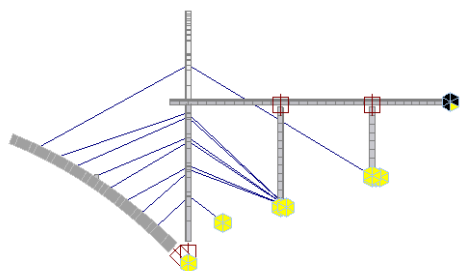
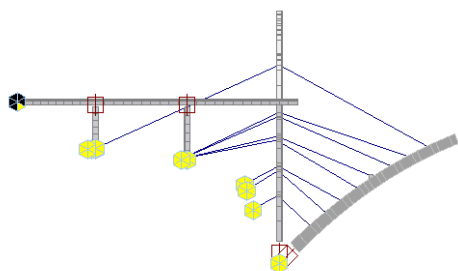
39. Aktivace závěsů 8. lamely

40. Přesun vozíku pro betonáž lamely 9

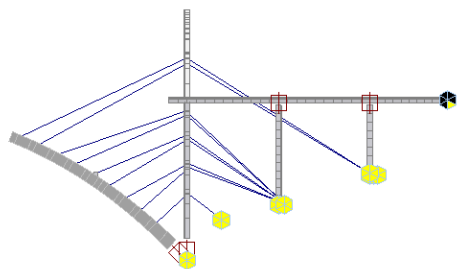
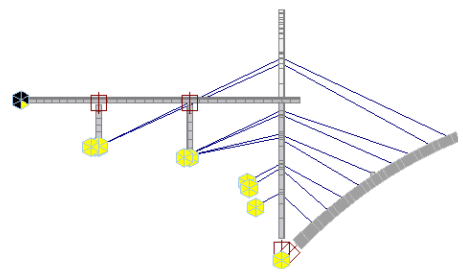
41. Betonáž lamely 9



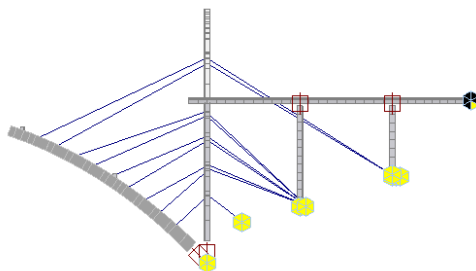
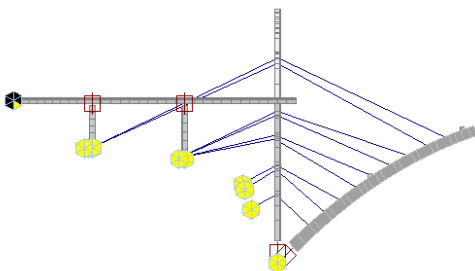
42. Přidání lamely 9 do matice tuhosti



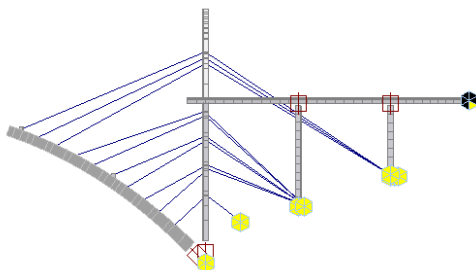
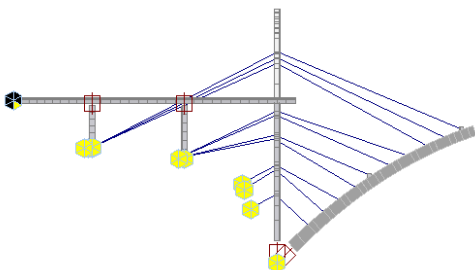
- 43. Aktivace závěsů 9. lamely
- 44. Přesun vozíku pro betonáž lamely 10
- 45. Betonáž lamely 10



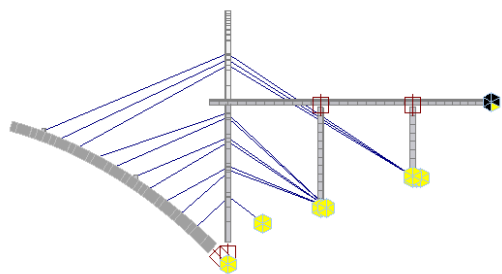
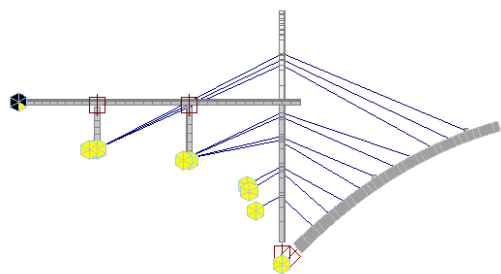
- 46. Přidání lamely 10 do matice tuhosti



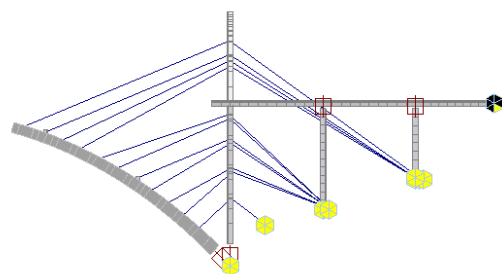
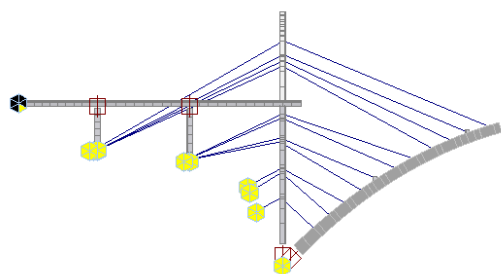
- 47. Aktivace závěsů 10. lamely
- 48. Přesun vozíku pro betonáž lamely 11
- 49. Betonáž lamely 11



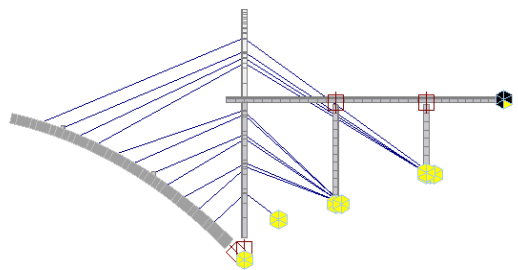
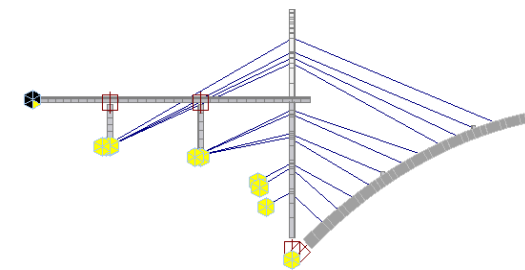
- 50. Přidání lamely 11 do matice tuhosti



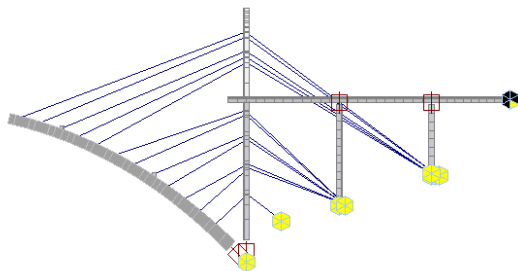
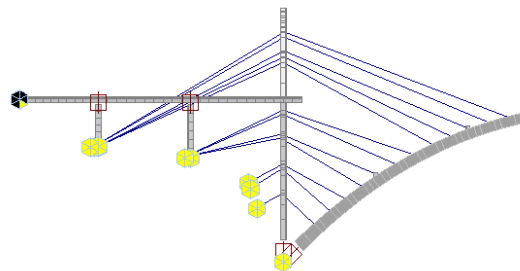
- 51. Aktivace závěsů 11. lamely
- 52. Přesun vozíku pro betonáž lamely 12
- 53. Betonáž lamely 12



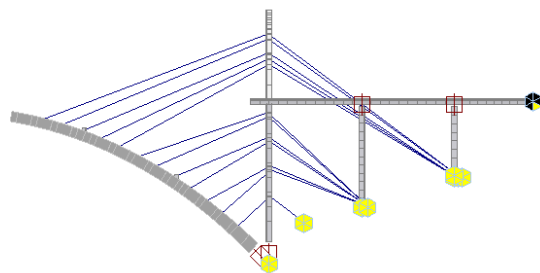
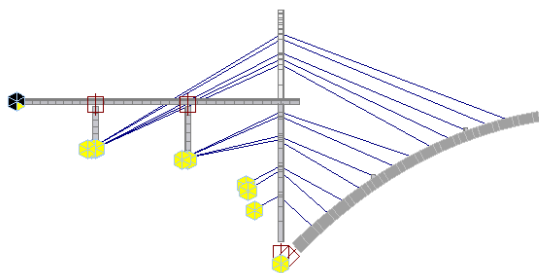
- 54. Přidání lamely 12 do matice tuhosti



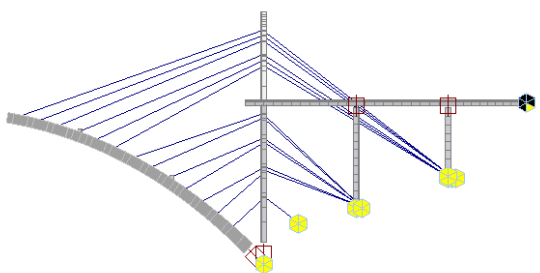
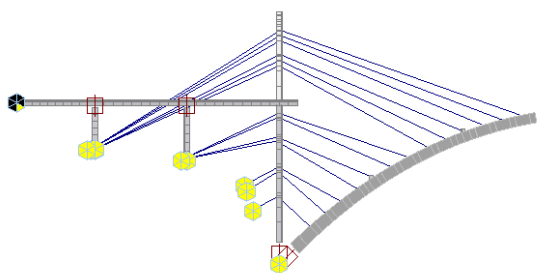
- 55. Aktivace závěsů 12. lamely
- 56. Přesun vozíku pro betonáž lamely 13
- 57. Betonáž lamely 13



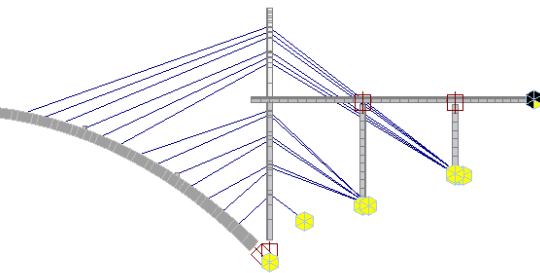
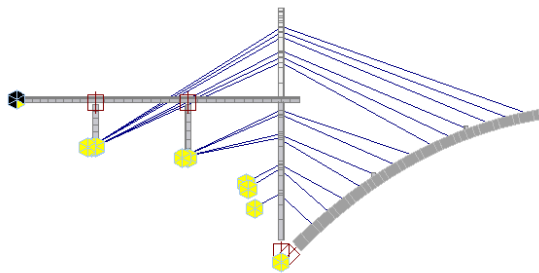
- 58. Přidání lamely 13 do matice tuhosti



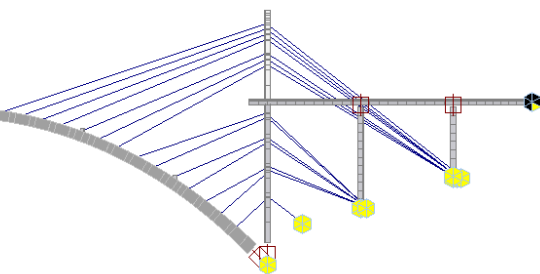
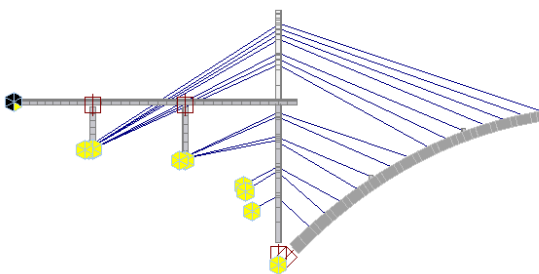
- 59. Aktivace závěsů 13. lamely
- 60. Přesun vozíku pro betonáž lamely 14
- 61. Betonáž lamely 14



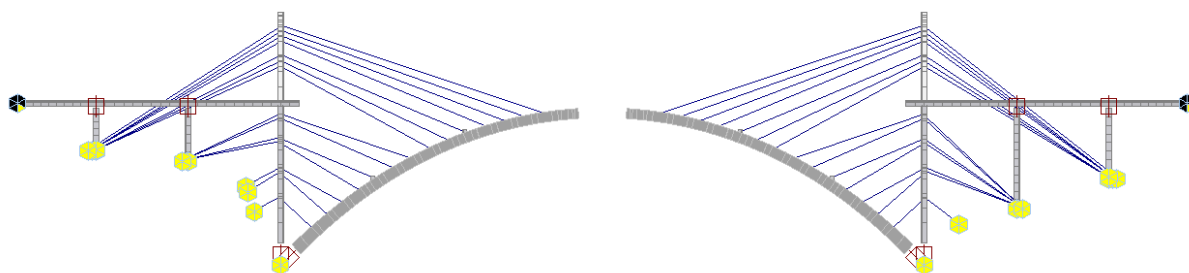
- 62. Přidání lamely 14 do matice tuhosti



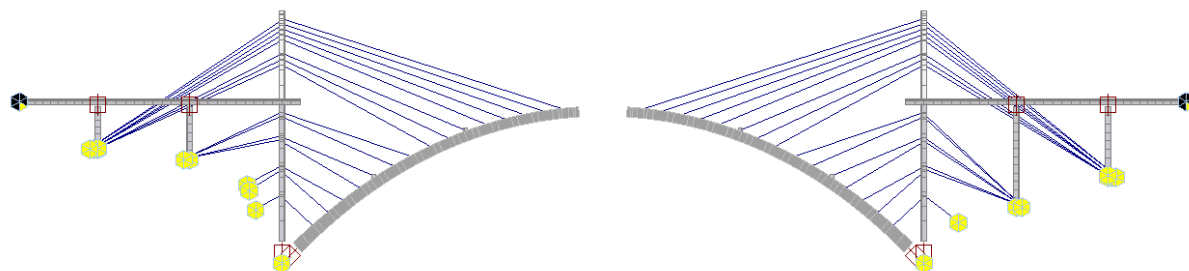
- 63. Aktivace závěsů 14. lamely
- 64. Přesun vozíku pro betonáž lamely 15
- 65. Betonáž lamely 15



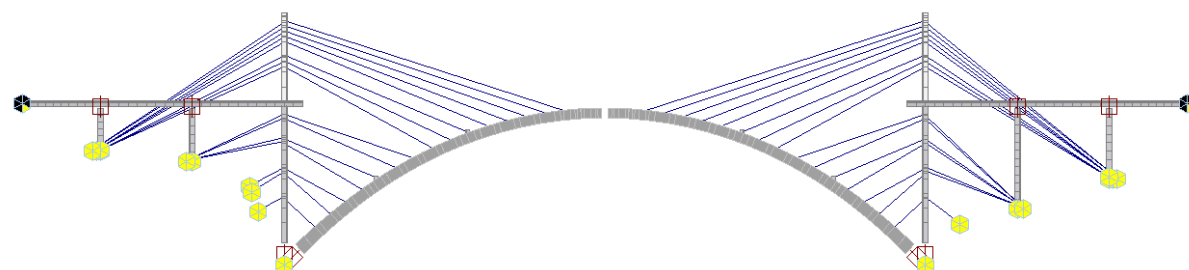
- 66. Přidání lamely 15 do matice tuhosti



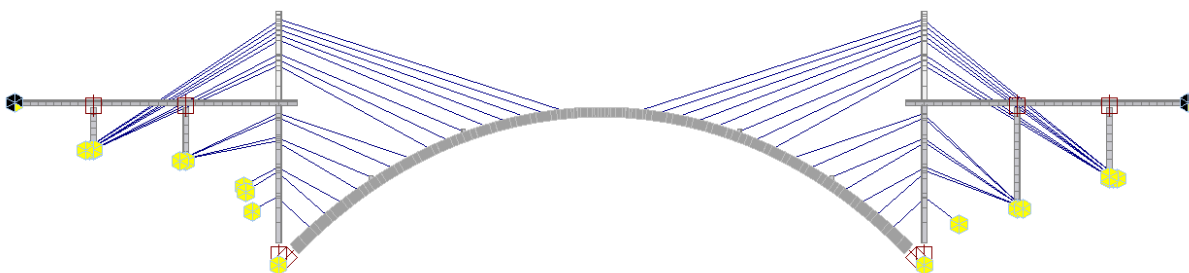
- 67. Aktivace závěsů 15. lamely
- 68. Přesun vozíku pro betonáž lamely 16
- 69. Betonáž lamely 16



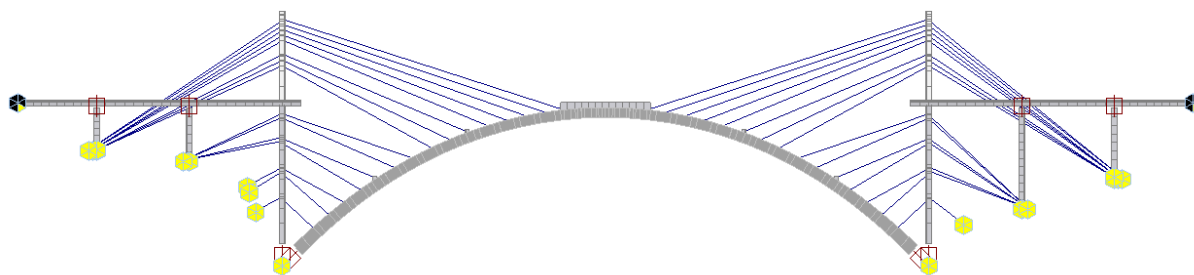
- 70. Přidání lamely 16 do matice tuhosti
- 71. Aktivace závěsů 16. lamely – prázdné
- 72. Přesun vozíku pro betonáž lamely 17
- 73. Rozepření mezi koncovými lamelami
- 74. Betonáž spojení oblouku



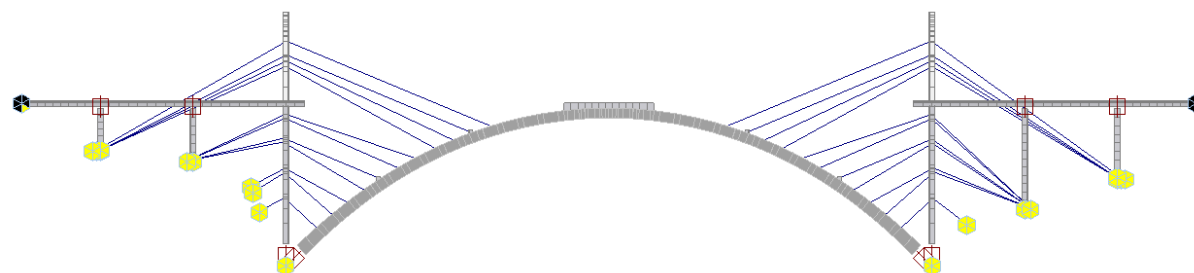
- 75. Zmonolitnění oblouku do matice tuhosti



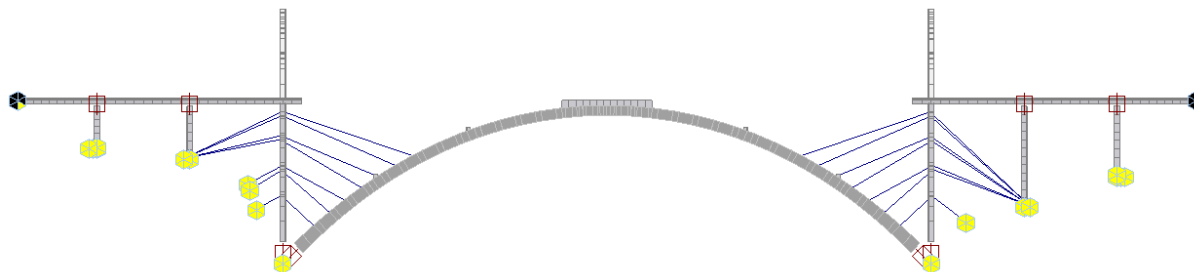
- 76. Betonáž spojovacích krčků nad korunou oblouku



- 77. Odstranění skupiny závěsů lamely 16 - prázdné
- 78. Odstranění skupiny závěsů lamely 15
- 79. Odstranění skupiny závěsů lamely 14
- 80. Odstranění skupiny závěsů lamely 13
- 81. Odstranění skupiny závěsů lamely 12



- 82. Odstranění skupiny závěsů lamely 11
- 83. Odstranění skupiny závěsů lamely 10
- 84. Odstranění skupiny závěsů lamely 9
- 85. Odstranění skupiny závěsů lamely 8



- 86. Zhotovení pilíře nad obloukem (P4, P8)

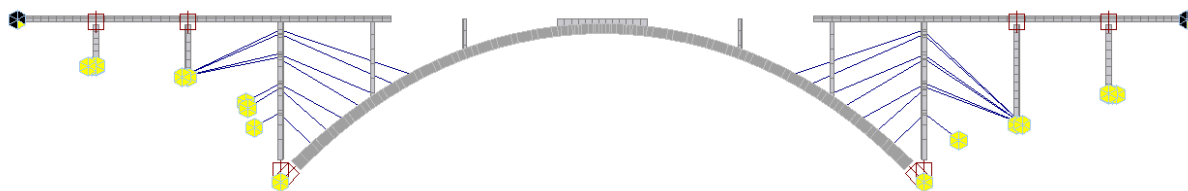


- 87. Zhotovení pilíře nad obloukem (P5, P9)



- 88. Posun skruže pro betonáž pole 4
- 89. Posun skruže pro betonáž pole 9

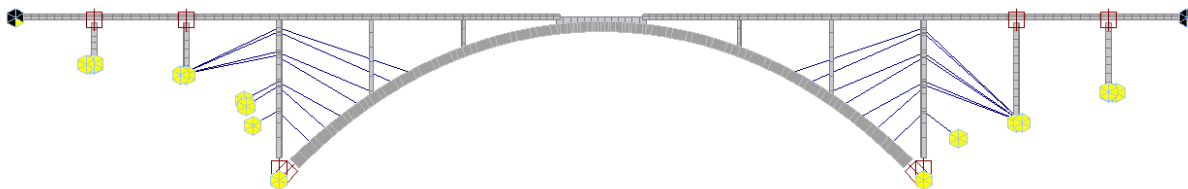
- 90. Betonáž pole 4
- 91. Betonáž pole 9
- 92. Předepnutí, přidání polí do matice tuhosti



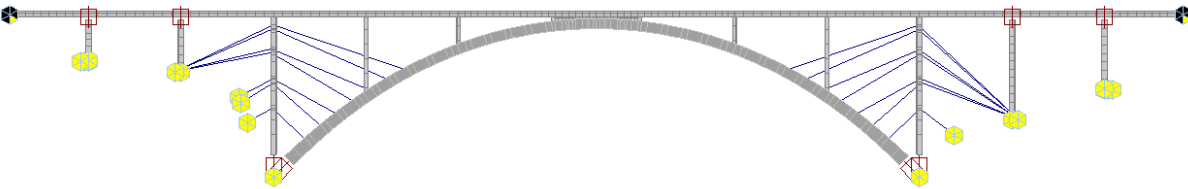
- 93. Posun skruže pro betonáž pole 5
- 94. Posun skruže pro betonáž pole 8
- 95. Betonáž pole 5
- 96. Betonáž pole 8
- 97. Předepnutí, přidání polí do matice tuhosti



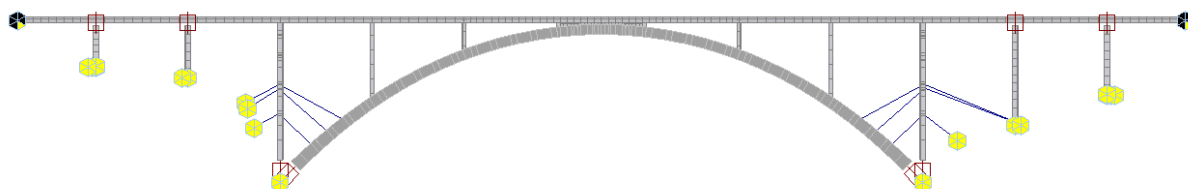
- 98. Posun skruže pro betonáž pole 6
- 99. Posun skruže pro betonáž pole 7
- 100. Betonáž pole 6
- 101. Betonáž pole 7
- 102. Předepnutí, přidání polí do matice tuhosti



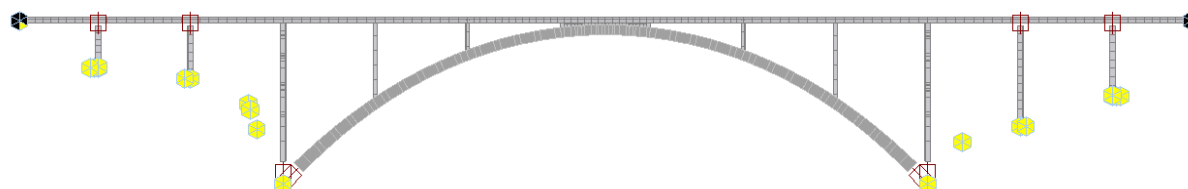
- 103. Odstranění skruže z pole 7
- 104. Posun skruže nad korunu oblouku
- 105. Betonáž pole nad korunou oblouku
- 106. Přidání pole do matice tuhosti



- 107. Odstranění skruže z koruny oblouku
- 108. Odstranění skupiny závěsů lamely 7,6,5,4



109. Odstranění skupiny závěsů lamely 3,2,1



110. Zhotovení říms a vybavení

111. Zhotovení štěrkového lože a svršku

112. Uvedení do provozu

113. Provoz

114. Konec životnosti

5 Mostovka

5.1 Posouzení nosné konstrukce v podélném směru

S ohledem na rozsah výpočetních dat byly pro podrobné posouzení v rámci tohoto dokumentu zvoleny reprezentativní části konstrukce:

- 1. pole (rozpětí 20,0 m)
- 4. pole (rozpětí 23,5 m) – první pole nad obloukem
- 6. pole (rozpětí ~24,0 m) – pole navazující na zmonolitnění s obloukem
- 7. pole (rozpětí 22,0 m) – pole nad spojujícím krčkem

5.1.1 Schéma vedení kabelů

Do nosné konstrukce je navrženo celkem 8 ks 15-ti lanových kabelů Y1860-15,7-A. Vedení kabelů je definováno kružnicemi. Kabely jsou napínány pouze z jedné strany, vždy z konce pracovního taktu. V krajních polích jsou napnuty 2 kabely, následně v každém dalším poli jsou napnuty 2 kabely průběžné přes dvě pole (n-1, n). Poslední předpjatá pole uprostřed mostu jsou kromě dvou spojitých kabelů dopnuty 2 kabely pro tato pole). Podrobná geometrie kabelů viz příslušná výkresová část.

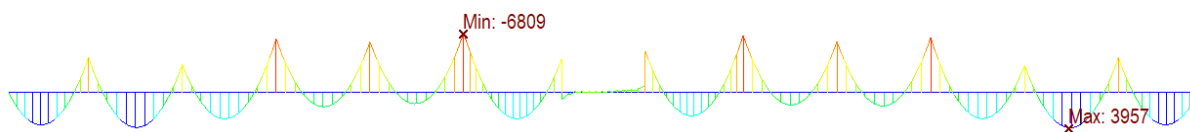
Polygon kabelu je pro účely statického výpočtu tabelizován. Počátek kabelu je uvažován v pracovní spáře ve vzdálenosti L/5 od osy uložení. Svislá pořadnice je uvažována od horního povrchu NK. Kabely jsou uvedeny s příčnou pořadnicí pro ideální kabel levého trámu. Vedení v pravém trámu je identické.

GEOMETRIE KABELU PŘEDPĚTÍ - 1. pole					GEOMETRIE KABELU PŘEDPĚTÍ - 6. pole				
# lomu polygonu	X [m]	Y [m]	Z [m]	R [m]	# lomu polygonu	X [m]	Y [m]	Z [m]	R [m]
1	0.000	1.550	-0.521	0.000	1	0.000	1.550	-0.919	0.000
2	5.500	1.550	-1.174	50.000	2	2.800	1.550	-1.174	20.000
3	13.000	1.550	-1.174	50.000	3	10.800	1.550	-1.174	50.000
4	19.000	1.550	-0.450	10.000	4	19.800	1.550	-0.400	0.000
5	21.000	1.550	-0.450	10.000					
7	24.700	1.550	-0.919	0.000					
GEOMETRIE KABELU PŘEDPĚTÍ - 1.+2. pole					GEOMETRIE KABELU PŘEDPĚTÍ - 2xpole dl. 23.5 m				
# lomu polygonu	X [m]	Y [m]	Z [m]	R [m]	# lomu polygonu	X [m]	Y [m]	Z [m]	R [m]
1	0.000	1.550	-0.521	0.000	1	0.000	1.550	-0.919	0.000
2	5.500	1.550	-1.174	20.000	2	2.800	1.550	-1.274	20.000
3	13.000	1.550	-1.174	50.000	3	10.800	1.550	-1.274	50.000
4	19.000	1.550	-0.450	10.000	4	17.800	1.550	-0.450	10.000
5	21.000	1.550	-0.450	10.000	5	19.800	1.550	-0.450	10.000
6	27.500	1.550	-1.274	50.000	6	26.300	1.550	-1.274	50.000
7	35.500	1.550	-1.274	50.000	7	34.300	1.550	-1.274	50.000
8	42.500	1.550	-0.450	10.000	8	41.300	1.550	-0.450	10.000
9	44.500	1.550	-0.450	10.000	9	43.300	1.550	-0.450	10.000
10	48.200	1.550	-0.919	0.000	10	47.000	1.550	-0.919	0.000
GEOMETRIE KABELU PŘEDPĚTÍ - 5.+6. pole									
# lomu polygonu	X [m]	Y [m]	Z [m]	R [m]					
1	0.000	1.550	-0.919	0.000					
2	2.800	1.550	-1.274	20.000					
3	10.800	1.550	-1.274	50.000					
4	17.800	1.550	-0.450	10.000					
5	19.800	1.550	-0.450	10.000					
6	26.300	1.550	-1.174	50.000					
7	34.300	1.550	-1.174	50.000					
8	43.300	1.550	-0.400	0.000					

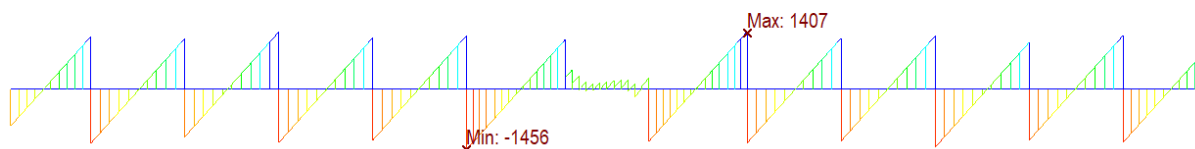
5.1.2 Vnitřní síly

Vnitřní síly jsou uvedeny pro náhradní prut v ose uložení nosné konstrukce. Reologie je řešena programem MIDAS Civil automaticky.

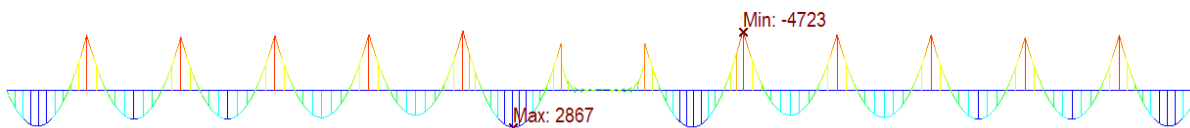
Vlastní tíha – G0 – M_y [kNm]



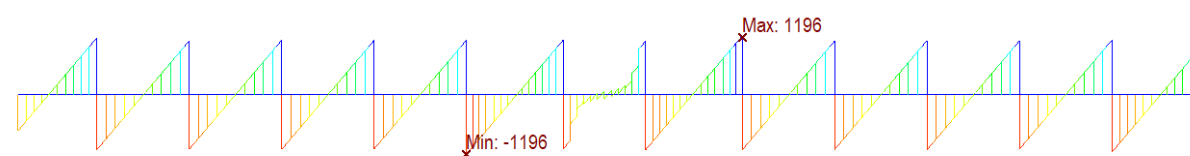
Vlastní tíha – G0 – V_z [kN]



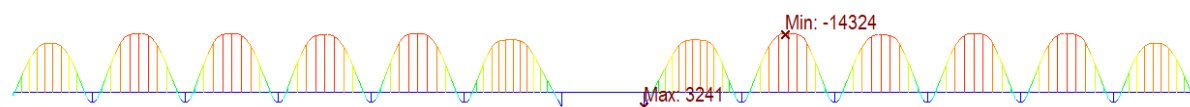
Ostatní stáje (střední hodnota) – G1 – M_y [kNm]



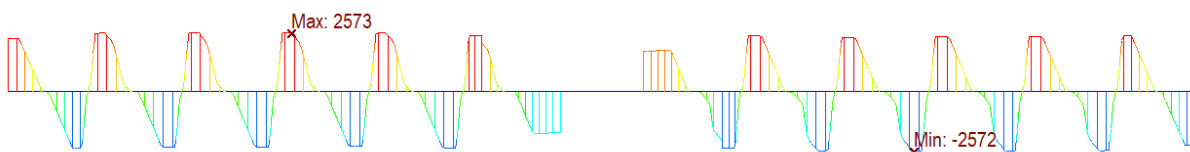
Ostatní stáje (střední hodnota) – G1 – V_z [kN]



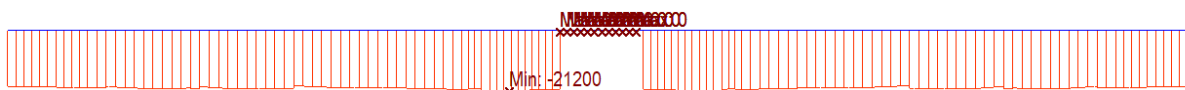
Předpětí – primární účinek (t = 36 500) – P – M_y [kNm]



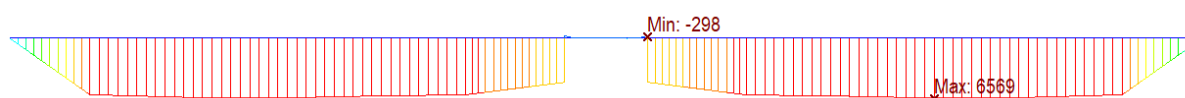
Předpětí – primární účinek (t = 36 500) – P – V_z [kN]



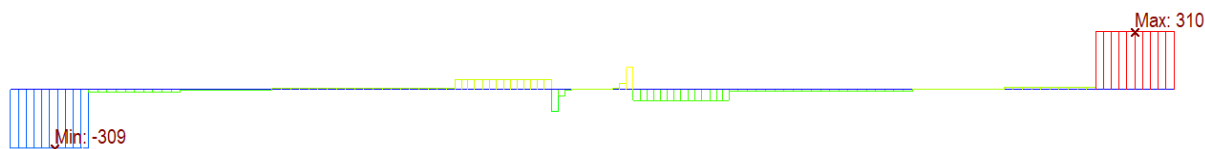
Předpětí – primární účinek (t = 36 500) – P – N_x [kN]



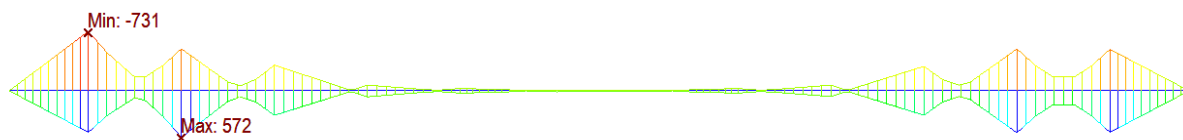
Předpětí – sekundární účinek (t = 36 500) – P – M_y [kNm]



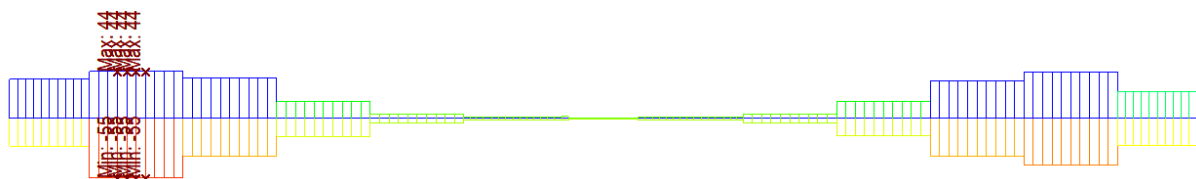
Předpětí – sekundární účinek ($t = 36\,500$) – $P - V_z$ [kN]



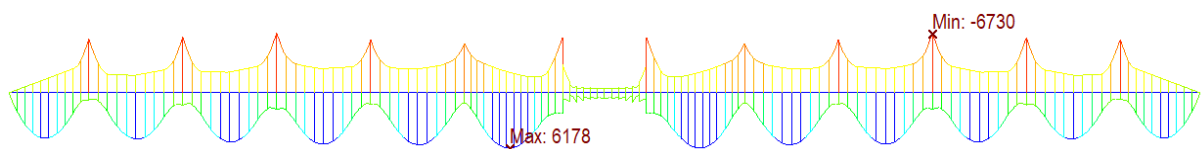
Nerovnoměrné sedání (obálka) – $S - M_y$ [kNm]



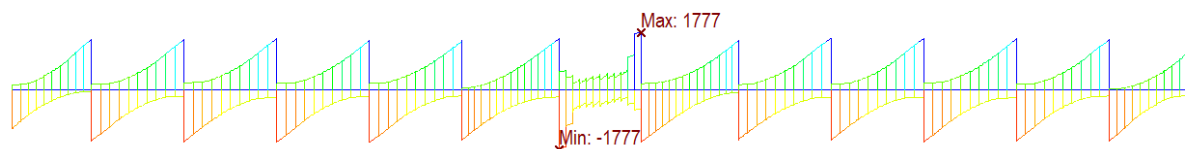
Nerovnoměrné sedání (obálka) – $S - V_z$ [kN]



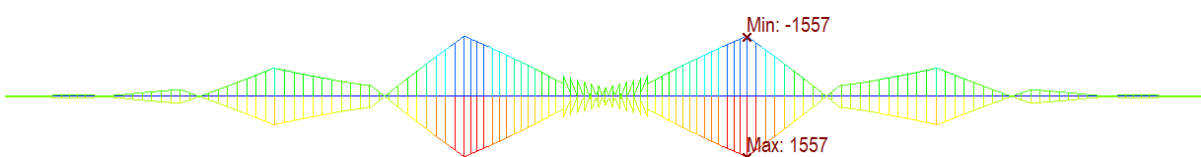
Svislé dopravní zatížení (obálka char. LM71 / SW/0) – $MVL - M_y$ [kNm]



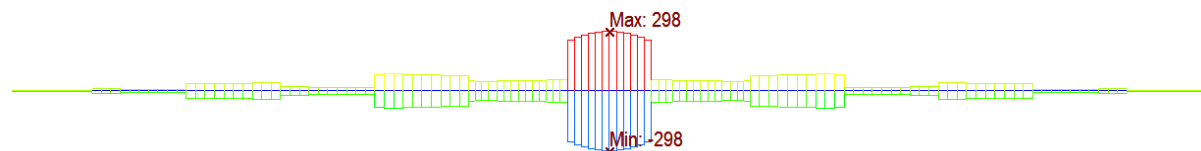
Svislé dopravní zatížení (obálka LM71 / SW/0) – $MVL - V_z$ [kN]



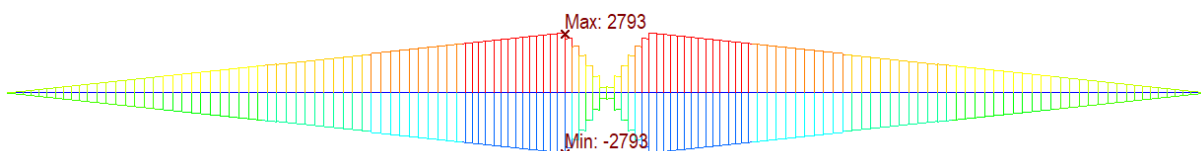
Vodorovné dopravní zatížení (brzdné síly) – $BRK - M_y$ [kNm]



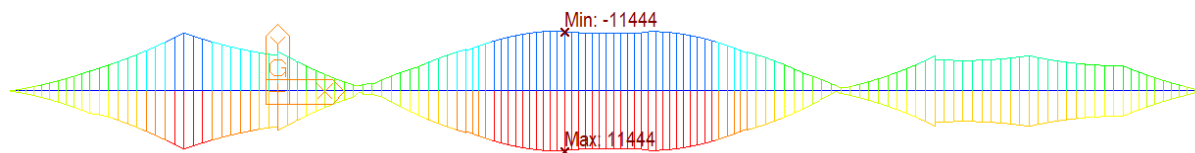
Vodorovné dopravní zatížení (brzdné síly) – $BRK - V_z$ [kN]



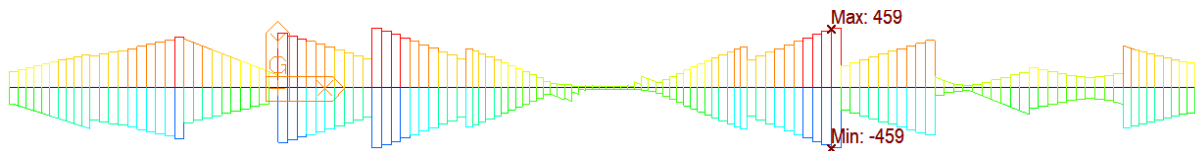
Vodorovné dopravní zatížení (brzdné síly) – $BRK - N_x$ [kN]



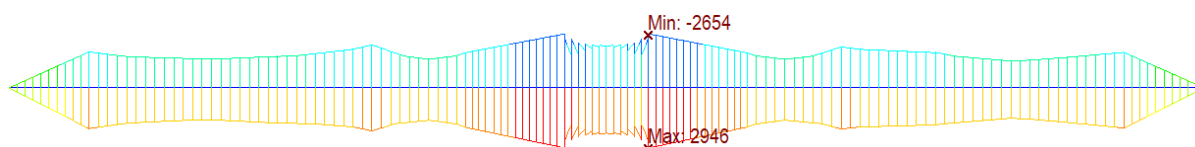
Vítr – W – M_z [kNm]



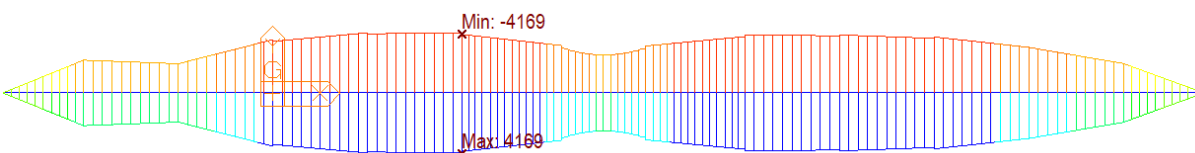
Vítr – W – V_y [kN]



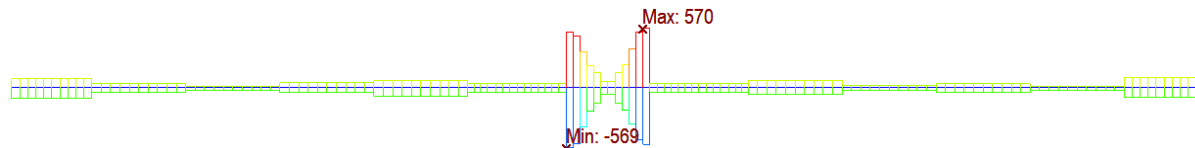
Rovnoměrná teplota včetně účinků lineárních spádů teploty – T – M_y [kNm]



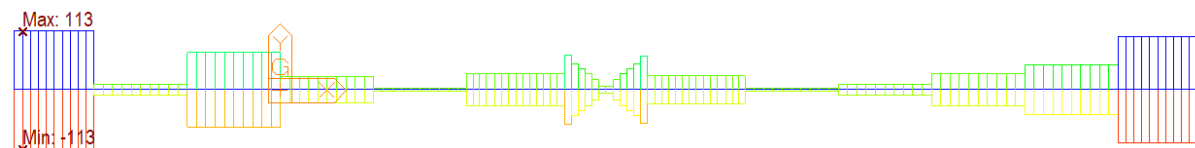
Rovnoměrná teplota včetně účinků lineárních spádů teploty – T – M_z [kNm]



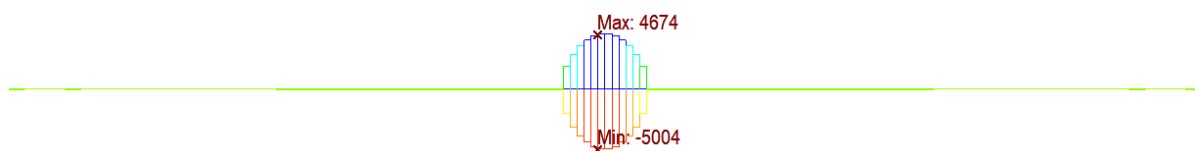
Rovnoměrná teplota včetně účinků lineárních spádů teploty – T – V_z [kN]



Rovnoměrná teplota včetně účinků lineárních spádů teploty – T – V_y [kN]



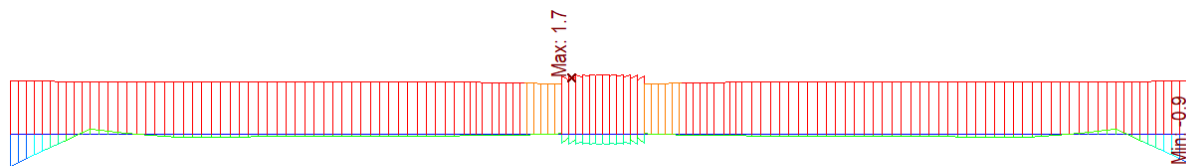
Rovnoměrná teplota včetně účinků lineárních spádů teploty – T – N_x [kN]



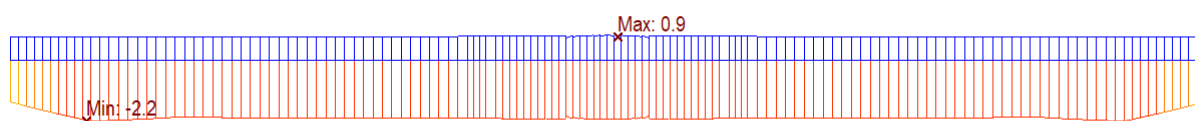
Nerovnoměrná teplota – T

Účinky nerovnoměrné teploty jsou uvedeny v napětích s ohledem na nutnost zohlednit primární i sekundární účinky tohoto typu zatížení. Pro posouzení mezních stavů použitelnosti budou zohledněna hranová napětí.

Teplota (obálka) – T – (dolní vlákna) [MPa]



Teplota (obálka) – T – (horní vlákna) [MPa]



5.1.3 Mezní stav použitelnosti – omezení napětí

S ohledem na ČSN EN 1992-1-1 a ČSN EN 1992-2 je nutno uvažovat omezení napětí v materiálech:

- | | | |
|----------------------------|--|----------------------------|
| - betonu v tlaku | $\sigma_{cc} = k_1 \cdot f_{ck}(t) = 0,6 f_{ck}(t)$ | charakteristická kombinace |
| | $\sigma_{cc} = k_2 \cdot f_{ck}(t) = 0,45 f_{ck}(t)$ | kvazistálá kombinace |
| - betonářská výztuž v tahu | $\sigma_s = k_3 \cdot f_{yk} = 0,8 f_{yk}$ | charakteristická kombinace |
| - předpínací výztuž | $\sigma_p = k_5 \cdot f_{pk} = 0,75 f_{pk}$ | charakteristická kombinace |

V případě posouzení betonu je navíc nutno zohlednit vliv raného stáří betonu do 28 dnů. S ohledem na tyto požadavky je možné stanovit kritické časy a průřezy, které je nutno posoudit na omezení napětí.

Pro posuzovanou nosnou konstrukci byly vybrány následující průřezy a časy posouzení:

- V čase předepnutí konstrukce
 - ověření lineárního dotvarování - předpoklad působení pouze vlastní tíhy betonu a maximální předpínací síly současně s nízkou tlakovou pevností betonu při předpínání (t=7 dní).
- V čase uvedení do provozu
 - ověření dekomprese a omezení napětí pro kvazistálou kombinaci
 - ověření šířky trhliny pro častou kombinaci
 - ověření omezení napětí pro charakteristickou kombinaci
- Na konci životnosti
 - ověření dekomprese a omezení napětí pro kvazistálou kombinaci
 - ověření šířky trhliny pro častou kombinaci
 - ověření omezení napětí pro charakteristickou kombinaci

5.1.3.1 Časový vývoj materiálových vlastností betonu

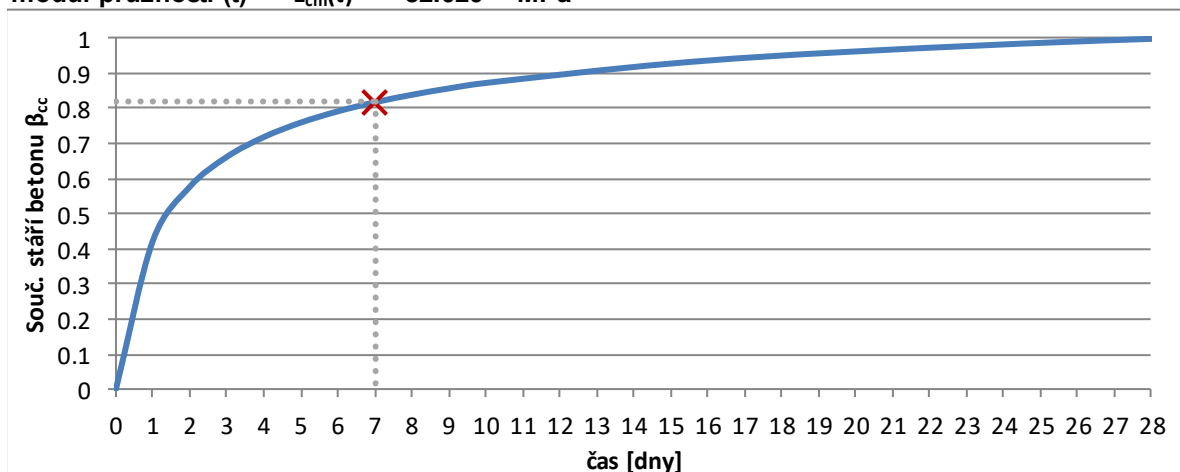
Materiálové vlastnosti byly stanoveny pro časy dle jednotlivých fází výstavby. Fáze posuzované za provozu jsou předpokládány s časem $t > 28$ dní a je pro ně možné využít normové charakteristiky.

Základní informace o materiálu

beton:	C35/45	druh cementu:	CEM 42.5 R, CEM 52.5 N, CEM 52.5 R (třída R)				
válcová pevnost:	$f_{ck}=$	35.00	MPa	krychelná pevnost:	$f_{ck,cube}=$	45.00	MPa
průměrná válcová p.:	$f_{cm}=$	43.00	MPa	průměrná tah. p.:	$f_{ctm}=$	3.20	MPa
5% kvantil tah. p.:	$f_{ctk,0,05}=$	2.20	MPa	95% kvantil tah. p.:	$f_{ctk,0,95}=$	4.20	MPa
modul pružnosti:	$E_{cm}=$	34.00	GPa	exponent:	$n=$	2.00	-
mezní přetvoření:	$\epsilon_{cu1}=$	3.50	$\cdot 10^{-3}$	přetvoření při f_{ck}	$\epsilon_{c1}=$	2.20	$\cdot 10^{-3}$
mezní přetvoření:	$\epsilon_{cu2}=$	3.50	$\cdot 10^{-3}$	přetvoření při f_{ck}	$\epsilon_{c2}=$	2.00	$\cdot 10^{-3}$
mezní přetvoření:	$\epsilon_{cu3}=$	3.50	$\cdot 10^{-3}$	přetvoření při f_{ck}	$\epsilon_{c3}=$	1.75	$\cdot 10^{-3}$

Vývoj pevnosti v čase

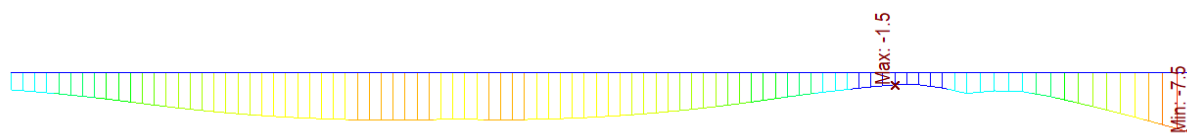
řešený čas:	$t = 7.00$	[dny]	koefficient druhu cem.:	$s = 0.20$	-
souč. stáří betonu:	$\beta_{cc}(t) = 0.819$	-	prům. pevnost v čase t:	$f_{cm}(t) = 35.205$	MPa
tah. pevnost v čase t	$f_{ctk,0,05} = 1.834$	MPa	válc. pevnost v čase t	$f_{ck}(t) = 27.205$	MPa
modul pružnosti (t)	$E_{cm}(t) = 32.020$	MPa			



5.1.3.2 Ověření stanovených požadavků na omezení napětí – lineární dotvarování

Výsledky ověření lineárního dotvarování v čase předepnutí konstrukce bude s ohledem symetričností konstrukce uvedeno pouze pro polovinu mostovky.

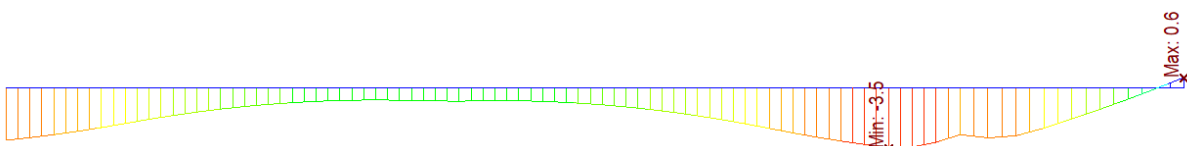
1. pole po předepnutí (t=7dní) – dolní vlákna



$$\sigma_{cc} = -7,2 < 0,45 \cdot 27,21 = 12,24$$

$$\sigma_{ct} = -1,5 < f_{ctk,0,05} = 1,83$$

– horní vlákna

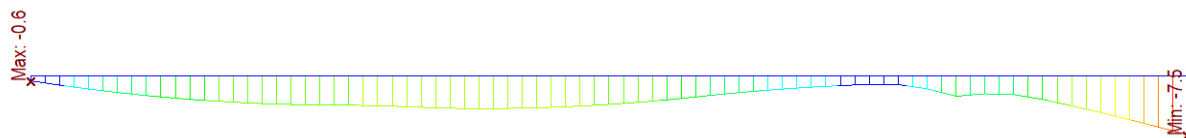


$$\sigma_{cc} = -3,5 < 0,45 \cdot 27,21 = 12,24$$

$$\sigma_{ct} = 0,6 < f_{ctk,0,05} = 1,83$$

Vyhovuje

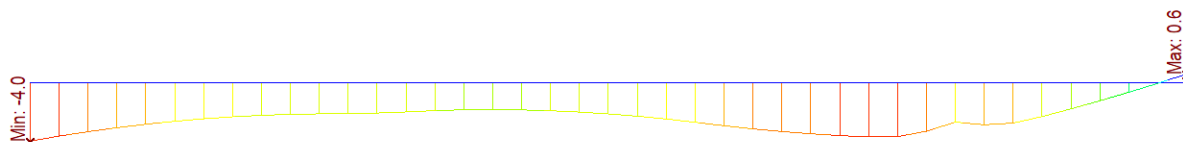
2. pole po předeptnutí (t=7dní) – dolní vlákna



$$\sigma_{cc} = -7,1 < 0,45 \cdot 27,21 = 12,24$$

$$\sigma_{ct} = -0,2 < f_{ctk,0,05} = 1,83$$

– horní vlákna

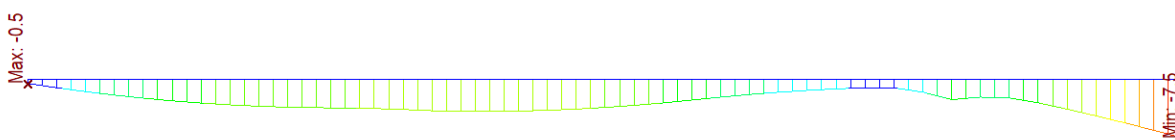


$$\sigma_{cc} = -4,2 < 0,45 \cdot 27,21 = 12,24$$

$$\sigma_{ct} = 0,4 < f_{ctk,0,05} = 1,83$$

Vyhovuje

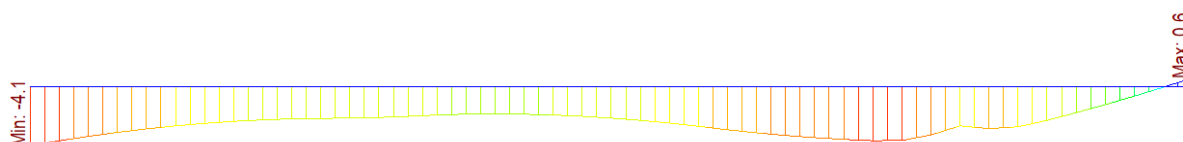
3. pole po předeptnutí (t=7dní) – dolní vlákna



$$\sigma_{cc} = -7,1 < 0,45 \cdot 27,21 = 12,24$$

$$\sigma_{ct} = -0,1 < f_{ctk,0,05} = 1,83$$

– horní vlákna

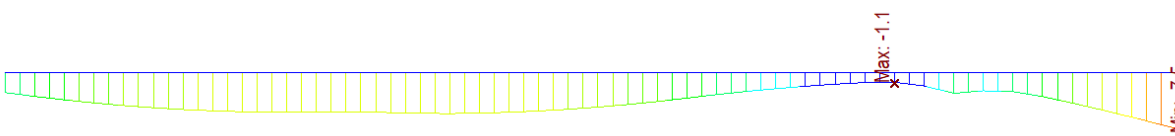


$$\sigma_{cc} = -4,3 < 0,45 \cdot 27,21 = 12,24$$

$$\sigma_{ct} = 0,4 < f_{ctk,0,05} = 1,83$$

Vyhovuje

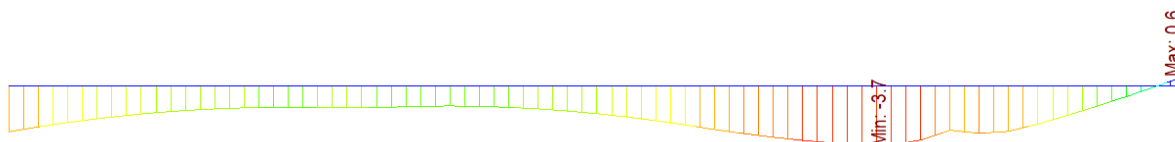
4. a 5. pole po předeptnutí (t=7dní) – dolní vlákna



$$\sigma_{cc} = -7,1 < 0,45 \cdot 27,21 = 12,24$$

$$\sigma_{ct} = -1,2 < f_{ctk,0,05} = 1,83$$

– horní vlákna

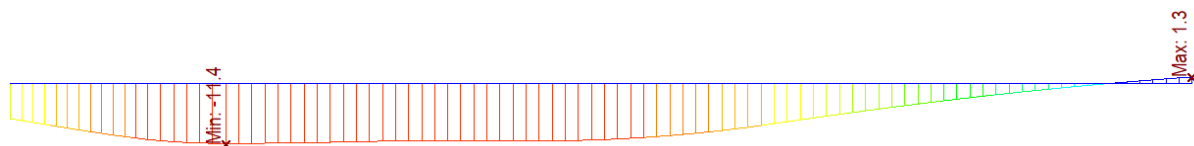


$$\sigma_{cc} = -3,6 < 0,45 \cdot 27,21 = 12,24$$

$$\sigma_{ct} = 0,4 < f_{ctk,0,05} = 1,83$$

Vyhovuje

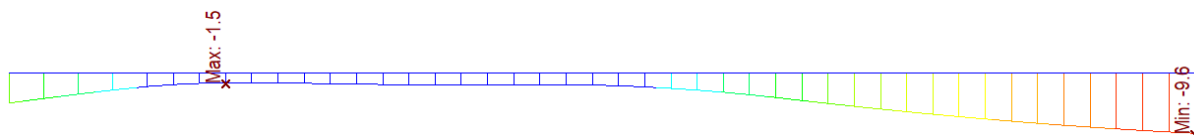
6. pole po předepnutí (t=7dní) – dolní vlákna



$$\sigma_{cc} = -11,9 < 0,45 \cdot 27,21 = 12,24$$

$$\sigma_{ct} = 0,4 < f_{ctk,0,05} = 1,83$$

– horní vlákna



$$\sigma_{cc} = -8,9 < 0,45 \cdot 27,21 = 12,24$$

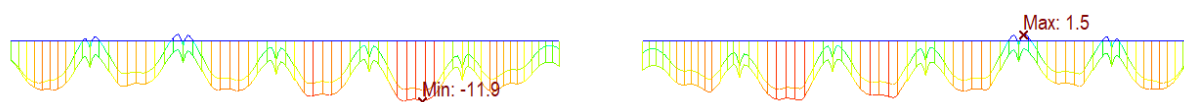
$$\sigma_{ct} = -1,0 < f_{ctk,0,05} = 1,83$$

Vyhovuje

Požadavek na omezení napětí pro možnost uvažování lineárního dotvarování je splněn. V žádném řezu nosné konstrukce nedochází k překročení mezního tlakového napětí. Tahová napětí nepřevyšují v čase vypočtený 5% kvantil tahové pevnosti a je možné předpokládat, že v rámci fázovaného předpínání nebudou vznikat trhliny.

5.1.3.3 Ověření stanovených požadavků na omezení napětí – uvedení do provozu

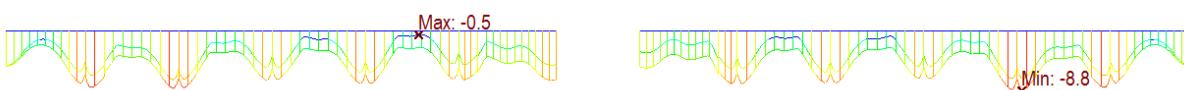
V čase uvedení do provozu (kvazi) – dolní vlákna



$$\sigma_{cc} = -11,9 < 0,45 \cdot 35,0 = 15,75$$

$$\sigma_{ct} = 1,5 < 0 \text{ Tahy budou sníženy bet. výztuží}$$

– horní vlákna

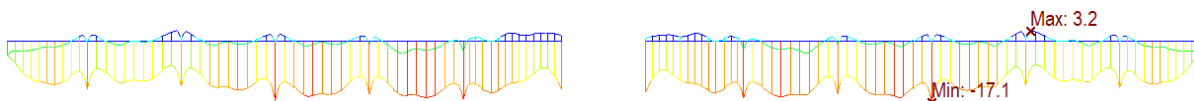


$$\sigma_{cc} = -8,8 < 0,45 \cdot 35,0 = 15,75$$

$$\sigma_{ct} = -0,5 < 0$$

Vyhovuje

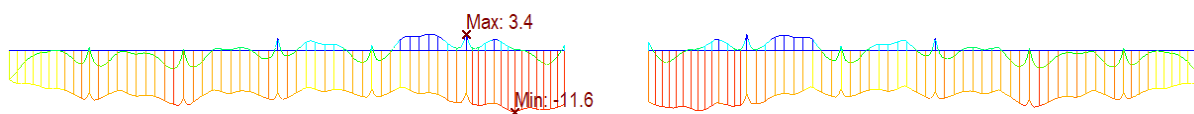
V čase uvedení do provozu (častá) – dolní vlákna



$$\sigma_{ct} = 3,2 < 3,2$$

Tahy budou sníženy bet. výztuží

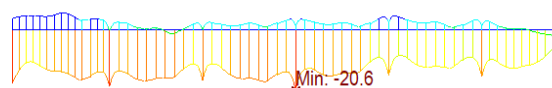
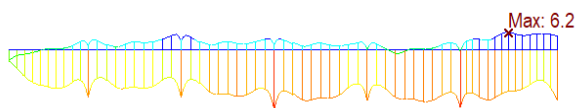
– horní vlákna



$$\sigma_{ct} = 3,4 > 3,2$$

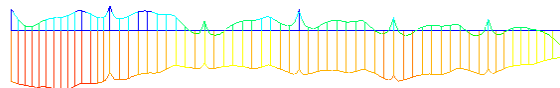
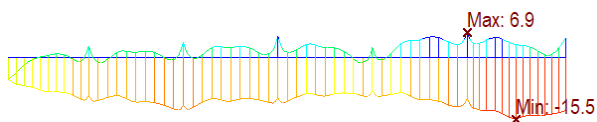
Vznikají trhliny, nutno ověřit šířku

V čase uvedení do provozu (char) – dolní vlákna



$$\sigma_{cc} = -20,6 < 0,60 \cdot 35,0 = 21,0$$

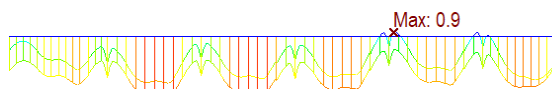
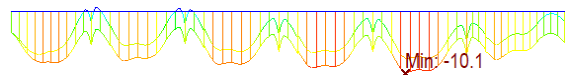
– horní vlákna



$$\sigma_{cc} = -15,5 < 0,60 \cdot 35,0 = 21,0$$

Vyhovuje

Na konci životnosti (kvazi) – dolní vlákna

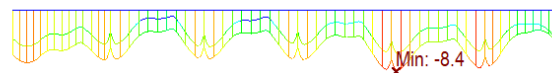
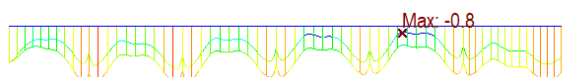


$$\sigma_{cc} = -10,1 < 0,45 \cdot 35,0 = 15,75$$

$$\sigma_{ct} = 0,9 < 0$$

Tahy budou sníženy bet. výztuží

– horní vlákna

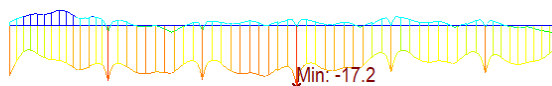
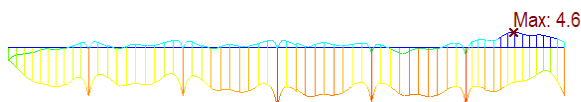


$$\sigma_{cc} = -8,4 < 0,45 \cdot 35,0 = 15,75$$

$$\sigma_{ct} = -0,8 < 0$$

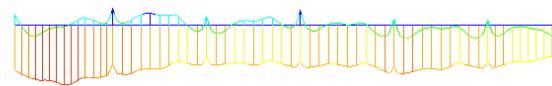
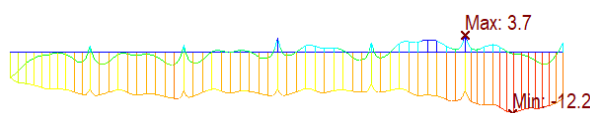
Vyhovuje

Na konci životnosti (častá) – dolní vlákna



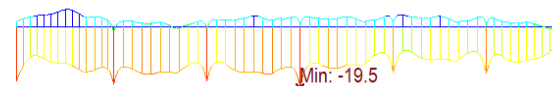
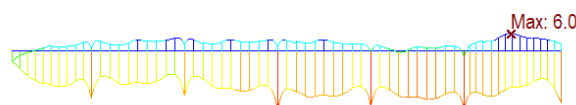
$$\sigma_{ct} = 4,6 < 3,2 \text{ Vznikají trhliny, nutno ověřit šířku}$$

– horní vlákna



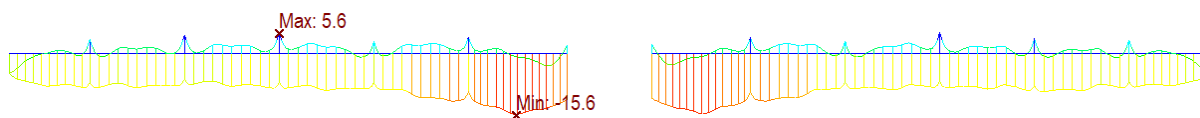
$$\sigma_{ct} = 3,7 < 3,2 \text{ Vznikají trhliny, nutno ověřit šířku}$$

Na konci životnosti (char) – dolní vlákna



$$\sigma_{cc} = -19,5 < 0,60 \cdot 35,0 = 21,0$$

– horní vlákna



$$\sigma_{cc} = -15,6 < 0,60 \cdot 35,0 = 21,0$$

Vyhovuje

Omezení napětí v betonu **vyhovuje** z hlediska mezních stavů použitelnosti dle ČSN EN 1992-1-1 kap. 7.2. Tahová napětí při kvazistálé kombinaci zatížení byla určena bez vlivu betonářské výztuže a dá se předpokládat, že přesnějším výpočtem by byla částečně redukována. Zároveň se nacházejí v oblastech, kde je předpínací výztuž umístěna blíže k horním vláknům, tedy by i při vypočtených napětích nezasahovala tahová oblast blíže než 100 mm k lanům. Na tomto základě je možné konstatovat, že podmínka dekomprese (ČSN EN 1992-2 kap. 7.3.1) byla dodržena.

Při časté kombinaci vzniká oblast s napětím převyšujícím tahovou pevnost betonu. Z tohoto důvodu bude ověřeno splnění maximální šířky trhliny v této oblasti.

- XF3 + stupeň ochrany PL3 $w_{max} = 0,2 \text{ mm}$ častá kombinace

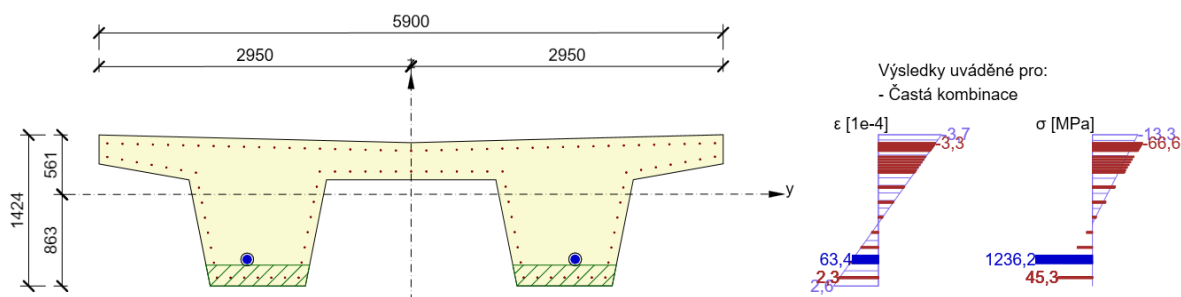
Při charakteristické kombinaci zatížení dochází ke vzniku trhlin nad pilíři. Z tohoto důvodu je nutné ověřit, zda přídatná napětí ve výztužích (betonářské i předpínací) nepřesáhnou limitní hodnoty:

- betonářská výztuž v tahu $\sigma_s = 0,8 \cdot f_{yk} = 400 \text{ MPa}$ charakteristická kombinace
- předpínací výztuž $\sigma_p = 0,75 \cdot f_{pk} = 1395 \text{ MPa}$ charakteristická kombinace

S ohledem na ztráty napětí v předpínací výztuži se dá předpokládat, že nejhorší stav pro předpínací výztuž nastává v čase uvedení do provozu. V souladu s tím naopak pro betonářskou výztuž musí nastat nejhorší stav na konci životnosti, kdy se snižuje tlaková rezerva předpětí.

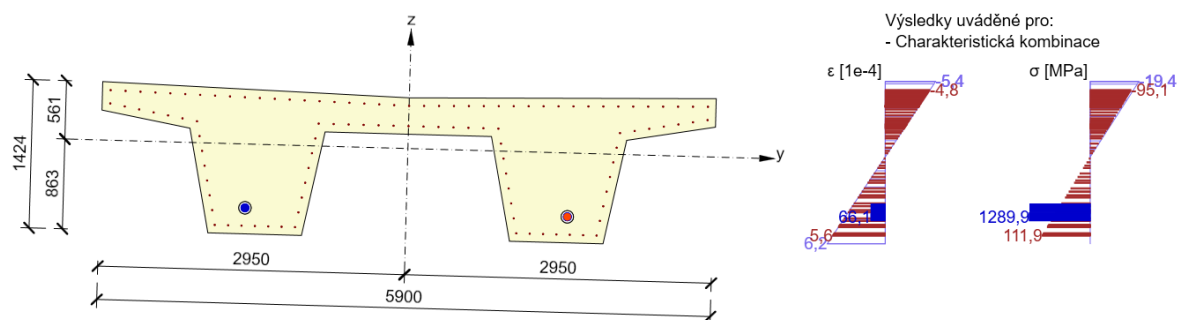
Podrobné posouzení šířky trhlin bylo provedeno v rámci posouzení MSÚ v programu IDEA StatiCa. Omezení napětí a šířky trhlin v poli nad spojujícím krčkem s obloukem bylo s ohledem na výrazný vliv výztuže posouzeno společně s MSÚ této oblasti v IDEA StatiCa.

Posouzení šířky trhlin (častá kombinace) – dolní vlákna v 6. poli



Kombinace	N [kN]	M _y [kNm]	M _z [kNm]	w _k [mm]	w _{lim} [mm]	Hodnota [%]	Mez [%]	Posudek
Častá	-23649,4	8433,0	54,3	0,090	0,100	90,2	100,0	OK

Omezení napětí (charakteristická kombinace) – max. tah dolní vlákna v 6. poli



Typ posudku	Část průřezu	Index	σ [MPa]	σ _{lim} [MPa]	Hodnota [%]	Mez [%]	Posudek
7.2(5)-Char	Kabel	1	1289,9	1395,0	92,5	100,0	OK

Omezení napětí v betonářské i předpínací výztuži splňuje podmínku omezení napětí.

5.1.4 Mezní stav únosnosti

Únosnost průřezů je stanovena na základě metody mezních přetvoření. Pro ověření únosnosti předpjatého průřezu bylo vybráno několik kritických řezů:

- V místě u opěry (výrazná smyková síla s nižším účinkem předpětí)
- V místě pracovní spáry mezi jednotlivými takty
- V místě maximálního kladného ohybového momentu v poli
- Nad pilířem
- Obecně v místě změny typu vyztužení

Na základě vyhodnocení napjatostních stavů v jednotlivých fázích vyhověly všechny průřezy na únosnost kombinovaného vlivu normálových a posouvajících sil, ohybových a krouticích momentů. Žádný z použitých materiálů nedosáhl maximálního využití při působení návrhových vnitřních sil, přičemž byla nalezena rovnováha na průřezu.

5.1.4.1 Typová vyztužení

Typová vyztužení jsou promítnuta do výkresu výztuže, zde jsou uvedeny uvažované hodnoty při výpočtech. Typické uvažované schéma výztuže viz grafika níže (řez E).

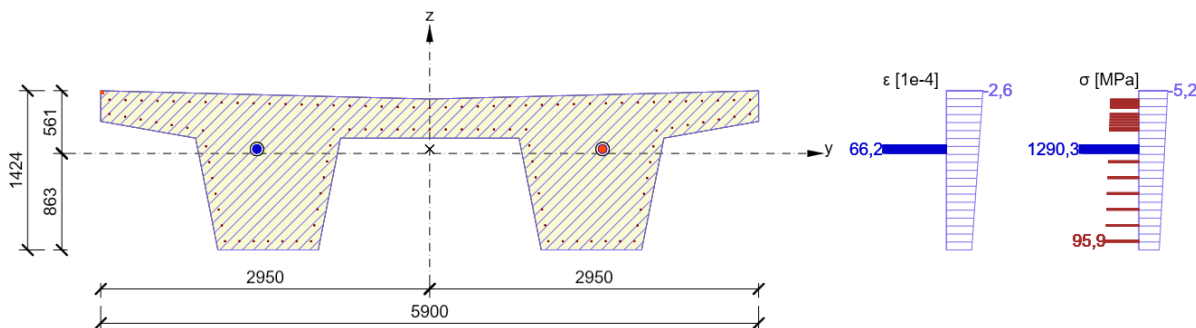
- Řez A (vyztužení v poli)
 - Veškerá podélná výztuž Ø12 à 150 mm
 - Smyková výztuž trámu vnější (2 stříhy) Ø12 à 150 mm
 - Smyková výztuž trámu vnitřní (2 stříhy) Ø12 à 300 mm
- Řez B (vyztuž nad pilíři)
 - Horní podélná výztuž Ø20 à 150 mm
 - Ostatní podélná výztuž Ø16 à 150 mm
 - Smyková výztuž trámu vnější (2 stříhy) Ø16 à 150 mm
 - Smyková výztuž trámu vnitřní (2 stříhy) Ø12 à 300 mm
- Řez C (vyztuž krčku v místě napojení na předpjatou konstrukci)
 - Horní podélná výztuž Ø32 à 150 mm
 - Spodní podélná výztuž Ø25 à 150 mm
 - Boční podélná výztuž Ø25 à 150 mm
 - Vnitřní podélná výztuž Ø20 à 150 mm
 - Ostatní podélná výztuž Ø16 à 150 mm

- Smyková výztuž trámu vnější (2 stříhy) Ø20 à 150 mm
- Smyková výztuž trámu vnitřní (12 stříhů) Ø12 à 150 mm
- Řez D (výztuž střední části krčku)
 - Horní podélná výztuž Ø25 à 150 mm
 - Spodní podélná výztuž Ø25 à 150 mm
 - Boční podélná výztuž Ø25 à 150 mm
 - Ostatní podélná výztuž Ø16 à 150 mm
 - Smyková výztuž trámu vnější (2 stříhy) Ø20 à 150 mm
 - Smyková výztuž trámu vnitřní (12 stříhů) Ø12 à 300 mm

5.1.4.2 1. pole (1. takt) – rozpětí 20,0 m

– v místě uložení OP1

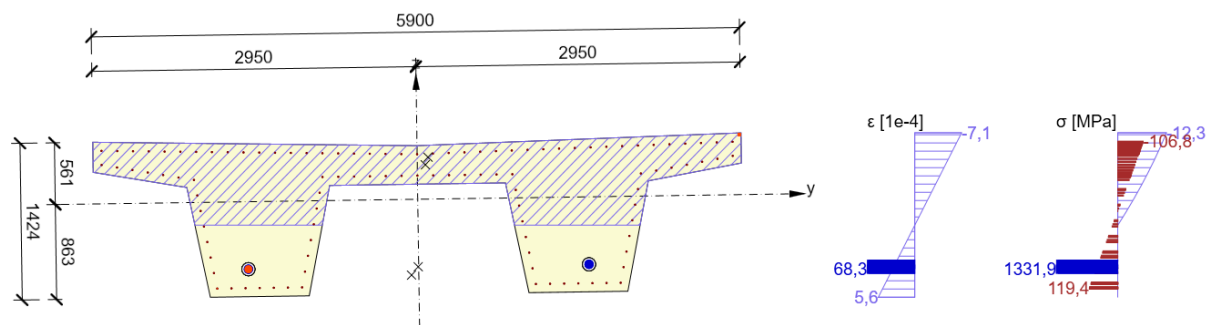
Rozhodující typ posudku	N_{Ed} [kN]	$M_{Ed,y}$ [kNm]	$M_{Ed,z}$ [kNm]	V_{Ed} [kN]	T_{Ed} [kNm]	Hodnota [%]	Posudek
Interakce	-19488,3	763,2	-0,3	2272,1	-150,9	81,0	OK
Typ posudku	N_{Ed} [kN]	$M_{Ed,y}$ [kNm]	$M_{Ed,z}$ [kNm]	V_{Ed} [kN]	T_{Ed} [kNm]	Hodnota [%]	Posudek
Únosnost N-M-M	6,1	-8,8	-0,5			0,1	OK
Smyk	-19488,3			2272,1	-150,9	63,7	OK
Kroucení					-150,9	5,9	OK
Interakce	-19488,3	763,2	-0,3	2272,1	-150,9	81,0	OK
Omezení napětí	-19489,7	763,2	-0,2			80,7	OK
Šířka trhliny	-19492,7	763,2	0,1			2,3	OK
Křehký lom	-19490,3	763,2	0,2			0,0	OK



– v místě maximálního kladného ohybového momentu

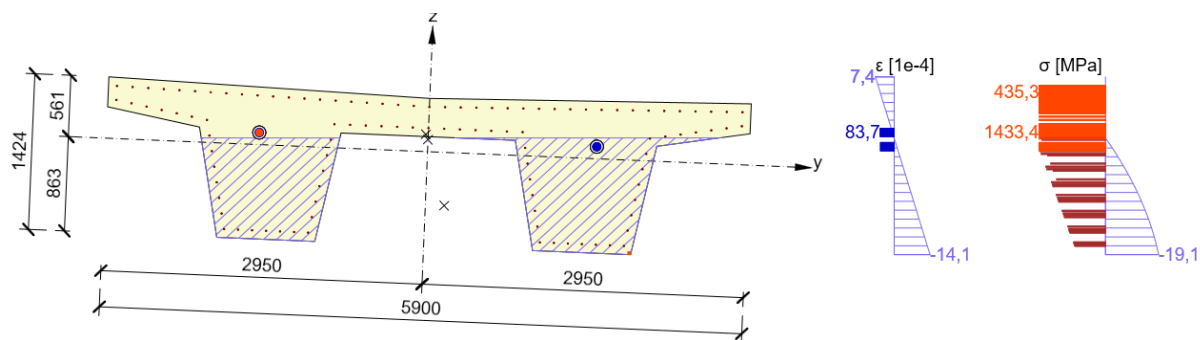
Rozhodující typ posudku	N_{Ed} [kN]	$M_{Ed,y}$ [kNm]	$M_{Ed,z}$ [kNm]	V_{Ed} [kN]	T_{Ed} [kNm]	Hodnota [%]	Posudek
Interakce	-19439,6	9421,1	1816,3	370,1	-96,7	83,6	OK
Typ posudku	N_{Ed} [kN]	$M_{Ed,y}$ [kNm]	$M_{Ed,z}$ [kNm]	V_{Ed} [kN]	T_{Ed} [kNm]	Hodnota [%]	Posudek
Únosnost N-M-M	350,9	21552,6	1816,1			74,7	OK
Smyk	-19439,6			370,1	-96,7	10,5	OK
Kroucení					-96,7	3,8	OK
Interakce	-19439,6	9421,1	1816,3	370,1	-96,7	83,6	OK
Omezení napětí	-19548,5	5122,3	1210,3			82,9	OK
Šířka trhliny	-19790,5	-1864,0	1384,5			0,0	OK

Typ posudku	N_{Ed} [kN]	$M_{Ed,y}$ [kNm]	$M_{Ed,z}$ [kNm]	V_{Ed} [kN]	T_{Ed} [kNm]	Hodnota [%]	Posudek
Křehký lom	-19790,5	-1864,0	1384,5			35,9	OK



– nad pilířem

Rozhodující typ posudku	N_{Ed} [kN]	$M_{Ed,y}$ [kNm]	$M_{Ed,z}$ [kNm]	V_{Ed} [kN]	T_{Ed} [kNm]	Hodnota [%]	Posudek
Smyk	-20700,9			5154,6	-37,4	95,4	OK
Typ posudku	N_{Ed} [kN]	$M_{Ed,y}$ [kNm]	$M_{Ed,z}$ [kNm]	V_{Ed} [kN]	T_{Ed} [kNm]	Hodnota [%]	Posudek
Únosnost N-M-M	-691,3	-13696,3	4637,3			75,8	OK
Smyk	-20700,9			5154,6	-37,4	95,4	OK
Kroucení					-37,4	0,8	OK
Interakce	-20700,9	-11489,5	4637,4	5154,6	-37,4	93,4	OK
Omezení napětí	-20489,7	-6693,4	3092,2			81,0	OK
Šířka trhliny	-20019,8	472,7	3155,5			0,0	OK
Křehký lom	-20019,8	472,7	3155,5			44,2	OK

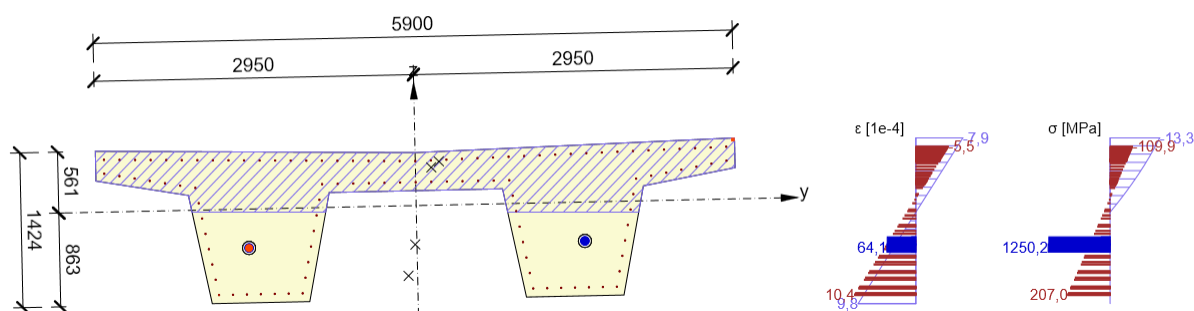


5.1.4.3 4. pole (4. takt) – rozpětí 23,5 m

– v místě navázání na předchozí takt

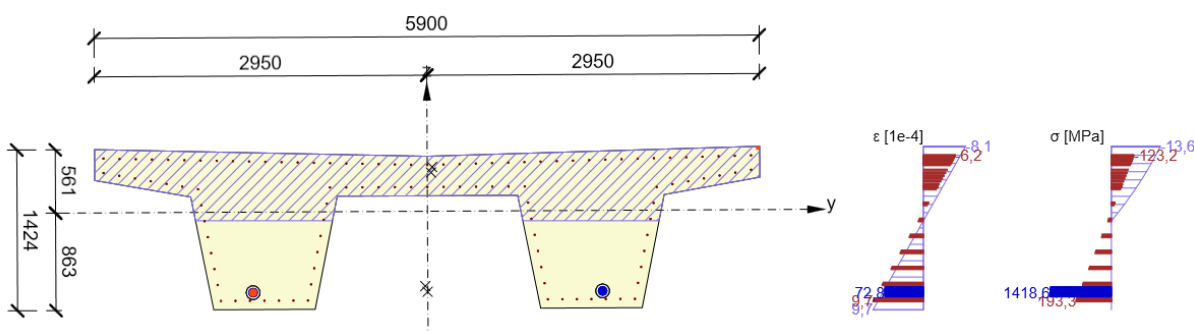
Rozhodující typ posudku	N_{Ed} [kN]	$M_{Ed,y}$ [kNm]	$M_{Ed,z}$ [kNm]	V_{Ed} [kN]	T_{Ed} [kNm]	Hodnota [%]	Posudek
Interakce	-17044,9	8386,0	3224,6	508,3	-410,4	78,5	OK
Typ posudku	N_{Ed} [kN]	$M_{Ed,y}$ [kNm]	$M_{Ed,z}$ [kNm]	V_{Ed} [kN]	T_{Ed} [kNm]	Hodnota [%]	Posudek
Únosnost N-M-M	-7543,1	11788,9	3224,5			53,8	OK
Smyk	-17044,9			508,3	-410,4	14,9	OK

Typ posudku	N_{Ed} [kN]	$M_{Ed,y}$ [kNm]	$M_{Ed,z}$ [kNm]	V_{Ed} [kN]	T_{Ed} [kNm]	Hodnota [%]	Posudek
Kroucení					-410,4	16,0	OK
Interakce	-17044,9	8386,0	3224,6	508,3	-410,4	78,5	OK
Omezení napětí	-17793,8	5751,8	2149,7			77,4	OK
Šířka trhliny	-20817,7	-846,0	-1925,4			0,0	OK
Křehký lom	-20817,7	-846,0	-1925,4			0,0	OK



– v místě maximálního kladného ohybového momentu

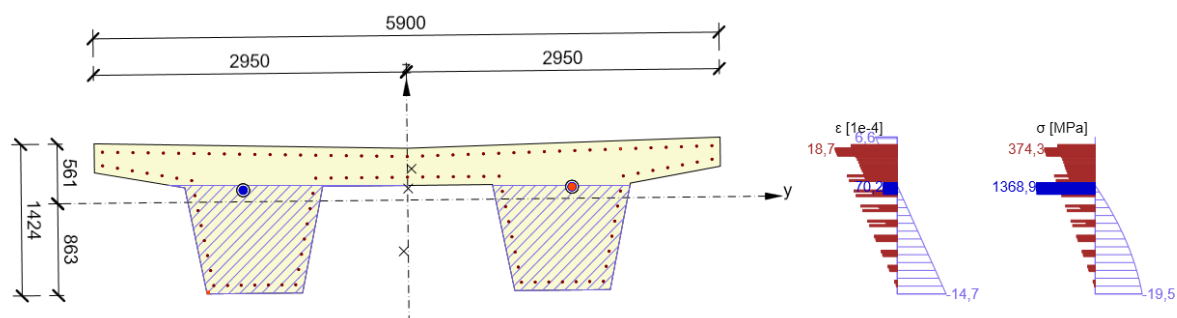
Rozhodující typ posudku	N_{Ed} [kN]	$M_{Ed,y}$ [kNm]	$M_{Ed,z}$ [kNm]	V_{Ed} [kN]	T_{Ed} [kNm]	Hodnota [%]	Posudek
Interakce	-17115,9	11725,6	816,6	326,3	-282,6	89,0	OK
Typ posudku	N_{Ed} [kN]	$M_{Ed,y}$ [kNm]	$M_{Ed,z}$ [kNm]	V_{Ed} [kN]	T_{Ed} [kNm]	Hodnota [%]	Posudek
Únosnost N-M-M	2698,6	25853,4	816,4			83,2	OK
Smyk	-17115,9			326,3	-282,6	9,6	OK
Kroucení					-282,6	11,0	OK
Interakce	-17115,9	11725,6	816,6	326,3	-282,6	89,0	OK
Omezení napětí	-21616,9	-8052,5	561,5			77,7	OK
Šířka trhliny	-21304,5	-1263,1	43,9			0,0	OK
Křehký lom	-21304,5	-1263,1	43,9			33,6	OK



– nad pilířem

Rozhodující typ posudku	N_{Ed} [kN]	$M_{Ed,y}$ [kNm]	$M_{Ed,z}$ [kNm]	V_{Ed} [kN]	T_{Ed} [kNm]	Hodnota [%]	Posudek
Interakce	-23430,4	-10418,3	-1432,1	5394,3	-397,5	99,0	OK

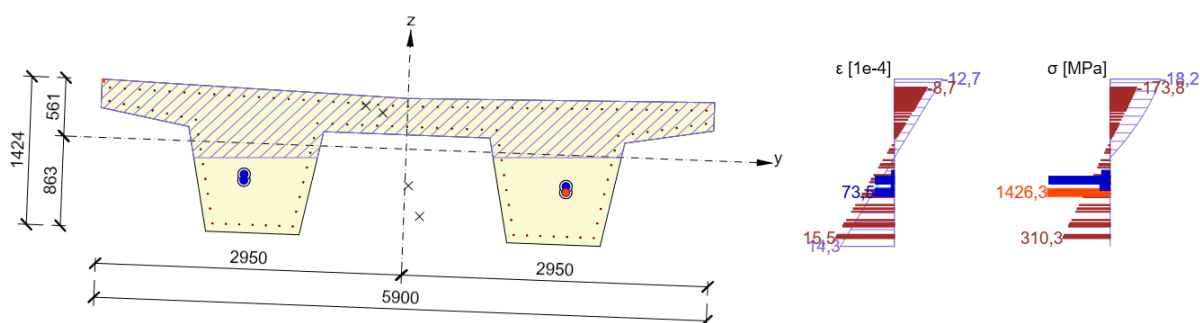
Typ posudku	N_{Ed} [kN]	$M_{Ed,y}$ [kNm]	$M_{Ed,z}$ [kNm]	V_{Ed} [kN]	T_{Ed} [kNm]	Hodnota [%]	Posudek
Únosnost N-M-M	-3289,7	-12608,9	-1432,2			57,9	OK
Smyk	-23430,4			5394,3	-397,5	91,9	OK
Kroucení					-397,5	8,9	OK
Interakce	-23430,4	-10418,3	-1432,1	5394,3	-397,5	99,0	OK
Omezení napětí	-22389,7	-6066,6	-950,4			81,3	OK
Šířka trhliny	-20082,0	-173,2	-2767,0			0,0	OK
Křehký lom	-20082,0	-173,2	-2767,0			37,8	OK



5.1.4.4 6. pole (6. takt) – rozpětí ~24,0 m

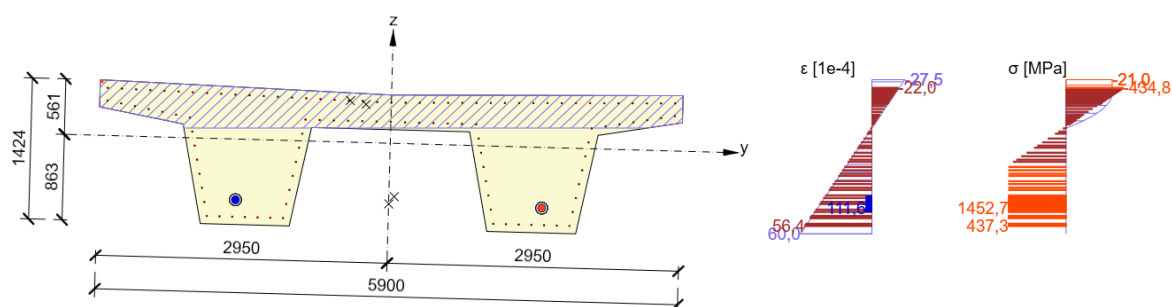
– v místě navázání na předchozí takt

Rozhodující typ posudku	N_{Ed} [kN]	$M_{Ed,y}$ [kNm]	$M_{Ed,z}$ [kNm]	V_{Ed} [kN]	T_{Ed} [kNm]	Hodnota [%]	Posudek
Interakce	-25367,9	11333,2	-7578,6	865,1	-301,2	89,5	OK
Typ posudku	N_{Ed} [kN]	$M_{Ed,y}$ [kNm]	$M_{Ed,z}$ [kNm]	V_{Ed} [kN]	T_{Ed} [kNm]	Hodnota [%]	Posudek
Únosnost N-M-M	-14771,6	15127,5	-7578,6			71,8	OK
Smyk	-25367,9			865,1	-301,2	24,4	OK
Kroucení					-301,2	11,8	OK
Interakce	-25367,9	11333,2	-7578,6	865,1	-301,2	89,5	OK
Omezení napětí	-24036,9	7750,4	-5049,9			87,3	OK
Šířka trhliny	-21085,0	280,0	1948,3			0,6	OK
Křehký lom	-21085,0	280,0	6441,6			0,0	OK



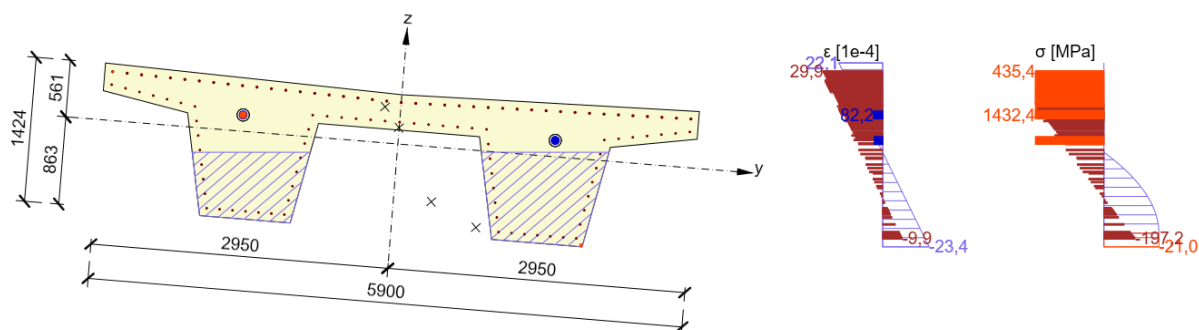
– v místě maximálního kladného ohybového momentu

Rozhodující typ posudku	N_{Ed} [kN]	$M_{Ed,y}$ [kNm]	$M_{Ed,z}$ [kNm]	V_{Ed} [kN]	T_{Ed} [kNm]	Hodnota [%]	Posudek
Únosnost N-M-M	-4474,2	29394,3	-8578,3			99,8	OK
Typ posudku	N_{Ed} [kN]	$M_{Ed,y}$ [kNm]	$M_{Ed,z}$ [kNm]	V_{Ed} [kN]	T_{Ed} [kNm]	Hodnota [%]	Posudek
Únosnost N-M-M	-4474,2	29394,3	-8578,3			99,8	OK
Smyk	-25673,3			91,0	-207,3	2,6	OK
Kroucení					-207,3	8,1	OK
Interakce	-25673,3	16399,2	-8578,2	91,0	-207,3	93,9	OK
Omezení napětí	-24269,4	10568,2	-5716,5			92,5	OK
Šířka trhliny	-23649,4	8433,0	54,3			90,2	OK
Křehký lom	-23649,4	8433,0	54,3			51,8	OK



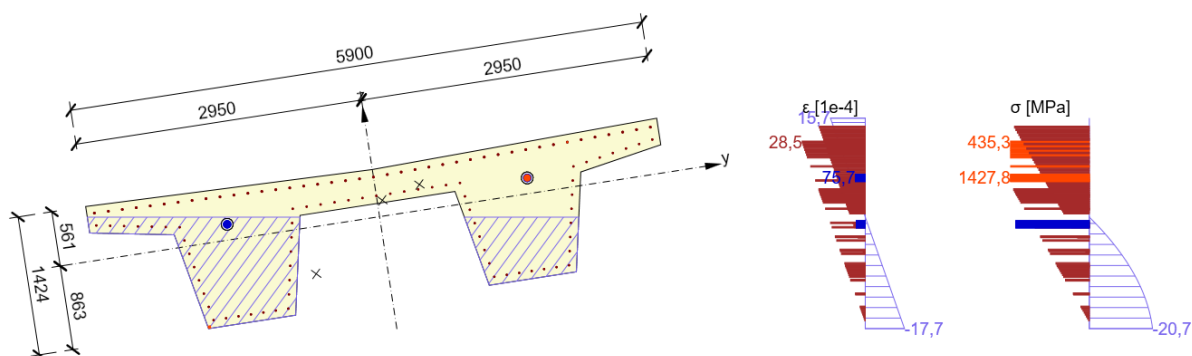
– v místě navázání na krček oblouku – maximální využití

Rozhodující typ posudku	N_{Ed} [kN]	$M_{Ed,y}$ [kNm]	$M_{Ed,z}$ [kNm]	V_{Ed} [kN]	T_{Ed} [kNm]	Hodnota [%]	Posudek
Omezení napětí	-17126,8	-9430,0	8619,4			95,7	OK
Typ posudku	N_{Ed} [kN]	$M_{Ed,y}$ [kNm]	$M_{Ed,z}$ [kNm]	V_{Ed} [kN]	T_{Ed} [kNm]	Hodnota [%]	Posudek
Únosnost N-M-M	4962,3	-18588,0	12927,2			92,1	OK
Smyk	-15602,7			3489,0	68,0	64,4	OK
Kroucení					68,0	1,6	OK
Interakce	-15602,7	-15281,2	12927,3	3489,0	68,0	93,4	OK
Omezení napětí	-17126,8	-9430,0	8619,4			95,7	OK
Šířka trhliny	0,0	0,0	0,0			0,0	Neprovedeno
Křehký lom	0,0	0,0	0,0			0,0	Neprovedeno



– v místě navázání na krček oblouku – max. příčný moment

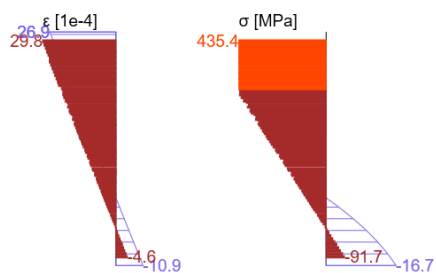
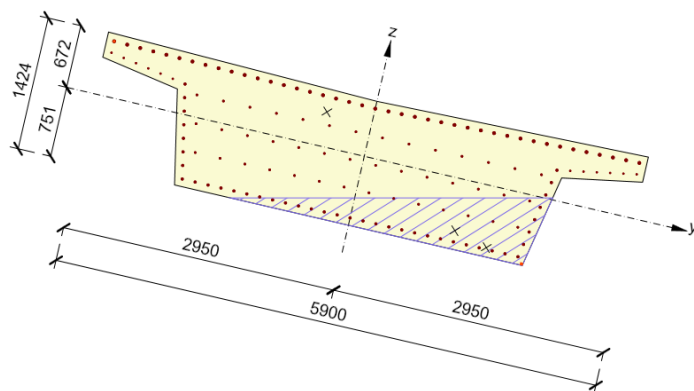
Rozhodující typ posudku	N_{Ed} [kN]	$M_{Ed,y}$ [kNm]	$M_{Ed,z}$ [kNm]	V_{Ed} [kN]	T_{Ed} [kNm]	Hodnota [%]	Posudek
Interakce	-16611,1	-11632,0	-20078,9	2977,7	-551,8	93,4	OK
Typ posudku	N_{Ed} [kN]	$M_{Ed,y}$ [kNm]	$M_{Ed,z}$ [kNm]	V_{Ed} [kN]	T_{Ed} [kNm]	Hodnota [%]	Posudek
Únosnost N-M-M	3953,8	-14938,9	-20079,0			80,5	OK
Smyk	-16611,1			2977,7	-551,8	55,0	OK
Kroucení					-551,8	13,0	OK
Interakce	-16611,1	-11632,0	-20078,9	2977,7	-551,8	93,4	OK
Omezení napětí	-17821,7	-6938,8	-13385,0			84,5	OK
Šířka trhliny	-20515,5	1831,9	1642,3			5,1	OK
Křehký lom	-23241,1	5143,1	16,4			0,0	OK



5.1.4.5 7. pole (7. takt) – středový krček

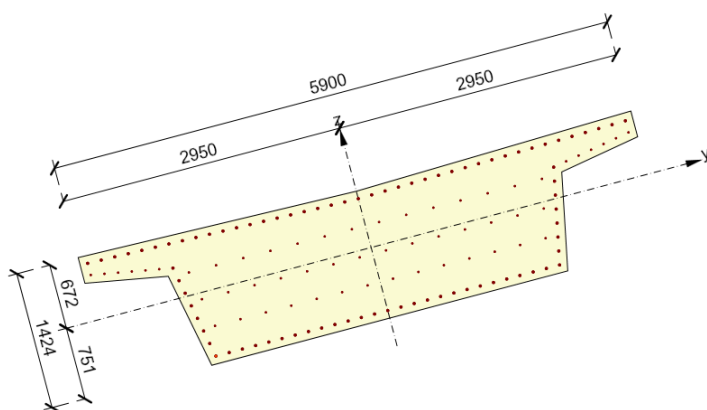
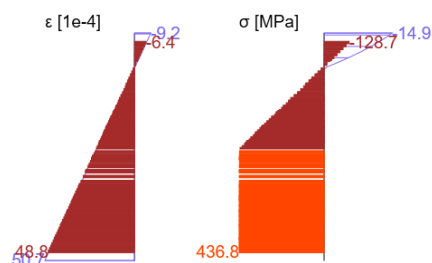
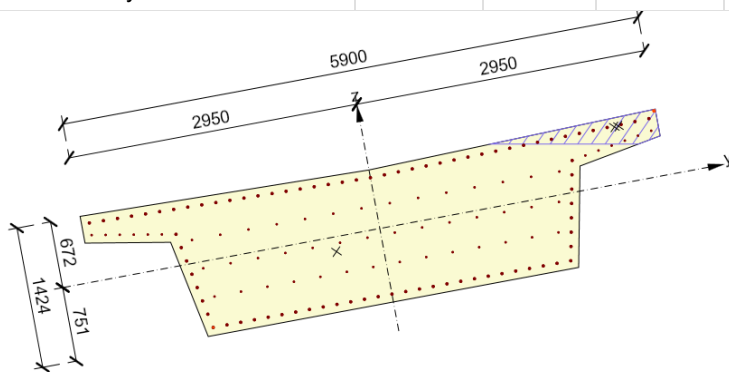
– v místě navázání na předchozí takt

Rozhodující typ posudku	N_{Ed} [kN]	$M_{Ed,y}$ [kNm]	$M_{Ed,z}$ [kNm]	V_{Ed} [kN]	T_{Ed} [kNm]	Hodnota [%]	Posudek
Smyk	-2000.0			7046.1	-56.6	97.44	OK
Typ posudku	N_{Ed} [kN]	$M_{Ed,y}$ [kNm]	$M_{Ed,z}$ [kNm]	V_{Ed} [kN]	T_{Ed} [kNm]	Hodnota [%]	Posudek
Únosnost N-M-M	3550.8	-10869.0	19792.9			68.72	OK
Smyk	-2000.0			7046.1	-56.6	97.44	OK
Kroucení					-56.6	0.83	OK
Interakce	3550.8	-10869.0	19792.9	4318.0	231.4	93.44	OK
Omezení napětí	2121.8	-8007.9	13196.5			91.56	OK
Šířka trhliny	-2809.9	-2395.8	0.0			11.55	OK



– ve středové části

Rozhodující typ posudku	N_{Ed} [kN]	$M_{Ed,y}$ [kNm]	$M_{Ed,z}$ [kNm]	V_{Ed} [kN]	T_{Ed} [kNm]	Hodnota [%]	Posudek
Omezení napětí	7749.2	2535.4	8222.8			95.73	OK
Typ posudku	N_{Ed} [kN]	$M_{Ed,y}$ [kNm]	$M_{Ed,z}$ [kNm]	V_{Ed} [kN]	T_{Ed} [kNm]	Hodnota [%]	Posudek
Únosnost N-M-M	13623.4	3566.7	12335.3			93.06	OK
Smyk	13623.4			120.7	-31.8	2.56	OK
Kroucení					-31.8	0.46	OK
Interakce	13623.4	3566.7	12335.3	120.7	-31.8	93.74	OK
Omezení napětí	7749.2	2535.4	8222.8			95.73	OK
Šířka trhliny	-43.6	285.6	0.0			9.16	OK



5.2 Posouzení nosné konstrukce v příčném směru

Pro návrh konstrukce v příčném směru byl vytvořen desko-stěnový model o pěti polích, kde bylo vyšetřeno zejména namáhání desky mostovky mezi trámy a namáhání příčníků v případě výměny ložisek.

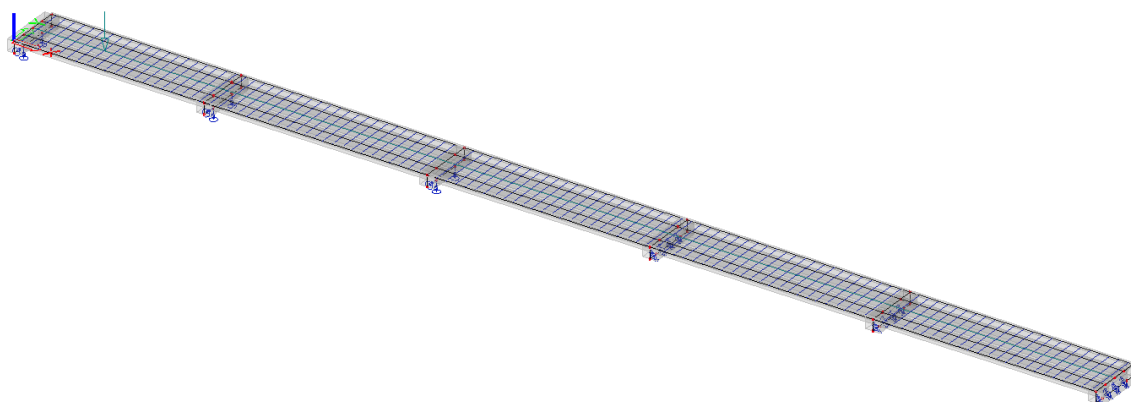
Pro příčný směr mostovky byl zohledněn upravený dynamický součinitel v souladu s tab. 6.2 v ČSN EN 1991-2 ed. 2 jako trojnásobek osové vzdálenosti trámů. Pro příčník je uvažováno $L_0 = 3,6$ m.

Třída tratě	1. a 2.	Součinitel klasifikace	$\alpha =$	1.21	-
Typ koleje	standardně udržovaná kolej	Rozpětí konstrukce	$L =$	2.9	m
Náhradní délka $L_\phi =$	8.70	Dynamický součinitel	$\phi =$	1.516	-

Základní údaje konstrukce

Třída tratě	1. a 2.	Součinitel klasifikace	$\alpha =$	1.21	-
Typ koleje	standardně udržovaná kolej	Rozpětí konstrukce	$L =$	2.9	m
Náhradní délka $L_\phi =$	3.60	Dynamický součinitel	$\phi =$	2.000	-

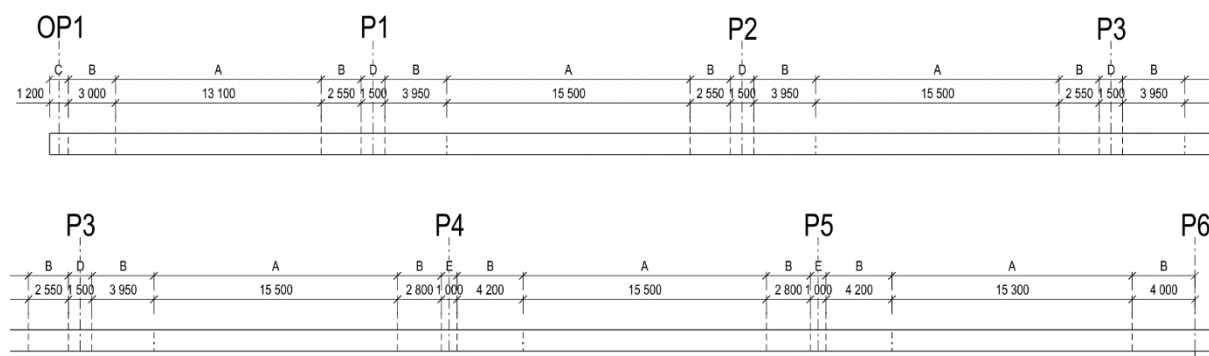
Obrázek 5-1: Model konstrukce pro příčný směr – render



Posouzení nosné konstrukce v příčném směru bylo provedeno na základě návrhových vnitřních sil z deskového modelu mostovky. Byly určeny dvě základní oblasti (v poli – A, u podpěr – B), kterým byla navržena vždy jednotná výztuž. Navíc byly posouzeny samostatně průřezy příčníků nad pilíři (D) a nad opěrami (C).

Schéma rozdělení oblastí viz níže. Souhrnné tabulky extrémních vnitřních sil převedených na metr běžný konstrukce viz dále. Posouzení v příčném směru proběhlo pomocí posudku železobetonových průřezů namáhaných interakcí M+N+V v tabulkovém procesoru MS EXCEL. Metoda posouzení je založena na mezních přetvořeních.

Obrázek 5-2: Schéma dělení příčné výztuže na oblasti



Vnitřní síly - deska - příčný směr											
Řez	Kombinace	Stav	N _x [kN]	Q _z [kN]	M _y [kNm]	Řez	Kombinace	Stav	N _x [kN]	Q _z [kN]	M _y [kNm]
Oblast A (v poli)	MSÚ	max N	80.3	229.5	-72.2	Oblast B (podpory)	MSÚ	max N	771.8	-280.0	-65.2
		min N	-61.0	62.5	86.7			min N	-239.4	231.5	94.7
		max Q	18.0	225.1	-158.2			max Q	289.0	281.4	-66.0
		min Q	18.0	-225.1	-158.2			min Q	771.8	-280.0	-65.2
		max M	17.3	63.7	118.2			max M	-239.4	231.5	94.7
		min M	18.0	-225.1	-158.2			min M	115.9	219.2	-147.6
	Char	max N	39.9	-	-56.3		Char	max N	600.2	-	-50.7
		min N	-44.0	-	59.1			min N	-169.8	-	-62.2
		max M	17.4	-	81.3			max M	0.0	-	65.8
		min M	13.3	-	-119.0			min M	38.9	-	-110.3
	Kvazi	max N	39.9	-	-32.4		Kvazi	max N	396.4	-	-29.2
		min N	-16.4	-	-6.8			min N	0.0	-	-12.1
		max M	8.2	-	2.6			max M	18.7	-	2.4
		min M	24.9	-	-52.0			min M	298.3	-	-46.2

Vnitřní síly - příčník											
Řez	Kombinace	Stav	N _x [kN]	Q _z [kN]	M _y [kNm]	Řez	Kombinace	Stav	N _x [kN]	Q _z [kN]	M _y [kNm]
Opěra (oblast C)	MSÚ	max N	0.0	0.0	490.0	Pilíř - ložiska (oblast D)	MSÚ	max M	0.0	1217.0	1261.0
		min N	0.0	964.0	-270.0			min M	0.0	2435.0	-506.0
	Char	max M	0.0	-	322.0		Char	max M	0.0	-	834.0
		min M	0.0	-	-204.0			min M	0.0	-	-354.0
	Kvazi	max M	0.0	-	-80.0		Kvazi	max M	0.0	-	-98.0
		min M	0.0	-	-178.0			min M	0.0	-	-354.0

Vnitřní síly - příčník											
Řez	Kombinace	Stav	N _x [kN]	Q _z [kN]	M _y [kNm]	Řez	Kombinace	Stav	N _x [kN]	Q _z [kN]	M _y [kNm]
Pilíř - vrubový kloub (B=1500 mm)	MSÚ	max N	0.0	1730.0	470.0	Pilíř - vrubový kloub (B=1000 mm)	MSÚ	max M	0.0	1660.0	668.0
		min N	0.0	865.0	-2217.0			min M	0.0	830.0	-2096.0
	Char	max M	0.0	-	321.0		Char	max M	0.0	-	480.0
		min M	0.0	-	-1707.0			min M	0.0	-	-1615.0
	Kvazi	max M	0.0	-	17.0		Kvazi	max M	0.0	-	93.0
		min M	0.0	-	-1246.0			min M	0.0	-	-1190.0

Rekapitulace jednotlivých oblastí vyztužení je uvedena v následující tabulce.

Průřez	horní výztuž	dolní výztuž	smyková výztuž
Oblast A	Ø16 / 150	Ø16 / 150	Ø10 / 150 / 300
Oblast B	Ø20 / 150	Ø16 / 150	Ø12 / 150 / 300
Oblast C	Ø25 / 150	Ø25 / 150	Ø12 / 4 / 150
Oblast D - B=1500	Ø32 / 150	Ø25 / 150	Ø16 / 4 / 150
Oblast D - B=1000	Ø32 / 150	Ø25 / 150	Ø12 / 4 / 150
konzola	Ø12 / 150	Ø12 / 150	Ø8 / 150 / 300

[illegible]

Oblast A - horní výztuž									
Průřez									
b_{eff}	= 1000 mm	b_w	= 1000 mm	H	= 360 mm	$W_{k,max}$	= 0.20 mm	XD, XS, XF	
C_1	= 50 mm	C_2	= 50 mm	Materiály					
ocel: B 500 B									
f_{yk}	= 500 MPa	f_{yk}	= 500 MPa	f_{yk}	= 350 MPa	f_{yk}	= 350 MPa		
f_{td}	= 434.8 MPa	f_{td}	= 434.8 MPa	f_{td}	= 34.0 GPa	f_{td}	= 34.0 GPa		
E_y	= 200.0 GPa	E_y	= 200.0 GPa	E_y	= 21.0 MPa	E_y	= 21.0 MPa		
ϵ_{yk}	= 50 [10 ⁻³]	ϵ_{yk}	= 50 [10 ⁻³]	ϵ_{yk}	= 3.2 MPa	ϵ_{yk}	= 3.2 MPa		
beton: C35/45									
f_{ck}	= 35.0 MPa	f_{ck}	= 35.0 MPa	f_{ck}	= 35.0 MPa	f_{ck}	= 35.0 MPa		
α_{cc}	= 0.9	α_{cc}	= 0.9	α_{cc}	= 0.9	α_{cc}	= 0.9		
ϵ_{yk}	= 0.9	ϵ_{yk}	= 0.9	ϵ_{yk}	= 0.9	ϵ_{yk}	= 0.9		
ϵ_{yk}	= 0.9	ϵ_{yk}	= 0.9	ϵ_{yk}	= 0.9	ϵ_{yk}	= 0.9		
ϵ_{yk}	= 0.9	ϵ_{yk}	= 0.9	ϵ_{yk}	= 0.9	ϵ_{yk}	= 0.9		
ϵ_{yk}	= 0.9	ϵ_{yk}	= 0.9	ϵ_{yk}	= 0.9	ϵ_{yk}	= 0.9		
ϵ_{yk}	= 0.9	ϵ_{yk}	= 0.9	ϵ_{yk}	= 0.9	ϵ_{yk}	= 0.9		
ϵ_{yk}	= 0.9	ϵ_{yk}	= 0.9	ϵ_{yk}	= 0.9	ϵ_{yk}	= 0.9		
ϵ_{yk}	= 0.9	ϵ_{yk}	= 0.9	ϵ_{yk}	= 0.9	ϵ_{yk}	= 0.9		
ϵ_{yk}	= 0.9	ϵ_{yk}	= 0.9	ϵ_{yk}	= 0.9	ϵ_{yk}	= 0.9		
ϵ_{yk}	= 0.9	ϵ_{yk}	= 0.9	ϵ_{yk}	= 0.9	ϵ_{yk}	= 0.9		
ϵ_{yk}	= 0.9	ϵ_{yk}	= 0.9	ϵ_{yk}	= 0.9	ϵ_{yk}	= 0.9		
ϵ_{yk}	= 0.9	ϵ_{yk}	= 0.9	ϵ_{yk}	= 0.9	ϵ_{yk}	= 0.9		
ϵ_{yk}	= 0.9	ϵ_{yk}	= 0.9	ϵ_{yk}	= 0.9	ϵ_{yk}	= 0.9		
ϵ_{yk}	= 0.9	ϵ_{yk}	= 0.9	ϵ_{yk}	= 0.9	ϵ_{yk}	= 0.9		
ϵ_{yk}	= 0.9	ϵ_{yk}	= 0.9	ϵ_{yk}	= 0.9	ϵ_{yk}	= 0.9		
ϵ_{yk}	= 0.9	ϵ_{yk}	= 0.9	ϵ_{yk}	= 0.9	ϵ_{yk}	= 0.9		
ϵ_{yk}	= 0.9	ϵ_{yk}	= 0.9	ϵ_{yk}	= 0.9	ϵ_{yk}	= 0.9		
ϵ_{yk}	= 0.9	ϵ_{yk}	= 0.9	ϵ_{yk}	= 0.9	ϵ_{yk}	= 0.9		
ϵ_{yk}	= 0.9	ϵ_{yk}	= 0.9	ϵ_{yk}	= 0.9	ϵ_{yk}	= 0.9		
ϵ_{yk}	= 0.9	ϵ_{yk}	= 0.9	ϵ_{yk}	= 0.9	ϵ_{yk}	= 0.9		
ϵ_{yk}	= 0.9	ϵ_{yk}	= 0.9	ϵ_{yk}	= 0.9	ϵ_{yk}	= 0.9		
ϵ_{yk}	= 0.9	ϵ_{yk}	= 0.9	ϵ_{yk}	= 0.9	ϵ_{yk}	= 0.9		
ϵ_{yk}	= 0.9	ϵ_{yk}	= 0.9	ϵ_{yk}	= 0.9	ϵ_{yk}	= 0.9		
ϵ_{yk}	= 0.9	ϵ_{yk}	= 0.9	ϵ_{yk}	= 0.9	ϵ_{yk}	= 0.9		
ϵ_{yk}	= 0.9	ϵ_{yk}	= 0.9	ϵ_{yk}	= 0.9	ϵ_{yk}	= 0.9		
ϵ_{yk}	= 0.9	ϵ_{yk}							

- oblast B - maximální ohybový moment

Oblast B - spodní výtěž																																							
Průřez																																							
b _{eff} = 1000 mm	b _w = 1000 mm	H = 350 mm	Úprava polohy N.O.																																				
c ₁ = 50 mm	c ₂ = 50 mm	W _{k,max} = 0.20 mm	xcentricita tlačných vláken																																				
			e _g = -0.639 [·10 ⁻³]			e ₂₊ = 0.087 m																																	
						e ₂₋ = 0.263 m																																	
						e ₂ = 0.095 MNm																																	
						z = 0.247 m																																	
Materiály																																							
beton: C35/45																																							
ocel: B 500	f _{yk} = 500 MPa	f _{yk} = 1.15	α _{cc} = 0.9	E _{cm} = 34.0 GPa	f _{ck} = 35.0 MPa																																		
	f _{yd} = 434.8 MPa	e _{sd} /e _{sk} = 0.9	V _c = 1.5	f _{td} = 21.0 MPa	E _{cm} = 34.0 GPa																																		
	E _y = 200.0 GPa	k = f _t /f _y = 1.08	α _g = 5.88	f _{ct,m} = 3.2 MPa	f _{ct,m} = 3.2 MPa																																		
	e _{sk} = 50 [·10 ⁻³]	e _{g3} = -1.75	e _{g3} = -3.5 [·10 ⁻³]																																				
Ohybová výtěž																																							
1. řada z=0.068 A _{s1,1} = 1340 mm ² (0.383%)																																							
2. řada z=0.080 A _{s1,2} = mm ² (0.000%)																																							
3. řada z=0.250 A _{s1,3} = mm ² (0.000%)																																							
4. řada z=0.070 A _{s2} = 2094 mm ² (0.598%)																																							
Rozdělovací výtěž (minimální)																																							
6.0 Ø 8 mm	A _{s,perp} = 268 mm ²	Stupeň výtěžení																																					
(pro desky)		A _{s,min} < A _{s,i} < A _{s,max}	469 < 1340 < 3435 < 14 000																																				
Smyková výtěž																																							
3.33333 Ø 10 mm A _{w,sloup} = 262 mm ² α _w = 90																																							
S _{rel,sl} = 150 mm A _{w,sloup} = 1745 mm ² /m ² p _{w,sl} = 0.17%																																							
0 Ø 16 mm A _{w,band} = mm ² α _b = 45																																							
S _{w,b} = 450 mm p _{w,b} = 0.00% < p _{w,sl} = 0.17%																																							
Stupeň výtěžení																																							
p _{w,s,min} < p _{w,s} < p _{w,s,max}																																							
0.09% 0.17% 1.00%																																							
Vnitřní síly na průřezu																																							
M _{Ed} = 95 kNm	N _{Ed} = 0 kN	V _{Ed} = 232 kN	(MSU)																																				
Excentricita pro MSU:																																							
M _{Ed,ohar} = 66 kNm	N _{Ed,ohar} = 0 kN	e _{ohar} = 0.000 m	(Charakteristická)																																				
M _{Ed,kvazi} = 2 kNm	N _{Ed,kvazi} = 19 kN	e _{k,quasi} = 0.128 m	(Kvazistálá)																																				
Štíhlostní kritérium																																							
l ₀ = 0.7 * 0 = 0.000 m	λ _{rel} = 500.000	λ = 0.000	λ = 0.000 / 0.101 = 0.000																																				
i = √(0.004 / 0.350) = 0.101 m	Masivní prvek																																						
Smyková únosnost - bez smykové výtěž																																							
V _{red,s} = (0.12 * 1.842 * 0.475 * 35.0) / 0.15 = 0.000	1000 * 282 = 0.159 MN																																						
V _{red,s} = 0.159 MN	V _{Ed,s} = 0.232 MN	146% Nevýhovuje																																					
Smyková únosnost - se smykovou výtěž																																							
1 < cot θ = 1.428 < 2.5	θ = 35.00°	Výhovuje																																					
Sklon tlakových diagonál																																							
soudržitel redukce únosnosti tlak. diag.																																							
Dodatečná tahová síla																																							
ΔF _{td} = 1 * 232 * (1.428 - 0.000)	= 0.331 MN																																						
Únosnost tlakové diagonály																																							
V _{red,max} = 0.516	21.0 * 1000 * 247	(0.70021 + 1.42815) = 1.260 MN																																					
Únosnost tržníků																																							
V _{red,st} = 262	434.8 * 0.247	1.42815 / 150 = 0.268 MN																																					
Únosnost ohybů																																							
V _{red,b} = 0	434.8 * 0.707	2.42815 / 450 = 0.000 MN																																					
V _{red,s} = 0.268 MN	V _{Ed} = 0.232 MN	86% Výhovuje																																					

Oblast D - velký příčník - spodní výztuž - ohyb

Oblast D - velký příčník - spodní výtěžůž - ohyb

Stavení napjatosti průřezu na MSÚ (M+N+V)									
Přetožení betonu v tlaku		excentricita tlačných vláken		$e_c = -0.297 \quad [10^{-3}]$		$e_{2+} = 0.273 \quad m$		Úprava polohy N.O.	
vzdálenost N.O. od spodních vláken		celkem		$e_z = 1.077 \quad m$		0.0003 MN		Silová podmínka vyhovuje	
Momentová podm., rovnováhy		$M_{Ed} = 1.261 \quad MNm$		rameno vnitřních sil		z = 1.183 m		Silová podmínka vyhovuje	
Interakce ohybového a smykového namáhání									
Silná M		Silná V		σ_{max}		ϵ_{max}		Posouzení	
[MN]		[MN]		[MPa]		[·10 ⁻³]			
Beton		-		-3.566		-0.3		Max.přetožení betonu vyhovuje	
Výtěžůž (1)		1.066		435.1		2.6		Max.přetožení výtěžůže vyhovuje	
Výtěžůž (2)		0.000		0.0		0.0		Max.přetožení výtěžůže vyhovuje	
Výtěžůž (3)		0.000		0.0		0.0		Max.přetožení výtěžůže vyhovuje	
Výtěžůž tl.		-0.335		2.408		257.8		Max.přetožení výtěžůže vyhovuje	
Posouzení - beton		$f_{cd} = 21.000 \quad MPa$		$\sigma_{cc} = 3.566 \quad MPa$		17%		Vyhovuje	
Posouzení - ocel		$f_{sd} = 465.929 \quad MPa$		$\sigma_s = 435.080 \quad MPa$		93%		Vyhovuje	
Poloha N.O.		Přetožení průřezu		Napětí v betonu					
-1.2 -1 -0.8 -0.6 -0.4 0 0.2 0.4 0.6 0.8 1 1.2		-2 -2 0 2 4		-2 -2 0 4		-2 -2 0 4			
0.6.f _{tdk} = 21.000 MPa		0.8.f _{yk} = 400.000 MPa		Mezní stav použitelnosti - omezení napětí		1.671 MPa		8% Vyhovuje	
Posouzení - beton		Posouzení - ocel		Posouzení - ocel		8.827 MPa		2% Vyhovuje	
Poloha N.O.		Přetožení průřezu		Napětí v betonu					
-1.2 -1 -0.8 -0.6 -0.4 0 0.2 0.4 0.6 0.8 1 1.2		-0.1 -0.05 0 0.05 0.1		-2 -2 0 4		-2 -2 0 4			
0.45.f _{tdk} = 15.750 MPa		0.45.f _{yk} = 180.000 MPa		Mezní stav použitelnosti - výpočet tříhlin		0.000 MPa		lin. dovar	
Posouzení - beton		Posouzení - ocel		Posouzení - ocel		0.000 MPa		0% Vyhovuje	
Napětí v oceli		Napětí v oceli		Napětí v oceli		0.000 MPa		Ano	
$\epsilon_{sm} \cdot \epsilon_{cm} = 0.4 \cdot 191.9027 \cdot 1 = 0.099089 \cdot 1 = 0.0004$		$\epsilon_{sm} \cdot \epsilon_{cm} = 0.6 \cdot 0.000 / 200.0 = 0$		$\epsilon_{sm} \cdot \epsilon_{cm} = 0.66 \cdot 0.17 \cdot 1499.24 = 0.00000$		$\epsilon_{sm} \cdot \epsilon_{cm} = 0.66 \cdot 0.17 \cdot 1499.24 = 0.00000$		Dlouhodobé účinky:	
$S_{r,max} = 1.77996 \cdot 66 + 0.17 \cdot 1499.24 = 372 \quad mm$		$S_{r,max} = 1.77996 \cdot 66 + 0.17 \cdot 1499.24 = 372 \quad mm$		$S_{r,max} = 1.77996 \cdot 66 + 0.17 \cdot 1499.24 = 372 \quad mm$		$S_{r,max} = 1.77996 \cdot 66 + 0.17 \cdot 1499.24 = 372 \quad mm$		Tříhliný nevznikají	
Posouzení		Posouzení		Posouzení		Posouzení		Vyhovuje	
$w_k = 372 \quad mm$		$w_k = 372 \quad mm$		$w_k = 372 \quad mm$		$w_k = 372 \quad mm$		$w_k = 372 \quad mm$	
$w_{k,max} = 0.200 \quad mm$		$w_{k,max} = 0.200 \quad mm$		$w_{k,max} = 0.200 \quad mm$		$w_{k,max} = 0.200 \quad mm$		$w_{k,max} = 0.200 \quad mm$	

Přířez									
b _{eff} = 1500 mm C ₁ = 50 mm		b _w = 1500 mm C ₂ = 50 mm		H = 1350 mm W _{k,max} = 0.20 mm		XD, XS, XF			
Materiály									
ocel: B 500 B		beton: C35/45		f _{yk} = 35.0 MPa					
f _{y,k} = 500 MPa		'f _s = 1.15		α _{cc} = 0.9		E _{cm} = 34.0 GPa			
f _{y,d} = 434.8 MPa		e _{sd,f_{yk}} = 0.9		V _c = 1.5		f _{ed} = 21.0 MPa			
E _y = 200.0 GPa		k = f _{t,f_y}		a _g = 5.88		f _{c,1,m} = 3.2 MPa			
e _{sk} = 50 [·10 ⁻³]		e ₃ = -1.75		e _{3,0} = -3.5 [·10 ⁻³]					
Ohybová výtěžůž									
10 Ø 25 mm		1. řada		A _{s,1} = 4909 mm²		(0.242%)			
0 Ø 20 mm		2. řada		A _{s,2} = mm²		(0.000%)			
0 Ø 20 mm		3. řada		A _{s,3} = mm²		(0.000%)			
10 Ø 32 mm		Z=0.082		A _{s2} = 8042 mm²		(0.397%)			
Rozdělovací výtěžůž (minimální)									
20.0 Ø 8 mm		A _{s,sep} = 982 mm²		Stupeň výtěžůžení					
(pro desky)		A _{s,min} < A _{s,1} < A _s < A _{s,max}		3 174 < 4 909 < 12951 < 81 000		Vyhovuje			
Smyková výtěžůž									
4 Ø 16 mm		A _{w,stirrup} = 804 mm²		α _w = 90°					
S _{w,st} = 150 mm		A _{w,stirrup} = 5362 mm²/m²		P _{w,s} = 0.36%					
0 Ø 16 mm		A _{w,bend} = mm²		α _b = 45°					
S _{w,b} = 450 mm		P _{w,b} = 0.00% < P _{w,s} = 0.36%		Vyhovuje					
		P _{w,s,min} < P _{w,s} < P _{w,s,max}		0.09% 0.36% 1.00%		Vyhovuje			
Vnitřní síly na průřezu									
M _{Ed} = 1261 kNm		N _{Ed} = 0 kN		V _{Ed} = 2435 kN		(MSU)			
Excentricita pro MSÚ:		Ne		e _{char} = 0.000 m					
M _{Ek,char} = 834 kNm		N _{Ek,char} = 0 kN		e _{char} = 0.000 m		(Charakteristická)			
M _{Ek,kvazi} = 0 kNm		N _{Ek,kvazi} = 0 kN		e _{k,vazi} = 0.000 m		(Kvazistála)			
Štíhlostní kritérium									
l ₀ = 0.7 * 0 = 0.000 π		N _{Ed} = 0 kN		V _{Ed} = 2435 kN		L = 0.00 m			
i = √(0.308 / 2.025) = 0.390 m		λ = 0.000 / 0.390 = 0.000		λ = 0.000 / 0.390 = 0.000		Masivní prvek			
Smyková únosnost - bez smykové výtěžůže									
V _{Ed,e} = (0.12 * 1.397 * 35.0 + 0.15 * 0.000) * 1500 = 0.665 MN		V _{Ed,e} = 0.665 MN		V _{Ed} = 2.435 MN		366% Nevhovuje			
Smyková únosnost - se smykovou výtěžůží									
1 < cot θ = 1.428 < 2.5		θ = 35.00°		V _{Ed} = 2.435 MN		Vyhovuje			
Sklon tlakových diagonál									
Δf _{td} = 1 * 2435 * (1.428 - 0.000) = 3.478 MN		V _{Ed,max} = 0.516		V _{Ed} = 2.435 MN		Vyhovuje			
Dodatečná tahová síla									
Únosnost tlakové diagonály		Únosnost tlakové diagonály		Únosnost tlakové diagonály		Únosnost tlakové diagonály			
Únosnost tlakové diagonály		Únosnost tlakové diagonály		Únosnost tlakové diagonály		Únosnost tlakové diagonály			
Únosnost tlakové diagonály		Únosnost tlakové diagonály		Únosnost tlakové diagonály		Únosnost tlakové diagonály			
Únosnost tlakové diagonály		Únosnost tlakové diagonály		Únosnost tlakové diagonály		Únosnost tlakové diagonály			
Únosnost tlakové diagonály		Únosnost tlakové diagonály		Únosnost tlakové diagonály		Únosnost tlakové diagonály			
Únosnost tlakové diagonály		Únosnost tlakové diagonály		Únosnost tlakové diagonály		Únosnost tlakové diagonály			
Únosnost tlakové diagonály		Únosnost tlakové diagonály		Únosnost tlakové diagonály		Únosnost tlakové diagonály			
Únosnost tlakové diagonály		Únosnost tlakové diagonály		Únosnost tlakové diagonály		Únosnost tlakové diagonály			
Únosnost tlakové diagonály		Únosnost tlakové diagonály		Únosnost tlakové diagonály		Únosnost tlakové diagonály			
Únosnost tlakové diagonály		Únosnost tlakové diagonály		Únosnost tlakové diagonály		Únosnost tlakové diagonály			
Únosnost tlakové diagonály		Únosnost tlakové diagonály		Únosnost tlakové diagonály		Únosnost tlakové diagonály			
Únosnost tlakové diagonály		Únosnost tlakové diagonály		Únosnost tlakové diagonály		Únosnost tlakové diagonály			
Únosnost tlakové diagonály		Únosnost tlakové diagonály		Únosnost tlakové diagonály		Únosnost tlakové diagonály			
Únosnost tlakové diagonály		Únosnost tlakové diagonály		Únosnost tlakové diagonály		Únosnost tlakové diagonály			
Únosnost tlakové diagonály		Únosnost tlakové diagonály		Únosnost tlakové diagonály		Únosnost tlakové diagonály			
Únosnost tlakové diagonály		Únosnost tlakové diagonály		Únosnost tlakové diagonály		Únosnost tlakové diagonály			
Únosnost tlakové diagonály		Únosnost tlakové diagonály		Únosnost tlakové diagonály		Únosnost tlakové diagonály			
Únosnost tlakové diagonály		Únosnost tlakové diagonály		Únosnost tlakové diagonály		Únosnost tlakové diagonály			
Únosnost tlakové diagonály		Únosnost tlakové diagonály		Únosnost tlakové diagonály		Únosnost tlakové diagonály			
Únosnost tlakové diagonály		Únosnost tlakové diagonály		Únosnost tlakové diagonály		Únosnost tlakové diagonály			
Únosnost tlakové diagonály		Únosnost tlakové diagonály		Únosnost tlakové diagonály		Únosnost tlakové diagonály			
Únosnost tlakové diagonály		Únosnost tlakové diagonály		Únosnost tlakové diagonály		Únosnost tlakové diagonály			
Únosnost tlakové diagonály		Únosnost tlakové diagonály		Únosnost tlakové diagonály		Únosnost tlakové diagonály			
Únosnost tlakové diagonály		Únosnost tlakové diagonály		Únosnost tlakové diagonály		Únosnost tlakové diagonály			
Únosnost tlakové diagonály		Únosnost tlakové diagonály		Únosnost tlakové diagonály		Únosnost tlakové diagonály			
Únosnost tlakové diagonály		Únosnost tlakové diagonály		Únosnost tlakové diagonály		Únosnost tlakové diagonály			
Únosnost tlakové diagonály		Únosnost tlakové diagonály		Únosnost tlakové diagonály		Únosnost tlakové diagonály			
Únosnost tlakové diagonály		Únosnost tlakové diagonály		Únosnost tlakové diagonály		Únosnost tlakové diagonály			
Únosnost tlakové diagonály		Únosnost tlakové diagonály		Únosnost tlakové diagonály		Únosnost tlakové diagonály			
Únosnost tlakové diagonály		Únosnost tlakové diagonály		Únosnost tlakové diagonály		Únosnost tlakové diagonály			
Únosnost tlakové diagonály		Únosnost tlakové diagonály		Únosnost tlakové diagonály		Únosnost tlakové diagonály			
Únosnost tlakové diagonály		Únosnost tlakové diagonály		Únosnost tlakové diagonály		Únosnost tlakové diagonály			
Únosnost tlakové diagonály		Únosnost tlakové diagonály		Únosnost tlakové diagonály		Únosnost tlakové diagonály			
Únosnost tlakové diagonály		Únosnost tlakové diagonály		Únosnost tlakové diagonály		Únosnost tlakové diagonály			
Únosnost tlakové diagonály		Únosnost tlakové diagonály		Únosnost tlakové diagonály		Únosnost tlakové diagonály			
Únosnost tlakové diagonály		Únosnost tlakové diagonály		Únosnost tlakové diagonály		Únosnost tlakové diagonály			
Únosnost tlakové diagonály		Únosnost tlakové diagonály		Únosnost tlakové diagonály					

- oblast D - max. ohyb. moment (nad obloukem, B=1000)

Oblast D - malý příčník - spodní výztuž - ohyb

Průřez	b _{eff}	c ₁	b _w	c ₂	H	W _{k,max}	XD, XS, XF																		
Materiály																									
ocel: B 500 B																									
beton: C35/45																									
f _{yk} = 500 MPa	f _{yk} = 500 MPa	f _{yk} = 500 MPa	f _{yk} = 500 MPa	f _{yk} = 500 MPa	f _{yk} = 500 MPa	f _{yk} = 500 MPa	f _{yk} = 500 MPa	f _{yk} = 500 MPa	f _{yk} = 500 MPa																
f _{td} = 434.8 MPa	f _{td} = 434.8 MPa	f _{td} = 434.8 MPa	f _{td} = 434.8 MPa	f _{td} = 434.8 MPa	f _{td} = 434.8 MPa	f _{td} = 434.8 MPa	f _{td} = 434.8 MPa	f _{td} = 434.8 MPa	f _{td} = 434.8 MPa																
E _y = 200.0 GPa	E _y = 200.0 GPa	E _y = 200.0 GPa	E _y = 200.0 GPa	E _y = 200.0 GPa	E _y = 200.0 GPa	E _y = 200.0 GPa	E _y = 200.0 GPa	E _y = 200.0 GPa	E _y = 200.0 GPa																
ε _{yk} = 50 [-10 ⁻³]	ε _{yk} = 50 [-10 ⁻³]	ε _{yk} = 50 [-10 ⁻³]	ε _{yk} = 50 [-10 ⁻³]	ε _{yk} = 50 [-10 ⁻³]	ε _{yk} = 50 [-10 ⁻³]	ε _{yk} = 50 [-10 ⁻³]	ε _{yk} = 50 [-10 ⁻³]	ε _{yk} = 50 [-10 ⁻³]	ε _{yk} = 50 [-10 ⁻³]																
Ohybová výztuž																									
7 Ø 25 mm	1. řada	A _{s1,1} = 3436 mm ²																							
0 Ø 20 mm	2. řada	A _{s1,2} = mm ²																							
0 Ø 20 mm	3. řada	A _{s1,3} = mm ²																							
7 Ø 32 mm	z=0.078	A _{s2} = 5630 mm ²																							
Rozdělovací výztuž (minimální)																									
14.0 Ø 8 mm	A _{s,perp} = 687 mm ²																								
(pro desky)																									
Smyková výztuž																									
4 Ø 12 mm	A _{w,sloup} = 452 mm ²																								
0 Ø 16 mm	A _{w,sloup} = 3016 mm ² /m ²																								
0 Ø 16 mm	A _{w,bend} = mm ²																								
S _{w,b} = 450 mm	P _{w,b} = 0.00% < P _{w,s} = 0.30%																								
Stupeň výztužení																									
Vyhovuje																									
Vnitřní síly na průřezu																									
M _{Ed} = 668 kNm	N _{Ed} = 0 kN	V _{Ed} = 1660 kN																							
Excentricita pro MSÚ:																									
M _{Ed,char} = 480 kNm	N _{Ed,char} = 0 kN	e _{char} = 0.000 m																							
M _{Ed,kvazi} = 93 kNm	N _{Ed,kvazi} = 0 kN	e _{k,quasi} = 0.000 m																							
Štíhlostní kritérium																									
L ₀ = 0.7 * 0 = 0.000 m	λ _{0m} = 500.000	λ = 0.000																							
i = √(0.205 / 1.350) = 0.390 m																									
Posouzení																									
Smyková únosnost - bez smykové výztuže																									
V _{Ed,s} = (0.12 * 1.396 * (0.269 * 35.0 + 0.15 * 0.000) * 1000) * 1276 = 0.451 MN																									
V _{Ed,s} = 0.451 MN	V _{Ed} = 1.660 MN																								
Posouzení																									
Smyková únosnost - se smykovou výztuží																									
1 < cot θ = 1.428 < 2.5	θ = 35.00°																								
Sklon tlakových diagonál																									
soudržitel redukce únosnosti tlak. diag.																									
Dodatečná tahová síla																									
ΔF _{td} = 1 * 1660 * (1.428 - 0.000) = 2.371 MN																									
Únosnost tlakové diagonály																									
V _{Ed,max} = 0.516 * 21.0 * 1000 * 1188 / (0.70021 + 1.42815) = 6.047 MN																									
Únosnost třmínků																									
V _{Ed,st} = 452 * 434.8 * 1.188 * 1.42815 / 150 = 2.224 MN																									
Únosnost ohybů																									
V _{Ed,b} = 0 * 434.8 * 0.707 * 1.188 * 2.42815 / 450 = 0.000 MN																									
Posouzení																									
V _{Ed,s} = 2.224 MN	V _{Ed} = 1.660 MN																								
Vyhovuje																									

Stavení napjatosti průřezu na MSÚ (M+N+V)	e _e = -0.227 [-10 ⁻³]	e _{st} = 0.277 m	e _z = 1.073 m															
Průřez																		
Průřez																		
Průřez																		
Průřez																		
Průřez																		
Průřez																		
Průřez																		
Průřez																		
Průřez																		
Průřez																		
Průřez																		
Průřez																		
Průřez																		
Průřez																		
Průřez																		
Průřez																		
Průřez																		
Průřez																		
Průřez																		
Průřez																		
Průřez																		
Průřez																		
Průřez																		
Průřez																		
Průřez																		
Průřez																		
Průřez																		
Průřez																		
Průřez																		
Průřez																		
Průřez																		
Průřez																		
Průřez																		
Průřez																		
Průřez																		
Průřez																		
Průřez																		
Průřez																		
Průřez																		
Průřez																		
Průřez																		
Průřez																		
Průřez																		
Průřez																		
Průřez																		
Průřez																		
Průřez																		
Průřez																		
Průřez																		
Průřez																		
Průřez																		
Průřez																		
Průřez																		
Průřez																		
Průřez																		
Průřez																		
Průřez																		
Průřez																		
Průřez																		
Průřez																		
Průřez																		
Průřez																		

- oblast D - min. ohyb. moment (nad obloukem, B=1000)

Oblast D - malý příčník - horní výtěž - ohyb

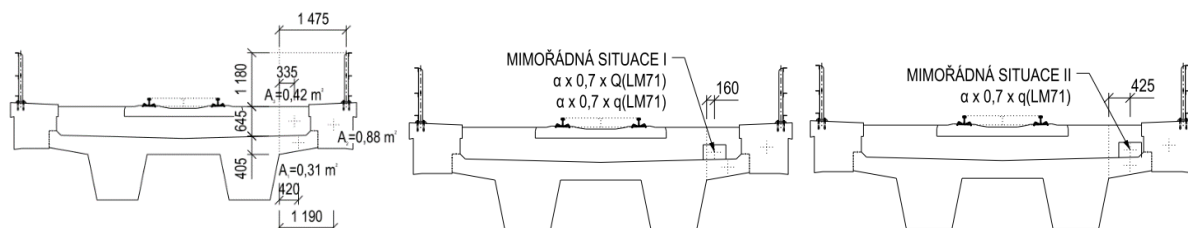
Průřez																												
b _{eff} = 1000 mm	b _w = 1000 mm	H = 1350 mm	W _{k,max} = 0.20 mm	XD, XS, XF																								
c ₁ = 50 mm	c ₂ = 50 mm																											
Materiály																												
ocel: B 500	B	beton: C35/45																										
f _{yk} = 500 MPa	f _{yk} = 1.15	α _{cc} = 0.9	E _{cm} = 34.0 GPa	f _{ck} = 35.0 MPa																								
f _{yd} = 434.8 MPa	e _{sd} /e _{sk} = 0.9	V _c = 1.5	f _{td} = 21.0 MPa																									
E _y = 200.0 GPa	k = f _t /f _y = 1.08	α _e = 5.88	f _{ct,m} = 3.2 MPa																									
e _{sk} = 50 [-10 ⁻³]	e _{s3} = -1.75	e _{s3} = -3.5 [-10 ⁻³]																										
Ohybová výtěž																												
7 Ø 32 mm	1. řada	A _{s1,1} = 5630 mm ²	(0.417%)																									
0 Ø 20 mm	2. řada	A _{s1,2} = mm ²	(0.000%)																									
0 Ø 20 mm	3. řada	A _{s1,3} = mm ²	(0.000%)																									
7 Ø 25 mm	4. řada	A _{s2} = 3436 mm ²	(0.255%)																									
Rozdělovací výtěž (minimální)																												
23.0 Ø 8 mm	A _{s,perp} = 1126 mm ²																											
(pro desky)																												
Smyková výtěž																												
4 Ø 12 mm	A _{w,sloup} = 452 mm ²	α _w = 90																										
S _{se,st} = 150 mm	A _{w,sloup} = 3016 mm ² /m ²	P _{w,s} = 0.30%																										
0 Ø 16 mm	A _{w,bend} = mm ²	α _b = 45																										
S _{w,b} = 450 mm	P _{w,b} = 0.00% < P _{w,s} = 0.30%	Vyhovuje																										
Vnitřní síly na průřezu																												
M _{Ed} = 2096 kNm	N _{Ed} = 0 kN	V _{Ed} = 830 kN	(MSU)																									
Excentricita pro MSU:																												
M _{Ed,char} = 1615 kNm	N _{Ed,char} = 0 kN	e _{char} = 0.000 m	(Charakteristická)																									
M _{Ed,kvazi} = 1190 kNm	N _{Ed,kvazi} = 0 kN	e _{k,quasi} = 0.000 m	(Kvazistála)																									
Štíhlostní kritérium																												
l ₀ = 0.7 * 0 = 0.000 m	λ _{sloup} = 500.000	λ = 0.000	Masivní prvek																									
i = √(0.205 / 1.350) = 0.390 m																												
Smyková únosnost - bez smykové výtěž																												
V _{Ed,s} = (0.12 * 1.397 * (0.443 * 35.0 + 0.15 * 0.000)) * 1000 = 1272 = 0.531 MN																												
V _{Ed,s} = 0.531 MN	V _{Ed} = 0.830 MN	156%	Nevyhovuje																									
Smyková únosnost - se smykovou výtěž																												
1 < cot θ = 1.428 < 2.5	θ = 35.00°	Vyhovuje																										
Sklon tlakových diagonál součinitel redukce únosnosti tlak. diag.																												
Dodatečná tahová síla																												
ΔF _{td} = 1 * 830 * (1.428 - 0.000) = 1.185 MN																												
V _{Ed,max} = 0.516	21.0 * 1000 * 1159 / (0.70021 + 1.42815) = 5.899 MN																											
V _{Ed,st} = 452	434.8 * 1.159 * 1.42815 / 150 = 2.170 MN																											
V _{Ed,b} = 0	434.8 * 0.707 * 1.159 * 2.42815 / 450 = 0.000 MN																											
V _{Ed,s} = 2.170 MN	V _{Ed} = 0.830 MN	38%	Vyhovuje																									

Stavení napjatosti průřezu na MSÚ (M+N+V)

Úprava polohy N.O.																
e _c = -0.655 [-10 ⁻³]	e _{s2} = 0.369 mm	e _z = 0.982 mm														
-0.1 mm	+1.0 mm	-0.1 mm														
Silová podmínka vyhovuje																
z = 1.159 m																
rameno vnitřních sil																
M _{Ed} = 2.094 MNm																
celkem																
M _{Ed} = -0.0011 MN																
vzdálenost N.O. od spodních vláken																
z = 0.982 m																
Silová podmínka rovnováhy																
Momentová podm. rovnováhy																
Interakce ohybového a smykového namáhání																
M _{Ed} = 0.00063																
e _{sm} -e _{cm} = 0.00063																
e _{sm} -e _{cm} = 0.00063																
w _k = 0.191 mm																
w _{k,max} = 0.200 mm																
w _k = 0.191 mm																
w _{k,max} = 0.200 mm																
w _k = 0.191 mm																
w _{k,max} = 0.200 mm																
w _k = 0.191 mm																
w _{k,max} = 0.200 mm																
w _k = 0.191 mm																
w _{k,max} = 0.200 mm																
w _k = 0.191 mm																
w _{k,max} = 0.200 mm																
w _k = 0.191 mm																
w _{k,max} = 0.200 mm																
w _k = 0.191 mm																
w _{k,max} = 0.200 mm																
w _k = 0.191 mm																
w _{k,max} = 0.200 mm																
w _k = 0.191 mm																
w _{k,max} = 0.200 mm																
w _k = 0.191 mm																
w _{k,max} = 0.200 mm																
w _k = 0.191 mm																
w _{k,max} = 0.200 mm																
w _k = 0.191 mm																
w _{k,max} = 0.200 mm																
w _k = 0.191 mm																
w _{k,max} = 0.200 mm																
w _k = 0.191 mm																
w _{k,max} = 0.200 mm																
w _k = 0.191 mm																
w _{k,max} = 0.200 mm																
w _k = 0.191 mm																
w _{k,max} = 0.200 mm																
w _k = 0.191 mm																
w _{k,max} = 0.200 mm																
w _k = 0.191 mm																
w _{k,max} = 0.200 mm																
w _k = 0.191 mm																
w _{k,max} = 0.200 mm																
w _k = 0.191 mm																
w _{k,max} = 0.200 mm																
w _k = 0.191 mm																
w _{k,max} = 0.200 mm																
w _k = 0.191 mm																
w _{k,max} = 0.200 mm																
w _k = 0.191 mm																
w _{k,max} = 0.200 mm																
w _k = 0.191 mm																
w _{k,max} = 0.200 mm																
w _k = 0.191 mm																

5.2.1 Konzola

Pro určení výztuže konzoly byly určeny konzervativně určeny zatěžovací stavy pro konzolu v místě rozšířené římsy bez uvážení podporového příčnicku. Jednotlivé zatěžovací stavy viz souhrn níže.



Konzola - trvalá situace									
Zatížení		A	γ	r	F_k	M_k	γ_F	F_d	M_d
		[m²]	[kN/m³]	[m]	[kN]	[kNm]	[-]	[kN]	[kNm]
G0	Tíha konzoly	0.31	25	0.42	7.75	3.255	1.35	10.463	4.3943
	Izolační souvrství (1.5 kN/m²)	-	-	0.345	1.035	0.3571	1.35	1.3973	0.4821
	Šterkové lože	0.42	23	0.335	9.66	3.2361	1.35	13.041	4.3687
	Římsa	0.88	25	1.19	22	26.18	1.35	29.7	35.343
	Zábradlí	-	-	1.475	1	1.475	1.35	1.35	1.9913
Q	Zatížení zábradlí svislé	-	-	1.475	1	1.475	1.5	1.5	2.2125
	Zatížení zábradlí vodorovné	-	-	2.02	1	2.02	1.5	1.5	3.03
CELKEM					43.445	37.998		58.951	51.822

Konzola - mimořádná situace I									
Zatížení		A	γ	r	F_k	M_k	γ_A	F_d	M_d
		[m²]	[kN/m³]	[m]	[kN]	[kNm]	[-]	[kN]	[kNm]
G0	Tíha konzoly	0.31	25	0.42	7.75	3.255	1	7.75	3.255
	Izolační souvrství (1.5 kN/m²)	-	-	0.345	1.035	0.3571	1	1.035	0.3571
	Šterkové lože	0.42	23	0.335	9.66	3.2361	1	9.66	3.2361
	Římsa	0.88	25	1.19	22	26.18	1	22	26.18
	Zábradlí	-	-	1.475	1	1.475	1	1	1.475
A	Vykolejení vlaku (situace I)	-	-	0.16	132.34	21.175	1	132.34	21.175
Q	Zatížení zábradlí svislé	-	-	1.475	1	1.475	1	1	1.475
	Zatížení zábradlí vodorovné	-	-	2.02	1	2.02	1	1	2.02
CELKEM					175.79	59.173		175.79	59.173

Konzola - mimořádná situace II									
Zatížení		A	γ	r	F_k	M_k	γ_A	F_d	M_d
		[m²]	[kN/m³]	[m]	[kN]	[kNm]	[-]	[kN]	[kNm]
G0	Tíha konzoly	0.31	25	0.42	7.75	3.255	1	7.75	3.255
	Izolační souvrství (1.5 kN/m²)	-	-	0.345	1.035	0.3571	1	1.035	0.3571
	Šterkové lože	0.42	23	0.335	9.66	3.2361	1	9.66	3.2361
	Římsa	0.88	25	1.19	22	26.18	1	22	26.18
	Zábradlí	-	-	1.475	1	1.475	1	1	1.475
A	Vykolejení vlaku (situace II)	-	-	0.425	135.52	57.596	1	135.52	57.596
Q	Zatížení zábradlí svislé	-	-	1.475	1	1.475	1	1	1.475
	Zatížení zábradlí vodorovné	-	-	2.02	1	2.02	1	1	2.02
CELKEM					178.97	95.594		178.97	95.594

- konzola (trvalá situace)

Konzola - trvalá situace

Průřez

b_{eff} = 1000 mm

c₁ = 50 mm

b_w = 1000 mm

c₂ = 50 mm

H = 400 mm

w_{k,max} = 0.20 mm

XD, XS, XF

Materiály

ocel: B 500 B

f_{yk} = 500 MPa

f_{yk} = 1.15

α_{cc} = 0.9

E_{cm} = 34.0 GPa

f_{td} = 434.8 MPa

e_{sd}/e_{sk} = 0.9

V_c = 1.5

f_{cd} = 21.0 MPa

E_y = 200.0 GPa

k = f_t/f_y = 1.08

α_g = 5.88

f_{ct,m} = 3.2 MPa

e_{sk} = 50 [·10⁻³]

e_{g3} = -1.75

e_{g3} = -3.5 [·10⁻³]

beton: C35/45

f_{ck} = 35.0 MPa

E_{cm} = 34.0 GPa

f_{cd} = 21.0 MPa

f_{ct,m} = 3.2 MPa

e_{g3} = -3.5 [·10⁻³]

tažená výtěž

6.66667 Φ 12 mm

1. řada

A_{s1,1} = 754 mm²

(0.188%)

2. řada

A_{s1,2} = mm²

(0.000%)

3. řada

A_{s1,3} = mm²

(0.000%)

tlacená výtěž

6.66667 Φ 12 mm

z=0.064

A_{s2} = 754 mm²

(0.188%)

3.0 Φ 8 mm

A_{s,perp} = 151 mm²

A_{s,min} < A_{s,i} < A_{s,max}

559 < 754 < 1508 < 16 000

(pro desky)

59

1508

16 000

59

1508

16 000

59

1508

16 000

59

1508

16 000

59

1508

16 000

59

1508

16 000

59

1508

16 000

59

1508

16 000

59

1508

16 000

59

1508

16 000

59

1508

16 000

59

1508

16 000

59

1508

16 000

59

1508

16 000

59

1508

16 000

59

1508

16 000

59

1508

16 000

59

1508

16 000

59

1508

16 000

59

1508

16 000

59

1508

16 000

59

1508

16 000

59

1508

16 000

59

1508

16 000

59

1508

16 000

59

1508

16 000

59

1508

16 000

59

1508

16 000

59

1508

16 000

59

1508

16 000

59

1508

16 000

59

1508

16 000

59

1508

16 000

59

1508

16 000

59

1508

16 000

59

1508

16 000

59

1508

16 000

59

1508

16 000

59

1508

16 000

59

1508

16 000

59

1508

16 000

59

1508

16 000

59

1508

16 000

59

1508

16 000

59

1508

16 000

59

1508

16 000

59

1508

16 000

59

1508

16 000

59

1508

16 000

59

1508

16 000

59

1508

16 000

59

1508

16 000

59

1508

16 000

59

1508

16 000

59

1508

16 000

59

1508

16 000

59

1508

16 000

59

1508

16 000

59

1508

16 000

59

1508

16 000

59

1508

16 000

59

1508

16 000

59

1508

16 000

59

1508

16 000

59

1508

16 000

59

1508

16 000

59

1508

16 000

59

1508

16 000

59

1508

16 000

59

1508

16 000

59

1508

16 000

59

1508

16 000

59

1508

16 000

59

1508

16 000

59

1508

16 000

59

1508

16 000

59

1508

16 000

59

1508

16 000

59

1508

16 000

59

1508

16 000

59

1508

16 000

59

1508

16 000

59

1508

16 000

59

1508

16 000

59

1508

16 000

59

1508

16 000

59

1508

16 000

59

1508

16 000

59

1508

16 000

59

1508

16 000

59

1508

16 000

59

1508

16 000

59

1508

16 000

59

1508

16 000

59

1508

16 000

59

1508

16 000

59

1508

16 000

59

1508

16 000

59

1508

16 000

59

1508

16 000

59

1508

16 000

59

1508

16 000

59

1508

16 000

59

1508

16 000

59

1508

16 000

59

1508

16 000

59

1508

16 000

59

1508

16 000

59

1508

16 000

59

1508

16 000

59

1508

16 000

59

1508

16 000

59

1508

16 000

59

1508

16 000

59

1508

16 000

59

1508

16 000

59

1508

16 000

59

1508

16 000

59

1508

16 000

59

1508

16 000

59

1508

16 000

59

1508

16 000

59

1508

16 000

59

1508

16 000

59

1508

16 000

59

1508

16 000

59

1508

16 000

59

1508

16 000

59

1508

16 000

59

1508

16 000

59

1508

16 000

59

1508

16 000

59

1508

16 000

59

1508

16 000

59

1508

16 000

59

1508

16 000

59

1508

16 000

59

1508

16 000

59

1508

16 000

59

1508

16 000

59

1508

16 000

59

1508

16 000

59

1508

16 000

59

1508

16 000

59

1508

16 000

59

1508

16 000

59

1508

16 000

59

1508

16 000

59

1508

16 000

59

1508

16 000

59

1508

16 000

59

1508

16 000

59

1508

16 000

59

1508

16 000

59

1508

16 000

59

1508

16 000

59

1508

16 000

59

1508

16 000

59

1508

16 000

59

1508

16 000

59

1508

16 000

59

1508

16 000

59

1508

16 000

59

1508

16 000

59

1508

16 000

59

1508

16 000

59

1508

16 000

59

1508

16 000

59

1508

16 000

59

1508

16 000

59

1508

16 000

59

1508

16 000

59

1508

16 000

59

1508

16 000

59

1508

16 000

59

1508

16 000

59

1508

16 000

59

1508

16 000

59

1508</

5.3 Posudky detailů nosné konstrukce

5.3.1 Kotevní oblasti předpětí

Kotevní oblasti byly posouzeny na deskovém modelu v programu SCIA Engineer 2008. Model byl vytvořen jako výsek nosné konstrukce, kdy společně s příčnicí byla modelována i cca 1/2 přilehlého pole. Posouzení bylo provedeno samostatně pro oblast opěr a pro oblast pracovních spár mezi betonážními celky.

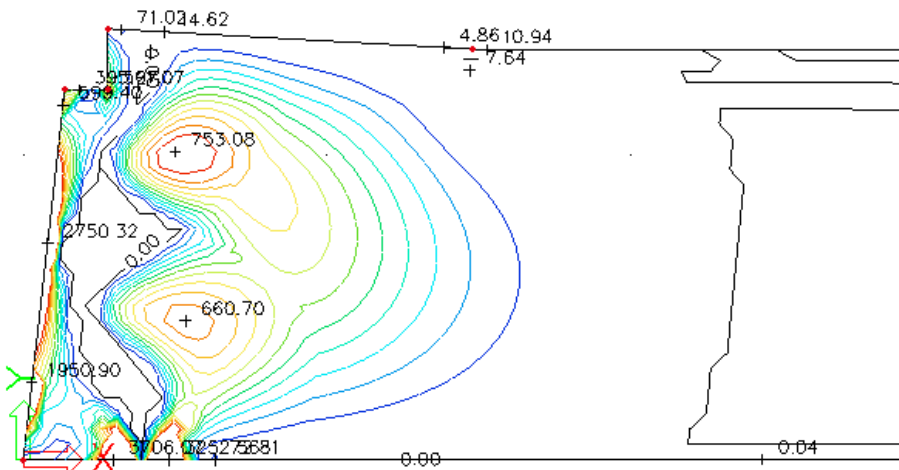
Výsledné izoliny jsou zobrazeny jako obálka jednotlivých předpínacích sil včetně možných postupů napínání. Výztuž byla vyhodnocena na základě silových výslednic na desko-stěnovém modelu.

NÁVRH KOTEVNÍ OBLASTI							
šířka kotevní desky:	a=	0.260	m	šířka přiřazeného obdélníka:	c=	0.504	m
výška kotevní desky:	a'=	0.260	m	výška přiřazeného obdélníka:	c'=	0.500	m
plocha kotevní desky	A ₀ =	0.068	m ²	plocha přiřazeného obdélníka:	A ₁ =	0.252	m ²
poměry rozměrů:	c/a=	1.938	-	c'/a'=	1.923	-	max= 2.413 OK
pevnost bet. v tlaku:	f _{ck} (t)=	29.750	MPa	napínací napětí:	σ _{p,in} =	1425.000	MPa
plocha kabelu	A _{p,1} =	2250.000	mm ²	použitá kotevní síla:	P_{in}=	3.206	MN
				maximální kotevní síla:	P_{max}=	4.498	MN
VÝZTUŽ KOTEVNÍ OBLASTI							
součinitel předpětí:	γ _{p,unfav} =	1.200	-	mez kluzu oceli (návrh.)	f _{yd} =	434.783	MPa
výztuž v přidruženém hranolu:	A _{s,min} =	1327.388	mm ²	povrch. výztuž u čela:	A _{s,min} =	265.478	mm ²
Ø 16.000 mm	n=	7.000	ks		n=	2.000	ks

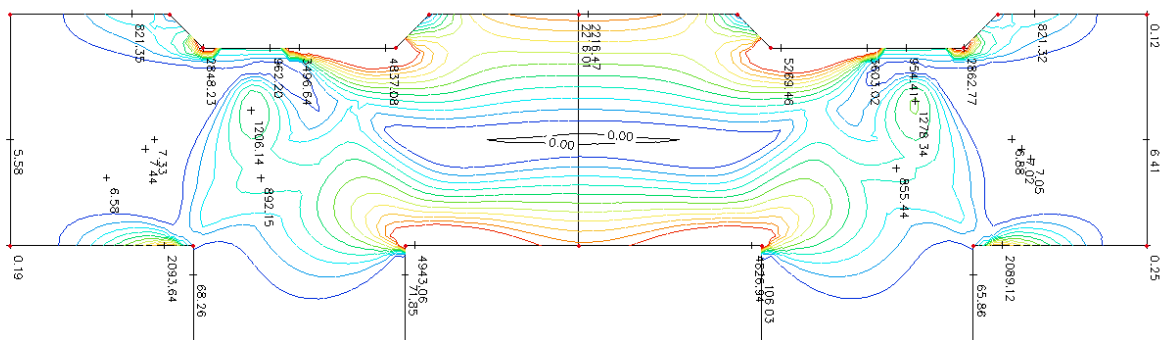
Poznámka pro umístění výztuže: Výztuž je nutno umístit do oblastí přidruženého hranolu tedy v délce 1.2max(c,c') za kotvou.

NÁVRH DLE ŘEZŮ V DESKOSTĚNOVÉM MODELU							
Kotevní oblast - opěra							
Oblast výztuže	L	F	γ _{p,unfav}	f _{yd}	A _{s,req}	Ø	n
	[mm]	[kN]	[-]	[MPa]	[mm ²]	[mm]	[-]
Svislá - spodní kužel	1300	435	1.2	400	1305	16	7
Svislá - horní kužel	1000	430	1.2	400	1290	16	7
Svislá - povrch	100	48	1.2	400	144	12	2
Půdorys - kužel	800	598	1.2	400	1794	16	9
Půdorys - povrch mezi	600	676	1.2	400	2028	16	11
Půdorys - povrch vně	200	90	1.2	400	270	16	2
Půdorys - náběh	500	791	1.2	400	2373	16	12
Půdorys nosník x příčník	400	555	1.2	400	1665	16	9
Půdorys nosník x příčník	100	103	1.2	400	309	16	2
Kotevní oblast - spára betonážních dílů							
Oblast výztuže	L	F	γ _{p,unfav}	f _{yd}	A _{s,req}	Ø	n
	[mm]	[kN]	[-]	[MPa]	[mm ²]	[mm]	[-]
Svislá - kužel	1000	573	1.2	400	1719	16	9
Půdorys - kužel	600	417	1.2	400	1251	16	7
Půdorys - povrch	100	100	1.2	400	300	12	3

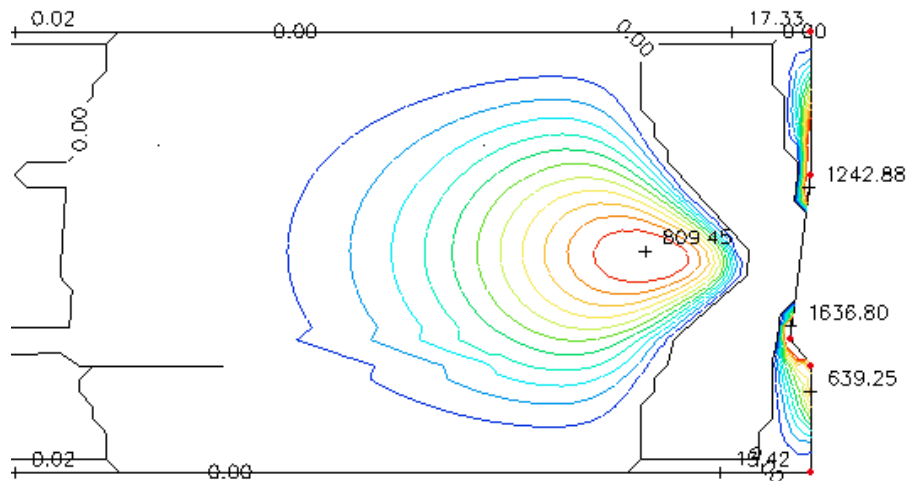
– Oblast opěr – podélný řez – n_y [kN/m]



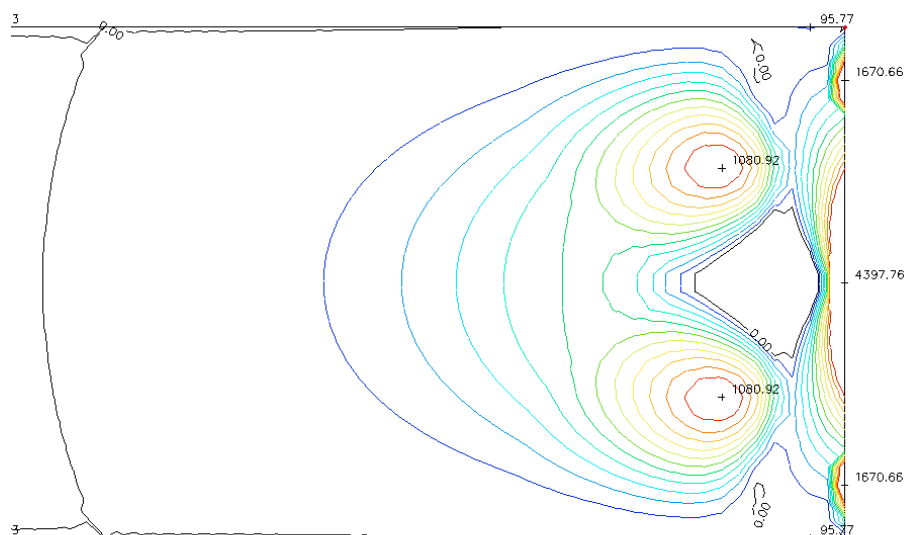
– Oblast opěr – půdorys – n_y [kN/m]



– Oblast pracovní spáry – podélný řez – n_y [kN/m]



– Oblast pracovní spáry – půdorys – n_y [kN/m]

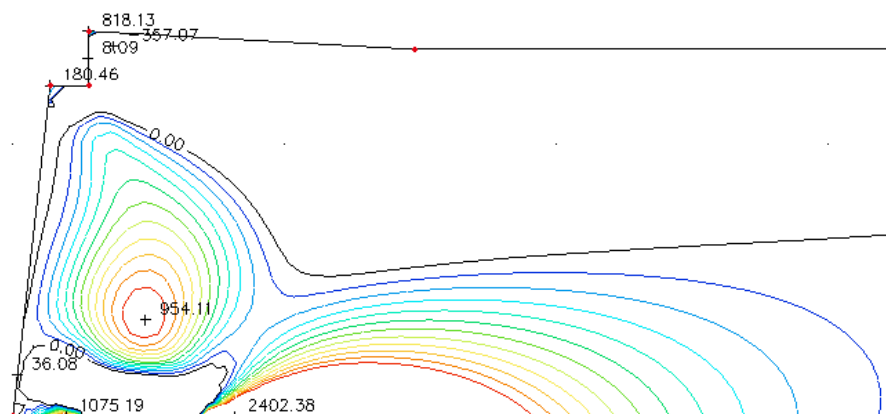


5.3.2 Oblast pod ložisky

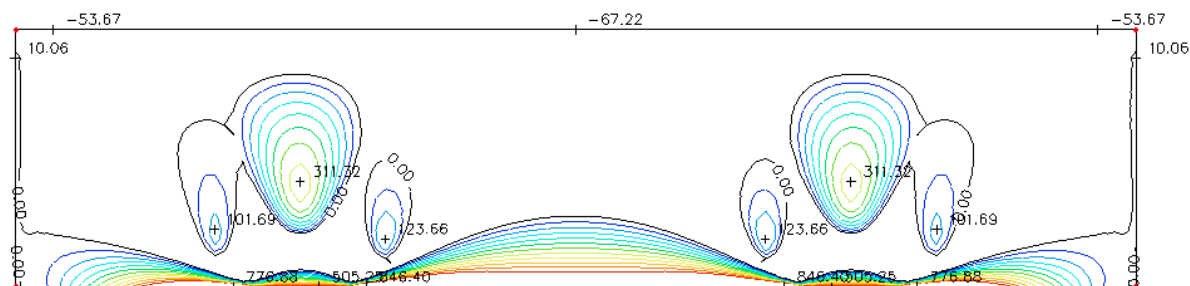
Oblast pod ložisky byla navržena obdobně jako kotevní oblast na desko-stěnovém modelu.

NÁVRH PODLOŽISKOVÉ OBLASTI NA NK - KONCOVÉ PŘÍČNÍKY							
šířka kotevní desky:	a=	0.370	m	šířka přiřazeného obdélníka:	c=	0.680	m
délka kotevní desky:	a'=	0.370	m	délka přiřazeného obdélníka:	c'=	1.110	m
pevnost bet. v tlaku:	$f_{ck}(t)$ =	35.000	MPa	výška oblasti:	h=	0.740	m
návrhová pevnost:	$f_{cd}(t)$ =	49.310	MPa	plocha přiřazeného obdélníka:	A_1 =	0.755	m ²
plocha ložiska:	A_0 =	0.137	m ²	návrh. síla od ložiska:	R_{Ed} =	2.700	MN
				max. síla od ložiska:	R_{Rd} =	6.751	MN
LISY PRO VÝMĚNU LOŽISEK							
šířka kotevní desky:	a=	0.110	m	šířka přiřazeného obdélníka:	c=	0.330	m
délka kotevní desky:	a'=	0.110	m	délka přiřazeného obdélníka:	c'=	0.330	m
pevnost bet. v tlaku:	$f_{ck}(t)$ =	35.000	MPa	výška oblasti:	h=	0.220	m
návrhová pevnost:	$f_{cd}(t)$ =	63.000	MPa	plocha přiřazeného obdélníka:	A_1 =	0.109	m ²
plocha ložiska:	A_0 =	0.012	m ²	návrh. síla od ložiska:	R_{Ed} =	0.530	MN
				max. síla od ložiska:	R_{Rd} =	0.762	MN
NÁVRH VÝZTUŽE DLE ŘEZŮ V DESKOSTĚNOVÉM MODELU							
Podélný řez mostem							
Oblast výztuže	L	F	$V_{p,untov}$	f_{yd}	$A_{s,req}$	\emptyset	n
	[mm]	[kN]	[-]	[MPa]	[mm ²]	[mm]	[-]
Vodorovná - kužel	900	534	1	435	1228	12	11
Vodorovná u povrchu	100	114	1	435	262	12	3
Pohled na příčník							
Oblast výztuže	L	F	$V_{p,untov}$	f_{yd}	$A_{s,req}$	\emptyset	n
	[mm]	[kN]	[-]	[MPa]	[mm ²]	[mm]	[-]
Vodorovná kužel	800	172	1	435	395	12	4
Povrchová mezi lož	300	101	1	435	232	12	3
Povrchová u ložiska	100	30	1	435	69	12	1

– Koncový příčník – podélný řez – n_x [kN/m]



– Koncový příčník – příčný řez – n_x [kN/m]



NÁVRH PODLOŽISKOVÉ OBLASTI NA NK - VNITŘNÍ PŘÍČNÍKY

šířka kotevní desky:	$a =$	0.540	m	šířka přiřazeného obdélníka:	$c =$	1.140	m
délka kotevní desky:	$a' =$	0.540	m	délka přiřazeného obdélníka:	$c' =$	1.620	m
pevnost bet. v tlaku:	$f_{ck}(t) =$	35.000	MPa	výška oblasti:	$h =$	1.080	m
návrhová pevnost:	$f_{cd}(t) =$	52.849	MPa	plocha přiřazeného obdélníka:	$A_1 =$	1.847	m ²
plocha ložiska:	$A_0 =$	0.292	m ²	návrh. síla od ložiska:	$R_{Ed} =$	5.206	MN
				max. síla od ložiska:	$R_{Rd} =$	15.411	MN

LISY PRO VÝMĚNU LOŽISEK

šířka kotevní desky:	$a =$	0.250	m	šířka přiřazeného obdélníka:	$c =$	0.750	m
délka kotevní desky:	$a' =$	0.250	m	délka přiřazeného obdélníka:	$c' =$	0.750	m
pevnost bet. v tlaku:	$f_{ck}(t) =$	35.000	MPa	výška oblasti:	$h =$	0.500	m
návrhová pevnost:	$f_{cd}(t) =$	63.000	MPa	plocha přiřazeného obdélníka:	$A_1 =$	0.563	m ²
plocha ložiska:	$A_0 =$	0.063	m ²	návrh. síla od ložiska:	$R_{Ed} =$	3.000	MN
				max. síla od ložiska:	$R_{Rd} =$	3.938	MN

NÁVRH VÝZTUŽE DLE ŘEZŮ V DESKOSTĚNOVÉM MODELU

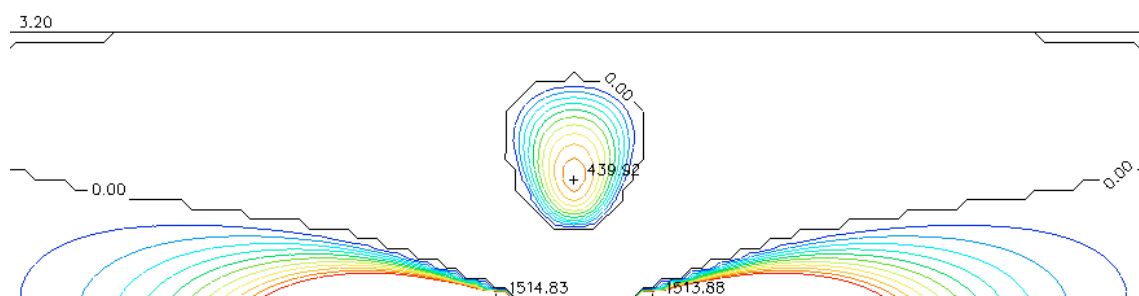
Podélný řez mostem

Oblast výztuže	L	F	$V_{p,unitav}$	f_{yd}	$A_{s,req}$	\emptyset	n
	[mm]	[kN]	[-]	[MPa]	[mm ²]	[mm]	[-]
Vodorovná - kužel	750	219	1	435	503	12	5
Vodorovná u povrchu	150	100	1	435	230	12	3

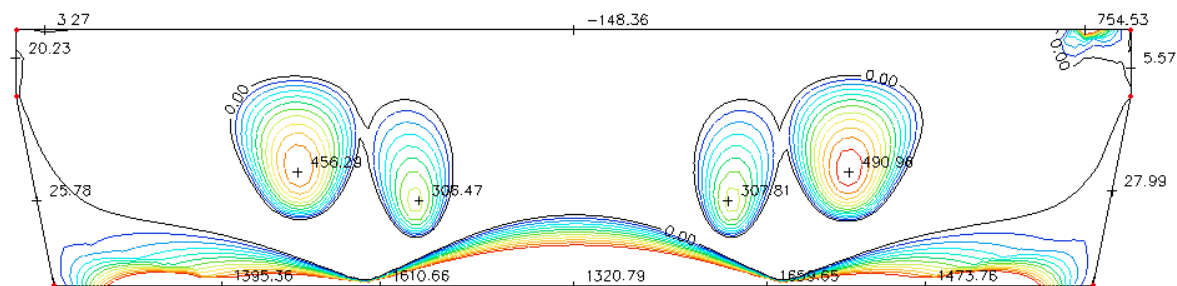
Pohled na příčník

Oblast výztuže	L	F	$V_{p,unitav}$	f_{yd}	$A_{s,req}$	\emptyset	n
	[mm]	[kN]	[-]	[MPa]	[mm ²]	[mm]	[-]
Vodorovná kužel	750	251	1	435	577	12	6
Vodorovná lis	650	133	1	435	306	12	3
Povrchová mezi lož	350	207	1	435	476	12	5
Povrchová u ložiska	150	105	1	435	241	12	3

– Koncový příčník – podélný řez – n_x [kN/m]



– Koncový příčník – příčný řez – n_x [kN/m]



5.4 Posouzení na únavu

Pro mostovku byly vybrány kritické řezy pro posouzení únavy tlaceného betonu, betonářské a předpínací výztuže dle ČSN EN 1992-2:

- průřez s maximálním rozkmitem ohybového momentu od LM71
 - o navázání předpjeté části na ŽB krček
- průřez s maximálním tlakovým napětím
 - o průřez nad podporou P3 / P9 (dolní vlákna)
- průřez s maximálním tahovým napětím
 - o průřez v poli P6
- průřez vyhodnocený jako kritický na základě výpočtu únavy bez vlivu výztuže a trhlin
 - o průřez nad podporou P3 / P9 (dolní vlákna)
- doplněné průřezy v poli (dle lin. výpočtu využití na únavu betonu cca 95%)
 - o průřez v poli 5
- průřez v ŽB krčku
 - o v místě napojení na předpjetou část konstrukce
 - o ve střední části

Pro posouzení byl využit výhledový rozsah dopravy na mostě viz kapitola 4.1.12. Posouzení je součástí souhrnné části mezních stavů únosnosti, viz kapitola 6.1.4.

Výsledky získané pomocí metody uvedené v ČSN EN 1992-2 zejména s ohledem na únavovou pevnost betonu jsou značně konzervativní – dá se předpokládat výrazně nižší vliv únavy na mezní stavy, reálnější předpoklad je možné získat posudkem dle MC2010 (fib Model Code 2010), kdy je uvažován průměrný rozkmit napětí na oblasti 300 mm od tlaceného povrchu. Tato úprava nebyla využita.

5.4.1 Posouzení tlaceného betonu na únavu

Při posouzení únavy mostovky se předpokládá stáří betonu 100 dní. V rámci posouzení betonu na únavu byly využity tyto opravné součinitele:

- $\lambda_{c,0} = 1,025$ součinitel zohledňující vliv trvale působícího napětí (konzervativně pro max. tlakové napětí $\sigma = 9,2$ MPa na celém oblouku při charakteristické kombinaci bez LM71),
- $\lambda_{c,1} = 0,850$ součinitel zohledňující délku příčinkové čáry a typ prvku (konzervativně max. hodnota pro oblast [1] a smíšenou běžnou dopravu),
- $\lambda_{c,2,3} = 0,885$ součinitel zohledňující roční objem dopravy a životnost stavby,
- $\lambda_{c,4} = 1,000$ pouze jedna kolej – neuplatní se.

TLAČENÝ BETON VYHOVUJE

únavové posouzení tlaceného betonu (dle 1992-2, přílohy NN; kap. NN.3.2) - krček - napojení na most

Horní napětí:	rov. NN.113	$\sigma_{cd,max,eq} =$	7.92	MPa Opravný součinitel:	rov. NN.114	$\lambda_c =$	0.75	-
Dolní napětí:	rov. NN.113	$\sigma_{cd,min,eq} =$	1.80	MPa Vliv trvalého napětí:	rov. NN.115	$\lambda_{c,0} =$	1.00	-
Max char. napětí v bet., LM71 + Φ		$\sigma_{c,max,71} =$	9.55	MPa Vliv kčního prvku:	tab. NN.3	$\lambda_{c,1} =$	0.85	-
Min char. napětí v bet., LM71 + Φ		$\sigma_{c,min,71} =$	1.42	MPa Vliv objemu dopravy:	rov. NN.116	$\lambda_{c,2,3} =$	0.88	-
Char. napětí v bet. bez LM71 + Φ		$\sigma_{c,perm} =$	2.97	MPa Vliv více kolejí:	rov. NN.117	$\lambda_{c,4} =$	není uplatněn	-
		$E_{cd,min,eq} =$	0.09	-		$E_{cd,max,eq} =$	0.37	-
		$R_{eq} =$	0.23	-	$14 \cdot (1 - E_{cd,max,eq}) / (1 - R_{eq})^{0.5} \geq 6$			
			10.0				\geq	6

TLAČENÝ BETON VYHOVUJE

únavové posouzení tlaceného betonu (dle 1992-2, přílohy NN; kap. NN.3.2) - krček - vnitřní část

Horní napětí:	rov. NN.113	$\sigma_{cd,max,eq} =$	1.32	MPa Opravný součinitel:	rov. NN.114	$\lambda_c =$	0.75	-
Dolní napětí:	rov. NN.113	$\sigma_{cd,min,eq} =$	0.01	MPa Vliv trvalého napětí:	rov. NN.115	$\lambda_{c,0} =$	1.00	-
Max char. napětí v bet., LM71 + Φ		$\sigma_{c,max,71} =$	1.75	MPa Vliv kčního prvku:	tab. NN.3	$\lambda_{c,1} =$	0.85	-
Min char. napětí v bet., LM71 + Φ		$\sigma_{c,min,71} =$	0.00	MPa Vliv objemu dopravy:	rov. NN.116	$\lambda_{c,2,3} =$	0.88	-
Char. napětí v bet. bez LM71 + Φ		$\sigma_{c,perm} =$	0.03	MPa Vliv více kolejí:	rov. NN.117	$\lambda_{c,4} =$	není uplatněn	-
		$E_{cd,min,eq} =$	0.00	-		$E_{cd,max,eq} =$	0.06	-
		$R_{eq} =$	0.01	-	$14 \cdot (1 - E_{cd,max,eq}) / (1 - R_{eq})^{0.5} \geq 6$			
			13.2				\geq	6

TLAČENÝ BETON VYHOVUJE

5.4.2 Posouzení únavy betonářské a předpínací výztuže

V rámci posouzení výztuže na únavu byly využity tyto opravné součinitele:

- $\lambda_{s,1} = 0,700$ součinitel zohledňující délku příčinkové čáry a typ prvku (konzervativně max. hodnota pro výztuž [1] a smíšenou běžnou dopravu),
- $\lambda_{s,2} = 0,790$ součinitel zohledňující roční objem dopravy,
- $\lambda_{s,3} = 1,000$ součinitel zohledňující životnost stavby,
- $\lambda_{s,4} = 1,000$ pouze jedna kolej – neuplatní se.

únavové posouzení betonářské výztuže (dle 1992-2, přílohy NN; kap. NN.3.1) - napojení na krček NK									
Typ výztuže:	přímé a ohýbané pruty			Opravný součinitel:	rov. NN.107	$\lambda_s =$	0.55	-	
Sklon S-N čáry	tab. 6.3N (EN 1992-1-1)	$k_2 =$	9	-	Vliv kčního prvku:	tab. NN.2	$\lambda_{s,1} =$	0.70	-
Poškožující rozkmit	rov. NN.106	$\Delta\sigma_{s,eq} =$	52.7	MPa	Vliv objemu dopravy:	rov. NN.109	$\lambda_{s,2} =$	0.79	-
Rozkmit napětí - LM71:		$\Delta\sigma_{s,71} =$	95.2	MPa	Vliv návrhové životnosti:	rov. NN.110	$\lambda_{s,3} =$	1.00	-
					Vliv více kolejí:	rov. NN.111	$\lambda_{s,4} =$	není uplatněn	-
		$\gamma_{F,fat} =$	1.00	-			$\gamma_{s,fat} =$	1.15	-
Rozkmit napětí:		$\Delta\sigma_{s,eq} =$	162.5	MPa					
rov. 6.71 (EN 1992-1-1) $\gamma_{F,fat} \cdot \Delta\sigma_{s,eq} \leq \Delta\sigma_{Rsk} / \gamma_{s,fat}$									
52.7 ≤ 141.3									

TAŽENÁ BETONÁŘSKÁ VÝZTUŽ VYHOVUJE

únavové posouzení předpínací výztuže (dle 1992-2, přílohy NN; kap. NN.3.1) - napojení na krček NK									
Typ výztuže:	kabely v plastových hadicích			Opravný součinitel:	rov. NN.107	$\lambda_s =$	0.55	-	
Sklon S-N čáry	tab. 6.3N (EN 1992-1-1)	$k_2 =$	10	-		$\gamma_{F,fat} =$	1.00	-	
Poškožující rozkmit	rov. NN.106	$\Delta\sigma_{s,eq} =$	41.2	MPa		$\gamma_{s,fat} =$	1.15	-	
Rozkmit napětí - LM71:		$\Delta\sigma_{s,71} =$	74.6	MPa					
Rozkmit napětí:		$\Delta\sigma_{s,eq} =$	150.0	MPa					
rov. 6.71 (EN 1992-1-1) $\gamma_{F,fat} \cdot \Delta\sigma_{s,eq} \leq \Delta\sigma_{Rsk} / \gamma_{s,fat}$									
41.2 ≤ 130.4									

PŘEDPÍNACÍ VÝZTUŽ VYHOVUJE

únavové posouzení betonářské výztuže (dle 1992-2, přílohy NN; kap. NN.3.1) - průřez nad podporou P3 / P9									
Typ výztuže:	přímé a ohýbané pruty			Opravný součinitel:	rov. NN.107	$\lambda_s =$	0.55	-	
Sklon S-N čáry	tab. 6.3N (EN 1992-1-1)	$k_2 =$	9	-	Vliv kčního prvku:	tab. NN.2	$\lambda_{s,1} =$	0.70	-
Poškožující rozkmit	rov. NN.106	$\Delta\sigma_{s,eq} =$	38.3	MPa	Vliv objemu dopravy:	rov. NN.109	$\lambda_{s,2} =$	0.79	-
Rozkmit napětí - LM71:		$\Delta\sigma_{s,71} =$	69.3	MPa	Vliv návrhové životnosti:	rov. NN.110	$\lambda_{s,3} =$	1.00	-
					Vliv více kolejí:	rov. NN.111	$\lambda_{s,4} =$	není uplatněn	-
		$\gamma_{F,fat} =$	1.00	-			$\gamma_{s,fat} =$	1.15	-
Rozkmit napětí:		$\Delta\sigma_{s,eq} =$	162.5	MPa					
rov. 6.71 (EN 1992-1-1) $\gamma_{F,fat} \cdot \Delta\sigma_{s,eq} \leq \Delta\sigma_{Rsk} / \gamma_{s,fat}$									
38.3 ≤ 141.3									

TAŽENÁ BETONÁŘSKÁ VÝZTUŽ VYHOVUJE

únavové posouzení předpínací výztuže (dle 1992-2, přílohy NN; kap. NN.3.1) - průřez nad podporou P3 / P9									
Typ výztuže:	kabely v plastových hadicích			Opravný součinitel:	rov. NN.107	$\lambda_s =$	0.55	-	
Sklon S-N čáry	tab. 6.3N (EN 1992-1-1)	$k_2 =$	10	-		$\gamma_{F,fat} =$	1.00	-	
Poškožující rozkmit	rov. NN.106	$\Delta\sigma_{s,eq} =$	6.1	MPa		$\gamma_{s,fat} =$	1.15	-	
Rozkmit napětí - LM71:		$\Delta\sigma_{s,71} =$	11.0	MPa					
Rozkmit napětí:		$\Delta\sigma_{s,eq} =$	150.0	MPa					
rov. 6.71 (EN 1992-1-1) $\gamma_{F,fat} \cdot \Delta\sigma_{s,eq} \leq \Delta\sigma_{Rsk} / \gamma_{s,fat}$									
6.1 ≤ 130.4									
PŘEDPÍNACÍ VÝZTUŽ VYHOVUJE									

únavové posouzení betonářské výztuže (dle 1992-2, přílohy NN; kap. NN.3.1) - pole 6

Typ výztuže:	přímé a ohýbané pruty	Opravný součinitel:	rov. NN.107	$\lambda_s =$	0.55	-
Sklon S-N čáry	tab. 6.3N (EN 1992-1-1) $k_2 =$	9	-	Vliv kčního prvku:	tab. NN.2	$\lambda_{s,1} =$ 0.70 -
Poškozuující rozkmit	rov. NN.106 $\Delta\sigma_{s,eq} =$	52.7	MPa	Vliv objemu dopravy:	rov. NN.109	$\lambda_{s,2} =$ 0.79 -
Rozkmit napětí - LM71:	$\Delta\sigma_{s,71} =$	95.2	MPa	Vliv návrhové životnosti:	rov. NN.110	$\lambda_{s,3} =$ 1.00 -
				Vliv více kolejí:	rov. NN.111	$\lambda_{s,4} =$ není uplatněn -
	$\gamma_{F,fat} =$	1.00	-		$\gamma_{s,fat} =$	1.15 -
Rozkmit napětí:	$\Delta\sigma_{s,eq} =$	162.5	MPa			

$$\text{rov. 6.71 (EN 1992-1-1)} \quad \gamma_{F,fat} \cdot \Delta\sigma_{s,eq} \leq \Delta\sigma_{Rsk} / \gamma_{s,fat}$$

$$52.7 \leq 141.3$$

TAŽENÁ BETONÁŘSKÁ VÝZTUŽ VYHOVUJE

únavové posouzení předpínací výztuže (dle 1992-2, přílohy NN; kap. NN.3.1) - pole 6

Typ výztuže:	kabely v plastových hadicích	Opravný součinitel:	rov. NN.107	$\lambda_s =$	0.55	-
Sklon S-N čáry	tab. 6.3N (EN 1992-1-1) $k_2 =$	10	-		$\gamma_{F,fat} =$	1.00 -
Poškozuující rozkmit	rov. NN.106 $\Delta\sigma_{s,eq} =$	41.2	MPa		$\gamma_{s,fat} =$	1.15 -
Rozkmit napětí - LM71:	$\Delta\sigma_{s,71} =$	74.6	MPa			
Rozkmit napětí:	$\Delta\sigma_{s,eq} =$	150.0	MPa			

$$\text{rov. 6.71 (EN 1992-1-1)} \quad \gamma_{F,fat} \cdot \Delta\sigma_{s,eq} \leq \Delta\sigma_{Rsk} / \gamma_{s,fat}$$

$$41.2 \leq 130.4$$

PŘEDPÍNACÍ VÝZTUŽ VYHOVUJE

únavové posouzení betonářské výztuže (dle 1992-2, přílohy NN; kap. NN.3.1) - pole 5

Typ výztuže:	přímé a ohýbané pruty	Opravný součinitel:	rov. NN.107	$\lambda_s =$	0.55	-
Sklon S-N čáry	tab. 6.3N (EN 1992-1-1) $k_2 =$	9	-	Vliv kčního prvku:	tab. NN.2	$\lambda_{s,1} =$ 0.70 -
Poškozuující rozkmit	rov. NN.106 $\Delta\sigma_{s,eq} =$	37.8	MPa	Vliv objemu dopravy:	rov. NN.109	$\lambda_{s,2} =$ 0.79 -
Rozkmit napětí - LM71:	$\Delta\sigma_{s,71} =$	68.3	MPa	Vliv návrhové životnosti:	rov. NN.110	$\lambda_{s,3} =$ 1.00 -
				Vliv více kolejí:	rov. NN.111	$\lambda_{s,4} =$ není uplatněn -
	$\gamma_{F,fat} =$	1.00	-		$\gamma_{s,fat} =$	1.15 -
Rozkmit napětí:	$\Delta\sigma_{s,eq} =$	162.5	MPa			

$$\text{rov. 6.71 (EN 1992-1-1)} \quad \gamma_{F,fat} \cdot \Delta\sigma_{s,eq} \leq \Delta\sigma_{Rsk} / \gamma_{s,fat}$$

$$37.8 \leq 141.3$$

TAŽENÁ BETONÁŘSKÁ VÝZTUŽ VYHOVUJE

únavové posouzení předpínací výztuže (dle 1992-2, přílohy NN; kap. NN.3.1) - pole 5

Typ výztuže:	kabely v plastových hadicích	Opravný součinitel:	rov. NN.107	$\lambda_s =$	0.55	-
Sklon S-N čáry	tab. 6.3N (EN 1992-1-1) $k_2 =$	10	-		$\gamma_{F,fat} =$	1.00 -
Poškozuující rozkmit	rov. NN.106 $\Delta\sigma_{s,eq} =$	32.8	MPa		$\gamma_{s,fat} =$	1.15 -
Rozkmit napětí - LM71:	$\Delta\sigma_{s,71} =$	59.3	MPa			
Rozkmit napětí:	$\Delta\sigma_{s,eq} =$	150.0	MPa			

$$\text{rov. 6.71 (EN 1992-1-1)} \quad \gamma_{F,fat} \cdot \Delta\sigma_{s,eq} \leq \Delta\sigma_{Rsk} / \gamma_{s,fat}$$

$$32.8 \leq 130.4$$

PŘEDPÍNACÍ VÝZTUŽ VYHOVUJE

únavové posouzení betonářské výztuže (dle 1992-2, přílohy NN; kap. NN.3.1) - krček - napojení na most									
Typ výztuže:	přímé a ohýbané pruty			Opravný součinitel:	rov. NN.107	$\lambda_s =$	0.55	-	
Sklon S-N čáry	tab. 6.3N (EN 1992-1-1)	$k_2 =$	9	-	Vliv kčního prvku:	tab. NN.2	$\lambda_{s,1} =$	0.70	-
Poškozující rozkmit	rov. NN.106	$\Delta\sigma_{s,eq} =$	50.2	MPa	Vliv objemu dopravy:	rov. NN.109	$\lambda_{s,2} =$	0.79	-
Rozkmit napětí - LM71:		$\Delta\sigma_{s,71} =$	90.7	MPa	Vliv návrhové životnosti:	rov. NN.110	$\lambda_{s,3} =$	1.00	-
				Vliv více kolejí:	rov. NN.111	$\lambda_{s,4} =$	není uplatněn	-	
		$\gamma_{F,fat} =$	1.00	-			$\gamma_{s,fat} =$	1.15	-
Rozkmit napětí:		$\Delta\sigma_{s,eq} =$	162.5	MPa					
rov. 6.71 (EN 1992-1-1) $\gamma_{F,fat} \cdot \Delta\sigma_{s,eq} \leq \Delta\sigma_{Rsk} / \gamma_{s,fat}$									
			50.2	\leq			141.3		
TAŽENÁ BETONÁŘSKÁ VÝZTUŽ VYHOVUJE									

5.5 Návrh uložení mostu

Uložení konstrukce je na opěrách (O1, O2) a na břehových pilířích (P1, P2, P10, P11) realizováno pomocí dvojicí kalotových ložisek (všesměrně + podélně posuvné). S obloukovými stojkami (P3, P4, P5, P7, P8, P9) je nosná konstrukce spojena pomocí vrubových kloubů.

Příčná osová vzdálenost ložisek na opěrách i na pilířích je 2,9 m. Návrh ložisek byl proveden na základě reakcí NK.

5.5.1 Reakce na ložiska

Reakce byly vyhodnoceny na prutovém modelu v SW MIDAS Civil 2020.

	Zatěžovací stav		OP1		P1		P2		P10		P11		OP2	
			F _y	F _z	F _y	F _z	F _y	F _z	F _y	F _z	F _y	F _z	F _y	F _z
			[kN]	[kN]	[kN]	[kN]	[kN]	[kN]	[kN]	[kN]	[kN]	[kN]	[kN]	[kN]
PRAVA LOŽISKA (ve směru staničení)	G0	Vlastní tíha	0	445	0	1301	0	1200	0	1194	0	1303	0	442
	G1	Ostatní stálé	0	362	0	1138	0	1102	0	1100	0	1138	0	361
	CS	Dotvarování, smršťování	0	20	0	-50	0	67	0	53	0	-43	0	19
	P	Předpětí	0	155	0	-148	0	-5	0	-4	0	-149	0	154
	SET	Sedání - max (obálka stavů)	0	13	0	46	0	39	0	39	0	35	0	13
		Sedání - min (obálka stavů)	0	0	0	-35	0	-47	0	-39	0	-35	0	-7
	T	Teplota - max (obálka stavů)	0	53	0	57	0	33	0	28	0	52	0	68
		Teplota - min (obálka stavů)	0	-47	0	-64	0	-29	0	-28	0	-59	0	-64
	W	Vítr - max (obálka stavů)	119	105	199	195	741	179	349	199	452	156	136	149
		Vítr - min (obálka stavů)	-119	-105	-199	-195	-741	-179	-349	-199	-452	-156	-136	-149
	FR	Tření v ložiskách - char MVL	69	-	149	-	155	-	154	-	149	-	58	-
		Tření v ložiskách - freq MVL	63	-	137	-	143	-	142	-	137	-	55	-
		Tření v ložiskách - kvazi	39	-	90	-	95	-	94	-	90	-	39	-
	BR	Brzdě síly - tam	0	0	0	0	0	0	0	0	0	0	0	0
		Brzdě síly - zpět	0	0	0	0	0	0	0	0	0	0	0	0
	MVL	Char. hodnoty - max	0	750	0	1474	0	1518	0	1516	0	1473	0	485
		Char. hodnoty - min	0	-108	0	-122	0	-209	0	-209	0	-121	0	-146
		Časté hodnoty - max	0	600	0	1179	0	1215	0	1213	0	1178	0	388
		Časté hodnoty - min	0	-86	0	-98	0	-167	0	-167	0	-96	0	-117
Kombinace	MSÚ 6.10a	MAX	134	2315	223	5129	833	5209	393	5201	509	5077	153	2064
		MIN	-134	979	-223	2634	-833	2643	-393	2608	-509	2694	-153	855
	MSÚ 6.10b	MAX	178	2369	298	5063	1111	5183	524	5176	679	5009	204	2042
		MIN	-178	784	-298	2105	-1111	2117	-524	2083	-679	2165	-204	850
	Char.	MAX	119	1855	199	3940	741	4075	349	4065	452	3905	136	1627
		MIN	-119	767	-199	1899	-741	1956	-349	1929	-452	1942	-136	673
	Kvazi	MAX	0	1021	0	2315	0	2420	0	2396	0	2310	0	1023
		MIN	0	959	0	2174	0	2303	0	2290	0	2186	0	937

	Zatěžovací stav		OP1	P1	P2	P10	P11	OP2
			F _z	F _z	F _z	F _z	F _z	F _z
			[kN]	[kN]	[kN]	[kN]	[kN]	[kN]
LEVA LOŽISKA (ve směru staničení)	G0	Vlastní tíha	445	1301	1200	1194	1303	474
	G1	Ostatní stálé	362	1138	1102	1100	1138	387
	CS	Dotvarování, smršťování	20	-50	67	53	-43	21
	P	Předpětí	155	-148	-5	-4	-149	165
	SET	Sedání - max (obálka stavů)	13	46	39	39	35	14
		Sedání - min (obálka stavů)	0	-35	-47	-39	-35	-8
	T	Teplota - max (obálka stavů)	58	57	33	28	54	73
		Teplota - min (obálka stavů)	-53	-64	-29	-28	-61	-68
	W	Vítr - max (obálka stavů)	105	195	179	199	156	160
		Vítr - min (obálka stavů)	-105	-195	-179	-199	-156	-160
	FR	Tření v ložiskách - char MVL	69	149	155	154	149	83
		Tření v ložiskách - freq MVL	63	137	143	142	137	74
		Tření v ložiskách - kvazi	39	90	95	94	90	42
	BR	Brzdě síly - tam	0	0	0	0	0	0
		Brzdě síly - zpět	0	0	0	0	0	0
	MVL	Char. hodnoty - max	750	1474	1518	1516	1473	1016
		Char. hodnoty - min	-108	-122	-209	-209	-121	-76
		Časté hodnoty - max	600	1179	1215	1213	1178	813
		Časté hodnoty - min	-86	-98	-167	-167	-96	-61
Kombinace	MSÚ 6.10a	MAX	2320	5129	5209	5201	5078	2789
		MIN	974	2634	2643	2608	2692	1010
	MSÚ 6.10b	MAX	2374	5063	5183	5176	5011	2909
		MIN	779	2105	2117	2083	2163	814
	Char.	MAX	1858	3940	4076	4065	3906	2241
		MIN	784	1899	1956	1929	1941	803
	Kvazi	MAX	1024	2315	2420	2397	2311	1097
		MIN	956	2174	2303	2290	2184	1005

5.5.2 Posuny na ložiskách

Společně s reakcemi byly stanoveny posuny od objemových zatížení a vodorovných účinků dopravy. Teplotní rozsah pro posuny je zvětšen o $\pm 10^{\circ}\text{C}$ v souladu s poznámkou 2 v 6.1.3.3 ČSN EN 1991-1-5. Vliv dotvarování a smršťování je s ohledem na nejistotu v jejich určení zvýšen součinitelem bezpečnosti $\gamma_{lt} = 1,2$ (pro 100 let) v souladu s tab. B.101 v ČSN EN 1992-2.

O1					P10						
Zatěžovací stav		Pravé ložisko		Levé ložisko		Zatěžovací stav		Pravé ložisko		Levé ložisko	
		x	y	x	y			x	y	x	y
Vodorovná zat.	T - Tcon (ochlazení)	69.5	0.0	69.5	0.0	Vodorovná zat.	T - Tcon (ochlazení)	48.7	0.0	48.7	0.0
	T+ - Texp (oteplení)	-62.0	0.0	-62.0	0.0		T+ - Texp (oteplení)	-43.9	0.0	-43.9	0.0
	D - Rozjezd/Brždění (+/-)	16.1	0.0	16.1	0.0		D - Rozjezd/Brždění (+/-)	15.9	0.0	15.9	0.0
	P - Přetvoření napínáním	12.5	0.0	12.5	0.0		P - Přetvoření napínáním	8.0	0.0	8.0	0.0
	C - dotvarování	23.3	0.0	23.3	0.0		C - dotvarování	15.0	0.0	15.0	0.0
	S - smršťování	48.6	0.0	48.6	0.0		S - smršťování	33.9	0.0	33.9	0.0
MAX POSUNY		184.3	0.0	184.3	0.0	MAX POSUNY		131.3	0.0	131.3	0.0
MIN POSUNY		-78.1	0.0	-78.1	0.0	MIN POSUNY		-59.8	0.0	-59.8	0.0
Posun při změně teploty o 1°C		1.495 mm			Posun při změně teploty o 1°C		1.058 mm				

P1					P11						
Zatěžovací stav		Pravé ložisko		Levé ložisko		Zatěžovací stav		Pravé ložisko		Levé ložisko	
		x	y	x	y			x	y	x	y
Vodorovná zat.	T - Tcon (ochlazení)	60.3	0.0	60.3	0.0	Vodorovná zat.	T - Tcon (ochlazení)	59.5	0.0	59.5	0.0
	T+ - Texp (oteplení)	-53.7	0.0	-53.7	0.0		T+ - Texp (oteplení)	-53.7	0.0	-53.7	0.0
	D - Rozjezd/Brždění (+/-)	16.0	0.0	16.0	0.0		D - Rozjezd/Brždění (+/-)	16.0	0.0	16.0	0.0
	P - Přetvoření napínáním	9.5	0.0	9.5	0.0		P - Přetvoření napínáním	9.4	0.0	9.4	0.0
	C - dotvarování	18.9	0.0	18.9	0.0		C - dotvarování	19.0	0.0	19.0	0.0
	S - smršťování	41.6	0.0	41.6	0.0		S - smršťování	41.9	0.0	41.9	0.0
MAX POSUNY		158.4	0.0	158.4	0.0	MAX POSUNY		158.1	0.0	158.1	0.0
MIN POSUNY		-69.7	0.0	-69.7	0.0	MIN POSUNY		-69.7	0.0	-69.7	0.0
Posun při změně teploty o 1°C		1.295 mm			Posun při změně teploty o 1°C		1.293 mm				

P2					O2						
Zatěžovací stav		Pravé ložisko		Levé ložisko		Zatěžovací stav		Pravé ložisko		Levé ložisko	
		x	y	x	y			x	y	x	y
Vodorovná zat.	T - Tcon (ochlazení)	48.7	0.0	48.7	0.0	Vodorovná zat.	T - Tcon (ochlazení)	68.7	0.0	68.7	0.0
	T+ - Texp (oteplení)	-44.0	0.0	-44.0	0.0		T+ - Texp (oteplení)	-62.0	0.0	-62.0	0.0
	D - Rozjezd/Brždění (+/-)	15.9	0.0	15.9	0.0		D - Rozjezd/Brždění (+/-)	16.1	0.0	16.1	0.0
	P - Přetvoření napínáním	8.1	0.0	8.1	0.0		P - Přetvoření napínáním	12.5	0.0	12.5	0.0
	C - dotvarování	14.8	0.0	14.8	0.0		C - dotvarování	23.4	0.0	23.4	0.0
	S - smršťování	33.6	0.0	33.6	0.0		S - smršťování	49.0	0.0	49.0	0.0
MAX POSUNY		130.8	0.0	130.8	0.0	MAX POSUNY		184.1	0.0	184.1	0.0
MIN POSUNY		-59.9	0.0	-59.9	0.0	MIN POSUNY		-78.0	0.0	-78.0	0.0
Posun při změně teploty o 1°C		1.060 mm			Posun při změně teploty o 1°C		1.493 mm				

5.5.3 Souhrnná tabulka ložisek

V souladu s hodnotami uvedenými v předchozích kapitolách je pro přehlednost uvedena souhrnná tabulka maximálních / minimálních sil a posunů v ložiskách.

PODPORA / UMÍSTĚNÍ		SVISLÉ SÍLY [MN]		VODOROVNÉ SÍLY [MN]		EXTRÉMNÍ POSUNY [mm]		
		R _{max}	R _{min}	H _{přič}	H _{pod}	-	+	Σ
O1	PRÁVĚ	2.260	0.778	0.178	-	-184.3	78.1	262.4
	LEVĚ	2.264	0.774	-	-			
P1	PRÁVĚ	5.129	1.899	0.298	-	-158.4	69.7	228.2
	LEVĚ	5.129	1.899	-	-			
P2	PRÁVĚ	5.209	1.956	1.111	-	-130.8	59.9	190.7
	LEVĚ	5.209	1.956	-	-			
P10	PRÁVĚ	5.201	1.929	0.524	-	131.3	-59.8	191.1
	LEVĚ	5.201	1.929	-	-			
P11	PRÁVĚ	5.077	1.942	0.679	-	158.1	-69.7	227.7
	LEVĚ	5.078	1.941	-	-			
O2	PRÁVĚ	2.064	0.650	0.204	-	184.1	-78.0	262.1
	LEVĚ	2.909	0.814	-	-			

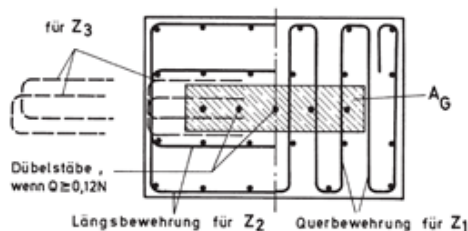
Pozn.: Uvedené síly nezahrnují účinky tření v ložiskách (bude doplněno po určení konkrétního dodavatele ložisek)

5.5.4 Návrh vrubových kloubů

Vrubové klouby jsou navrženy s širokým vrubem. Potřebná plocha vrubového kloubu vychází z teorie návrhu Leonhardt-Reimann. Extrémní tlaková napětí vznikající v místě kloubu jsou posouzena na místně zatíženou plochu dle 6.7 ČSN EN 1992-1-1.

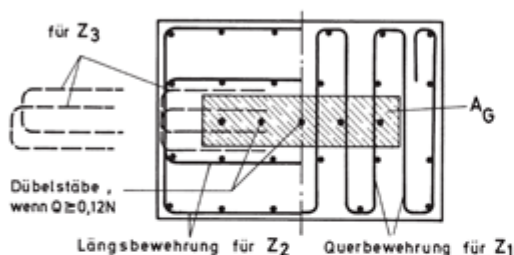
POSOUZENÍ VRUBOVÉHO KLOUBU - mostovka - pilíř P3

geometrie a materiály kloubu					
šířka kloubu v podél. směru:	a=	0.30	m	rozměr pilíře v příč. směru:	c= 3.80 m
rozměr pilíře v podél. směru:	d=	1.32	m	minimální stranové odsazení:	b _f = 0.210 m
max. tloušťka kloubu:	t=	0.02	m		
třída betonu:		C35/45		skutečná délka kloubu:	b= 3.70 m
tlaková pevnost:	f _{c,k} =	35.0	MPa	průměr trnů:	Ø= 25 mm
modul pružnosti:	E _{cm} =	34.0	GPa	počet trnů:	n= 25 ks
součinitel materiálu:	γ _M =	1.50	-	souč. účinků zatížení:	α _{cc} = 0.90 -
				mez kluzu:	f _{y,k} = 355.0 MPa
ocel trnů:		S355		mez kluzu:	f _{y,k} = 500.0 MPa
ocel třminků:		B500B		součinitel materiálu:	γ _s = 1.15 -
zatížení					
podélná síla:	F _x =	1550.0	kN	příčná síla:	F _y = 556.0 kN
návrhová svislá síla:	F _z =	11080.0	kN	příčný moment:	M _x = 1833.0 kNm
svislá síla od vlastní tíhy	F _{g,z} =	5027.0	kN	podélné natočení - stálé:	α ₀ = 1.810 mrad
minimální svislá síla	F _{z,min} =	4888.0	kN	podélné natočení - užité:	α _n = 0.950 mrad
uvažovaná trvalá síla:	N _D =	5027.000	-	podélné natočení	α= 1.855 mrad
posouzení trnů					
celková vodorovná síla:	F _{xy} =	1646.7	kN	únosnost trnů ve smyku:	F _{Rd} = 2613.9 kN
VYHOVUJE					
posouzení vrubového kloubu dle Heft 175: Betongelenke (F. Leonhardt, H. Reimann, 1965) - modifikace Schacht 2010					
poměr rozměrů:	a/d=	0.228	-	koeficient zjištěný zkouškami:	λ= 0.288 -
dovolené pootočení:	α _{Rd} =	3.758	mrad	potřebná plocha kloubu:	A _{min} = 0.262 m ²
potřebná délka kloubu:	b _{req} =	0.874	m	skutečná plocha kloubu:	A _G = 1.110 m ²
přídavný moment na pilíř:	M=	0.312	kNm	VYHOVUJE	
návrh výztuže na příčné síly (Vorlesungen über Massivbau)					
smýk. síla v podélném směru	Z ₁ =	3324.000	kN	profil třminku:	Ø= 12 mm
smýk. síla v příčném směru:	Z ₂ =	87.474	kN	počet střihů v řezu 1:	n ₁ = 25 ks
povrchová síla:	Z ₃ =	26.951	kN	počet střihů v řezu 2:	n ₂ = 2 ks
			vzdálenost třminků:	s _T = 150 mm	
			výška oblastí pro vyztužení:	h= 0.921 m	
			smýková výztuž v 1:	A _{sw1} = 8482.300 mm ²	
			smýková výztuž v 2:	A _{sw2} = 678.584 mm ²	
			síla přenesená třminky 1:	F _{R,sw} = 3688.0 kN	
			síla přenesená třminky 2:	F _{R,sw} = 295.0 kN	
			počet střihů v řezu 3:	n ₂ = 2 ks	
			smýková výztuž v 3 (1 řada)	A _{sw3} = 226.195 mm ²	
			síla přenesená třminky 3:	F _{R,sw} = 98.3 kN	
VYHOVUJE					
posouzení betonu vrubového kloubu (místně zatížená plocha dle 6.7 ČSN EN 1992-1-1)					
zatížená plocha kloubu:	A _{c0} =	1.110	m ²	největší roznášecí plocha:	A _{c1} = 3.420 m ²
rozsíření v podélném směru:	b ₂ =	0.900	m	rozsíření v příčném směru:	l ₂ = 3.800 m
napětí na styčné ploše:	σ _{Ed} =	12.660	MPa	maximální napětí:	σ _{Rd0} = 36.861 MPa
VYHOVUJE					
posouzení příčných tahů pod vrubovým kloubem (6.5.3 (3) ČSN EN 1992-1-1)					
S ohledem na výšku pilíře se uvažuje částečná nespojitost dle 6.5.3 (3) v ČSN EN 1992-1-1					
příčná síla:	T=	2138.5	kN	výška účinku síly:	h= 1.316 m
profil třminku:	Ø=	12	mm	počet střihů v řezu:	n= 25 ks
vzdálenost třminků:	s _T =	150	mm	smýková výztuž na výšce h:	A _{sw} = 21979 mm ²
síla přenesená třminky:	F _{R,sw} =	9555.9	kN	VYHOVUJE	



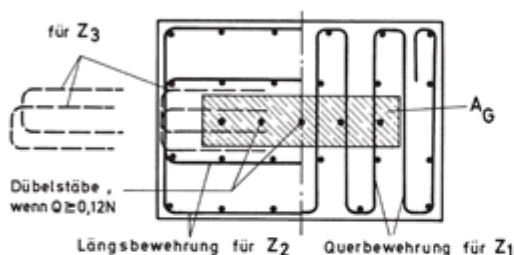
POSOUZENÍ VRUBOVÉHO KLOUBU - mostovka - pilíř - P4

geometrie a materiály kloubu					
šířka kloubu v podél. směru:	a=	0.18	m	rozměr pilíře v příč. směru:	c= 3.80 m
rozměr pilíře v podél. směru:	d=	0.60	m	minimální stranové odsazení:	b _f = 0.126 m
max. tloušťka kloubu:	t=	0.02	m		
třída betonu:	C35/45			skutečná délka kloubu:	b= 3.70 m
tlaková pevnost:	f _{c,k} =	35.0	MPa	průměr trnů:	Ø= 25 mm
modul pružnosti:	E _{cm} =	34.0	GPa	počet trnů:	n= 15 ks
součinitel materiálu:	γ _M =	1.50	-	souč. účinků zatížení:	α _{cc} = 0.90 -
				mez kluzu:	f _{y,k} = 355.0 MPa
ocel trnů:	S355			mez kluzu:	f _{y,k} = 500.0 MPa
ocel třminků:	B500B			součinitel materiálu:	γ _s = 1.15 -
zatížení					
podélná síla:	F _x =	705.0	kN	příčná síla:	F _y = 427.0 kN
návrhová svislá síla:	F _z =	10761.0	kN	příčný moment:	M _x = 1595.0 kNm
svislá síla od vlastní tíhy	F _{g,z} =	2407.0	kN	podélné natočení - stálé:	α _D = 1.700 mrad
minimální svislá síla	F _{z,min} =	4872.0	kN	podélné natočení - užité:	α _n = 2.050 mrad
uvažovaná trvalá síla:	N _D =	2407.000	-	podélné natočení	α= 2.900 mrad
posouzení trnů					
celková vodorovná síla:	F _{xy} =	824.2	kN	únosnost trnů ve smyku:	F _{Rd} = 1568.3 kN
VYHOVUJE					
posouzení vrubového kloubu dle Heft 175: Betongelenke (F. Leonhardt, H. Reimann, 1965) - modifikace Schacht 2010					
poměr rozměrů:	a/d=	0.300	-	koeficient zjištěný zkouškami:	λ= 0.000 -
dovolené pootočení:	α _{Rd} =	6.083	mrad	potřebná plocha kloubu:	A _{min} = 0.292 m ²
potřebná délka kloubu:	b _{req} =	1.622	m	skutečná plocha kloubu:	A _G = 0.666 m ²
přídavný moment na pilíř:	M=	0.309	kNm	VYHOVUJE	
návrh výztuže na příčné síly (Vorlesungen über Massivbau)					
smyk. síla v podélném směru	Z ₁ =	3228.300	kN	profil třminku:	Ø= 12 mm
smyk. síla v příčném směru:	Z ₂ =	84.955	kN	počet stříhů v řezu 1:	n ₁ = 25 ks
povrchová síla:	Z ₃ =	15.705	kN	počet stříhů v řezu 2:	n ₂ = 2 ks
			vzdálenost třminků:	s _{tr} =	150 mm
			výška oblastí pro výztužení:	h=	0.420 m
			smyková výztuž v 1:	A _{sw1} =	8482.300 mm ²
			smyková výztuž v 2:	A _{sw2} =	678.584 mm ²
			síla přenesená třminky 1:	F _{R,sw} =	3688.0 kN
			síla přenesená třminky 2:	F _{R,sw} =	295.0 kN
			počet stříhů v řezu 3:	n ₂ =	2 ks
			smyková výztuž v 3 (1 řada)	A _{sw3} =	226.195 mm ²
			síla přenesená třminky 3:	F _{R,sw} =	98.3 kN
VYHOVUJE					
posouzení betonu vrubového kloubu (místně zatížená plocha dle 6.7 ČSN EN 1992-1-1)					
zatížená plocha kloubu:	A _{co} =	0.666	m ²	největší roznášecí plocha:	A _{c1} = 2.052 m ²
rozšíření v podélném směru:	b ₂ =	0.540	m	rozšíření v příčném směru:	l ₂ = 3.800 m
napětí na styčné ploše:	σ _{Ed} =	20.041	MPa	maximální napětí:	σ _{Rd} = 36.861 MPa
VYHOVUJE					
posouzení příčných tahů pod vrubovým kloubem (6.5.3 (3) ČSN EN 1992-1-1)					
S ohledem na výšku pilíře se uvažuje částečná nespojitost dle 6.5.3 (3) v ČSN EN 1992-1-1					
příčná síla:	T=	1883.2	kN	výška účinku síly:	h= 0.600 m
profil třminku:	Ø=	12	mm	počet stříhů v řezu:	n= 25 ks
vzdálenost třminků:	s _{tr} =	150	mm	smyková výztuž na výšce h:	A _{sw} = 8482 mm ²
síla přenesená třminky:	F _{R,sw} =	3688.0	kN	VYHOVUJE	



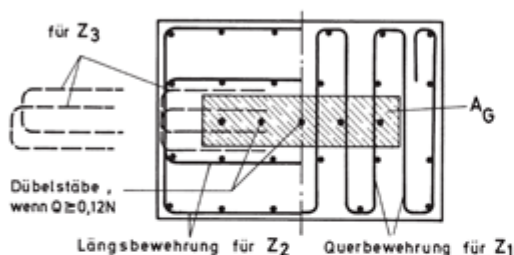
POSOUZENÍ VRUBOVÉHO KLOUBU - mostovka - pilíř - P5

geometrie a materiály kloubu							
šířka kloubu v podél. směru:	a=	0.18	m	rozměr pilíře v příč. směru:	c=	3.80	m
rozměr pilíře v podél. směru:	d=	0.60	m	minimální stranové odsazení:	b _f =	0.126	m
max. tloušťka kloubu:	t=	0.02	m				
třída betonu:		C35/45		skutečná délka kloubu:	b=	3.70	m
tlaková pevnost:	f _{c,k} =	35.0	MPa	průměr trnů:	Ø=	25	mm
modul pružnosti:	E _{cm} =	34.0	GPa	počet trnů:	n=	15	ks
součinitel materiálu:	γ _M =	1.50	-	souč. účinků zatížení:	α _{cc} =	0.90	-
				mez kluzu:	f _{y,k} =	355.0	MPa
ocel trnů:		S355		mez kluzu:	f _{y,k} =	500.0	MPa
ocel třminků:		B500B		součinitel materiálu:	γ _s =	1.15	-
zatížení							
podélná síla:	F _x =	570.0	kN	příčná síla:	F _y =	321.0	kN
návrhová svislá síla:	F _z =	11067.0	kN	příčný moment:	M _x =	1562.0	kNm
svislá síla od vlastní tíhy	F _{g,z} =	5203.0	kN	podélné natočení - stálé:	α _D =	4.150	mrad
minimální svislá síla	F _{z,min} =	5112.0	kN	podélné natočení - užité:	α _n =	1.410	mrad
uvažovaná trvalá síla:	N _D =	5203.000	-	podélné natočení	α=	3.485	mrad
posouzení trnů							
celková vodorovná síla:	F _{xy} =	654.2	kN	únosnost trnů ve smyku:	F _{Rd} =	1568.3	kN
VYHOVUJE							
posouzení vrubového kloubu dle Heft 175: Betongelenke (F. Leonhardt, H. Reimann, 1965) - modifikace Schacht 2010							
poměr rozměrů:	a/d=	0.300	-	koeficient zjištěný zkouškami:	λ=	0.000	-
dovolené pootočení:	α _{Rd} =	6.256	mrad	potřebná plocha kloubu:	A _{min} =	0.300	m ²
potřebná délka kloubu:	b _{req} =	1.668	m	skutečná plocha kloubu:	A _G =	0.666	m ²
přídavný moment na pilíř:	M=	0.323	kNm	VYHOVUJE			
návrh výztuže na příčné síly (Vorlesungen über Massivbau)							
smyk. síla v podélném směru	Z ₁ =	3320.100	kN	profil třminku:	Ø=	12	mm
smyk. síla v příčném směru:	Z ₂ =	87.371	kN	počet stříhů v řezu 1:	n ₁ =	25	ks
povrchová síla:	Z ₃ =	16.152	kN	počet stříhů v řezu 2:	n ₂ =	2	ks
				vzdálenost třminků:	s _{tr} =	150	mm
				výška oblastí pro výztužení:	h=	0.420	m
				smyková výztuž v 1:	A _{sw1} =	8482.300	mm ²
				smyková výztuž v 2:	A _{sw2} =	678.584	mm ²
				síla přenesená třminky 1:	F _{R,sw} =	3688.0	kN
				síla přenesená třminky 2:	F _{R,sw} =	295.0	kN
				počet stříhů v řezu 3:	n ₂ =	2	ks
				smyková výztuž v 3 (1 řada)	A _{sw3} =	226.195	mm ²
				síla přenesená třminky 3:	F _{R,sw} =	98.3	kN
VYHOVUJE							
posouzení betonu vrubového kloubu (místně zatížená plocha dle 6.7 ČSN EN 1992-1-1)							
zatížená plocha kloubu:	A _{co} =	0.666	m ²	největší roznášecí plocha:	A _{c1} =	2.052	m ²
rozšíření v podélném směru:	b ₂ =	0.540	m	rozšíření v příčném směru:	l ₂ =	3.800	m
napětí na styčné ploše:	σ _{Ed} =	20.420	MPa	maximální napětí:	σ _{Rd} =	36.861	MPa
VYHOVUJE							
posouzení příčných tahů pod vrubovým kloubem (6.5.3 (3) ČSN EN 1992-1-1)							
S ohledem na výšku pilíře se uvažuje částečná nespojitost dle 6.5.3 (3) v ČSN EN 1992-1-1							
příčná síla:	T=	1936.7	kN	výška účinku síly:	h=	0.600	m
profil třminku:	Ø=	12	mm	počet stříhů v řezu:	n=	25	ks
vzdálenost třminků:	s _{tr} =	150	mm	smyková výztuž na výšce h:	A _{sw} =	8482	mm ²
síla přenesená třminky:	F _{R,sw} =	3688.0	kN	VYHOVUJE			



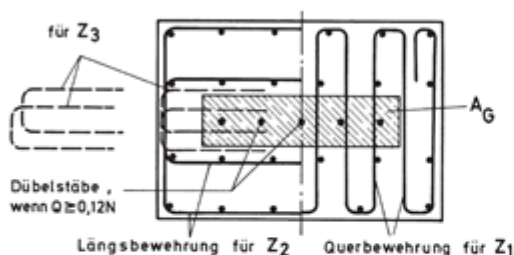
POSOUZENÍ VRUBOVÉHO KLOUBU - pilíř - oblouk - P5

geometrie a materiály kloubu							
šířka kloubu v podél. směru:	a=	0.18	m	rozměr pilíře v příč. směru:	c=	1.50	m
rozměr pilíře v podél. směru:	d=	0.90	m	minimální stranové odsazení:	b _f =	0.126	m
max. tloušťka kloubu:	t=	0.02	m				
třída betonu:		C35/45		skutečná délka kloubu:	b=	1.40	m
tlaková pevnost:	f _{c,k} =	35.0	MPa	průměr trnů:	Ø=	25	mm
modul pružnosti:	E _{cm} =	34.0	GPa	počet trnů:	n=	8	ks
součinitel materiálu:	γ _M =	1.50	-	souč. účinků zatížení:	α _{cc} =	0.90	-
				mez kluzu:	f _{y,k} =	355.0	MPa
ocel trnů:		S355		mez kluzu:	f _{y,k} =	500.0	MPa
ocel třminků:		B500B		součinitel materiálu:	γ _s =	1.15	-
zatížení							
podélná síla:	F _x =	668.5	kN	příčná síla:	F _y =	165.0	kN
návrhová svislá síla:	F _z =	6642.0	kN	příčný moment:	M _x =	299.0	kNm
svislá síla od vlastní tíhy	F _{g,z} =	2738.0	kN	podélné natočení - stálé:	α _D =	0.020	mrad
minimální svislá síla	F _{z,min} =	1725.0	kN	podélné natočení - užité:	α _n =	2.420	mrad
uvažovaná trvalá síla:	N _D =	2587.500	-	podélné natočení	α=	2.430	mrad
posouzení trnů							
celková vodorovná síla:	F _{xy} =	668.6	kN	únosnost trnů ve smyku:	F _{Rd} =	836.4	kN
VYHOVUJE							
posouzení vrubového kloubu dle Heft 175: Betongelenke (F. Leonhardt, H. Reimann, 1965) - modifikace Schacht 2010							
poměr rozměrů:	a/d=	0.200	-	koeficient zjištěný zkouškami:	λ=	0.400	-
dovolené pootočení:	α _{Rd} =	9.923	mrad	potřebná plocha kloubu:	A _{min} =	0.135	m ²
potřebná délka kloubu:	b _{req} =	0.753	m	skutečná plocha kloubu:	A _G =	0.252	m ²
přídavný moment na pilíř:	M=	0.234	kNm	VYHOVUJE			
návrh výztuže na příčné síly (Vorlesungen über Massivbau)							
smyk. síla v podélném směru	Z ₁ =	1992.600	kN	profil třminku:	Ø=	12	mm
smyk. síla v příčném směru:	Z ₂ =	132.840	kN	počet stříhů v řezu 1:	n ₁ =	9	ks
povrchová síla:	Z ₃ =	25.619	kN	počet stříhů v řezu 2:	n ₂ =	2	ks
				vzdálenost třminků:	s _{tr} =	150	mm
				výška oblastí pro výztužení:	h=	0.630	m
				smyková výztuž v 1:	A _{sw1} =	5089.380	mm ²
				smyková výztuž v 2:	A _{sw2} =	1130.973	mm ²
				síla přenesená třminky 1:	F _{R,sw} =	2212.8	kN
				síla přenesená třminky 2:	F _{R,sw} =	491.7	kN
				počet stříhů v řezu 3:	n ₂ =	2	ks
				smyková výztuž v 3 (1 řada)	A _{sw3} =	226.195	mm ²
				síla přenesená třminky 3:	F _{R,sw} =	98.3	kN
VYHOVUJE							
posouzení betonu vrubového kloubu (místně zatížená plocha dle 6.7 ČSN EN 1992-1-1)							
zatížená plocha kloubu:	A _{co} =	0.252	m ²	největší roznášecí plocha:	A _{c1} =	0.810	m ²
rozšíření v podélném směru:	b ₂ =	0.540	m	rozšíření v příčném směru:	l ₂ =	1.500	m
napětí na styčné ploše:	σ _{Ed} =	31.442	MPa	maximální napětí:	σ _{Rd} =	37.650	MPa
VYHOVUJE							
posouzení příčných tahů pod vrubovým kloubem (6.5.3 (3) ČSN EN 1992-1-1)							
S ohledem na výšku pilíře se uvažuje částečná nespojitost dle 6.5.3 (3) v ČSN EN 1992-1-1							
příčná síla:	T=	1328.4	kN	výška účinku síly:	h=	0.900	m
profil třminku:	Ø=	12	mm	počet stříhů v řezu:	n=	9	ks
vzdálenost třminků:	s _{tr} =	150	mm	smyková výztuž na výšce h:	A _{sw} =	5089	mm ²
síla přenesená třminky:	F _{R,sw} =	2212.8	kN	VYHOVUJE			



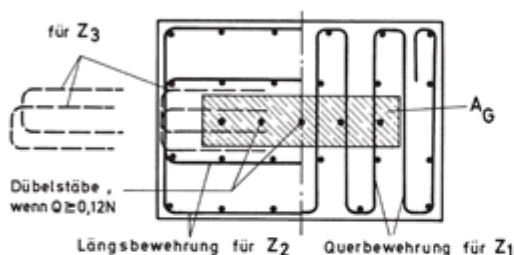
POSOUZENÍ VRUBOVÉHO KLOUBU - mostovka - pilíř - P7

geometrie a materiály kloubu							
šířka kloubu v podél. směru:	a=	0.18	m	rozměr pilíře v příč. směru:	c=	3.80	m
rozměr pilíře v podél. směru:	d=	0.60	m	minimální stranové odsazení:	b _f =	0.126	m
max. tloušťka kloubu:	t=	0.02	m				
třída betonu:	C35/45			skutečná délka kloubu:	b=	3.70	m
tlaková pevnost:	f _{c,k} =	35.0	MPa	průměr trnů:	Ø=	25	mm
modul pružnosti:	E _{cm} =	34.0	GPa	počet trnů:	n=	15	ks
součinitel materiálu:	γ _M =	1.50	-	souč. účinků zatížení:	α _{cc} =	0.90	-
				mez kluzu:	f _{y,k} =	355.0	MPa
ocel trnů:	S355			mez kluzu:	f _{y,k} =	500.0	MPa
ocel třminků:	B500B			součinitel materiálu:	γ _s =	1.15	-
zatížení							
podélná síla:	F _x =	482.0	kN	příčná síla:	F _y =	348.0	kN
návrhová svislá síla:	F _z =	10995.0	kN	příčný moment:	M _x =	1619.0	kNm
svislá síla od vlastní tíhy	F _{g,z} =	5150.0	kN	podélné natočení - stálé:	α _D =	4.180	mrad
minimální svislá síla	F _{z,min} =	5053.0	kN	podélné natočení - užité:	α _n =	1.410	mrad
uvažovaná trvalá síla:	N _D =	5150.000	-	podélné natočení	α=	3.500	mrad
posouzení trnů							
celková vodorovná síla:	F _{xy} =	594.5	kN	únosnost trnů ve smyku:	F _{Rd} =	1568.3	kN
VYHOVUJE							
posouzení vrubového kloubu dle Heft 175: Betongelenke (F. Leonhardt, H. Reimann, 1965) - modifikace Schacht 2010							
poměr rozměrů:	a/d=	0.300	-	koeficient zjištěný zkouškami:	λ=	0.000	-
dovolené pootočení:	α _{Rd} =	6.215	mrad	potřebná plocha kloubu:	A _{min} =	0.298	m ²
potřebná délka kloubu:	b _{req} =	1.657	m	skutečná plocha kloubu:	A _G =	0.666	m ²
přídavný moment na pilíř:	M=	0.324	kNm	VYHOVUJE			
návrh výztuže na příčné síly (Vorlesungen über Massivbau)							
smyk. síla v podélném směru	Z ₁ =	3298.500	kN	profil třminku:	Ø=	12	mm
smyk. síla v příčném směru:	Z ₂ =	86.803	kN	počet stříhů v řezu 1:	n ₁ =	25	ks
povrchová síla:	Z ₃ =	16.047	kN	počet stříhů v řezu 2:	n ₂ =	2	ks
				vzdálenost třminků:	s _{tr} =	150	mm
				výška oblastí pro výztužení:	h=	0.420	m
				smyková výztuž v 1:	A _{sw1} =	8482.300	mm ²
				smyková výztuž v 2:	A _{sw2} =	678.584	mm ²
				síla přenesená třminky 1:	F _{R,sw} =	3688.0	kN
				síla přenesená třminky 2:	F _{R,sw} =	295.0	kN
				počet stříhů v řezu 3:	n ₂ =	2	ks
				smyková výztuž v 3 (1 řada)	A _{sw3} =	226.195	mm ²
				síla přenesená třminky 3:	F _{R,sw} =	98.3	kN
VYHOVUJE							
posouzení betonu vrubového kloubu (místně zatížená plocha dle 6.7 ČSN EN 1992-1-1)							
zatížená plocha kloubu:	A _{co} =	0.666	m ²	největší roznášecí plocha:	A _{c1} =	2.052	m ²
rozšíření v podélném směru:	b ₂ =	0.540	m	rozšíření v příčném směru:	l ₂ =	3.800	m
napětí na styčné ploše:	σ _{Ed} =	20.451	MPa	maximální napětí:	σ _{Rd} =	36.861	MPa
VYHOVUJE							
posouzení příčných tahů pod vrubovým kloubem (6.5.3 (3) ČSN EN 1992-1-1)							
S ohledem na výšku pilíře se uvažuje částečná nespojitost dle 6.5.3 (3) v ČSN EN 1992-1-1							
příčná síla:	T=	1924.1	kN	výška účinku síly:	h=	0.600	m
profil třminku:	Ø=	12	mm	počet stříhů v řezu:	n=	25	ks
vzdálenost třminků:	s _{tr} =	150	mm	smyková výztuž na výšce h:	A _{sw} =	8482	mm ²
síla přenesená třminky:	F _{R,sw} =	3688.0	kN	VYHOVUJE			



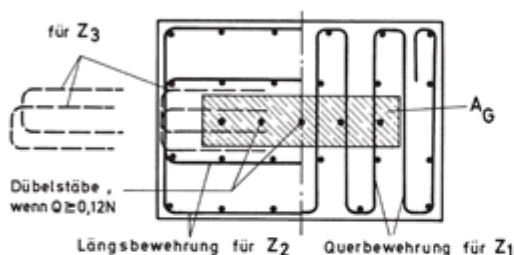
POSOUZENÍ VRUBOVÉHO KLOUBU - pilíř - oblouk - P7

geometrie a materiály kloubu							
šířka kloubu v podél. směru:	a=	0.18	m	rozměr pilíře v příč. směru:	c=	1.50	m
rozměr pilíře v podél. směru:	d=	0.90	m	minimální stranové odsazení:	b _f =	0.126	m
max. tloušťka kloubu:	t=	0.02	m				
třída betonu:	C35/45			skutečná délka kloubu:	b=	1.40	m
tlaková pevnost:	f _{c,k} =	35.0	MPa	průměr trnů:	Ø=	25	mm
modul pružnosti:	E _{cm} =	34.0	GPa	počet trnů:	n=	8	ks
součinitel materiálu:	γ _M =	1.50	-	souč. účinků zatížení:	α _{cc} =	0.90	-
				mez kluzu:	f _{y,k} =	355.0	MPa
ocel trnů:	S355			mez kluzu:	f _{y,k} =	500.0	MPa
ocel třminků:	B500B			součinitel materiálu:	γ _s =	1.15	-
zatížení							
podélná síla:	F _x =	415.0	kN	příčná síla:	F _y =	178.0	kN
návrhová svislá síla:	F _z =	6682.0	kN	příčný moment:	M _x =	320.0	kNm
svislá síla od vlastní tíhy	F _{g,z} =	2704.0	kN	podélné natočení - stálé:	α _D =	0.070	mrad
minimální svislá síla	F _{z,min} =	1595.0	kN	podélné natočení - užité:	α _n =	2.330	mrad
uvažovaná trvalá síla:	N _D =	2392.500	-	podélné natočení	α=	2.365	mrad
posouzení trnů							
celková vodorovná síla:	F _{xy} =	451.6	kN	únosnost trnů ve smyku:	F _{Rd} =	836.4	kN
VYHOVUJE							
posouzení vrubového kloubu dle Heft 175: Betongelenke (F. Leonhardt, H. Reimann, 1965) - modifikace Schacht 2010							
poměr rozměrů:	a/d=	0.200	-	koeficient zjištěný zkouškami:	λ=	0.400	-
dovolené pootočení:	α _{Rd} =	9.982	mrad	potřebná plocha kloubu:	A _{min} =	0.136	m ²
potřebná délka kloubu:	b _{req} =	0.755	m	skutečná plocha kloubu:	A _G =	0.252	m ²
přídavný moment na pilíř:	M=	0.229	kNm	VYHOVUJE			
návrh výztuže na příčné síly (Vorlesungen über Massivbau)							
smyk. síla v podélném směru	Z ₁ =	2004.600	kN	profil třminků:	Ø=	12	mm
smyk. síla v příčném směru:	Z ₂ =	133.640	kN	počet střihů v řezu 1:	n ₁ =	9	ks
povrchová síla:	Z ₃ =	25.773	kN	počet střihů v řezu 2:	n ₂ =	2	ks
				vzdálenost třminků:	s _{tr} =	150	mm
				výška oblastí pro výztužení:	h=	0.630	m
				smyková výztuž v 1:	A _{sw1} =	5089.380	mm ²
				smyková výztuž v 2:	A _{sw2} =	1130.973	mm ²
				síla přenesená třminky 1:	F _{R,sw} =	2212.8	kN
				síla přenesená třminky 2:	F _{R,sw} =	491.7	kN
				počet střihů v řezu 3:	n ₂ =	2	ks
				smyková výztuž v 3 (1 řada)	A _{sw3} =	226.195	mm ²
				síla přenesená třminky 3:	F _{R,sw} =	98.3	kN
VYHOVUJE							
posouzení betonu vrubového kloubu (místně zatížená plocha dle 6.7 ČSN EN 1992-1-1)							
zatížená plocha kloubu:	A _{co} =	0.252	m ²	největší roznášecí plocha:	A _{c1} =	0.810	m ²
rozšíření v podélném směru:	b ₂ =	0.540	m	rozšíření v příčném směru:	l ₂ =	1.500	m
napětí na styčné ploše:	σ _{Ed} =	31.958	MPa	maximální napětí:	σ _{Rd} =	37.650	MPa
VYHOVUJE							
posouzení příčných tahů pod vrubovým kloubem (6.5.3 (3) ČSN EN 1992-1-1)							
S ohledem na výšku pilíře se uvažuje částečná nespojitost dle 6.5.3 (3) v ČSN EN 1992-1-1							
příčná síla:	T=	1336.4	kN	výška účinku síly:	h=	0.900	m
profil třminků:	Ø=	12	mm	počet střihů v řezu:	n=	9	ks
vzdálenost třminků:	s _{tr} =	150	mm	smyková výztuž na výšce h:	A _{sw} =	5089	mm ²
síla přenesená třminky:	F _{R,sw} =	2212.8	kN	VYHOVUJE			



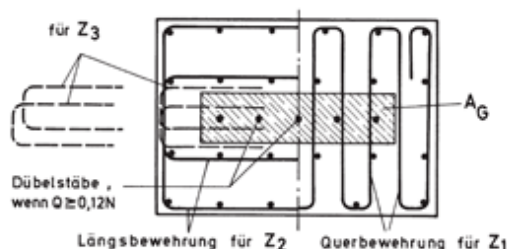
POSOUZENÍ VRUBOVÉHO KLOUBU - mostovka - pilíř - P8

geometrie a materiály kloubu							
šířka kloubu v podél. směru:	a=	0.18	m	rozměr pilíře v příč. směru:	c=	3.80	m
rozměr pilíře v podél. směru:	d=	0.60	m	minimální stranové odsazení:	b _f =	0.126	m
max. tloušťka kloubu:	t=	0.02	m				
třída betonu:	C35/45			skutečná délka kloubu:	b=	3.70	m
tlaková pevnost:	f _{c,k} =	35.0	MPa	průměr trnů:	Ø=	25	mm
modul pružnosti:	E _{cm} =	34.0	GPa	počet trnů:	n=	15	ks
součinitel materiálu:	γ _M =	1.50	-	souč. účinků zatížení:	α _{cc} =	0.90	-
				mez kluzu:	f _{y,k} =	355.0	MPa
ocel trnů:	S355			mez kluzu:	f _{y,k} =	500.0	MPa
ocel třminků:	B500B			součinitel materiálu:	γ _s =	1.15	-
zatížení							
podélná síla:	F _x =	629.0	kN	příčná síla:	F _y =	502.0	kN
návrhová svislá síla:	F _z =	10744.0	kN	příčný moment:	M _x =	1696.0	kNm
svislá síla od vlastní tíhy	F _{g,z} =	4983.0	kN	podélné natočení - stálé:	α _D =	1.680	mrad
minimální svislá síla	F _{z,min} =	4520.0	kN	podélné natočení - užité:	α _n =	2.050	mrad
uvažovaná trvalá síla:	N _D =	4983.000	-	podélné natočení	α=	2.890	mrad
posouzení trnů							
celková vodorovná síla:	F _{xy} =	804.8	kN	únosnost trnů ve smyku:	F _{Rd} =	1568.3	kN
VYHOVUJE							
posouzení vrubového kloubu dle Heft 175: Betongelenke (F. Leonhardt, H. Reimann, 1965) - modifikace Schacht 2010							
poměr rozměrů:	a/d=	0.300	-	koeficient zjištěný zkouškami:	λ=	0.000	-
dovolené pootočení:	α _{Rd} =	6.073	mrad	potřebná plocha kloubu:	A _{min} =	0.291	m ²
potřebná délka kloubu:	b _{req} =	1.619	m	skutečná plocha kloubu:	A _G =	0.666	m ²
přídavný moment na pilíř:	M=	0.309	kNm	VYHOVUJE			
návrh výztuže na příčné síly (Vorlesungen über Massivbau)							
smyk. síla v podélném směru	Z ₁ =	3223.200	kN	profil třminků:	Ø=	12	mm
smyk. síla v příčném směru:	Z ₂ =	84.821	kN	počet střihů v řezu 1:	n ₁ =	25	ks
povrchová síla:	Z ₃ =	15.680	kN	počet střihů v řezu 2:	n ₂ =	2	ks
				vzdálenost třminků:	s _{tr} =	150	mm
				výška oblastí pro výztužení:	h=	0.420	m
				smyková výztuž v 1:	A _{sw1} =	8482.300	mm ²
				smyková výztuž v 2:	A _{sw2} =	678.584	mm ²
				síla přenesená třminky 1:	F _{R,sw} =	3688.0	kN
				síla přenesená třminky 2:	F _{R,sw} =	295.0	kN
				počet střihů v řezu 3:	n ₂ =	2	ks
				smyková výztuž v 3 (1 řada)	A _{sw3} =	226.195	mm ²
				síla přenesená třminky 3:	F _{R,sw} =	98.3	kN
VYHOVUJE							
posouzení betonu vrubového kloubu (místně zatížená plocha dle 6.7 ČSN EN 1992-1-1)							
zatížená plocha kloubu:	A _{co} =	0.666	m ²	největší roznášecí plocha:	A _{c1} =	2.052	m ²
rozšíření v podélném směru:	b ₂ =	0.540	m	rozšíření v příčném směru:	l ₂ =	3.800	m
napětí na styčné ploše:	σ _{Ed} =	20.262	MPa	maximální napětí:	σ _{Rd} =	36.861	MPa
VYHOVUJE							
posouzení příčných tahů pod vrubovým kloubem (6.5.3 (3) ČSN EN 1992-1-1)							
S ohledem na výšku pilíře se uvažuje částečná nespojitost dle 6.5.3 (3) v ČSN EN 1992-1-1							
příčná síla:	T=	1880.2	kN	výška účinku síly:	h=	0.600	m
profil třminků:	Ø=	12	mm	počet střihů v řezu:	n=	25	ks
vzdálenost třminků:	s _{tr} =	150	mm	smyková výztuž na výšce h:	A _{sw} =	8482	mm ²
síla přenesená třminky:	F _{R,sw} =	3688.0	kN	VYHOVUJE			



POSOUZENÍ VRUBOVÉHO KLOUBU - mostovka - pilíř - P9

geometrie a materiály kloubu					
šířka kloubu v podél. směru:	a=	0.30	m	rozměr pilíře v příč. směru:	c= 3.80 m
rozměr pilíře v podél. směru:	d=	1.32	m	minimální stranové odsazení:	b _r = 0.210 m
max. tloušťka kloubu:	t=	0.02	m		
třída betonu:		C35/45		skutečná délka kloubu:	b= 3.70 m
tlaková pevnost:	f _{ck} =	35.0	MPa	průměr trnů:	Ø= 25 mm
modul pružnosti:	E _{cm} =	34.0	GPa	počet trnů:	n= 25 ks
součinitel materiálu:	γ _M =	1.50	-	souč. účinků zatížení:	α _{cc} = 0.90 -
				mez kluzu:	f _{y,k} = 355.0 MPa
ocel trnů:		S355		mez kluzu:	f _{y,k} = 500.0 MPa
ocel trminků:		B500B		součinitel materiálu:	γ _s = 1.15 -
zatížení					
podélná síla:	F _x =	1295.0	kN	příčná síla:	F _y = 682.0 kN
návrhová svislá síla:	F _z =	11070.0	kN	příčný moment:	M _x = 1877.0 kNm
svislá síla od vlastní tíhy	F _{g,z} =	5012.0	kN	podélné natočení - stálé:	α _D = 1.540 mrad
minimální svislá síla	F _{z,min} =	4659.0	kN	podélné natočení - užitné:	α _n = 0.870 mrad
uvažovaná trvalá síla:	N _D =	5012.000	-	podélné natočení	α= 1.640 mrad
posouzení trnů					
celková vodorovná síla:	F _{xy} =	1463.6	kN	únosnost trnů ve smyku:	F _{Rd} = 2613.9 kN
VYHOVUJE					
posouzení vrubového kloubu dle Heft 175: Betongelenke (F. Leonhardt, H. Reimann, 1965) - modifikace Schacht 2010					
poměr rozměrů:	a/d=	0.227	-	koefficient zjištěný zkouškami:	λ= 0.291 -
dovolené pootočení:	α _{Rd} =	3.755	mrad	potřebná plocha kloubu:	A _{min} = 0.258 m ²
potřebná délka kloubu:	b _{req} =	0.860	m	skutečná plocha kloubu:	A _G = 1.110 m ²
přidavný moment na pilíř:	M=	0.301	kNm	VYHOVUJE	
návrh výztuže na příčné síly (Vorlesungen über Massivbau)					
smýk. síla v podélném směru	Z ₁ =	3321.000	kN	profil trminků:	Ø= 12 mm
smýk. síla v příčném směru:	Z ₂ =	87.395	kN	počet stříhů v řezu 1:	n ₁ = 25 ks
povrchová síla:	Z ₃ =	26.927	kN	počet stříhů v řezu 2:	n ₂ = 2 ks
				vzdálenost trminků:	s _{tr} = 150 mm
				výška oblastí pro vyztužení:	h= 0.924 m
				smýková výztuž v 1:	A _{sw1} = 8482.300 mm ²
				smýková výztuž v 2:	A _{sw2} = 678.584 mm ²
				síla přenesená trminkou 1:	F _{R,sw} = 3688.0 kN
				síla přenesená trminkou 2:	F _{R,sw} = 295.0 kN
				počet stříhů v řezu 3:	n ₂ = 2 ks
				smýková výztuž v 3 (1 řada)	A _{sw3} = 226.195 mm ²
				síla přenesená trminkou 3:	F _{R,sw} = 98.3 kN
VYHOVUJE					
posouzení betonu vrubového kloubu (místně zatížená plocha dle 6.7 ČSN EN 1992-1-1)					
zatížená plocha kloubu:	A _{c0} =	1.110	m ²	největší roznášecí plocha:	A _{c1} = 3.420 m ²
rozšíření v podélném směru:	b ₂ =	0.900	m	rozšíření v příčném směru:	l ₂ = 3.800 m
napětí na styčné ploše:	σ _{Ed} =	12.715	MPa	maximální napětí:	σ _{Rd,u} = 36.861 MPa
VYHOVUJE					
posouzení příčných tahů pod vrubovým kloubem (6.5.3 (3) ČSN EN 1992-1-1)					
S ohledem na výšku pilíře se uvažuje částečná nespojitost dle 6.5.3 (3) v ČSN EN 1992-1-1					
příčná síla:	T=	2138.5	kN	výška účinku síly:	h= 1.320 m
profil trminků:	Ø=	12	mm	počet stříhů v řezu:	n= 25 ks
vzdálenost trminků:	s _{tr} =	150	mm	smýková výztuž na výšce h:	A _{sw} = 22054 mm ²
síla přenesená trminkou:	F _{R,sw} =	9588.7	kN	VYHOVUJE	



5.6 Návrh dilatačních závěrů

Podélné pohyby konstrukce byly uvažovány obdobně jako v případě návrhu posunů ložisek. Ve výpočtu je s ohledem na čas umístění dilatačních závěrů redukován vliv dotvarování a smršťování na celkové pohyby v mostních závěrech. Přetvoření od předpínání není s ohledem na fáze výstavby uvažováno.

O1				O2			
Zatěžovací stav		MZ		Zatěžovací stav		MZ	
		x	y			x	y
Vodorovná zat.	T - Tcon (ochlazení)	69.5	0.0	Vodorovná zat.	T - Tcon (ochlazení)	68.7	0.0
	T+ - Texp (oteplení)	-62.0	0.0		T+ - Texp (oteplení)	-62.0	0.0
	D - Rozjezd/Brždění (+/-)	16.1	0.0		D - Rozjezd/Brždění (+/-)	16.1	0.0
	P - Přetvoření napínáním	0.0	0.0		P - Přetvoření napínáním	0.0	0.0
	C - dotvarování	12.4	0.0		C - dotvarování	12.4	0.0
	S - smršťování	36.0	0.0		S - smršťování	35.9	0.0
MAX POSUNY		143.7	0.0	MAX POSUNY		142.7	0.0
MIN POSUNY		-78.1	0.0	MIN POSUNY		-78.0	0.0
Posun při změně teploty o 1°C		1.495	mm	Posun při změně teploty o 1°C		1.493	mm

Mostní závěr O1: dilatační délka $L = 149,6$ m celkový posun $\Delta = 221,8$ mm

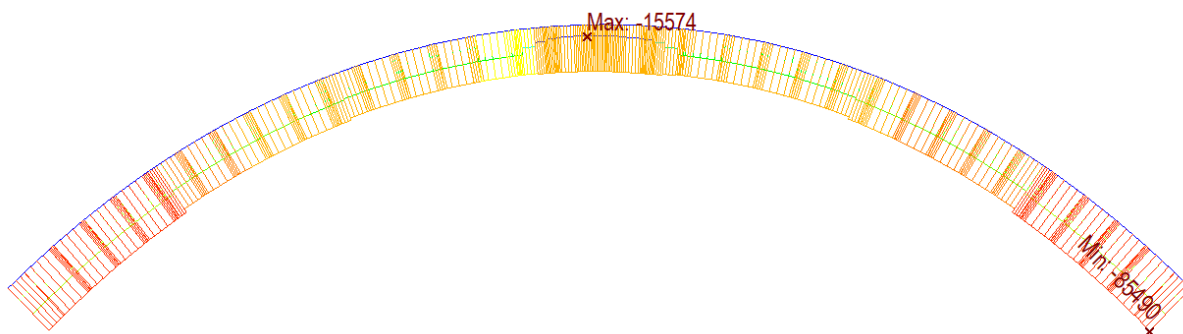
Mostní závěr O2: dilatační délka $L = 149,6$ m celkový posun $\Delta = 220,7$ mm

6 Oblouk

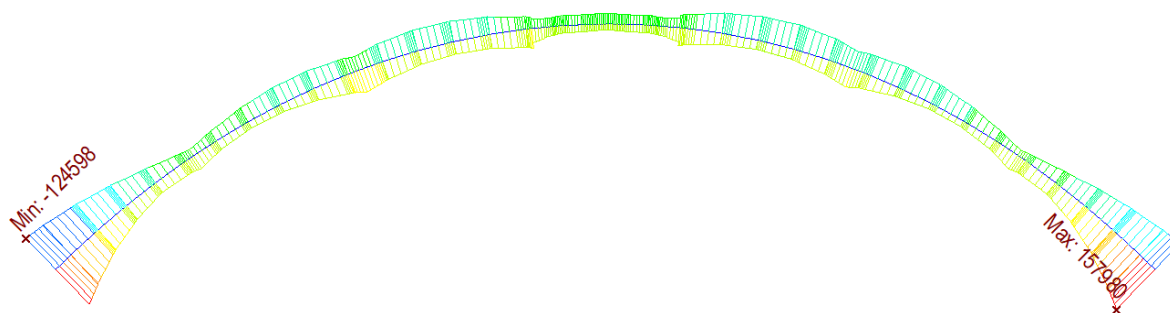
6.1.1 Vnitřní síly

Vnitřní síly jsou uvedeny pro náhradní prut v ose uložení nosné konstrukce. Reologie je řešena programem MIDAS Civil automaticky.

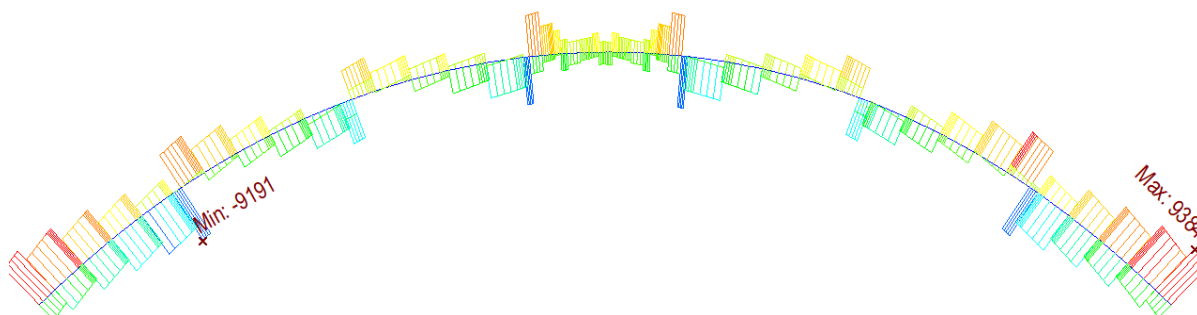
MSU – N_x [kN]



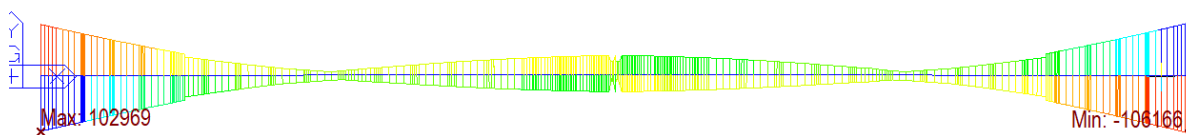
MSU – M_y [kNm]



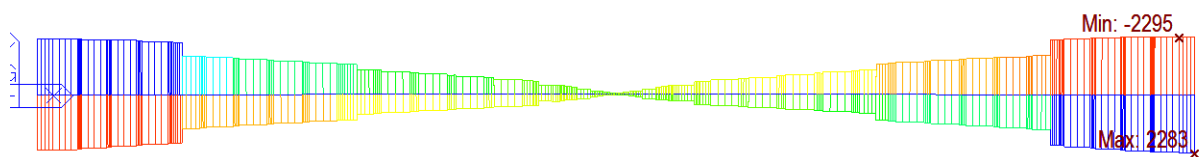
MSU – V_z [kN]



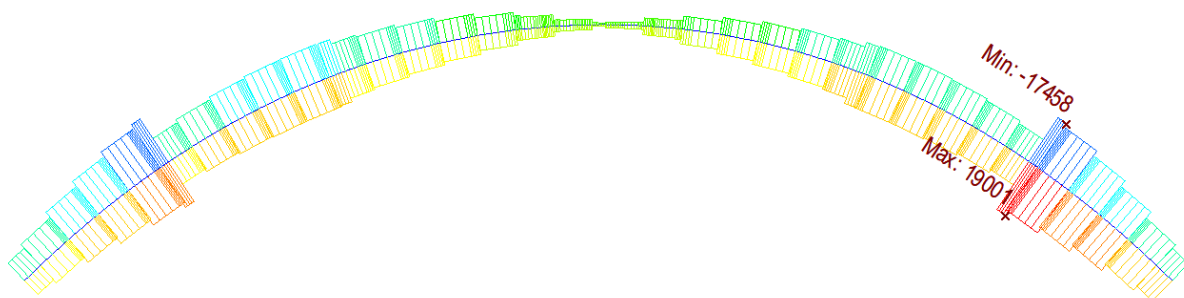
MSU – M_z [kNm]



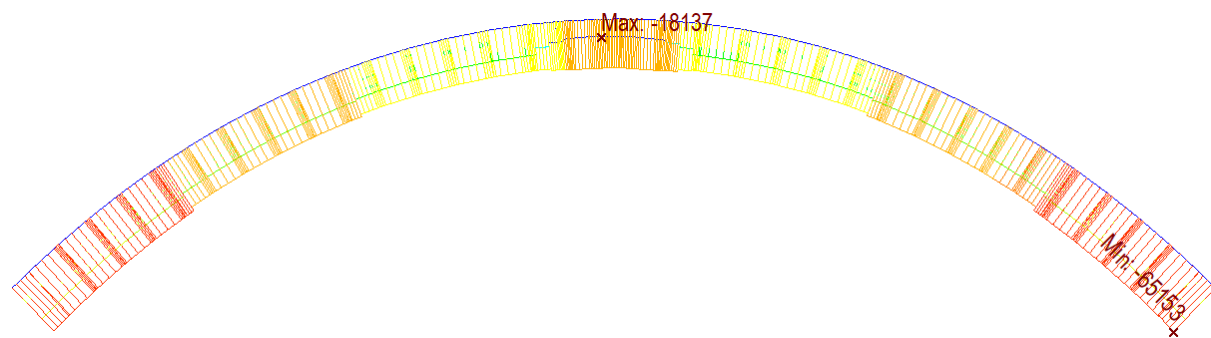
MSU – V_y [kN]



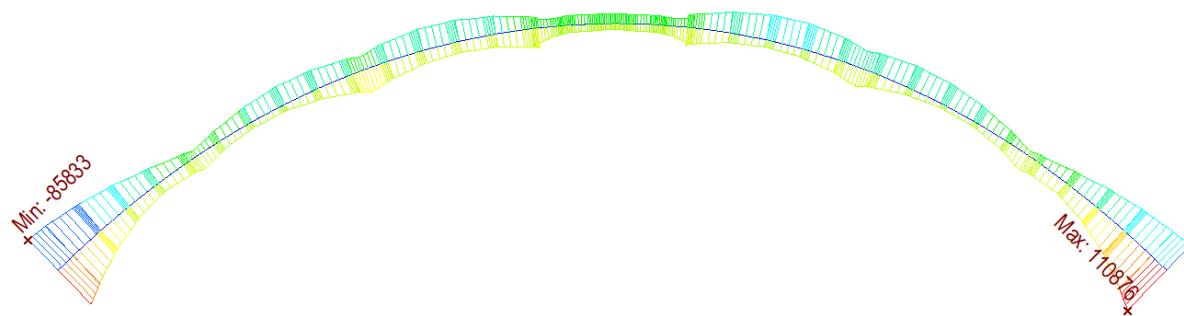
MSU – M_x [kNm]



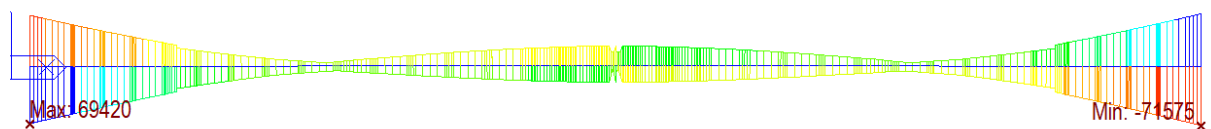
Char – N_x [kN]



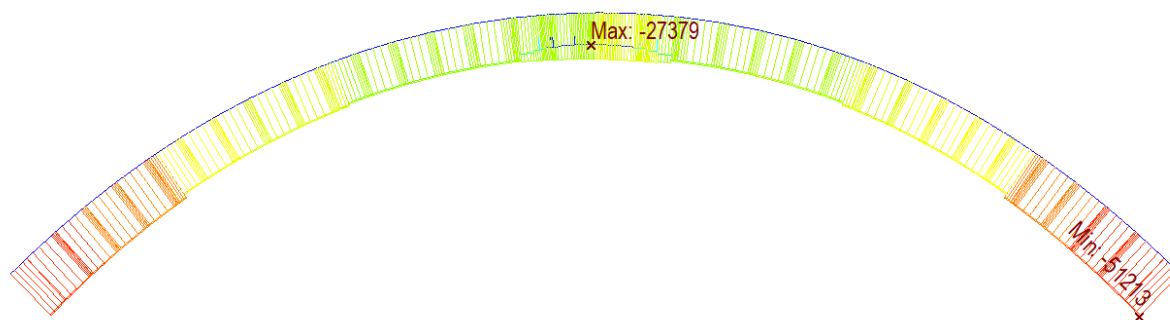
Char – M_y [kNm]



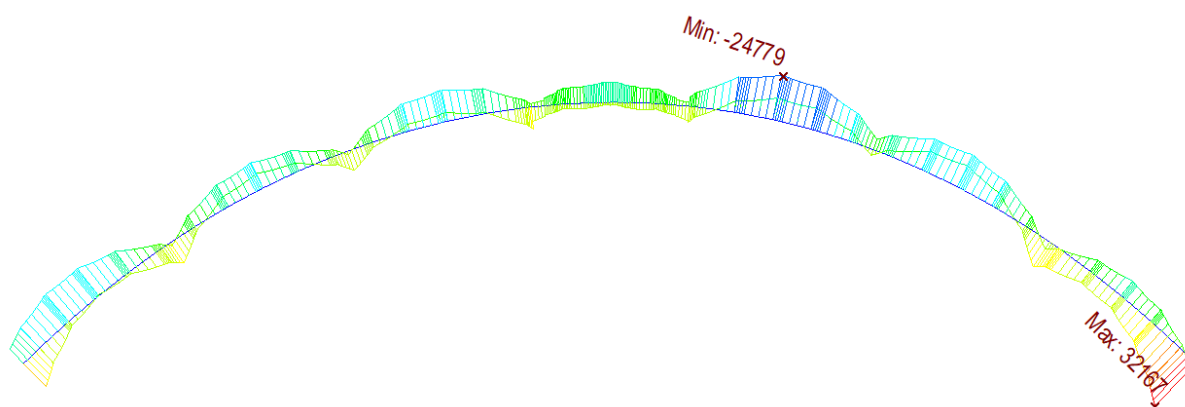
Char – M_z [kNm]



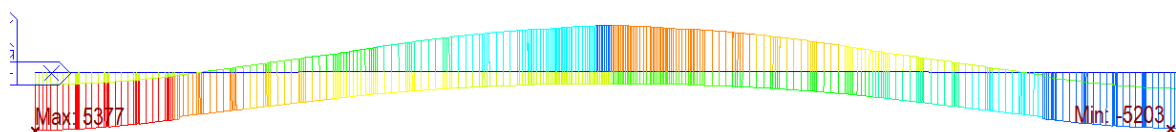
Kvazi – N_x [kN]



Kvazi – M_y [kNm]



Kvazi – M_z [kNm]



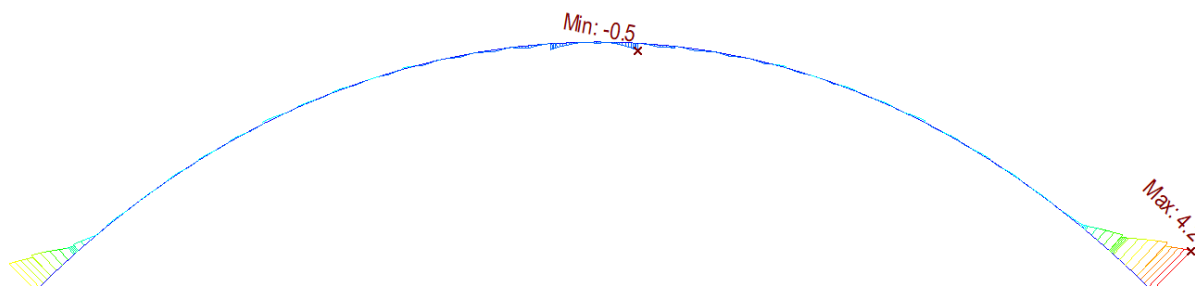
6.1.2 Mezní stav použitelnosti

S ohledem na ČSN EN 1992-1-1 a ČSN EN 1992-2 je nutno uvažovat omezení napětí v materiálech:

- | | | |
|----------------------------|--|----------------------------|
| - betonu v tlaku | $\sigma_{cc} = k_1 \cdot f_{ck}(t) = 0,6 f_{ck}(t)$ | charakteristická kombinace |
| | $\sigma_{cc} = k_2 \cdot f_{ck}(t) = 0,45 f_{ck}(t)$ | kvazistálá kombinace |
| - betonářská výztuž v tahu | $\sigma_s = k_3 \cdot f_{yk} = 0,8 f_{yk}$ | charakteristická kombinace |
| - šířka trhlin | $w_{max} = 0,3 \text{ mm}$ | kvazistálá kombinace |

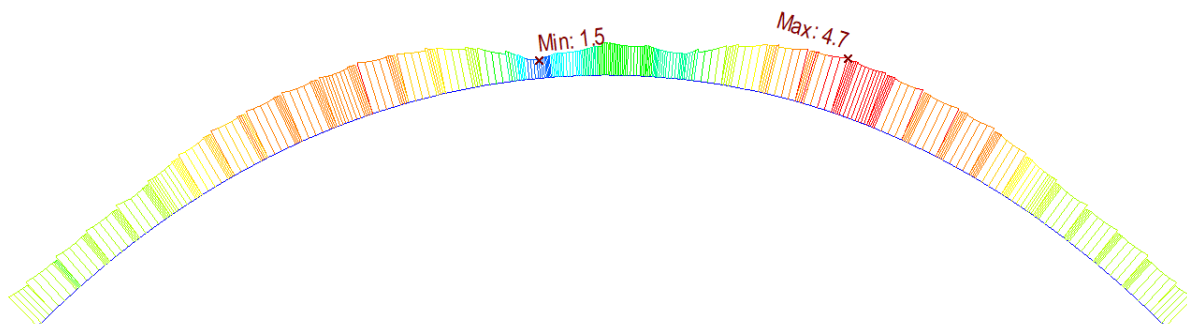
Posouzení omezení napětí (kvazistálá kombinace) – fáze výstavby max

– dolní vlákna



$$\sigma_{ct} = 4,2 > f_{ctm} = 3,8$$

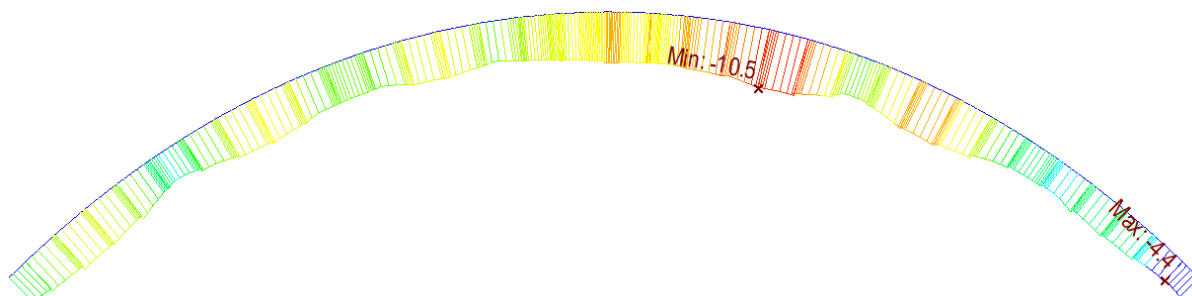
– horní vlákna



$$\sigma_{ct} = 4,7 > f_{ctm} = 3,8$$

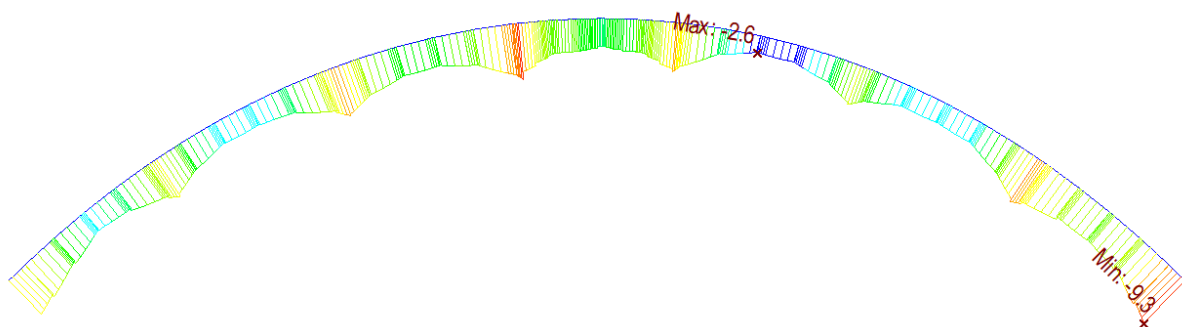
Posouzení omezení napětí (kvazistálá kombinace) – fáze výstavby min

– dolní vlákna



$$\sigma_{cc} = -10,5 < 0,45 \cdot 45,0 = 20,25$$

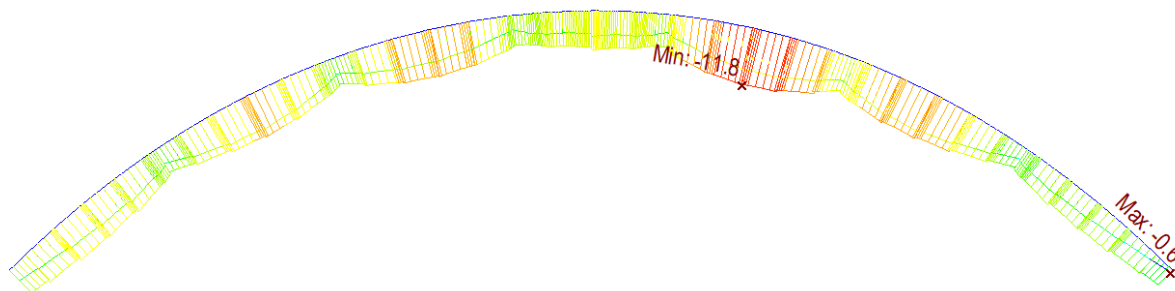
– horní vlákna



$$\sigma_{cc} = -9,3 < 0,45 \cdot 45,0 = 20,25$$

Posouzení omezení napětí (kvazistálá kombinace) – uvedení do provozu

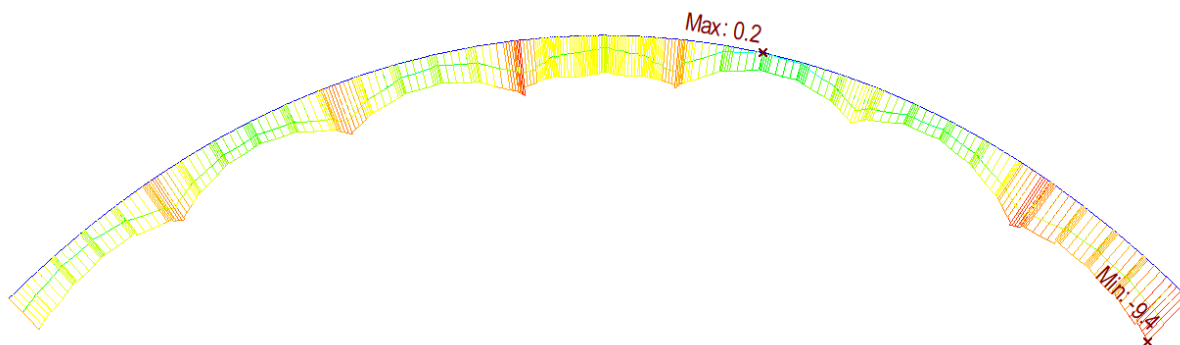
– dolní vlákna



$$\sigma_{cc} = -11,8 < 0,45 \cdot 45,0 = 20,25$$

$$\sigma_{ct} = -0,6 < f_{ctm} = 3,8$$

– horní vlákna



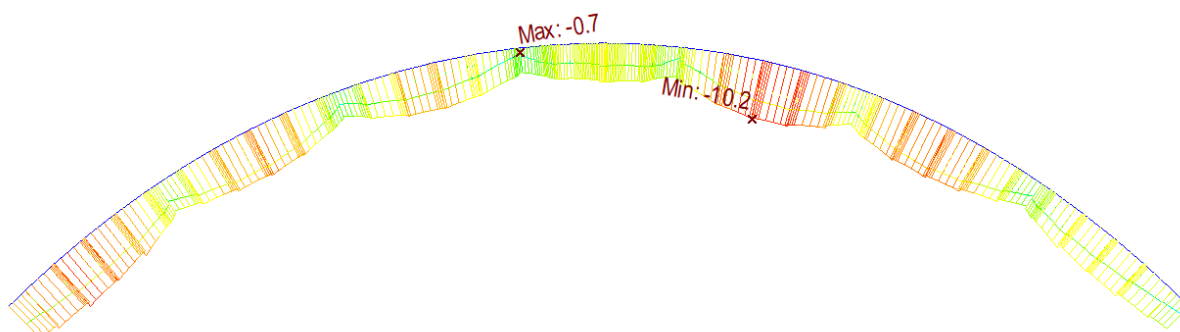
$$\sigma_{cc} = -9,4 < 0,45 \cdot 45,0 = 20,25$$

$$\sigma_{ct} = 0,2 < f_{ctm} = 3,8$$

Vyhovuje, trhliny nevznikají

Posouzení omezení napětí (kvazistálá kombinace) – konec životnosti

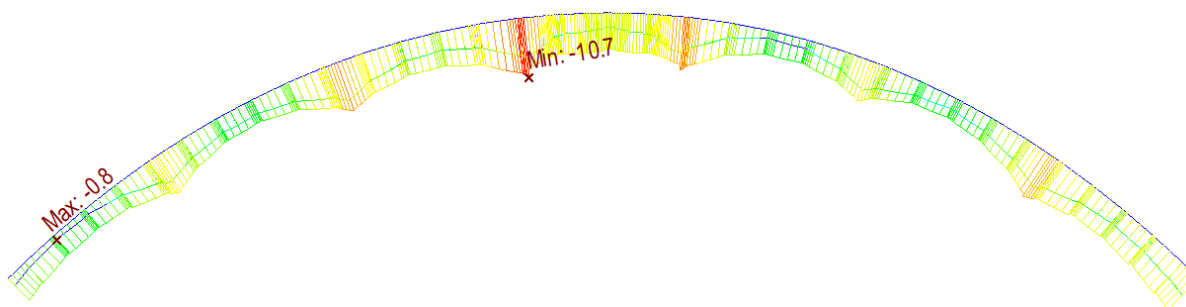
– dolní vlákna



$$\sigma_{cc} = -10,2 < 0,45 \cdot 45,0 = 20,25$$

$$\sigma_{ct} = -0,7 < f_{ctm} = 3,8$$

– horní vlákna



$$\sigma_{cc} = -10,7 < 0,45 \cdot 45,0 = 20,25$$

$$\sigma_{ct} = -0,8 < f_{ctm} = 3,8$$

Vyhovuje, trhliny nevznikají

V rámci fází výstavby může dojít ke vzniku trhlin, které ve finálním stavu budou v tlakové oblasti.

S ohledem na dosažení tlakového napětí po celé délce oblouku (vyjma malé oblasti, kde se napětí sníží při využití posouzení ideálního průřezu) u obou povrchů je možné předpokládat, že v případě vzniku trhlin případně jejich otevření při časté, resp. charakteristické kombinaci budou tyto trhliny v běžném stavu uzavřené.

Detailní posouzení mezních stavů použitelnosti je provedeno současně s posudkem mezních stavů únosnosti v programu IDEA StatiCa.

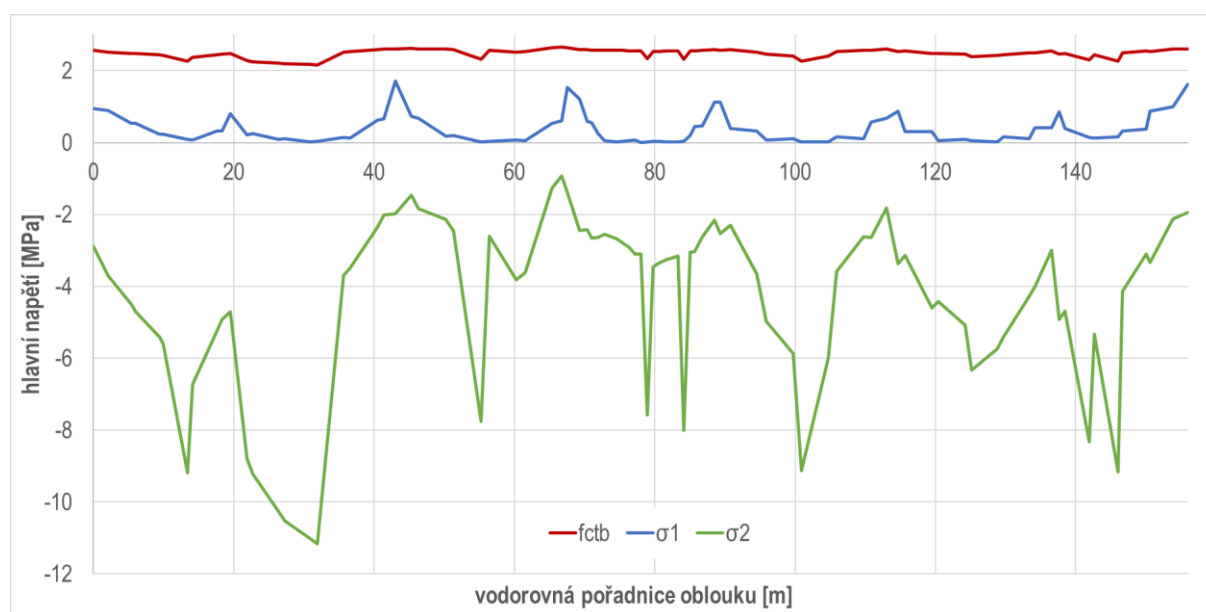
6.1.3 Posouzení hlavních napětí

Z důvodu posouzení vzniku smykových trhlin ve stěnách komory byla posouzena hlavní napětí v oblasti stěn a to ve třech kritických řezech; 1) přímo pod horní deskou, 2) přímo nad spodní deskou, 3) v těžišti. Napětí byla omezena pevností betonu v tahu před vznikem trhlin při dvouosé napjatosti f_{ctb} . Výpočet byl proveden na základě klasické teorie pružnosti. Průřezové charakteristiky byly vypočteny (ve prospěch bezpečnosti) s vyloučením vlivu výztuže.

Všechny průřezy po délce náhradních prutů vykazují menší tahová napětí než je tahová pevnost betonu. Zároveň všechna maximální tlaková napětí vykazují hodnoty nižší než limitní $0,6f_{ck} = 0,6 \cdot 45 = 27,0$.

V průřezu je nutno navrhnout minimální plochu výztuže v souladu s kap. 7.3.2 ČSN EN 1992-2. Protože tahová napětí v betonu jsou při časté kombinaci (zatížení od teploty uvažováno jako vedlejší) vždy nižší než $\sigma_{ct,p} = f_{ctb}$ a při jejich stanovení byl uvažován vliv objemových změn betonu (viz poznámka 7.3.2(4) ČSN EN 1992-1-1), není minimální výztuž pro omezení trhlin v uvažovaném prvku z hlediska MSP nutná.

Obrázek 6-1: Průběh hlavních napětí po oblouku



6.1.4 Mezní stav únosnosti

6.1.4.1 Únosnost M+N+V+T

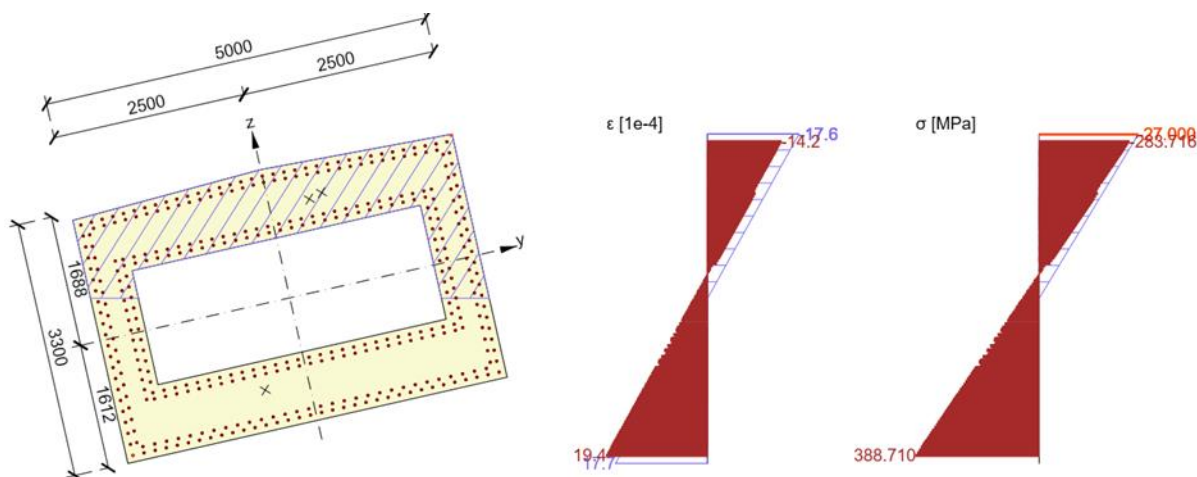
Únosnost průřezů je stanovena na základě metody mezních přetvoření. Navržená minimální výztuž jednotlivých lamel viz tabulka s rekapitulací níže:

REKAPITULACE VÝZTUŽE JEDNOTLIVÝCH LAMEL OBLOUKU								
Ozn. lamely	Vnější výztuž			Vnitřní výztuž			Smyková výztuž	
	Ø spodní	Ø horní	Ø boční	Ø spodní	Ø horní	Ø boční	Ø vnější	Ø vnitřní
L0	2x32	2x32	2x32	2x32	2x32	2x32	25/150	20/150
L1	2x32	2x32	2x32	2x32	2x32	2x32	20/150	16/150
L2	2x32	2x32	32	32	32	32	20/150	20/150
L3	32	32	32	32	32	32	20/150	20/150
L4	32	32	32	32	32	32	25/150	20/150
L5	32	32	32	32	32	32	25/150	20/150
L6	32	32	32	32	32	25	20/150	16/150
L7	25	32	25	25	32	25	20/150	16/150
L8	25	32	25	25	32	25	20/150	16/150
L9	25	32	25	25	32	25	20/150	16/150
L10	25	32	25	25	32	25	25/150	20/150
L11	25	32	25	25	32	25	20/150	16/150
L12	25	32	25	25	25	25	20/150	16/150
L13	25	32	25	25	25	25	20/150	16/150
L14	16	16	16	16	16	16	20/150	16/150
L15	20	20	20	20	20	20	20/150	20/150
L16	12	12	12	12	12	12	16/150	12/150
L17	12	12	12	12	12	12	12/150	12/150

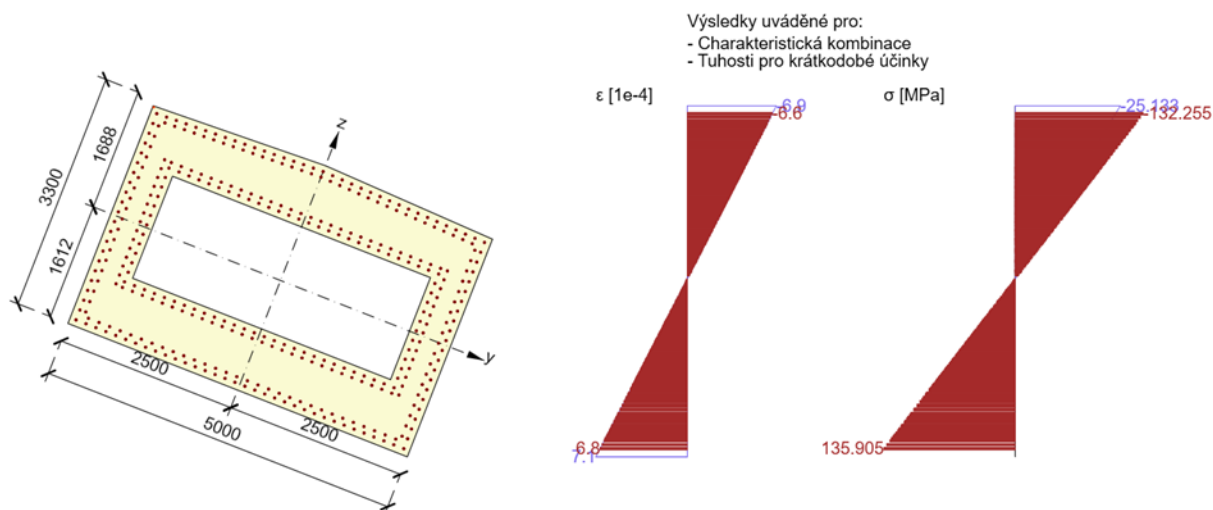
– pata oblouku – lamela 0

Rozhodující typ posudku	N_{Ed} [kN]	$M_{Ed,y}$ [kNm]	$M_{Ed,z}$ [kNm]	V_{Ed} [kN]	T_{Ed} [kNm]	Hodnota [%]	Posudek
Omezení napětí	-58030.0	84863.1	-68966.0			93.09	OK
Typ posudku	N_{Ed} [kN]	$M_{Ed,y}$ [kNm]	$M_{Ed,z}$ [kNm]	V_{Ed} [kN]	T_{Ed} [kNm]	Hodnota [%]	Posudek
Únosnost N-M-M	-69132.6	125136.8	-102319.8			63.75	OK
Smyk	-73023.0			9156.1	-2881.9	56.85	OK
Kroucení					9473.9	19.97	OK
Interakce	-69132.6	125136.8	-102319.8	7406.3	3741.3	84.25	OK
Únava	-55582.0	42092.1	-3418.0			68.38	OK
Omezení napětí	-58030.0	84863.1	-68966.0			93.09	OK
Šířka trhliny	-6788.3	-28973.5	78.8			45.75	OK

MSÚ – interakce – max ohybový moment



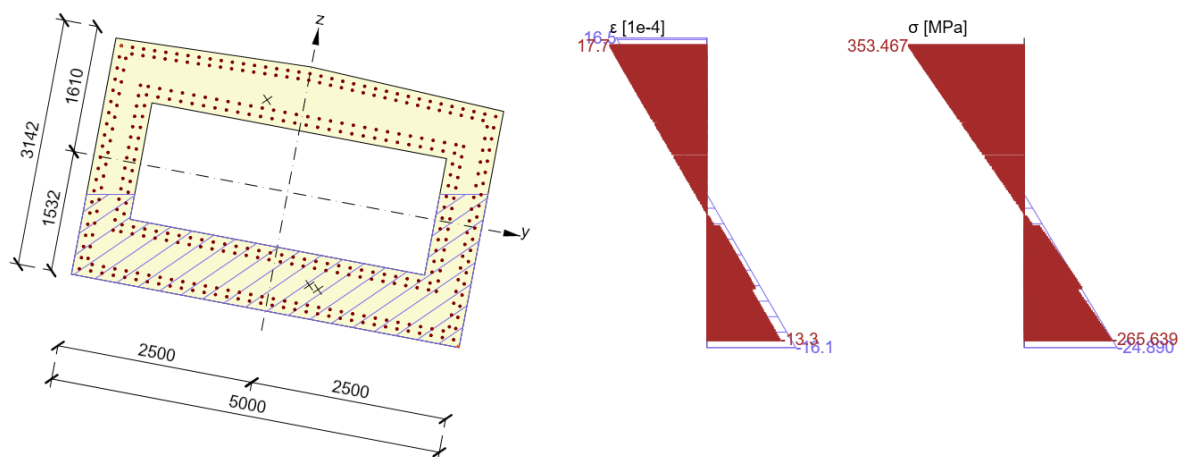
MSP – charakteristická kombinace



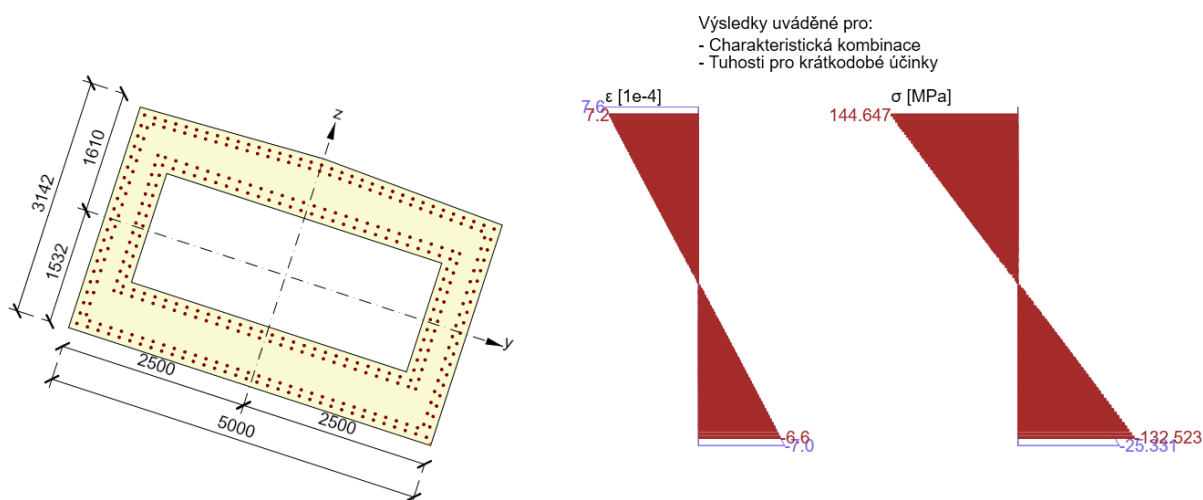
– lamela 1

Rozhodující typ posudku	N_{Ed} [kN]	$M_{Ed,y}$ [kNm]	$M_{Ed,z}$ [kNm]	V_{Ed} [kN]	T_{Ed} [kNm]	Hodnota [%]	Posudek
Omezení napětí	-58030.0	84863.1	-68966.0			93.09	OK
Typ posudku	N_{Ed} [kN]	$M_{Ed,y}$ [kNm]	$M_{Ed,z}$ [kNm]	V_{Ed} [kN]	T_{Ed} [kNm]	Hodnota [%]	Posudek
Únosnost N-M-M	-58554.4	-107490.3	91413.1			59.04	OK
Smyk	-72000.6			8314.8	-4544.1	78.14	OK
Kroucení					11281.3	39.47	OK
Interakce	-72000.6	78306.0	54352.1	8314.8	-4544.1	94.04	OK
Únava	-55582.0	42092.1	-3418.0			64.17	OK
Omezení napětí	-50551.6	-78165.6	61654.9			93.82	OK
Šířka trhliny	-6788.3	-28973.5	78.8			37.91	OK

MSÚ – interakce – max ohybový moment



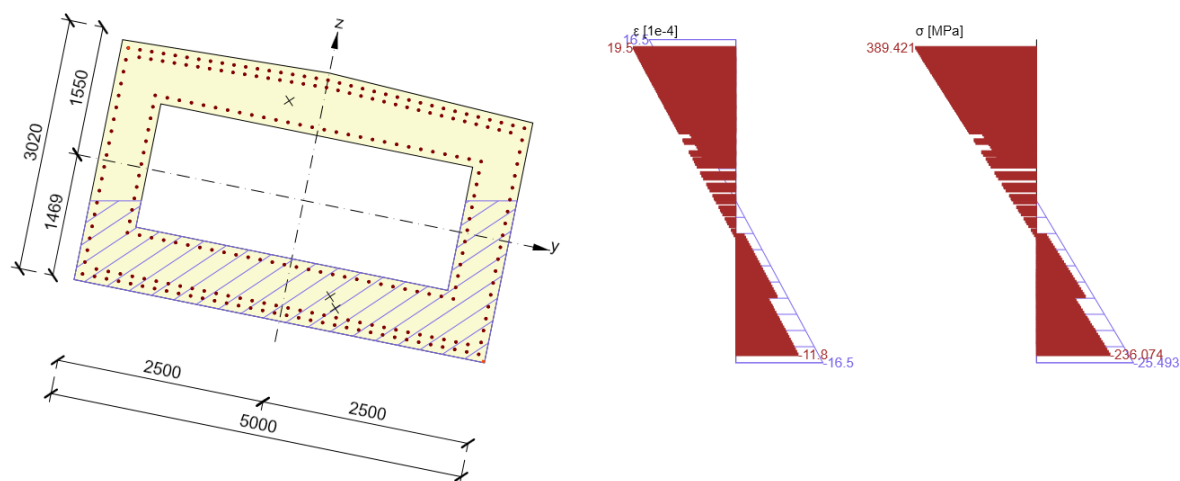
MSP – charakteristická kombinace



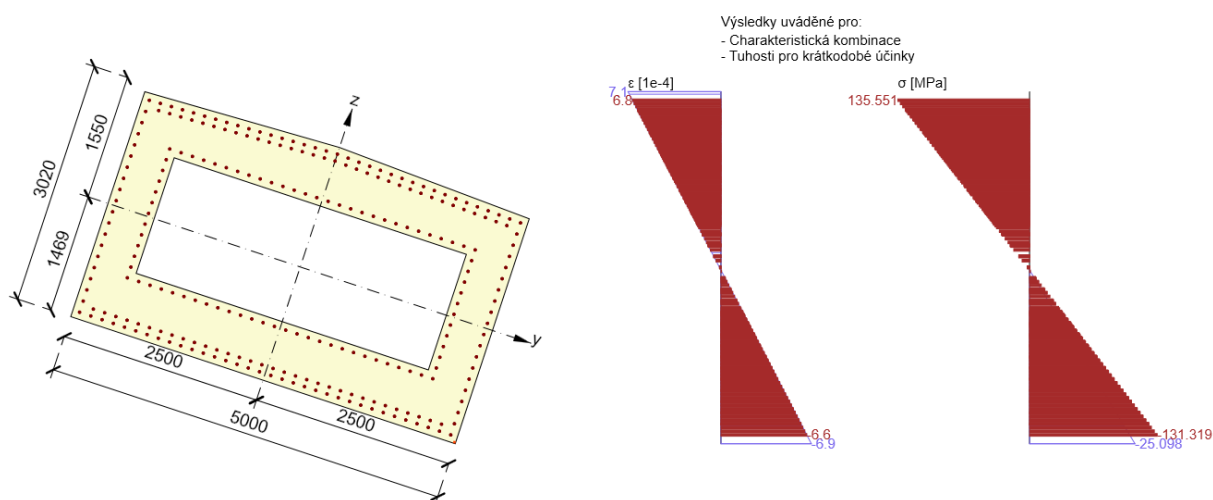
– lamela 2

Rozhodující typ posudku	N_{Ed} [kN]	$M_{Ed,y}$ [kNm]	$M_{Ed,z}$ [kNm]	V_{Ed} [kN]	T_{Ed} [kNm]	Hodnota [%]	Posudek
Omezení napětí	-49956.1	-67334.1	53769.5			92.96	OK
Typ posudku	N_{Ed} [kN]	$M_{Ed,y}$ [kNm]	$M_{Ed,z}$ [kNm]	V_{Ed} [kN]	T_{Ed} [kNm]	Hodnota [%]	Posudek
Únosnost N-M-M	-57949.0	-90922.7	79613.0			62.19	OK
Smyk	-57949.0			5173.6	-7619.3	66.70	OK
Kroucení					13595.0	50.01	OK
Interakce	-71450.3	1410.9	-55620.9	3082.1	13570.7	92.62	OK
Únava	-54403.4	23672.9	-3308.7			60.97	OK
Omezení napětí	-49956.1	-67334.1	53769.5			92.96	OK
Šířka trhliny	-6958.3	-27033.5	-105.2			49.51	OK

MSÚ – interakce – max ohybový moment



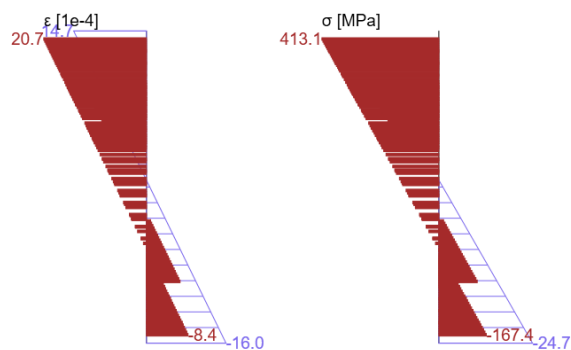
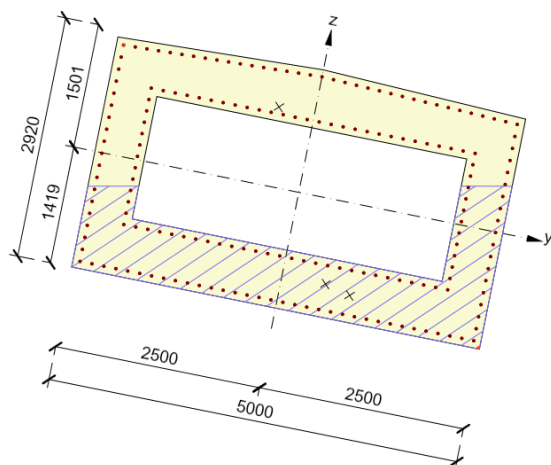
MSP – charakteristická kombinace



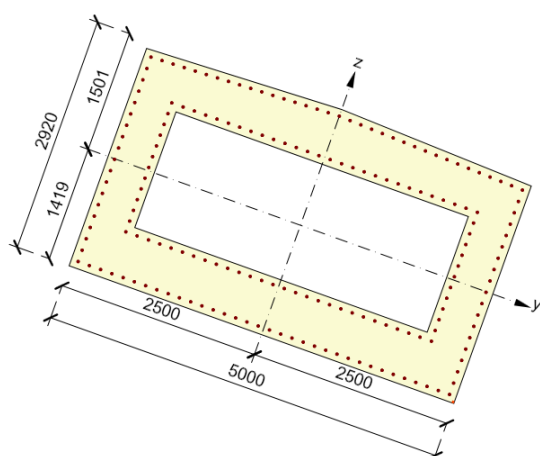
– lamela 3

Rozhodující typ posudku	N_{Ed} [kN]	$M_{Ed,y}$ [kNm]	$M_{Ed,z}$ [kNm]	V_{Ed} [kN]	T_{Ed} [kNm]	Hodnota [%]	Posudek
Interakce	-58305.7	-57785.0	-70112.6	5444.7	12161.4	98.59	OK
Typ posudku	N_{Ed} [kN]	$M_{Ed,y}$ [kNm]	$M_{Ed,z}$ [kNm]	V_{Ed} [kN]	T_{Ed} [kNm]	Hodnota [%]	Posudek
Únosnost N-M-M	-58305.7	-57785.0	-70112.6			53.96	OK
Smyk	-58305.7			5444.7	12161.4	53.60	OK
Kroucení					12161.4	44.99	OK
Interakce	-58305.7	-57785.0	-70112.6	5444.7	12161.4	98.59	OK
Únava	-53134.5	11011.9	-3088.1			74.92	OK
Omezení napětí	-49524.3	-52323.6	46116.6			81.09	OK
Šířka trhliny	-7226.4	-25573.6	-121.0			88.72	OK

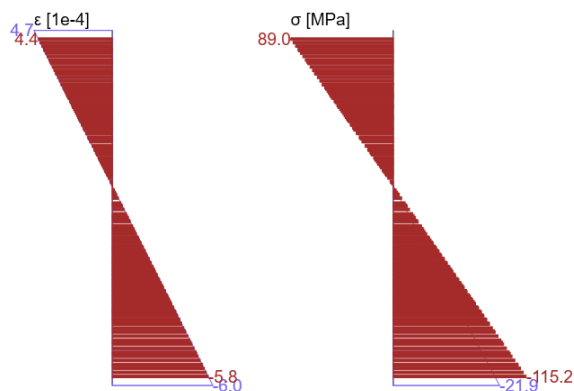
MSÚ – interakce – max ohybový moment



MSP – charakteristická kombinace



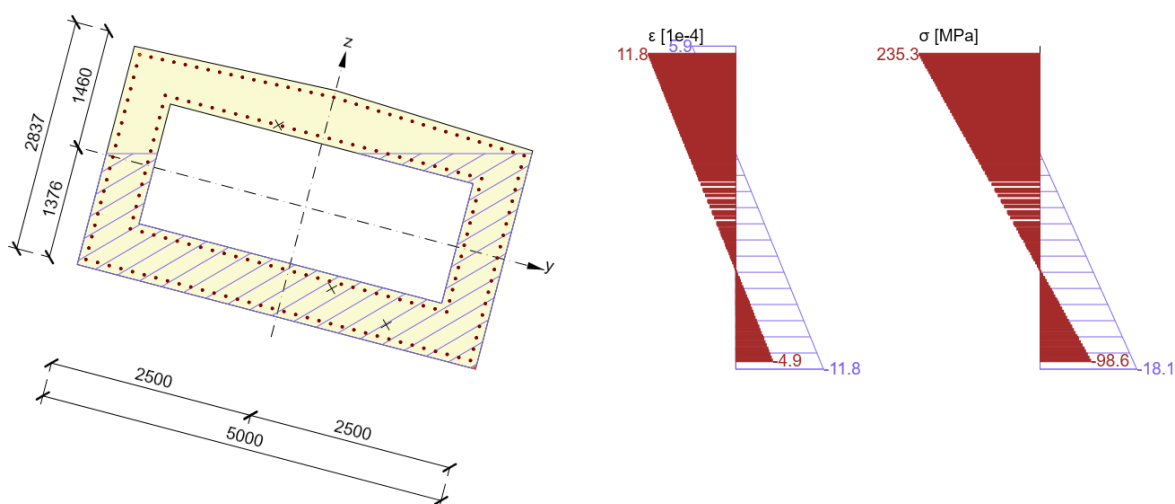
Výsledky uváděné pro:
- Charakteristická kombinace
- Tuhosti pro krátkodobé účinky



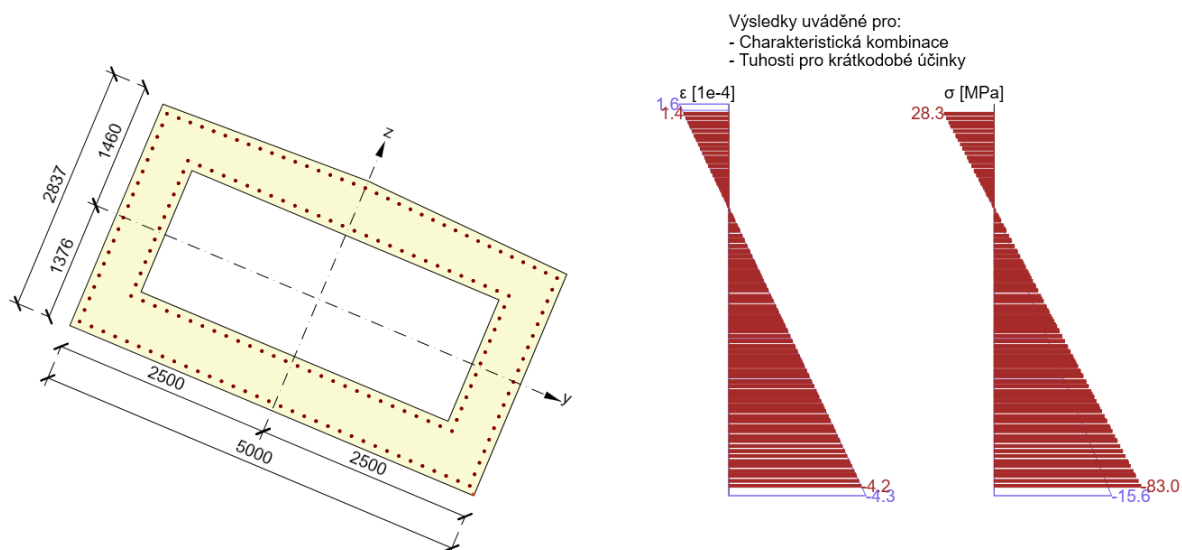
– lamela 4

Rozhodující typ posudku	N_{Ed} [kN]	$M_{Ed,y}$ [kNm]	$M_{Ed,z}$ [kNm]	V_{Ed} [kN]	T_{Ed} [kNm]	Hodnota [%]	Posudek
Interakce	-62215.6	-5502.9	38071.3	3902.5	-15917.9	89.96	OK
Typ posudku	N_{Ed} [kN]	$M_{Ed,y}$ [kNm]	$M_{Ed,z}$ [kNm]	V_{Ed} [kN]	T_{Ed} [kNm]	Hodnota [%]	Posudek
Únosnost N-M-M	-62215.6	-5502.9	38071.3			29.47	OK
Smyk	-62215.6			3902.5	-15917.9	53.90	OK
Kroucení					-15917.9	40.38	OK
Interakce	-62215.6	-5502.9	38071.3	3902.5	-15917.9	89.96	OK
Únava	-51862.4	14608.9	-2451.7			60.32	OK
Omezení napětí	-48431.0	-33990.3	38119.6			57.77	OK
Šířka trhliny	-46601.2	3401.1	416.6			0.00	OK

MSÚ – interakce – max ohybový moment



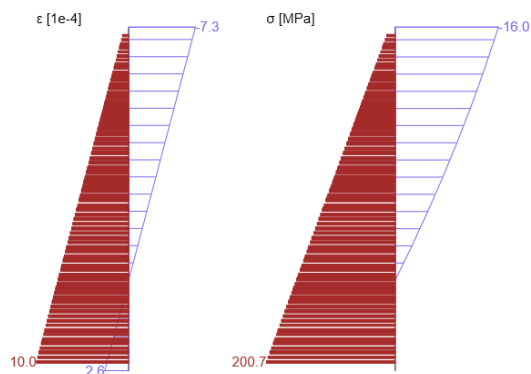
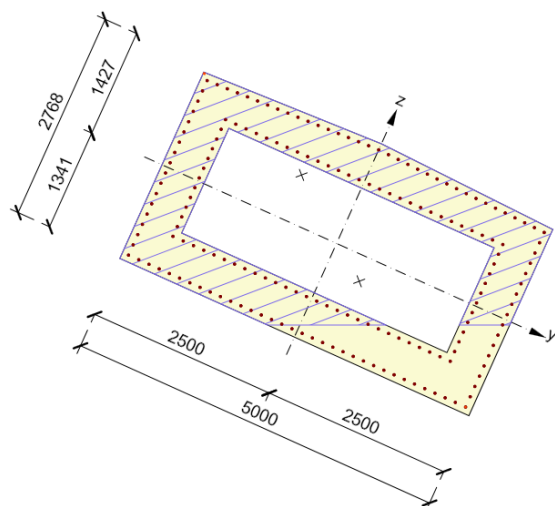
MSP – charakteristická kombinace



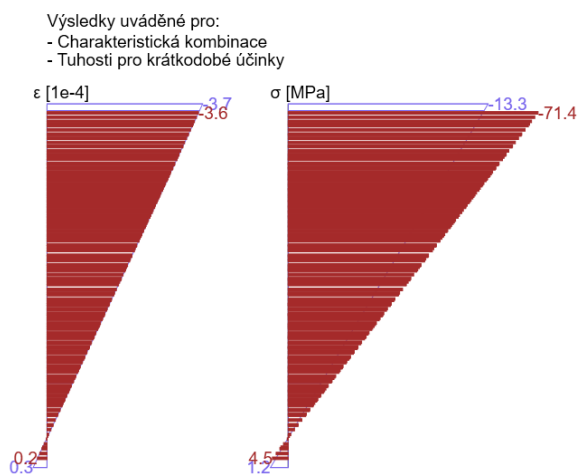
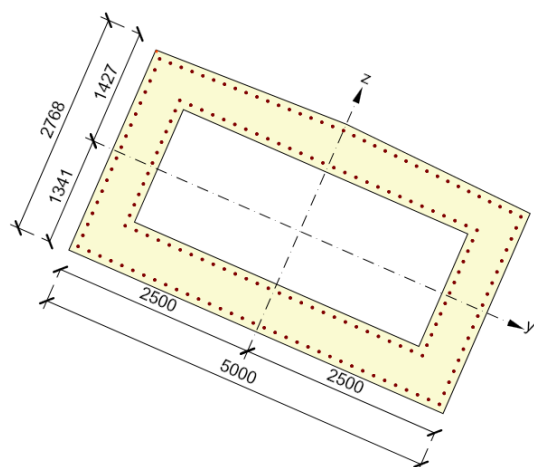
– lamela 5

Rozhodující typ posudku	N_{Ed} [kN]	$M_{Ed,y}$ [kNm]	$M_{Ed,z}$ [kNm]	V_{Ed} [kN]	T_{Ed} [kNm]	Hodnota [%]	Posudek
Interakce	-69717.4	10490.2	47818.9	4362.9	-12632.7	92.92	OK
Typ posudku	N_{Ed} [kN]	$M_{Ed,y}$ [kNm]	$M_{Ed,z}$ [kNm]	V_{Ed} [kN]	T_{Ed} [kNm]	Hodnota [%]	Posudek
Únosnost N-M-M	-69717.4	10490.2	47818.9			35.50	OK
Smyk	-69717.4			4362.9	-12632.7	60.61	OK
Kroucení					-12632.7	32.31	OK
Interakce	-69717.4	10490.2	47818.9	4362.9	-12632.7	92.92	OK
Únava	-46244.0	22480.1	-2098.9			61.92	OK
Omezení napětí	-52938.0	24240.5	-30508.6			49.33	OK
Šířka trhliny	-46444.3	5269.8	4374.2			0.00	OK

MSÚ – interakce – max ohybový moment



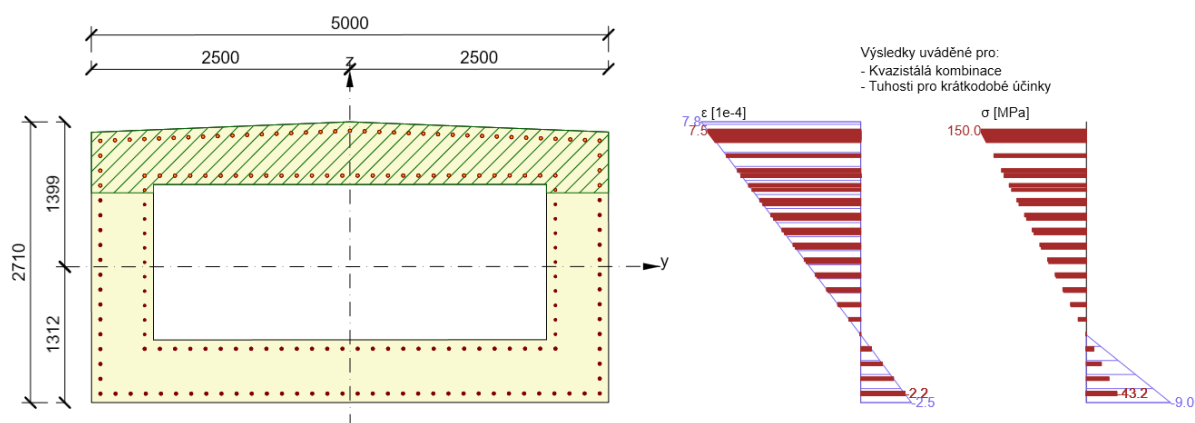
MSP – charakteristická kombinace



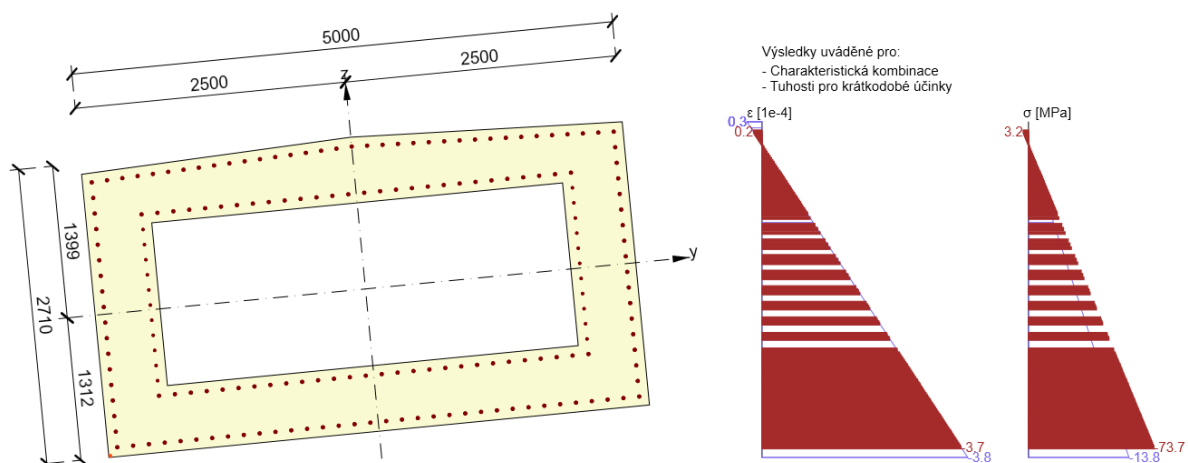
– lamela 6

Rozhodující typ posudku	N_{Ed} [kN]	$M_{Ed,y}$ [kNm]	$M_{Ed,z}$ [kNm]	V_{Ed} [kN]	T_{Ed} [kNm]	Hodnota [%]	Posudek
Šířka trhliny	-7415.9	-26199.7	-61.5			88.91	OK
Typ posudku	N_{Ed} [kN]	$M_{Ed,y}$ [kNm]	$M_{Ed,z}$ [kNm]	V_{Ed} [kN]	T_{Ed} [kNm]	Hodnota [%]	Posudek
Únosnost N-M-M	-55272.1	-6909.9	-17364.5			25.40	OK
Smyk	-55272.1			2476.0	10298.4	48.72	OK
Kroucení					10298.4	41.44	OK
Interakce	-55272.1	-6909.9	-17364.5	2476.0	10298.4	86.27	OK
Únava	-44318.2	8553.0	-1806.6			59.71	OK
Omezení napětí	-53248.1	-35636.1	-10318.7			51.18	OK
Šířka trhliny	-7415.9	-26199.7	-61.5			88.91	OK

MSP – šířka trhliny



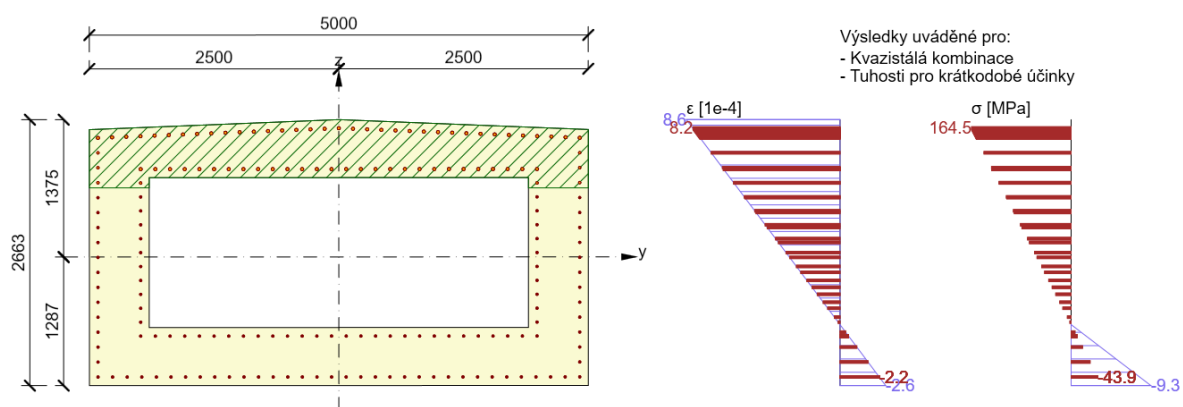
MSP – charakteristická kombinace



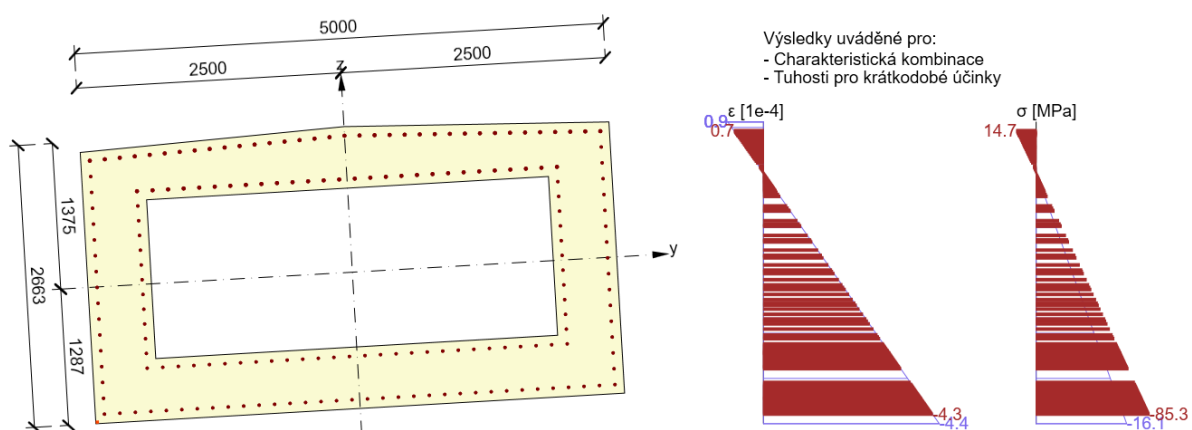
– lamela 7

Rozhodující typ posudku	N_{Ed} [kN]	$M_{Ed,y}$ [kNm]	$M_{Ed,z}$ [kNm]	V_{Ed} [kN]	T_{Ed} [kNm]	Hodnota [%]	Posudek
Únava	-43648.6	1760.4	1118.1			99.59	OK
Typ posudku	N_{Ed} [kN]	$M_{Ed,y}$ [kNm]	$M_{Ed,z}$ [kNm]	V_{Ed} [kN]	T_{Ed} [kNm]	Hodnota [%]	Posudek
Únosnost N-M-M	-60036.3	-30271.4	-9631.7			38.72	OK
Smyk	-60036.3			3822.4	6897.4	47.00	OK
Kroucení					6897.4	27.99	OK
Interakce	-60036.3	-30271.4	-9631.7	3822.4	6897.4	71.23	OK
Únava	-43648.6	1760.4	1118.1			99.59	OK
Omezení napětí	-52436.4	-42994.5	-6998.8			59.62	OK
Šířka trhliny	-6014.9	-25058.9	-33.4			96.59	OK

MSP – šířka trhliny



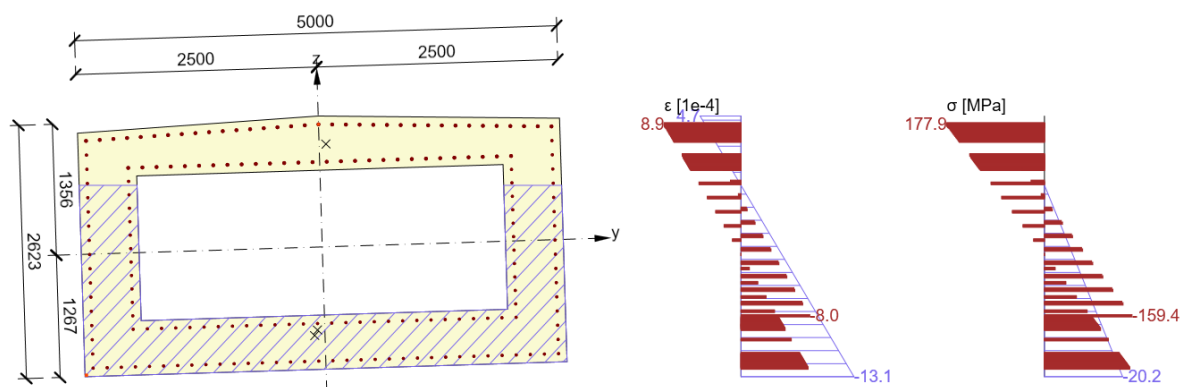
MSP – charakteristická kombinace



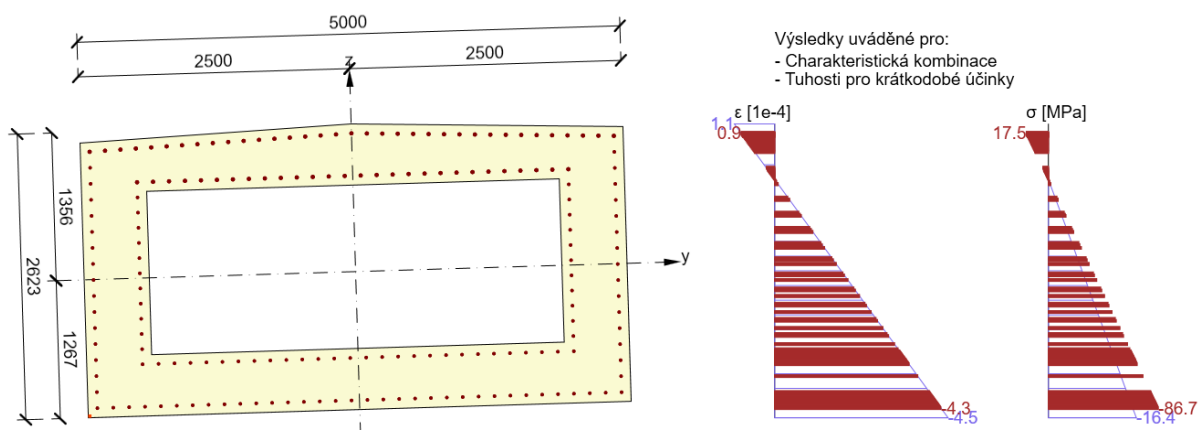
– lamela 8

Rozhodující typ posudku	N_{Ed} [kN]	$M_{Ed,y}$ [kNm]	$M_{Ed,z}$ [kNm]	V_{Ed} [kN]	T_{Ed} [kNm]	Hodnota [%]	Posudek
Interakce	-54726.2	-6742.6	-8503.9	2520.3	11513.9	98.84	OK
Typ posudku	N_{Ed} [kN]	$M_{Ed,y}$ [kNm]	$M_{Ed,z}$ [kNm]	V_{Ed} [kN]	T_{Ed} [kNm]	Hodnota [%]	Posudek
Únosnost N-M-M	-54726.2	-6742.6	-8503.9			27.28	OK
Smyk	-54726.2			2520.3	11513.9	51.88	OK
Kroucení					11513.9	46.97	OK
Interakce	-54726.2	-6742.6	-8503.9	2520.3	11513.9	98.84	OK
Únava	-43985.6	8911.0	688.0			83.79	OK
Omezení napětí	-52132.9	-43805.0	-3770.7			60.70	OK
Šířka trhliny	-8659.7	-26050.3	-53.6			87.90	OK

MSÚ – interakce – max ohybový moment



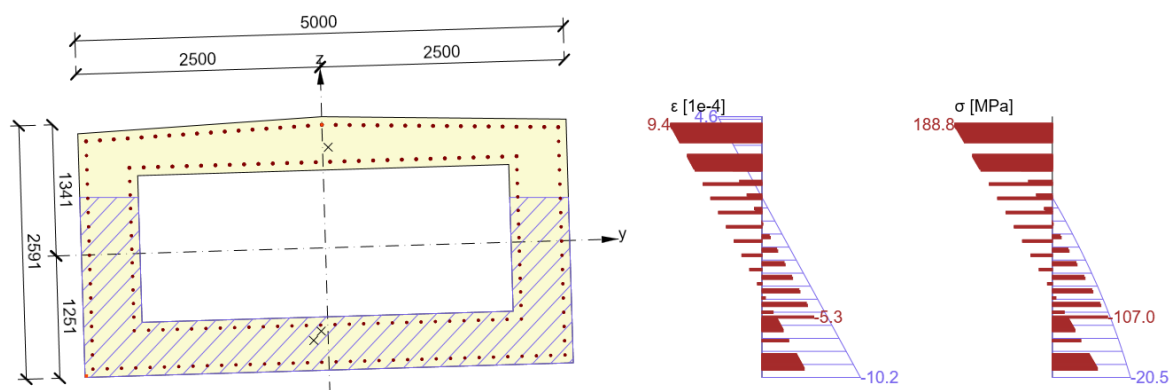
MSP – charakteristická kombinace



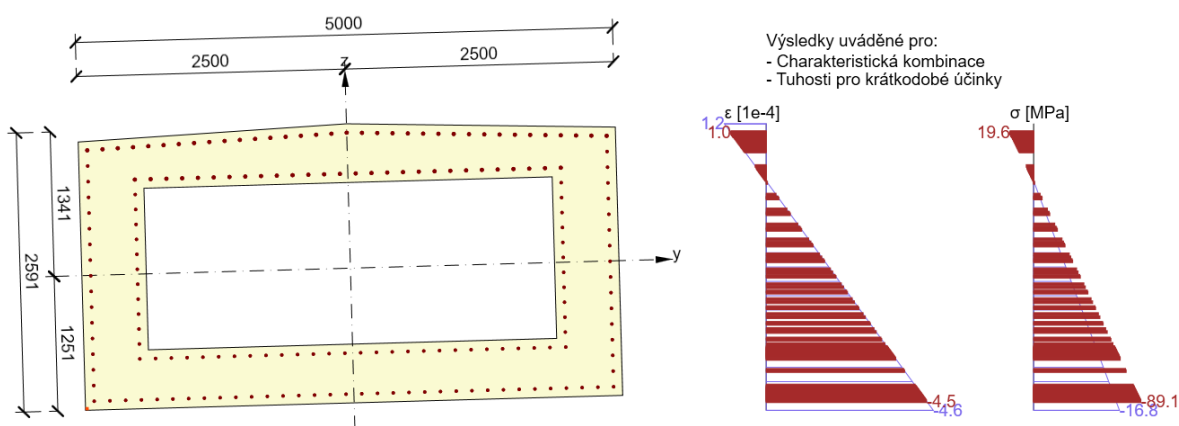
– lamela 9

Rozhodující typ posudku	N_{Ed} [kN]	$M_{Ed,y}$ [kNm]	$M_{Ed,z}$ [kNm]	V_{Ed} [kN]	T_{Ed} [kNm]	Hodnota [%]	Posudek
Interakce	-53052.6	10661.6	3672.5	4326.0	-11707.5	97.68	OK
Typ posudku	N_{Ed} [kN]	$M_{Ed,y}$ [kNm]	$M_{Ed,z}$ [kNm]	V_{Ed} [kN]	T_{Ed} [kNm]	Hodnota [%]	Posudek
Únosnost N-M-M	-53052.6	10661.6	3672.5			26.13	OK
Smyk	-53052.6			4326.0	-11707.5	49.71	OK
Kroucení					-11707.5	47.96	OK
Interakce	-53052.6	10661.6	3672.5	4326.0	-11707.5	97.68	OK
Únava	-44006.0	23314.1	270.5			72.60	OK
Omezení napětí	-52106.4	-43803.7	-3524.7			62.34	OK
Šířka trhliny	-9203.3	-26083.5	-30.5			91.33	OK

MSÚ – interakce – max ohybový moment



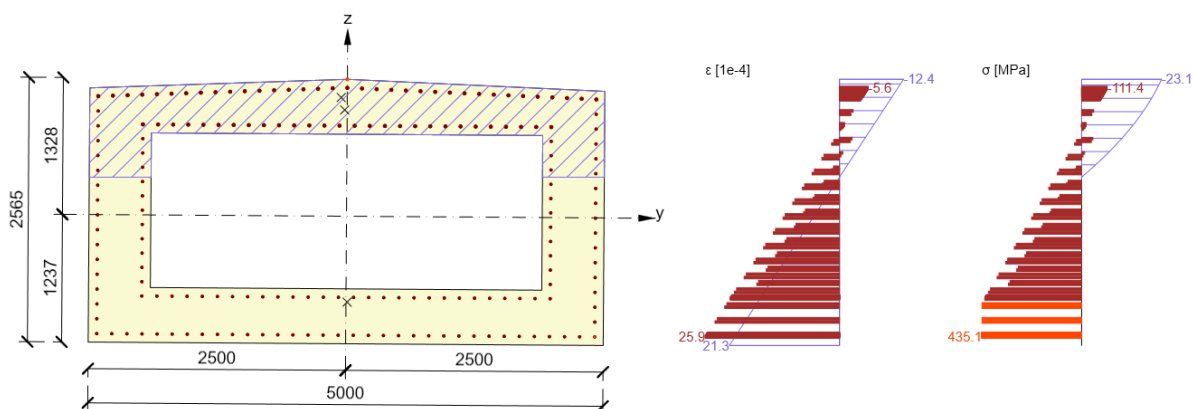
MSP – charakteristická kombinace



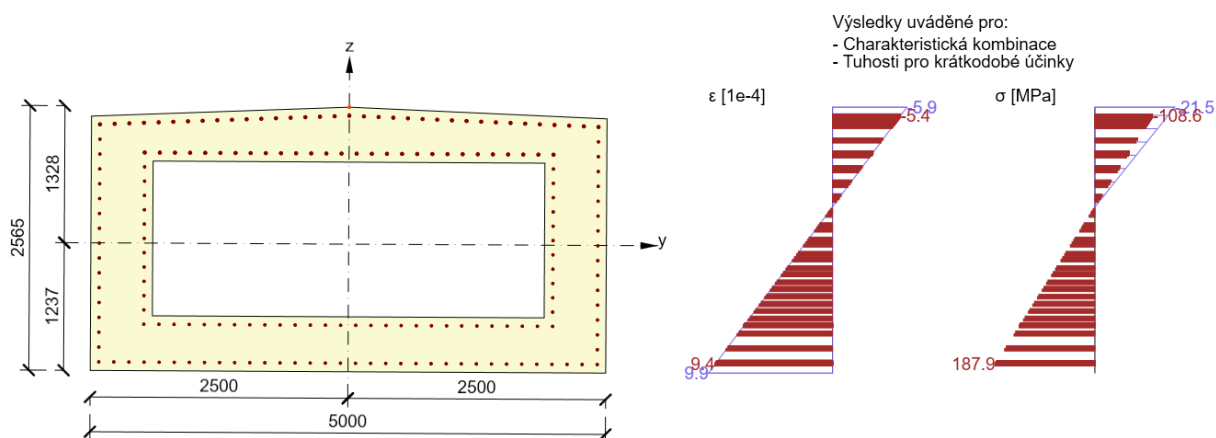
– lamela 10

Rozhodující typ posudku	N_{Ed} [kN]	$M_{Ed,y}$ [kNm]	$M_{Ed,z}$ [kNm]	V_{Ed} [kN]	T_{Ed} [kNm]	Hodnota [%]	Posudek
Interakce	-42366.8	70882.0	-1613.8	3435.9	-5213.0	93.38	OK
Typ posudku	N_{Ed} [kN]	$M_{Ed,y}$ [kNm]	$M_{Ed,z}$ [kNm]	V_{Ed} [kN]	T_{Ed} [kNm]	Hodnota [%]	Posudek
Únosnost N-M-M	-42366.8	70882.0	-1613.8			70.45	OK
Smyk	-42366.8			3435.9	-5213.0	27.29	OK
Kroucení					-5213.0	13.72	OK
Interakce	-42366.8	70882.0	-1613.8	3435.9	-5213.0	93.38	OK
Únava	-41163.1	34743.1	40.8			73.87	OK
Omezení napětí	-37076.0	51207.8	-1045.2			79.80	OK
Šířka trhliny	-8798.9	-25878.7	22.0			91.83	OK

MSÚ – interakce – max ohybový moment



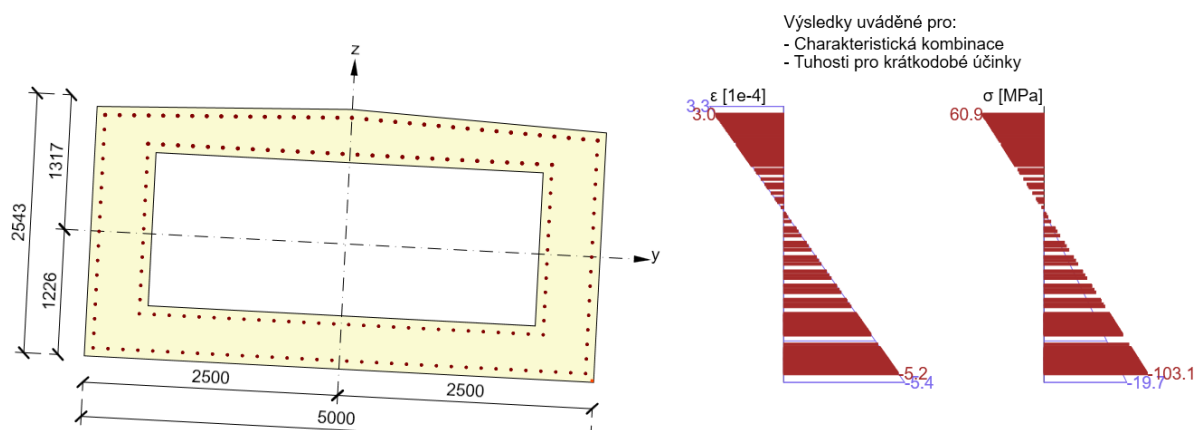
MSP – charakteristická kombinace



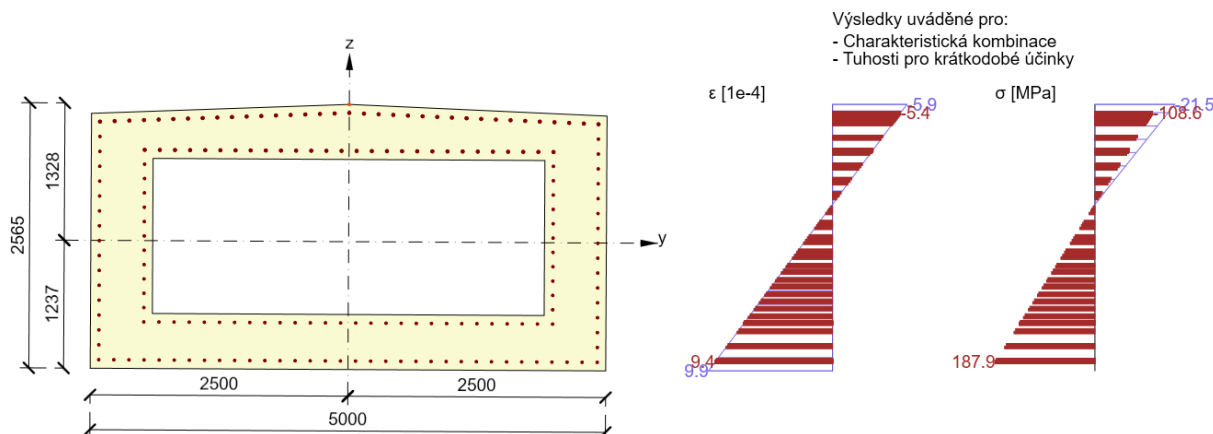
– lamela 11

Rozhodující typ posudku	N_{Ed} [kN]	$M_{Ed,y}$ [kNm]	$M_{Ed,z}$ [kNm]	V_{Ed} [kN]	T_{Ed} [kNm]	Hodnota [%]	Posudek
Šířka trhliny	-8707.6	-25485.6	23.7			90.47	OK
Typ posudku	N_{Ed} [kN]	$M_{Ed,y}$ [kNm]	$M_{Ed,z}$ [kNm]	V_{Ed} [kN]	T_{Ed} [kNm]	Hodnota [%]	Posudek
Únosnost N-M-M	-48039.8	6366.1	-18211.5			25.51	OK
Smyk	-48039.8			1837.5	-9383.8	48.57	OK
Kroucení					-9383.8	38.69	OK
Interakce	-48039.8	6366.1	-18211.5	1837.5	-9383.8	83.37	OK
Únava	-41395.4	23385.8	-255.1			76.10	OK
Omezení napětí	-47678.8	-47077.0	7903.0			73.03	OK
Šířka trhliny	-8707.6	-25485.6	23.7			90.47	OK

MSP – šířka trhliny



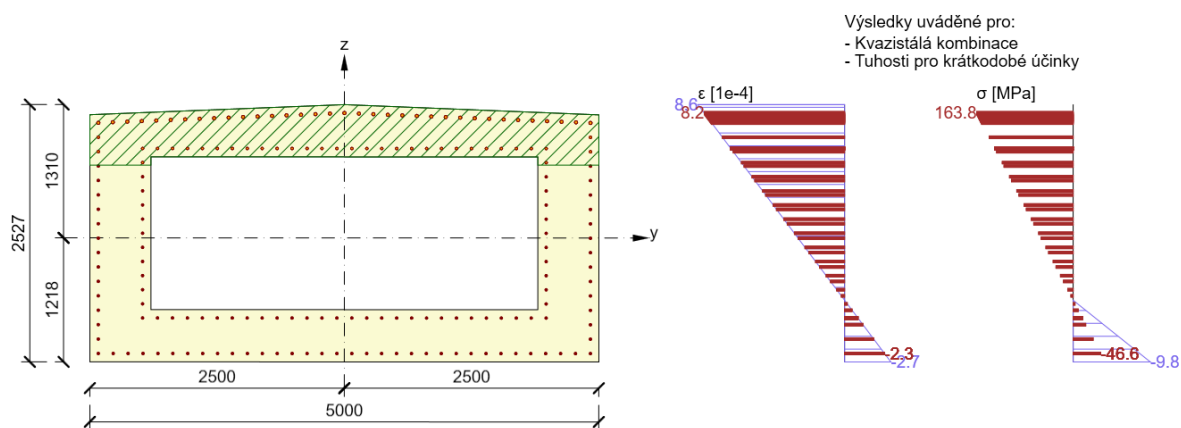
MSP – charakteristická kombinace



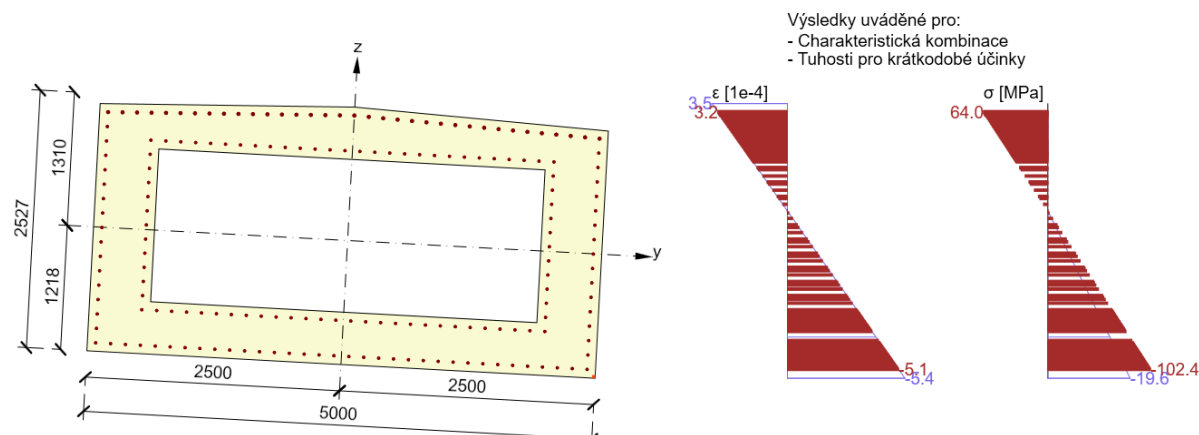
– lamela 12

Rozhodující typ posudku	N_{Ed} [kN]	$M_{Ed,y}$ [kNm]	$M_{Ed,z}$ [kNm]	V_{Ed} [kN]	T_{Ed} [kNm]	Hodnota [%]	Posudek
Šířka trhliny	-7784.7	-23405.5	32.7			94.13	OK
Typ posudku	N_{Ed} [kN]	$M_{Ed,y}$ [kNm]	$M_{Ed,z}$ [kNm]	V_{Ed} [kN]	T_{Ed} [kNm]	Hodnota [%]	Posudek
Únosnost N-M-M	-55806.0	-64041.4	11990.6			61.94	OK
Smyk	-55806.0			1031.0	4965.3	18.87	OK
Kroucení					4965.3	20.52	OK
Interakce	-55806.0	-64041.4	11990.6	1031.0	4965.3	56.19	OK
Únava	-41702.5	13786.9	-653.9			67.61	OK
Omezení napětí	-46341.4	-45583.8	8114.9			72.65	OK
Šířka trhliny	-7784.7	-23405.5	32.7			94.13	OK

MSP – šířka trhliny



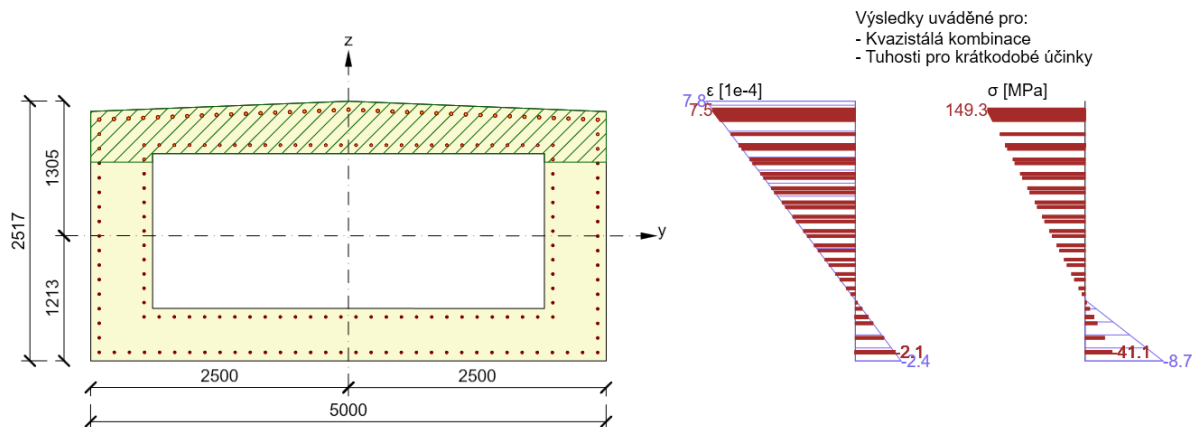
MSP – charakteristická kombinace



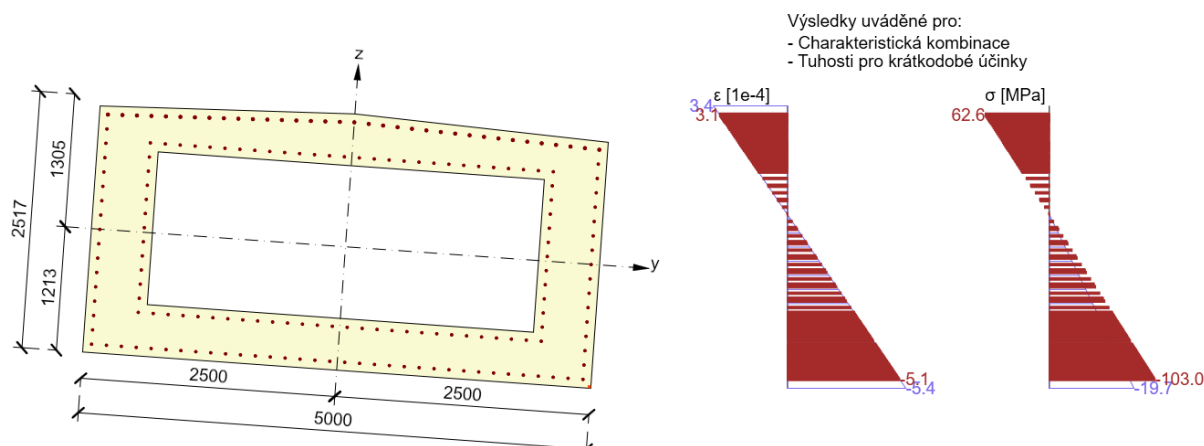
– lamela 13

Rozhodující typ posudku	N_{Ed} [kN]	$M_{Ed,y}$ [kNm]	$M_{Ed,z}$ [kNm]	V_{Ed} [kN]	T_{Ed} [kNm]	Hodnota [%]	Posudek
Šířka trhliny	-6358.6	-20576.2	31.4			90.24	OK
Typ posudku	N_{Ed} [kN]	$M_{Ed,y}$ [kNm]	$M_{Ed,z}$ [kNm]	V_{Ed} [kN]	T_{Ed} [kNm]	Hodnota [%]	Posudek
Únosnost N-M-M	-54971.8	-62388.6	15407.2			61.56	OK
Smyk	-54971.8			2722.4	4158.8	34.56	OK
Kroucení					4158.8	17.21	OK
Interakce	-54971.8	-62388.6	15407.2	2722.4	4158.8	59.74	OK
Únava	-42165.0	16257.4	-1214.7			68.29	OK
Omezení napětí	-45713.3	-44233.2	10462.8			72.97	OK
Šířka trhliny	-6358.6	-20576.2	31.4			90.24	OK

MSP – šířka trhliny



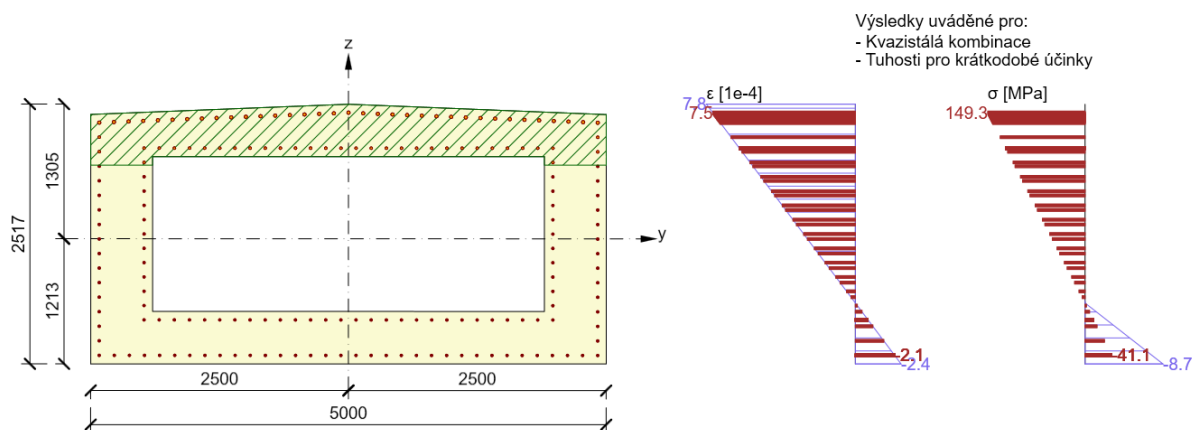
MSP – charakteristická kombinace



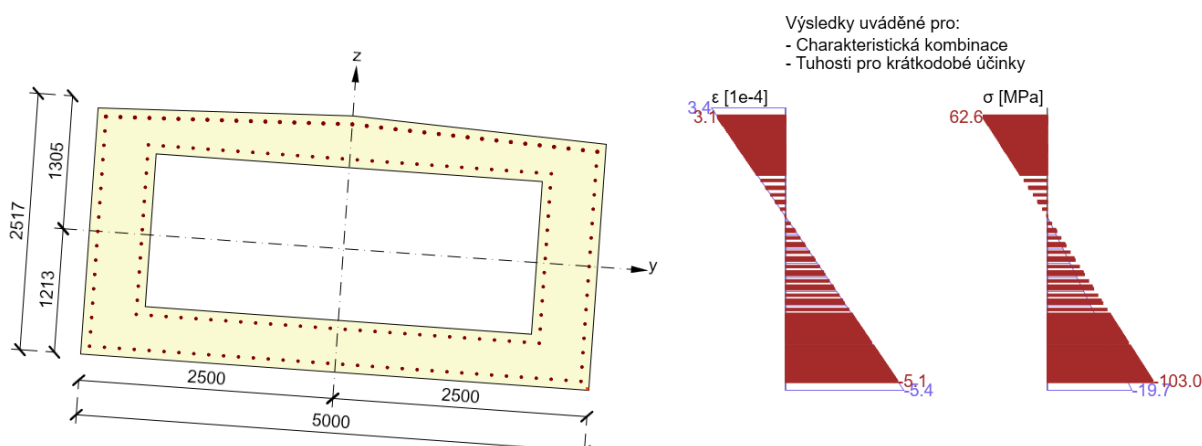
– lamela 14

Rozhodující typ posudku	N_{Ed} [kN]	$M_{Ed,y}$ [kNm]	$M_{Ed,z}$ [kNm]	V_{Ed} [kN]	T_{Ed} [kNm]	Hodnota [%]	Posudek
Únava	-41830.0	28249.1	-1429.2			76.45	OK
Typ posudku	N_{Ed} [kN]	$M_{Ed,y}$ [kNm]	$M_{Ed,z}$ [kNm]	V_{Ed} [kN]	T_{Ed} [kNm]	Hodnota [%]	Posudek
Únosnost N-M-M	-66639.3	-21056.7	-14888.3			46.11	OK
Smyk	-66639.3			5600.1	-2700.4	70.33	OK
Kroucení					-2700.4	11.16	OK
Interakce	-66639.3	-21056.7	-14888.3	5600.1	-2700.4	75.86	OK
Únava	-41830.0	28249.1	-1429.2			76.45	OK
Omezení napětí	-50756.6	-12983.2	-9744.8			43.48	OK
Šířka trhliny	-38579.4	-8631.7	1107.0			0.00	OK

MSP – šířka trhliny



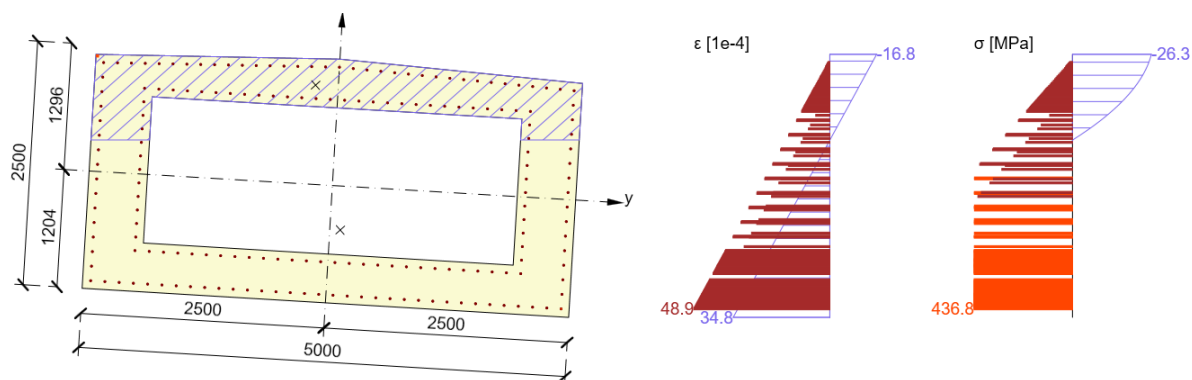
MSP – charakteristická kombinace



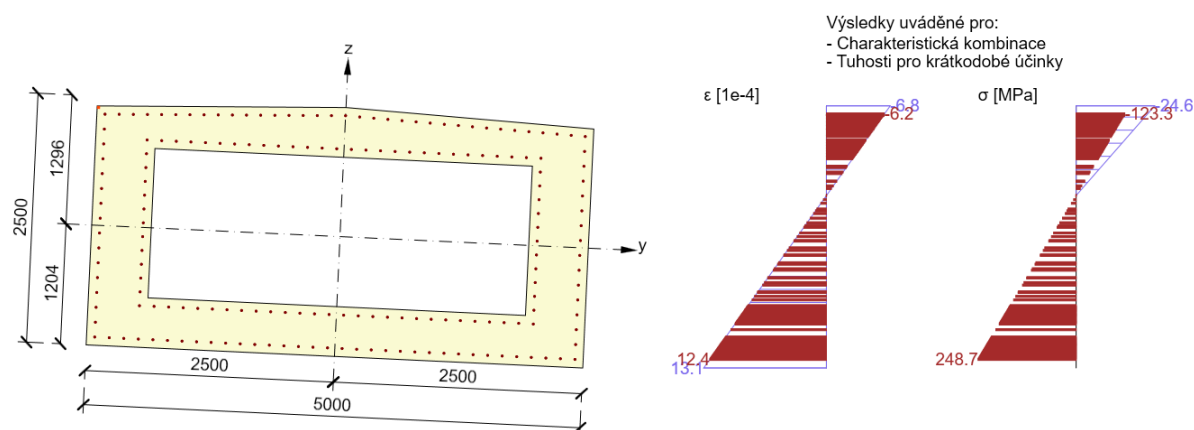
– lamela 15

Rozhodující typ posudku	N_{Ed} [kN]	$M_{Ed,y}$ [kNm]	$M_{Ed,z}$ [kNm]	V_{Ed} [kN]	T_{Ed} [kNm]	Hodnota [%]	Posudek
Interakce	-42609.8	64465.7	-13855.7	4373.1	-2836.6	93.74	OK
Typ posudku	N_{Ed} [kN]	$M_{Ed,y}$ [kNm]	$M_{Ed,z}$ [kNm]	V_{Ed} [kN]	T_{Ed} [kNm]	Hodnota [%]	Posudek
Únosnost N-M-M	-42609.8	64465.7	-13855.7			89.94	OK
Smyk	-42609.8			4373.1	-2836.6	45.26	OK
Kroucení					-2836.6	11.74	OK
Interakce	-42609.8	64465.7	-13855.7	4373.1	-2836.6	93.74	OK
Únava	-41617.7	31922.7	-1485.3			68.65	OK
Omezení napětí	-37021.1	47852.7	-9527.0			91.29	OK
Šířka trhliny	-36685.8	19981.9	-1238.4			0.00	OK

MSÚ – interakce – max ohybový moment



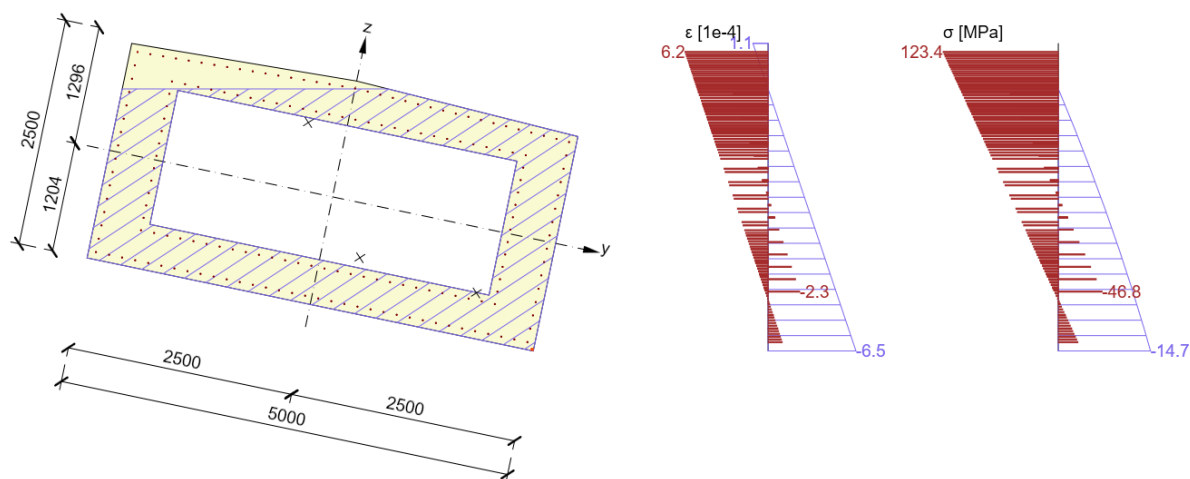
MSP – charakteristická kombinace



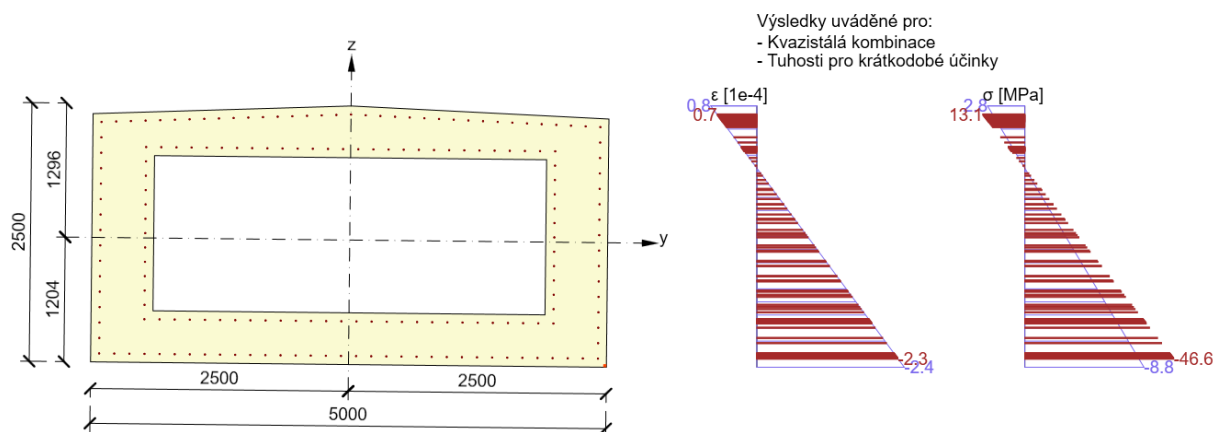
– lamela 16

Rozhodující typ posudku	N_{Ed} [kN]	$M_{Ed,y}$ [kNm]	$M_{Ed,z}$ [kNm]	V_{Ed} [kN]	T_{Ed} [kNm]	Hodnota [%]	Posudek
Únava	-31547.0	6771.1	-1656.5			88.23	OK
Typ posudku	N_{Ed} [kN]	$M_{Ed,y}$ [kNm]	$M_{Ed,z}$ [kNm]	V_{Ed} [kN]	T_{Ed} [kNm]	Hodnota [%]	Posudek
Únosnost N-M-M	-50598.1	5420.6	18937.4			33.07	OK
Smyk	-50598.1			3161.5	798.2	65.24	OK
Kroucení					798.2	5.16	OK
Interakce	-50598.1	5420.6	18937.4	3161.5	798.2	65.19	OK
Únava	-31547.0	6771.1	-1656.5			88.23	OK
Omezení napětí	-21218.6	-23622.6	896.2			43.64	OK
Šířka trhliny	-38620.7	2870.5	-1476.9			0.00	OK

MSÚ – interakce – max ohybový moment



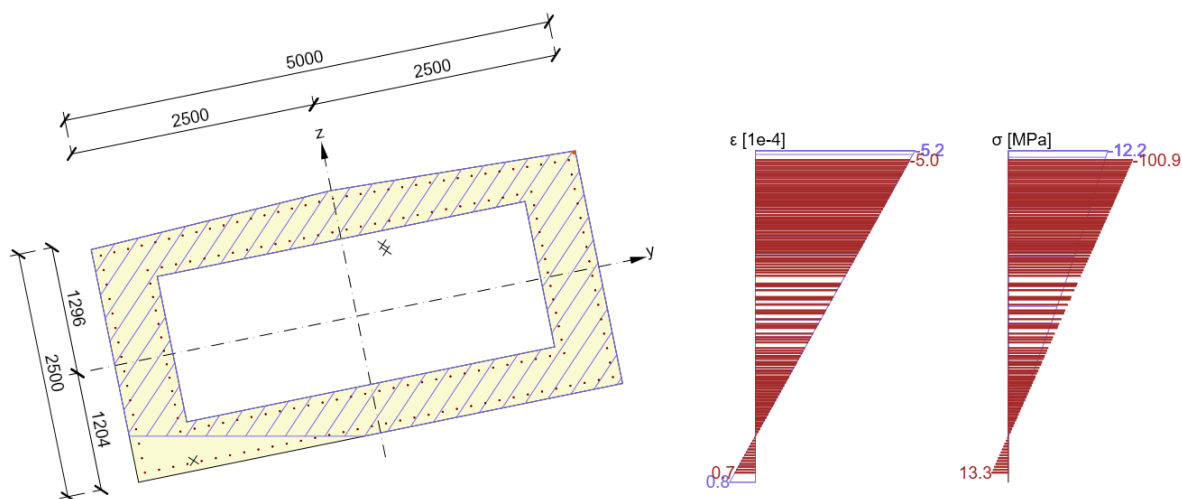
MSP – charakteristická kombinace



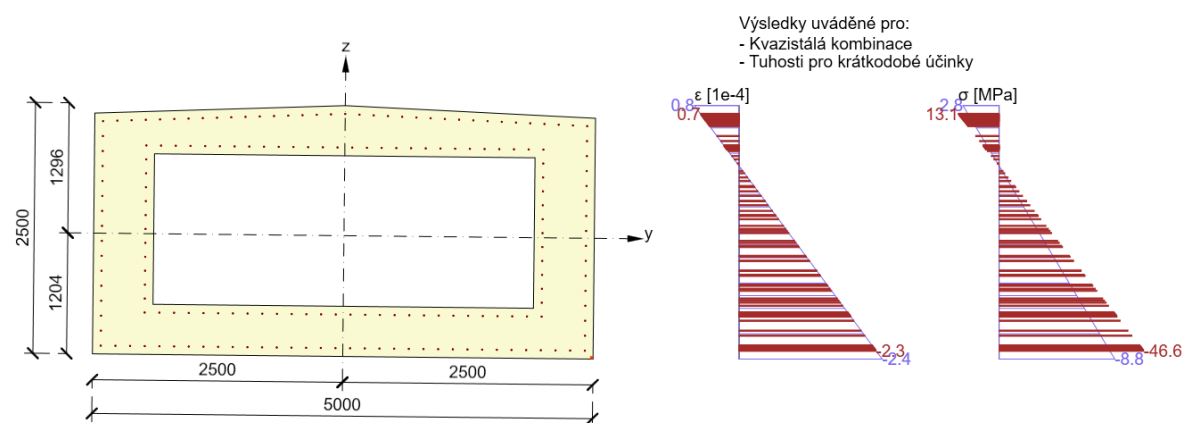
– lamela 17

Rozhodující typ posudku	N_{Ed} [kN]	$M_{Ed,y}$ [kNm]	$M_{Ed,z}$ [kNm]	V_{Ed} [kN]	T_{Ed} [kNm]	Hodnota [%]	Posudek
Interakce	-43592.9	-6851.4	35043.3	1000.8	-412.3	96.82	OK
Typ posudku	N_{Ed} [kN]	$M_{Ed,y}$ [kNm]	$M_{Ed,z}$ [kNm]	V_{Ed} [kN]	T_{Ed} [kNm]	Hodnota [%]	Posudek
Únosnost N-M-M	-43592.9	-6851.4	35043.3			34.57	OK
Smyk	-43592.9			1000.8	-412.3	28.71	OK
Kroucení					-412.3	7.64	OK
Interakce	-43592.9	-6851.4	35043.3	1000.8	-412.3	96.82	OK
Únava	-29863.2	2907.6	-1697.2			42.62	OK
Omezení napětí	-21225.5	-23622.6	896.6			43.64	OK
Šířka trhliny	-33036.9	-3188.0	4207.1			0.00	OK

MSÚ – interakce – max ohybový moment



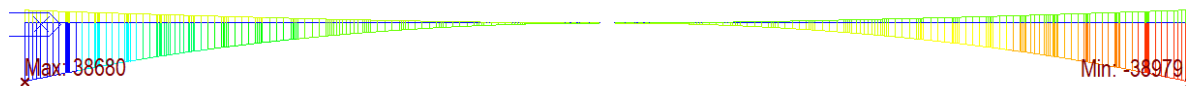
MSP – charakteristická kombinace



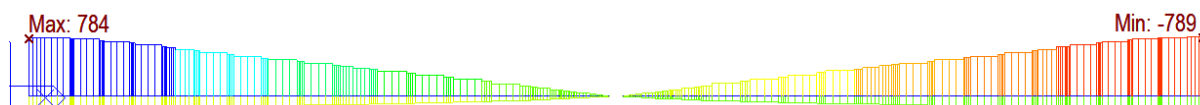
6.1.5 Posouzení konzoly oblouku při výstavbě (dynamické zatížení větrem)

S ohledem na změnu statického působení v rámci fází výstavby z dvou nezávislých konzol na spojitý oblouk byly posouzeny samostatně stojící konzoly na dynamické zatížení větrem. Vzhledem k systému působení konstrukce byla posouzena fáze před spojením oblouku, kdy je účinek větru nejvýznamnější a působí na podporové průřezy maximálními účinky. Posouzení a vnitřní síly od dynamického větru na konzolách viz níže. Účinky ekvivalentního statického zatížení větrem v souladu s ČSN EN 1991-1-4 jsou nižší a nejsou uváděny.

Vítr – W_{dyn} – M_z [kNm]

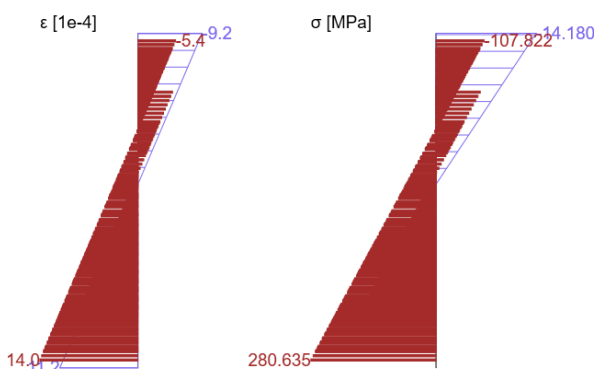
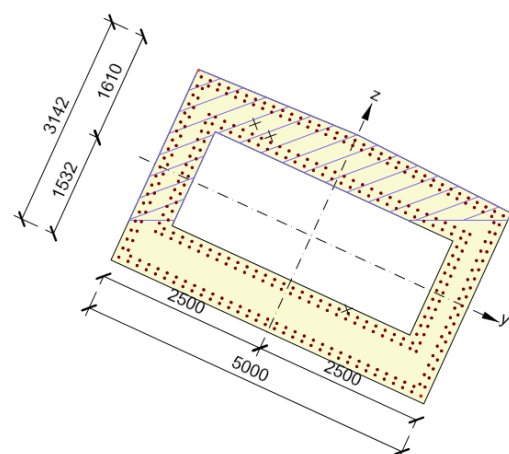


Vítr – W_{dyn} – V_y [kN]

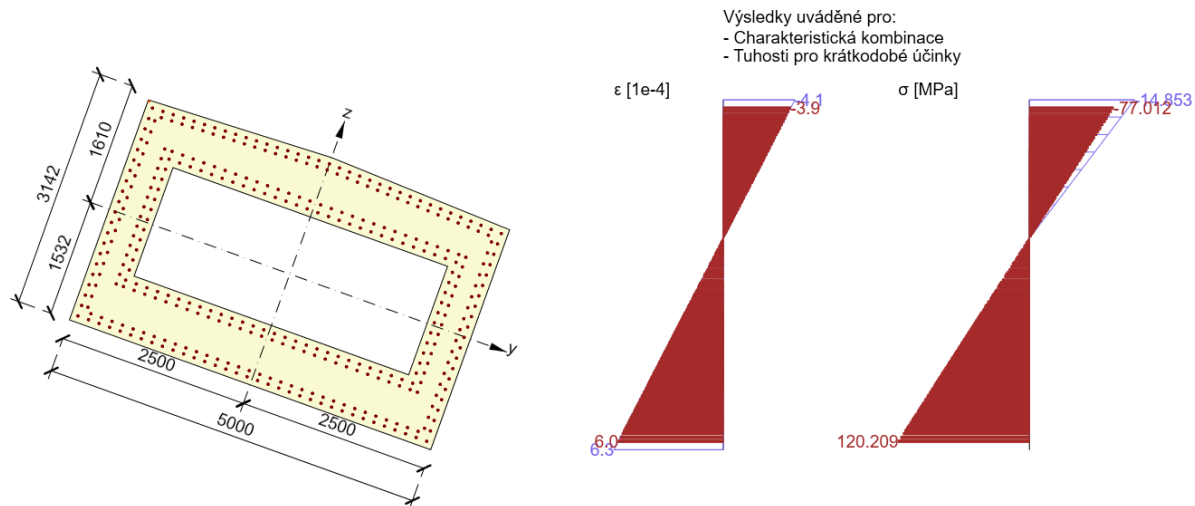


Rozhodující typ posudku	N_{Ed} [kN]	$M_{Ed,y}$ [kNm]	$M_{Ed,z}$ [kNm]	V_{Ed} [kN]	T_{Ed} [kNm]	Hodnota [%]	Posudek
Interakce	-20579.6	53143.0	-58663.0	2719.4	-13862.0	83.34	OK
Typ posudku	N_{Ed} [kN]	$M_{Ed,y}$ [kNm]	$M_{Ed,z}$ [kNm]	V_{Ed} [kN]	T_{Ed} [kNm]	Hodnota [%]	Posudek
Únosnost N-M-M	-20579.6	53143.0	-58663.0			32.81	OK
Smyk	-20579.6			2719.4	-13862.0	37.88	OK
Kroucení					-13862.0	48.49	OK
Interakce	-20579.6	53143.0	-58663.0	2719.4	-13862.0	83.34	OK
Omezení napětí	-17928.1	41559.5	-39109.0			55.01	OK
Šířka trhliny	0.0	0.0	0.0			0.00	OK

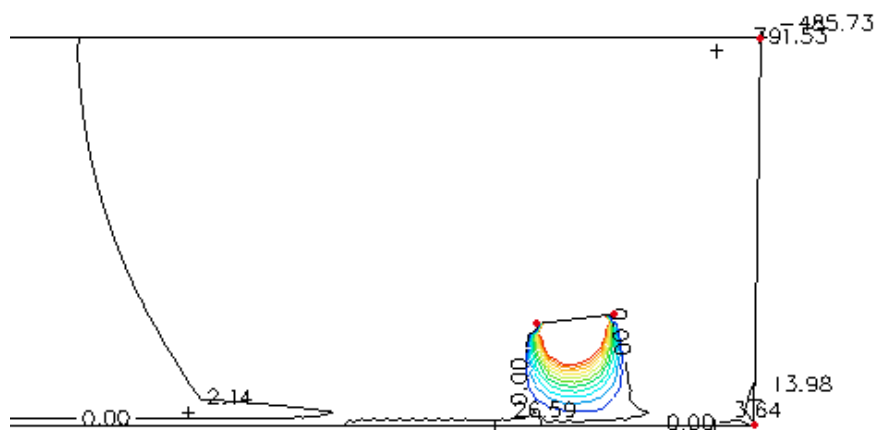
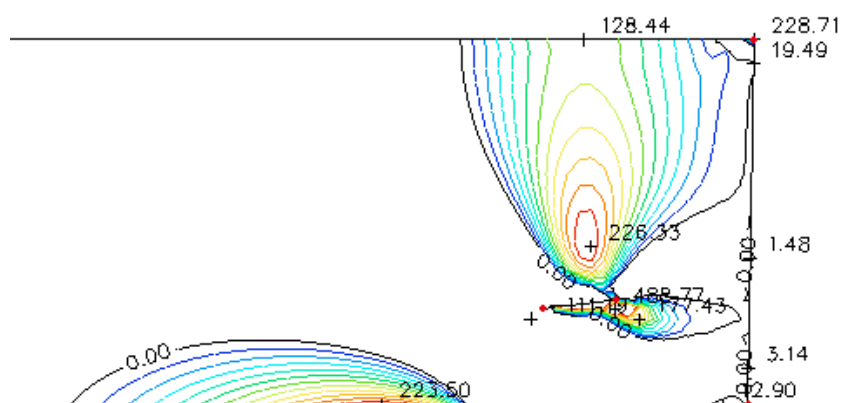
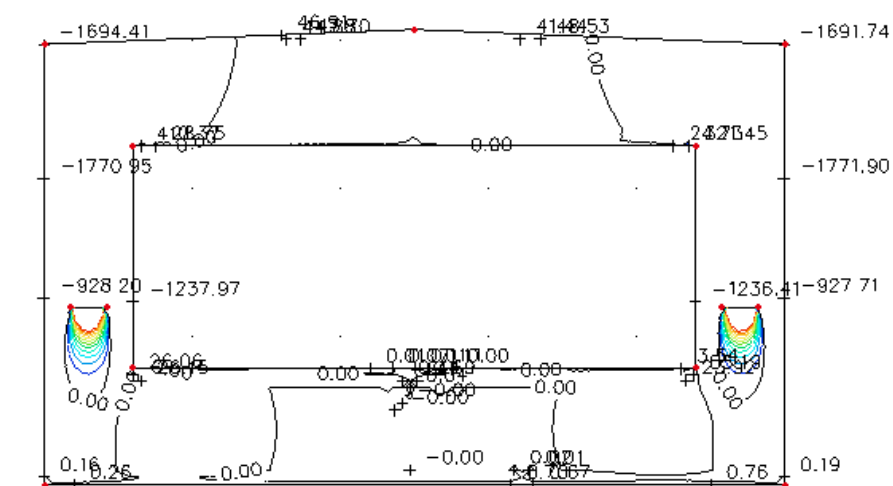
MSÚ – interakce – max ohybový moment



MSP – charakteristická kombinace



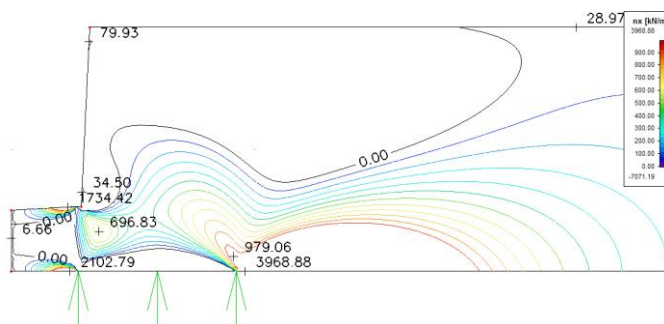
– Pohled na stěnu – n_y [kN/m]



šířka kotevní desky:	a=	0.250	m	šířka přiřazeného obdélníka:	c=	0.600	m
výška kotevní desky:	a'=	0.300	m	výška přiřazeného obdélníka:	c'=	0.900	m
plocha kotevní desky	A ₀ =	0.075	m ²	plocha přiřazeného obdélníka:	A ₁ =	0.540	m ²
poměry rozměrů:	c/a=	2.400	-	c'/a'=	3.000	-	max= 3.354 OK
pevnost bet. v tlaku:	f _{ck} (t)=	38.250	MPa	napínací napětí:	σ _{p,in} =	796.500	MPa
plocha kabelu	A _{p,1} =	2850.000	mm ²	použitá kotevní síla:	P_{in}=	2.270	MN
				maximální kotevní síla:	P_{max}=	12.393	MN

součinitel předpětí:	$\gamma_{p,unfav}$	=	1.200	-	mez kluzu oceli (návrh.)	f_{yd}	=	434.783	MPa
výztuž v přidruženém hranolu:	$A_{s,min}$	=	939.790	mm ²	povrch. výztuž u čela:	$A_{s,min}$	=	187.958	mm ²
Ø 12 000 mm	n	=	9.000	ks			n	=	2.000 ks

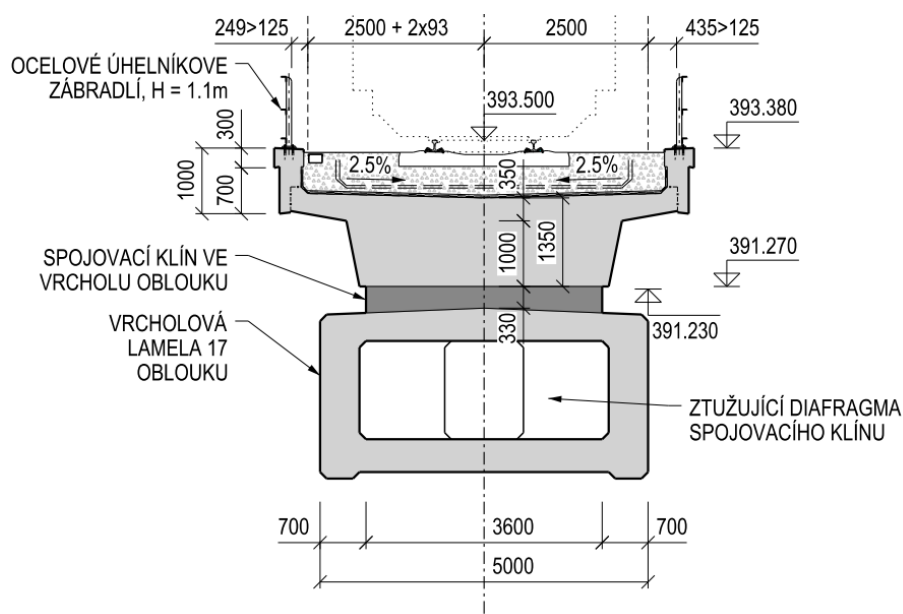
NÁVRH DLE ŘEZŮ V DESKOSTĚNOVÉM MODELU							
Příčný řez komorou							
Oblast výztuže	L	F	$\gamma_{p,unfav}$	f_{yd}	$A_{s,req}$	\emptyset	n
	[mm]	[kN]	[-]	[MPa]	[mm ²]	[mm]	[-]
Stěna - příčná výztuž	500	89	1.2	400	267	12	3
Stěna - svislá za kotvou	600	265	1.2	400	795	12	8
Pohled na stěnu							
Oblast výztuže	L	F	$\gamma_{p,unfav}$	f_{yd}	$A_{s,req}$	\emptyset	n
	[mm]	[kN]	[-]	[MPa]	[mm ²]	[mm]	[-]
Vodorovná za kotvou	300	291	1.2	400	873	12	8
Svislá za kotvou	200	46	1.2	400	138	12	2

[illegible]

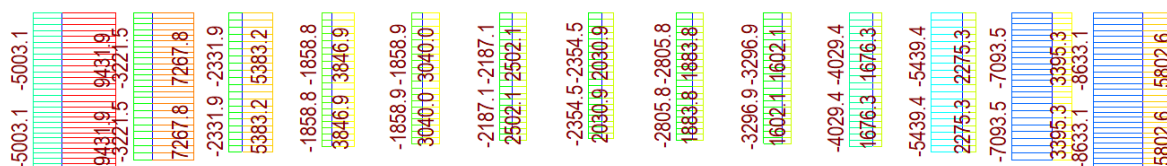
V místě vrcholu oblouku je navrženo spojení konstrukce oblouku s navazující mostovkou. Toto spojení je realizováno betonovým spojovacím klínem v rozsahu celého středního pole délky 22,0 m. Výztuž

spojovacího klínu je navržena na rozdíl účinků vodorovných sil v mostovce a oblouku (v rámci posouzení se konzervativně neuvažuje s vlivem betonu na přenos těchto sil, ani s vlivem tření beton – beton).

Obrázek 6-2: Řez v místě krčku



– Rozdíl vodorovné složky oblouk – mostovka [kN] (prvky ve vzdálenosti 1,75 m)



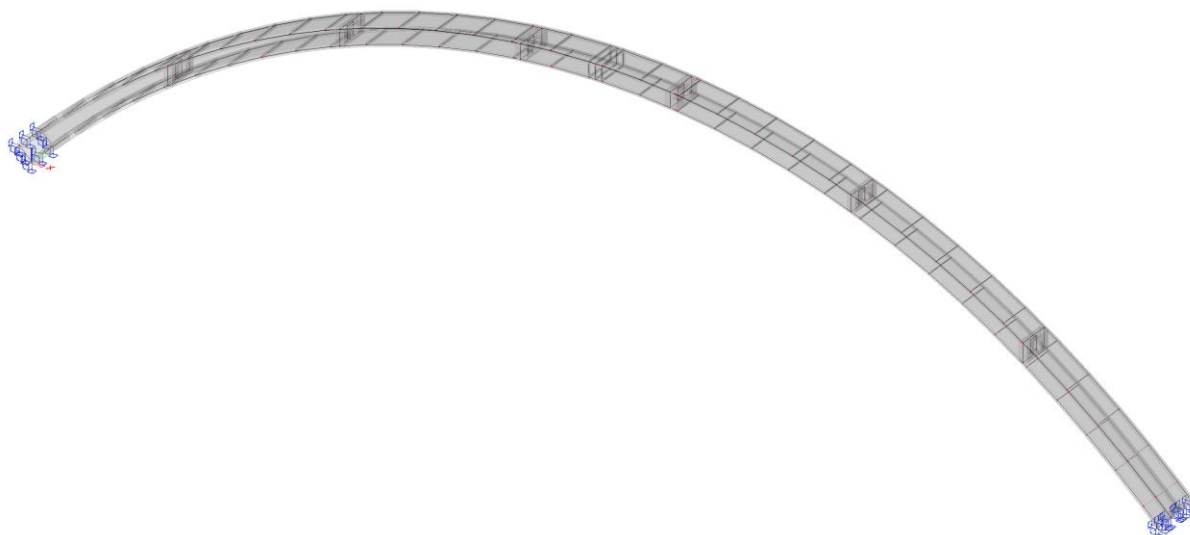
Úsek	Geometrie		Vnitřní síly		Návrh výztuže				
	Délka [m]	Šířka [m]	F_{Ed} [kN]	f_{Ed} [kN/m ²]	f_{yd} [MPa]	\emptyset [mm]	n [ks/m ²]	$A_{s,prov}$ [mm ² /m ²]	f_{Rd} [kN/m ²]
1	1.88	3.60	9431	1397	260.9	25	11	5400	1409
2	1.75	3.60	7268	1154	260.9	20	15	4712	1229
3	1.75	3.60	5439	863	260.9	20	11	3456	902
4	1.75	3.60	4029	640	260.9	16	13	2614	682
5	1.75	3.60	3297	523	260.9	16	10	2011	525
6	1.75	3.60	2806	445	260.9	16	9	1810	472
7	1.75	3.60	2355	374	260.9	16	8	1608	420

6.2.3 Ztužující diafragmata pod stojkami oblouku / v místě krčku

V místě navázání konstrukce oblouku na stojky jsou navržena diafragmata. Obdobně jsou navržena 2 diafragmata v místě začátku spojovacího krčku. Hlavním účelem těchto ztužujících prvků je zajištění dostatečné tuhosti horní desky komory v místě zvýšených lokálních namáhání.

Diafragmata jsou navržena na základě lokálního posudku z desko-stěnového modelu oblouku v programu SCIA Engineer. Vliv stojek a spojovacího krčku byl modelován pomocí pružných podpor, jejichž tuhost byla kalibrována na základě deformací pro jednotkové zatěžovací stavy v místě stojek z prutového modelu. Téměř shodné deformace byly získány i v případě odstranění těchto podpor a vetknutí oblouku pouze v místě paty. Vzhledem k této skutečnosti byly vnitřní podpory simulující interakci oblouku s mostovkou zanedbány.

Obrázek 6-3: Desko-stěnový model oblouku ve SCIA Engineer



6.2.3.1 Diafragma pod stojkou P4 / P8 a P5 / P7

Diafragmata pod stojkou jsou navržena stejné šíře jako pokračující stojka 1100 mm. Pro možnost revize vnitřních prostor oblouku je v diafragmatu navržen průchozí otvor o šířce 1200 mm na celou výšku vnitřního prostoru (1500 mm).

- Smyková výztuž

Ø12/300x300 mm



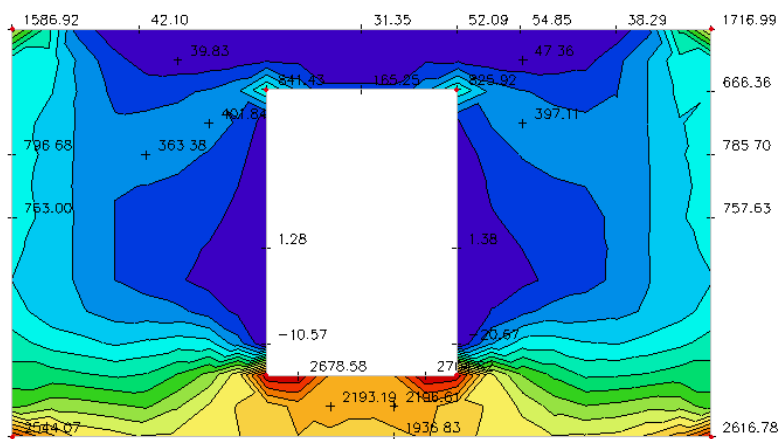
Ø12/450x150 mm



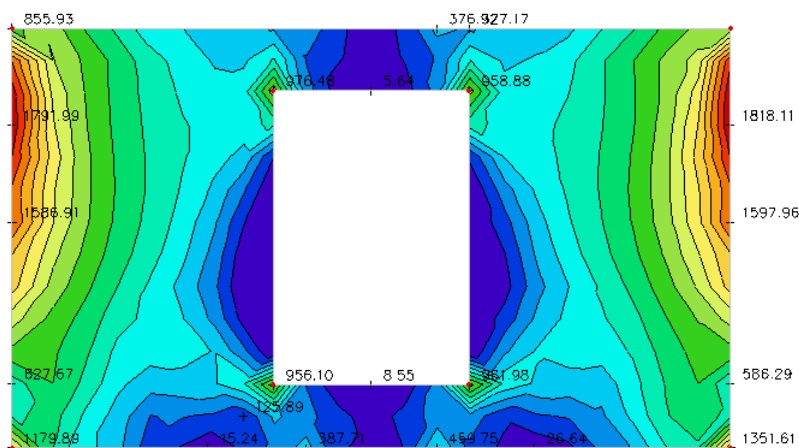
Ø12/300x150 mm



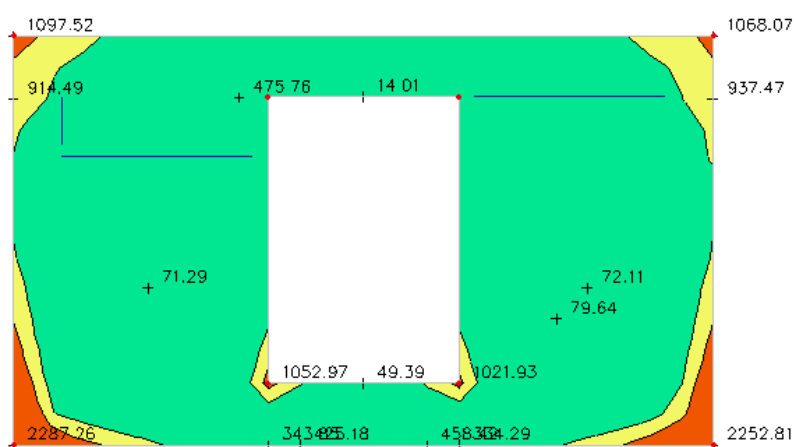
– Diafragma P4 / P8 – n_x [kN/m]



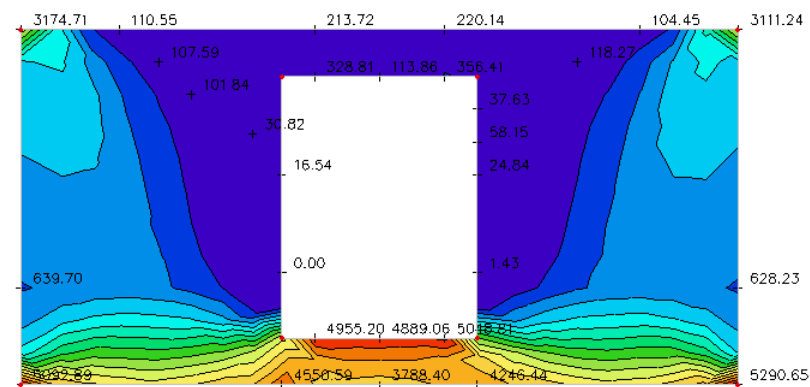
– Diafragma P4 / P8 – n_y [kN/m]



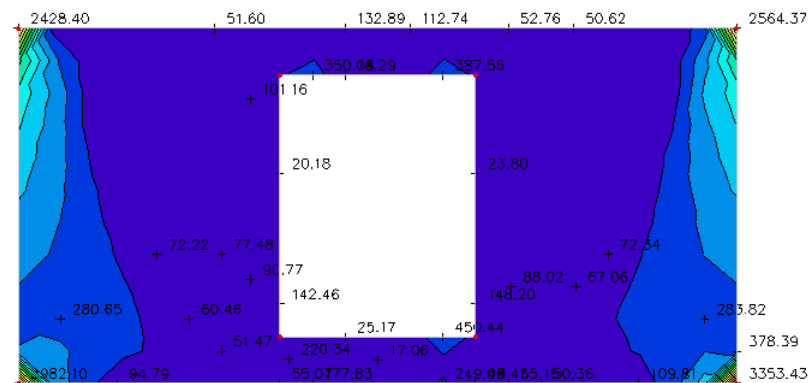
– Diafragma P4 / P8 – q_{\max} [kN/m]



– Diafragma P5 / P7 – n_x [kN/m]



– Diafragma P5 / P7 – n_y [kN/m]

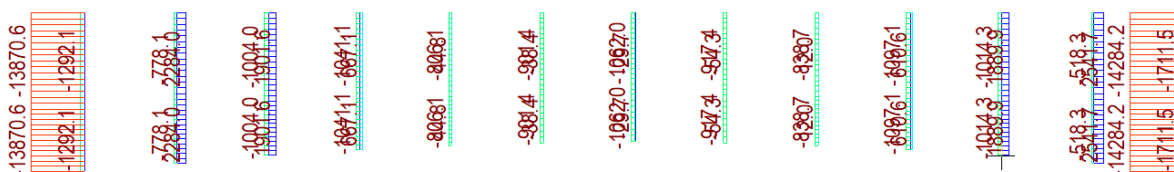


NÁVRH DLE ŘEZŮ V DESKOSTĚNOVÉM MODELU							
Vodorovná výztuž							
Oblast výztuže	L	F	$V_{p,ultav}$	f_{yd}	$A_{s,req}$	\emptyset	n
	[mm]	[kN]	[-]	[MPa]	[mm ²]	[mm]	[-]
max. tah - P4 / P8	300	252	1	435	580	20	2
max. tah - P5 / P7	300	356	1	435	819	20	3
max. tah - P6	300	884	1	435	2031	20	7
Svislá výztuž							
Oblast výztuže	L	F	$V_{p,ultav}$	f_{yd}	$A_{s,req}$	\emptyset	n
	[mm]	[kN]	[-]	[MPa]	[mm ²]	[mm]	[-]
max. tah - P4 / P8	300	286	1	435	657	20	3
max. tah - P5 / P7	300	59	1	435	134	20	1
max. tah - P6	300	546	1	435	1255	20	4

6.2.4 Lokální posouzení průřezu komory pod krčkem

S ohledem na plošné působení krčku na horní desku komory byly ověřeny dimenze horní desky a zároveň navržena výztuž pro přenesení vypočtených namáhání. Maximální svislé účinky se projeví na začátku krčku, kde je uloženo celé přilehlé pole, a to jak ve stavební fázi, tak následně i v rámci finálních stavů. Z tohoto důvodu jsou na počátku krčku navržena diafragmata viz předchozí kapitola.

– Svislé účinky krčku na oblouk [kN] (prvky ve vzdálenosti 1,75 m)



Síly získané z modelu v SW MIDAS Civil byly přeneseny do desko-stěnového modelu oblouku ve SCIA Engineer. Výsledné vyztužení je uvedeno na následujících grafických částech (znázorněna pouze polovina krčku).

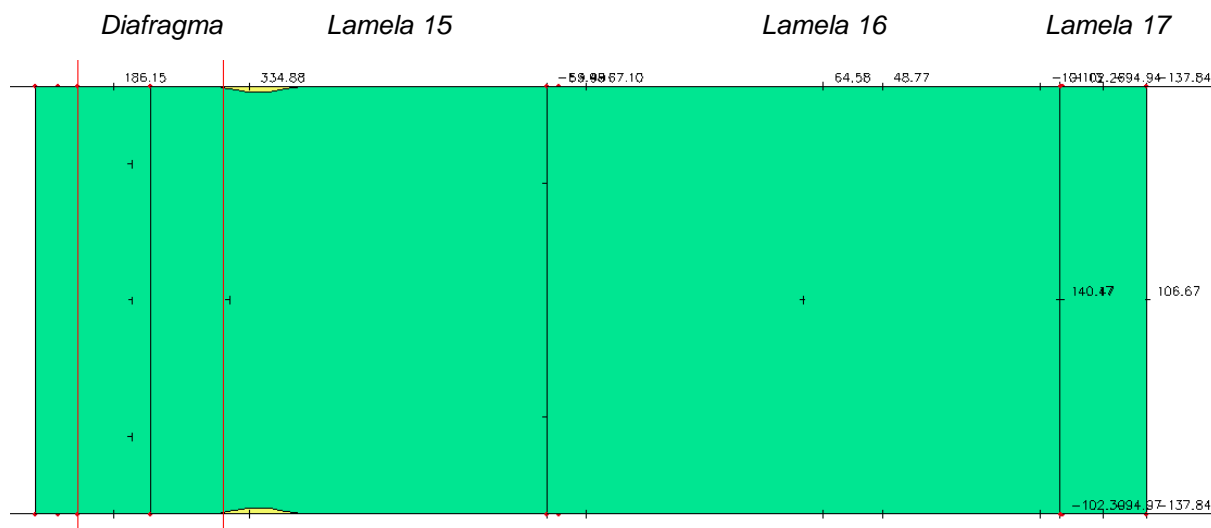
- Ohybová výztuž v příčném směru

Ø16/150 mm Ø20/150 mm Ø25/150 mm

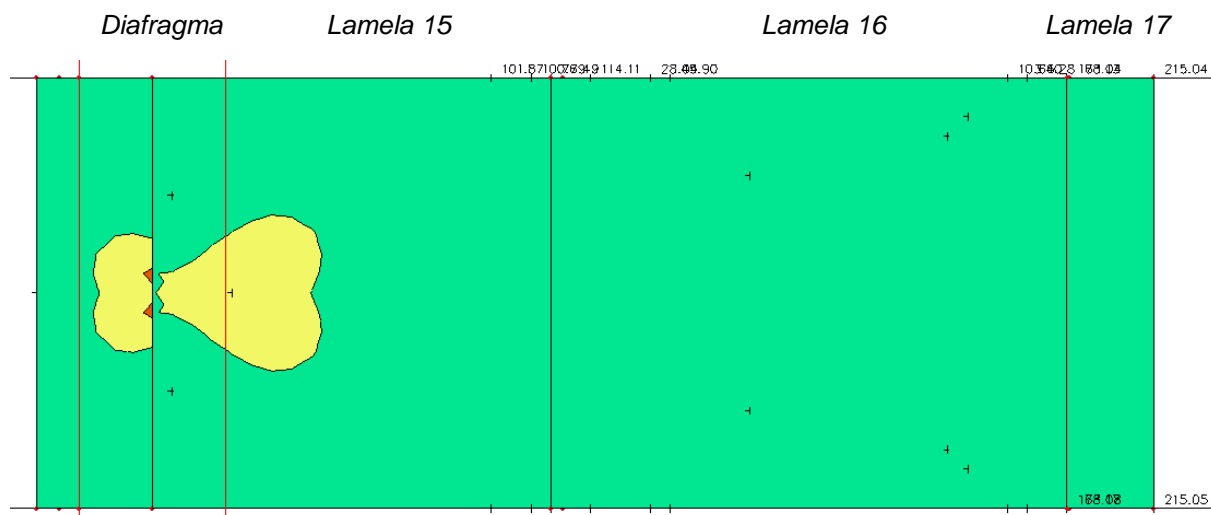
- Smyková výztuž

Ø12/300x300 mm Ø12/450x150 mm Ø12/300x150 mm

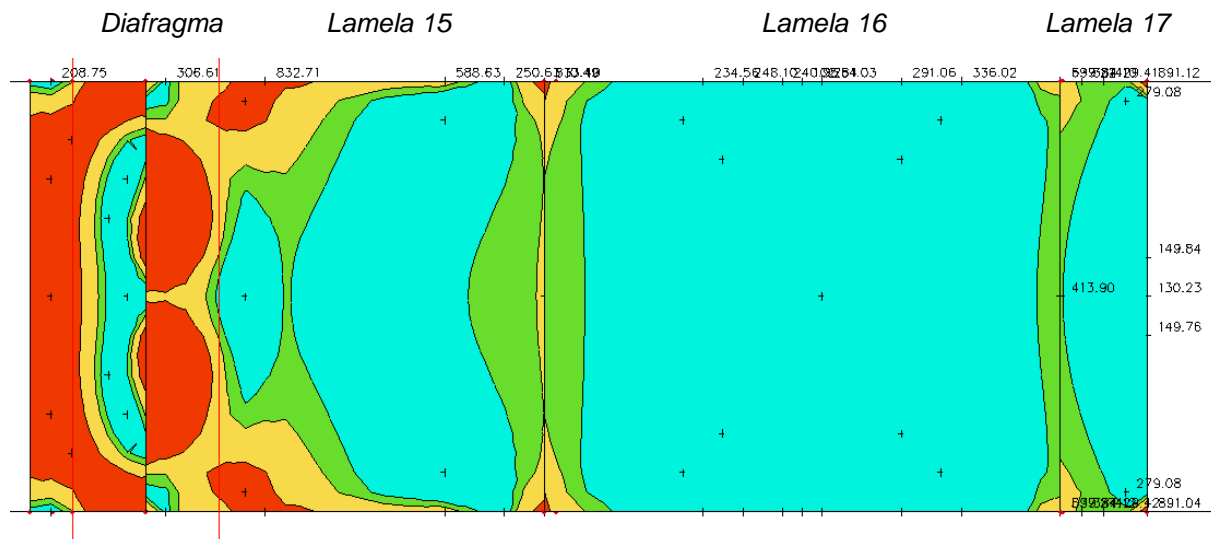
– horní deska – příčná výztuž – horní



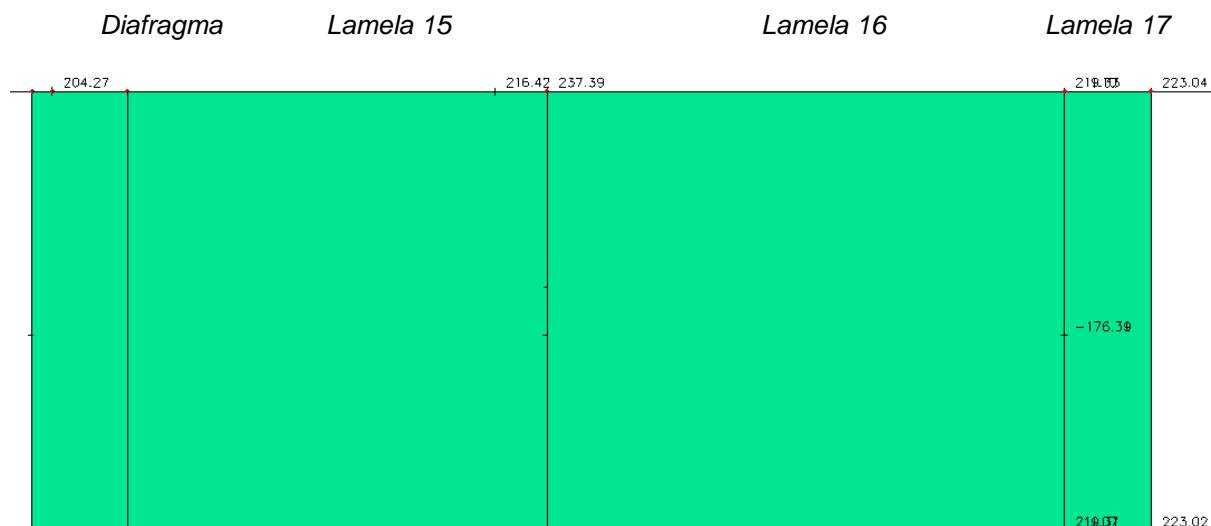
– horní deska – příčná výztuž – spodní



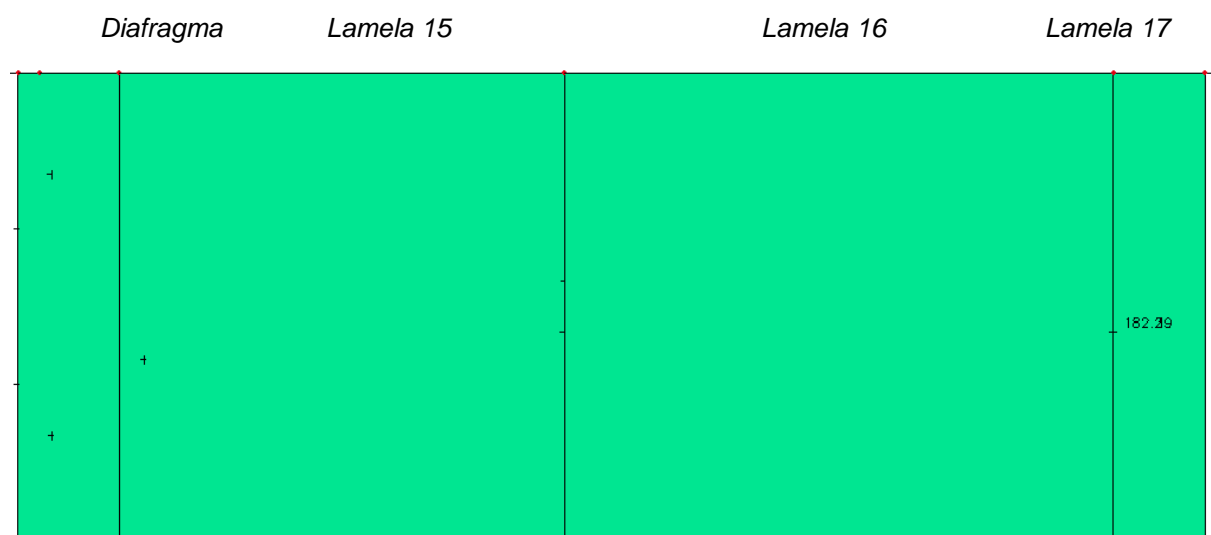
– horní deska – smyková výztuž



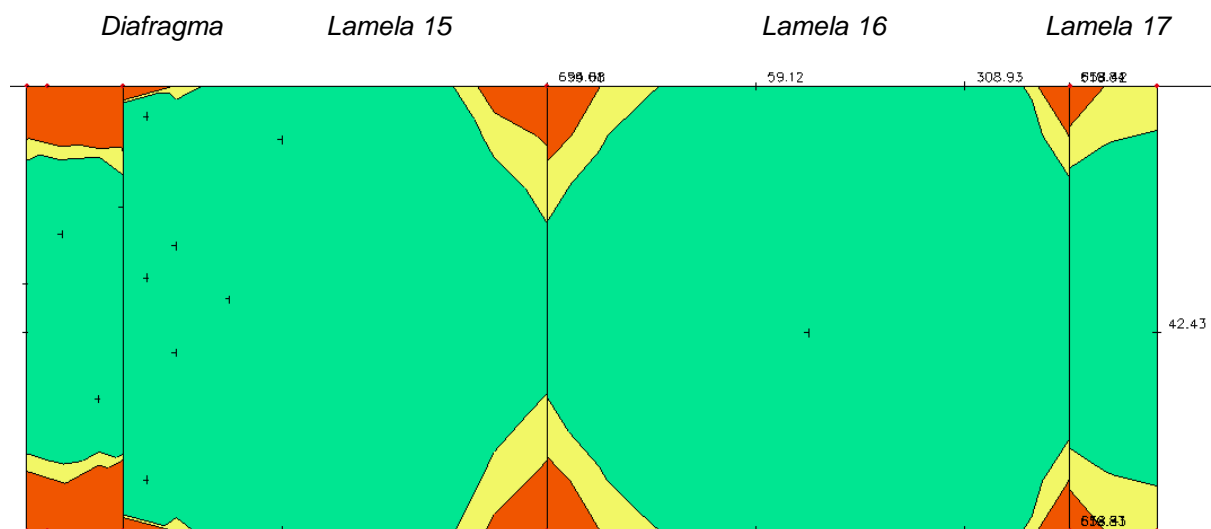
– spodní deska – příčná výztuž – horní



– horní deska – příčná výztuž – spodní



– horní deska – smyková výztuž



6.3 Posouzení na únavu

Pro každou lamelu bylo provedeno posouzení betonářské výztuže a tlačného betonu dle ČSN EN 1992-2. Pro posouzení byl využit výhledový rozsah dopravy na mostě viz kapitola 4.1.12. Posouzení je součástí souhrnné části mezních stavů únosnosti, viz kapitola 6.1.4.

Výsledky získané pomocí metody uvedené v ČSN EN 1992-2 zejména s ohledem na únavovou pevnost betonu jsou značně konzervativní – dá se předpokládat výrazně nižší vliv únavy na mezní stavy, reálnější předpoklad je možné získat posudkem dle MC2010 (fib Model Code 2010), kdy je uvažován průměrný rozkmit napětí na oblasti 300 mm od tlačného povrchu. Tato úprava nebyla využita.

6.3.1 Posouzení tlačného betonu na únavu

Při posouzení únavy oblouku se předpokládá stáří betonu 180 dní. V rámci posouzení betonu na únavu byly využity tyto opravné součinitele:

- $\lambda_{c,0} = 1,025$ součinitel zohledňující vliv trvale působícího napětí (konzervativně pro max. tlakové napětí $\sigma = 9,1$ MPa na celém oblouku při charakteristické kombinaci bez LM71),
- $\lambda_{c,1} = 0,850$ součinitel zohledňující délku příčinkové čáry a typ prvku (konzervativně max. hodnota pro oblast [1] a smíšenou běžnou dopravu),
- $\lambda_{c,2,3} = 0,885$ součinitel zohledňující roční objem dopravy a životnost stavby,
- $\lambda_{c,4} = 1,000$ pouze jedna kolej – neuplatní se.

6.3.2 Posouzení únavy betonářské výztuže

V rámci posouzení výztuže na únavu byly využity tyto opravné součinitele:

- $\lambda_{s,1} = 0,700$ součinitel zohledňující délku příčinkové čáry a typ prvku (konzervativně max. hodnota pro výztuž [1] a smíšenou běžnou dopravu),
- $\lambda_{s,2} = 0,790$ součinitel zohledňující roční objem dopravy,
- $\lambda_{s,3} = 1,000$ součinitel zohledňující životnost stavby,
- $\lambda_{s,4} = 1,000$ pouze jedna kolej – neuplatní se.

6.4 Nadvýšení konstrukce a vliv reologie

S ohledem na systém výstavby je nutno počítat s významným vlivem reologických jevů na počáteční a finální deformace konstrukce. V rámci projektu je určeno vypočtené celkové nadvýšení oblouku, aby v čase konce životnosti byly splněny požadavky na rovinnost konstrukce.

Nadvýšení obloukové nosné konstrukce je uvažováno hodnotou 100 mm ve vrcholu oblouku. Nadvýšení je částečně možno aproximovat parabolou 2° (viz grafické shrnutí jednotlivých účinků níže).

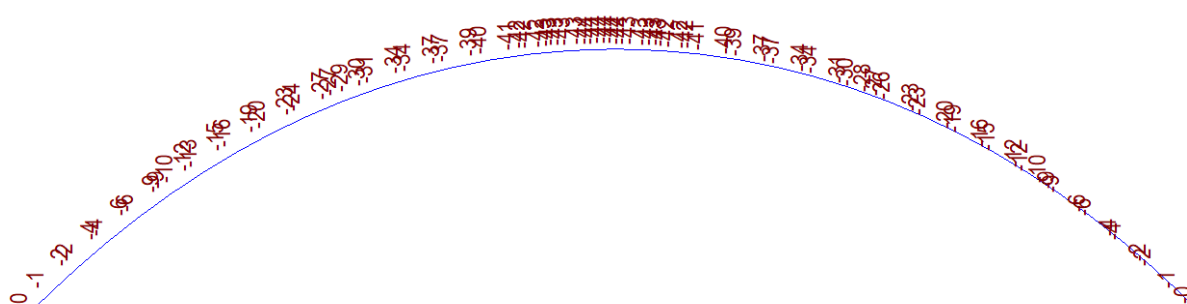
Celková hodnota nadvýšení je stanovena z následujících přičiňujících stavů:

- Svislá deformace od stálých zatížení od zmonolitnění oblouku vč. reologie (G0+G1)
- Dotvarování a smršťování od uvedení do provozu do konce životnosti (C&S)
- 25% průhybu od klasifikovaného zatížení LM71 ($\alpha = 1,1$)

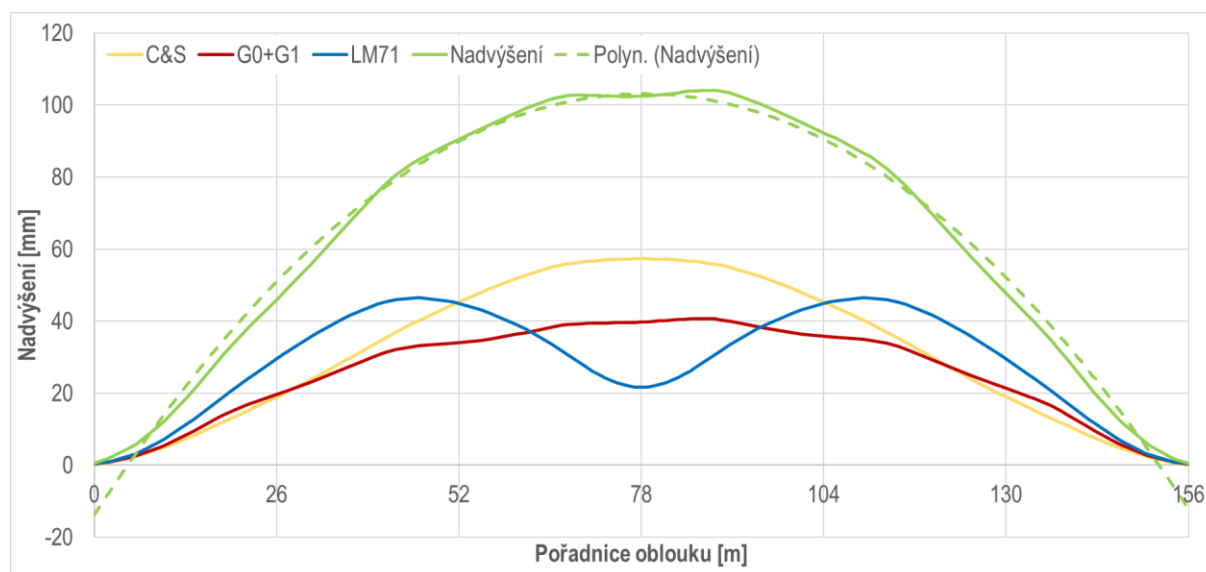
Deformace oblouku vlivem dotvarování [mm]



Deformace oblouku vlivem smršťování [mm]



Obrázek 6-4: Jednotlivé vlivy pro určení nadvýšení

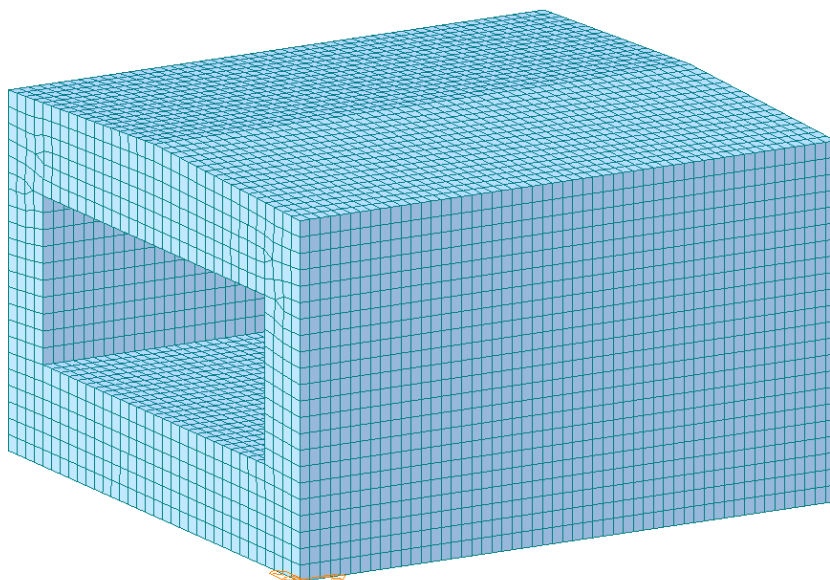


6.5 Vývoj hydratačního tepla v rámci betonáže lamel

S ohledem na předpoklad využití cementů s rychlým nárůstem pevnosti a zároveň s ohledem na vyšší třídu betonu (C45/55) je možné předpokládat, že v relativně masivních deskách průřezu komory může v rámci zrání betonu docházet k nadměrnému vývinu hydratačního tepla. V důsledku tohoto stavu by mohla být překročena maximální teplota 70°C, která je specifikována v TKP SSD 18.

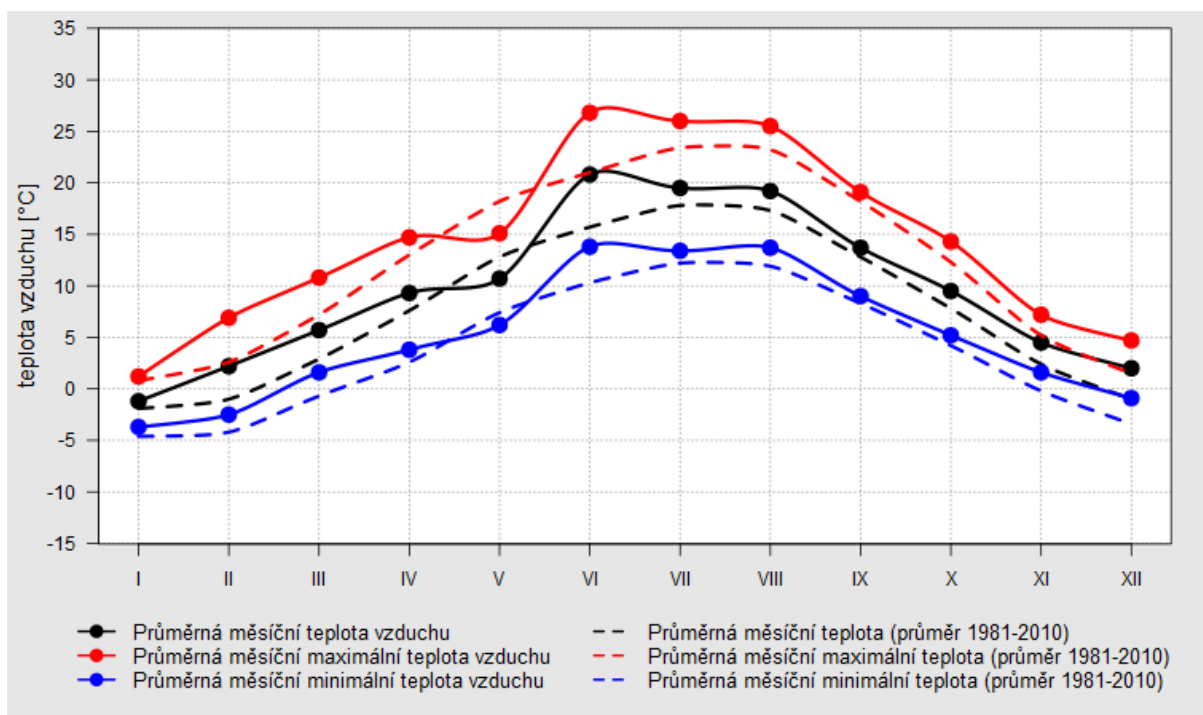
Ověření této skutečnosti bylo provedeno na 3D modelu v SW MIDAS Civil 2020 pomocí prostorových prvků (tzv. brick), kterými byla modelována celá lamela viz render modelu.

Obrázek 6-5: Model patní lamely – axonometrie



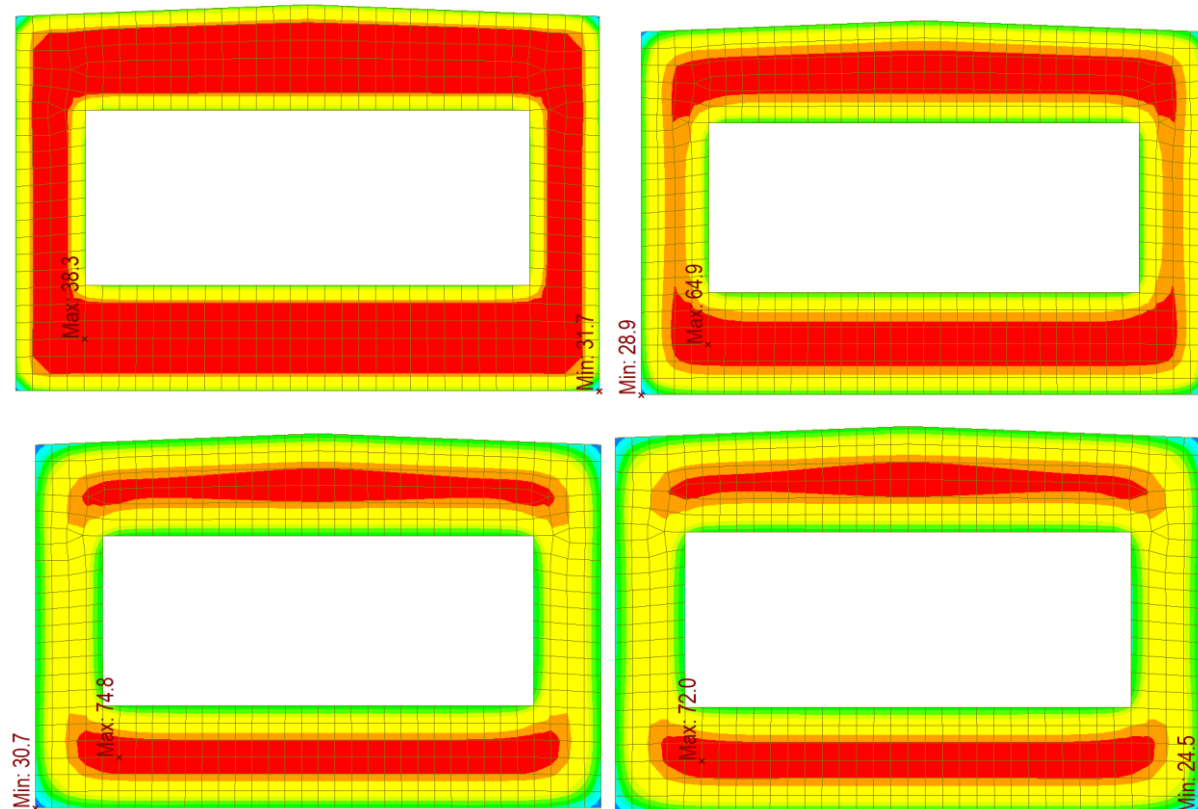
V rámci výpočtu byla řešena pouze patní lamela, která má nejvíce masivní části. Do výpočtu byly zaneseny tyto předpoklady:

- Průměrná teplota vnějšího prostředí 20°C (červenec 2019 dle online dat ČHMÚ, stanice Kocelovice)
 - Teplota je modelována sinusovým průběhem +/-5°C s periodou opakování 1 den
 - Max. teplota 25°C, min. teplota 15°C
- Teplota navazující konstrukce 20°C (předchozí základová lamela)
- Složení směsi
 - Předpoklad portlandský cement typu R (420 kg/m³ při w=0,42 info pro C45/55)
- Počáteční teplota čerstvého betonu 20°C. Maximální dovolená teplota 27°C (viz TKP SPK 18)
 - Předpoklad opatření pro omezení vlivu vývinu hydratačního tepla
 - Využití chladnějšího kameniva, vody, cementu apod.
- Teplotní vlastnosti betonu
 - Měrná tepelná kapacita $c = 1020 \text{ J/(kg}\cdot\text{K)}$
 - Součinitel tepelné vodivosti $\lambda = 1,74 \text{ W/(m}\cdot\text{K)} = \sim 6300 \text{ J/(m}\cdot\text{hod}\cdot\text{K)}$

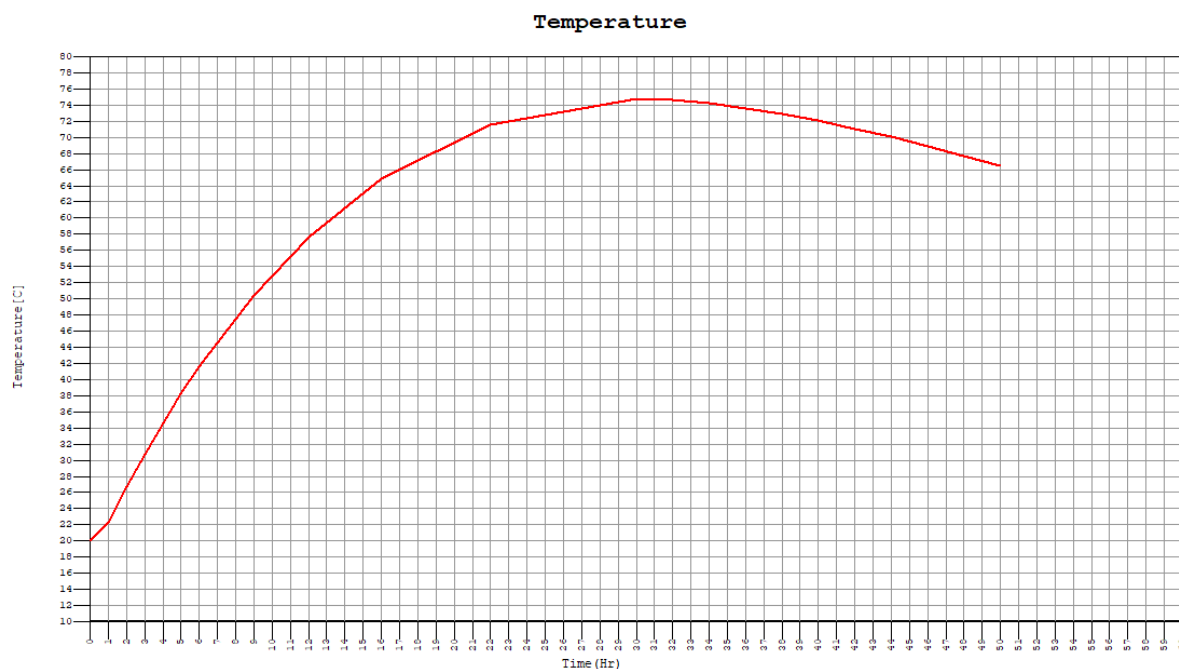


Na základě výše zmíněných předpokladů byly provedeny výpočty vývinu hydratačního tepla pro celou délku lamely 5,3 m. Grafické výsledky viz níže.

Obrázek 6-6: Vývoj teploty v průřezu lamely (zleva nahoře 5 h, 16 h, dole 30 h (max), 40 h)



Obrázek 6-7: Vývoj teploty v kritickém bodě v čase

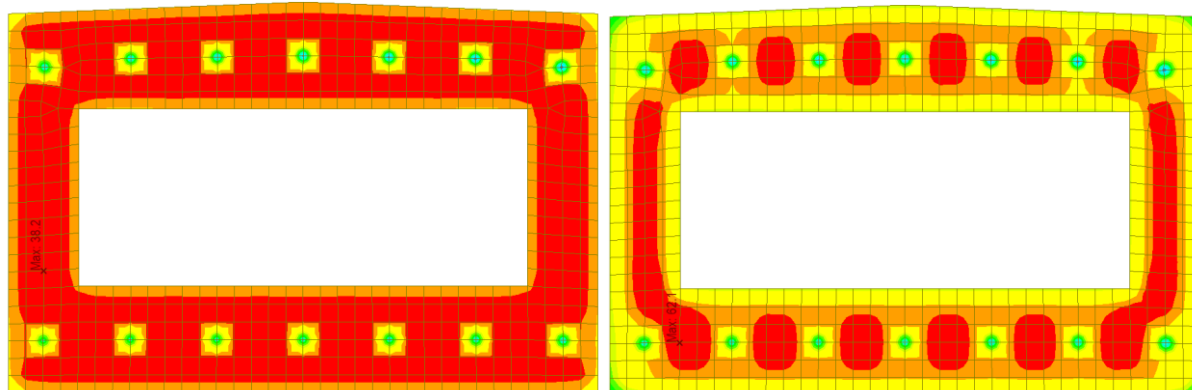


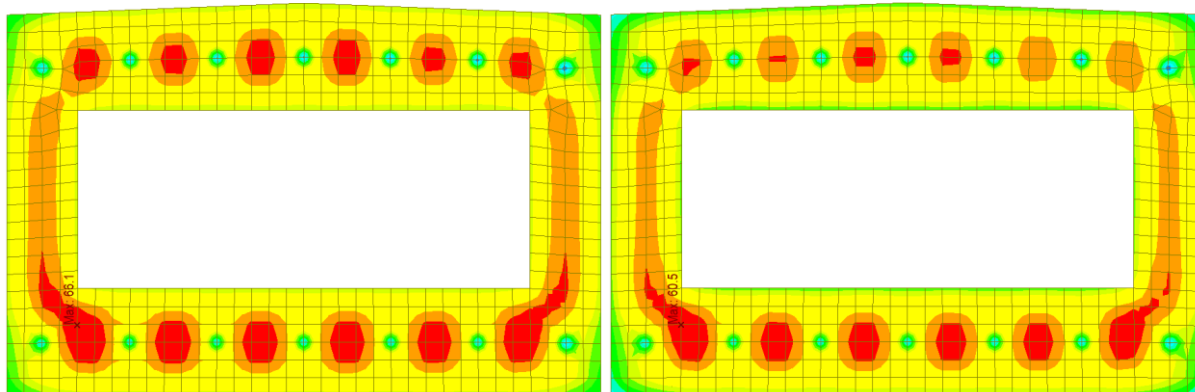
Vzhledem ke skutečnosti, že vypočtené hodnoty dosahují teplot vyšších než 70°C (74,8°C v čase 30 h) je nutné v rámci provádění konstrukce zvolit vhodný systém opatření pro zamezení překročení této teploty v rámci provádění (ranní betonáže s chladným kamenivem, cementem a příměsovou vodou, případně systém chlazení).

Možnost využití systému chlazení byla ověřena kontrolním výpočtem s následujícími parametry:

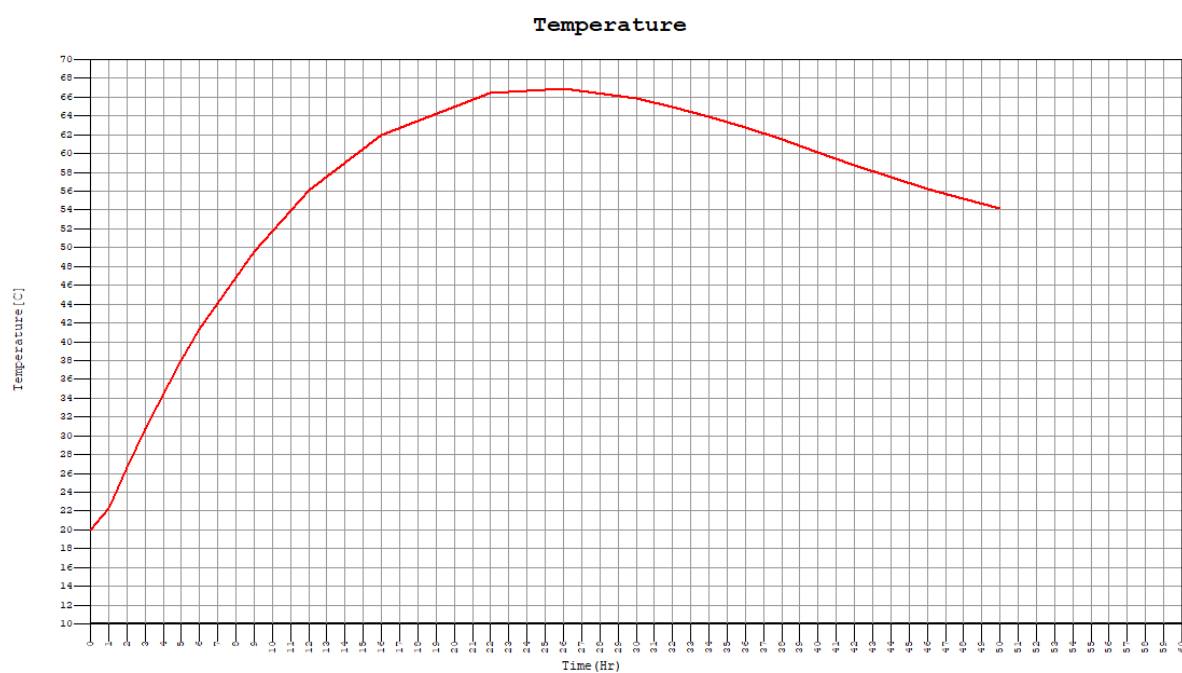
- Parametry chladicího média (voda)
 - Měrná tepelná kapacita $c = 4180 \text{ J/(kg}\cdot\text{K)}$
 - Hustota $\rho = 1000 \text{ kg/m}^3$
 - Vstupní teplota $T_0 = 15 \text{ }^\circ\text{C}$
- Vedení v ocelových trubkách TR30x1,5, 7ks v horní i spodní desce
 - Rychlost proudění $v = 0,6 \text{ m/s}$
 - Průtok $Q = 1,25 \text{ m}^3/\text{h}$

Obrázek 6-8: Vývoj teploty v průřezu lamely s chlazením (zleva nahoře 5 h, 16 h, dole 30 h (max), 40 h)





Obrázek 6-9: Vývoj teploty v kritickém bodě v čase



6.6 Závěsy v rámci výstavby

Předpokládaný systém výstavby uvažuje s vyvěšováním oblouku po jednotlivých lamelách při celkovém počtu 15 vyvěšených lamel. Parametry jednotlivých závěsů viz souhrnná tabulka.

Závěsy řady 600 jsou zpětné závěsy na straně OP1, závěsy řady 700 jsou závěsy oblouku na straně OP1. Závěsy řady 900 jsou zpětné závěsy na straně OP2 a závěsy řady 800 jsou závěsy oblouku na straně OP2.

Pro všechny závěsy byly ověřeny mezní síly a napětí, která vycházejí z ČSN EN 1993-1-11. Mezní stavy únosnosti byly ověřeny na základě katalogových, charakteristických hodnot únosnosti redukovanych součinitelem $\gamma_R = 1,0$ dle vztahu 6.2 ve zmíněné normě.

V mezních stavech použitelnosti byla ověřena napětí založená na katalogových silách F_{uk} přepočtených dle vztahů v kapitole 7.2 v ČSN EN 1993-1-11.

12xY1770S7-15.7:

Charakteristická síla pro přetržení lana	$F_{uk} = 3120,0 \text{ kN}$
Návrhová síla pro přetržení lana	$F_{Rd} = 2080,0 \text{ kN}$
Průřezová plocha kovových částí	$A_m = 1800,0 \text{ mm}^2$
Pevnostní třída závěsného lana	$R_r = 1770,0 \text{ MPa}$
Omezené napětí v provozních podmínkách	$f_{SLS} = 796,5 \text{ MPa}$

19xY1770S7-15.7:

Charakteristická síla pro přetržení lana	$F_{uk} = 4940,0 \text{ kN}$
Návrhová síla pro přetržení lana	$F_{Rd} = 3293,0 \text{ kN}$
Průřezová plocha kovových částí	$A_m = 2850,0 \text{ mm}^2$
Pevnostní třída závěsného lana	$R_r = 1770,0 \text{ MPa}$
Omezené napětí v provozních podmínkách	$f_{SLS} = 796,5 \text{ MPa}$

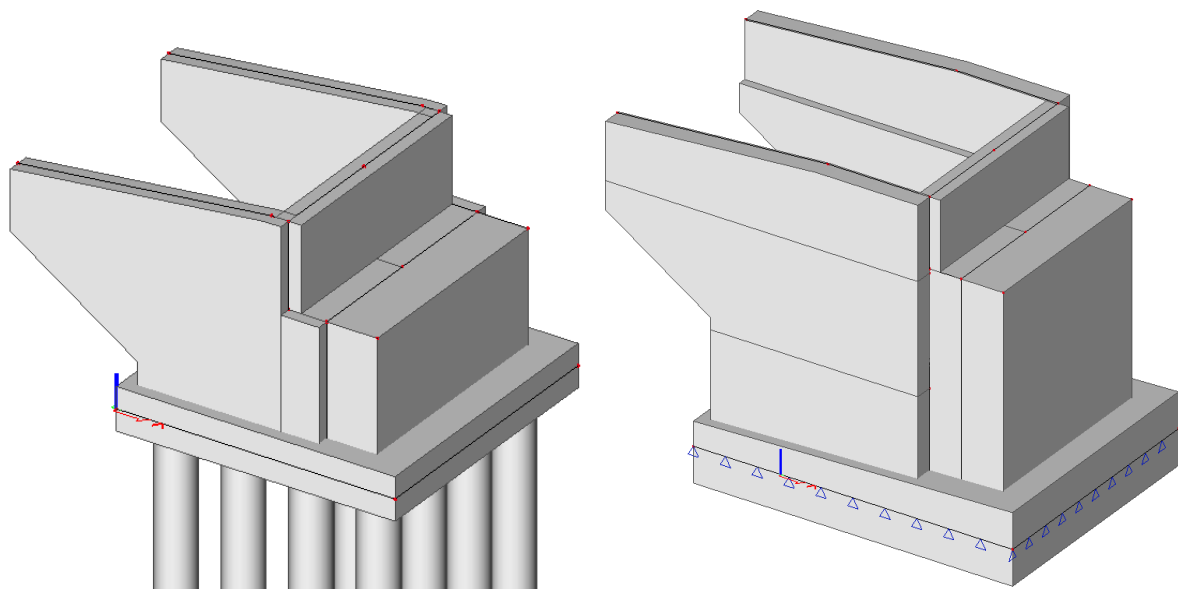
PARAMETRY ZÁVĚSNÝCH KABELŮ												
Závěs			počet lan [ks]	délka [m]	F _{init} [kN]	F _{max,k} [kN]	F _{max,d} [kN]	σ _{init} [MPa]	σ _{max} [MPa]	σ _{lim} [MPa]	f _{1,min} [Hz]	f _{1,max} [Hz]
1. závěsy	P3	601	12	11.446	325	377	508	180.6	209.2	796.5	5.32	7.13
		701	12	12.256	400	428	577	222	237.5		6.00	7.10
	P9	801	12	12.358	400	428	577	222	237.5		6.27	7.04
		901	12	24.061	300	326	440	167	181.1		2.51	3.16
2. závěsy	P3	602	12	13.107	350	437	590	194	242.7		4.28	6.71
		702	12	16.523	400	424	573	222	235.6		3.81	5.24
	P9	802	12	16.523	400	448	605	222	248.8		4.31	5.39
		902	12	25.467	388	430	580	216	238.8		2.52	3.42
3. závěsy	P3	603	12	14.246	500	571	771	278	317.4		5.05	7.06
		703	12	19.464	525	570	770	292	316.9		3.51	5.16
	P9	803	12	19.464	525	573	774	292	318.6		3.83	5.18
		903	12	26.285	538	594	802	299	330.2		3.04	3.90
4. závěsy	P3	604	12	24.412	375	431	582	208	239.6		1.91	3.58
		704	12	24.760	425	497	671	236	276.3		2.16	3.79
	P9	804	12	24.761	425	492	664	236	273.3		2.40	3.77
		904	12	30.355	488	570	769	271	316.4		2.13	3.31
5. závěsy	P3	605	12	24.680	575	602	813	319	334.5		2.78	4.18
		705	12	27.901	575	619	835	319	343.8		2.27	3.75
	P9	805	12	27.902	575	609	822	319	338.3		2.43	3.72
		905	12	30.951	663	735	992	368	408.2		2.68	3.68
6. závěsy	P3	606	12	26.332	600	633	855	333	351.9		2.44	4.02
		706	12	32.662	600	632	853	333	351.2		1.96	3.24
	P9	806	12	32.663	600	617	833	333	343.0		2.10	3.20
		906	12	33.935	675	755	1019	375	419.4		2.42	3.41
7. závěsy	P3	607	12	27.169	700	724	978	389	402.3		2.70	4.17
		707	12	36.666	700	716	967	389	398.0		2.07	3.07
	P9	807	12	36.667	700	694	937	389	385.4		2.22	3.02
		907	12	35.223	700	758	1023	389	420.9		2.31	3.29
8. závěsy	P3	608	12	51.865	650	648	875	361	360.1		1.48	2.06
		708	12	44.905	650	672	908	361	373.6		1.59	2.43
	P9	808	12	44.906	650	656	885	361	364.3		1.52	2.40
		908	12	54.899	650	675	911	361	375.1		1.39	1.99
9. závěsy	P3	609	12	52.423	650	672	908	361	373.5		1.51	2.08
		709	12	48.851	650	672	908	361	373.6		1.46	2.23
	P9	809	12	48.852	650	664	896	361	368.9		1.44	2.22
		909	12	55.591	650	684	923	361	379.8		1.39	1.98
10. závěsy	P3	610	12	53.011	775	787	1062	431	437.2		1.72	2.23
		710	12	53.111	825	814	1099	458	452.3		1.65	2.26
	P9	810	12	53.112	825	812	1096	458	450.9		1.64	2.26
		910	12	56.306	825	835	1128	458	464.0		1.65	2.16
11. závěsy	P3	611	19	54.905	775	811	1095	272	284.7		1.16	1.73
		711	19	58.604	825	811	1095	289	284.5		0.95	1.62
	P9	811	19	58.604	825	805	1087	289	282.6		0.95	1.62
		911	19	58.552	825	860	1162	289	301.9		1.12	1.67
12. závěsy	P3	612	19	56.453	900	928	1252	316	325.5		1.37	1.80
		712	19	63.252	1100	1014	1369	386	355.9		1.21	1.68
	P9	812	19	63.252	1100	1022	1380	386	358.7		1.22	1.69
		912	19	60.158	1100	1079	1457	386	378.7		1.43	1.83
13. závěsy	P3	613	19	57.157	1000	1009	1362	351	354.1		1.51	1.86
		713	19	68.080	1100	1048	1415	386	367.7		1.23	1.59
	P9	813	19	68.080	1100	1047	1413	386	367.3		1.23	1.59
		913	19	60.968	1100	1097	1481	386	384.9		1.49	1.82
14. závěsy	P3	614	19	57.885	1150	1145	1546	404	401.7		1.69	1.95
		714	19	73.051	1250	1180	1594	439	414.2		1.34	1.57
	P9	814	19	73.051	1250	1179	1592	439	413.7		1.33	1.57
		914	19	61.798	1250	1236	1668	439	433.6		1.66	1.90
15. závěsy	P3	615	19	58.634	1400	1362	1839	491	478.0		1.91	2.10
		715	19	78.131	1400	1322	1784	491	463.8		1.41	1.56
	P9	815	19	78.130	1400	1314	1774	491	461.1		1.41	1.55
		915	19	62.645	1400	1381	1864	491	484.4		1.80	1.98

7 Spodní stavba

7.1 Opěry

Pro správnou dimenzaci základů, křídel a pilot (pouze OP1) byly zhotoveny komplexní 3D deskostěnové modely v MKP SW SCIA Engineer 2008. Výsledky na dřík a závěrnou zídku jsou nižší než níže uvedená konzervativní posouzení.

Obrázek 7-1: Model opěry OP1 (vlevo), na OP2 (vpravo)



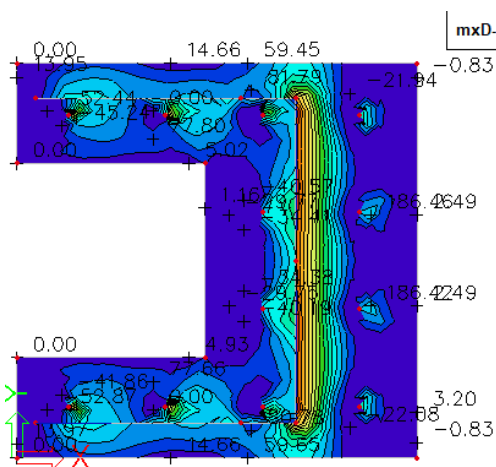
7.1.1 Základy

Základy byly navrženy na základě výsledků z komplexního MKP modelu.

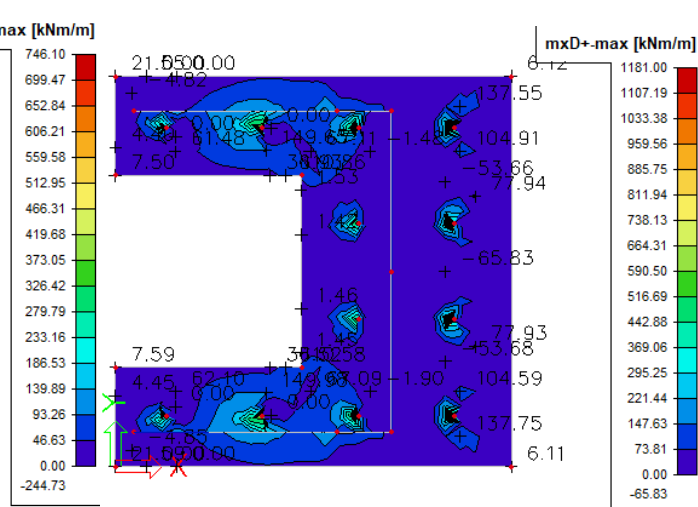
7.1.1.1 Základ opěry OP1 – vnitřní síly

Založení opěry OP1 je realizováno skupinou 12 velkopřůměrových pilot. Návrh vyztužení ohybovou výztuží je proveden konzervativně pro extrémní dosažené hodnoty (mimo singularity). Smyková výztuž je s ohledem na geometrii opěry, kdy zatížení přechází z dříku, resp. křídel přímo do pilot navržena konstrukční z třmínků Ø16 s osovou roztečí větví max 450/450 mm.

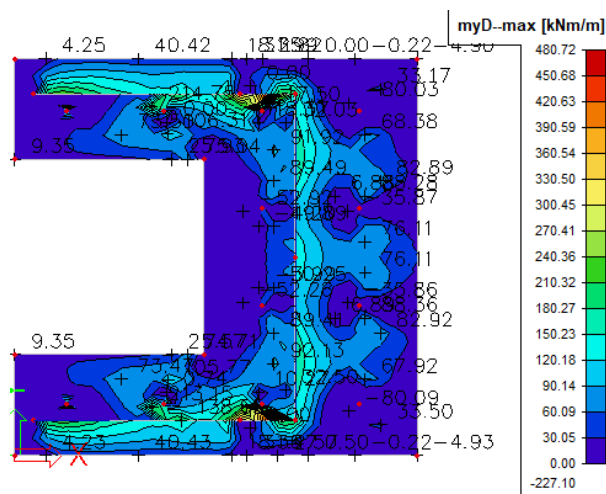
– m_{xD-} (spodní – směr mostu)



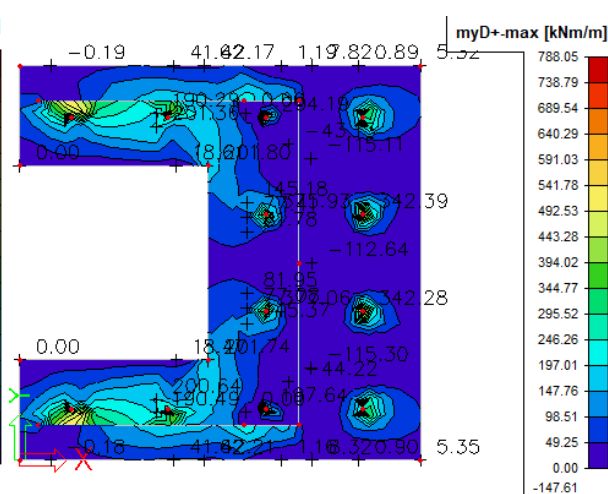
- m_{xD+} (horní – směr mostu)



– my_D (spodní – kolmo na most)



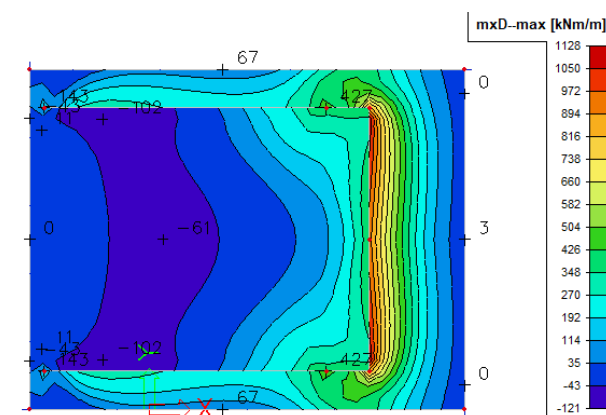
- my_{D+} (horní – kolmo na most)



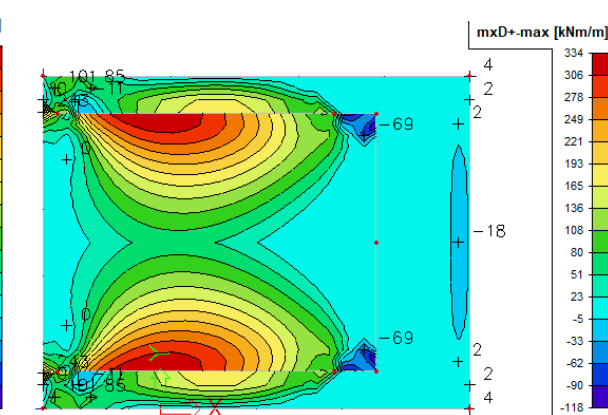
7.1.1.2 Základ opěry OP2 – vnitřní síly

Založení opěry OP2 je plošné na vrstvách rul a pararul typu R3. Návrh vyztužení ohybovou výztuží je proveden konzervativně pro extrémní dosažené hodnoty (mimo singularity). Smyková výztuž je s ohledem na tuhost podloží a mohutnost celého základu pilot navržena konstrukční z třmínků Ø16 s osovou roztečí větví max 450/450 mm.

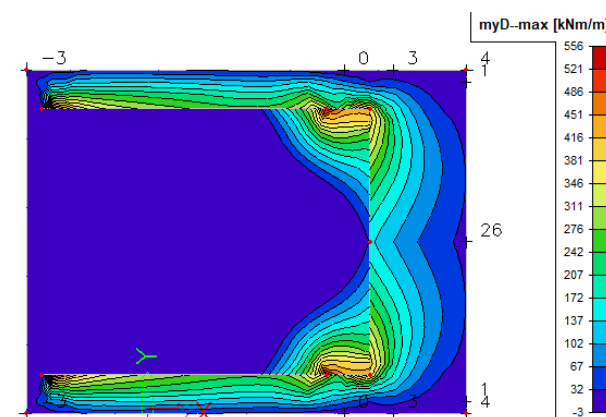
– mx_D (spodní – směr mostu)



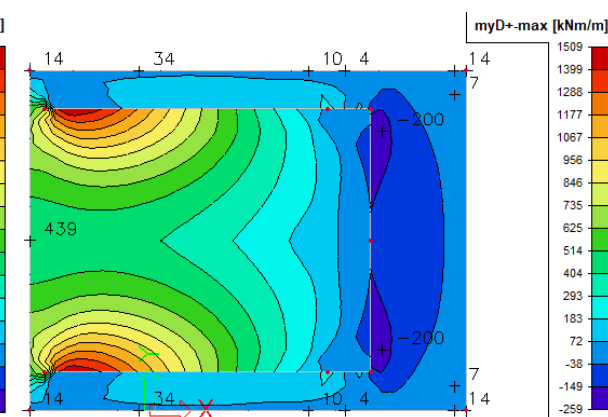
- mx_{D+} (horní – směr mostu)



– my_D (spodní – kolmo na most)



- my_{D+} (horní – kolmo na most)



- základ OP1 mxD+ (horní - směr mostu)

Základ opěry OP1 - mxD+ horní výztuž ve směru mostu									
Průřez									
b _{eff} = 1000 mm	b _w = 1000 mm	H = 1000 mm	Úprava polohy N.O.						
c ₁ = 50 mm	c ₂ = 50 mm	W _{k,max} = 0.20 mm	e ₀ = -0.119 [10 ⁻³] e ₂ = 0.218 m						
Materiály									
ocel: B 500	B	beton: C25/30	vzdálenost N.O. od spodních vláken celkem 0.0009 MN						
f _{yk} = 500 MPa	f _{yk} = 500 MPa	f _{ck} = 25.0 MPa	Silová podmínka vyhovuje						
f _{yd} = 434.8 MPa	f _{yd} = 434.8 MPa	E _{cm} = 31.0 GPa	Momentová podm. rovnováhy M _{ed} = 0.137 MNm						
E _y = 200.0 GPa	E _y = 200.0 GPa	f _{ct,lim} = 2.6 MPa	Interakce ohybového a smykového namáhání						
ε _{s,k} = 50 [-10 ⁻³]	ε _{s,k} = 50 [-10 ⁻³]	ε _{s,ik} = -3.5 [-10 ⁻³]	rameno vnitřních sil z = 0.850 m						
Ohybová výztuž									
6.66667 Ø 20 mm	1. řada	A _{s1,1} = 2094 mm ²	(0.209%)						
0 Ø 20 mm	2. řada	A _{s1,2} = mm ²	(0.000%)						
0 Ø 20 mm	3. řada	A _{s1,3} = mm ²	(0.000%)						
6.66667 Ø 25 mm	z=0.079	A _{s2} = 3272 mm ²	(0.327%)						
Rozdělovací výztuž (minimální)									
9.0 Ø 8 mm	A _{s,perp} = 419 mm ²	Stupeň výztužení							
(pro desky)									
Smyková výztuž									
5 Ø 16 mm	A _{w,sloup} = 1005 mm ²	α _w = 90	Vyhovuje						
S _{sl,sl} = 1000 mm	A _{w,sloup} = 1005 mm ² /m ²	p _{w,s} = 0.10%	Vyhovuje						
0 Ø 16 mm	A _{w,bend} = mm ²	α _b = 45	Vyhovuje						
S _{w,b} = 450 mm	p _{w,b} = 0.00% < p _{w,s} = 0.10%	Stupeň výztužení							
p _{w,s,min} < p _{w,s} < p _{w,s,max} 0.08% 0.10% 1.00% Vyhovuje									
Vnitřní síly na průřezu									
M _{ed} = 137 kNm	N _{ed} = 0 kN	V _{ed} = 305 kN	(MSU)						
Excentricita pro MSU:									
M _{ed,char} = 104 kNm	N _{ed,char} = 0 kN	e _{char} = 0.000 m	(Charakteristická)						
M _{ed,kvazi} = 72 kNm	N _{ed,kvazi} = 0 kN	e _{k,quasi} = 0.000 m	(Kvazistálá)						
Štíhlostní kritérium									
l ₀ = 0.7 * 0 = 0.000 m	λ _{0m} = 500.000	λ = 0.000	L = 0.00 m						
i = √(0.083 / 1.000) = 0.289 m									
Posouzení									
V _{red,s} = (0.12 * 1.465 * 25.0 * 0.15 * 0.000) * 1000 = 0.290 MN	Smyková únosnost - bez smykové výztuže								
V _{red,s} = 0.290 MN	V _{ed,s} = 0.305 MN	105% Nevyhovuje							
Smyková únosnost - se smykovou výztuží									
1 < cot θ = 1.428 < 2.5	θ = 35.00°	Vyhovuje							
Sklon tlakových diagonál									
0.54 < cot θ = 1.428 < 2.5	θ = 0.54	Vyhovuje							
Dodatečná tahová síla									
ΔF _{td} = 1 * 305 * (1.428 - 0.000) = 0.436 MN									
Únosnost tlakové diagonály									
V _{red,max} = 0.54 * 15.0 * 1000 * 850 * (0.70021 + 1.42815) = 3.233 MN									
Únosnost třímínek									
V _{red,st} = 1005 * 434.8 * 0.850 * 1.42815 / 1000 = 0.530 MN									
Únosnost ohybů									
V _{red,b} = 0 * 434.8 * 0.707 * 0.850 * 2.42815 / 450 = 0.000 MN									
Posouzení									
V _{red,s} = 0.530 MN	V _{ed} = 0.305 MN	58% Vyhovuje							

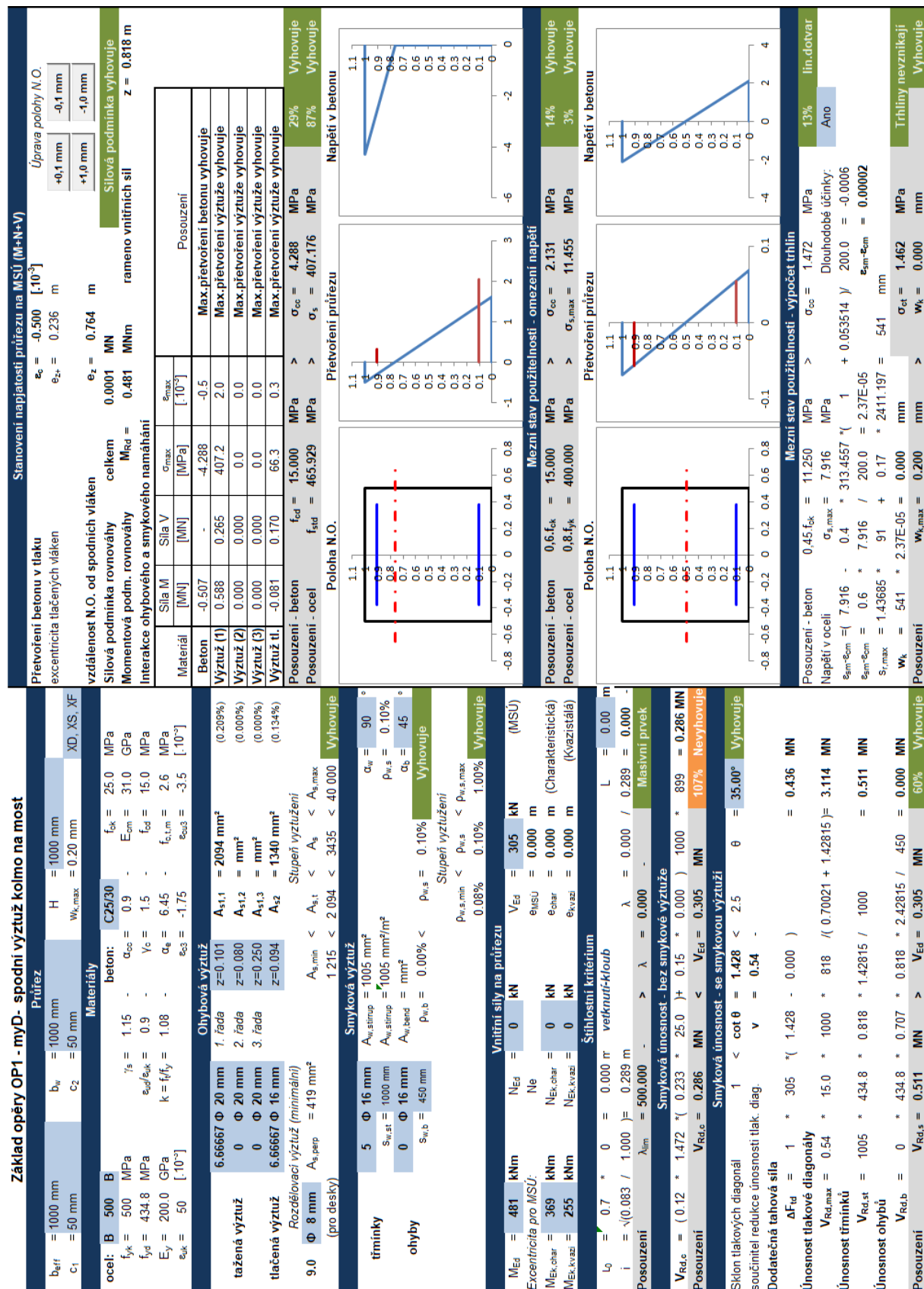
Stavení napjatosti průřezu na MSÚ (M+N+V)									
Průřez			Úprava polohy N.O.						
b _{eff} = 1000 mm	b _w = 1000 mm	H = 1000 mm	e ₀ = -0.119 [10 ⁻³] e ₂ = 0.218 m						
c ₁ = 50 mm	c ₂ = 50 mm	W _{k,max} = 0.20 mm	e _z = 0.782 m						
Materiály									
ocel: B 500	B	beton: C25/30	vzdálenost N.O. od spodních vláken celkem 0.0009 MN						
f _{yk} = 500 MPa	f _{yk} = 500 MPa	f _{ck} = 25.0 MPa	Silová podmínka vyhovuje						
f _{yd} = 434.8 MPa	f _{yd} = 434.8 MPa	E _{cm} = 31.0 GPa	Momentová podm. rovnováhy M _{ed} = 0.137 MNm						
E _y = 200.0 GPa	E _y = 200.0 GPa	f _{ct,lim} = 2.6 MPa	Interakce ohybového a smykového namáhání						
ε _{s,k} = 50 [-10 ⁻³]	ε _{s,k} = 50 [-10 ⁻³]	ε _{s,ik} = -3.5 [-10 ⁻³]	rameno vnitřních sil z = 0.850 m						
Ohybová výztuž									
6.66667 Ø 20 mm	1. řada	A _{s1,1} = 2094 mm ²	(0.209%)						
0 Ø 20 mm	2. řada	A _{s1,2} = mm ²	(0.000%)						
0 Ø 20 mm	3. řada	A _{s1,3} = mm ²	(0.000%)						
6.66667 Ø 25 mm	z=0.079	A _{s2} = 3272 mm ²	(0.327%)						
Rozdělovací výztuž (minimální)									
9.0 Ø 8 mm	A _{s,perp} = 419 mm ²	Stupeň výztužení							
(pro desky)									
Smyková výztuž									
5 Ø 16 mm	A _{w,sloup} = 1005 mm ²	α _w = 90	Vyhovuje						
S _{sl,sl} = 1000 mm	A _{w,sloup} = 1005 mm ² /m ²	p _{w,s} = 0.10%	Vyhovuje						
0 Ø 16 mm	A _{w,bend} = mm ²	α _b = 45	Vyhovuje						
S _{w,b} = 450 mm	p _{w,b} = 0.00% < p _{w,s} = 0.10%	Stupeň výztužení							
p _{w,s,min} < p _{w,s} < p _{w,s,max} 0.08% 0.10% 1.00% Vyhovuje									
Vnitřní síly na průřezu									
M _{ed} = 137 kNm	N _{ed} = 0 kN	V _{ed} = 305 kN	(MSU)						
Excentricita pro MSÚ:									
M _{ed,char} = 104 kNm	N _{ed,char} = 0 kN	e _{char} = 0.000 m	(Charakteristická)						
M _{ed,kvazi} = 72 kNm	N _{ed,kvazi} = 0 kN	e _{k,quasi} = 0.000 m	(Kvazistálá)						
Štíhlostní kritérium									
l ₀ = 0.7 * 0 = 0.000 m	λ _{0m} = 500.000	λ = 0.000	L = 0.00 m						
i = √(0.083 / 1.000) = 0.289 m									
Posouzení									
V _{red,s} = (0.12 * 1.465 * 25.0 * 0.15 * 0.000) * 1000 = 0.290 MN	Smyková únosnost - bez smykové výztuže								
V _{red,s} = 0.290 MN	V _{ed,s} = 0.305 MN	105% Nevyhovuje							
Smyková únosnost - se smykovou výztuží									
1 < cot θ = 1.428 < 2.5	θ = 35.00°	Vyhovuje							
Sklon tlakových diagonál									
0.54 < cot θ = 1.428 < 2.5	θ = 0.54	Vyhovuje							
Dodatečná tahová síla									
ΔF _{td} = 1 * 305 * (1.428 - 0.000) = 0.436 MN									
Únosnost tlakové diagonály									
V _{red,max} = 0.54 * 15.0 * 1000 * 850 * (0.70021 + 1.42815) = 3.233 MN									
Únosnost třímínek									
V _{red,st} = 1005 * 434.8 * 0.850 * 1.42815 / 1000 = 0.530 MN									
Únosnost ohybů									
V _{red,b} = 0 * 434.8 * 0.707 * 0.850 * 2.42815 / 450 = 0.000 MN									
Posouzení									
V _{red,s} = 0.530 MN	V _{ed} = 0.305 MN	58% Vyhovuje							

Stavení napjatosti průřezu na MSÚ (M+N+V)									
Průřez			Úprava polohy N.O.						
b _{eff} = 1000 mm	b _w = 1000 mm	H = 1000 mm	e ₀ = -0.119 [10 ⁻³] e ₂ = 0.218 m						
c ₁ = 50 mm	c ₂ = 50 mm	W _{k,max} = 0.20 mm	e _z = 0.782 m						
Materiály									
ocel: B 500	B	beton: C25/30	vzdálenost N.O. od spodních vláken celkem 0.0009 MN						
f _{yk} = 500 MPa	f _{yk} = 500 MPa	f _{ck} = 25.0 MPa	Silová podmínka vyhovuje						
f _{yd} = 434.8 MPa	f _{yd} = 434.8 MPa	E _{cm} = 31.0 GPa	Momentová podm. rovnováhy M _{ed} = 0.137 MNm						
E _y = 200.0 GPa	E _y = 200.0 GPa	f _{ct,lim} = 2.6 MPa	Interakce ohybového a smykového namáhání						
ε _{s,k} = 50 [-10 ⁻³]	ε _{s,k} = 50 [-10 ⁻³]	ε _{s,ik} = -3.5 [-10 ⁻³]	rameno vnitřních sil z = 0.850 m						
Ohybová výztuž									
6.66667 Ø 20 mm	1. řada	A _{s1,1} = 2094 mm ²	(0.209%)						
0 Ø 20 mm	2. řada	A _{s1,2} = mm ²	(0.000%)						
0 Ø 20 mm	3. řada	A _{s1,3} = mm ²	(0.000%)						
6.66667 Ø 25 mm	z=0.079	A _{s2} = 3272 mm ²	(0.327%)						
Rozdělovací výztuž (minimální)									
9.0 Ø 8 mm	A _{s,perp} = 419 mm ²	Stupeň výztužení							
(pro desky)									
Smyková výztuž									
5 Ø 16 mm	A _{w,sloup} = 1005 mm ²	α _w = 90	Vyhovuje						
S _{sl,sl} = 1000 mm	A _{w,sloup} = 1005 mm ² /m ²	p _{w,s} = 0.10%	Vyhovuje						
0 Ø 16 mm	A _{w,bend} = mm ²	α _b = 45	Vyhovuje						
S _{w,b} = 450 mm	p _{w,b} = 0.00% < p _{w,s} = 0.10%	Stupeň výztužení							
p _{w,s,min} < p _{w,s} < p _{w,s,max} 0.08% 0.10% 1.00% Vyhovuje									
Vnitřní síly na průřezu									
M _{ed} = 137 kNm	N _{ed} = 0 kN	V _{ed} = 305 kN	(MSU)						
Excentricita pro MSÚ:									
M _{ed,char} = 104 kNm	N _{ed,char} = 0 kN	e _{char} = 0.000 m	(Charakteristická)						
M _{ed,kvazi} = 72 kNm	N _{ed,kvazi} = 0 kN	e _{k,quasi} = 0.000 m	(Kvazistálá)						
Štíhlostní kritérium									
l ₀ = 0.7 * 0 = 0.000 m	λ _{0m} = 500.000	λ = 0.000	L = 0.00 m						
i = √(0.083 / 1.000) = 0.289 m									
Posouzení									
V _{red,s} = (0.12 * 1.465 * 25.0 * 0.15 * 0.000) * 1000 = 0.290 MN	Smyková únosnost - bez smykové výztuže								
V _{red,s} = 0.290 MN	V _{ed,s} = 0.305 MN	105% Nevyhovuje							
Smyková únosnost - se smykovou výztuží									
1 < cot θ = 1.428 < 2.5	θ = 35.00°	Vyhovuje							
Sklon tlakových diagonál									
0.54 < cot θ = 1.428 < 2.5	θ = 0.54	Vyhovuje							
Dodatečná tahová síla									
ΔF _{td} = 1 * 305 * (1.428 - 0.000) = 0.436 MN									
Únosnost tlakové diagonály									
V _{red,max} = 0.54 * 15.0 * 1000 * 850 * (0.70021 + 1.42815) = 3.233 MN									
Únosnost třímínek									
V _{red,st} = 1005 * 434.8 * 0.850 * 1.42815 / 1000 = 0.530 MN									
Únosnost ohybů									
V _{red,b} = 0 * 434.8 * 0.707 * 0.850 * 2.42815 / 450 = 0.000 MN									
Posouzení									
V _{red,s} = 0.530 MN	V _{ed} = 0.305 MN	58% Vyhovuje							

Stavení napjatosti průřezu na MSÚ (M+N+V)									
Průřez			Úprava polohy N.O.						
b _{eff} = 1000 mm	b _w = 1000 mm	H = 1000 mm	e ₀ = -0.119 [10 ⁻³] e ₂ = 0.218 m						
c ₁ = 50 mm	c ₂ = 50 mm	W _{k,max} = 0.20 mm	e _z = 0.782 m						
Materiály									
ocel: B 500	B	beton: C25/30	vzdálenost N.O. od spodních vláken celkem 0.0009 MN						
f _{yk} = 500 MPa	f _{yk} = 500 MPa	f _{ck} = 25.0 MPa	Silová podmínka vyhovuje						
f _{yd} = 434.8 MPa	f _{yd} = 434.8 MPa	E _{cm} = 31.0 GPa	Momentová podm. rovnováhy M _{ed} = 0.137 MNm						
E _y = 200.0 GPa	E _y = 200.0 GPa	f _{ct,lim} = 2.6 MPa	Interakce ohybového a smykového namáhání						
ε _{s,k} = 50 [-10 ⁻³]	ε _{s,k} = 50 [-10 ⁻³]	ε _{s,ik} = -3.5 [-10 ⁻³]	rameno vnitřních sil z = 0.850 m						
Ohybová výztuž									
6.66667 Ø 20 mm	1. řada	A _{s1,1} = 2094 mm ²	(0.209%)						
0 Ø 20 mm	2. řada	A _{s1,2} = mm ²	(0.000%)						
0 Ø 20 mm	3. řada	A _{s1,3} = mm ²	(0.000%)						
6.66667 Ø 25 mm	z=0.079	A _{s2} = 3272 mm ²	(0.327%)						
Rozdělovací výztuž (minimální)									
9.0 Ø 8 mm	A _{s,perp} = 419 mm ²	Stupeň výztužení							
(pro desky)									
Smyková výztuž									
5 Ø 16 mm	A _{w,sloup} = 1005 mm ²	α _w = 90	Vyhovuje						
S _{sl,sl} = 1000 mm	A _{w,sloup} = 1005 mm ² /m ²	p _{w,s} = 0.10%	Vyhovuje						
0 Ø 16 mm	A _{w,bend} = mm ²	α _b = 45	Vyhovuje						
S _{w,b} = 450 mm	p _{w,b} = 0.00% < p _{w,s} = 0.10%	Stupeň výztužení							
p _{w,s,min} < p _{w,s} < p _{w,s,max} 0.08% 0.10% 1.00% Vyhovuje									
Vnitřní síly na průřezu									
M _{ed} = 137 kNm	N _{ed} = 0 kN	V _{ed} = 305 kN	(MSU)						
Excentricita pro MSÚ:									
M _{ed,char} = 104 kNm	N _{ed,char} = 0 kN	e _{char} = 0.000 m	(Charakteristická)						
M _{ed,kvazi} = 72 kNm	N _{ed,kvazi} = 0 kN	e _{k,quasi} = 0.000 m	(Kvazistálá)						
Štíhlostní kritérium									
l ₀ = 0.7 * 0 = 0.000 m	λ _{0m} = 500.000	λ = 0.000	L = 0.00 m						
i = √(0.083 / 1.000) = 0.289 m									
Posouzení									
V _{red,s} = (0.12 * 1.465 * 25.0 * 0.15 * 0.000) * 1000 = 0.290 MN	Smyková únosnost - bez smykové výztuže								
V _{red,s} = 0.290 MN	V _{ed,s} = 0.305 MN	105% Nevyhovuje							
Smyková únosnost - se smykovou výztuží									
1 < cot θ = 1.428 < 2.5	θ = 35.00°	Vyhovuje							
Sklon tlakových diagonál									
0.54 < cot θ = 1.428 < 2.5	θ = 0.54	Vyhovuje							
Dodatečná tahová síla									
ΔF _{td} = 1 * 305 * (1.428 - 0.000) = 0.436 MN									
Únosnost tlakové diagonály									
V _{red,max} = 0.54 * 15.0 * 1000 * 850 * (0.70021 + 1.42815) = 3.233 MN									
Únosnost třímínek									
V _{red,st} = 1005 * 434.8 * 0.850 * 1.42815 / 1000 = 0.530 MN									
Únosnost ohybů									
V _{red,b} = 0 * 434.8 * 0.707 * 0.850 * 2.42815 / 450 = 0.000 MN									
Posouzení									
V _{red,s} = 0.530 MN	V _{ed} = 0.305 MN	58% Vyhovuje							

Stavení napjatosti průřezu na MSÚ (M+N+V)									
Průřez			Úprava polohy N.O.						
b _{eff} = 1000 mm	b _w = 1000 mm	H = 1000 mm	e ₀ = -0.119 [10 ⁻³] e ₂ = 0.218 m						
c ₁ = 50 mm	c ₂ = 50 mm	W _{k,max} = 0.20 mm	e _z = 0.782 m						
Materiály									
ocel: B 500	B	beton: C25/30	vzdálenost N.O. od spodních vláken celkem 0.0009 MN						
f _{yk} = 500 MPa	f _{yk} = 500 MPa	f _{ck} = 25.0 MPa	Silová podmínka vyhovuje						
f _{yd} = 434.8 MPa	f _{yd} = 434.8 MPa	E _{cm} = 31.0 GPa	Momentová podm. rovnováhy M _{ed} = 0.137 MNm						
E _y = 200.0 GPa	E _y = 200.0 GPa	f _{ct,lim} = 2.6 MPa	Interakce ohybového a smykového namáhání						
ε _{s,k} = 50 [-10 ⁻³]	ε _{s,k} = 50 [-10 ⁻³]	ε _{s,ik} = -3.5 [-10 ⁻³]	rameno vnitřních sil z = 0.850 m						
Ohybová výztuž									
6.66667 Ø 20 mm	1. řada	A _{s1,1} = 2094 mm ²	(0.209%)						
0 Ø 20 mm	2. řada	A _{s1,2} = mm ²	(0.000%)						
0 Ø 20 mm	3. řada	A _{s1,3} = mm ²	(0.000%)						
6.66667 Ø 25 mm	z=0.079	A _{s2} = 3272 mm ²	(0.327%)						
Rozdělovací výztuž (minimální)									
9.0 Ø 8 mm	A _{s,perp} = 419 mm ²	Stupeň výztužení							
(pro desky)									
Smyková výztuž									
5 Ø 16 mm	A _{w,sloup} = 1005 mm ²	α _w = 90	Vyhovuje						
S _{sl,sl} = 1000 mm	A _{w,sloup} = 1005 mm ² /m ²	p _{w,s} = 0.10%	Vyhovuje						
0 Ø 16 mm	A _{w,bend} = mm ²	α _b = 45	Vyhovuje						
S _{w,b} = 450 mm	p _{w,b} = 0.00% < p _{w,s} = 0.10%	Stupeň výztužení							
p _{w,s,min} < p _{w,s} < p _{w,s,max} 0.08% 0.10% 1.00% Vyhovuje									
Vnitřní síly na průřezu									
M _{ed} = 137 kNm	N _{ed} = 0 kN	V _{ed} = 305 kN	(MSU)						
Excentricita pro MSÚ:									
M _{ed,char} = 104 kNm	N _{ed,char} = 0 kN	e _{char} = 0.000 m	(Charakteristická)						
M _{ed,kvazi} = 72 kNm	N _{ed,kvazi} = 0 kN	e _{k,quasi} = 0.000 m	(Kvazistálá)						
Štíhlostní kritérium									
l ₀ = 0.7 * 0 = 0.000 m	λ _{0m} = 500.000								

- základ OP1 my_D (spodní - kolmo na most)



- základ OP1 myD+ (horní - kolmo na most)

Základ opěry OP1 - myD+ horní výztuž kolmo na most									
Průřez									
b _{eff} = 1000 mm	b _w = 1000 mm	H = 1000 mm	XD, XS, XF						
c ₁ = 50 mm	c ₂ = 50 mm	W _{k,max} = 0.20 mm							
Materiály									
ocel: B 500	B	beton: C25/30							
f _{yk} = 500 MPa	f _{yk} = 1.15	α _{cc} = 0.9	E _{cm} = 25.0 GPa						
f _{yd} = 434.8 MPa	e _{sd} /e _{sk} = 0.9	V _c = 1.5	f _{cd} = 15.0 MPa						
E _y = 200.0 GPa	k = f _t /f _y = 1.08	α _g = 6.45	f _{ct,m} = 2.6 MPa						
e _{sk} = 50 [-10 ⁻³]	e _{s3} = -1.75	e _{s33} = -3.5 [-10 ⁻³]							
Ohybová výztuž									
6.66667 Ø 16 mm	1. řada	A _{s1,1} = 1340 mm ²	(0.134%)						
0 Ø 20 mm	2. řada	A _{s1,2} = mm ²	(0.000%)						
0 Ø 20 mm	3. řada	A _{s1,3} = mm ²	(0.000%)						
6.66667 Ø 20 mm	A _{s2} = 2094 mm ²	(0.209%)							
Rozdělovací výztuž (minimální)									
6.0 Ø 8 mm	A _{s,perp} = 268 mm ²								
(pro desky)									
Smyková výztuž									
5 Ø 16 mm	A _{w,sloup} = 1005 mm ²	α _w = 90							
S _{sl,sl} = 1000 mm	A _{w,sloup} = 1005 mm ² /m ²	P _{w,sl} = 0.10%							
0 Ø 16 mm	A _{w,bend} = mm ²	α _b = 45							
S _{w,b} = 450 mm	P _{w,b} = 0.00% < P _{w,s} = 0.10%	Vyhovuje							
Stupeň výztužení									
P _{w,s,min} < P _{w,s} < P _{w,s,max}									
0.08% 0.10% 1.00% Vyhovuje									
Vnitřní síly na průřezu									
M _{Ed} = 202 kNm	N _{Ed} = 0 kN	V _{Ed} = 305 kN	(MSÚ)						
Excentricita pro MSÚ:									
M _{Ed,char} = 158 kNm	N _{Ed,char} = 0 kN	e _{char} = 0.000 m							
M _{Ed,kvazi} = 90 kNm	N _{Ed,kvazi} = 0 kN	e _{kvazi} = 0.000 m							
Štíhlostní kritérium									
l ₀ = 0.7 * 0 = 0.000 m	λ _{sloup} = 500.000	λ = 0.000	L = 0.00 m						
i = √(0.083 / 1.000) = 0.289 m									
Smyková únosnost - bez smykové výztuže									
V _{Ed,s} = (0.12 * 1.470 * 25.0) / 0.15 = 29.4 MN	V _{Ed} = 0.305 MN	108% N							
Smyková únosnost - se smykovou výztuží									
1 < cot θ = 1.428 < 2.5	θ = 35.00°	Vyhovuje							
Sklon tlakových diagonál									
soudržitel redukce únosnosti tlak. diag.									
Dodatečná tahová síla									
ΔF _{td} = 1 * 305 * (1.428 - 0.000) = 0.436 MN									
Únosnost tlakové diagonály									
V _{Ed,max} = 0.54	15.0 * 1000 * 835 / (0.70021 + 1.42815) = 3.179 MN								
Únosnost třmenů									
V _{Ed,st} = 1005	434.8 * 0.835 * 1.42815 / 1000 = 0.522 MN								
Únosnost ohybů									
V _{Ed,b} = 0	434.8 * 0.707 * 0.835 * 2.42815 / 450 = 0.000 MN								
V _{Ed,s} = 0.522 MN	V _{Ed} = 0.305 MN	58% N							

Stavení napjatosti průřezu na MSÚ (M+N+V)									
Průřez betonu v tlaku			e _c = -0.239 [-10 ⁻³]		Úprava polohy N.O.				
excentricita tlačných vláken			e _{st} = 0.190 m		-0.1 mm		+1.0 mm		-1.0 mm
vzdálenost N.O. od spodních vláken									
e _z = 0.810 m			0.0008 MN		Silová podmínka vyhovuje				
celkem			0.202 MNm		rameno vnitřních sil		z = 0.835 m		
Momentová podm. rovnováhy M _{Ed} =									
Interakce ohybového a smykového namáhání									
Síla M	Síla V	G _{max}	Posouzení						
[MN]	[MN]	[MPa]	[10 ⁻³]						
Beton	-	-2.045	-0.2	Max.přetvoření betonu vyhovuje					
Výztuž (1)	0.242	0.170	305.8	Max.přetvoření výztuže vyhovuje					
Výztuž (2)	0.000	0.000	0.0	Max.přetvoření výztuže vyhovuje					
Výztuž (3)	0.000	0.000	0.0	Max.přetvoření výztuže vyhovuje					
Výztuž tl.	-0.047	0.265	104.3	Max.přetvoření výztuže vyhovuje					
Posouzení - beton			f _{td} = 15.000 MPa	>	σ _{cc} = 2.045 MPa	14% Vyhovuje			
Posouzení - ocel			f _{sd} = 465.929 MPa	>	σ _s = 306.790 MPa	66% Vyhovuje			
Poloha N.O.									
Průřez betonu									
Průřez betonu									
Průřez betonu									
Průřez betonu									
Průřez betonu									
Průřez betonu									
Průřez betonu									
Průřez betonu									
Průřez betonu									
Průřez betonu									
Průřez betonu									
Průřez betonu									
Průřez betonu									
Průřez betonu									
Průřez betonu									
Průřez betonu									
Průřez betonu									
Průřez betonu									
Průřez betonu									
Průřez betonu									
Průřez betonu									
Průřez betonu									
Průřez betonu									
Průřez betonu									
Průřez betonu									
Průřez betonu									
Průřez betonu									
Průřez betonu									
Průřez betonu									
Průřez betonu									
Průřez betonu									
Průřez betonu									
Průřez betonu									
Průřez betonu									
Průřez betonu									
Průřez betonu									
Průřez betonu									
Průřez betonu									
Průřez betonu									
Průřez betonu									
Průřez betonu									
Průřez betonu									
Průřez betonu									
Průřez betonu									
Průřez betonu									
Průřez betonu									
Průřez betonu									
Průřez betonu									
Průřez betonu									
Průřez betonu									
Průřez betonu									
Průřez betonu									
Průřez betonu									
Průřez betonu									
Průřez betonu									
Průřez betonu									
Průřez betonu									
Průřez betonu									
Průřez betonu									
Průřez betonu									
Průřez betonu									
Průřez betonu									
Průřez betonu									
Průřez betonu									
Průřez betonu									
Průřez betonu									
Průřez betonu									
Průřez betonu									
Průřez betonu									
Průřez betonu									
Průřez betonu									
Průřez betonu									
Průřez betonu									
Průřez betonu									
Průřez betonu									
Průřez betonu									
Průřez betonu									
Průřez betonu									
Průřez betonu									
Průřez betonu									
Průřez betonu									
Průřez betonu									
Průřez betonu									
Průřez betonu									
Průřez betonu									
Průřez betonu									
Průřez betonu									
Průřez betonu									
Průřez betonu									
Průřez betonu									
Průřez betonu									
Průřez betonu									
Průřez betonu									
Průřez betonu									
Průřez betonu									
Průřez betonu									
Průřez betonu									
Průřez betonu									
Průřez betonu									
Průřez betonu									
Průřez betonu									
Průřez betonu									
Průřez betonu									
Průřez betonu									
Průřez betonu									
Průřez betonu									
Průřez betonu									
Průřez betonu									
Průřez betonu									
Průřez betonu									
Průřez betonu									
Průřez betonu									
Průřez betonu									
Průřez betonu									
Průřez betonu									
Průřez betonu									
Průřez betonu									
Průřez betonu									
Průřez betonu									
Průřez betonu									
Průřez betonu									
Průřez betonu									
Průřez betonu									
Průřez betonu									
Průřez betonu									
Průřez betonu									
Průřez betonu									

- základ OP2 mxD+ (horní - směr mostu)

Základ opěry OP1 - mxD+ horní výztuž ve směru mostu																														
Průřez																														
b _{eff} = 1000 mm	b _w = 1000 mm	H = 1840 mm																												
c ₁ = 50 mm	c ₂ = 50 mm	W _{k,max} = 0.20 mm																												
Materiály																														
ocel: B 500	B	beton: C25/30																												
f _{yk} = 500 MPa	f _{yk} = 1.15	α _{cc} = 0.9	E _{cm} = 25.0 GPa																											
f _{yd} = 434.8 MPa	e _{sd} /e _{sk} = 0.9	V _c = 1.5	f _{td} = 15.0 MPa																											
E _y = 200.0 GPa	k = f _t /f _y = 1.08	α _g = 6.45	f _{ct,m} = 2.6 MPa																											
e _{sk} = 50 [-10 ⁻³]	e _{sd} = -1.75	e _{sd3} = -3.5 [-10 ⁻³]																												
Ohybová výztuž																														
6.66667 Ø 25 mm	1. řada	A _{s1,1} = 3272 mm ²	(0.178%)																											
0 Ø 20 mm	2. řada	A _{s1,2} = mm ²	(0.000%)																											
0 Ø 20 mm	3. řada	A _{s1,3} = mm ²	(0.000%)																											
6.66667 Ø 25 mm	z=0.079	A _{s2} = 3272 mm ²	(0.178%)																											
Rozdělovací výztuž (minimální)																														
14.0 Ø 8 mm	A _{s,perp} = 654 mm ²																													
(pro desky)																														
Smyková výztuž																														
5 Ø 16 mm	A _{w,sloup} = 1005 mm ²	α _w = 90																												
S _{sl,sl} = 1000 mm	A _{w,sloup} = 1005 mm ² /m ²	P _{w,sl} = 0.10%																												
0 Ø 16 mm	A _{w,band} = mm ²	α _b = 45																												
S _{w,b} = 450 mm	P _{w,b} = 0.00% < P _{w,s} = 0.10%	Vyhovuje																												
Stupeň výztužení																														
P _{w,s,min} < P _{w,s} < P _{w,s,max}																														
0.08% < 0.10% < 1.00%																														
Vyhovuje																														
Vnitřní síly na průřezu																														
M _{Ed} = 334 kNm	N _{Ed} = 0 kN	V _{Ed} = 305 kN																												
Excentricita pro MSÚ:																														
M _{Ed,char} = 259 kNm	N _{Ed,char} = 0 kN	e _{char} = 0.000 m																												
M _{Ed,kvaz} = 181 kNm	N _{Ed,kvaz} = 0 kN	e _{k,kvaz} = 0.000 m																												
Štíhlostní kritérium																														
L ₀ = 0.7 * 0 = 0.000 m	λ _{0m} = 500.000	λ = 0.000	L = 0.00 m																											
i = √(0.519 / 1.840) = 0.531 m																														
Posouzení																														
V _{red,s} = (0.12 * 1.337 * (0.186 * 25.0 + 0.15 * 0.000) * 1000) * 1762 = 0.472 MN																														
V _{red,s} = 0.477 MN	V _{Ed} = 0.305 MN	64%																												
Smyková únosnost - se smykovou výztuží																														
1 < cot θ = 1.428 < 2.5	θ = 35.00°																													
Vyhovuje																														
Sklon tlakových diagonál součinitel redukce únosnosti tlak. diag.																														
Dodatečná tahová síla																														
ΔF _{td} = 1 * 305 * (1.428 - 0.000) = 0.436 MN																														
Únosnost tlakové diagonály																														
V _{red,max} = 0.54	15.0 * 1000 * 1642 / (0.70021 + 1.42815) = 6.247 MN																													
Únosnost tříměrná																														
V _{red,st} = 1005 * 434.8 * 1.642 * 1.42815 / 1000 = 1.025 MN																														
Únosnost ohybů																														
V _{red,b} = 0 * 434.8 * 0.707 * 1.642 * 2.42815 / 450 = 0.000 MN																														
V _{red,s} = 1.025 MN	V _{Ed} = 0.305 MN	30%																												
Posouzení																														
Vyhovuje																														

Základ opěry OP1 - mxD+ horní výztuž ve směru mostu																														
Průřez																														
b _{eff} = 1000 mm	b _w = 1000 mm	H = 1840 mm																												
c ₁ = 50 mm	c ₂ = 50 mm	W _{k,max} = 0.20 mm																												
Materiály																														
ocel: B 500	B	beton: C25/30																												
f _{yk} = 500 MPa	f _{yk} = 1.15	α _{cc} = 0.9	E _{cm} = 25.0 GPa																											
f _{yd} = 434.8 MPa	e _{sd} /e _{sk} = 0.9	V _c = 1.5	f _{td} = 15.0 MPa																											
E _y = 200.0 GPa	k = f _t /f _y = 1.08	α _g = 6.45	f _{ct,m} = 2.6 MPa																											
e _{sk} = 50 [-10 ⁻³]	e _{sd} = -1.75	e _{sd3} = -3.5 [-10 ⁻³]																												
Ohybová výztuž																														
6.66667 Ø 25 mm	1. řada	A _{s1,1} = 3272 mm ²	(0.178%)																											
0 Ø 20 mm	2. řada	A _{s1,2} = mm ²	(0.000%)																											
0 Ø 20 mm	3. řada	A _{s1,3} = mm ²	(0.000%)																											
6.66667 Ø 25 mm	z=0.079	A _{s2} = 3272 mm ²	(0.178%)																											
Rozdělovací výztuž (minimální)																														
14.0 Ø 8 mm	A _{s,perp} = 654 mm ²																													
(pro desky)																														
Smyková výztuž																														
5 Ø 16 mm	A _{w,sloup} = 1005 mm ²	α _w = 90																												
S _{sl,sl} = 1000 mm	A _{w,sloup} = 1005 mm ² /m ²	P _{w,sl} = 0.10%																												
0 Ø 16 mm	A _{w,band} = mm ²	α _b = 45																												
S _{w,b} = 450 mm	P _{w,b} = 0.00% < P _{w,s} = 0.10%	Vyhovuje																												
Stupeň výztužení																														
P _{w,s,min} < P _{w,s} < P _{w,s,max}																														
0.08% < 0.10% < 1.00%																														
Vyhovuje																														
Vnitřní síly na průřezu																														
M _{Ed} = 334 kNm	N _{Ed} = 0 kN	V _{Ed} = 305 kN																												
Excentricita pro MSÚ:																														
M _{Ed,char} = 259 kNm	N _{Ed,char} = 0 kN	e _{char} = 0.000 m																												
M _{Ed,kvaz} = 181 kNm	N _{Ed,kvaz} = 0 kN	e _{k,kvaz} = 0.000 m																												
Štíhlostní kritérium																														
L ₀ = 0.7 * 0 = 0.000 m	λ _{0m} = 500.000	λ = 0.000	L = 0.00 m																											
i = √(0.519 / 1.840) = 0.531 m																														
Posouzení																														
V _{red,s} = (0.12 * 1.337 * (0.186 * 25.0 + 0.15 * 0.000) * 1000) * 1762 = 0.472 MN																														
V _{red,s} = 0.477 MN	V _{Ed} = 0.305 MN	64%																												
Smyková únosnost - se smykovou výztuží																														
1 < cot θ = 1.428 < 2.5	θ = 35.00°																													
Vyhovuje																														
Sklon tlakových diagonál součinitel redukce únosnosti tlak. diag.																														
Dodatečná tahová síla																														
ΔF _{td} = 1 * 305 * (1.428 - 0.000) = 0.436 MN																														
Únosnost tlakové diagonály																														
V _{red,max} = 0.54	15.0 * 1000 * 1642 / (0.70021 + 1.42815) = 6.247 MN																													
Únosnost tříměrná																														
V _{red,st} = 1005 * 434.8 * 1.642 * 1.42815 / 1000 = 1.025 MN																														
Únosnost ohybů																														
V _{red,b} = 0 * 434.8 * 0.707 * 1.642 * 2.42815 / 450 = 0.000 MN																														
V _{red,s} = 1.025 MN	V _{Ed} = 0.305 MN	30%																												
Posouzení																														
Vyhovuje																														

Základ opěry OP1 - mxD+ horní výztuž ve směru mostu																														
Průřez																														
b _{eff} = 1000 mm	b _w = 1000 mm	H = 1840 mm																												
c ₁ = 50 mm	c ₂ = 50 mm	W _{k,max} = 0.20 mm																												
Materiály																														
ocel: B 500	B	beton: C25/30																												
f _{yk} = 500 MPa	f _{yk} = 1.15	α _{cc} = 0.9	E _{cm} = 25.0 GPa																											
f _{yd} = 434.8 MPa	e _{sd} /e _{sk} = 0.9	V _c = 1.5	f _{td} = 15.0 MPa																											
E _y = 200.0 GPa	k = f _t /f _y = 1.08	α _g = 6.45	f _{ct,m} = 2.6 MPa																											
e _{sk} = 50 [-10 ⁻³]	e _{sd} = -1.75	e _{sd3} = -3.5 [-10 ⁻³]																												
Ohybová výztuž																														
6.66667 Ø 25 mm	1. řada	A _{s1,1} = 3272 mm ²	(0.178%)																											
0 Ø 20 mm	2. řada	A _{s1,2} = mm ²	(0.000%)																											
0 Ø 20 mm	3. řada	A _{s1,3} = mm ²	(0.000%)																											
6.66667 Ø 25 mm	z=0.079	A _{s2} = 3272 mm ²	(0.178%)																											
Rozdělovací výztuž (minimální)																														
14.0 Ø 8 mm	A _{s,perp} = 654 mm ²																													
(pro desky)																														
Smyková výztuž																														
5 Ø 16 mm	A _{w,sloup} = 1005 mm ²	α _w = 90																												
S _{sl,sl} = 1000 mm	A _{w,sloup} = 1005 mm ² /m ²	P _{w,sl} = 0.10%																												
0 Ø 16 mm	A _{w,band} = mm ²	α _b = 45																												
S _{w,b} = 450 mm	P _{w,b} = 0.00% < P _{w,s} = 0.10%	Vyhovuje																												
Stupeň výztužení																														
P _{w,s,min} < P _{w,s} < P _{w,s,max}																														
0.08% < 0.10% < 1.00%																														
Vyhovuje																														
Vnitřní síly na průřezu																														
M _{Ed} = 334 kNm	N _{Ed} = 0 kN	V _{Ed} = 305 kN																												
Excentricita pro MSÚ:																														
M _{Ed,char} = 259 kNm	N _{Ed,char} = 0 kN	e _{char} = 0.000 m																												
M _{Ed,kvaz} = 181 kNm	N _{Ed,kvaz} = 0 kN	e _{k,kvaz} = 0.000 m																												
Štíhlostní kritérium																														
L ₀ = 0.7 * 0 = 0.000 m	λ _{0m} = 500.000	λ = 0.000	L = 0.00 m																											
i = √(0.519 / 1.840) = 0.531 m																														
Posouzení																														
V _{red,s} = (0.12 * 1.337 * (0.186 * 25.0 + 0.15 * 0.000) * 1000) * 1762 = 0.472 MN																														
V _{red,s} = 0.477 MN	V _{Ed} = 0.305 MN	64%																												
Smyková únosnost - se smykovou výztuží																														
1 < cot θ = 1.428 < 2.5	θ = 35.00°																													
Vyhovuje																														
Sklon tlakových diagonál součinitel redukce únosnosti tlak. diag.																														
Dodatečná tahová síla																														
ΔF _{td} = 1 * 305 * (1.428 - 0.000) = 0.436 MN																														
Únosnost tlakové diagonály																														
V _{red,max} = 0.54	15.0 * 1000 * 1642 / (0.70021 + 1.42815) = 6.247 MN																													
Únosnost tříměrná																														
V _{red,st} = 1005 * 434.8 * 1.642 * 1.42815 / 1000 = 1.025 MN																														
Únosnost ohybů																														
V _{red,b} = 0 * 434.8 * 0.707 * 1.642 * 2.42815 / 450 = 0.000 MN																														
V _{red,s} = 1.025 MN	V _{Ed} = 0.305 MN	30%																												
Posouzení																														
Vyhovuje																														

Základ opěry OP1 - mxD+ horní výztuž ve směru mostu																														
Průřez																														
b _{eff} = 1000 mm	b _w = 1000 mm	H = 1840 mm																												
c ₁ = 50 mm	c ₂ = 50 mm	W _{k,max} = 0.20 mm																												
Materiály																														
ocel: B 500	B	beton: C25/30																												
f _{yk} = 500 MPa	f _{yk} = 1.15	α _{cc} = 0.9	E _{cm} = 25.0 GPa																											
f _{yd} = 434.8 MPa	e _{sd} /e _{sk} = 0.9	V _c = 1.5	f _{td} = 15.0 MPa																											
E _y = 200.0 GPa	k = f _t /f _y = 1.08	α _g = 6.45	f _{ct,m} = 2.6 MPa																											
e _{sk} = 50 [-10 ⁻³]	e _{sd} = -1.75	e _{sd3} = -3.5 [-10 ⁻³]																												
Ohybová výztuž																														
6.66667 Ø 25 mm	1. řada	A _{s1,1} = 3272 mm ²	(0.178%)																											
0 Ø 20 mm	2. řada	A _{s1,2} = mm ²	(0.000%)																											
0 Ø 20 mm	3. řada	A _{s1,3} = mm ²	(0.000%)																											
6.66667 Ø 25 mm	z=0.079	A _{s2} = 3272 mm ²	(0.178%)																											
Rozdělovací výztuž (minimální)																														
14.0 Ø 8 mm	A _{s,perp} = 654 mm ²																													
(pro desky)																														
Smyková výztuž																														
5 Ø 16 mm	A _{w,sloup} = 1005 mm ²	α _w = 90																												
S _{sl,sl} = 1000 mm	A _{w,sloup} = 1005 mm ² /m ²	P _{w,sl} = 0.10%																												
0 Ø 16 mm	A _{w,band} = mm ²	α _b = 45																												
S _{w,b} = 450 mm	P _{w,b} = 0.00% < P _{w,s} = 0.10%	Vyhovuje																												
Stupeň výztužení																														
P _{w,s,min} < P _{w,s} < P _{w,s,max}																														
0.08% < 0.10% < 1.00%																														
Vyhovuje																														
Vnitřní síly na průřezu																														
M _{Ed} = 334 kNm	N _{Ed} = 0 kN	V _{Ed} = 305 kN																												
Excentricita pro MSÚ:																														
M _{Ed,char} = 259 kNm	N _{Ed,char} = 0 kN	e _{char} = 0.000 m																												
M _{Ed,kvaz} = 181 kNm	N _{Ed,kvaz} = 0 kN	e _{k,kvaz} = 0.000 m																												
Štíhlostní kritérium																														
L ₀ = 0.7 * 0 = 0.000 m	λ _{0m} = 500.000	λ = 0.000	L = 0.00 m																											
i = √(0.519 / 1.840) = 0.531 m																														
Posouzení																														
V _{red,s} = (0.12 * 1.337 * (0.186 * 25.0 + 0.15 * 0.000) * 1000) * 1762 = 0.472 MN																														
V _{red,s} = 0.477 MN	V _{Ed} = 0.305 MN	64%																												
Smyková únosnost - se smykovou výztuží																														
1 < cot θ = 1.428 < 2.5	θ = 35.00°																													
Vyhovuje																														
Sklon tlakových diagonál součinitel redukce únosnosti tlak. diag.																														
Dodatečná tahová síla																														
ΔF _{td} = 1 * 305 * (1.428 - 0.000) = 0.436 MN																														
Únosnost tlakové diagonály																														
V _{red,max} = 0.54	15.0 * 1000 * 1642 / (0.70021 + 1.42815) = 6.247 MN																													
Únosnost tříměrná																														
V _{red,st} = 1005 * 434.8 * 1.642 * 1.42815 / 1000 = 1.025 MN																														
Únosnost ohybů																														
V _{red,b} = 0 * 434.8 * 0.707 * 1.642 * 2.42815 / 450 = 0.000 MN																														
V _{red,s} = 1.025 MN	V _{Ed} = 0.305 MN	30%																												
Posouzení																														
Vyhovuje																														

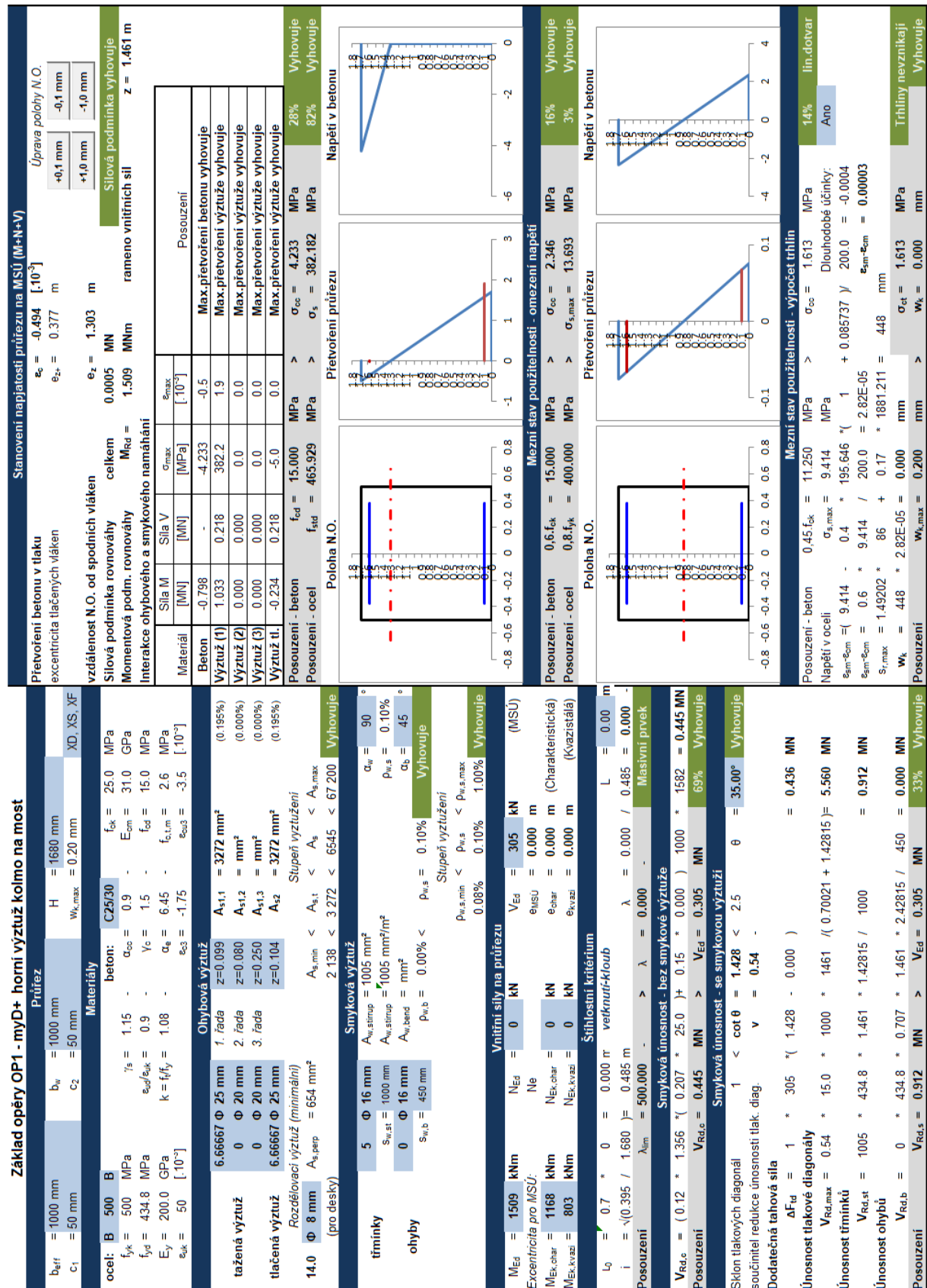
Základ opěry OP1 - mxD+ horní výztuž ve směru mostu																														
Průřez																														
b _{eff} = 1000 mm	b _w = 1000 mm	H = 1840 mm																												
c ₁ = 50 mm	c ₂ = 50 mm	W _{k,max} = 0.20 mm																												
Materiály																														
ocel: B 500	B	beton: C25/30																												
f _{yk} = 500 MPa	f _{yk} = 1.15	α _{cc} = 0.9	E _{cm} = 25.0 GPa																											
f _{yd} = 434.8 MPa	e _{sd} /e _{sk} = 0.9	V _c = 1.5	f _{td} = 15.0 MPa																											
E _y = 200.0 GPa	k = f _t /f _y = 1.08	α _g = 6.45	f _{ct,m} = 2.6 MPa																											
e _{sk} = 50 [-10 ⁻³]	e _{sd} = -1.75	e _{sd3} = -3.5 [-10 ⁻³]																												
Ohybová výztuž																														
6.66667 Ø 25 mm	1. řada	A _{s1,1} = 3272 mm ²	(0.178%)																											
0 Ø 20 mm	2. řada	A _{s1,2} = mm ²	(0.000%)																											
0 Ø 20 mm	3. řada	A _{s1,3} = mm ²	(0.000%)																											
6.66667 Ø 25 mm	z=0.079	A _{s2} = 3272 mm ²	(0.178%)																											
Rozdělovací výztuž (minimální)																														
14.0 Ø 8 mm	A _{s,perp} = 654 mm ²																													
(pro desky)																														
Smyková výztuž																														
5 Ø 16 mm	A _{w,sloup} = 1005 mm ²	α _w = 90																												
S _{sl,sl} = 1000 mm	A _{w,sloup} = 1005 mm ² /m ²	P _{w,sl} = 0.10%																												
0 Ø 16 mm	A _{w,band} = mm ²	α _b = 45																												
S _{w,b} = 450 mm	P _{w,b} = 0.00% < P _{w,s} = 0.10%	Vyhovuje																												
Stupeň výztužení																														
P _{w,s,min} < P _{w,s} < P _{w,s,max}																														
0.08% < 0.10% < 1.00%																														
Vyhovuje																														
Vnitřní síly na průřezu																														
M _{Ed} = 334 kNm	N _{Ed} = 0 kN	V _{Ed} = 305 kN																												
Excentricita pro MSÚ:																														
M _{Ed,char} = 259 kNm	N _{Ed,char} = 0 kN	e _{char} = 0.000 m																												
M _{Ed,kvaz} = 181 kNm	N _{Ed,kvaz} = 0 kN	e _{k,kvaz} = 0.000 m																												
Štíhlostní kritérium																														
L ₀ = 0.7 * 0 = 0.000 m	λ _{0m} = 500.000	λ = 0.000	L = 0.00 m																											
i = √(0.519 / 1.840) = 0.531 m																														
Posouzení																														
V _{red,s} = (0.12 * 1.337 * (0.186 * 25.0 + 0.15 * 0.000) * 1000) * 1762 = 0.472 MN																														

- základ OP2 my_D (spodní - kolmo na most)

Základ opěry OP1 - my _D - spodní výztuž kolmo na most									
Průřez									
b _{eff} = 1000 mm	b _w = 1000 mm	H = 1840 mm							
c ₁ = 50 mm	c ₂ = 50 mm	W _{k,max} = 0.20 mm							
Materiály									
ocel: B 500	B	beton: C25/30							
f _{yk} = 500 MPa	f _{yk} = 500 MPa	f _{ck} = 25.0 MPa							
f _{yd} = 434.8 MPa	f _{yd} = 434.8 MPa	E _{cm} = 31.0 GPa							
E _y = 200.0 GPa	E _y = 200.0 GPa	f _{ct,1m} = 2.6 MPa							
ε _{yk} = 50 [-10 ⁻³]	ε _{yk} = 50 [-10 ⁻³]	ε _{yk3} = -3.5 [-10 ⁻³]							
Ohybová výztuž									
6.66667 Ø 25 mm	1. řada	A _{s1,1} = 3272 mm ²	(0.178%)						
0 Ø 20 mm	2. řada	A _{s1,2} = mm ²	(0.000%)						
0 Ø 20 mm	3. řada	A _{s1,3} = mm ²	(0.000%)						
6.66667 Ø 25 mm	4. řada	A _{s1,4} = 3272 mm ²	(0.178%)						
Rozdělovací výztuž (minimální)									
14.0 Ø 8 mm	A _{s,perp} = 654 mm ²								
(pro desky)									
Smyková výztuž									
5 Ø 16 mm	A _{w,sloup} = 1005 mm ²	α _w = 90 °							
0 Ø 16 mm	A _{w,sloup} = 1005 mm ²	ρ _{w,s} = 0.10%							
0 Ø 16 mm	A _{w,bend} = mm ²	α _b = 45 °							
0 Ø 16 mm	A _{w,b} = 450 mm ²	ρ _{w,b} = 0.00% < ρ _{w,s} = 0.10%	Vyhovuje						
Stupeň výztužení									
Stupeň výztužení									
Stupeň výztužení									
Stupeň výztužení									
Vnitřní síly na průřezu									
M _{Ed} = 556 kNm	N _{Ed} = 0 kN	V _{Ed} = 305 kN	(MSÚ)						
Excentricita pro MSÚ:									
M _{Ed,char} = 427 kNm	N _{Ed,char} = 0 kN	e _{0,sl} = 0.000 m							
M _{Ed,kvaz} = 316 kNm	N _{Ed,kvaz} = 0 kN	e _{0,kvaz} = 0.000 m							
Štíhlostní kritérium									
L ₀ = 0.7 * 0 = 0.000 m	λ ₀ = 0.000	λ = 0.000	L = 0.00 m						
i = √(0.519 / 1.840) = 0.531 m	λ ₀ = 500.000	λ = 0.000	Masivní prvek						
Posouzení									
V _{Ed,0} = (0.12 * 1.339 * 25.0) + 0.15 * 0.000 = 0.468 MN	Smyková únosnost - bez smykové výztuže								
V _{Ed,0} = 0.471 MN	V _{Ed} = 0.305 MN	65%	Vyhovuje						
Smyková únosnost - se smykovou výztuží									
1 < cot θ = 1.428 < 2.5	θ = 35.00°	Vyhovuje							
Sklon tlakových diagonál									
Součinitel redukce únosnosti tlak. diag.									
Dodatečná tahová síla									
ΔF _{td} = 1 * 305 * (1.428 - 0.000) = 0.436 MN	Únosnost tlakové diagonály								
V _{Ed,max} = 0.54	15.0 * 1000 * 1611 / (0.70021 + 1.42815) = 6.132 MN	Únosnost třmínek							
V _{Ed,st} = 1005 * 434.8 * 1.611 * 1.42815 / 1000 = 1.006 MN	Únosnost ohybů								
V _{Ed,b} = 0 * 434.8 * 0.707 * 1.611 * 2.42815 / 450 = 0.000 MN	Posouzení								
V _{Ed,s} = 1.006 MN	V _{Ed} = 0.305 MN	30%	Vyhovuje						

Stavení napjatosti průřezu na MSÚ (M+N+V)									
Přetožení betonu v tlaku		e ₀ = -0.157 [-10 ⁻³]		Úprava polohy N.O.					
excentricita tlačných vláken		e ₀₊ = 0.399 m							
vzdálenost N.O. od spodních vláken		e ₂ = 1.441 m		Silová podmínka vyhovuje					
celkem		-0.0008 MN		rameno vnitřních sil		z = 1.611 m			
Momentová podm. rovnováhy		M _{Ed} = 0.556 MNm							
Interakce ohybového a smykového namáhání									
Síla M	Síla V	G _{max}	ρ _{s,max}	Posouzení					
[MN]	[MN]	[MPa]	[-10 ⁻³]						
Beton	-	-1.347	-0.2	Max.přetožení betonu vyhovuje					
Výztuž (1)	0.345	0.218	0.9	Max.přetožení výztuže vyhovuje					
Výztuž (2)	0.000	0.000	0.0	Max.přetožení výztuže vyhovuje					
Výztuž (3)	0.000	0.000	0.0	Max.přetožení výztuže vyhovuje					
Výztuž tl.	-0.077	0.218	0.2	Max.přetožení výztuže vyhovuje					
Posouzení - beton		f _{td} = 15.000 MPa	>	σ _{cc} = 1.347 MPa	9%		Vyhovuje		
Posouzení - ocel		f _{sd} = 465.929 MPa	>	σ _s = 172.029 MPa	37%		Vyhovuje		
Napětí v betonu									
Přetožení průřezu									
Poloha N.O.									
Mezní stav použitelnosti - omezení napětí									
Posouzení - beton		0.6.f _{ck} = 15.000 MPa	>	σ _{cc} = 0.718 MPa	5%		Vyhovuje		
Posouzení - ocel		0.8.f _{yk} = 400.000 MPa	>	σ _{s,max} = 4.227 MPa	1%		Vyhovuje		
Napětí v betonu									
Přetožení průřezu									
Poloha N.O.									
Mezní stav použitelnosti - výpočet trhlin									
Posouzení - beton		0.45.f _{ck} = 11.250 MPa	>	σ _{cc} = 0.531 MPa	5%		lim.dotvar		
Napětí v oceli		σ _{s,max} = 3.128 MPa	Ano						
Dlouhodobé účinky:									
ε _{sm} -ε _{cm} = (3.128 - 0.4 * 205.5773) * 1 + 0.081596 / 200.0 = -0.0004									
ε _{sm} -ε _{cm} = 0.6 * 3.128 / 200.0 = 9.39E-06									
S _{t,max} = 1.43685 * 91 + 0.17 * 1976.704 = 467 mm									
w _k = 467 * 9.39E-06 = 0.000 mm		σ _{ct} = 0.531 MPa							
Posouzení		w _{k,max} = 0.200 mm	>	w _k = 0.000 mm	Trhliny nevznikají		Vyhovuje		

- základ OP2 myD+ (horní - kolmo na most)



7.1.2 Dřík opěr

Dřík a závěrná zídka jsou s ohledem na jejich tuhost posouzeny na průměrný výsek o šířce 1,0 m. Uvažované zatížení za rubem od zemního tlaku LM71. S ohledem na masivnost konstrukce se předpokládá účinnost zatížení na celou šířku dříku. Tomu odpovídá hodnota zatížení na metr čtvereční 29,1 kN/m² (pro OP1 - $1000 \cdot 1,1 / 6,4 / 5,9 = 29,1$ kN/m², resp. 26,4 kN/m² (pro OP2 - $1000 \cdot 1,1 / 6,4 / 6,5 = 26,4$ kN/m²). Zatížení je uvažováno k pracovní spáře základ - dřík.

ZVÝŠENÍ ZEMNÍHO TLAKU OD PŘÍTÍŽENÍ ZA OPĚROU - TLAK V KLIDU - OP1

GEOMETRIE KONSTRUKCE

Výška opěry:

H=

5.20

m

Typ přitížení:

Pásové

Výška zásypu:

H_z=

5.20

m

Velikost přitížení:

f_z=

29.13

kN/m2

Výška zásypu nad opěrou:

H_r=

0.00

m

Počátek působíště

x=

0.00

m

Délka zatížení

b=

6.40

m

PARAMETRY ZEMINY

Objemová hmotnost:

γ=

20.00

kN/m3

Úhel vnitřního tření:

φ_{ef}=

35.50

°

Součinitel zatížení - stálé

γ_F=

1.35

-

Materiálový součinitel:

γ_φ=

1.25

-

Součinitel zatížení - nahodilé

γ_F=

1.45

-

Návrhový úhel vnitř. tření:

φ_σ=

29.71

°

PARAMETRY VÝPOČTU DLE EN 1997

Návrhový přístup:

Přístup 2 - redukce zatížení

CELKOVÉ VÝSLEDKY ZEMNÍCH TLAKŮ

Výslednice od zeminy

F_z=

153.06

kN/m'

Působíště výslednice shora

r_z=

3.47

m

Moment v ZS od zeminy

M_p=

265.32

kNm/m'

Rameno k patě opěry

r=

1.73

m

Výslednice od přitížení

F_p=

85.02

kN

Působíště výslednice shora

r_p=

2.46

m

Moment v ZS od přitížení

M_p=

233.06

kNm

Rameno k patě opěry

r=

2.74

m

VÝSLEDKY SIL PŮSOBÍCÍCH NA OPĚRU

Výslednice od zeminy

F_z=

153.06

kN/m'

Působíště výslednice shora

r_z=

3.47

m

Moment v ZS od zeminy

M_p=

265.32

kNm/m'

Rameno k patě opěry

r=

1.73

m

Výslednice od přitížení

F_p=

85.02

kN

Působíště výslednice shora

r_p=

2.46

m

Moment v ZS od přitížení

M_p=

233.06

kNm

Rameno k patě opěry

r=

2.74

m

GRAFICKÉ ZOBRAZENÍ

ZEMNÍ TLAK OD PŘÍTÍŽENÍ

0

5

10

15

20

0

1

2

3

4

5

6

σ_{zemina}

σ_{opěra}

ZEMNÍ TLAK OD ZEMINY / CELKEM

0

20

40

60

80

0

1

2

3

4

5

6

σ_{zemina}

σ_{opěra}

celkem_zemina

celkem_opěra

ZVÝŠENÍ ZEMNÍHO TLAKU OD PŘÍTÍŽENÍ ZA OPĚROU - TLAK V KLIDU - OP1

GEOMETRIE KONSTRUKCE

Výška opěry:	H=	5.20	m	Typ přitížení:	Pásové	
Výška zásypu:	H _z =	5.20	m	Velikost přitížení:	f _t =	14.92 kN/m2
Výška zásypu nad opěrou:	H _r =	0.00	m	Počátek působení	x=	6.40 m
				Délka zatížení	b=	100.00 m

PARAMETRY ZEMINY

Objemová hmotnost:	$\gamma =$	20.00	kN/m ³	Úhel vnitřního tření:	$\varphi_{ef} =$ 35.50 °
Součinitel zatížení - stálé	$\gamma_F =$	1.35	-	Materiálový součinitel:	$\gamma_\varphi =$ 1.25 -
Součinitel zatížení - nahodilé	$\gamma_F =$	1.45	-	Návrhový úhel vnitř. tření:	$\varphi_d =$ 29.71 °

PARAMETRY VÝPOČTU DLE EN 1997

Návrhový přístup:	Přístup 2 - redukce zatížení
-------------------	------------------------------

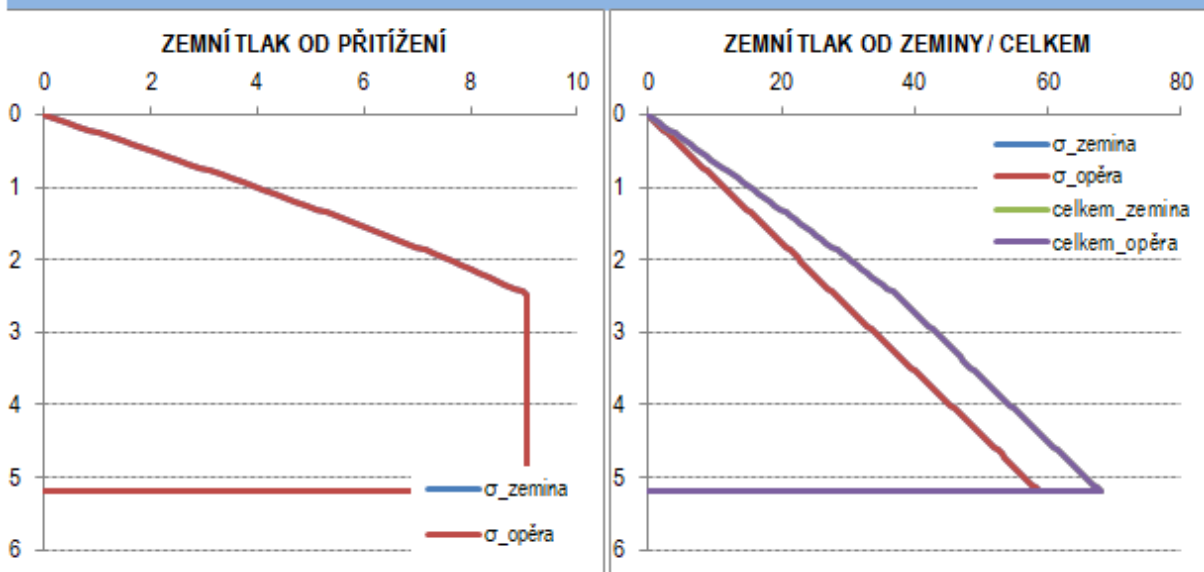
CELKOVÉ VÝSLEDKY ZEMNÍCH TLAKŮ

Výslednice od zeminy	$F_z =$	153.06	kN/m'	Působíště výslednice shora	$r_z =$ 3.47 m
Moment v ZS od zeminy	$M_p =$	265.32	kNm/m'	Rameno k patě opěry	$r =$ 1.73 m
Výslednice od přitížení	$F_p =$	36.49	kN	Působíště výslednice shora	$r_p =$ 3.13 m
Moment v ZS od přitížení	$M_p =$	75.68	kNm	Rameno k patě opěry	$r =$ 2.07 m

VÝSLEDKY SIL PŮSOBÍCÍCH NA OPĚRU

Výslednice od zeminy	$F_z =$	153.06	kN/m'	Působíště výslednice shora	$r_z =$ 3.47 m
Moment v ZS od zeminy	$M_p =$	265.32	kNm/m'	Rameno k patě opěry	$r =$ 1.73 m
Výslednice od přitížení	$F_p =$	36.49	kN	Působíště výslednice shora	$r_p =$ 3.13 m
Moment v ZS od přitížení	$M_p =$	75.68	kNm	Rameno k patě opěry	$r =$ 2.07 m

GRAFICKÉ ZOBRAZENÍ



K vnitřním silám od přetížení za opěrou jsou uvažovány reakce z nosné konstrukce viz souhrn ložisek.

VNITŘNÍ SÍLY NA DŘÍKU OP1					
geometrie závěrné zidky					
výška dříku k ložisku:	H=	2.87	m	šířka dříku:	B= 2.40 m
šířka dříku opěry:	B=	5.90	m	průřezová plocha dříku:	A= 7.715 m ²
úhel roznášení v betonu:	φ =	30.00	°	excentricita dříku k ose:	e_G = -0.140 m
vlastní tíha dříku:	G=	192.86	kN/m'	excentricita ložiska k ose:	e_L = 0.60 m
moment od vlastní tíhy:	M_G =	-27.00	kN/m'		
zatížení zeminou (charakteristické hodnoty)					
vodorovná síla od zásypu:	F_z =	113.00	kN/m'	moment od zásypu:	M_z = 196.00 kNm/m'
přetížení od dopravy (charakteristické hodnoty)					
vodorovná síla:	F_z =	83.80	kN/m'	moment:	M_z = 212.93 kNm/m'
reakce z nosné konstrukce					
svislá reakce - MSÚ:	$R_{z,Ed}$ =	4.52	MN	svislá reakce - char:	$R_{z,EK}$ = 3.56 MN
vodorovná reakce - MSÚ:	$R_{x,Ed}$ =	0.18	MN	vodorovná reakce - char:	$R_{x,EK}$ = 0.12 MN
moment - MSÚ:	M_{Ed} =	548.93	kNm/m'	moment - char:	M_{EK} = 407.65 kNm/m'
svislá reakce - kvazi:	$R_{z,quasi}$ =	2.05	MN		
vodorovná reakce - kvazi:	$R_{x,quasi}$ =	0.08	MN	moment - kvazi:	M_{quasi} = 236.93 kNm/m'
Celkové účinky					
kombinační souč. stálého zat.	$\xi\psi$ =	1.35	-	kombinační souč. dopravy:	$\xi\psi$ = 1.45 -
MSÚ (6.10b)					
posouvající síla:	Q=	305.08	kN/m'	normálová síla:	N= 1027.14 kN/m'
				ohybový moment:	M= 1085.83 kN/m'
Charakteristická kombinace (6.14)					
normálová síla:	N=	796.76	kN/m'	ohybový moment:	M= 789.58 kN/m'
Kvazistálá kombinace (6.16)					
normálová síla:	N=	539.47	kN/m'	ohybový moment:	M= 405.93 kN/m'

S ohledem na nízká namáhání a robustnost průřezu bude do opěry navržena konstrukční výztuž splňující podmínky minimálního vyztužení dle 9.6.2 (1) ČSN EN 1992-1-1 (minimálně Ø20 à 150 mm při obou površích).

- dřík OP1

Dřek opěry OP1									
Průřez									
b _{eff} = 1000 mm	b _w = 1000 mm	H = 2400 mm	W _{k,max} = 0.20 mm						
c ₁ = 50 mm	c ₂ = 50 mm	c ₃ = 50 mm	W _{k,max} = 0.20 mm						
Materiály									
ocel: B 500	B	beton: C30/37							
f _{yk} = 500 MPa	f _{yk} = 500 MPa	f _{ts} = 1.15	α _{cc} = 0.9	E _{cm} = 33.0 GPa	f _{ck} = 30.0 MPa				
f _{yd} = 434.8 MPa	f _{yd} = 434.8 MPa	e _{sd} /e _{sk} = 0.9	V _c = 1.5	f _{td} = 18.0 MPa	E _{cm} = 33.0 GPa				
E _y = 200.0 GPa	E _y = 200.0 GPa	k = f _t /f _{ty} = 1.08	α _e = 6.06	f _{ct,m} = 2.9 MPa	E _{cm} = 33.0 GPa				
e _{sk} = 50 [-10 ⁻³]	e _{sk} = 50 [-10 ⁻³]	e _{sd} = -1.75	e _{sd3} = -3.5 [-10 ⁻³]						
Ohybová výtěž									
1. řada z=0.073									
2. řada z=0.080									
3. řada z=0.250									
4. řada z=0.073									
Rozdávající výtěž (minimální)									
14.0 Ø 8 mm	A _{s,perp} = 654 mm ²	dle 9.6.2 2 400 < 3 272 < 6545 < 96 000							
(pro desky)									
Smyková výtěž									
1. řada z=0.073									
2. řada z=0.080									
3. řada z=0.250									
4. řada z=0.073									
Stupeň výtěžení									
dle 9.6.2 2 400 < 3 272 < 6545 < 96 000									
Smyková výtěž									
1. řada z=0.073									
2. řada z=0.080									
3. řada z=0.250									
4. řada z=0.073									
Stupeň výtěžení									
dle 9.6.2 2 400 < 3 272 < 6545 < 96 000									
Smyková výtěž									
1. řada z=0.073									
2. řada z=0.080									
3. řada z=0.250									
4. řada z=0.073									
Stupeň výtěžení									
dle 9.6.2 2 400 < 3 272 < 6545 < 96 000									
Smyková výtěž									
1. řada z=0.073									
2. řada z=0.080									
3. řada z=0.250									
4. řada z=0.073									
Stupeň výtěžení									
dle 9.6.2 2 400 < 3 272 < 6545 < 96 000									
Smyková výtěž									
1. řada z=0.073									
2. řada z=0.080									
3. řada z=0.250									
4. řada z=0.073									
Stupeň výtěžení									
dle 9.6.2 2 400 < 3 272 < 6545 < 96 000									
Smyková výtěž									
1. řada z=0.073									
2. řada z=0.080									
3. řada z=0.250									
4. řada z=0.073									
Stupeň výtěžení									
dle 9.6.2 2 400 < 3 272 < 6545 < 96 000									
Smyková výtěž									
1. řada z=0.073									
2. řada z=0.080									
3. řada z=0.250									
4. řada z=0.073									
Stupeň výtěžení									
dle 9.6.2 2 400 < 3 272 < 6545 < 96 000									
Smyková výtěž									
1. řada z=0.073									
2. řada z=0.080									
3. řada z=0.250									
4. řada z=0.073									
Stupeň výtěžení									
dle 9.6.2 2 400 < 3 272 < 6545 < 96 000									
Smyková výtěž									
1. řada z=0.073									
2. řada z=0.080									
3. řada z=0.250									
4. řada z=0.073									
Stupeň výtěžení									
dle 9.6.2 2 400 < 3 272 < 6545 < 96 000									
Smyková výtěž									
1. řada z=0.073									
2. řada z=0.080									
3. řada z=0.250									
4. řada z=0.073									
Stupeň výtěžení									
dle 9.6.2 2 400 < 3 272 < 6545 < 96 000									
Smyková výtěž									
1. řada z=0.073									
2. řada z=0.080									
3. řada z=0.250									
4. řada z=0.073									
Stupeň výtěžení									
dle 9.6.2 2 400 < 3 272 < 6545 < 96 000									
Smyková výtěž									
1. řada z=0.073									
2. řada z=0.080									
3. řada z=0.250									
4. řada z=0.073									
Stupeň výtěžení									
dle 9.6.2 2 400 < 3 272 < 6545 < 96 000									
Smyková výtěž									
1. řada z=0.073									
2. řada z=0.080									
3. řada z=0.250									
4. řada z=0.073									
Stupeň výtěžení									
dle 9.6.2 2 400 < 3 272 < 6545 < 96 000									
Smyková výtěž									
1. řada z=0.073									
2. řada z=0.080									
3. řada z=0.250									
4. řada z=0.073									
Stupeň výtěžení									
dle 9.6.2 2 400 < 3 272 < 6545 < 96 000									
Smyková výtěž									
1. řada z=0.073									
2. řada z=0.080									
3. řada z=0.250									
4. řada z=0.073									
Stupeň výtěžení									
dle 9.6.2 2 400 < 3 272 < 6545 < 96 000									
Smyková výtěž									
1. řada z=0.073									
2. řada z=0.080									
3. řada z=0.250									
4. řada z=0.073									
Stupeň výtěžení									
dle 9.6.2 2 400 < 3 272 < 6545 < 96 000									
Smyková výtěž									
1. řada z=0.073									
2. řada z=0.080									
3. řada z=0.250									
4. řada z=0.073									
Stupeň výtěžení									
dle 9.6.2 2 400 < 3 272 < 6545 < 96 000									
Smyková výtěž									
1. řada z=0.073									
2. řada z=0.080									
3. řada z=0.250									
4. řada z=0.073									
Stupeň výtěžení									
dle 9.6.2 2 400 < 3 272 < 6545 < 96 000									
Smyková výtěž									
1. řada z=0.073									
2. řada z=0.080									
3. řada z=0.250									
4. řada z=0.073									
Stupeň výtěžení									
dle 9.6.2 2 400 < 3 272 < 6545 < 96 000									
Smyková výtěž									
1. řada z=0.073									
2. řada z=0.080									
3. řada z=0.250									
4. řada z=0.073									
Stupeň výtěžení									
dle 9.6.2 2 400 < 3 272 < 6545 < 96 000									
Smyková výtěž									
1. řada z=0.073									
2. řada z=0.080									
3. řada z=0.250									
4. řada z=0.073									
Stupeň výtěžení									
dle 9.6.2 2 400 < 3 272 < 6545 < 96 000									
Smyková výtěž									
1. řada z=0.073									
2. řada z=0.080									
3. řada z=0.250									
4. řada z=0.073									
Stupeň výtěžení									
dle 9.6.2 2 400 < 3 272 < 6545 < 96 000									
Smyková výtěž									
1. řada z=0.073									
2. řada z=0.080									
3. řada z=0.250									
4. řada z=0.073									
Stupeň výtěžení									
dle 9.6.2 2 400 < 3 272 < 6545 < 96 000									
Smyková výtěž									
1. řada z=0.073									
2. řada z=0.080									
3. řada z=0.250									
4. řada z=0.073									
Stupeň výtěžení									
dle 9.6.2 2 400 < 3 272 < 6545 < 96 000									
Smyková výtěž									
1. řada z=0.073									
2. řada z=0.080									
3. řada z=0.250									
4. řada z=0.073									
Stupeň výtěžení									
dle 9.6.2 2 400 < 3 272 < 6545 < 96 000									
Smyková výtěž									
1. řada z=0.073									
2. řada z=0.080									
3. řada z=0.250									
4. řada z=0.073									
Stupeň výtěžení									
dle 9.6.2 2 400 < 3 272 < 6545 < 96 000									
Smyková výtěž									
1. řada z=0.073									
2. řada z=0.080									
3. řada z=0.250									
4. řada z=0.073									
Stupeň výtěžení									
dle 9.6.2 2 400 < 3 272 < 6545 < 96 000									
Smyková výtěž									
1. řada z=0.073									
2. řada z=0.080									
3. řada z=0.250									
4. řada z=0.073									
Stupeň výtěžení									
dle 9.6.2 2 400 < 3 272 < 6545 < 96 000									
Smyková výtěž									
1. řada z=0.073									
2. řada z=0.080									
3. řada z=0.250									
4. řada z=0.073									
Stupeň výtěžení									
dle 9.6.2 2 400 < 3 272 < 6545 < 96 000									
Smyková výtěž									
1. řada z=0.073									
2. řada z=0.080									
3. řada z=0.250									
4. řada z=0.073									
Stupeň výtěžení									
dle 9.6.2 2 400 < 3 272 < 6545 < 96 000									
Smyková výtěž									
1. řada z=0.073									
2. řada z=0.080									
3. řada z=0.250									
4. řada z=0.073									
Stupeň výtěžení									
dle 9.6.2 2 400 < 3 272 < 6545 < 96 000									
Smyková výtěž									
1. řada z=0.073									
2. řada z=0.080									
3. řada z=0.250									
4. řada z=0.073									
Stupeň výtěžení									
dle 9.6.2 2 400 < 3 272 < 6545 < 96 000									
Smyková výtěž									
1. řada z=0.073									
2. řada z=0.080									
3. řada z=0.250									
4. řada z=0.073									
Stupeň výtěžení									
dle 9.6.2 2 400 < 3 272 < 6545 < 96 000									
Smyková výtěž									
1. řada z=0.073									
2. řada z=0.080									
3. řada z=0.250									
4. řada z=0.073									
Stupeň výtěžení									
dle 9.6.2 2 400 < 3 272 < 6545 < 96 000									
Smyková výtěž									
1. řada z=0.073									
2. řada z=0.080									
3. řada z=0.250									
4. řada z=0.073									
Stupeň výtěžení									
dle 9.6.2 2 400 < 3 272 < 6545 < 96 000									
Smyková výtěž									
1. řada z=0.073									
2. řada z=0.080									
3. řada z=0.250									
4. řada z=0.073									
Stupeň výtěžení									
dle 9.6.2 2 400 < 3 272 < 6545 < 96 000									
Smyková výtěž									
1. řada z=0.073									
2. řada z=0.080									
3. řada z=0.250									
4. řada z=0.073									
Stupeň výtěžení									
dle 9.6.2 2 400 < 3 272 < 6545 < 96 000									
Smyková výtěž									
1. řada z=0.073									
2. řada z=0.080									
3. řada z=0.250									
4. řada z=0.073									
Stupeň výtěžení									
dle 9.6.2 2 400 < 3 272 < 6545 < 96 000									
Smyková výtěž									
1. řada z=0.073									
2. řada z=0.080									
3. řada z=0.250									
4. řada z=0.073									
Stupeň výtěžení									
dle 9.6.2 2 400 < 3 272 < 6545 < 96 000									
Smyková výtěž									
1. řada z=0.073									
2. řada z=0.080									
3. řada z=0.250									
4. řada z=0.073									
Stupeň výtěžení									
dle 9.6.2 2 400 < 3 272 < 6545 < 96 000									
Smyková výtěž									
1. řada z=0.073									
2. řada z=0.080									
3. řada z=0.250									
4. řada z=0.073									
Stupeň výtěžení									
dle 9.6.2 2 400 < 3 272 < 6545 < 96 000									
Smyková výtěž									
1. řada z=0.073									
2. řada z=0.080									
3. řada z=0.250									
4. řada z=0.073									
Stupeň výtěžení									
dle 9.6.2 2 400 < 3 272 < 6545 < 96 000									
Smyková výtěž									
1. řada z=0.073									
2. řada z=0.080									
3. řada z=0.250									
4. řada z=0.073									
Stupeň výtěžení									
dle 9.6.2 2 400 < 3 272 < 6545 < 96 000									
Smyková výtěž									
1. řada z=0.073									
2. řada z=0.080									
3. řada z=0.250									
4. řada z=0.073									
Stupeň výtěžení									
dle 9.6.2 2 400 < 3 272 < 6545 < 96 000									
Smyková výtěž									
1. řada z=0.073									
2. řada z=0.080									
3. řada z=0.250									
4. řada z=0.073									
Stupeň výtěžení									
dle 9.6.2 2 400 < 3 272 < 6545 < 96 000									
Smyková výtěž									
1. řada z=0.073									
2. řada z=0.080									
3. řada z=0.250									
4. řada z=0.073									
Stupeň výtěžení									
dle 9.6.2 2 400 < 3 272 < 6545 < 96 000									
Smyková výtěž									
1. řada z=0.073									
2. řada z=0.080									
3. řada z=0.250									
4. řada z=0.073									
Stupeň výtěžení									
dle 9.6.2 2 400 < 3 272 < 6545 < 96 000									
Smyková výtěž									
1. řada z=0.073									
2. řada z=0.080									
3. řada z=0.250									
4. řada z=0.073									
Stupeň výtěžení									
dle 9.6.2 2 400 < 3 272 < 6545 < 96 000									
Smyková výtěž									
1. řada z=0.073									
2. řada z=0.080									
3. řada z=0.250									
4. řada z=0.073									
Stupeň výtěžení									
dle 9.6.2 2 400 < 3 272 < 6545 < 96 000									
Smyková výtěž									
1. řada z=0.073									
2. řada z=0.080									
3. řada z=0.250									
4. řada z=0.073									
Stupeň výtěžení									
dle 9.6.2 2 400 < 3 272 < 6545 < 96 000									
Smyková výtěž									
1. řada z=0.073									
2. řada z=0.080									
3. řada z=0.250									
4. řada z=0.073									
Stupeň výtěžení									
dle 9.6.2 2 400 < 3 272 < 6545 < 96 000									
Smyková výtěž									
1. řada z=0.073									
2. řada z=0.080									
3. řada z=0.250									
4. řada z=0.073									
Stupeň výtěžení									
dle 9.6.2 2 400 < 3 272 < 6545 < 96 000									
Smyková výtěž									
1. řada z=0.073									
2. řada z=0.080									
3. řada z=0.250									
4. řada z=0.073									
Stupeň výtěžení									
dle 9.6.2 2 400 < 3 272 < 6545 < 96 000									
Smyková výtěž									
1. řada z=0.073									
2. řada z=0.080									
3. řada z=0.250									
4. řada z=0.073									
Stupeň výtěžení									
dle 9.6.2 2 400 < 3 272 < 6545 < 96 000									
Smyková výtěž									
1. řada z=0.073									
2. řada z=0.080									
3. řada z=0.250									
4. řada z=0.073									
Stupeň výtěžení									
dle 9.6.2 2 400 < 3 272 < 6545 < 96 000									
Smyková výtěž									
1. řada z=0.073									
2. řada z=0.080									
3. řada z=0.250									
4. řada z=0.073									
Stupeň výtěžení									
dle 9.6.2 2 400 < 3 272 < 6545 < 96 000									
Smyková výtěž									
1. řada z=0.073									
2. řada z=0.080									
3. řada z=0.250									
4. řada z=0.073									
Stupeň výtěžení									
dle 9.6.2 2 400 < 3 272 < 6545 < 96 000									
Smyková výtěž									
1. řada z=0.073									
2. řada z=0.080									
3. řada z=0.250									
4. řada z=0.073									
Stupeň výtěžení									
dle 9.6.2 2 400 < 3 272 < 6545 < 96 000									
Smyková výtěž									
1. řada z=0.073									
2. řada z=0.080									
3. řada z=0.250									
4. řada z=0.073									
Stupeň výtěžení									
dle 9.6.2 2 400 < 3 272 < 6545 < 96 000									
Smyková výtěž									
1. řada z=0.073									
2. řada z=0.080									
3. řada z=0.250									
4. řada z=0.073									
Stupeň výtěžení									
dle 9.6.2 2 400 < 3 272 < 6545 < 96 000									
Smyková výtěž									
1. řada z=0.073									
2. řada z=0.080									
3. řada z=0.250									
4. ř									

ZVÝŠENÍ ZEMNÍHO TLAKU OD PŘÍTIŽENÍ ZA OPĚROU - TLAK V KLIDU - OP2

GEOMETRIE KONSTRUKCE

Výška opěry:	$H =$	8.00	m	Typ přitížení:	Pásové
Výška zasypu:	$H_z =$	8.00	m	Velikost přitížení:	$f_z = 26.44$ kN/m ²
Výška zasypu nad opěrou:	$H_r =$	0.00	m	Počátek působíště	$x = 0.00$ m
				Délka zatížení	$b = 6.40$ m

PARAMETRY ZEMINY

Objemová hmotnost:	$\gamma =$	20.00	kN/m ³	Úhel vnitřního tření:	$\varphi_{ef} = 35.50$ °
Součinitel zatížení - stálé	$\gamma_F =$	1.35	-	Materiálový součinitel:	$\gamma_\varphi = 1.25$ -
Součinitel zatížení - nahodilé	$\gamma_F =$	1.45	-	Návrhový úhel vnitř. tření:	$\varphi_d = 29.71$ °

PARAMETRY VÝPOČTU DLE EN 1997

Návrhový přístup:	Přístup 2 - redukce zatížení
-------------------	------------------------------

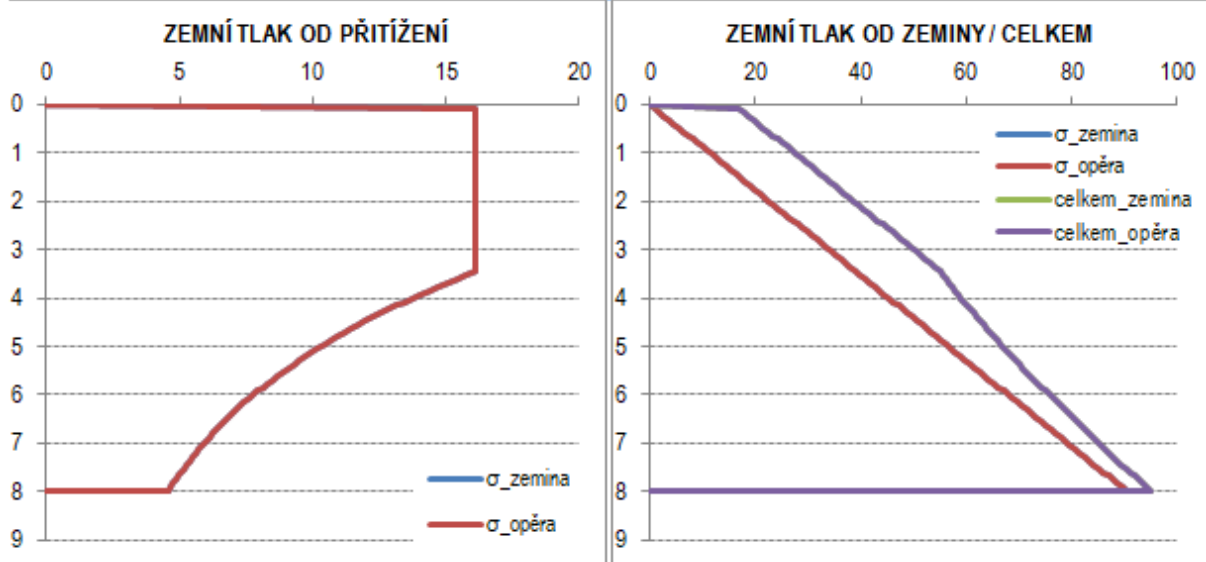
CELKOVÉ VÝSLEDKY ZEMNÍCH TLAKŮ

Výslednice od zeminy	$F_z =$	362.27	kN/m'	Působíště výslednice shora	$r_z = 5.33$ m
Moment v ZS od zeminy	$M_p =$	966.11	kNm/m'	Rameno k patě opěry	$r = 2.67$ m
Výslednice od přitížení	$F_p =$	95.93	kN	Působíště výslednice shora	$r_p = 3.25$ m
Moment v ZS od přitížení	$M_p =$	455.76	kNm	Rameno k patě opěry	$r = 4.75$ m

VÝSLEDKY SIL PŮSOBÍCÍCH NA OPĚRU

Výslednice od zeminy	$F_z =$	362.27	kN/m'	Působíště výslednice shora	$r_z = 5.33$ m
Moment v ZS od zeminy	$M_p =$	966.11	kNm/m'	Rameno k patě opěry	$r = 2.67$ m
Výslednice od přitížení	$F_p =$	95.93	kN	Působíště výslednice shora	$r_p = 3.25$ m
Moment v ZS od přitížení	$M_p =$	455.76	kNm	Rameno k patě opěry	$r = 4.75$ m

GRAFICKÉ ZOBRAZENÍ



ZVÝŠENÍ ZEMNÍHO TLAKU OD PŘÍTÍŽENÍ ZA OPĚROU - TLAK V KLIDU - OP2

GEOMETRIE KONSTRUKCE

Výška opěry:	$H=$	8.00	m	Typ přitížení:	Pásové
Výška zásypu:	$H_z=$	8.00	m	Velikost přitížení:	$f_z=$ 13.54 kN/m ²
Výška zásypu nad opěrou:	$H_f=$	0.00	m	Počátek působení	$x=$ 6.40 m
				Délka zatížení	$b=$ 100.00 m

PARAMETRY ZEMINY

Objemová hmotnost	$\gamma=$	20.00	kN/m ³	Úhel vnitřního tření:	$\varphi_{ef}=$ 35.50 °
Součinitel zatížení - stálé	$\gamma_F=$	1.35	-	Materiálový součinitel:	$\gamma_\varphi=$ 1.25 -
Součinitel zatížení - nahodilé	$\gamma_F=$	1.45	-	Návrhový úhel vnitř. tření:	$\varphi_d=$ 29.71 °

PARAMETRY VÝPOČTU DLE EN 1997

Návrhový přístup:	Přístup 2 - redukce zatížení
-------------------	------------------------------

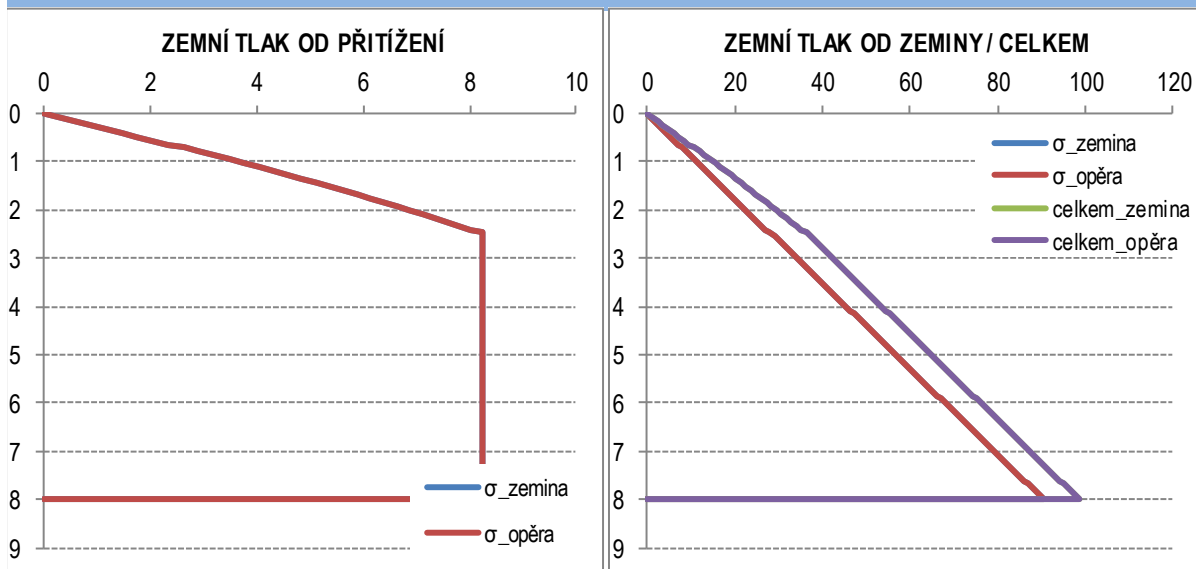
CELKOVÉ VÝSLEDKY ZEMNÍCH TLAKŮ

Výslednice od zeminy	$F_z=$	362.27	kN/m'	Působíště výslednice shora	$r_z=$	5.33	m
Moment v ZS od zeminy	$M_p=$	966.11	kNm/m'	Rameno k patě opěry	$r=$	2.67	m
Výslednice od přitížení	$F_p=$	56.17	kN	Působíště výslednice shora	$r_p=$	4.55	m
Moment v ZS od přitížení	$M_p=$	193.71	kNm	Rameno k patě opěry	$r=$	3.45	m

VÝSLEDKY SIL PŮSOBÍCÍCH NA OPĚRU

Výslednice od zeminy	$F_z=$	362.27	kN/m'	Působíště výslednice shora	$r_z=$	5.33	m
Moment v ZS od zeminy	$M_p=$	966.11	kNm/m'	Rameno k patě opěry	$r=$	2.67	m
Výslednice od přitížení	$F_p=$	56.17	kN	Působíště výslednice shora	$r_p=$	4.55	m
Moment v ZS od přitížení	$M_p=$	193.71	kNm	Rameno k patě opěry	$r=$	3.45	m

GRAFICKÉ ZOBRAZENÍ



K vnitřním silám od přetížení za opěrou jsou uvažovány reakce z nosné konstrukce viz souhrn ložisek.

VNITŘNÍ SÍLY NA DŘÍKU OP2

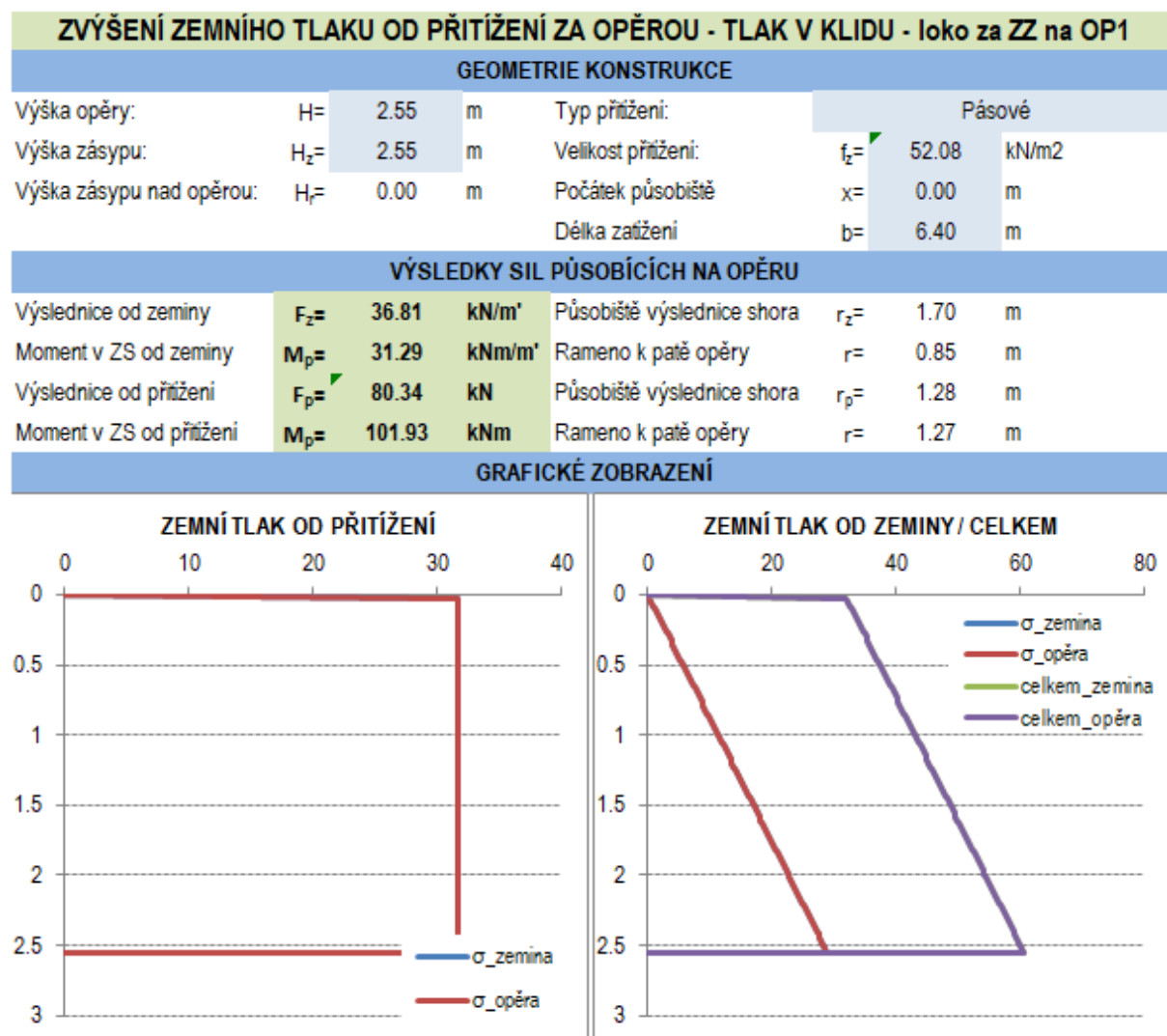
geometrie závěrné zidky					
výška dříku k ložisku:	H=	5.57	m	šířka dříku:	B= 2.40 m
šířka dříku opěry:	B=	6.50	m	průřezová plocha dříku:	A= 14.310 m ²
úhel roznášení v betonu:	φ =	30.00	°	excentricita dříku k ose:	e_G = -0.079 m
vlastní tíha dříku:	G=	357.74	kN/m'	excentricita ložiska k ose:	e_L = 0.60 m
moment od vlastní tíhy:	M_G =	-28.26	kN/m'		
zatížení zeminou (charakteristické hodnoty)					
vodorovná síla od zásypu:	F_z =	268.35	kN/m'	moment od zásypu:	M_z = 715.64 kNm/m'
přetížení od dopravy (charakteristické hodnoty)					
vodorovná síla:	F_z =	104.90	kN/m'	moment:	M_z = 447.91 kNm/m'
reakce z nosné konstrukce					
svislá reakce - MSÚ:	$R_{z,Ed}$ =	4.52	MN	svislá reakce - char:	$R_{z,EK}$ = 3.56 MN
vodorovná reakce - MSÚ:	$R_{x,Ed}$ =	0.18	MN	vodorovná reakce - char:	$R_{x,EK}$ = 0.12 MN
moment - MSÚ:	M_{Ed} =	574.28	kNm/m'	moment - char:	M_{EK} = 376.34 kNm/m'
svislá reakce - kvazi:	$R_{z,quasi}$ =	2.05	MN		
vodorovná reakce - kvazi:	$R_{x,quasi}$ =	0.08	MN	moment - kvazi:	M_{quasi} = 219.10 kNm/m'
Celkové účinky					
kombinační souč. stálého zat.	$\xi\psi$ =	1.35	-	kombinační souč. dopravy:	$\xi\psi$ = 1.45 -
MSÚ (6.10b)					
posouvající síla:	Q=	542.53	kN/m'	normálová síla:	N= 1178.95 kN/m'
				ohybový moment:	M= 2151.71 kN/m'
Charakteristická kombinace (6.14)					
normálová síla:	N=	905.90	kN/m'	ohybový moment:	M= 1511.63 kN/m'
Kvazistálá kombinace (6.16)					
normálová síla:	N=	672.36	kN/m'	ohybový moment:	M= 906.48 kN/m'

S ohledem na nízká namáhání a robustnost průřezu bude do opěry navržena konstrukční výztuž splňující podmínky minimálního vyztužení dle 9.6.2 (1) ČSN EN 1992-1-1 (minimálně Ø20 à 150 mm při obou površích).

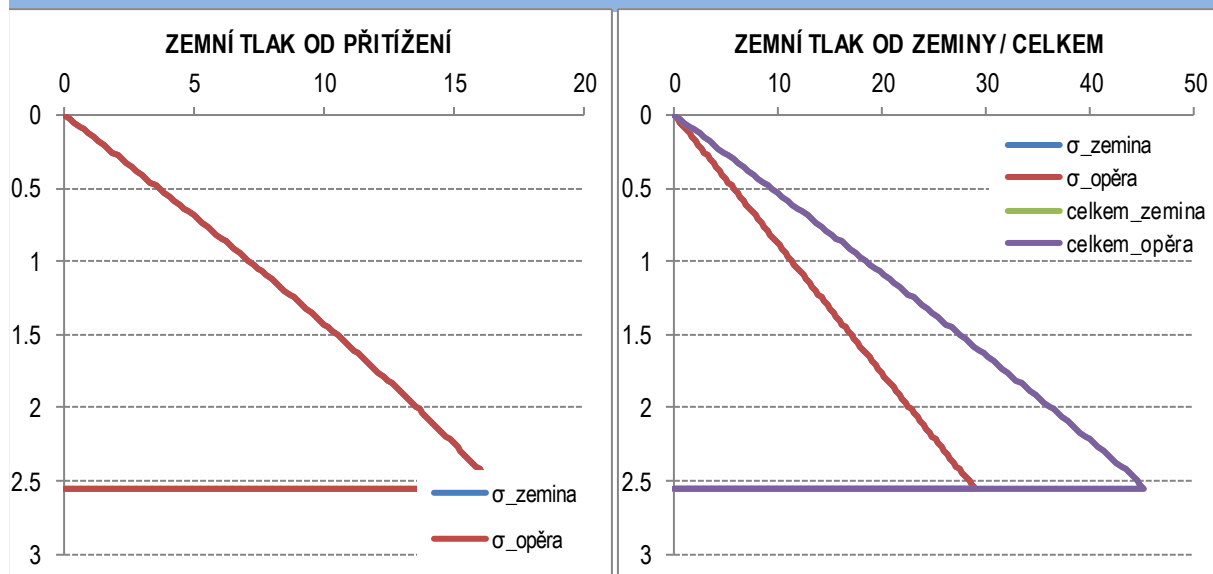
Dřik opěry OP2																										
Průřez																										
b _{ef} = 1000 mm c ₁ = 50 mm		b _w = 1000 mm c ₂ = 50 mm	H = 2400 mm W _{k,max} = 0.20 mm	XD, XS, XF																						
Materiály																										
ocel: B 500 B		beton: C30/37		f _{yk} = 30.0 MPa																						
f _{yk} = 500 MPa	γ _s = 1.15	-	σ _{oc} = 0.9	-	E _{cm} = 33.0 GPa																					
f _{yk} = 434.8 MPa	e _{ed} /e _{yk} = 0.9	-	γ _c = 1.5	-	f _{td} = 18.0 MPa																					
E _y = 200.0 GPa	k = f _{yk} /f _y = 1.08	-	α _k = 6.05	-	f _{ct,1m} = 2.9 MPa																					
e _{yk} = 50 [10 ⁻³]	e _{ed} = -1.75	-	e _{ed,3} = -3.5 [10 ⁻³]																							
Ohybová výtěž																										
6.6667 Φ 25 mm		1. řada	A _{s,1} = 3272 mm ²	(0.136%)																						
0 Φ 20 mm		2. řada	A _{s,2} = mm ²	(0.000%)																						
0 Φ 20 mm		3. řada	A _{s,3} = mm ²	(0.000%)																						
6.6667 Φ 25 mm		z=0.073	A _{s2} = 3272 mm ²	(0.136%)																						
Rozdělovací výtěž (minimální)																										
14.0 Φ 8 mm	A _{s,perp} = 654 mm ²	Slupář výtěžení																								
(pro desky)																										
dle 9.6.2 2.400 < 3.272 < 6545 < 96.000 Vyhovuje																										
Smyková výtěž																										
3.3333 Φ 10 mm		A _{w,sloup} = 262 mm ²	α _w = 90																							
S _{w,sl} = 150 mm		A _{w,sloup} = 1745 mm ² /m ²	ρ _{ws} = 0.17%																							
0 Φ 16 mm		A _{w,bend} = mm ²	α _b = 45																							
S _{w,b} = 450 mm		ρ _{w,b} = 0.00% < ρ _{w,s} = 0.17%	Vyhovuje																							
Slupář výtěžení																										
ρ _{w,s,min} < ρ _{w,s} < ρ _{w,s,max}																										
0.09% 0.17% 1.00% Vyhovuje																										
Vnitřní síly na průřezu																										
M _{Ed} = 2152 kNm	N _{Ed} = -1179 kN	V _{Ed} = 543 kN	e _{Ed} = 1.825 m	(MSU)																						
Excentricita pro MSU:																										
M _{Ed,char} = 1512 kNm	N _{Ed,char} = -906 kN	e _{char} = 1.659 m	(Charakteristická)																							
M _{Ed,kvazi} = 906 kNm	N _{Ed,kvazi} = -672 kN	e _{kvazi} = 1.348 m	(Kvazistála)																							
Střihlostní kritérium																										
L ₀ = 0.7 * 0 = 0.000 m	veřknutí-kroub	L = 0.00 m																								

7.1.3 Závěrná zídka

Závěrná zídka je navržena na kombinaci přetížení od zeminy vč. přetížení od dopravy. Navíc je uvažována excentrická síla od nápravy na závěrné zídce. Jednotlivá zatížení a kombinační hodnoty včetně posudku viz dále. Namáhání závěrné zídky je uvažováno pro zvětšenou roznášecí šíři pražce 3,0 m (bezpečný předpoklad). Závěrné zídky jsou na obou opěrách totožné.



GRAFICKÉ ZOBRAZENÍ



VNITŘNÍ SÍLY NA ZÁVĚRNÉ ZÍDCE

geometrie závěrné zidky

výška závěrné zidky:	H=	2.55	m	šířka závěrné zidky:	B=	0.60	m
úhel roznášení v betonu:	φ =	30.00	°	průřezová plocha ZZ:	A=	1.560	m ²
vlastní tíha ZZ:	G=	39.00	kN/m'	excentricita ZZ k ose:	e_G =	0.130	m
moment od vlastní tíhy:	M_G =	5.07	kN/m'				

zatížení zeminou (charakteristické hodnoty)

vodorovná síla od zásypu:	F_z =	27.30	kN/m'	moment od zásypu:	M_z =	23.18	kNm/m'
---------------------------	---------	-------	-------	-------------------	---------	-------	--------

zatížení dopravou (charakteristické hodnoty)

klasifikační součinitel:	α =	1.10	-				
vodorovná síla přetížení-loko:	$F_{z,loko}$ =	55.41	kN/m'	vodorovná síla přetížení-vlak:	$F_{z,rovno}$ =	15.37	kN/m'
moment přetížení-loko:	$M_{y,loko}$ =	70.30	kNm/m'	moment přetížení-vlak:	$M_{y,rovno}$ =	13.34	kNm/m'

Celkové účinky

kombinační souč. stálého zat.	$\xi\psi$ =	1.35	-	kombinační souč. dopravy:	$\xi\psi$ =	1.45	-
-------------------------------	-------------	------	---	---------------------------	-------------	------	---

MSÚ (6.10)

posouvající síla:	Q =	139.49	kN/m'	normálová síla:	N =	52.65	kN/m'
				ohybový moment:	M =	159.42	kN/m'

Charakteristická kombinace (6.14)

normálová síla:	N =	39.00	kN/m'	ohybový moment:	M =	111.89	kN/m'
-----------------	-------	-------	-------	-----------------	-------	--------	-------

Kvazistálá kombinace (6.16)

normálová síla:	N =	39.00	kN/m'	ohybový moment:	M =	28.25	kN/m'
-----------------	-------	-------	-------	-----------------	-------	-------	-------

- závěrná zídka

Závěrná zídka opěry OP1									
Průřez									
b _{efl} = 1000 mm	b _w = 1000 mm	H = 600 mm							
c ₁ = 50 mm	c ₂ = 50 mm	w _{k,max} = 0.20 mm							
Materiály									
ocel: B 500 B		beton: C30/37							
f _{yk} = 500 MPa	f _y = 1.15	α _{cc} = 0.9	E _{cm} = 33.0 GPa						
f _{yk} = 434.8 MPa	ε _{sd} /ε _{yk} = 0.9	V _c = 1.5	f _{cd} = 18.0 MPa						
E _y = 200.0 GPa	k = f _t /f _y = 1.08	α _e = 6.06	f _{ct,m} = 2.9 MPa						
ε _{yk} = 50 [-10 ⁻³]	ε _{s3} = -1.75	ε _{cu3} = -3.5 [-10 ⁻³]							
Ohybová výtěž									
6.66667 φ 16 mm	1. řada	A _{s1,1} = 1340 mm ²	(0.223%)						
0 φ 20 mm	2. řada	A _{s1,2} = mm ²	(0.000%)						
0 φ 20 mm	3. řada	A _{s1,3} = mm ²	(0.000%)						
6.66667 φ 16 mm		A _{s2} = 1340 mm ²	(0.223%)						
Rozdělovací výtěž (minimální)									
6.0 φ 8 mm	A _{s,perp} = 268 mm ²								
(pro desky)									
Smyková výtěž									
3.33333 φ 8 mm	A _{w,atrup} = 168 mm ²	α _w = 90							
S _{w,at} = 300 mm	A _{w,atrup} = 559 mm ² /m ²	P _{ws} = 0.06%							
0 φ 16 mm	A _{w,bend} = mm ²	α _b = 45							
S _{w,b} = 450 mm	P _{w,b} = 0.00% < P _{ws} = 0.06%	Vyhovuje							
Stupeň výtěžení									
P _{ws,min} < P _{ws} < P _{ws,max}									
0.09% 0.06% 1.00% Vyhovuje									
Vnitřní síly na průřezu									
M _{Ed} = 160 kNm	N _{Ed} = -53 kN	V _{Ed} = 140 kN	(MSU)						
Excentricita pro MSU:									
M _{Ed,char} = 112 kNm	N _{Ed,char} = -39 kN	e _{char} = 2.872 m							
M _{Ed,kvazí} = 28 kNm	N _{Ed,kvazí} = -39 kN	e _{k,kvazí} = 0.724 m							
Štíhlostní kritérium									
l ₀ = 0.7 * 0 = 0.000 m	N _{Ed} = 0.000 m	veškrutí-kloub	L = 0.00 m						
i = √(0.018 / 0.600) = 0.173 m	λ _{lim} = 154.255	λ = 0.000	λ = 0.000 / 0.173 = 0.000						
Posouzení									
Masivní prvek									
V _{Ed,c} = (0.12 * 1.612 * 0.251 * 30.0) + 0.15 * 0.088 = 1.000									
V _{Ed,c} = 0.217 MN	V _{Ed} = 0.140 MN	64% Vyhovuje							
Smyková únosnost - se smykovou výtěž									
1 < cot θ = 1.428 < 2.5	θ = 35.00°	Vyhovuje							
Sklon tlakových diagonál součinitel redukce únosnosti tlak. diag.									
Dodatečná tahová síla									
ΔF _{td} = 1 * 140 * (1.428 - 0.000) = 0.199 MN									
Únosnost tlakové diagonály									
V _{Ed,max} = 0.528 * 18.0 * 1000 * 484 / (0.70021 + 1.42815) = 2.160 MN									
Únosnost třmínků									
V _{Ed,at} = 168 * 434.8 * 0.484 * 1.42815 / 300 = 0.168 MN									
Únosnost ohybů									
V _{Ed,b} = 0 * 434.8 * 0.707 * 0.484 * 2.42815 / 450 = 0.000 MN									
Posouzení									
V _{Ed,s} = 0.168 MN	V _{Ed} = 0.140 MN	83% Vyhovuje							

Stavování napjatosti průřezu na MSU (M+N+V)									
Přetvoření betonu v tlaku			ε _{sc} = -0.409 [-10 ⁻³]			Úprava polohy N.O.			
excentricita tlačných vláken			ε _{sv} = 0.142 m			+0.1 mm			
						+1.0 mm			
						-1.0 mm			
vzdálenost N.O. od spodních vláken									
celkem			ε _s = 0.458 m			Silová podmínka vyhovuje			
Momentová podm. rovnováhy			M _{Ed} = -0.0008 MN			rameno vnitřních sil z = 0.484 m			
Interakce ohybového a smykového namáhání			0.160 MNm						
Silová podmínka		G _{max}		Posouzení					
Materiál	Síla M [MN]	Síla V [MN]	σ _{max} [-10 ⁻³]	σ _{max} [MPa]					
Beton	-0.298	-	-4.205	-0.4	Max. přetvoření betonu vyhovuje				
Výtěž (1)	0.303	0.100	300.7	1.5	Max. přetvoření výtěž vyhovuje				
Výtěž (2)	0.000	0.000	0.0	0.0	Max. přetvoření výtěž vyhovuje				
Výtěž (3)	0.000	0.000	0.0	0.0	Max. přetvoření výtěž vyhovuje				
Výtěž tl.	-0.059	0.100	30.9	0.2	Max. přetvoření výtěž vyhovuje				
Posouzení - beton		f _{cd} = 18.000 MPa	>	σ _{cc} = 4.205 MPa	23% Vyhovuje				
Posouzení - ocel		f _{sd} = 465.929 MPa	>	σ _s = 300.654 MPa	65% Vyhovuje				
Napětí v betonu									
Poloha N.O.			Přetvoření průřezu			Napětí v betonu			
Mezní stav použitelnosti - omezení napětí									
Posouzení - beton		0.6.f _{ck} = 18.000 MPa	>	σ _{cc} = 1.842 MPa	10% Vyhovuje				
Posouzení - ocel		0.8.f _{yk} = 400.000 MPa	>	σ _{s,max} = 8.025 MPa	2% Vyhovuje				
Napětí v betonu									
Poloha N.O.			Přetvoření průřezu			Napětí v betonu			
Mezní stav použité nosnosti - výpočet trhlin									
Posouzení - beton		0.45.f _{ck} = 13.500 MPa	>	σ _{cc} = 0.512 MPa	4% lin. dotvar				
Napětí v oceli		σ _{s,max} = 1.737 MPa	Dlouhodobé účinky: Ano						
ε _{sm} -f _{ctm} = (1.737 - 0.4 * 350.5061) / 200.0 = -0.0007									
ε _{sm} -ε _{ctm} = 0.6 * 1.737 / 200.0 = 5.21E-06									
S _{t,max} = 1.94008 * 58 + 0.17 * 1933.827 = 441 mm									
w _k = 441 * 5.21E-06 = 0.002 mm									
Posouzení		w _{k,max} = 0.200 mm	>	σ _{ct} = 0.385 MPa	Trhliny nevznikají Vyhovuje				

S ohledem na velká namáhání křídel v místě napojení závěrné zídky na úložný práh bylo v rámci 3D modelu provedeno ověření dimenzí závěrné zídky v tomto rámovém rohu. Grafické výsledky včetně posouzení výztuže viz dále.

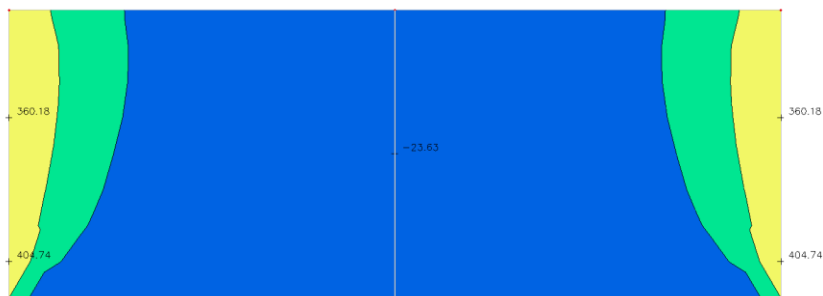
- Ohybová výztuž

Ø12/150 mm ■ Ø16/150 mm ■ Ø20/150 mm ■ Ø25/150 mm ■

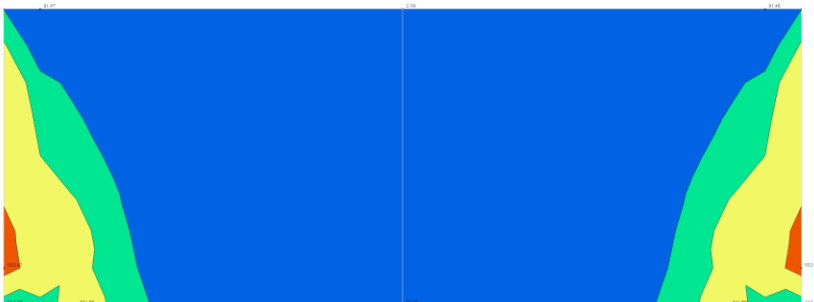
- Smyková výztuž

Ø8/300x150 mm ■ Ø10/300x150 mm ■ Ø12/300x150 mm ■

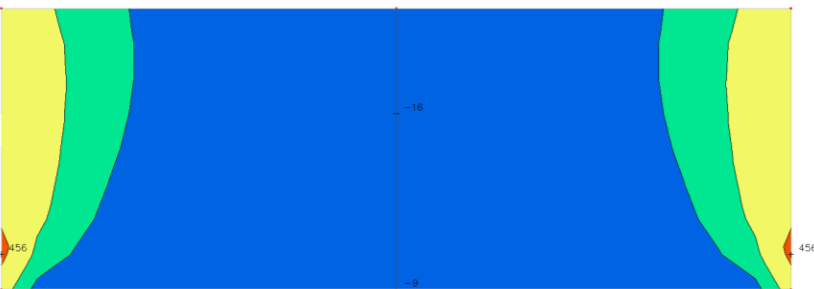
– závěrná zídka OP1 – vodorovná rubová výztuž



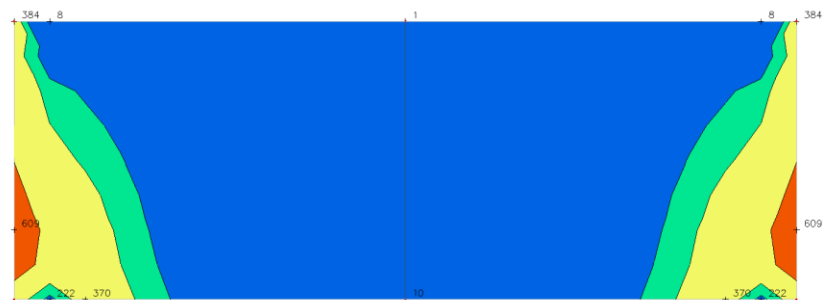
– závěrná zídka OP1 – smyková výztuž



– závěrná zídka OP2 – vodorovná rubová výztuž

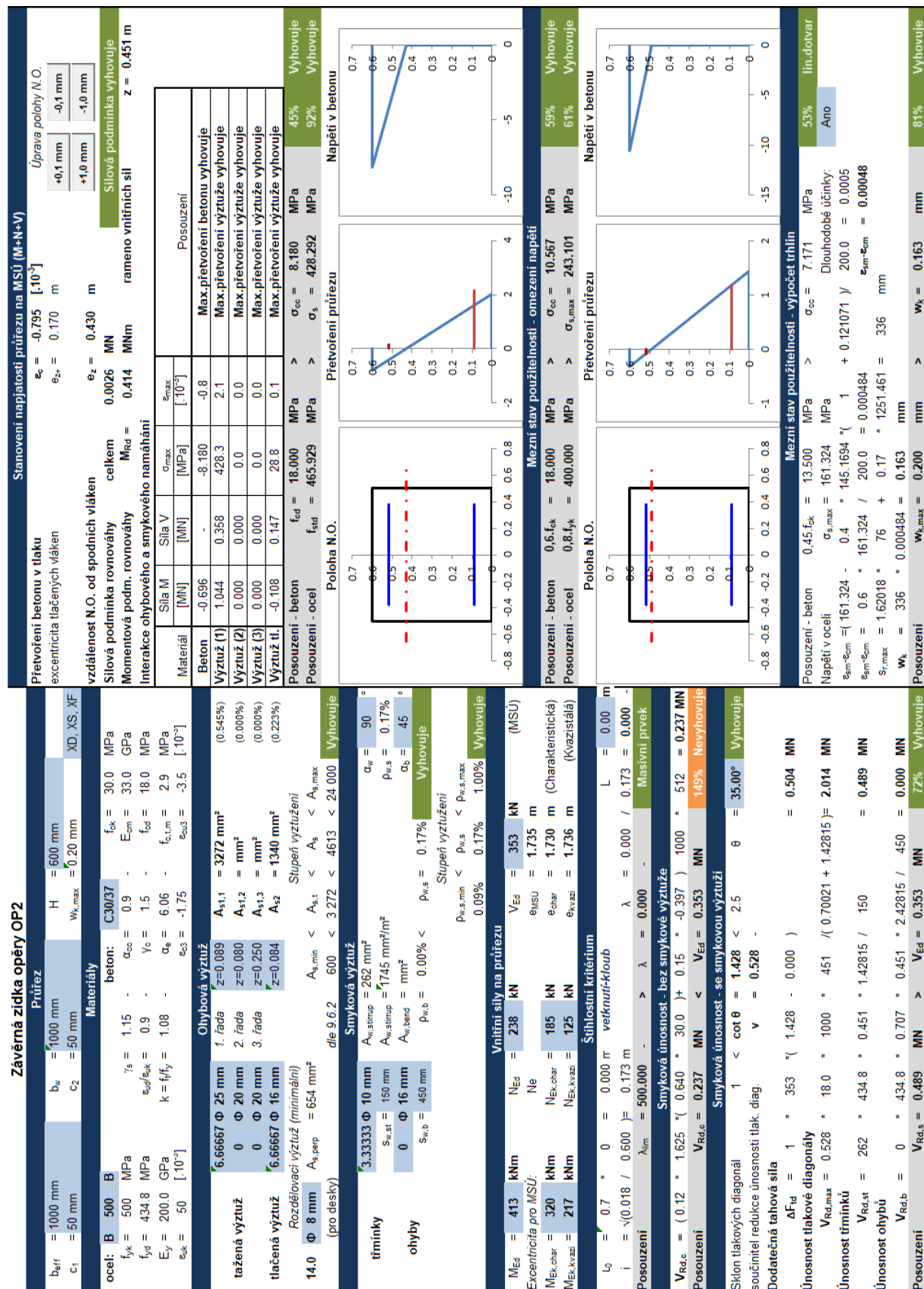


– závěrná zídka OP2 – smyková výztuž



Závěrná zidka opěry OP1																					
Průřez	b _{ef} = 1000 mm		H = 600 mm		W _{k,max} = 0.20 mm		XD, XS, XF														
	C ₂ = 50 mm																				
	Materiály																				
ocel: B 500 B	beton: C30/37																				
	f _{yk} = 500 MPa		f _{ck} = 30.0 MPa																		
	f _{yk} = 434.8 MPa		E _{cm} = 33.0 GPa																		
	E _y = 200.0 GPa		f _{td} = 18.0 MPa																		
	E _{yk} = 50 [·10 ³]		f _{ck,1,m} = 2.9 MPa																		
			e _{sd} = -1.75																		
Ohybová výtěž																					
tažená výtěž	6.66667 Ø 25 mm		A _{s,1} = 3272 mm ²		(0.545%)																
	Ø 20 mm		A _{s,2} = mm ²		(0.000%)																
	Ø 20 mm		A _{s,3} = mm ²		(0.000%)																
tlačená výtěž	6.66667 Ø 16 mm		A _{s2} = 1340 mm ²		(0.223%)																
	Rozdělovací výtěž (minimální)		Stupeň výtěžení																		
14.0 Ø 8 mm	A _{s,perp} = 654 mm ²		A _{s,min} < A _{s1} < A _{s2} < A _{s3} < A _{s,max}		dle 9.6.2 600 < 3 272 < 4613 < 24 000																
(pro desky)																					
Smyková výtěž																					
třímkiny	3.33333 Ø 12 mm		A _{wt,strip} = 377 mm ²		α _w = 90																
	S _{wt,sl} = 150 mm		A _{wt,sl} = 2513 mm ² /m ²		P _{u,s} = 0.25%																
	Ø 16 mm		A _{wt,bend} = mm ²		α _b = 45																
ohyby	Ø 16 mm		P _{u,s} = 0.00% < P _{u,s} = 0.25%		Vyhovuje																
	S _{wt,b} = 450 mm		Stupeň výtěžení		P _{u,s,min} < P _{u,s} < P _{u,s,max}																
Vnitřní síly na průřezu																					
Me _{Ed} = 356 kNm	N _{Ed} = 162 kN		V _{Ed} = 357 kN		(MSJ)																
	e _{MSJ} = 2.198 m		e _{MSJ} = 1.514 m		(Charakteristická)																
	M _{Ed, char} = 280 kNm		e _{Ed, char} = 1.320 m		(Kvazistálá)																
Štíhlostní kritérium																					
l ₀ = 0.7 * 0 = 0.000 m		veknutí-klob		L = 0.00 m																	

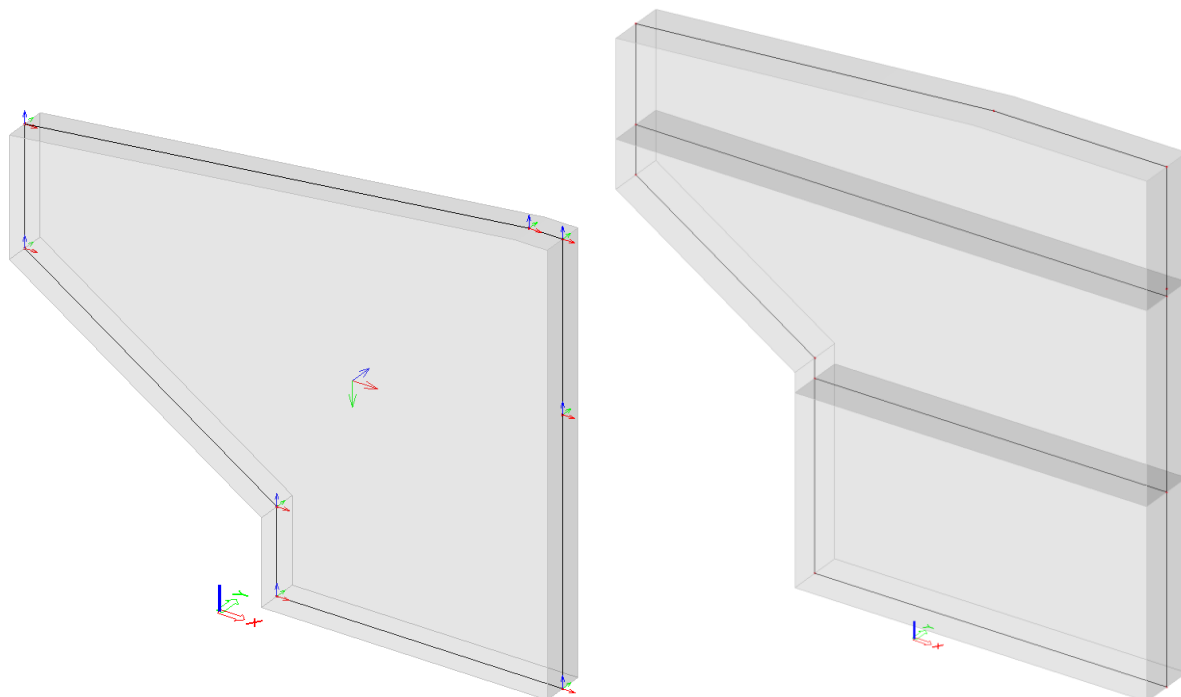
- křídlo OP2 – rubová výztuž svislá



7.1.4 Křídla

Křídla byla navržena na výseku stěnovém modelu opěr. Souhrn získaných vnitřních sil viz tabulka níže.

Obrázek 7-2: Model křídel na OP1 (vlevo), na OP2 (vpravo)



Vnitřní síly - křídlo OP1											
Řez	Kombinace	Stav	N_x [kN]	Q_z [kN]	M_y [kNm]	Řez	Kombinace	Stav	N_x [kN]	Q_z [kN]	M_y [kNm]
Svislá výztuž	MSÚ	max M	74.0	101.0	105.1	Vodorovná výztuž	MSÚ	max M	-26.0	457.0	33.2
		min M	134.0	534.4	-451.3			min M	163.0	416.9	-499.4
	Char	max M	39.7	-	82.6		Char	max M	-24.0	-	25.9
		min M	73.9	-	-354.2			min M	121.0	-	-392.4
	Kvazi	max M	-52.0	-	49.7		Kvazi	max M	-30.5	-	14.7
		min M	-83.0	-	-207.8			min M	76.2	-	-229.0

Vnitřní síly - křídlo OP2											
Řez	Kombinace	Stav	N_x [kN]	Q_z [kN]	M_y [kNm]	Řez	Kombinace	Stav	N_x [kN]	Q_z [kN]	M_y [kNm]
Svislá výztuž H = 550 mm	MSÚ	max M	-15.9	63.3	131.4	Vodorovná výztuž H = 550 mm	MSÚ	max M	17.5	61.9	63.7
		min M	-14.7	268.7	-164.4			min M	38.6	223.5	-412.8
	Char	max M	-16.6	-	102.2		Char	max M	11.8	-	49.3
		min M	-13.3	-	-127.4			min M	19.2	-	-320.0
	Kvazi	max M	-27.3	-	68.1		Kvazi	max M	18.9	-	34.4
		min M	-14.7	-	-87.7			min M	-30.0	-	-218.4
Svislá výztuž H = 775 mm	MSÚ	max M	-28.0	83.0	256.0	Vodorovná výztuž H = 775 mm	MSÚ	max M	-99.0	129.0	180.0
		min M	-86.0	751.0	-739.0			min M	287.0	542.0	-909.0
	Char	max M	-33.0	-	198.0		Char	max M	-82.0	-	139.0
		min M	-95.0	-	-577.0			min M	220.0	-	-704.0
	Kvazi	max M	-65.0	-	138.0		Kvazi	max M	-68.0	-	100.0
		min M	-172.0	-	-368.0			min M	140.0	-	-490.0
Svislá výztuž H = 1000 mm	MSÚ	max M	-55.0	181.0	271.0	Vodorovná výztuž H = 1000 mm	MSÚ	max M	5.0	326.0	368.0
		min M	135.0	880.0	-1225.0			min M	207.0	313.0	-749.0
	Char	max M	-54.0	-	209.0		Char	max M	2.0	-	285.0
		min M	75.0	-	-949.0			min M	163.0	-	-577.0
	Kvazi	max M	-79.0	-	153.0		Kvazi	max M	-7.0	-	198.0
		min M	-84.0	-	-656.0			min M	120.0	-	-419.0

7.1.4.1 Posouzení průřezů křídel OP1

Posouzení bylo provedeno pro kritické průřezy, dále bylo na základě momentů únosnosti pro různá vyztužení s roztečí prutů vždy 150 mm řešeno plošné určení nutných profilů výztuže v dané oblasti.

- Ohybová výztuž

Ø12/150 mm



Ø16/150 mm



Ø20/150 mm



Ø25/150 mm



- Smyková výztuž

Ø10/300x300 mm



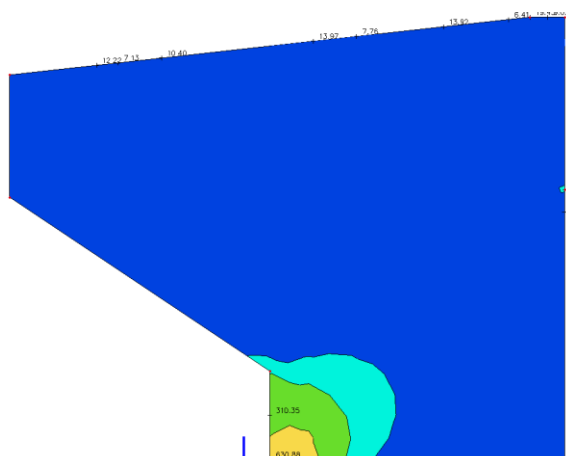
Ø12/300x300 mm



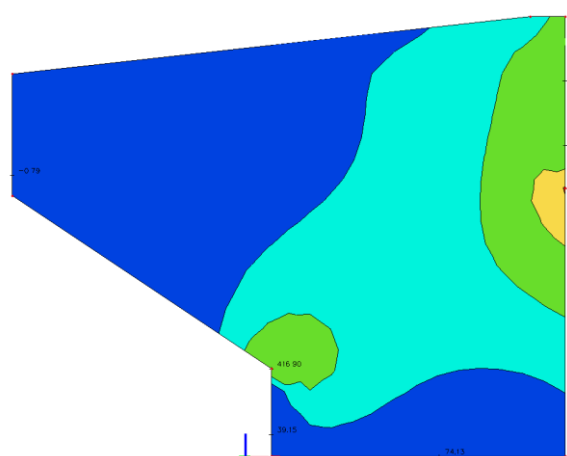
Ø12/300x150 mm



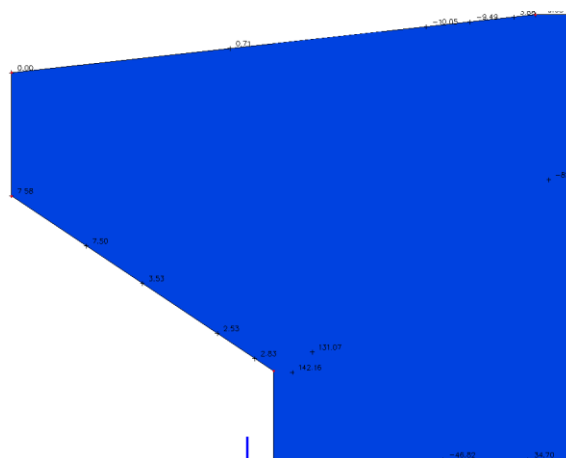
– rubová výztuž svislá



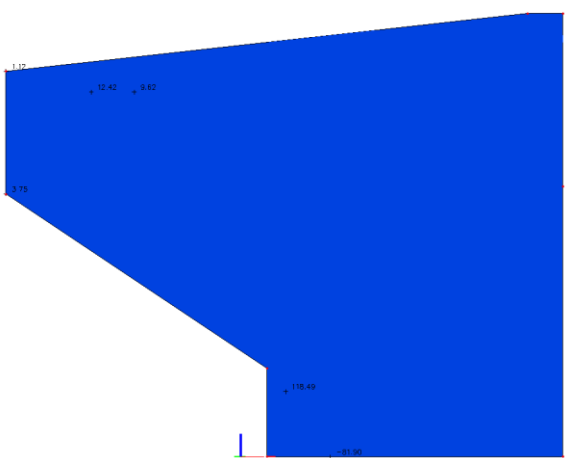
- rubová výztuž vodorovná



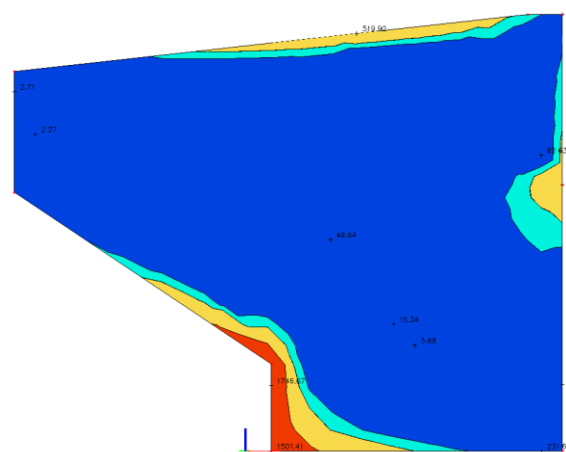
– lícová výztuž svislá



- lícová výztuž vodorovná



– smyková výztuž



Křídlo opěry OP1 - rub - svislá výztuž																													
Průřez																													
b_{eff} = 1000 mm	b_w = 1000 mm	H = 550 mm	$W_{k,max}$ = 0.20 mm	X_D , X_S , X_F																									
C_1 = 50 mm	C_2 = 50 mm																												
Materiály																													
ocel: B 500 B	beton: C30/37																												
f_{yk} = 500 MPa	f_{td} = 1.15	α_{cc} = 0.9	E_{cm} = 33.0 GPa	f_{ck} = 30.0 MPa																									
f_{td} = 434.8 MPa	σ_{ed}/σ_{yk} = 0.9	γ_c = 1.5	f_{td} = 18.0 MPa	f_{td} = 18.0 MPa																									
E_{yk} = 200.0 GPa	α_s = 6.06	$f_{t,1,m}$ = 2.9 MPa	$k = f_{t,fy}$	$f_{t,1,m}$ = 2.9 MPa																									
σ_{yk} = 50 [10 ⁻³]	σ_{yk} = -1.75	σ_{yk} = -3.5 [10 ⁻³]																											
Ohybová výztuž																													
6.66667 Ø 25 mm	1. řada	$z=0.075$	$A_{s,1}$ = 3272 mm ²	(0.595%)																									
Ø 20 mm	2. řada	$z=0.080$	$A_{s,2}$ = mm ²	(0.000%)																									
Ø 20 mm	3. řada	$z=0.250$	$A_{s,3}$ = mm ²	(0.000%)																									
6.66667 Ø 16 mm	$z=0.070$		A_s = 1340 mm ²	(0.244%)																									
Rozdělovací výztuž (minimální)																													
14.0 Ø 8 mm	$A_{s,perp}$ = 654 mm ²																												
(pro desky)	$A_{s,min}$ < $A_{s,1}$ < A_s < $A_{s,3}$ < $A_{s,max}$																												
dle 9.6.2	550 < 3 272 < 4613 < 22 000	Vyhovuje																											
Smyková výztuž																													
3.33333 Ø 12 mm	$A_{w,strip}$ = 377 mm ²	α_w = 90																											
$S_{w,sl}$ = 150 mm	$A_{w,sl}$ = 2513 mm ² /m ²	$P_{w,s}$ = 0.25%																											
Ø 16 mm	$A_{w,bend}$ = mm ²	α_b = 45																											
$S_{w,b}$ = 450 mm	$P_{w,b}$ = 0.00% < $P_{w,s}$ = 0.25%	Vyhovuje																											
Stupeň výztužení																													
$P_{w,s,min}$ < $P_{w,s}$ < $P_{w,s,max}$																													
0.09% < 0.25% < 1.00%																													
Vyhovuje																													
Vnitřní síly na průřezu																													
M_{Ed} = 451 kNm	N_{Ed} = 134 kN	V_{Ed} = 534 kN	$e_{N,Ed}$ = 3.368 m	(MSJ)																									
$e_{N,Ed}$ = 3.368 m	$e_{N,Ed}$ = 3.368 m	$e_{N,Ed}$ = 3.368 m	$e_{N,Ed}$ = 3.368 m	$e_{N,Ed}$ = 3.368 m																									
$M_{Ed, char}$ = 354 kNm	$N_{Ed, char}$ = -113 kN	$V_{Ed, char}$ = 3.133 m	$e_{N,Ed, char}$ = 3.133 m	(Charakteristická)																									
$M_{Ed, kvaz}$ = 208 kNm	$N_{Ed, kvaz}$ = -95 kN	$V_{Ed, kvaz}$ = 2.189 m	e																										

7.1.4.2 Posouzení průřezů křídel OP2

Křídlo je odstupňovaných tlouštěk stěny. Posouzení bylo provedeno pro kritické průřezy jednotlivých tlouštěk. Grafické znázornění nutných výztužení viz níže.

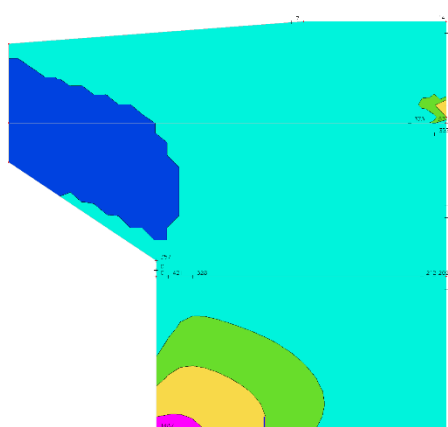
- Ohybová výztuž

Ø12/150 mm  Ø16/150 mm  Ø20/150 mm  Ø25/150 mm 
Ø32/150 mm 

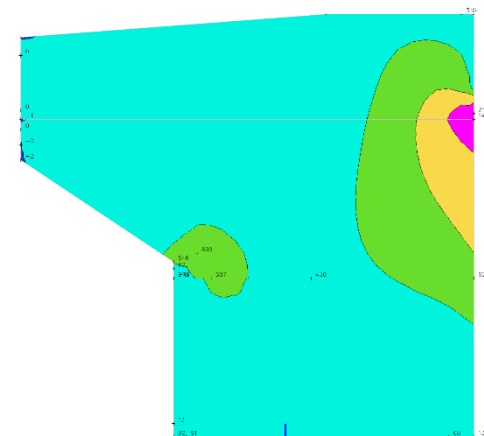
- Smyková výztuž

smyk v betonu  Ø12/300x300 mm  Ø12/300x150 mm 

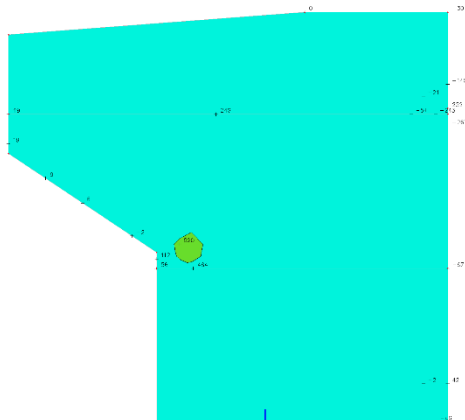
– rubová výztuž svislá



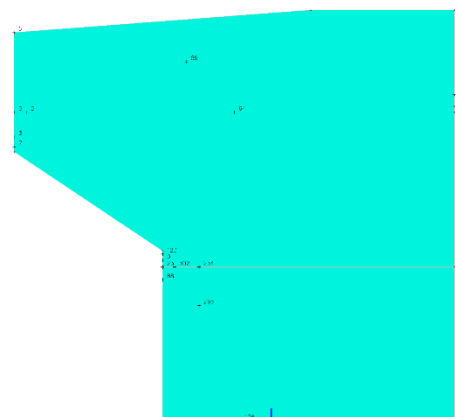
- rubová výztuž vodorovná



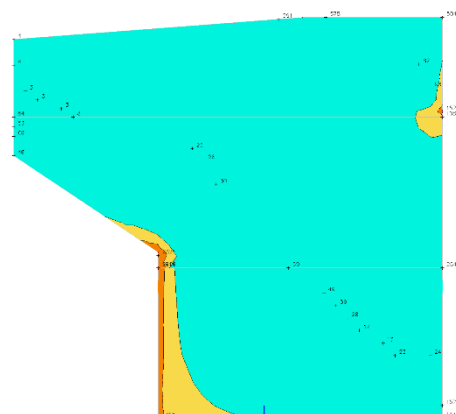
– lícová výztuž svislá



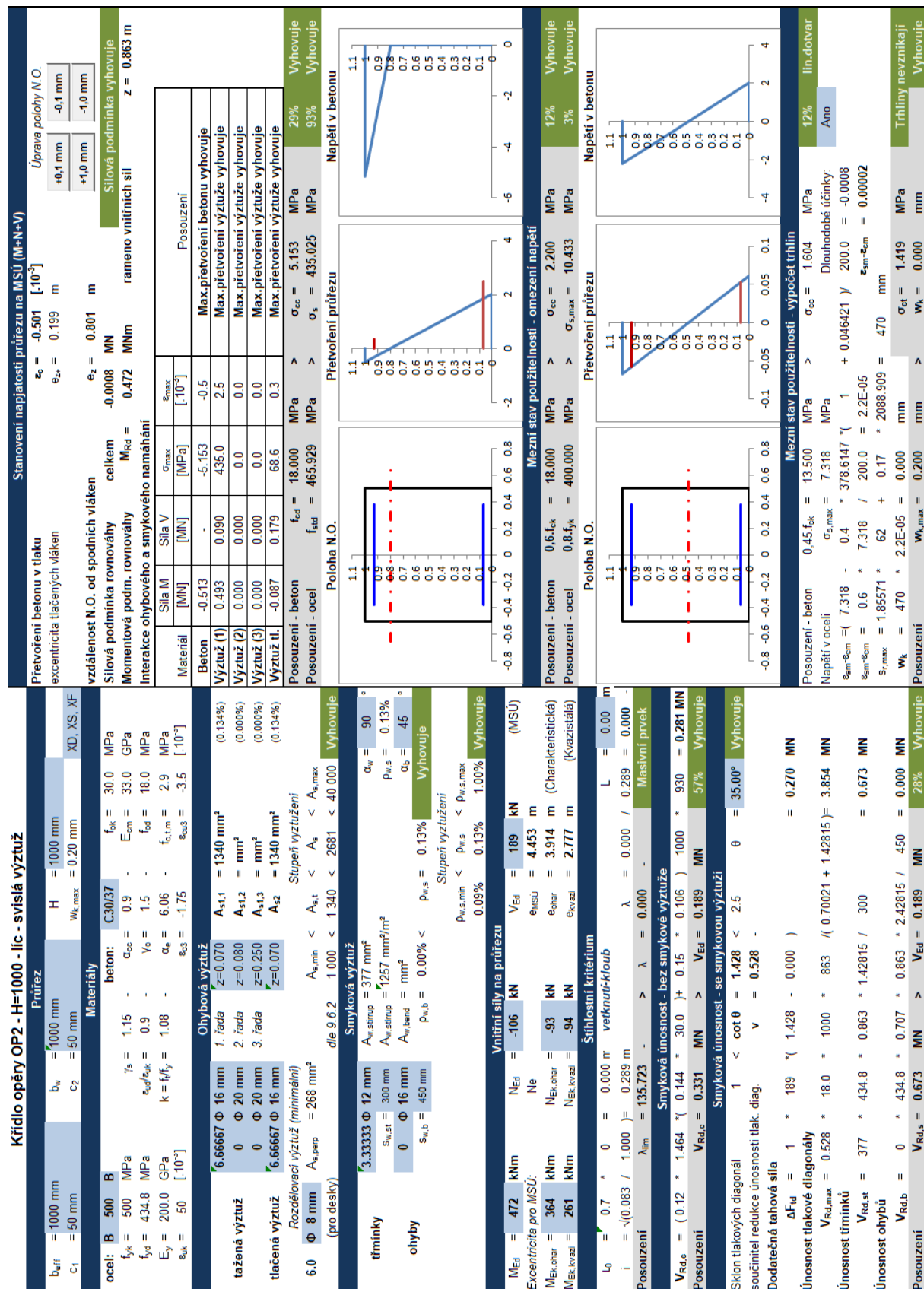
- lícová výztuž vodorovná



– smyková výztuž



- křídlo OP2 – lícová výztuž svislá v místě lomu křídla



- křídlo OP2 – lícová výztuž vodorovná (max v místě lomu křídla)

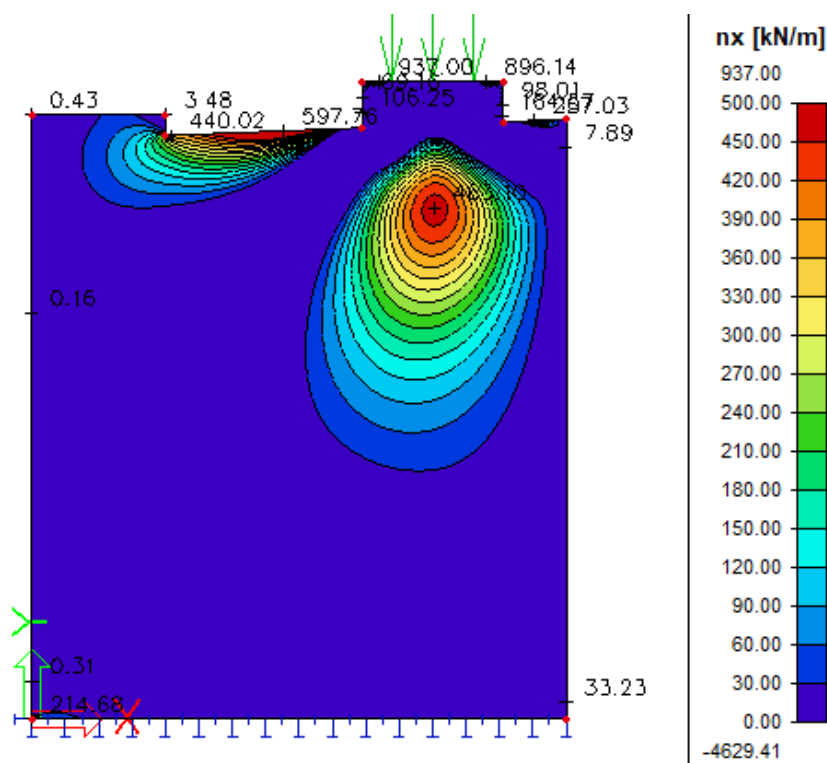
Křídlo opěry OP2 - H=1000 - líc - vodorovná výztuž									
Průřez									
b _{eff} = 1000 mm	b _w = 1000 mm	H = 1000 mm	XD, XS, XF						
c ₁ = 50 mm	c ₂ = 50 mm	W _{k,max} = 0.20 mm							
Materiály									
ocel: B 500	B	beton: C30/37							
f _{yk} = 500 MPa	f _{yk} = 500 MPa	f _{ck} = 30.0 MPa							
f _{yk} = 434.8 MPa	f _{yk} = 434.8 MPa	E _{cm} = 33.0 GPa							
E _y = 200.0 GPa	E _y = 200.0 GPa	f _{ct,1m} = 1.08							
ε _{yk} = 50 [-10 ⁻³]	ε _{yk} = 50 [-10 ⁻³]	α _{cc} = -1.75							
Obyčtová výztuž									
1. řada									
2. řada									
3. řada									
Rozdělovací výztuž (minimální)									
6.0 Ø 8 mm	A _{s,perp} = 268 mm ²	dle 9.6.2							
(pro desky)									
Smyková výztuž									
A _{w,strip} = 377 mm ²									
A _{w,sl} = 1257 mm ² /m ²									
A _{w,bend} = mm ²									
p _{w,s} = 0.00% < p _{w,s} = 0.13%									
Stupeň výztužení									
p _{w,s,min} < p _{w,s} < p _{w,s,max}									
0.09% 0.13% 1.00%									
Vyhovuje									
Vnitřní síly na průřezu									
M _{Ed} = 285 kNm	N _{Ed} = -30 kN	V _{Ed} = 319 kN	(MSJ)						
Excentricita pro MSJ:									
M _{Ed,char} = 220 kNm	e _{MSJ} = 9.500 m	e _{char} = 8.148 m	(Charakteristická)						
M _{Ed,kvaz} = 153 kNm	N _{Ed,kvaz} = -30 kN	e _{kvaz} = 5.100 m	(Kvazistálá)						
Štíhlostní kritérium									
i ₀ = 0.7	e = 0.000 m	veškrutí-klob	L = 0.00 m						
i = √(0.083 / 1.000)	e = 0.289 m	λ = 0.000	λ = 0.000 / 0.289 = 0.000						
Posouzení									
λ _{lim} = 265.453	λ = 0.000	Masivní prvek							
Smyková únosnost - bez smykové výztuže									
V _{Rd,c} = (0.12 * 1.468 * 0.147 * 30.0 * 0.15 * 0.030) * 1000 * 914 = 268 MN	V _{Rd,c} = 268 MN	V _{Ed,c} = 319 MN	101% Nevhovuje						
Smyková únosnost - se smykovou výztuží									
1 < cot θ = 1.428 < 2.5	θ = 35.00°	Vyhovuje							
Sklon tlakových diagonál									
soušitel redukce únosnosti tlak. diag.	v = 0.528								
Dodatečná tahová síla									
ΔF _{td} = 1 * 319 * (1.428 - 0.000)	= 0.456 MN								
Únosnost tlakových diagonál									
V _{Rd,max} = 0.528 * 18.0 * 1000 * 844 / (0.70021 + 1.42815) = 3.767 MN									
Únosnost trnků									
V _{Rd,st} = 377 * 434.8 * 0.844 * 1.42815 / 300	= 0.658 MN								
Únosnost ohybů									
V _{Rd,b} = 0 * 434.8 * 0.707 * 0.844 * 2.42815 / 450 = 0.000 MN									
Posouzení									
V _{Rd,s} = 0.658 MN	V _{Ed} = 0.319 MN	48% Vyhovuje							

Stanovení napjatosti průřezu na MSJ (M+N+V)									
Průřez betonu v tlaku		Průřez betonu v tahu		Průřez betonu v tahu		Průřez betonu v tahu		Průřez betonu v tahu	
ε _{yk} = -0.295 [-10 ⁻³]	ε _{yk} = 0.180 m	ε _{yk} = -0.295 [-10 ⁻³]	ε _{yk} = 0.180 m	ε _{yk} = -0.295 [-10 ⁻³]	ε _{yk} = 0.180 m	ε _{yk} = -0.295 [-10 ⁻³]	ε _{yk} = 0.180 m	ε _{yk} = -0.295 [-10 ⁻³]	ε _{yk} = 0.180 m
vzdálenost N.O. od spodních vláken		vzdálenost N.O. od spodních vláken		vzdálenost N.O. od spodních vláken		vzdálenost N.O. od spodních vláken		vzdálenost N.O. od spodních vláken	
celkem		celkem		celkem		celkem		celkem	
Momentová podm. rovnováhy		Momentová podm. rovnováhy		Momentová podm. rovnováhy		Momentová podm. rovnováhy		Momentová podm. rovnováhy	
M _{Ed} = 0.285 MNm		M _{Ed} = 0.285 MNm		M _{Ed} = 0.285 MNm		M _{Ed} = 0.285 MNm		M _{Ed} = 0.285 MNm	
Interakce ohybového a smykového namáhání		Interakce ohybového a smykového namáhání		Interakce ohybového a smykového namáhání		Interakce ohybového a smykového namáhání		Interakce ohybového a smykového namáhání	
Síla M [MN]	Síla V [MN]	G _{max} [10 ⁻³]	Posouzení	Síla M [MN]	Síla V [MN]	G _{max} [10 ⁻³]	Posouzení	Síla M [MN]	Síla V [MN]
Beton	-0.274	-3.037	-0.3	Beton	-0.274	-3.037	-0.3	Beton	-0.274
Výztuž (1)	0.322	0.132	339.3	1.7	Výztuž (1)	0.322	0.132	339.3	1.7
Výztuž (2)	0.000	0.000	0.0	0.0	Výztuž (2)	0.000	0.000	0.0	0.0
Výztuž (3)	0.000	0.000	0.0	0.0	Výztuž (3)	0.000	0.000	0.0	0.0
Výztuž tl.	-0.079	0.323	74.6	0.4	Výztuž tl.	-0.079	0.323	74.6	0.4
Posouzení - beton	f _{td} = 18.000 MPa	>	σ _{cc} = 3.037 MPa	17%	Posouzení - beton	f _{td} = 18.000 MPa	>	σ _{cc} = 3.037 MPa	17%
Posouzení - ocel	f _{td} = 465.929 MPa	>	σ _s = 339.300 MPa	73%	Posouzení - ocel	f _{td} = 465.929 MPa	>	σ _s = 339.300 MPa	73%
Napětí v betonu									
Průřez betonu v tahu									
Průřez betonu v tahu									
Průřez betonu v tahu									
Průřez betonu v tahu									
Průřez betonu v tahu									
Průřez betonu v tahu									
Průřez betonu v tahu									
Průřez betonu v tahu									
Průřez betonu v tahu									
Průřez betonu v tahu									
Průřez betonu v tahu									
Průřez betonu v tahu									
Průřez betonu v tahu									
Průřez betonu v tahu									
Průřez betonu v tahu									
Průřez betonu v tahu									
Průřez betonu v tahu									
Průřez betonu v tahu									
Průřez betonu v tahu									
Průřez betonu v tahu									
Průřez betonu v tahu									
Průřez betonu v tahu									
Průřez betonu v tahu									
Průřez betonu v tahu									
Průřez betonu v tahu									
Průřez betonu v tahu									
Průřez betonu v tahu									
Průřez betonu v tahu									
Průřez betonu v tahu									
Průřez betonu v tahu									
Průřez betonu v tahu									
Průřez betonu v tahu									
Průřez betonu v tahu									
Průřez betonu v tahu									
Průřez betonu v tahu									
Průřez betonu v tahu									
Průřez betonu v tahu									
Průřez betonu v tahu									
Průřez betonu v tahu									
Průřez betonu v tahu									
Průřez betonu v tahu									
Průřez betonu v tahu									
Průřez betonu v tahu									
Průřez betonu v tahu									
Průřez betonu v tahu									
Průřez betonu v tahu									
Průřez betonu v tahu									
Průřez betonu v tahu									
Průřez betonu v tahu									
Průřez betonu v tahu									
Průřez betonu v tahu									
Průřez betonu v tahu									
Průřez betonu v tahu									
Průřez betonu v tahu									
Průřez betonu v tahu									
Průřez betonu v tahu									
Průřez betonu v tahu									
Průřez betonu v tahu									
Průřez betonu v tahu									
Průřez betonu v tahu									
Průřez betonu v tahu									
Průřez betonu v tahu									
Průřez betonu v tahu									
Průřez betonu v tahu									
Průřez betonu v tahu									
Průřez betonu v tahu									
Průřez betonu v tahu									
Průřez betonu v tahu									
Průřez betonu v tahu									
Průřez betonu v tahu									
Průřez betonu v tahu									
Průřez betonu v tahu									
Průřez betonu v tahu									
Průřez betonu v tahu									
Průřez betonu v tahu									
Průřez betonu v tahu									
Průřez betonu v tahu									
Průřez betonu v tahu									
Průřez betonu v tahu									
Průřez betonu v tahu									
Průřez betonu v tahu									
Průřez betonu v tahu									
Průřez betonu v tahu									
Průřez betonu v tahu									
Průřez betonu v tahu									
Průřez betonu v tahu									
Průřez betonu v tahu									
Průřez betonu v tahu									
Průřez betonu v tahu									
Průřez betonu v tahu									
Průřez betonu v tahu									
Průřez betonu v tahu									
Průřez betonu v tahu									
Průřez betonu v tahu									
Průřez betonu v tahu									
Průřez betonu v tahu									
Průřez betonu v tahu									
Průřez betonu v tahu									
Průřez betonu v tahu									
Průřez betonu v tahu									
Průřez betonu v tahu									
Průřez betonu v tahu									
Průřez betonu v tahu									
Průřez betonu v tahu									
Průřez betonu v tahu									
Průřez betonu v tahu									
Průřez betonu v tahu									
Průřez betonu v tahu									
Průřez betonu v tahu									
Průřez betonu v tahu									
Průřez betonu v tahu									
Průřez betonu v tahu									
Průřez betonu v tahu									
Průřez betonu v tahu									
Průřez betonu v tahu									
Průřez betonu v tahu									
Průřez betonu v tahu									
Průřez betonu v tahu									
Průřez betonu v tahu									
Průřez betonu v tahu									
Průřez betonu v tahu									
Průřez betonu v tahu									
Průřez betonu v tahu</									

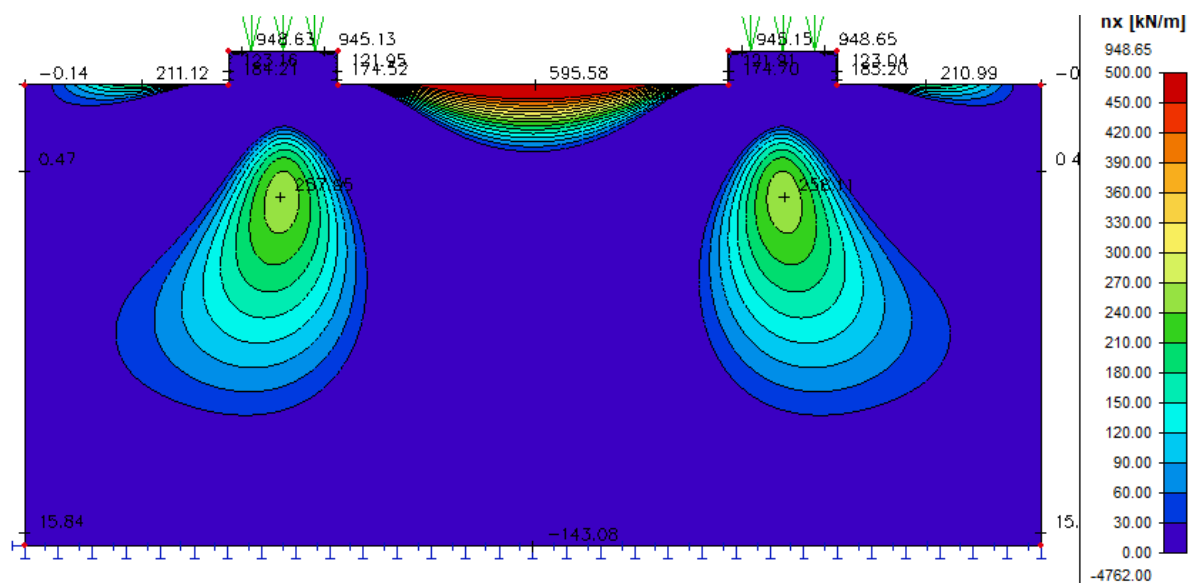
7.1.5 Oblast pod ložisky

Oblast pod ložisky byla navržena obdobně jako kotevní oblast na deskostěnovém modelu.

– příčný řez opěrou v místě ložiska – n_x [kN/m]



– pohled na opěru v místě ložiska – n_x [kN/m]



NÁVRH BLOČKU

šířka kotevní desky:	$a=$	0.370	m	šířka přiřazeného obdélníka:	$c=$	0.560	m
délka kotevní desky:	$a'=$	0.370	m	délka přiřazeného obdélníka:	$c'=$	0.560	m
šířka bločku:	$b=$	0.630	m	výška bločku:	$h=$	0.190	m
délka bločku:	$l=$	0.630	m	plocha ložiska:	$A_0=$	0.137	m ²
pevnost bet. v tlaku:	$f_{ck}(t)=$	30.000	MPa	plocha přiřazeného obdélníka:	$A_1=$	0.314	m ²
návrhová pevnost	$f_{cd}(t)=$	27.243	MPa	návrh. síla od ložiska:	$R_{Ed}=$	2.700	MN
				max. síla od ložiska:	$R_{Rd}=$	3.730	MN

NÁVRH ÚLOŽNÉHO PRAHU

působící šířka bločku:	$a=$	0.560	m	šířka přiřazeného obdélníka:	$c=$	1.680	m
působící délka bločku:	$a'=$	0.560	m	délka přiřazeného obdélníka:	$c'=$	1.200	m
působící plocha bločku:	$A_0=$	0.314	m ²	vypočtená výška ÚP:	$h_{min}=$	1.120	m
pevnost bet. v tlaku:	$f_{ck}(t)=$	30.000	MPa	plocha přiřazeného obdélníka:	$A_1=$	2.016	m ²
návrhová pevnost	$f_{cd}(t)=$	45.638	MPa	návrh. síla od ložiska:	$R_{Ed}=$	2.700	MN
				max. síla od ložiska:	$R_{Rd}=$	14.312	MN

NÁVRH VÝZTUŽE DLE ŘEZŮ V DESKOSTĚNOVÉM MODELU

Podélný řez mostem

Oblast výztuže	L	F	$\gamma_{p,unfav}$	f_{yd}	$A_{s,req}$	\emptyset	n
	[mm]	[kN]	[-]	[MPa]	[mm ²]	[mm]	[-]
Vodorovná pod lož	1300	350	1	435	805	12	8
Vodorovná u povrchu	200	55	1	435	126	12	2

Pohled na opěru

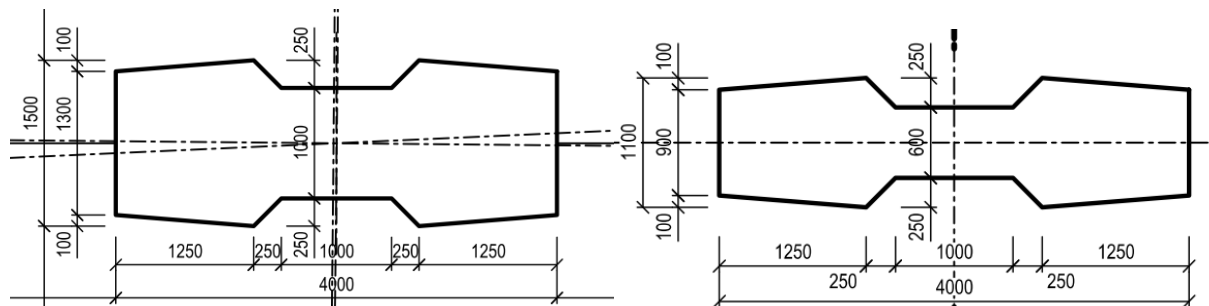
Oblast výztuže	L	F	$\gamma_{p,unfav}$	f_{yd}	$A_{s,req}$	\emptyset	n
	[mm]	[kN]	[-]	[MPa]	[mm ²]	[mm]	[-]
Vodorovná pod lož	1500	267	1	435	614	12	6
Povrchová mezi lož	350	110	1	435	253	12	3
Povrchová od lož	100	11	1	435	25	12	1

7.2 Pilíře

Pilíře byly modelovány společně s nosnou konstrukcí a vnitřní síly v kombinacích jsou získávány přímo z programu MIDAS Civil. Posouzení bylo provedeno v programu IDEA StatiCa. Dříčky pilířů jsou ve tvaru činky s šířkou 4,0 m a délkou dle jejich pozice. Břehové pilíře jsou navrženy masivnějšího průřezu s maximální tloušťkou 1,5 m, kyvné stojky na oblouku jsou navrženy subtilní s maximální tl. 1,0 m.

Pilíře jsou v místě oblouku s ohledem na nutnost jeho revize oslabeny prostupem na výšku 2,5 m a šířku propojovacího krčku (1,0 m). Průřez mimo toto oslabení zůstává zachován.

Obrázek 7-3: Půdorys břehových pilířů (vlevo), půdorys stojek oblouku (vpravo)



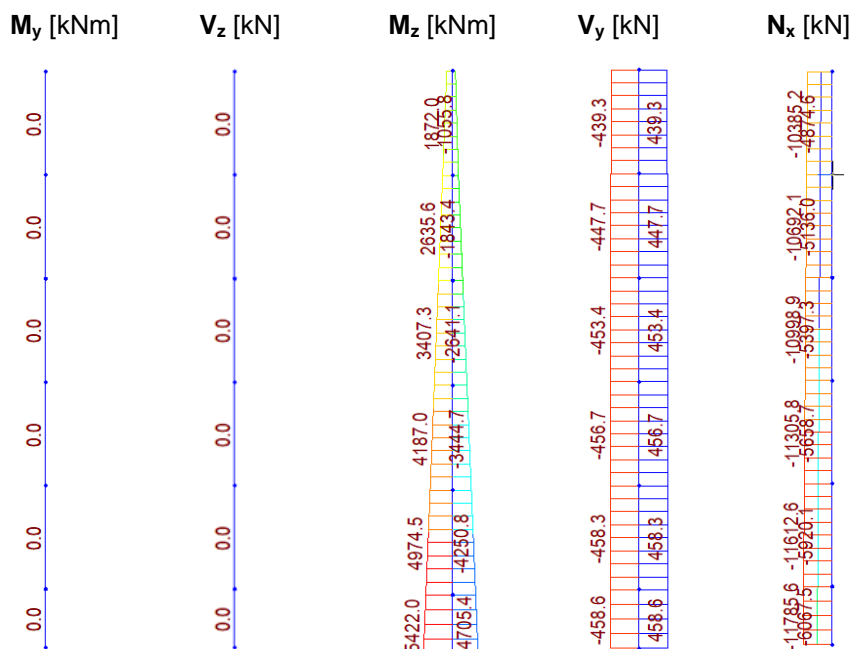
7.2.1 Vnitřní síly

Vnitřní síly stojek na oblouku jsou uvažovány na modelu se zahrnutím imperfekcí oblouku. Ostatní břehové pilíře P1-P3 a P9-P11 jsou s ohledem na jejich nezávislou výstavbu uvažovány bez těchto imperfekcí, pouze s případným zahrnutím účinku 2. řádu. Pilíře s ložisky jsou navíc doplněny o účinek tření v ložiskách, který není na grafice vyznačen (vodorovné síly jsou uvedeny v tabulce ložisek).

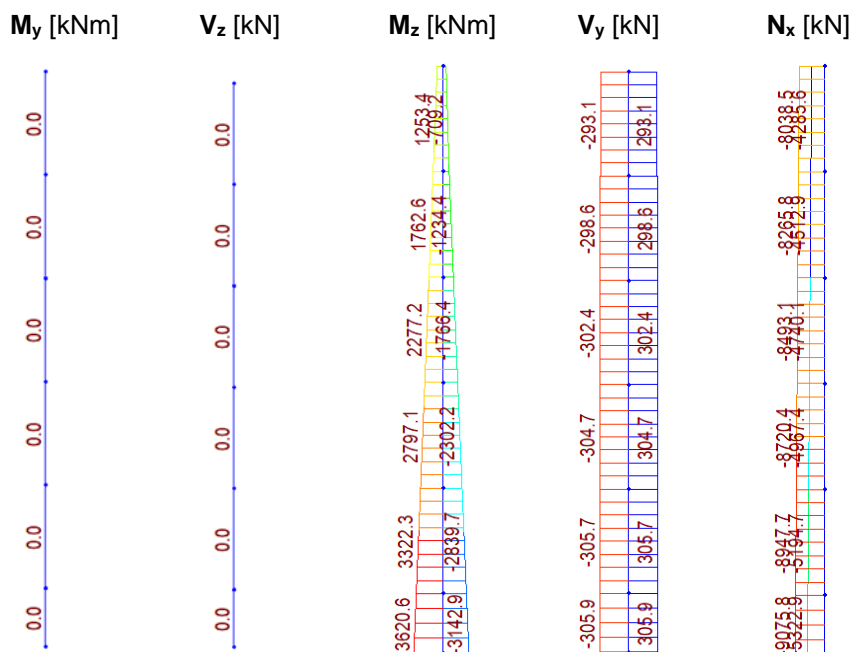
7.2.1.1 Pilíř P1

Nejnižší břehový pilíř s výškou 8,9 m k základu.

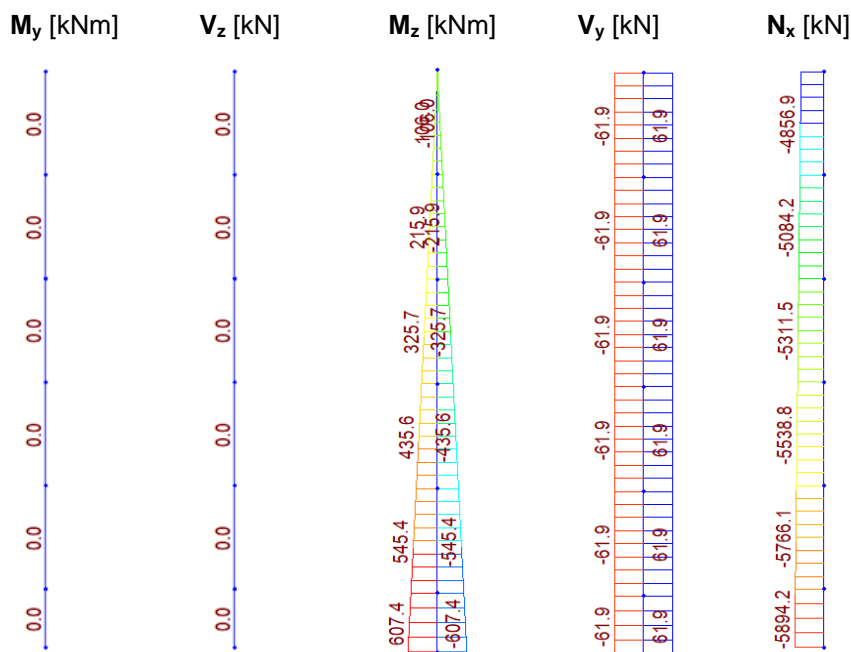
MSÚ (obálka)



Charakteristická kombinace (obálka)



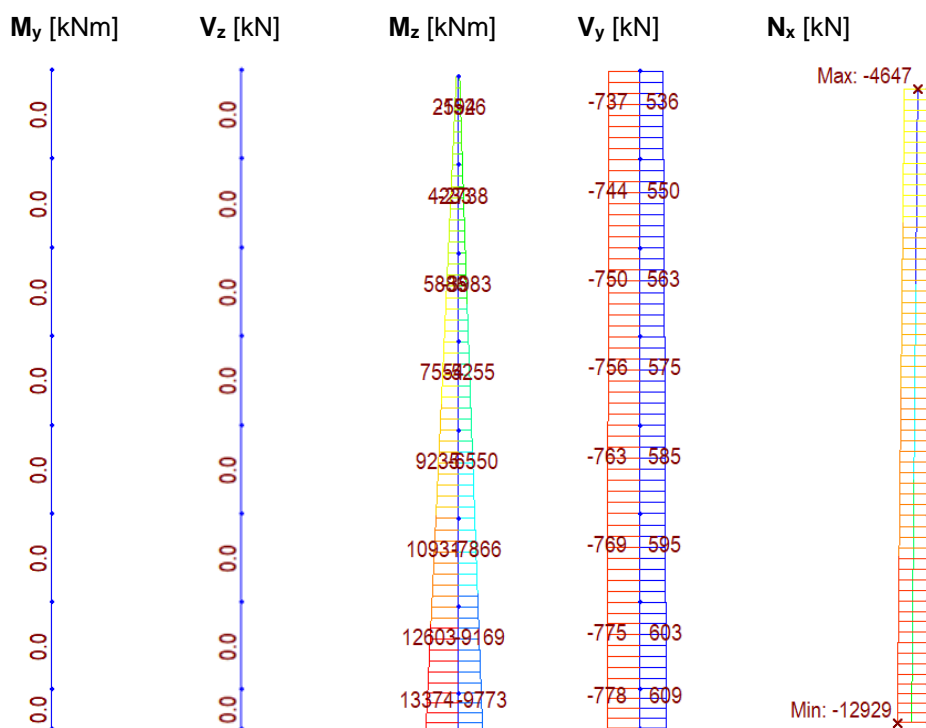
Kvazistálá kombinace (obálka)



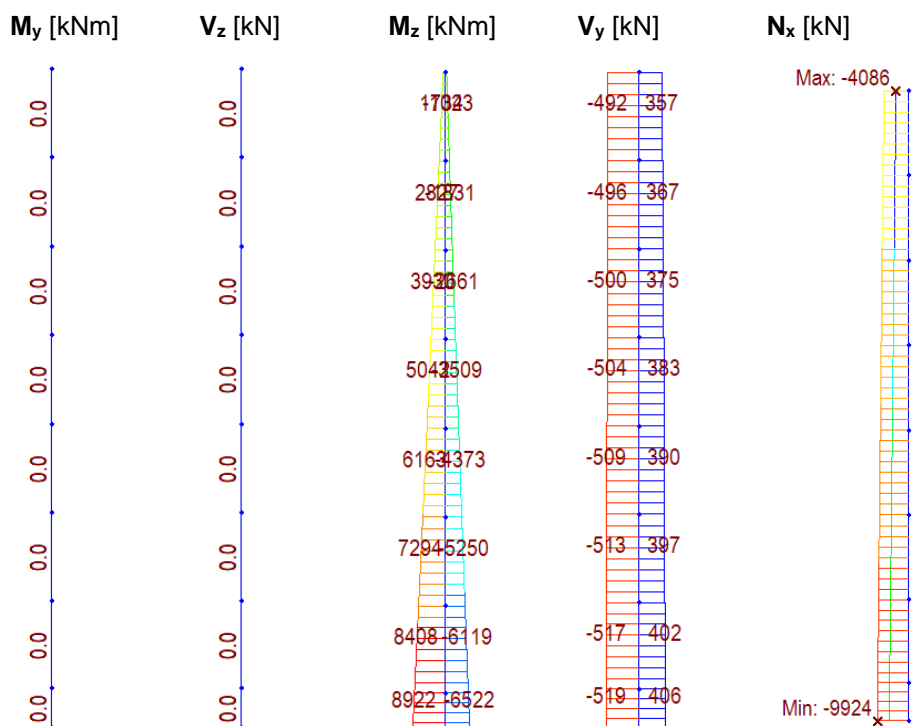
7.2.1.2 Pilíře P2, P11

S ohledem na jejich podobnou výšku nebylo uvažováno s upraveným vyztužením. Posouzen je pilíř P11 s výškou 15,65 m k základu.

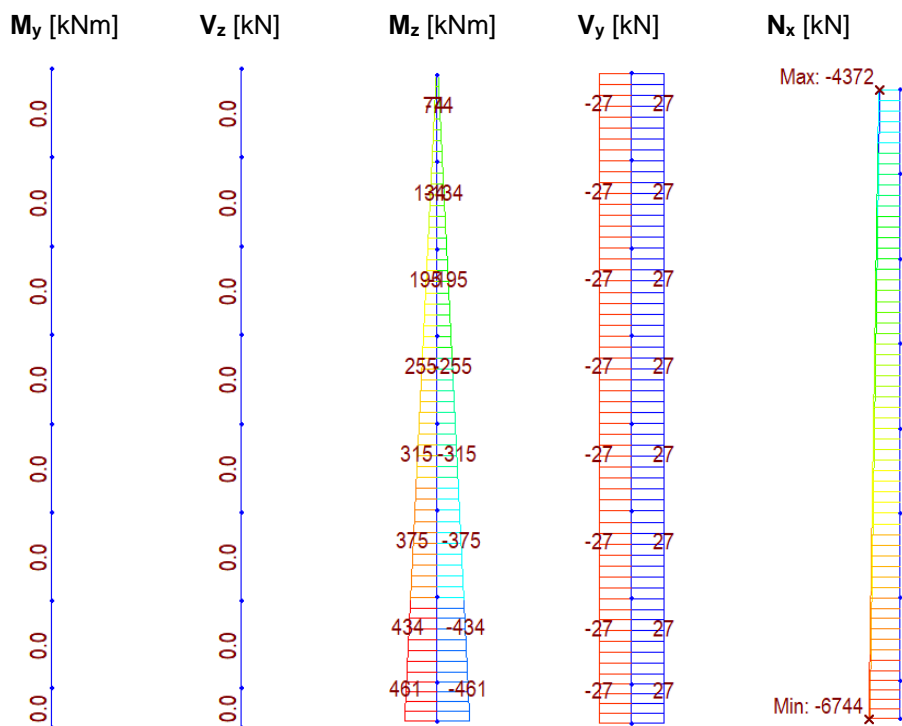
MSÚ (obálka)



Charakteristická kombinace (obálka)



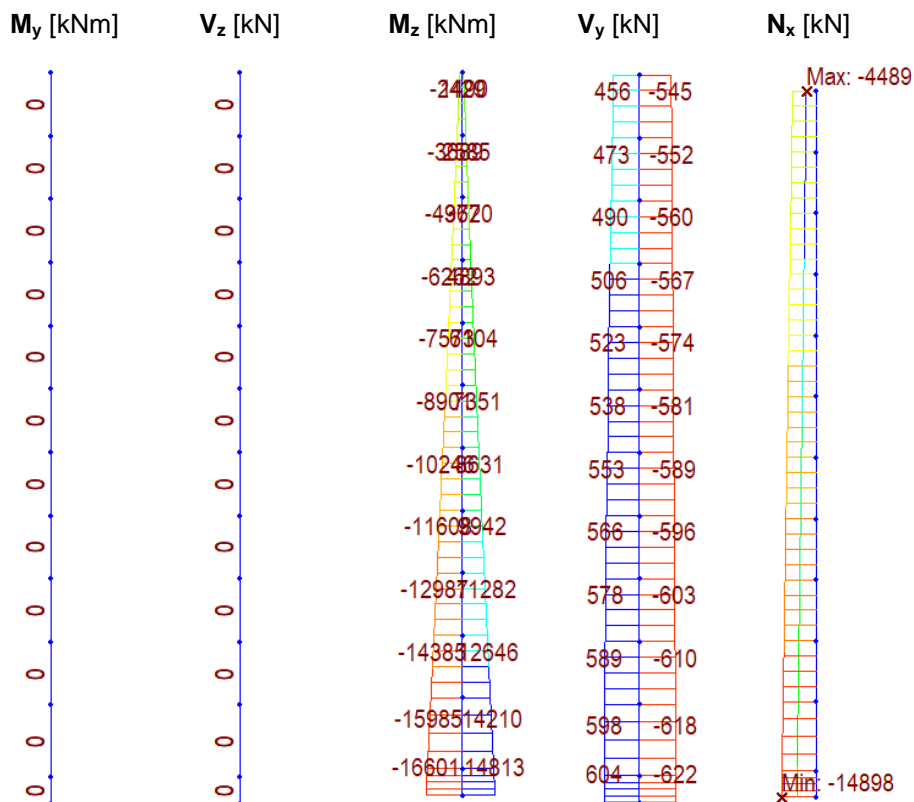
Kvazistálá kombinace (obálka)



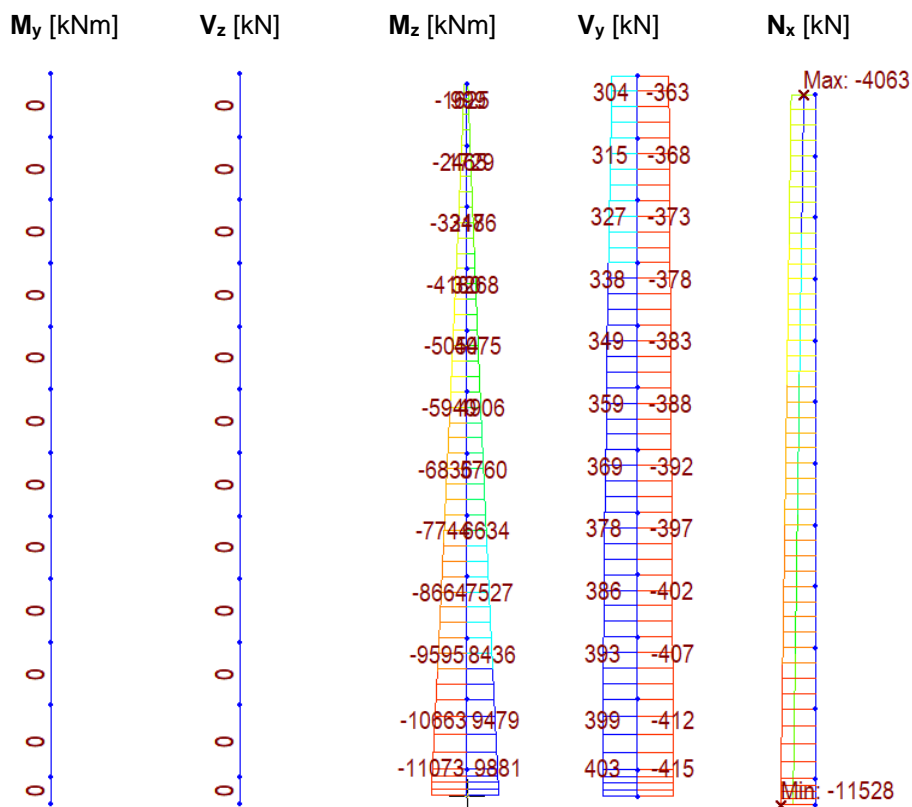
7.2.1.3 Pilíř P10

Břehový pilíř s výškou 25,9 m k základu.

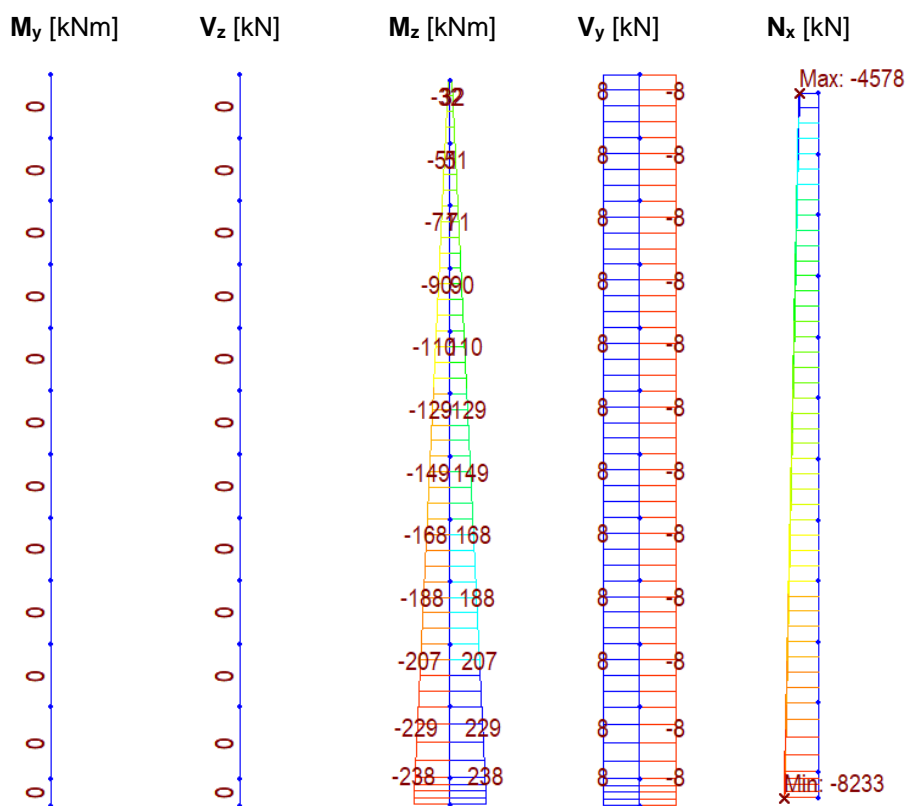
MSÚ (obálka)



Charakteristická kombinace (obálka)



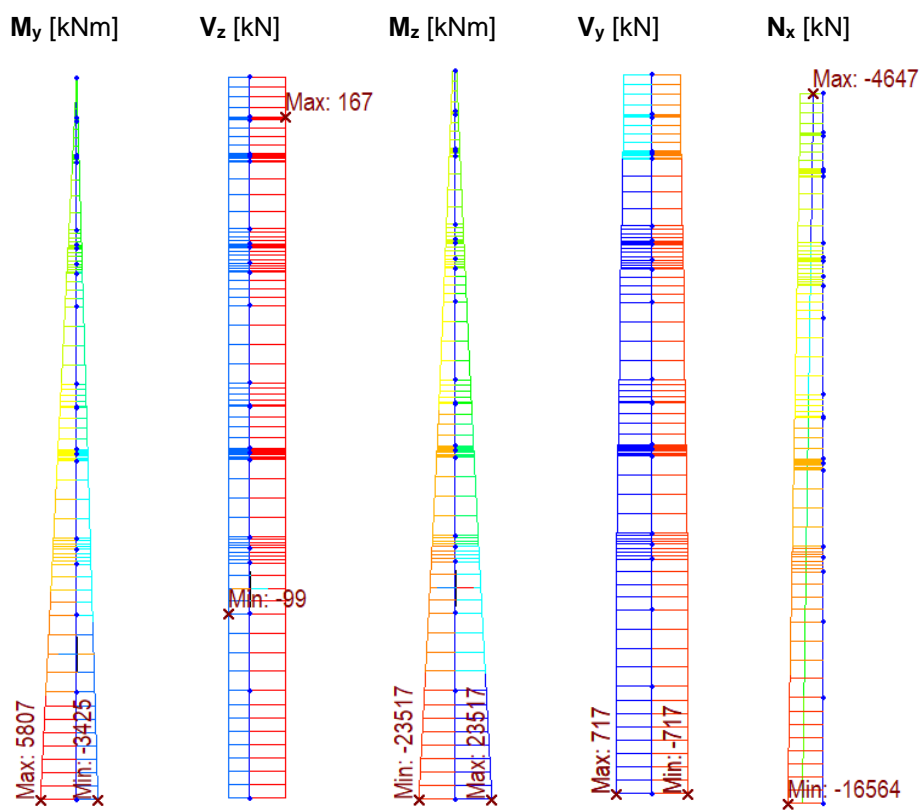
Kvazistálá kombinace (obálka)



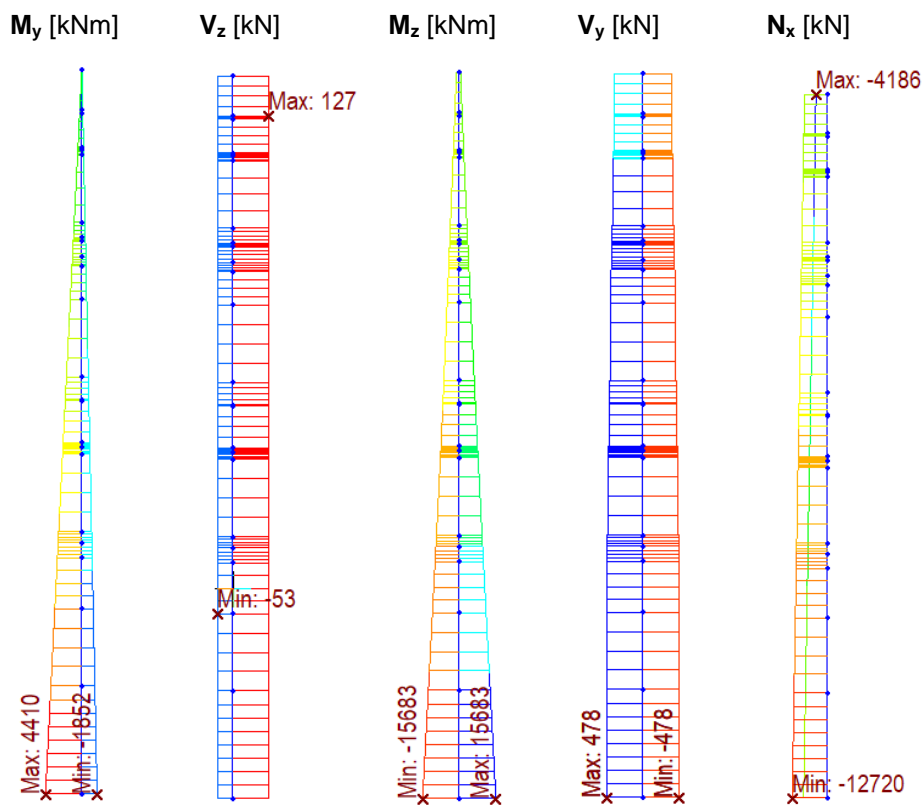
7.2.1.4 Pilíře P3, P9

Pilíře nad základem oblouku, spojené s trémovou mostovkou vrubovým kloubem. Výška pilíře k základu 34,7 m.

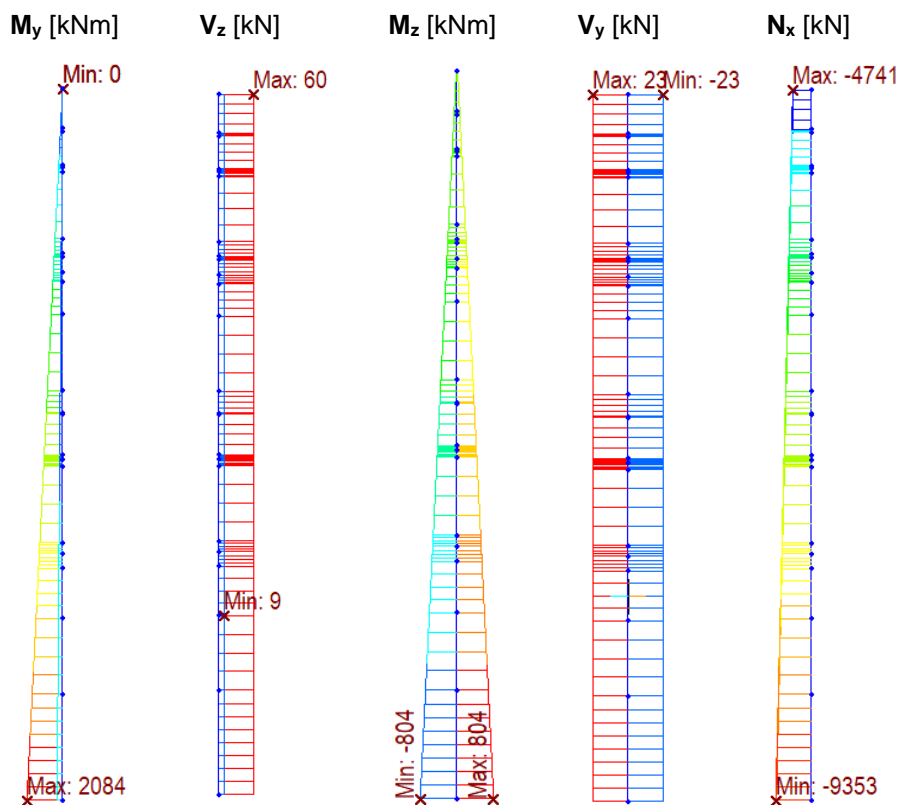
MSÚ (obálka)



Charakteristická kombinace (obálka)



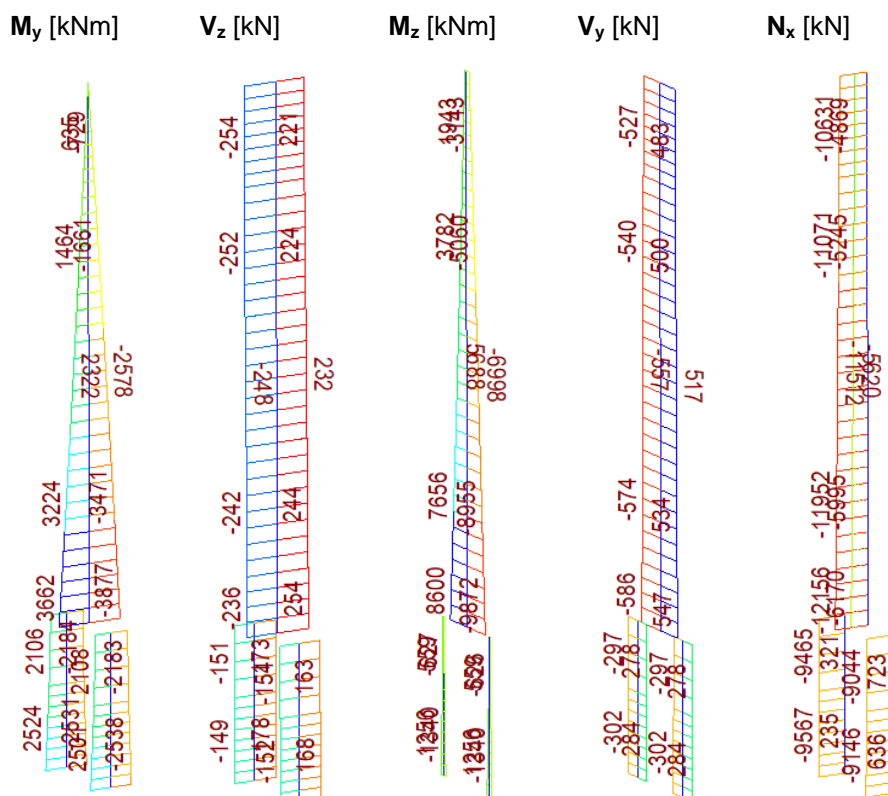
Kvazistálá kombinace (obálka)



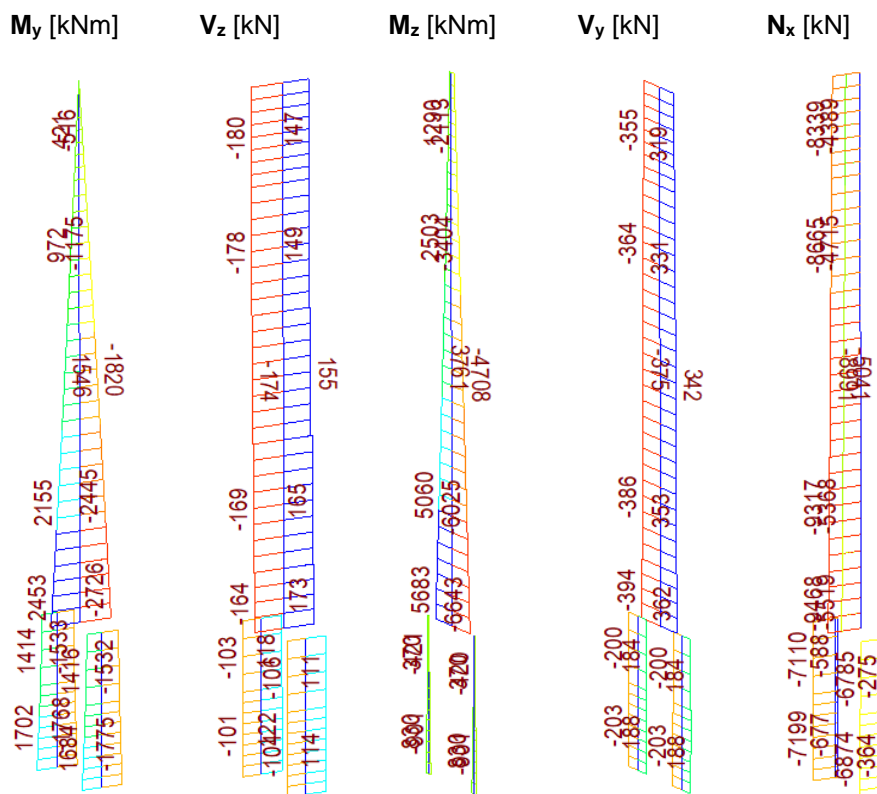
7.2.1.5 Stojky P4, P8

Vyšší stojky oblouku. Spojení s obloukem přes vetknutí, s mostovkou spojeny vrubovým kloubem. Celková výška k horním povrchu oblouku 17,8 m.

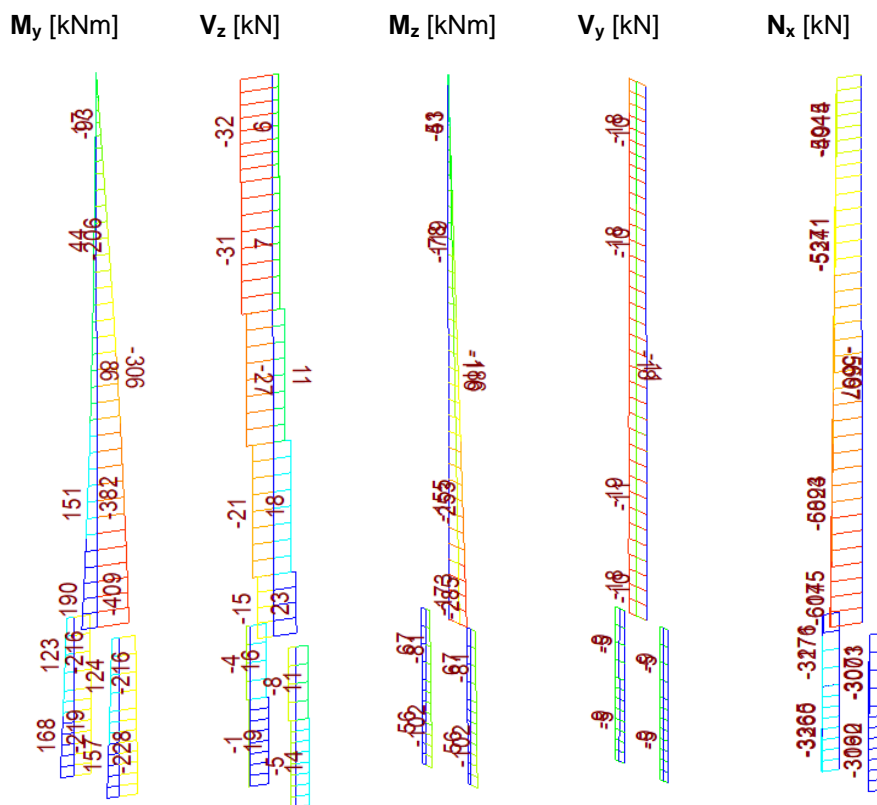
MSÚ (obálka)



Charakteristická kombinace (obálka)



Kvazistálá kombinace (obálka)



7.2.2 Ověření účinků 2. řádu

Vnitřní síly získané z programu MIDAS Civil zohledňují vliv imperfekcí z výstavby oblouku, které jsou popsány v posouzení obloukové nosné konstrukce. Účinky druhého řádu vlivem štíhlosti stojek jsou dopočteny v programu IDEA StatiCa a porovnány s ručním výpočtem.

Účinky 2. řádu je nutné uvažovat pro pilíře z patek oblouku (P3 a P9), pro břehový pilíř P10 a dále pro vyšší stojky na oblouku P4 a P8. Ruční ověření štíhlosti pro stojky oblouky viz níže.

METODA JMENOVITÉ KŘIVOSTI - doplňkový moment od účinků 2. řádu a imperfekcí - pilíř P1, P2 a P11

geometrie a materiály					
plocha průřezu	$A_c =$	5.125	m ²	třída betonu	C35/45
moment setrvačnosti	$I_y =$	0.743	m ⁴	tlaková pevnost	$f_{c,k} = 35.0$ MPa
profil výztuže	$\varnothing =$	20	mm	součinitel materiálu betonu	$\gamma_c = 1.50$ -
počet profilů	$n_{\varnothing} =$	72	ks	součinitel LT účinků	$\alpha_{cc} = 0.9$ -
plocha výztuže	$A_s =$	22619	mm ²	mez kluzu oceli	$f_{y,k} = 500.0$ MPa
účinná výška průřezu	$d =$	1.400	m	modul pružnosti oceli	$E_s = 200.00$ GPa
				součinitel materiálu oceli	$\gamma_s = 1.15$ -
Účinky od lineárního výpočtu					
koncový moment 1 (MSÚ)	$M_{Ed1} =$	0.0	kNm	koncový moment 2 (MSÚ)	$M_{Ed2} = 3728.3$ kNm
koncový moment 1 (kvazi)	$M_{Ek1} =$	0.0	kNm	koncový moment 2 (kvazi)	$M_{Ek2} = 745.7$ kNm
normálová síla (MSÚ)	$N_{Ed} =$	14898.0	kN	<i>tlakové hodnoty s kladným znaménkem</i>	
koncový moment 1. řádu (1)	$M_{01} =$	0.0	kNm	koncový moment 1. řádu (2)	$M_{02} = 3728.3$ kNm
koncový moment 1. řádu (1)	$M_{01} =$	0.0	kNm	koncový moment 1. řádu (2)	$M_{02} = 745.7$ kNm
			ekvivaletní koncový moment	$M_{0Ed} = 2237.0$ kNm	
			ekvivaletní koncový moment	$M_{0Eqp} = 447.4$ kNm	
Přídavné účinky vlivem imperfekcí					
úhel vychýlení	$\theta_i =$	0.003	°	základní úhel vychýlení	$\theta_0 = 0.005$ °
			redukční souč. pro výšku	$\alpha_h = 0.667$ -	
počet prvků	$m =$	6	-	redukční souč. - počet prvků	$\alpha_m = 0.764$ -
excentricita imperfekcí	$e_i =$	0.015	m		
			moment od imperfekcí	$M_1 = 220.0$ kNm	
Ověření 2. řádu					
limitní štíhlost	$\lambda_{lim} =$	38.425	-	součinitel A	$A = 0.928$ -
poloměr setrvačnosti	$i =$	0.381	m	součinitel B	$B = 1.100$ -
štíhlost	$\lambda =$	30.473	-	součinitel C	$C = 0.700$ -
ÚČINKY 2. ŘÁDU MOŽNO ZANEDBAT					

METODA JMENOVITÉ KŘIVOSTI - doplňkový moment od účinků 2. řádu a imperfekcí - pilíř P3 + P9

geometrie a materiály					
plocha průřezu	$A_c =$	5.125	m ²	třída betonu	C35/45
moment setrvačnosti	$I_y =$	0.743	m ⁴	tlaková pevnost	$f_{c,k} = 35.0$ MPa
profil výztuže	$\emptyset =$	20	mm	součinitel materiálu betonu	$\gamma_c = 1.50$ -
počet profilů	$n_{\emptyset} =$	72	ks	součinitel LT účinků	$\alpha_{cc} = 0.9$ -
plocha výztuže	$A_s =$	22619	mm ²	mez kluzu oceli	$f_{y,k} = 500.0$ MPa
účinná výška průřezu	$d =$	1.400	m	modul pružnosti oceli	$E_s = 200.00$ GPa
				součinitel materiálu oceli	$\gamma_s = 1.15$ -
Účinky od lineárního výpočtu					
koncový moment 1 (MSÚ)	$M_{Ed1} =$	0.0	kNm	koncový moment 2 (MSÚ)	$M_{Ed2} = 5450.0$ kNm
koncový moment 1 (kvazi)	$M_{Ek1} =$	0.0	kNm	koncový moment 2 (kvazi)	$M_{Ek2} = 1818.0$ kNm
normálová síla (MSÚ)	$N_{Ed} =$	16577.0	kN	<i>tlakové hodnoty s kladným znaménkem</i>	
koncový moment 1. řádu (1)	$M_{01} =$	0.0	kNm	koncový moment 1. řádu (2)	$M_{02} = 5450.0$ kNm
koncový moment 1. řádu (1)	$M_{01} =$	0.0	kNm	koncový moment 1. řádu (2)	$M_{02} = 1818.0$ kNm
			ekvivaletní koncový moment	$M_{0Ed} = 3270.0$ kNm	
			ekvivaletní koncový moment	$M_{0Eqp} = 1090.8$ kNm	
Přídavné účinky vlivem imperfekcí					
úhel vychýlení	$\theta_i =$	0.003	°	základní úhel vychýlení	$\theta_0 = 0.005$ °
			redukční souč. pro výšku	$\alpha_h = 0.667$ -	
počet prvků	$m =$	6	-	redukční souč. - počet prvků	$\alpha_m = 0.764$ -
excentricita imperfekcí	$e_i =$	0.031	m		
			moment od imperfekcí	$M_i =$	511.8 kNm
Ověření 2. řádu					
limitní štíhlost	$\lambda_{lim} =$	34.763	-	součinitel A	$A = 0.886$ -
poloměr setrvačnosti	$i =$	0.381	m	součinitel B	$B = 1.100$ -
štíhlost	$\lambda =$	63.724	-	součinitel C	$C = 0.700$ -
ÚČINKY 2. ŘÁDU NENÍ MOŽNO ZANEDBAT					
Jmenovitý moment 2. řádu					
délka prvku	$L =$	34.7	m	ČSN EN 1992-1 obr. 5.7	c) vetknutí - kloub
účinná délka	$l_0 =$	24.3	m		
součinitel křivosti	$c =$	9.87	-	5.8.8.2 v EN 92-1: pro konst. moment I. Řádu = 8, jinak $P_i()^2$	
opr. souč. závislý na N_{Ed}	$K_r =$	1.000	-	poměrná normálová síla	$n = 0.154$ -
				balanční poměr. norm. síla	$n_{bal} = 0.400$ -
				maximální poměr. norm. síla	$n_u = 1.082$ -
opr. souč. dotvarování	$K_{\varphi} =$	1.064	-	součinitel beta	$\beta = 0.100$ -
				součinitel dotvarování	$\varphi_{(inf,t0)} = 1.930$ -
				účinný součinitel dotvarování	$\varphi_{ef} = 0.644$ -
křivost	$1/r =$	3.67E-03	-	přetvoř. oceli na mezi kluzu	$\varepsilon_{yd} = 2.174$ ‰
				náhradní křivost	$1/r_0 = 3.45E-03$ -
excentricita od účinků 2. řádu	$e_2 =$	0.219	m		
			jmenovitý moment 2. řádu	$M_2 =$	3629.6 kNm

METODA JMENOVITÉ KŘIVOSTI - doplňkový moment od účinků 2. řádu a imperfekcí - pilíř P10

geometrie a materiály					
plocha průřezu	$A_c =$	5.125	m ²	třída betonu	C35/45
moment setrvačnosti	$I_y =$	0.743	m ⁴	tlaková pevnost	$f_{c,k} = 35.0$ MPa
profil výztuže	$\varnothing =$	20	mm	součinitel materiálu betonu	$\gamma_c = 1.50$ -
počet profilů	$n_{\varnothing} =$	72	ks	součinitel LT účinků	$\alpha_{cc} = 0.9$ -
plocha výztuže	$A_s =$	22619	mm ²	mez kluzu oceli	$f_{y,k} = 500.0$ MPa
účinná výška průřezu	$d =$	1.400	m	modul pružnosti oceli	$E_s = 200.00$ GPa
				součinitel materiálu oceli	$\gamma_s = 1.15$ -
Účinky od lineárního výpočtu					
koncový moment 1 (MSÚ)	$M_{Ed1} =$	0.0	kNm	koncový moment 2 (MSÚ)	$M_{Ed2} = 6052.5$ kNm
koncový moment 1 (kvazi)	$M_{Ek1} =$	0.0	kNm	koncový moment 2 (kvazi)	$M_{Ek2} = 1210.5$ kNm
normálová síla (MSÚ)	$N_{Ed} =$	14898.0	kN	<i>tlakové hodnoty s kladným znaménkem</i>	
koncový moment 1. řádu (1)	$M_{01} =$	0.0	kNm	koncový moment 1. řádu (2)	$M_{02} = 6052.5$ kNm
koncový moment 1. řádu (1)	$M_{01} =$	0.0	kNm	koncový moment 1. řádu (2)	$M_{02} = 1210.5$ kNm
			ekvivaletní koncový moment	$M_{0Ed} = 3631.5$ kNm	
			ekvivaletní koncový moment	$M_{0Eqp} = 726.3$ kNm	
Přídavné účinky vlivem imperfekcí					
úhel vychýlení	$\theta_i =$	0.003	°	základní úhel vychýlení	$\theta_0 = 0.005$ °
			redukční souč. pro výšku	$\alpha_h = 0.667$ -	
počet prvků	$m =$	6	-	redukční souč. - počet prvků	$\alpha_m = 0.764$ -
excentricita imperfekcí	$e_i =$	0.024	m		
			moment od imperfekcí	$M_1 = 356.7$	kNm
Ověření 2. řádu					
limitní štíhlost	$\lambda_{lim} =$	38.425	-	součinitel A	$A = 0.928$ -
poloměr setrvačnosti	$i =$	0.381	m	součinitel B	$B = 1.100$ -
štíhlost	$\lambda =$	49.416	-	součinitel C	$C = 0.700$ -
ÚČINKY 2. ŘÁDU NENÍ MOŽNO ZANEDBAT					
Jmenovitý moment 2. řádu					
délka prvku	$L =$	26.9	m	ČSN EN 1992-1 obr. 5.7	c) vetknutí - kloub
účinná délka	$l_0 =$	18.8	m		
součinitel křivosti	$c =$	9.87	-	5.8.8.2 v EN 92-1: pro konst. moment I. Řádu = 8, jinak $P_i()$ ²	
opr. souč. závislý na N_{Ed}	$K_r =$	1.000	-	poměrná normálová síla	$n = 0.138$ -
				balanční poměr. norm. síla	$n_{bal} = 0.400$ -
				maximální poměr. norm. síla	$n_u = 1.082$ -
opr. souč. dotvarování	$K_{\varphi} =$	1.075	-	součinitel beta	$\beta = 0.196$ -
				součinitel dotvarování	$\varphi_{(inf,t0)} = 1.930$ -
				účinný součinitel dotvarování	$\varphi_{ef} = 0.386$ -
křivost	$1/r =$	3.71E-03	-	přetvoř. oceli na mezi kluzu	$\varepsilon_{yd} = 2.174$ ‰
				náhradní křivost	$1/r_0 = 3.45E-03$ -
excentricita od účinků 2. řádu	$e_2 =$	0.133	m		
			jmenovitý moment 2. řádu	$M_2 = 1981.8$	kNm

METODA JMENOVITÉ KŘIVOSTI - doplňkový moment od účinků 2. řádu a imperfekcí - vysoká stojka

geometrie a materiály							
plocha průřezu	$A_c =$	3.525	m ²	třída betonu		C35/45	
moment setrvačnosti	$I_y =$	0.256	m ⁴	tlaková pevnost	$f_{c,k} =$	35.0	MPa
profil výztuže	$\emptyset =$	16	mm	součinitel materiálu betonu	$\gamma_c =$	1.50	-
počet profilů	$n_{\emptyset} =$	72	ks	součinitel LT účinků	$\alpha_{cc} =$	0.9	-
plocha výztuže	$A_s =$	14476	mm ²	mez kluzu oceli	$f_{y,k} =$	500.0	MPa
účinná výška průřezu	$d =$	1.000	m	modul pružnosti oceli	$E_s =$	200.00	GPa
				součinitel materiálu oceli	$\gamma_s =$	1.15	-
Účinky od lineárního výpočtu							
koncový moment 1 (MSÚ)	$M_{Ed1} =$	0.0	kNm	koncový moment 2 (MSÚ)	$M_{Ed2} =$	3855.0	kNm
koncový moment 1 (kvazi)	$M_{Ek1} =$	0.0	kNm	koncový moment 2 (kvazi)	$M_{Ek2} =$	328.0	kNm
normálová síla (MSÚ)	$N_{Ed} =$	11412.0	kN	<i>tlakové hodnoty s kladným znaménkem</i>			
koncový moment 1. řádu (1)	$M_{01} =$	0.0	kNm	koncový moment 1. řádu (2)	$M_{02} =$	3855.0	kNm
koncový moment 1. řádu (1)	$M_{01} =$	0.0	kNm	koncový moment 1. řádu (2)	$M_{02} =$	328.0	kNm
				ekvivaletní koncový moment	$M_{0Ed} =$	2313.0	kNm
				ekvivaletní koncový moment	$M_{0Eqp} =$	196.8	kNm
Přídavné účinky vlivem imperfekcí							
úhel vychýlení	$\theta_i =$	0.003	°	základní úhel vychýlení	$\theta_0 =$	0.005	°
				redukční souč. pro výšku	$\alpha_h =$	0.667	-
počet prvků	$m =$	4	-	redukční souč. - počet prvků	$\alpha_m =$	0.791	-
excentricita imperfekcí	$e_i =$	0.014	m				
				moment od imperfekcí	$M_i =$	165.3	kNm
Ověření 2. řádu							
limitní štíhlost	$\lambda_{lim} =$	37.975	-	součinitel A	$A =$	0.968	-
poloměr setrvačnosti	$i =$	0.270	m	součinitel B	$B =$	1.100	-
štíhlost	$\lambda =$	40.764	-	součinitel C	$C =$	0.700	-
ÚČINKY 2. ŘÁDU NENÍ MOŽNO ZANEDBAT							
Jmenovitý moment 2. řádu							
délka prvku	$L =$	15.7	m	ČSN EN 1992-1 obr. 5.7	c) vetknutí - kloub		
účinná délka	$l_0 =$	11.0	m				
součinitel křivosti	$c =$	9.87	-	5.8.8.2 v EN 92-1: pro konst. moment I. Řádu = 8, jinak $P_i()$ ²			
opr. souč. závislý na N_{Ed}	$K_r =$	1.000	-	poměrná normálová síla	$n =$	0.154	-
				balanční poměr. norm. síla	$n_{bal} =$	0.400	-
				maximální poměr. norm. síla	$n_u =$	1.077	-
opr. souč. dotvarování	$K_{\varphi} =$	1.042	-	součinitel beta	$\beta =$	0.253	-
				součinitel dotvarování	$\varphi_{(inf,t0)} =$	1.930	-
				účinný součinitel dotvarování	$\varphi_{ef} =$	0.164	-
křivost	$1/r =$	5.03E-03	-	přetvoř. oceli na mezi kluzu	$\varepsilon_{yd} =$	2.174	‰
				náhradní křivost	$1/r_0 =$	4.83E-03	-
excentricita od účinků 2. řádu	$e_2 =$	0.062	m				
				jmenovitý moment 2. řádu	$M_2 =$	702.7	kNm

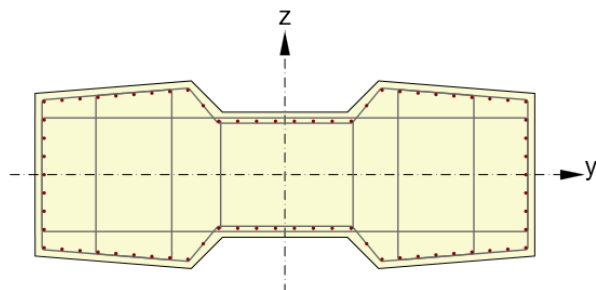
METODA JMENOVITÉ KŘIVOSTI - doplňkový moment od účinků 2. řádu a imperfekcí - nízká stojka

geometrie a materiály							
plocha průřezu	$A_c =$	3.525	m ²	třída betonu		C35/45	
moment setrvačnosti	$I_y =$	0.256	m ⁴	tlaková pevnost	$f_{c,k} =$	35.0	MPa
profil výztuže	$\emptyset =$	16	mm	součinitel materiálu betonu	$\gamma_c =$	1.50	-
počet profilů	$n_{\emptyset} =$	72	ks	součinitel LT účinků	$\alpha_{cc} =$	0.9	-
plocha výztuže	$A_s =$	14476	mm ²	mez kluzu oceli	$f_{y,k} =$	500.0	MPa
účinná výška průřezu	$d =$	1.000	m	modul pružnosti oceli	$E_s =$	200.00	GPa
				součinitel materiálu oceli	$\gamma_s =$	1.15	-
Účinky od lineárního výpočtu							
koncový moment 1 (MSÚ)	$M_{Ed1} =$	0.0	kNm	koncový moment 2 (MSÚ)	$M_{Ed2} =$	0.0	kNm
koncový moment 1 (kvazi)	$M_{Ek1} =$	0.0	kNm	koncový moment 2 (kvazi)	$M_{Ek2} =$	0.0	kNm
normálová síla (MSÚ)	$N_{Ed} =$	10753.0	kN	<i>tlakové hodnoty s kladným znaménkem</i>			
koncový moment 1. řádu (1)	$M_{01} =$	0.0	kNm	koncový moment 1. řádu (2)	$M_{02} =$	0.0	kNm
koncový moment 1. řádu (1)	$M_{01} =$	0.0	kNm	koncový moment 1. řádu (2)	$M_{02} =$	0.0	kNm
				ekvivaletní koncový moment	$M_{0Ed} =$	0.0	kNm
				ekvivaletní koncový moment	$M_{0Eqp} =$	0.0	kNm
Přídavné účinky vlivem imperfekcí							
úhel vychýlení	$\theta_i =$	0.004	°	základní úhel vychýlení	$\theta_0 =$	0.005	°
				redukční souč. pro výšku	$\alpha_h =$	1.000	-
počet prvků	$m =$	4	-	redukční souč. - počet prvků	$\alpha_m =$	0.791	-
excentricita imperfekcí	$e_i =$	0.008	m				
				moment od imperfekcí	$M_i =$	81.8	kNm
Ověření 2. řádu							
limitní štíhlost	$\lambda_{lim} =$	29.153	-	součinitel A	$A =$	0.722	-
poloměr setrvačnosti	$i =$	0.270	m	součinitel B	$B =$	1.100	-
štíhlost	$\lambda =$	14.280	-	součinitel C	$C =$	0.700	-
ÚČINKY 2. ŘÁDU MOŽNO ZANEDBAT							

7.2.3 Návrh výztuže – pilíř P1, P2, P10 a P11

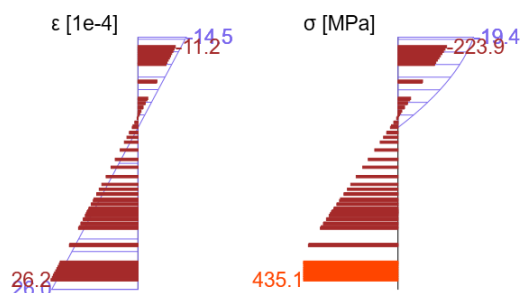
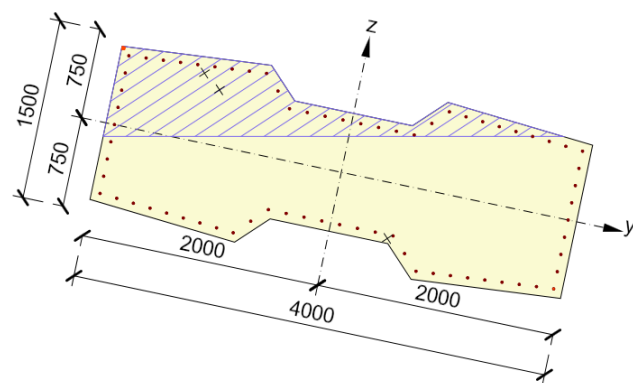
Posouzení pilířů proběhlo v programu IDEA StatiCa s vyhledáním nejhorších extrémů v konstrukci. Na základě metody mezních přetvoření byla navržena výztuž v patě Ø20, smyková výztuž Ø12 po 150 mm. Na grafice a posouzení níže jsou uvedeny výsledky pro nejméně příznivou kombinaci namáhání.

Obrázek 7-4: Schéma vyztužení pilíře v patě



– standardní MSÚ, MSP

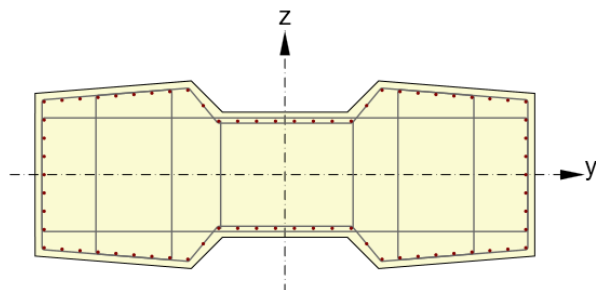
Rozhodující typ posudku	N_{Ed} [kN]	$M_{Ed,y}$ [kNm]	$M_{Ed,z}$ [kNm]	V_{Ed} [kN]	T_{Ed} [kNm]	Hodnota [%]	Posudek
Interakce	-9026.7	7559.1	-16072.3	660.7	0.0	93.38	OK
Typ posudku	N_{Ed} [kN]	$M_{Ed,y}$ [kNm]	$M_{Ed,z}$ [kNm]	V_{Ed} [kN]	T_{Ed} [kNm]	Hodnota [%]	Posudek
Únosnost N-M-M	-9026.7	7559.1	-16072.3			73.34	OK
Smyk	-9026.7			660.7	0.0	30.90	OK
Kroucení					0.0	0.00	OK
Interakce	-9026.7	7559.1	-16072.3	660.7	0.0	93.38	OK
Omezení napětí	-7903.2	4010.0	-10618.9			67.35	OK
Šířka trhliny	-8090.0	2457.0	-229.3			7.09	OK



7.2.4 Návrh výztuže – pilíř P3 a P9

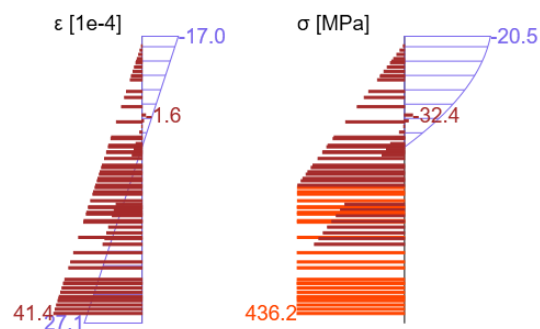
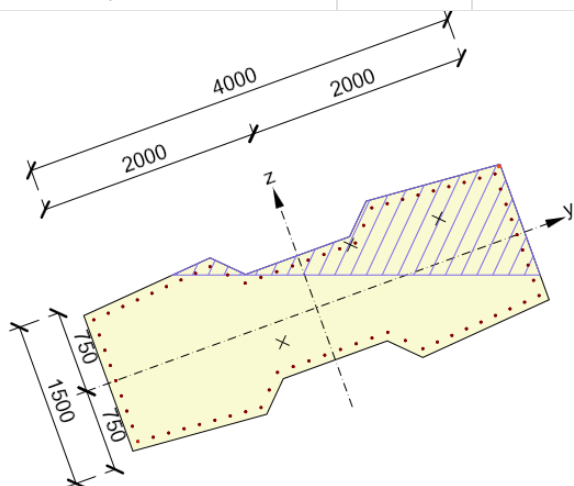
Posouzení pilířů proběhlo v programu IDEA StatiCa s vyhledáním nejhorších extrémů v konstrukci. Na základě metody mezních přetvoření byla navržena výztuž v patě Ø20, smyková výztuž Ø12 po 150 mm. Na grafice a posouzení níže jsou uvedeny výsledky pro nejméně příznivou kombinaci namáhání.

Obrázek 7-5: Schéma vyztužení pilíře v patě



– standardní MSÚ, MSP

Rozhodující typ posudku	N_{Ed} [kN]	$M_{Ed,y}$ [kNm]	$M_{Ed,z}$ [kNm]	V_{Ed} [kN]	T_{Ed} [kNm]	Hodnota [%]	Posudek
Interakce	-12431.4	7399.0	23618.1	719.4	-970.7	93.6	OK
Typ posudku	N_{Ed} [kN]	$M_{Ed,y}$ [kNm]	$M_{Ed,z}$ [kNm]	V_{Ed} [kN]	T_{Ed} [kNm]	Hodnota [%]	Posudek
Únosnost N-M-M	-12431.4	7399.0	23618.1			75.9	OK
Smyk	-12431.4			719.4	-970.7	15.3	OK
Kroucení					-970.7	26.3	OK
Interakce	-12431.4	7399.0	23618.1	719.4	-970.7	93.6	OK
Omezení napětí	-10491.7	3232.2	15628.8			68.7	OK
Šířka trhliny	-9298.6	2084.0	0.0			0.0	OK

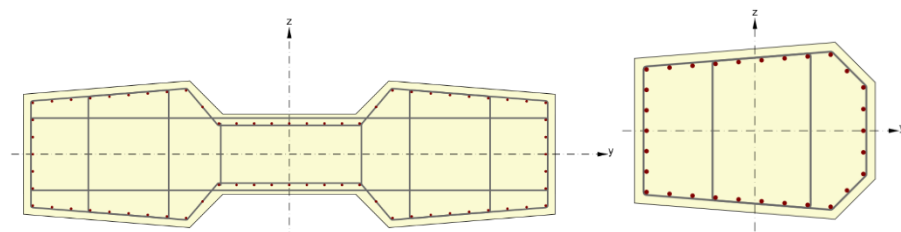


7.2.5 Návrh výztuže – obloukové stojky P4 a P8

Posouzení pilířů proběhlo v programu IDEA StatiCa s vyhledáním nejhorších extrémů v konstrukci.

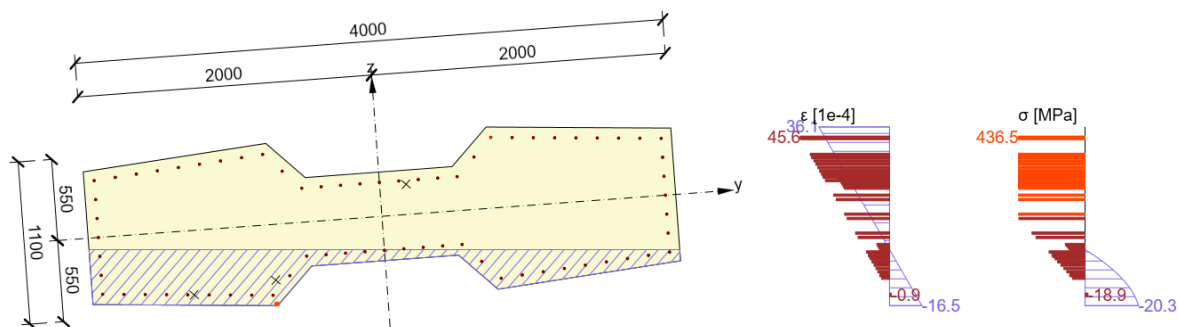
Na základě metody mezních přetvoření byla do plného průřezu pilíře navržena výztuž Ø16, smyková výztuž Ø12 po 150 mm. Do děleného průřezu pak byla navržena výztuž Ø25, smyková výztuž Ø12 po 150 mm. Na grafice a posouzení níže jsou uvedeny výsledky pro nejméně příznivou kombinaci namáhání.

Obrázek 7-6: Schéma vyztužení pilíře v místě dělení (vlevo), schéma vyztužení rozdělené části pilíře (vpravo)



– standardní MSÚ, MSP (plný průřez)

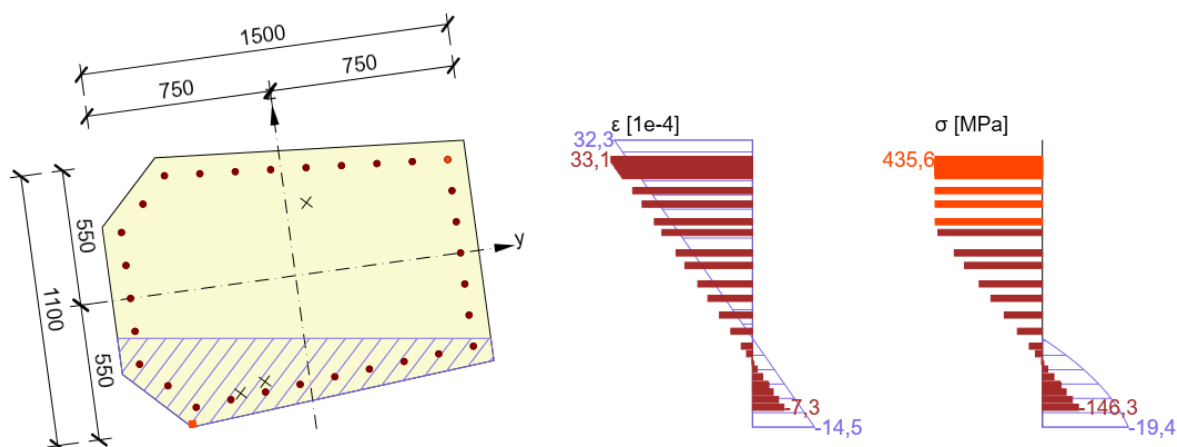
Rozhodující typ posudku	N_{Ed} [kN]	$M_{Ed,y}$ [kNm]	$M_{Ed,z}$ [kNm]	V_{Ed} [kN]	T_{Ed} [kNm]	Hodnota [%]	Posudek
Únosnost N-M-M	-6427.1	-4521.0	-7395.1			94.4	OK
Typ posudku	N_{Ed} [kN]	$M_{Ed,y}$ [kNm]	$M_{Ed,z}$ [kNm]	V_{Ed} [kN]	T_{Ed} [kNm]	Hodnota [%]	Posudek
Únosnost N-M-M	-6427.1	-4521.0	-7395.1			94.4	OK
Smyk	-6427.1			471.6	-210.7	23.2	OK
Kroucení					-210.7	8.8	OK
Interakce	-6427.1	-4521.0	-7395.1	471.6	-210.7	93.7	OK
Omezení napětí	-5696.8	-2726.5	-4950.8			59.9	OK
Šířka trhliny	-6050.9	-408.9	-231.6			0.0	OK



– standardní MSÚ, MSP (dělený průřez)

Rozhodující typ posudku	N_{Ed} [kN]	$M_{Ed,y}$ [kNm]	$M_{Ed,z}$ [kNm]	V_{Ed} [kN]	T_{Ed} [kNm]	Hodnota [%]	Posudek
Omezení napětí	-1338,6	-1768,1	540,2			97,7	OK
Typ posudku	N_{Ed} [kN]	$M_{Ed,y}$ [kNm]	$M_{Ed,z}$ [kNm]	V_{Ed} [kN]	T_{Ed} [kNm]	Hodnota [%]	Posudek
Únosnost N-M-M	-858,0	-2531,0	826,5			81,5	OK
Smyk	-858,0			251,2	53,0	36,2	OK
Kroucení					53,0	6,9	OK
Interakce	-858,0	-2531,0	826,5	251,2	53,0	93,4	OK

Typ posudku	N_{Ed} [kN]	$M_{Ed,y}$ [kNm]	$M_{Ed,z}$ [kNm]	V_{Ed} [kN]	T_{Ed} [kNm]	Hodnota [%]	Posudek
Omezení napětí	-1338,6	-1768,1	540,2			97,7	OK
Šířka trhliny	-3284,0	-218,8	-29,7			0,0	OK

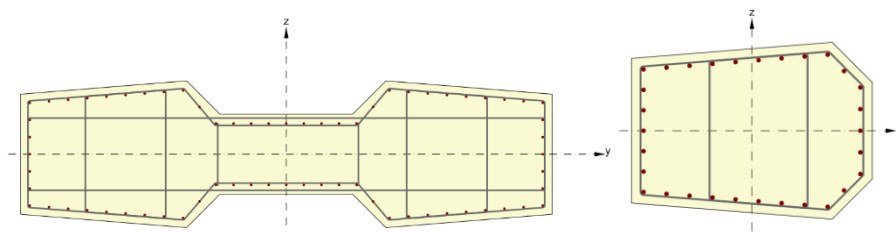


7.2.6 Návrh výztuže – obloukové stojky P5 a P7

Posouzení pilířů proběhlo v programu IDEA StatiCa s vyhledáním nejhorších extrémů v konstrukci.

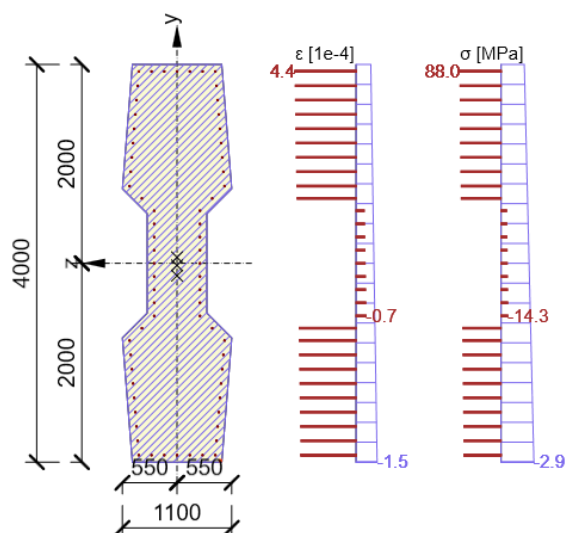
Na základě metody mezních přetvoření byla do plného průřezu pilíře navržena výztuž Ø16, smyková výztuž Ø12 po 150 mm. Do děleného průřezu pak byla navržena výztuž Ø25, smyková výztuž Ø12 po 150 mm. Na grafice a posouzení níže jsou uvedeny výsledky pro nejméně příznivou kombinaci namáhání.

Obrázek 7-7: Schéma vyztužení pilíře v místě dělení (vlevo), schéma vyztužení rozdělené části pilíře (vpravo)



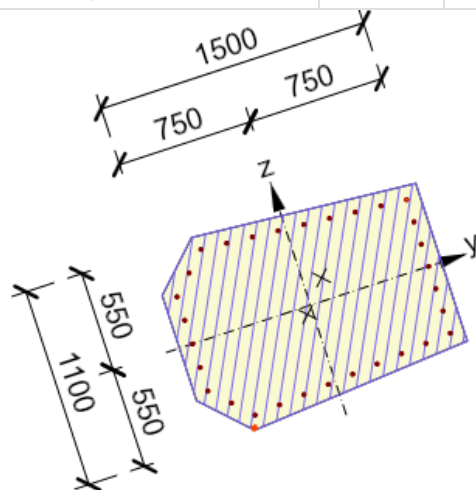
– standardní MSÚ, MSP (plný průřez)

Rozhodující typ posudku	N_{Ed} [kN]	$M_{Ed,y}$ [kNm]	$M_{Ed,z}$ [kNm]	V_{Ed} [kN]	T_{Ed} [kNm]	Hodnota [%]	Posudek
Interakce	-9057,2	0,0	-1268,1	174,9	-443,5	36,1	OK
Typ posudku	N_{Ed} [kN]	$M_{Ed,y}$ [kNm]	$M_{Ed,z}$ [kNm]	V_{Ed} [kN]	T_{Ed} [kNm]	Hodnota [%]	Posudek
Únosnost N-M-M	-9057,2	0,0	-1268,1			13,1	OK
Smyk	-9057,2			174,9	-443,5	4,5	OK
Kroucení					-443,5	25,7	OK
Interakce	-9057,2	0,0	-1268,1	174,9	-443,5	36,1	OK
Omezení napětí	-7322,3	0,0	-730,3			11,0	OK
Šířka trhliny	-5242,2	0,0	51,1			0,0	OK



– standardní MSÚ, MSP (dělený průřez)

Rozhodující typ posudku	N_{Ed} [kN]	$M_{Ed,y}$ [kNm]	$M_{Ed,z}$ [kNm]	V_{Ed} [kN]	T_{Ed} [kNm]	Hodnota [%]	Posudek
Interakce	-4060,9	-182,7	-121,6	132,4	-114,1	32,3	OK
Typ posudku	N_{Ed} [kN]	$M_{Ed,y}$ [kNm]	$M_{Ed,z}$ [kNm]	V_{Ed} [kN]	T_{Ed} [kNm]	Hodnota [%]	Posudek
Únosnost N-M-M	-4060,9	-182,7	-121,6			13,3	OK
Smyk	-4060,9			132,4	-114,1	11,8	OK
Kroucení					-114,1	15,0	OK
Interakce	-4060,9	-182,7	-121,6	132,4	-114,1	32,3	OK
Omezení napětí	-3382,6	-122,0	-117,2			14,2	OK
Šířka trhliny	-2792,8	23,5	-84,3			0,0	OK



7.2.7 Základ pilířů

Základy pilířů byly posouzeny na základě dimenzačních vnitřních sil z desko-stěnového modelu zatíženého pomocí reakcí z globálního modelu, respektive silami ze závěsů a kotev. Souhrnná tabulka extrémních vnitřních sil je uvedena níže. Jednotlivé posouzení v příčném a podélném směru na dalších stranách obdobně jako u příčného směru (tabulkový procesor MS EXCEL s využitím metody mezních přetvoření).

Vnitřní síly - deska - příčný směr											
Řez	Kombinace	Stav	N_x [kN]	Q_z [kN]	M_y [kNm]	Řez	Kombinace	Stav	N_x [kN]	Q_z [kN]	M_y [kNm]
Podélná výztuž (ve směru mostu)	MSÚ	dolní	0.0	1112.0	1264.0	Příčná výztuž	MSÚ	dolní	0.0	1112.0	2036.0
		horní	0.0	1112.0	2.0			horní	0.0	1112.0	6.0
	Char	dolní	0.0	-	959.0		Char	dolní	0.0	-	1561.0
		horní	0.0	-	-			horní	0.0	-	-
	Kvazi	dolní	0.0	-	613.0		Kvazi	dolní	0.0	-	899.0
		horní	0.0	-	-			horní	0.0	-	-
	Výstavba	dolní	19.0	851.0	530.0		Výstavba	dolní	687.0	851.0	1193.0
		horní	438.0	233.0	435.0			horní	223.0	233.0	215.0

- podélný směr

Základ - podélná spodní									
Průřez									
b _{eff} = 1000 mm	b _w = 1000 mm	H = 2000 mm	XD, XS, XF						
c ₁ = 50 mm	c ₂ = 50 mm	W _{k,max} = 0.20 mm							
Materiály									
ocel: B 500	B	beton: C30/37							
f _{yk} = 500 MPa	f _{yk} = 500 MPa	f _{ck} = 30.0 MPa							
f _{yk} = 434.8 MPa	f _{yk} = 434.8 MPa	E _{cm} = 33.0 GPa							
E _y = 200.0 GPa	E _y = 200.0 GPa	f _{td} = 18.0 MPa							
ε _{yk} = 50 [-10 ⁻³]	ε _{yk} = 50 [-10 ⁻³]	f _{ct,m} = 2.9 MPa							
		ε _{ck} = -1.75 [-10 ⁻³]							
Ohybová výtěž									
6.66667 Ø 25 mm	1. řada	A _{s1,1} = 3272 mm ²	(0.164%)						
0 Ø 20 mm	2. řada	A _{s1,2} = mm ²	(0.000%)						
0 Ø 20 mm	3. řada	A _{s1,3} = mm ²	(0.000%)						
6.66667 Ø 25 mm	z=0.079	A _{s2} = 3272 mm ²	(0.164%)						
Rozdělovací výtěž (minimální)									
14.0 Ø 8 mm	A _{s,perp} = 654 mm ²	Stupeň výtěžení							
(pro desky)									
Smyková výtěž									
7 Ø 16 mm	A _{w,strip} = 1407 mm ²	α _w = 90							
S _{w,st} = 450 mm	A _{w,strip} = 3128 mm ² /m ²	ρ _{w,s} = 0.31%							
0 Ø 16 mm	A _{w,bend} = mm ²	α _b = 45							
S _{w,b} = 450 mm	ρ _{w,b} = 0.00% < ρ _{w,s} = 0.31%	Vyhovuje							
Stupeň výtěžení									
ρ _{w,s,min} < ρ _{w,s} < ρ _{w,s,max}									
0.09% 0.31% 1.00% Vyhovuje									
Vnitřní síly na průřezu									
M _{Ed} = 1264 kNm	N _{Ed} = 0 kN	V _{Ed} = 1112 kN	(MSU)						
Excentricita pro MSU:									
M _{Ed,char} = 959 kNm	N _{Ed,char} = 0 kN	e _{char} = 0.000 m	(Charakteristická)						
M _{Ed,kvazi} = 613 kNm	N _{Ed,kvazi} = 0 kN	e _{k,quasi} = 0.000 m	(Kvazistálá)						
Štíhlostní kritérium									
l ₀ = 0.7 * 0 = 0.000 m	λ _{rel} = 500.000	λ = 0.000	L = 0.00 m						
i = √(0.667 / 2.000) = 0.577 m									
Posouzení									
V _{Ed,s} = (0.12 * 1.323 * 0.170 * 30.0 * 0.15 * 0.000) * 1000 = 0.525 MN									
V _{Ed,s} = 0.560 MN	V _{Ed} = 1.112 MN	198% Nevhovuje							
Smyková únosnost - se smykovou výtěž									
1 < cot θ = 1.428 < 2.5	θ = 35.00°	Vyhovuje							
Sklon tlakových diagonál									
soudržitel redukce únosnosti tlak. diag.									
Dodatečná tahová síla									
ΔF _{td} = 1 * 1112 * (1.428 - 0.000)	= 1.588 MN								
Únosnost tlakové diagonály									
V _{Ed,max} = 0.528 * 18.0 * 1000 * 1801 / (0.70021 + 1.42815) = 8.043 MN									
Únosnost tržníků									
V _{Ed,st} = 1407 * 434.8 * 1.801 * 1.42815 / 450 = 3.498 MN									
Únosnost ohybů									
V _{Ed,b} = 0 * 434.8 * 0.707 * 1.801 * 2.42815 / 450 = 0.000 MN									
V _{Ed,s} = 3.498 MN	V _{Ed} = 1.112 MN	32% Vyhovuje							

Základ - podélná spodní									
Průřez									
b _{eff} = 1000 mm	b _w = 1000 mm	H = 2000 mm	XD, XS, XF						
c ₁ = 50 mm	c ₂ = 50 mm	W _{k,max} = 0.20 mm							
Materiály									
ocel: B 500	B	beton: C30/37							
f _{yk} = 500 MPa	f _{yk} = 500 MPa	f _{ck} = 30.0 MPa							
f _{yk} = 434.8 MPa	f _{yk} = 434.8 MPa	E _{cm} = 33.0 GPa							
E _y = 200.0 GPa	E _y = 200.0 GPa	f _{td} = 18.0 MPa							
ε _{yk} = 50 [-10 ⁻³]	ε _{yk} = 50 [-10 ⁻³]	f _{ct,m} = 2.9 MPa							
		ε _{ck} = -1.75 [-10 ⁻³]							
Ohybová výtěž									
6.66667 Ø 25 mm	1. řada	A _{s1,1} = 3272 mm ²	(0.164%)						
0 Ø 20 mm	2. řada	A _{s1,2} = mm ²	(0.000%)						
0 Ø 20 mm	3. řada	A _{s1,3} = mm ²	(0.000%)						
6.66667 Ø 25 mm	z=0.079	A _{s2} = 3272 mm ²	(0.164%)						
Rozdělovací výtěž (minimální)									
14.0 Ø 8 mm	A _{s,perp} = 654 mm ²	Stupeň výtěžení							
(pro desky)									
Smyková výtěž									
7 Ø 16 mm	A _{w,strip} = 1407 mm ²	α _w = 90							
S _{w,st} = 450 mm	A _{w,strip} = 3128 mm ² /m ²	ρ _{w,s} = 0.31%							
0 Ø 16 mm	A _{w,bend} = mm ²	α _b = 45							
S _{w,b} = 450 mm	ρ _{w,b} = 0.00% < ρ _{w,s} = 0.31%	Vyhovuje							
Stupeň výtěžení									
ρ _{w,s,min} < ρ _{w,s} < ρ _{w,s,max}									
0.09% 0.31% 1.00% Vyhovuje									
Vnitřní síly na průřezu									
M _{Ed} = 1264 kNm	N _{Ed} = 0 kN	V _{Ed} = 1112 kN	(MSU)						
Excentricita pro MSU:									
M _{Ed,char} = 959 kNm	N _{Ed,char} = 0 kN	e _{char} = 0.000 m	(Charakteristická)						
M _{Ed,kvazi} = 613 kNm	N _{Ed,kvazi} = 0 kN	e _{k,quasi} = 0.000 m	(Kvazistálá)						
Štíhlostní kritérium									
l ₀ = 0.7 * 0 = 0.000 m	λ _{rel} = 500.000	λ = 0.000	L = 0.00 m						
i = √(0.667 / 2.000) = 0.577 m									
Posouzení									
V _{Ed,s} = (0.12 * 1.323 * 0.170 * 30.0 * 0.15 * 0.000) * 1000 = 0.525 MN									
V _{Ed,s} = 0.560 MN	V _{Ed} = 1.112 MN	198% Nevhovuje							
Smyková únosnost - se smykovou výtěž									
1 < cot θ = 1.428 < 2.5	θ = 35.00°	Vyhovuje							
Sklon tlakových diagonál									
soudržitel redukce únosnosti tlak. diag.									
Dodatečná tahová síla									
ΔF _{td} = 1 * 1112 * (1.428 - 0.000)	= 1.588 MN								
Únosnost tlakové diagonály									
V _{Ed,max} = 0.528 * 18.0 * 1000 * 1801 / (0.70021 + 1.42815) = 8.043 MN									
Únosnost tržníků									
V _{Ed,st} = 1407 * 434.8 * 1.801 * 1.42815 / 450 = 3.498 MN									
Únosnost ohybů									
V _{Ed,b} = 0 * 434.8 * 0.707 * 1.801 * 2.42815 / 450 = 0.000 MN									
V _{Ed,s} = 3.498 MN	V _{Ed} = 1.112 MN	32% Vyhovuje							

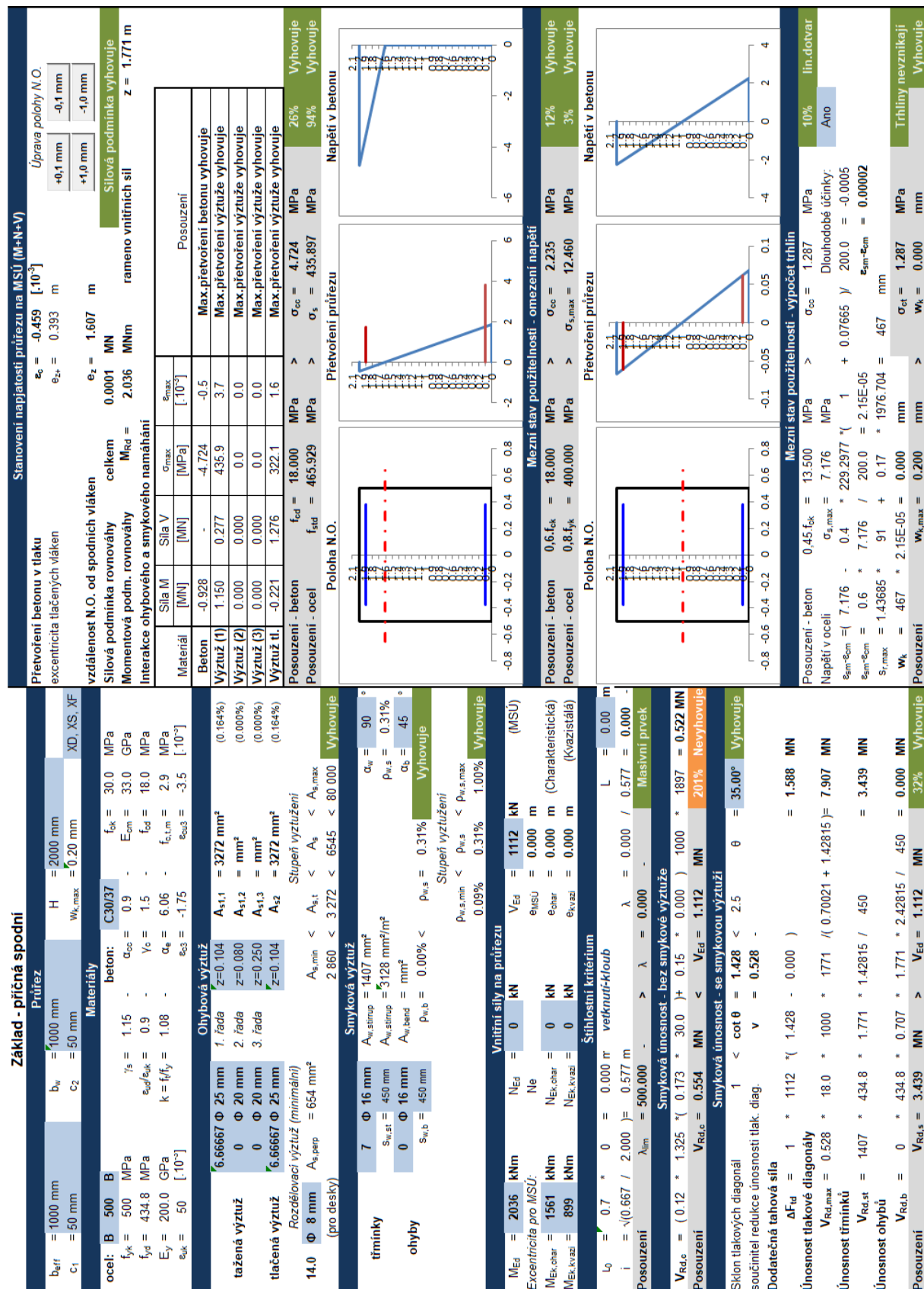
Základ - podélná spodní									
Průřez									
b _{eff} = 1000 mm	b _w = 1000 mm	H = 2000 mm	XD, XS, XF						
c ₁ = 50 mm	c ₂ = 50 mm	W _{k,max} = 0.20 mm							
Materiály									
ocel: B 500	B	beton: C30/37							
f _{yk} = 500 MPa	f _{yk} = 500 MPa	f _{ck} = 30.0 MPa							
f _{yk} = 434.8 MPa	f _{yk} = 434.8 MPa	E _{cm} = 33.0 GPa							
E _y = 200.0 GPa	E _y = 200.0 GPa	f _{td} = 18.0 MPa							
ε _{yk} = 50 [-10 ⁻³]	ε _{yk} = 50 [-10 ⁻³]	f _{ct,m} = 2.9 MPa							
		ε _{ck} = -1.75 [-10 ⁻³]							
Ohybová výtěž									
6.66667 Ø 25 mm	1. řada	A _{s1,1} = 3272 mm ²	(0.164%)						
0 Ø 20 mm	2. řada	A _{s1,2} = mm ²	(0.000%)						
0 Ø 20 mm	3. řada	A _{s1,3} = mm ²	(0.000%)						
6.66667 Ø 25 mm	z=0.079	A _{s2} = 3272 mm ²	(0.164%)						
Rozdělovací výtěž (minimální)									
14.0 Ø 8 mm	A _{s,perp} = 654 mm ²	Stupeň výtěžení							
(pro desky)									
Smyková výtěž									
7 Ø 16 mm	A _{w,strip} = 1407 mm ²	α _w = 90							
S _{w,st} = 450 mm	A _{w,strip} = 3128 mm ² /m ²	ρ _{w,s} = 0.31%							
0 Ø 16 mm	A _{w,bend} = mm ²	α _b = 45							
S _{w,b} = 450 mm	ρ _{w,b} = 0.00% < ρ _{w,s} = 0.31%	Vyhovuje							
Stupeň výtěžení									
ρ _{w,s,min} < ρ _{w,s} < ρ _{w,s,max}									
0.09% 0.31% 1.00% Vyhovuje									
Vnitřní síly na průřezu									
M _{Ed} = 1264 kNm	N _{Ed} = 0 kN	V _{Ed} = 1112 kN	(MSU)						
Excentricita pro MSU:									
M _{Ed,char} = 959 kNm	N _{Ed,char} = 0 kN	e _{char} = 0.000 m	(Charakteristická)						
M _{Ed,kvazi} = 613 kNm	N _{Ed,kvazi} = 0 kN	e _{k,quasi} = 0.000 m	(Kvazistálá)						
Štíhlostní kritérium									
l ₀ = 0.7 * 0 = 0.000 m	λ _{rel} = 500.000	λ = 0.000	L = 0.00 m						
i = √(0.667 / 2.000) = 0.577 m									
Posouzení									
V _{Ed,s} = (0.12 * 1.323 * 0.170 * 30.0 * 0.15 * 0.000) * 1000 = 0.525 MN									
V _{Ed,s} = 0.560 MN	V _{Ed} = 1.112 MN	198% Nevhovuje							
Smyková únosnost - se smykovou výtěž									
1 < cot θ = 1.428 < 2.5	θ = 35.00°	Vyhovuje							
Sklon tlakových diagonál									
soudržitel redukce únosnosti tlak. diag.									
Dodatečná tahová síla									
ΔF _{td} = 1 * 1112 * (1.428 - 0.000)	= 1.588 MN								
Únosnost tlakové diagonály									
V _{Ed,max} = 0.528 * 18.0 * 1000 * 1801 / (0.70021 + 1.42815) = 8.043 MN									
Únosnost tržníků									
V _{Ed,st} = 1407 * 434.8 * 1.801 * 1.42815 / 450 = 3.498 MN									
Únosnost ohybů									
V _{Ed,b} = 0 * 434.8 * 0.707 * 1.801 * 2.42815 / 450 = 0.000 MN									
V _{Ed,s} = 3.498 MN	V _{Ed} = 1.112 MN	32% Vyhovuje							

Základ - podélná spodní									
Průřez									
b _{eff} = 1000 mm	b _w = 1000 mm	H = 2000 mm	XD, XS, XF						
c ₁ = 50 mm	c ₂ = 50 mm	W _{k,max} = 0.20 mm							
Materiály									
ocel: B 500	B	beton: C30/37							
f _{yk} = 500 MPa	f _{yk} = 500 MPa	f _{ck} = 30.0 MPa							
f _{yk} = 434.8 MPa	f _{yk} = 434.8 MPa	E _{cm} = 33.0 GPa							
E _y = 200.0 GPa	E _y = 200.0 GPa	f _{td} = 18.0 MPa							
ε _{yk} = 50 [-10 ⁻³]	ε _{yk} = 50 [-10 ⁻³]	f _{ct,m} = 2.9 MPa							
		ε _{ck} = -1.75 [-10 ⁻³]							
Ohybová výtěž									
6.66667 Ø 25 mm	1. řada	A _{s1,1} = 3272 mm ²	(0.164%)						
0 Ø 20 mm	2. řada	A _{s1,2} = mm ²	(0.000%)						
0 Ø 20 mm	3. řada	A _{s1,3} = mm ²	(0.000%)						
6.66667 Ø 25 mm	z=0.079	A _{s2} = 3272 mm ²	(0.164%)						
Rozdělovací výtěž (minimální)									
14.0 Ø 8 mm	A _{s,perp} = 654 mm ²	Stupeň výtěžení							
(pro desky)									
Smyková výtěž									
7 Ø 16 mm	A _{w,strip} = 1407 mm ²	α _w = 90							
S _{w,st} = 450 mm	A _{w,strip} = 3128 mm ² /m ²	ρ _{w,s} = 0.31%							
0 Ø 16 mm	A _{w,bend} = mm ²	α _b = 45							
S _{w,b} = 450 mm	ρ _{w,b} = 0.00% < ρ _{w,s} = 0.31%	Vyhovuje							
Stupeň výtěžení									
ρ _{w,s,min} < ρ _{w,s} < ρ _{w,s,max}									
0.09% 0.31% 1.00% Vyhovuje									
Vnitřní síly na průřezu									
M _{Ed} = 1264 kNm	N _{Ed} = 0 kN	V _{Ed} = 1112 kN	(MSU)						
Excentricita pro MSU:									
M _{Ed,char} = 959 kNm	N _{Ed,char} = 0 kN	e _{char} = 0.000 m	(Charakteristická)						
M _{Ed,kvazi} = 613 kNm	N _{Ed,kvazi} = 0 kN	e _{k,quasi} = 0.000 m	(Kvazistálá)						
Štíhlostní kritérium									
l ₀ = 0.7 * 0 = 0.000 m	λ _{rel} = 500.000	λ = 0.000	L = 0.00 m						
i = √(0.667 / 2.000) = 0.577 m									
Posouzení									
V _{Ed,s} = (0.12 * 1.323 * 0.170 * 30.0 * 0.15 * 0.000) * 1000 = 0.525 MN									
V _{Ed,s} = 0.560 MN	V _{Ed} = 1.112 MN	198% Nevhovuje							
Smyková únosnost - se smykovou výtěž									
1 < cot θ = 1.428 < 2.5	θ = 35.00°	Vyhovuje							
Sklon tlakových diagonál									
soudržitel redukce únosnosti tlak. diag.									
Dodatečná tahová síla									
ΔF _{td} = 1 * 1112 * (1.428 - 0.000)	= 1.588 MN								
Únosnost tlakové diagonály									
V _{Ed,max} = 0.528 * 18.0 * 1000 * 1801 / (0.70021 + 1.42815) = 8.043 MN									
Únosnost tržníků									
V _{Ed,st} = 1407 * 434.8 * 1.801 * 1.42815 / 450 = 3.498 MN									
Únosnost ohybů									
V _{Ed,b} = 0 * 434.8 * 0.707 * 1.801 * 2.42815 / 450 = 0.000 MN									
V _{Ed,s} = 3.498 MN	V _{Ed} = 1.112 MN	32% Vyhovuje							

Základ - podélná spodní									
Průřez									
b _{eff} = 1000 mm	b _w = 1000 mm	H = 2000 mm	XD, XS, XF						
c ₁ = 50 mm	c ₂ = 50 mm	W _{k,max} = 0.20 mm							
Materiály									
ocel: B 500	B	beton: C30/37							
f _{yk} = 500 MPa	f _{yk} = 500 MPa	f _{ck} = 30.0 MPa							
f _{yk} = 434.8 MPa	f _{yk} = 434.8 MPa	E _{cm} = 33.0 GPa							
E _y = 200.0 GPa	E _y = 200.0 GPa	f _{td} = 18.0 MPa							
ε _{yk} = 50 [-10 ⁻³]	ε _{yk} = 50 [-10 ⁻³]	f _{ct,m} = 2.9 MPa							
		ε _{ck} = -1.75 [-10 ⁻³]							
Ohybová výtěž									
6.66667 Ø 25 mm	1. řada	A _{s1,1} = 3272 mm ²	(0.164%)						
0 Ø 20 mm	2. řada	A _{s1,2} = mm ²	(0.000%)						
0 Ø 20 mm	3. řada	A _{s1,3} = mm ²	(0.000%)						
6.66667 Ø 25 mm	z=0.079	A _{s2} = 3272 mm ²	(0.164%)						
Rozdělovací výtěž (minimální)									
14.0 Ø 8 mm	A _{s,perp} = 654 mm ²	Stupeň výtěžení							
(pro desky)									
Smyková výtěž									
7 Ø 16 mm	A _{w,strip} = 1407 mm ²	α _w = 90							
S _{w,st} = 450 mm	A _{w,strip} = 3128 mm ² /m ²	ρ _{w,s} = 0.31%							
0 Ø 16 mm	A _{w,bend} = mm ²	α _b = 45							
S _{w,b} = 450 mm	ρ _{w,b} = 0.00% < ρ _{w,s} = 0.31%	Vyhovuje							
Stupeň výtěžení									
ρ _{w,s,min} < ρ _{w,s} < ρ _{w,s,max}									
0.09% 0.31% 1.00% Vyhovuje									
Vnitřní síly na průřezu									
M _{Ed} = 1264 kNm	N _{Ed} = 0 kN	V _{Ed} = 1112 kN	(MSU)						
Excentricita pro MSU:									
M _{Ed,char} = 959 kNm	N _{Ed,char} = 0 kN	e _{char} = 0.000 m	(Charakteristická)						
M _{Ed,kvazi} = 613 kNm	N _{Ed,kvazi} = 0 kN	e _{k,quasi} = 0.000 m	(Kvazistálá)						
Štíhlostní kritérium									
l ₀ = 0.7 * 0 = 0.000 m	λ _{rel} = 500.000	λ = 0.000	L = 0.00 m						
i = √(0.667 / 2.000) = 0.577 m									
Posouzení									
V _{Ed,s} = (0.12 * 1.323 * 0.170 * 30.0 * 0.15 * 0.000) * 1000 = 0.525 MN									
V _{Ed,s} = 0.560 MN	V _{Ed} = 1.112 MN	198% Nevhovuje							
Smyková únosnost - se smykovou výtěž									
1 < cot θ = 1.428 < 2.5	θ = 35.00°	Vyhovuje							
Sklon tlakových diagonál									
soudržitel redukce únosnosti tlak. diag.									
Dodatečná tahová síla									
ΔF _{td} = 1 * 1112 * (1.428 - 0.000)	= 1.588 MN								
Únosnost tlakové diagonály									
V _{Ed,max} = 0.528 * 18.0 * 1000 * 1801 / (0.70021 + 1.42815) = 8.043 MN									
Únosnost tržníků									
V _{Ed,st} = 1407 * 434.8 * 1.801 * 1.42815 / 450 = 3.498 MN									
Únosnost ohybů									
V _{Ed,b} = 0 * 434.8 * 0.707 * 1.801 * 2.42815 / 450 = 0.000 MN									
V _{Ed,s} = 3.498 MN	V _{Ed} = 1.112 MN	32% Vyhovuje							

Základ - podélná spodní									
Průřez									
b _{eff} = 1000 mm	b _w = 1000 mm	H = 2000 mm	XD						

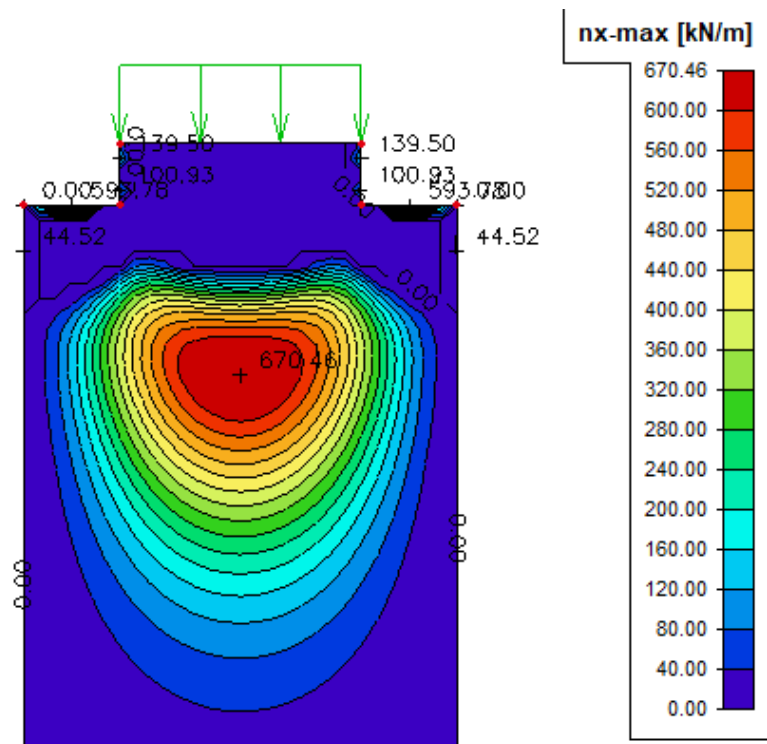
- příčný směr



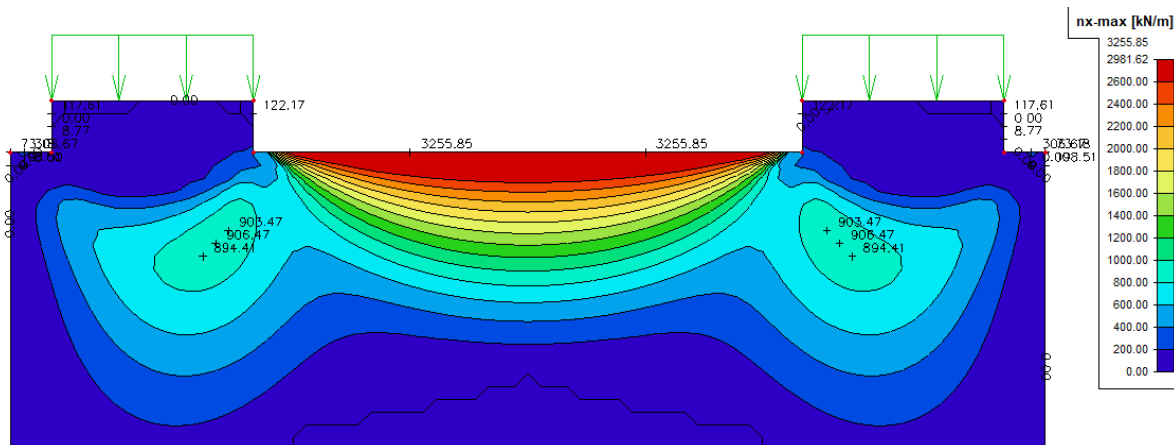
7.2.8 Oblast pod ložisky

Oblast pod ložisky byla navržena obdobně jako kotevní oblast na deskostěnovém modelu.

– příčný řez pilířem v místě ložiska – n_x [kN/m]



– pohled na pilíř v místě ložiska – n_x [kN/m]



NÁVRH BLOČKU							
šířka kotevní desky:	a=	0.540	m	šířka přiřazeného obdélníka:	c=	0.710	m
délka kotevní desky:	a'=	0.540	m	délka přiřazeného obdélníka:	c'=	0.710	m
šířka bločku:	b=	0.780	m	výška bločku:	h=	0.170	m
délka bločku:	l=	0.780	m	plocha ložiska:	A ₀ =	0.292	m ²
pevnost bet. v tlaku:	f _{ck} (t)=	35.000	MPa	plocha přiřazeného obdélníka:	A ₁ =	0.504	m ²
návrhová pevnost:	f _{cd} (t)=	27.611	MPa	návrh. síla od ložiska:	R _{Ed} =	5.210	MN
				max. síla od ložiska:	R _{Rd} =	8.051	MN
NÁVRH ÚLOŽNÉHO PRAHU							
působící šířka bločku:	a=	0.710	m	šířka přiřazeného obdélníka:	c=	2.130	m
působící délka bločku:	a'=	0.710	m	délka přiřazeného obdélníka:	c'=	1.200	m
působící plocha bločku:	A ₀ =	0.504	m ²	vypočtená výška ÚP:	h _{min} =	1.420	m
pevnost bet. v tlaku:	f _{ck} (t)=	35.000	MPa	plocha přiřazeného obdélníka:	A ₁ =	2.556	m ²
návrhová pevnost:	f _{cd} (t)=	47.287	MPa	návrh. síla od ložiska:	R _{Ed} =	5.210	MN
				max. síla od ložiska:	R _{Rd} =	23.837	MN
úhel na usmyknutí lož.:	θ=	30.000	°	vzdálenost bločku od kraje:	b ₀ =	0.160	m
vzdál. hrana od kraje:	b=	0.940	m	výška na usmyknutí ložiska:	h ₀ =	1.628	m
nutná výzt. na usmyknutí	A _r =	5988.506	mm ²	svislá vzdálenost výztuží v ÚP:	s=	0.150	m
počet stříhů v řadě	N=	3.500	-	počet řad výztuže	n=	11.000	-
				nutný průměr výztuže:	Ø=	14.073	mm
NÁVRH VÝZTUŽE DLE ŘEZŮ V DESKOSTĚNOVÉM MODELU							
Podélný řez mostem							
Oblast výztuže	L	F	V _{p,unitav}	f _{yd}	A _{s,req}	Ø	n
	[mm]	[kN]	[-]	[MPa]	[mm ²]	[mm]	[-]
Vodorovná pod lož	1300	482	1	435	1108	12	10
Vodorovná u povrchu	100	5	1	435	11	12	1
Pohled na pilíř							
Oblast výztuže	L	F	V _{p,unitav}	f _{yd}	A _{s,req}	Ø	n
	[mm]	[kN]	[-]	[MPa]	[mm ²]	[mm]	[-]
Vodorovná pod lož	750	496	1	435	1140	12	11
Vodorovná mezi ložisky	750	1095	1	435	2517	12	23

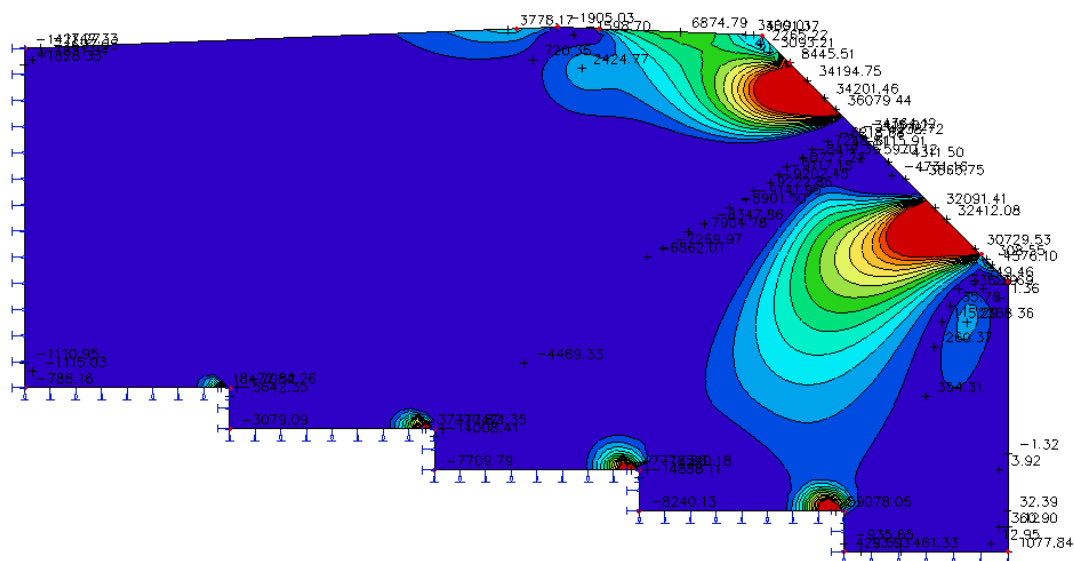
7.3 Základ oblouku

Základy oblouku byly posouzeny na deskovém modelu v programu SCIA Engineer 2008. Model byl vytvořen jako kompletní řez základem. Uložení základu bylo plošné společně s opřením o zadní stěnu výkopu, v souladu s předpokladem provádění základu do předem připraveného ztraceného bednění z betonu.

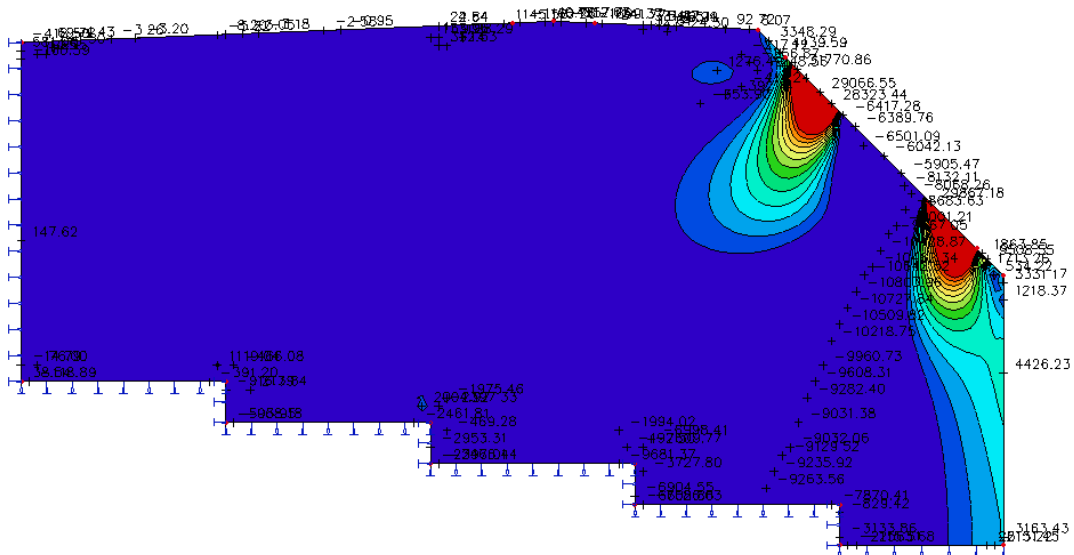
Výsledné izoliny jsou zobrazeny jako obálka jednotlivých maximálních výsledných vnitřních sil od oblouku působících na konstrukci základu. Společně s těmito silami byly zadávány i vnitřní síly od pilíře P3, resp. P9. Tyto síly jsou s ohledem na svou velikost na celkové posouzení základu zanedbatelné.

Pro výztuž byly vytvořeny dva souřadné systémy. První pro návrh vodorovné a svislé výztuže, jehož osa x je vodorovná (GSS). Druhý pak natočený o 45°, tedy rovnoběžný s úložnou hranou oblouku, pro návrh výztuže přenášející příčné tahy pod soustředěným tlakovým zatížením od oblouku (LSS).

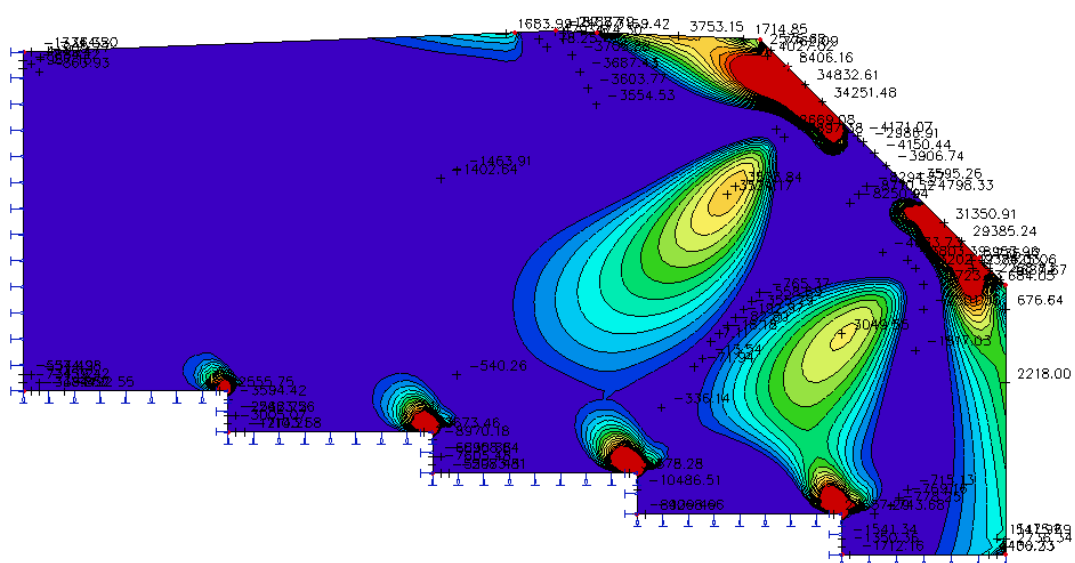
– příčný řez základem oblouku GSS – n_x [kN/m]



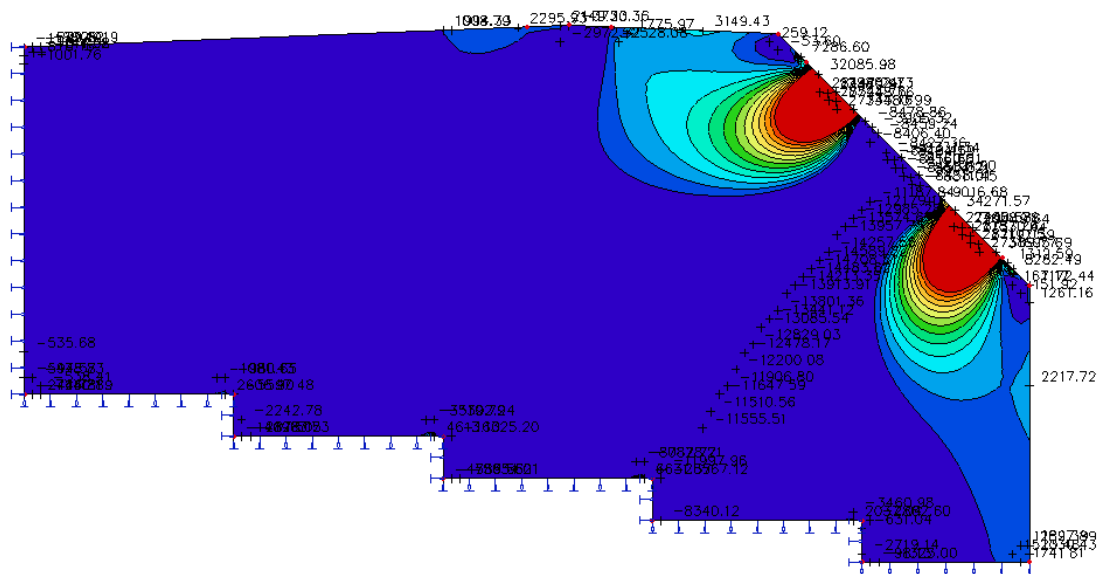
– příčný řez základem oblouku GSS – n_y [kN/m]



– příčný řez základem oblouku LSS – n_x [kN/m]



– příčný řez základem oblouku LSS – n_y [kN/m]



NÁVRH DLE ŘEZŮ V DESKOSTĚNOVÉM MODELU

Vodorovná výztuž - mimo kužel od oblouku

Oblast výztuže	L	F	$\gamma_{p,unfav}$	f_{yd}	$A_{s,req}$	\emptyset	n
	[mm]	[kN]	[-]	[MPa]	[mm ²]	[mm]	[-]
1. vrstva (od spodu)	500	260	1	435	598	20	2
2. vrstva (od spodu)	500	5211	1	435	11979	20	39
3. vrstva (od spodu)	500	3184	1	435	7320	20	24
4. vrstva (od spodu)	500	1630	1	435	3747	20	12
5. vrstva (od spodu)	500	1733	1	435	3984	20	13
6. vrstva (od spodu)	500	0	1	435	0	20	0
7. vrstva (od spodu)	500	0	1	435	0	20	0
8. vrstva (od spodu)	500	0	1	435	0	20	0
9. vrstva (od spodu)	500	0	1	435	0	20	0
10. vrstva (od spodu)	500	0	1	435	0	20	0
3. vrstva (shora)	500	1747	1	435	4016	20	13
2. vrstva (shora)	500	3596	1	435	8267	20	27
1. vrstva (shora)	500	3027	1	435	6959	20	23

Svislá výztuž

Oblast výztuže	L	F	$\gamma_{p,unfav}$	f_{yd}	$A_{s,req}$	\emptyset	n
	[mm]	[kN]	[-]	[MPa]	[mm ²]	[mm]	[-]
Povrchová u vody	1000	2350	1	435	5402	32	7
V kuželu pod HD	500	2488	1	435	5720	20	19

Výztuž na příčné tahy - kužel (rovnoběžně s uložením oblouku)							
Oblast výztuže	L	F	$\gamma_{p,unfav}$	f_{yd}	$A_{s,req}$	\emptyset	n
	[mm]	[kN]	[-]	[MPa]	[mm ²]	[mm]	[-]
Povrch - 1.vrstva	200	4641	1	435	10669	32	14
Povrch - 2.vrstva	500	2866	1	435	6589	25	14
Kužel - 1.oblast	1000	2970	1	435	6828	32	9
Kužel - 2.oblast	1000	2883	1	435	6628	32	9
Kužel - 3.oblast	1000	1785	1	435	4103	32	6

8 Založení

Založení konstrukce je uvažováno plošné na vrstvách žuly. Plošné založení bylo ověřeno na základě reakcí získaných z prutového modelu. Uložení modelu bylo iterativně upravováno na základě výsledné tuhosti získané z SW GEO 5 – Patky. Posouzení únosnosti základové spáry proběhlo ve stejném SW.

S ohledem na kvalitu podloží bylo dosaženo velmi malých sedání základu. S ohledem na tuto skutečnost bylo aplikované nerovnoměrné sedání voleno hodnotou 2,5 mm.

8.1 Opěra OP1

Základ opěry OP1 je uložen na 12 ks pilot délky 7,0 m. Celkové vypočtené sedání piloty na základě IGP je 2,5 mm. Sednutí náhradního základu max. 0,1 mm. Celkové sedání pilot **2,6 mm**.

Trat' Tábor - Písek
SO 20-01

OP1

Posouzení piloty

Vstupní data

Nastavení

(zadané pro aktuální úlohu)

Materiály a normy

Betonové konstrukce :	EN 1992-1-1 (EC2)
Součinitele EN 1992-1-1 :	Česká republika
Ocelové konstrukce :	EN 1993-1-1 (EC3)
Dílčí součinitel únosnosti ocelového průřezu :	$\gamma_{M0} = 1,00$
Dřevěné konstrukce :	EN 1995-1-1 (EC5)
Dílčí součinitel vlastností dřeva :	$\gamma_M = 1,30$
Součinitel vlivu zatížení a vlhkosti (dřevo) :	$k_{mod} = 0,50$
Součinitel šířky průřezu ve smyku (dřevo) :	$k_{cr} = 0,67$

Piloty

Výpočet pro odvodněné podmínky :	ČSN 73 1002
Zatěžovací křivka :	nelineární (Masopust)
Vodorovná únosnost :	pružný poloprostor
Metodika posouzení :	výpočet podle EN 1997
Návrhový přístup :	2 - redukce zatížení a odporu

Parametry zemín

MR1

Objemová tíha :	$\gamma = 20,50 \text{ kN/m}^3$
Úhel vnitřního tření :	$\varphi_{ef} = 29,00^\circ$
Soudržnost zeminy :	$c_{ef} = 2,00 \text{ kPa}$
Poissonovo číslo :	$\nu = 0,32$
Modul přetvárnosti :	$E_{def} = 12,00 \text{ MPa}$
Obj.tíha sat.zeminy :	$\gamma_{sat} = 24,00 \text{ kN/m}^3$
Typ zeminy :	soudržná

MR2

Objemová tíha :	$\gamma = 24,00 \text{ kN/m}^3$
Úhel vnitřního tření :	$\varphi_{ef} = 30,00^\circ$
Soudržnost zeminy :	$c_{ef} = 20,00 \text{ kPa}$
Poissonovo číslo :	$\nu = 0,30$
Modul přetvárnosti :	$E_{def} = 65,00 \text{ MPa}$
Obj.tíha sat.zeminy :	$\gamma_{sat} = 24,00 \text{ kN/m}^3$
Typ zeminy :	soudržná

MR3

Objemová tíha :	$\gamma = 25,50 \text{ kN/m}^3$
Úhel vnitřního tření :	$\varphi_{ef} = 45,00^\circ$
Soudržnost zeminy :	$c_{ef} = 100,00 \text{ kPa}$
Poissonovo číslo :	$\nu = 0,26$
Modul přetvárnosti :	$E_{def} = 250,00 \text{ MPa}$
Obj.tíha sat.zeminy :	$\gamma_{sat} = 25,50 \text{ kN/m}^3$
Typ zeminy :	soudržná

Třída F4, konzistence tuhá

Objemová tíha :	γ = 18,50 kN/m ³
Úhel vnitřního tření :	φ_{ef} = 0,00 °
Soudržnost zeminy :	c_{ef} = 0,00 kPa
Poissonovo číslo :	ν = 0,35
Modul přetvárnosti :	E_{def} = 5,00 MPa
Obj.tíha sat.zeminy :	γ_{sat} = 18,50 kN/m ³

Typ zeminy :	nesoudržná
Modul horiz.stlačitelnosti :	n_h = 4,50 MN/m ³

Geometrie

Profil piloty: kruhová

Rozměry

Průměr d = 0,90 m

Délka l = 7,00 m

Spočtené průřezové charakteristiky

Plocha A = 6,36E-01 m²

Moment setrvačnosti I = 3,22E-02 m⁴

Umístění

Vysazení h = -2,00 m

Hloubka upraveného terénu h_z = 0,00 m

Typ technologie: Vrtané piloty

Modul reakce podloží uvažován podle ČSN 731004.

Materiál konstrukce

Objemová tíha γ = 23,00 kN/m³

Výpočet betonových konstrukcí proveden podle normy EN 1992-1-1 (EC2).

Beton : C 25/30

Válcová pevnost v tlaku f_{ck} = 25,00 MPa

Pevnost v tahu f_{ctm} = 2,60 MPa

Modul pružnosti E_{cm} = 31000,00 MPa

Modul pružnosti ve smyku G = 12917,00 MPa





Ocel podélná : B500

Mez kluzu f_{yk} = 500,00 MPa

Ocel příčná: B500

Mez kluzu f_{yk} = 500,00 MPa

Geologický profil a přiřazení zemín

Číslo	Mocnost vrstvy t [m]	Hloubka z [m]	Přiřazená zemina	Vzorek
1	5,50	0,00 .. 5,50	Třída F4, konzistence tuhá	
2	1,50	5,50 .. 7,00	MR1	
3	1,30	7,00 .. 8,30	MR2	
4	-	8,30 .. ∞	MR3	

Zatížení

Číslo	Zatížení		Název	Typ	N [kN]	M_x [kNm]	M_y [kNm]	H_x [kN]	H_y [kN]
	nové	změna							
1	Ano		Char	Užitné	885,50	0,00	-63,20	-127,78	0,00
2	Ano		MSU	Návrhové	1228,11	0,00	-211,50	-162,74	0,00

Celkové nastavení výpočtu

Výpočet svislé únosnosti : analytické řešení

Typ výpočtu : výpočet pro odvodněné podmínky

Nastavení výpočtu fáze

Návrhová situace : trvalá

Posouzení čís. 1

Posouzení svislé únosnosti piloty podle teorie MS - mezivýsledky

Výpočet únosnosti v patě:

Součinitel únosnosti	$N_c = 133,87$
Součinitel únosnosti	$N_d = 134,87$
Součinitel únosnosti	$N_b = 200,81$
Součinitel únosnosti	$K1 = 1,00$
Výpočtová únosnost na patě piloty	$R_{bd} = 59478,68 \text{ kPa}$
Plocha příčného řezu piloty	$A_p = 6,36E-01 \text{ m}^2$

Únosnost na plášti piloty:

Zkrácení účinné délky piloty $L_p = 5,92 \text{ m}$

Hloubka [m]	Mocnost [m]	φ_d [°]	c_{ud} [kPa]	γ [kN/m ³]	γ_{R2} [—]	f_s [kPa]	R_{si} [kN]
1,08	1,08	0,00	0,00	18,50	1,00	0,00	0,00

Posouzení svislé únosnosti piloty podle teorie MS - výsledky

Výpočet proveden s automatickým výběrem nejnepriznivějších zatěžovacích stavů.

Posouzení tlačené piloty:

Nejnepriznivější zatěžovací stav číslo 2. (MSU)

Únosnost piloty na plášti $R_s = 0,00 \text{ kN}$

Únosnost piloty v patě $R_b = 34398,82 \text{ kN}$

Únosnost piloty $R_c = 34398,82 \text{ kN}$

Extrémní svislá síla $V_d = 1228,11 \text{ kN}$

$R_c = 34398,82 \text{ kN} > 1228,11 \text{ kN} = V_d$

Svislá únosnost piloty VYHOVUJE

Posouzení čís. 1

Výpočet zatěžovací křivky piloty - vstupní data

Vrstva číslo	Počátek [m]	Konec [m]	Mocnost [m]	E_s [MPa]	Součinitel a	Součinitel b
1	0,00	5,50	5,50	0,10	10,10	10,10
2	5,50	7,00	1,50	34,52	91,00	48,00
3	7,00	8,30	1,30	65,40	131,00	94,00
4	8,30	9,00	0,70	139,00	246,00	225,00

Uvažovat zatížení : užité

Součinitel vlivu ochrany dřívku $m_2 = 1,00$

Limitní sedání piloty $s_{lim} = 25,0 \text{ mm}$

Regresní součinitel $e = 2840,00$

Regresní součinitel $f = 1298,00$

Výpočet zatěžovací křivky piloty - mezivýsledky

Mezní síla na plášti piloty $R_{sy} = 919,80 \text{ kN}$

Velikost napětí na patě při R_{sy} $q_0 = 2710,20 \text{ kPa}$

Průměrné pláštové tření $q_s = 66,39 \text{ kPa}$

Průměrný sečnový modul deformace $E_s = 33,49 \text{ MPa}$

Součinitel přenosu zatížení do paty $\beta = 0,51$

Výpočet zatěžovací křivky piloty - výsledky

Zatížení na mezi mobilizace plášt. tření $R_{yu} = 1858,51 \text{ kN}$

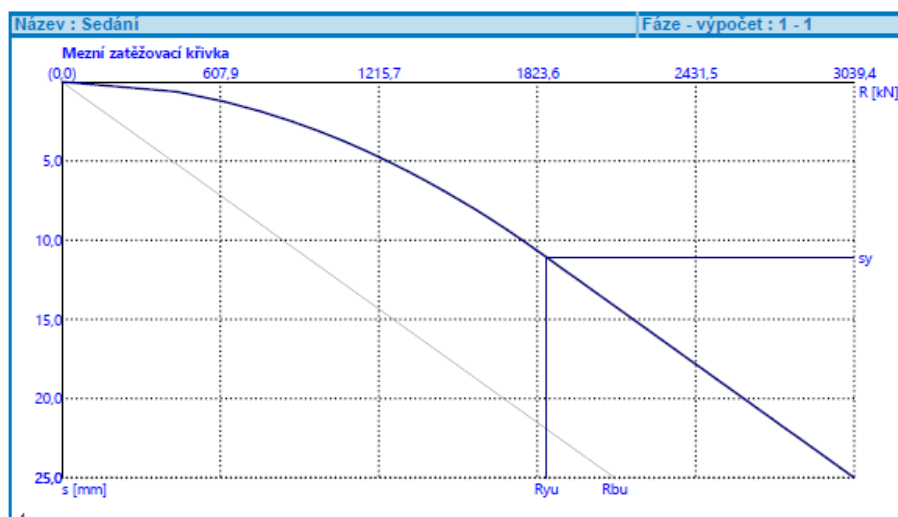
Velikost sedání odpovídající síle R_{yu} $s_y = 11,1 \text{ mm}$

Únosnosti odpovídající sednutí 25,0 mm :

Únosnost paty $R_{bu} = 2119,56 \text{ kN}$

Celková únosnost $R_c = 3039,36 \text{ kN}$

Pro zatížení $Q = 885,50 \text{ kN}$ je sednutí piloty 2,5 mm



Posouzení čís. 1

Vstupní data pro výpočet vodorovné únosnosti piloty

Výpočet proveden s automatickým výběrem nejnepríznivějších zatěžovacích stavů.
Vodorovná únosnost posouzena ve směru maximálního účinku zatížení.

Maximální vnitřní síly a deformace:

Max.deformace piloty = 4,4 mm
Max.posouvající síla = 162,74 kN
Maximální moment = 211,50 kNm

Posouzení na tlak a ohyb

Vyztužení - 12 ks profil 20,0 mm; krytí 118,0 mm
Typ konstrukce (stupně vyztužení) : pilota
Stupeň vyztužení $\rho = 0,593 \% > 0,393 \% = \rho_{min}$
Zatížení : $N_{Ed} = -1228,11$ kN (tlak) ; $M_{Ed} = 211,50$ kNm
Únosnost : $N_{Rd} = -6243,24$ kN; $M_{Rd} = 1075,18$ kNm

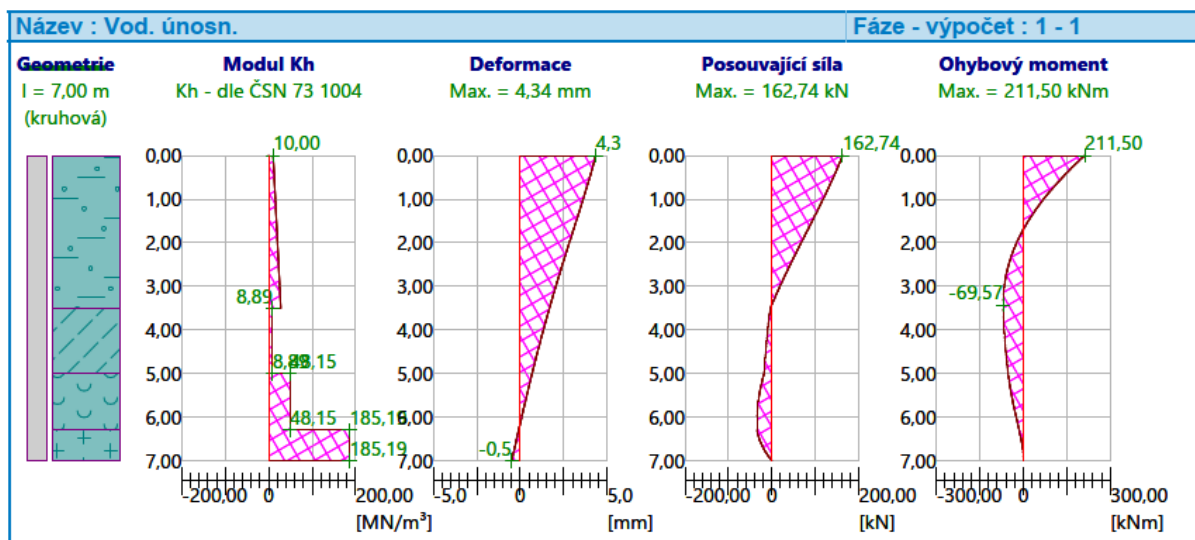
Navržená výztuž piloty VYHOVUJE

Posouzení na smyk

Smyková výztuž - 2 ks profil 8,0 mm; vzdálenost 150,0 mm
 $A_{sw} = 670,2$ mm²
Posouvající síla na mezi únosnosti: $V_{Rd} = 472,06$ kN $> 162,74$ kN = V_{Ed}

Průřez VYHOVUJE.

pouze konstrukční smyková výztuž



Posouzení plošného základu

Vstupní data

Nastavení

(zadané pro aktuální úlohu)

Materiály a normy

Betonové konstrukce : EN 1992-1-1 (EC2)

Součinitele EN 1992-1-1 : standardní

Sedání

Metoda výpočtu : ČSN 73 1001 (Výpočet pomocí edometrického modulu)

Omezení deformační zóny : pomocí strukturní pevnosti

Patky

Výpočet pro odvozené podmínky : EC 7-1 (EN 1997-1:2003)

Posouzení tažené patky : standardní postup

Dovolená excentricita : 0,333

Metodika posouzení : výpočet podle EN 1997

Návrhový přístup : 2 - redukce zatížení a odporu

Geometrie konstrukce

Typ základu: centrická patka

Délka patky $x = 2,60$ m

Šířka patky $y = 5,70$ m

Šířka sloupu ve směru x $c_x = 0,40$ m

Šířka sloupu ve směru y $c_y = 0,40$ m

Objem patky $= 103,74$ m³

Zatížení

Číslo	Zatížení		Název	Typ	N [kN]	M_x [kNm]	M_y [kNm]	H_x [kN]	H_y [kN]
	nové	změna							
1	Ano		Char (celkem 7396 kN, beta = 0,51)	Užitné	3772,00	0,00	0,00	0,00	0,00

Posouzení čís. 1

Sednutí středu hrany $x - 1 = 0,4$ mm

Sednutí středu hrany $x - 2 = 0,4$ mm

Sednutí středu hrany $y - 1 = 0,6$ mm

Sednutí středu hrany $y - 2 = 0,6$ mm

Sednutí středu základu $= 1,2$ mm

Sednutí charakterist. bodu $= 0,7$ mm

(1-hrana max.tlačená; 2-hrana min.tlačená)

Sednutí a natočení základu - výsledky

Tuhost základu:

Spočtený vážený průměrný modul přetvárnosti $E_{def} = 250,00$ MPa

Základ je ve směru délky tuhý ($k=2341,83$)

Základ je ve směru šířky tuhý ($k=222,25$)

Posouzení excentricity zatížení

Max. excentricita ve směru délky patky $e_x = 0,000 < 0,333$

Max. excentricita ve směru šířky patky $e_y = 0,000 < 0,333$

Max. prostorová excentricita $e_t = 0,000 < 0,333$

Excentricita zatížení základu VYHOVUJE

Celkové sednutí a natočení základu:

Sednutí základu $= 0,7$ mm

Hloubka deformační zóny $= 3,01$ m

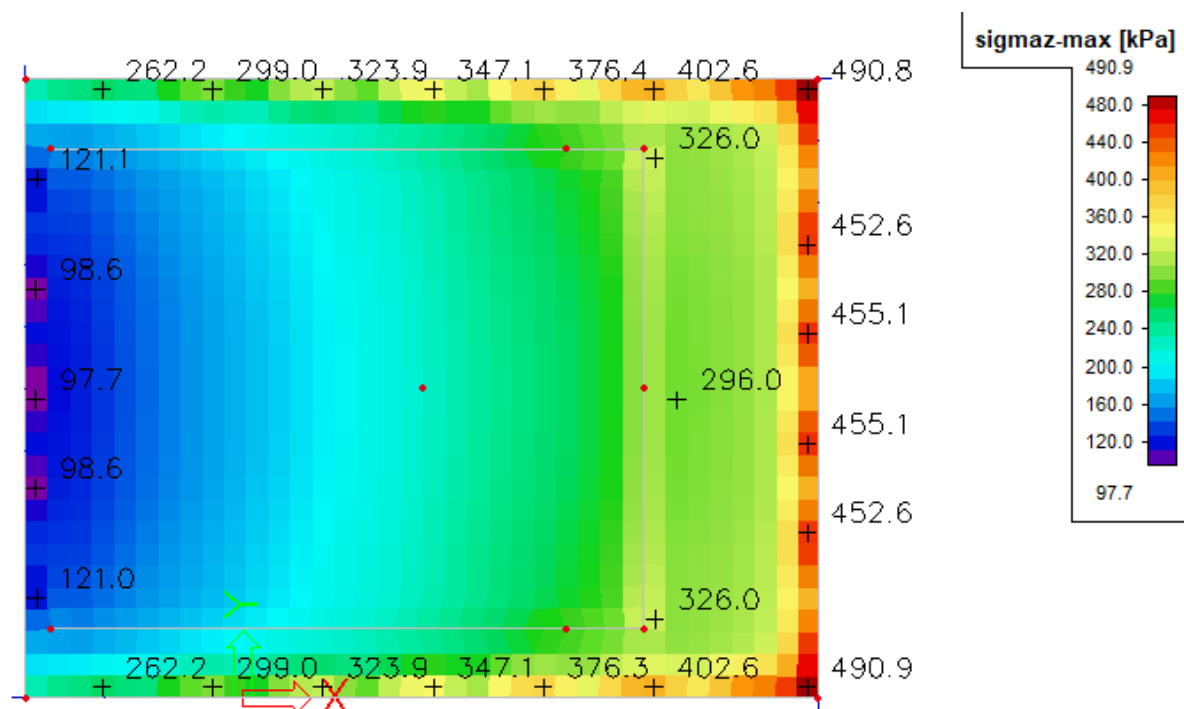
Natočení ve směru $x = 0,000$ (\tan^*1000); ($4,9E-18$ °)

Natočení ve směru $y = 0,000$ (\tan^*1000); ($2,2E-18$ °)

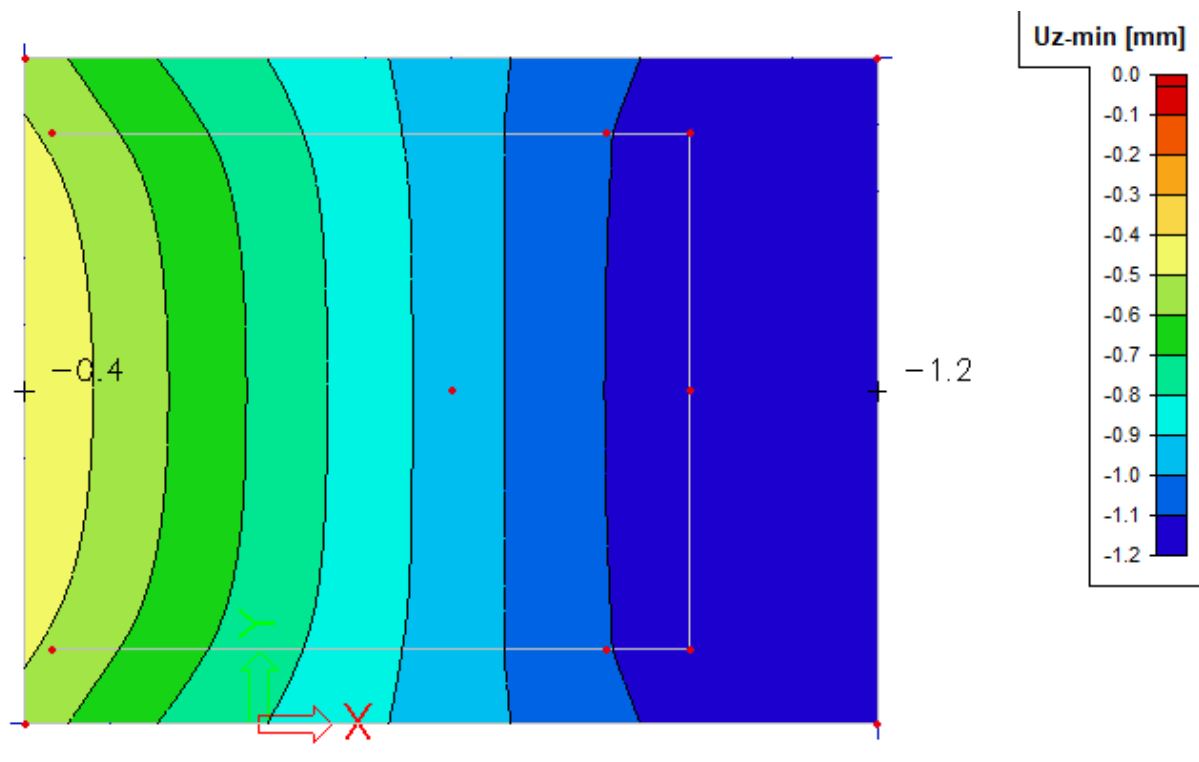
8.2 Opěra OP2

Základ opěry OP2 je založen plošně v úrovni hornin typu MR3 specifikovaných v IGP jako horniny třídy **R4/R3**. Napětí v základové spáře bylo určeno na základě kompletního 3D desko-stěnového modelu opěry v SW SCIA Engineer. Pro možnost posouzení únosnosti základové půdy byly využity reakce při mezním stavu únosnosti. Interakce opěry se zeminou byla řešena modulem Soilin pro zadanou geologii dle IGP. Sednutí základu při charakteristické kombinaci max. **1,2 mm**.

Obrázek 8-1: Napětí v ZS při MSÚ



Obrázek 8-2: Sedání při Charakteristické kombinaci



Maximální dosažené napětí **490 kPa** nedosahuje hodnot předpokládané únosnosti základové spáry udané v IGP, která činí pro horniny MR3 **$R_d = 700$ kPa**. Únosnost základové spáry byla ověřena pomocí výpočtu dle přílohy D v ČSN EN 1997-1 viz souhrn dále.

ÚNOSNOST ZÁKLADOVÉ PŮDY - DLE EN 1997 - příloha D

Geometrie základu					
šířka:	B=	7.100	m	tvár základu:	obdélník
hloubka založení:	D=	4.000	m	délka:	L= 9.100 m
úhel základové spáry:	α =	0.000	°	efektivní plocha:	A'= 44.397 m2
efektivní šířka:	B'=	6.945	m	efektivní délka:	L'= 6.393 m
pozn.: délka základu se uvažuje ve směru mostu, šířka základu je v příčném směru mostu					
Působící síly					
svislá síla:	V _{Ed} =	22427.000	kN	výsledný úhel vodorov. síly:	Θ = 2.439 °
vodorovná síla ve směru L:	H _{x,Ed} =	3592.000	kN	vodorovná síla ve směru B:	H _{y,Ed} = 153.000 kN
ohybový moment ve směru L	M _{y,Ed} =	15992.000	kNm	ohybový moment ve směru E	M _{x,Ed} = 1125.000 kNm
excentricita "L":	e _L =	1.354	m	excentricita "B":	e _B = 0.077 m
Excentricity OK			svislé napětí v ZS:		
			σ_a = 505.148 kPa		
Charakteristiky základové zeminy					
objem. hm. nad ZS:	$\gamma_{1,k}$ =	20.000	kN/m3	objem. hm. pod ZS:	$\gamma_{2,k}$ = 25.500 kN/m3
soudržnost:	c _k =	100.000	kPa	úhel vnitř. tření:	φ_k = 45.000 °
modul pružnosti:	E _{def} =	250.000	MPa	poissonův souč.	ν = 0.260 -
Návrhové charakteristiky zeminy					
Přístup 1 - kombinace 1			Přístup 1 - kombinace 2		Přístup 2
γ_a =	20.000	kN/m3	γ_a =	20.000	kN/m3
c _a =	100.000	kPa	c _a =	80.000	kPa
φ_a =	45.000	°	φ_a =	38.660	°
					φ_a = 45.000 °
Výpočet únosnosti					
Součinitele únosnosti					
N _c =	133.874	-	N _c =	65.553	-
N _q =	134.874	-	N _q =	53.443	-
N _γ =	267.748	-	N _γ =	83.908	-
k _p =	5.828	-	k _p =	4.329	-
					k _p = 5.828 -
Součinitele sklonu základové spáry					
b _c =	1.000	-	b _c =	1.000	-
b _q =b _γ =	1.000	-	b _q =b _γ =	1.000	-
					b _q =b _γ = 1.000 -
Součinitele tvaru základu					
s _c =	1.656	-	s _c =	1.586	-
s _q =	1.651	-	s _q =	1.575	-
s _γ =	0.724	-	s _γ =	0.724	-
					s _γ = 0.724 -
Součinitele vlivu šikmého zatížení					
m _B =	1.479	-	m _B =	1.479	-
m _L =	1.521	-	m _L =	1.521	-
m=	1.521	-	m=	1.521	-
i _c =	0.802	-	i _c =	0.800	-
i _q =	0.804	-	i _q =	0.804	-
i _γ =	0.696	-	i _γ =	0.696	-
					i _γ = 0.696 -
Výpočtová pevnost					
R _d =	44048.666	kPa	R _d =	15810.669	kPa
R _{an} =	22427.000	kN	R _{an} =	17941.600	kN
					R _d = 31463.333 kPa
					R _{an} = 20388.182 kN
SVISLÁ ÚNOSNOST VYHOVUJE			VODOROVNÁ ÚNOSNOST VYHOVUJE		

8.3 Pilíře – samostatně stojící

Základ každého pilíře je založen plošně. Rozměry základů vycházejí z dispozičního řešení s ohledem na fázi výstavby – kotvení provizorních závěsů oblouku.

8.3.1 Pilíř P1

Velikost základu 6,0 x 11,0 m při tloušťce 2,0 m. Celkové sedání vypočteno **2,0 mm**.

Rekonstrukce mostu v km 41,791 trati Tábor - Písek SO 20-01	PROJEKT P1
--	---------------

Posouzení plošného základu

Vstupní data

Projekt

Datum : 29.05.2020

Nastavení

(zadané pro aktuální úlohu)

Materiály a normy

Betonové konstrukce : EN 1992-1-1 (EC2)

Součinitele EN 1992-1-1 : standardní

Sedání

Metoda výpočtu : ČSN 73 1001 (Výpočet pomocí edometrického modulu)

Omezení deformační zóny : pomocí strukturní pevnosti

Patky

Výpočet pro odvozené podmínky : EC 7-1 (EN 1997-1:2003)

Posouzení tažené patky : standardní postup

Dovolená excentricita : 0,333

Metodika posouzení : výpočet podle EN 1997

Návrhový přístup : 2 - redukce zatížení a odporu

Parametry zemin

MR1

Objemová tíha : $\gamma = 20,50 \text{ kN/m}^3$

Úhel vnitřního tření : $\varphi_{ef} = 29,00^\circ$

Soudržnost zeminy : $c_{ef} = 2,00 \text{ kPa}$

Modul přetvárnosti : $E_{def} = 12,00 \text{ MPa}$

Poissonovo číslo : $\nu = 0,32$

Koef. strukturní pevnosti : $m = 0,30$

Obj.tíha sat.zeminy : $\gamma_{sat} = 20,50 \text{ kN/m}^3$

MR2

Objemová tíha : $\gamma = 24,00 \text{ kN/m}^3$

Úhel vnitřního tření : $\varphi_{ef} = 30,00^\circ$

Soudržnost zeminy : $c_{ef} = 20,00 \text{ kPa}$

Modul přetvárnosti : $E_{def} = 65,00 \text{ MPa}$

Poissonovo číslo : $\nu = 0,30$

Koef. strukturní pevnosti : $m = 0,30$

Obj.tíha sat.zeminy : $\gamma_{sat} = 24,00 \text{ kN/m}^3$

MR3

Objemová tíha : $\gamma = 25,50 \text{ kN/m}^3$

Úhel vnitřního tření : $\varphi_{ef} = 45,00^\circ$

Soudržnost zeminy : $c_{ef} = 100,00 \text{ kPa}$

Modul přetvárnosti : $E_{def} = 250,00 \text{ MPa}$

Poissonovo číslo : $\nu = 0,26$

Koef. strukturní pevnosti : $m = 0,20$

Obj.tíha sat.zeminy : $\gamma_{sat} = 25,50 \text{ kN/m}^3$

Obj.tíha sat.zeminy : $\gamma_{\text{sat}} = 26,50 \text{ kN/m}^3$

Založení

Typ základu: centrická patka

Hloubka od původního terénu $h_z = 3,00 \text{ m}$

Hloubka základové spáry $d = 3,00 \text{ m}$

Tloušťka základu $t = 2,00 \text{ m}$

Sklon upraveného terénu $s_1 = 0,00^\circ$

Sklon základové spáry $s_2 = 0,00^\circ$

Objemová tíha zeminy nad základem = $20,00 \text{ kN/m}^3$

Geometrie konstrukce

Typ základu: centrická patka

Délka patky $x = 6,00 \text{ m}$

Šířka patky $y = 11,00 \text{ m}$

Šířka sloupu ve směru x $c_x = 1,30 \text{ m}$

Šířka sloupu ve směru y $c_y = 4,00 \text{ m}$

Objem patky = $132,00 \text{ m}^3$

Geologický profil a přiřazení zemín

Číslo	Mocnost vrstvy t [m]	Hloubka z [m]	Přiřazená zemina	Vzorek
1	2,05	0,00 .. 2,05	MR1	
2	1,85	2,05 .. 3,90	MR2	
3	5,15	3,90 .. 9,05	MR3	
4	-	9,05 .. ∞	MR4	

Zatížení

Číslo	Zatížení		Název	Typ	N [kN]	M _x [kNm]	M _y [kNm]	H _x [kN]	H _y [kN]
	nové	změna							
1	Ano		MSU_N_max	Návrhové	5938,92	2646,87	-3859,56	384,39	-232,12
2	Ano		MSU_N_min	Návrhové	11249,00	1930,01	-5410,98	559,30	-238,67
3	Ano		MSU_Hy_max	Návrhové	9158,34	-4041,83	-4842,22	495,18	474,85
4	Ano		MSU_Hy_min	Návrhové	6949,75	3999,19	-4168,10	419,18	-445,15
5	Ano		MSU_Hx_max	Návrhové	11249,00	1930,01	-5410,98	559,30	-238,67
6	Ano		MSU_Hx_min	Návrhové	5938,92	2646,87	-3859,56	384,39	-232,12
7	Ano		MSU_My_max	Návrhové	5938,92	2646,87	-3859,56	384,39	-232,12
8	Ano		MSU_My_min	Návrhové	11249,00	1930,01	-5410,98	559,30	-238,67
9	Ano		MSU_Mx_max	Návrhové	9589,32	4848,56	-4973,77	510,01	-434,56
10	Ano		MSU_Mx_min	Návrhové	9602,83	-4361,58	-4977,90	510,47	469,91
11	Ano		Char_N_max	Užitné	5207,83	1734,71	-2873,20	290,10	-151,31
12	Ano		Char_N_max	Užitné	8630,98	1229,90	-3918,04	407,90	-156,89
13	Ano		Char_N_max	Užitné	7453,47	-2721,80	-3558,63	367,38	320,14
14	Ano		Char_N_max	Užitné	5898,10	2640,18	-3083,89	313,85	-293,61
15	Ano		Char_N_max	Užitné	8630,98	1229,90	-3918,04	407,90	-156,89
16	Ano		Char_N_max	Užitné	5207,83	1734,71	-2873,20	290,10	-151,31
17	Ano		Char_N_max	Užitné	5207,83	1734,71	-2873,20	290,10	-151,31
18	Ano		Char_N_max	Užitné	8630,98	1229,90	-3918,04	407,90	-156,89
19	Ano		Char_N_max	Užitné	7718,49	3209,09	-3639,52	376,50	-286,46

Číslo	Zatížení		Název	Typ	N [kN]	M _x [kNm]	M _y [kNm]	H _x [kN]	H _y [kN]
	nové	změna							
20	Ano		Char_N_max	Užitné	7760,01	-2942,33	-3652,20	377,93	316,74

Posouzení čís. 1

Výpočet proveden s automatickým výběrem nejnepříznivějších zatěžovacích stavů.

Spočtená vlastní tíha patky $G = 4098,60$ kN

Spočtená tíha nadloží $Z = 1641,60$ kN

Posouzení svislé únosnosti

Tvar kontaktního napětí : obecný

Nejnepříznivější zatěžovací stav číslo 2. (MSU_N_min)

Parametry smykové plochy pod základem:

Hloubka smykové plochy $z_{sp} = 11,41$ m

Dosah smykové plochy $l_{sp} = 37,55$ m

Výpočtová únosnost zákl. půdy $R_d = 123444,27$ kPa

Extrémní kontaktní napětí $\sigma = 299,90$ kPa

Svislá únosnost VYHOVUJE

Posouzení excentricity zatížení

Max. excentricita ve směru délky patky $e_x = 0,076 < 0,333$

Max. excentricita ve směru šířky patky $e_y = 0,026 < 0,333$

Max. prostorová excentricita $e_t = 0,079 < 0,333$

Excentricita zatížení základu VYHOVUJE

Posouzení vodorovné únosnosti

Nejnepříznivější zatěžovací stav číslo 4. (MSU_Hy_min)

Zemní odpor: klidový

Výpočtová velikost zemního odporu $S_{pd} = 253,73$ kN

Horizontální únosnost základu $R_{dh} = 7079,75$ kN

Extrémní horizontální síla $H = 611,45$ kN

Vodorovná únosnost VYHOVUJE

Únosnost základu VYHOVUJE

Posouzení čís. 1

Sednutí a natočení základu - vstupní data

Výpočet proveden s automatickým výběrem nejnepříznivějších zatěžovacích stavů.

Výpočet proveden s uvažováním koeficientu κ_1 (vliv hloubky založení).

Napětí v základové spáře uvažováno od upraveného terénu.

Spočtená vlastní tíha patky $G = 3036,00$ kN

Spočtená tíha nadloží $Z = 1216,00$ kN

Sednutí středu hrany x - 1 = 0,8 mm

Sednutí středu hrany x - 2 = 0,6 mm

Sednutí středu hrany y - 1 = 1,3 mm

Sednutí středu hrany y - 2 = 0,3 mm

Sednutí středu základu = 2,0 mm

Sednutí charakterist. bodu = 1,4 mm

(1-hrana max.tlačená; 2-hrana min.tlačená)

Sednutí a natočení základu - výsledky

Tuhost základu:

Spočtený vážený průměrný modul přetvárnosti $E_{def} = 240,13$ MPa

Základ je ve směru délky tuhý ($k=5,09$)

Základ je ve směru šířky poddajný ($k=0,83$)

Posouzení excentricity zatížení

Max. excentricita ve směru délky patky $e_x = 0,061 < 0,333$

Max. excentricita ve směru šířky patky $e_y = 0,020 < 0,333$

Max. prostorová excentricita $e_t = 0,064 < 0,333$

Excentricita zatížení základu VYHOVUJE

Celkové sednutí a natočení základu:

Sednutí základu = 2,0 mm

Hloubka deformační zóny = 6,32 m

Natočení ve směru x = 0,165 (tan*1000); (9,5E-03 °)

Natočení ve směru y = 0,030 (tan*1000); (1,7E-03 °)

8.3.2 Pilíř P2

Velikost základu 6,0 x 11,0 m při tloušťce 2,0 m. Celkové sedání vypočteno 1,0 mm.

Posouzení plošného základu

Vstupní data

Založení

Typ základu: centrická patka

Hloubka od původního terénu h_z = 4,00 m

Hloubka základové spáry d = 4,00 m

Tloušťka základu t = 2,00 m

Sklon upraveného terénu s_1 = 0,00 °

Sklon základové spáry s_2 = 0,00 °

Objemová tíha zeminy nad základem = 23,00 kN/m³

Geologický profil a přiřazení zemín

Číslo	Mocnost vrstvy t [m]	Hloubka z [m]	Přiřazená zemina	Vzorek
1	1,00	0,00 .. 1,00	MR1	
2	2,20	1,00 .. 3,20	MR2	
3	4,10	3,20 .. 7,30	MR3	
4	-	7,30 .. ∞	MR4	

Zatížení

Číslo	Zatížení		Název	Typ	N [kN]	M _x [kNm]	M _y [kNm]	H _x [kN]	H _y [kN]
	nové	změna							
1	Ano		MSU_N_max	Návrhové	6574,94	12148,77	-5723,02	381,95	-856,51
2	Ano		MSU_N_min	Návrhové	12283,60	10945,16	-8243,09	566,30	-830,80
3	Ano		MSU_Hy_max	Návrhové	7313,45	-15118,54	-6070,05	407,34	1127,93
4	Ano		MSU_Hy_min	Návrhové	7483,48	17560,14	-6150,51	413,22	-1239,18
5	Ano		MSU_Hx_max	Návrhové	12283,42	12159,50	-8243,32	566,32	-870,95
6	Ano		MSU_Hx_min	Návrhové	6575,12	10934,42	-5722,80	381,93	-816,35
7	Ano		MSU_My_max	Návrhové	6575,12	10934,42	-5722,80	381,93	-816,35
8	Ano		MSU_My_min	Návrhové	12283,42	12159,50	-8243,32	566,32	-870,95
9	Ano		MSU_Mx_max	Návrhové	10555,22	17670,04	-7595,34	518,92	-1233,57
10	Ano		MSU_Mx_min	Návrhové	10170,38	-15229,59	-7413,85	505,64	1122,77
11	Ano		Char_N_max	Užitné	5870,24	8167,00	-4322,53	291,74	-575,86
12	Ano		Char_N_max	Užitné	9553,08	7311,66	-6054,59	418,44	-557,83
13	Ano		Char_N_max	Užitné	6408,76	-10011,71	-4575,60	310,25	747,11
14	Ano		Char_N_max	Užitné	6494,83	11784,74	-4616,41	313,23	-831,63
15	Ano		Char_N_max	Užitné	9552,96	8121,22	-6054,74	418,45	-584,60
16	Ano		Char_N_max	Užitné	5870,37	7357,44	-4322,38	291,72	-549,09
17	Ano		Char_N_max	Užitné	5870,37	7357,44	-4322,38	291,72	-549,09
18	Ano		Char_N_max	Užitné	9552,96	8121,22	-6054,74	418,45	-584,60
19	Ano		Char_N_max	Užitné	8637,28	11860,55	-5624,13	386,95	-827,76
20	Ano		Char_N_max	Užitné	8355,05	-10088,33	-5491,07	377,22	743,55

Posouzení čís. 1

Výpočet proveden s automatickým výběrem nejnepríznivějších zatěžovacích stavů.

Spočtená vlastní tíha patky G = 4098,60 kN

Spočtená tíha nadloží $Z = 3775,68 \text{ kN}$

Posouzení svislé únosnosti

Tvar kontaktního napětí : obecný
Nejnepříznivější zatěžovací stav číslo 5. (MSU_Hx_max)

Parametry smykové plochy pod základem:

Hloubka smykové plochy $z_{sp} = 11,41 \text{ m}$

Dosah smykové plochy $l_{sp} = 37,55 \text{ m}$

Výpočtová únosnost zákl. půdy $R_d = 260973,09 \text{ kPa}$

Extrémní kontaktní napětí $\sigma = 398,95 \text{ kPa}$

Svislá únosnost VYHOVUJE

Posouzení excentricity zatížení

Max. excentricita ve směru délky patky $e_x = 0,088 < 0,333$

Max. excentricita ve směru šířky patky $e_y = 0,103 < 0,333$

Max. prostorová excentricita $e_t = 0,135 < 0,333$

Excentricita zatížení základu VYHOVUJE

Posouzení vodorovné únosnosti

Nejnepříznivější zatěžovací stav číslo 4. (MSU_Hy_min)

Zemní odpor: klidový

Výpočtová velikost zemního odporu $S_{pd} = 329,43 \text{ kN}$

Horizontální únosnost základu $R_{dh} = 16337,55 \text{ kN}$

Extrémní horizontální síla $H = 1306,26 \text{ kN}$

Vodorovná únosnost VYHOVUJE

Únosnost základu VYHOVUJE

Posouzení čís. 1

Sednutí středu hrany x - 1 = 0,6 mm

Sednutí středu hrany x - 2 = 0,2 mm

Sednutí středu hrany y - 1 = 0,8 mm

Sednutí středu hrany y - 2 = 0,0 mm

Sednutí středu základu = 1,0 mm

Sednutí charakterist. bodu = 0,6 mm

(1-hrana max.tlačená; 2-hrana min.tlačená)

Sednutí a natočení základu - výsledky

Tuhost základu:

Spočtený vážený průměrný modul přetvárnosti $E_{def} = 581,12 \text{ MPa}$

Základ je ve směru délky tuhý ($k=2,10$)

Základ je ve směru šířky poddajný ($k=0,34$)

Posouzení excentricity zatížení

Max. excentricita ve směru délky patky $e_x = 0,075 < 0,333$

Max. excentricita ve směru šířky patky $e_y = 0,075 < 0,333$

Max. prostorová excentricita $e_t = 0,103 < 0,333$

Excentricita zatížení základu VYHOVUJE

Celkové sednutí a natočení základu:

Sednutí základu = 1,0 mm

Hloubka deformační zóny = 5,91 m

Natočení ve směru x = 0,126 (\tan^*1000); ($7,2E-03^\circ$)

Natočení ve směru y = 0,054 (\tan^*1000); ($3,1E-03^\circ$)

8.3.3 Pilíř P10

Velikost základu 6,0 x 10,0 m při tloušťce 2,0 m. Celkové sedání vypočteno **0,2 mm**.

Posouzení plošného základu

Vstupní data

Založení

Typ základu: centrická patka

Hloubka od původního terénu $h_z = 5,60$ m

Hloubka základové spáry $d = 5,60$ m


Tloušťka základu $t = 2,00$ m

Sklon upraveného terénu $s_1 = 0,00^\circ$

Sklon základové spáry $s_2 = 0,00^\circ$

Objemová tíha zeminy nad základem = 23,00 kN/m³

Geologický profil a přiřazení zemín

Číslo	Mocnost vrstvy t [m]	Hloubka z [m]	Přiřazená zemina	Vzorek
1	-	0,00 .. ∞	MR4	

Zatížení

Číslo	Zatížení		Název	Typ	N [kN]	M _x [kNm]	M _y [kNm]	H _x [kN]	H _y [kN]
	nové	změna							
1	Ano		MSU_N_max	Návrhové	8534,34	-12120,62	-10546,84	-382,47	-456,50
2	Ano		MSU_N_min	Návrhové	14492,26	-10844,94	-15419,79	-563,82	-451,09
3	Ano		MSU_Hy_max	Návrhové	12427,85	14236,82	-14147,42	-516,47	594,53
4	Ano		MSU_Hy_min	Návrhové	9161,08	-16912,49	-11126,45	-404,04	-634,57
5	Ano		MSU_Hx_max	Návrhové	8534,36	-10769,44	-10546,82	-382,46	-442,12
6	Ano		MSU_Hx_min	Návrhové	14492,26	-10844,94	-15419,79	-563,82	-451,09
7	Ano		MSU_My_max	Návrhové	8534,36	-10769,44	-10546,82	-382,46	-442,12
8	Ano		MSU_My_min	Návrhové	14492,23	-12196,12	-15419,81	-563,82	-465,46
9	Ano		MSU_Mx_max	Návrhové	11685,19	14441,52	-13460,63	-490,91	588,04
10	Ano		MSU_Mx_min	Návrhové	11673,47	-16974,45	-13449,86	-490,50	-630,51
11	Ano		Char_N_max	Užitné	7564,81	-8139,13	-8022,55	-291,87	-306,27
12	Ano		Char_N_max	Užitné	11178,55	-7254,79	-11364,41	-416,24	-302,92
13	Ano		Char_N_max	Užitné	10276,13	9429,09	-10529,87	-385,18	394,50
14	Ano		Char_N_max	Užitné	7995,43	-11342,55	-8420,78	-306,69	-425,28
15	Ano		Char_N_max	Užitné	7564,81	-8139,13	-8022,55	-291,87	-306,27
16	Ano		Char_N_max	Užitné	11178,55	-7254,79	-11364,41	-416,24	-302,92
17	Ano		Char_N_max	Užitné	7564,83	-7238,35	-8022,53	-291,87	-296,68
18	Ano		Char_N_max	Užitné	11178,54	-8155,58	-11364,43	-416,24	-312,50
19	Ano		Char_N_max	Užitné	9761,48	9570,26	-10053,94	-367,47	390,02
20	Ano		Char_N_max	Užitné	9730,58	-11385,28	-10025,41	-366,41	-422,47

Posouzení čís. 1

Výpočet proveden s automatickým výběrem nejnepríznivějších zatěžovacích stavů.

Spočtená vlastní tíha patky $G = 4098,60$ kN

Spočtená tíha nadloží $Z = 6796,22$ kN

Posouzení svislé únosnosti

Tvar kontaktního napětí : obecný

Nejnepríznivější zatěžovací stav číslo 8. (MSU_My_min)

Parametry smykové plochy pod základem:

Hloubka smykové plochy $z_{sp} = 11,41$ m

Dosah smykové plochy $l_{sp} = 37,55 \text{ m}$

Výpočtová únosnost zákl. půdy $R_d = 529643,90 \text{ kPa}$

Extrémní kontaktní napětí $\sigma = 522,65 \text{ kPa}$

Svislá únosnost VYHOVUJE

Posouzení excentricity zatížení

Max. excentricita ve směru délky patky $e_x = 0,107 < 0,333$

Max. excentricita ve směru šířky patky $e_y = 0,096 < 0,333$

Max. prostorová excentricita $e_t = 0,138 < 0,333$

Excentricita zatížení základu VYHOVUJE

Posouzení vodorovné únosnosti

Nejnepříznivější zatěžovací stav číslo 4. (MSU_Hy_min)

Zemní odpor: klidový

Výpočtová velikost zemního odporu $S_{pd} = 264,54 \text{ kN}$

Horizontální únosnost základu $R_{dh} = 42017,49 \text{ kN}$

Extrémní horizontální síla $H = 752,28 \text{ kN}$

Vodorovná únosnost VYHOVUJE

Únosnost základu VYHOVUJE

Posouzení čís. 1

Sednutí středu hrany x - 1 = 0,1 mm

Sednutí středu hrany x - 2 = 0,0 mm

Sednutí středu hrany y - 1 = 0,2 mm

Sednutí středu hrany y - 2 = 0,0 mm

Sednutí středu základu = 0,2 mm

Sednutí charakterist. bodu = 0,1 mm

(1-hrana max.tlačená; 2-hrana min.tlačená)

Sednutí a natočení základu - výsledky

Tuhost základu:

Spočtený vážený průměrný modul přetvárnosti $E_{def} = 1250,00 \text{ MPa}$

Základ je ve směru délky poddajný ($k=0,98$)

Základ je ve směru šířky poddajný ($k=0,16$)

Posouzení excentricity zatížení

Max. excentricita ve směru délky patky $e_x = 0,091 < 0,333$

Max. excentricita ve směru šířky patky $e_y = 0,069 < 0,333$

Max. prostorová excentricita $e_t = 0,107 < 0,333$

Excentricita zatížení základu VYHOVUJE

Celkové sednutí a natočení základu:

Sednutí základu = 0,2 mm

Hloubka deformační zóny = 5,18 m

Natočení ve směru x = 0,031 ($\tan \cdot 1000$); (1,8E-03 °)

Natočení ve směru y = 0,010 ($\tan \cdot 1000$); (5,6E-04 °)

8.3.4 Pilíř P10

Velikost základu 6,0 x 10,0 m při tloušťce 2,0 m. Celkové sedání vypočteno **0,2 mm**.

Posouzení plošného základu

Vstupní data

Založení

Typ základu: centrická patka

Hloubka od původního terénu $h_z = 7,20$ m

Hloubka základové spáry $d = 7,20$ m

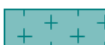

Tloušťka základu $t = 2,00$ m

Sklon upraveného terénu $s_1 = 0,00^\circ$

Sklon základové spáry $s_2 = 0,00^\circ$

Objemová tíha zeminy nad základem = 23,00 kN/m³

Geologický profil a přiřazení zemín

Číslo	Mocnost vrstvy t [m]	Hloubka z [m]	Přiřazená zemina	Vzorek
1	1,30	0,00 .. 1,30	MR2	
2	2,80	1,30 .. 4,10	MR3	
3	-	4,10 .. ∞	MR4	

Zatížení

Číslo	Zatížení		Název	Typ	N [kN]	M _x [kNm]	M _y [kNm]	H _x [kN]	H _y [kN]
	nové	změna							
1	Ano		MSU_N_max	Návrhové	7007,97	8623,78	-6530,89	387,23	-536,38
2	Ano		MSU_N_min	Návrhové	12406,26	5972,65	-9209,74	559,28	-417,66
3	Ano		MSU_Hy_max	Návrhové	7654,83	-9014,73	-6877,50	409,49	605,94
4	Ano		MSU_Hy_min	Návrhové	7709,03	12566,94	-6906,55	411,36	-778,81
5	Ano		MSU_Hx_max	Návrhové	12406,26	5972,65	-9209,74	559,28	-417,66
6	Ano		MSU_Hx_min	Návrhové	7007,97	8623,78	-6530,89	387,23	-536,38
7	Ano		MSU_My_max	Návrhové	7007,97	8623,78	-6530,89	387,23	-536,38
8	Ano		MSU_My_min	Návrhové	12406,26	5972,65	-9209,74	559,28	-417,66
9	Ano		MSU_Mx_max	Návrhové	10626,09	12653,52	-8469,64	511,75	-773,75
10	Ano		MSU_Mx_min	Návrhové	10600,91	-9105,12	-8456,14	510,88	600,97
11	Ano		Char_N_max	Užitné	6132,39	5754,26	-4887,05	292,39	-357,86
12	Ano		Char_N_max	Užitné	9496,66	3955,76	-6689,78	408,17	-279,09
13	Ano		Char_N_max	Užitné	6601,55	-6006,62	-5138,45	308,54	403,79
14	Ano		Char_N_max	Užitné	6611,95	8389,31	-5144,02	308,90	-519,81
15	Ano		Char_N_max	Užitné	9496,66	3955,76	-6689,78	408,17	-279,09
16	Ano		Char_N_max	Užitné	6132,39	5754,26	-4887,05	292,39	-357,86
17	Ano		Char_N_max	Užitné	6132,39	5754,26	-4887,05	292,39	-357,86
18	Ano		Char_N_max	Užitné	9496,66	3955,76	-6689,78	408,17	-279,09
19	Ano		Char_N_max	Užitné	8627,58	8449,02	-6224,09	378,27	-516,32
20	Ano		Char_N_max	Užitné	8629,46	-6068,96	-6225,09	378,33	400,35

Posouzení čís. 1

Výpočet proveden s automatickým výběrem nejnepříznivějších zatěžovacích stavů.

Spočtená vlastní tíha patky $G = 4098,60$ kN

Spočtená tíha nadloží $Z = 9816,77$ kN

Posouzení svislé únosnosti

Tvar kontaktního napětí : obecný

Nejnepříznivější zatěžovací stav číslo 2. (MSU_N_min)

Parametry smykové plochy pod základem:

Hloubka smykové plochy $z_{sp} = 11,41$ m

Dosah smykové plochy $l_{sp} = 37,55$ m

Výpočtová únosnost zákl. půdy $R_d = 570403,24$ kPa

Extrémní kontaktní napětí $\sigma = 475,71$ kPa

Svislá únosnost VYHOVUJE

Posouzení excentricity zatížení

Max. excentricita ve směru délky patky $e_x = 0,076 < 0,333$

Max. excentricita ve směru šířky patky $e_y = 0,056 < 0,333$

Max. prostorová excentricita $e_t = 0,091 < 0,333$

Excentricita zatížení základu VYHOVUJE

Posouzení vodorovné únosnosti

Nejnepříznivější zatěžovací stav číslo 4. (MSU_Hy_min)

Zemní odpor: klidový

Výpočtová velikost zemního odporu $S_{pd} = 343,43$ kN

Horizontální únosnost základu $R_{dh} = 46557,11$ kN

Extrémní horizontální síla $H = 880,77$ kN

Vodorovná únosnost VYHOVUJE

Únosnost základu VYHOVUJE

Posouzení čís. 1

Sednutí středu hrany x - 1 = 0,0 mm

Sednutí středu hrany x - 2 = 0,0 mm

Sednutí středu hrany y - 1 = 0,1 mm

Sednutí středu hrany y - 2 = 0,0 mm

Sednutí středu základu = 0,1 mm

Sednutí charakterist. bodu = 0,1 mm

(1-hrana max.tlačená; 2-hrana min.tlačená)

Sednutí a natočení základu - výsledky

Tuhost základu:

Spočtený vážený průměrný modul přetvárnosti $E_{def} = 1250,00$ MPa

Základ je ve směru délky poddajný ($k=0,98$)

Základ je ve směru šířky poddajný ($k=0,16$)

Posouzení excentricity zatížení

Max. excentricita ve směru délky patky $e_x = 0,063 < 0,333$

Max. excentricita ve směru šířky patky $e_y = 0,039 < 0,333$

Max. prostorová excentricita $e_t = 0,071 < 0,333$

Excentricita zatížení základu VYHOVUJE

Celkové sednutí a natočení základu:

Sednutí základu = 0,1 mm

Hloubka deformační zóny = 3,92 m

Natočení ve směru x = 0,015 (\tan^*1000); ($8,5E-04$ °)

Natočení ve směru y = 0,004 (\tan^*1000); ($2,3E-04$ °)

8.4 Pilíře – základ oblouku P3

Základ oblouku je navržen rozměrů 12,0 x 11,0 m se zazubenou základovou spárou. Pro účely posouzení je základová spára uvažována vodorovná s průměrnou tloušťkou základu 5,4 m. Celkové sedání vypočteno **0,7 mm**.

Pozn.: zatížení vstupující do posouzení základu jsou přepočtena k horní hraně základu v místě navázání díku pilíře.

- Uvedení do provozu

Rekonstrukce mostu v km 41,791 trati Tábor - Písek
SO 20-01

PROJEKT
P3

Posouzení plošného základu

Vstupní data

Založení

Typ základu: excentrická patka

Hloubka od původního terénu $h_z = 8,30$ m

Hloubka základové spáry $d = 5,90$ m

Tloušťka základu $t = 5,40$ m

Sklon upraveného terénu $s_1 = 0,00^\circ$

Sklon základové spáry $s_2 = 0,00^\circ$

Objemová tíha zeminy nad základem = 20,00 kN/m³

Geometrie konstrukce

Typ základu: excentrická patka

Délka patky $x = 12,00$ m

Šířka patky $y = 11,00$ m

Šířka sloupu ve směru x $c_x = 1,30$ m

Šířka sloupu ve směru y $c_y = 4,00$ m

Objem patky = 712,80 m³

Vzdál. osy sloupu od kraje patky ve směru x = 6,50 m

Vzdál. osy sloupu od kraje patky ve směru y = 5,50 m

Geologický profil a přiřazení zemin

Číslo	Mocnost vrstvy t [m]	Hloubka z [m]	Přiřazená zemina	Vzorek
1	-	0,00 .. ∞	MR4	

Zatížení

Číslo	Zatížení nové změna	Název	Typ	N [kN]	M _x [kNm]	M _y [kNm]	H _x [kN]	H _y [kN]
1	Ano	MSU-b-MVL-Gmin-MVL-max	Návrhové	39217,17	-62923,99	-15724,97	-38127,12	-2199,11
2	Ano	MSU-b-MVL-Gmin-MVL-min	Návrhové	60776,74	62923,99	-406664,81	-48647,24	2199,11
3	Ano	MSU-b-MVL-Gmin-T-max	Návrhové	39227,67	-64360,09	-23174,64	-37994,61	-2237,94
4	Ano	MSU-b-MVL-Gmin-T-min	Návrhové	58067,88	64360,09	-389701,71	-46358,51	2237,94
5	Ano	MSU-b-MVL-Gmin-W-max	Návrhové	39840,97	-82940,29	-43703,65	-38002,99	-2900,35
6	Ano	MSU-b-MVL-Gmin-W-min	Návrhové	57456,14	82940,29	-368865,19	-46407,04	2900,35
7	Ano	MSU-a-MVL-Gmax-max	Návrhové	54997,00	-62848,10	-104791,69	-51289,64	-2195,20
8	Ano	MSU-a-MVL-Gmax-min	Návrhové	72612,17	62848,10	-429953,22	-59693,69	2195,20
9	Ano	MSU-b-MVL-Gmax-MVL-max	Návrhové	45712,61	-62923,99	-41905,56	-43821,40	-2199,11
10	Ano	MSU-b-MVL-Gmax-MVL-min	Návrhové	67272,19	62923,99	-432845,40	-54341,52	2199,11
11	Ano	MSU-b-MVL-Gmax-T-max	Návrhové	45723,12	-64360,09	-49355,23	-43688,89	-2237,94
12	Ano	MSU-b-MVL-Gmax-T-min	Návrhové	64563,32	64360,09	-415882,30	-52052,79	2237,94
13	Ano	MSU-b-MVL-Gmax-W-max	Návrhové	46336,41	-82940,29	-69884,24	-43697,27	-2900,35
14	Ano	MSU-b-MVL-Gmax-W-min	Návrhové	63951,58	82940,29	-395045,77	-52101,32	2900,35
15	Ano	Char-MVL-max	Užitné	40491,78	-41958,05	-69404,67	-37938,69	-1466,52
16	Ano	Char-MVL-min	Užitné	55318,21	41958,05	-337591,96	-45195,33	1466,52
17	Ano	Char-T-max	Užitné	40513,13	-42913,71	-75014,30	-37847,50	-1492,32
18	Ano	Char-T-min	Užitné	53435,96	42913,71	-325414,26	-43618,01	1492,32
19	Ano	Char-W-max	Užitné	40921,99	-55300,50	-88700,31	-37853,08	-1933,93
20	Ano	Char-W-min	Užitné	53028,14	55300,50	-311523,25	-43650,36	1933,93

Hladina podzemní vody

Hladina podzemní vody je v hloubce 6,00 m od původního terénu.

Posouzení čís. 1

Výpočet proveden s automatickým výběrem nejnepříznivějších zatěžovacích stavů.

Spočtená vlastní tíha patky $G = 13358,40 \text{ kN}$
Spočtená tíha nadloží $Z = 1268,00 \text{ kN}$

Posouzení svislé únosnosti

Tvar kontaktního napětí : obecný
Nejnepříznivější zatěžovací stav číslo 1. (MSU-b-MVL-Gmin-MVL-max)

Parametry smykové plochy pod základem:
Hloubka smykové plochy $z_{sp} = 20,92 \text{ m}$
Dosah smykové plochy $l_{sp} = 68,84 \text{ m}$

Výpočtová únosnost zákl. půdy $R_d = 146582,55 \text{ kPa}$
Extrémní kontaktní napětí $\sigma = 1156,08 \text{ kPa}$

Svislá únosnost VYHOVUJE

Posouzení excentricity zatížení

Max. excentricita ve směru délky patky $e_x = 0,264 < 0,333$
Max. excentricita ve směru šířky patky $e_y = 0,165 < 0,333$
Max. prostorová excentricita $e_t = 0,293 < 0,333$

Excentricita zatížení základu VYHOVUJE

Posouzení vodorovné únosnosti

Nejnepříznivější zatěžovací stav číslo 9. (MSU-b-MVL-Gmax-MVL-max)
Zemní odpor: klidový
Výpočtová velikost zemního odporu $S_{pd} = 858,34 \text{ kN}$

Horizontální únosnost základu $R_{dh} = 103531,50 \text{ kN}$
Extrémní horizontální síla $H = 43876,54 \text{ kN}$

Vodorovná únosnost VYHOVUJE

Únosnost základu VYHOVUJE

Posouzení čís. 1

Sednutí středu hrany x - 1 = 0,7 mm
Sednutí středu hrany x - 2 = 0,2 mm
Sednutí středu hrany y - 1 = 1,2 mm
Sednutí středu hrany y - 2 = 0,0 mm
Sednutí středu základu = 1,2 mm
Sednutí charakterist. bodu = 0,6 mm
(1-hrana max.tlačená; 2-hrana min.tlačená)

Sednutí a natočení základu - výsledky

Tuhost základu:

Spočtený vážený průměrný modul přetvárnosti $E_{def} = 1250,00 \text{ MPa}$
Základ je ve směru délky tuhý ($k=2,41$)
Základ je ve směru šířky tuhý ($k=3,12$)

Posouzení excentricity zatížení

Max. excentricita ve směru délky patky $e_x = 0,174 < 0,333$
Max. excentricita ve směru šířky patky $e_y = 0,108 < 0,333$

Max. prostorová excentricita $e_t = 0,193 < 0,333$

Excentricita zatížení základu VYHOVUJE

Celkové sednutí a natočení základu:

Sednutí základu = 0,6 mm
Hloubka deformační zóny = 9,84 m
Natočení ve směru x = 0,097 (\tan^*1000); ($5,6E-03^\circ$)
Natočení ve směru y = 0,071 (\tan^*1000); ($4,1E-03^\circ$)

- Konec životnosti

Posouzení plošného základu

Vstupní data

Nastavení

(zadané pro aktuální úlohu)

Materiály a normy

Betonové konstrukce : EN 1992-1-1 (EC2)

Součinitele EN 1992-1-1 : standardní

Sedání

Metoda výpočtu : ČSN 73 1001 (Výpočet pomocí edometrického modulu)

Omezení deformační zóny : pomocí strukturní pevnosti

Patky

Výpočet pro odvodněné podmínky : EC 7-1 (EN 1997-1:2003)

Posouzení tažené patky : standardní postup

Dovolená excentricita : 0,333

Metodika posouzení : výpočet podle EN 1997

Návrhový přístup : 2 - redukce zatížení a odporu

Založení

Typ základu: excentrická patka

Hloubka od původního terénu $h_z = 8,30$ m

Hloubka základové spáry $d = 5,90$ m

Tloušťka základu $t = 5,40$ m

Sklon upraveného terénu $s_1 = 0,00$ °

Sklon základové spáry $s_2 = 0,00$ °

Objemová tíha zeminy nad základem = 20,00 kN/m³

Geometrie konstrukce

Typ základu: excentrická patka

Délka patky $x = 12,00$ m

Šířka patky $y = 11,00$ m

Šířka sloupu ve směru x $c_x = 1,30$ m

Šířka sloupu ve směru y $c_y = 4,00$ m

Objem patky = 712,80 m³

Vzdál. osy sloupu od kraje patky ve směru x = 6,50 m

Vzdál. osy sloupu od kraje patky ve směru y = 5,50 m

Geologický profil a přiřazení zemin

Číslo	Mocnost vrstvy t [m]	Hloubka z [m]	Přiřazená zemina	Vzorek
1	-	0,00 .. ∞	MR4	

Zatížení

Číslo	Zatížení nové změna	Název	Typ	N [kN]	M _x [kNm]	M _y [kNm]	H _x [kN]	H _y [kN]
1	Ano	MSU-b-MVL-Gmin-MVL-max	Návrhové	34130,67	61055,08	-34490,70	-37332,55	2131,32
2	Ano	MSU-b-MVL-Gmin-MVL-min	Návrhové	65594,98	-62360,80	-411899,28	-48247,18	-2131,32
3	Ano	MSU-b-MVL-Gmin-T-max	Návrhové	35049,59	61443,94	-43025,89	-37168,74	2143,59
4	Ano	MSU-b-MVL-Gmin-T-min	Návrhové	62017,30	-62749,66	-393412,51	-46001,53	-2143,59
5	Ano	MSU-b-MVL-Gmin-W-max	Návrhové	35741,25	81117,19	-61510,53	-37236,07	2836,87
6	Ano	MSU-b-MVL-Gmin-W-min	Návrhové	61327,21	-82858,15	-374620,41	-45991,10	-2836,87
7	Ano	MSU-a-MVL-Gmax-max	Návrhové	50897,28	61025,03	-122598,56	-50522,72	2131,71
8	Ano	MSU-a-MVL-Gmax-min	Návrhové	76483,24	-62330,75	-435708,45	-59277,75	-2131,71

Číslo	Zatížení		Název	Typ	N [kN]	M _x [kNm]	M _y [kNm]	H _x [kN]	H _y [kN]
	nové	změna							
9	Ano		MSU-b-MVL-Gmax-MVL-max	Návrhové	40626,12	61055,08	-60671,29	-43026,83	2131,32
10	Ano		MSU-b-MVL-Gmax-MVL-min	Návrhové	72090,42	-62360,80	-438079,87	-53941,45	-2131,32
11	Ano		MSU-b-MVL-Gmax-T-max	Návrhové	41545,04	61443,94	-69206,48	-42863,02	2143,59
12	Ano		MSU-b-MVL-Gmax-T-min	Návrhové	68512,75	-62749,66	-419593,10	-51695,81	-2143,59
13	Ano		MSU-b-MVL-Gmax-W-max	Návrhové	42236,69	81117,19	-87691,11	-42930,35	2836,87
14	Ano		MSU-b-MVL-Gmax-W-min	Návrhové	67822,65	-82858,15	-400801,00	-51685,38	-2836,87
15	Ano		Char-MVL-max	Užitné	36975,66	40706,84	-85660,34	-37216,51	1420,83
16	Ano		Char-MVL-min	Užitné	58627,54	-41577,32	-344656,71	-44741,16	-1420,83
17	Ano		Char-T-max	Užitné	37625,30	40965,39	-91971,61	-37105,09	1429,03
18	Ano		Char-T-min	Užitné	56144,31	-41835,87	-331475,21	-43192,20	-1429,03
19	Ano		Char-W-max	Užitné	38086,40	54080,89	-104294,70	-37149,98	1891,21
20	Ano		Char-W-min	Užitné	55684,25	-55241,53	-318947,15	-43185,24	-1891,21

Hladina podzemní vody

Hladina podzemní vody je v hloubce 6,00 m od původního terénu.

Posouzení čís. 1

Výpočet proveden s automatickým výběrem nejnejpříznivějších zatěžovacích stavů.

Spočtená vlastní tíha patky $G = 13358,40$ kN

Spočtená tíha nadloží $Z = 1268,00$ kN

Posouzení svislé únosnosti

Tvar kontaktního napětí : obecný

Nejpříznivější zatěžovací stav číslo 1. (MSU-b-MVL-Gmin-MVL-max)

Parametry smykové plochy pod základem:

Hloubka smykové plochy $z_{sp} = 20,92$ m

Dosah smykové plochy $l_{sp} = 68,84$ m

Výpočtová únosnost zákl. půdy $R_d = 135553,39$ kPa

Extrémní kontaktní napětí $\sigma = 1039,59$ kPa

Svislá únosnost VYHOVUJE

Posouzení excentricity zatížení

Max. excentricita ve směru délky patky $e_x = 0,256 < 0,333$

Max. excentricita ve směru šířky patky $e_y = 0,174 < 0,333$

Max. prostorová excentricita $e_t = 0,290 < 0,333$

Excentricita zatížení základu VYHOVUJE

Posouzení vodorovné únosnosti

Nejpříznivější zatěžovací stav číslo 9. (MSU-b-MVL-Gmax-MVL-max)

Zemní odpor: klidový

Výpočtová velikost zemního odporu $S_{pd} = 858,34$ kN

Horizontální únosnost základu $R_{dh} = 97335,47$ kN

Extrémní horizontální síla $H = 43079,58$ kN

Vodorovná únosnost VYHOVUJE

Únosnost základu VYHOVUJE

Posouzení čís. 1

Sednutí středu hrany x - 1 = 0,8 mm

Sednutí středu hrany x - 2 = 0,2 mm

Sednutí středu hrany y - 1 = 1,3 mm

Sednutí středu hrany y - 2 = 0,0 mm

Sednutí středu základu = 1,4 mm

Sednutí charakterist. bodu = 0,7 mm

(1-hrana max.tlačená; 2-hrana min.tlačená)

Sednutí a natočení základu - výsledky

Sednutí a natočení základu - výsledky

Tuhost základu:

Spočtený vážený průměrný modul přetvárnosti $E_{\text{def}} = 1250,00 \text{ MPa}$

Základ je ve směru délky tuhý ($k=2,41$)

Základ je ve směru šířky tuhý ($k=3,12$)

Posouzení excentricity zatížení

Max. excentricita ve směru délky patky $e_x = 0,156 < 0,333$

Max. excentricita ve směru šířky patky $e_y = 0,111 < 0,333$

Max. prostorová excentricita $e_t = 0,178 < 0,333$

Excentricita zatížení základu VYHOVUJE

Celkové sednutí a natočení základu:

Sednutí základu = 0,7 mm

Hloubka deformační zóny = 10,34 m

Natočení ve směru x = 0,110 (tan*1000); (6,3E-03 °)

Natočení ve směru y = 0,076 (tan*1000); (4,3E-03 °)

8.5 Pilíře – základ oblouku P9

Základ oblouku je navržen rozměrů 12,0 x 11,0 m se zazubenou základovou spárou. Pro účely posouzení je základová spára uvažována vodorovná s průměrnou tloušťkou základu 5,4 m. Celkové sedání vypočteno **0,9 mm**.

- Uvedení do provozu

Rekonstrukce mostu v km 41,791 trati Tábor - Písek
SO 20-01

PROJEKT
P9

Posouzení plošného základu

Vstupní data

Založení

Typ základu: excentrická patka

Hloubka od původního terénu $h_z = 6,05 \text{ m}$

Hloubka základové spáry $d = 6,05 \text{ m}$

Tloušťka základu $t = 5,40 \text{ m}$

Sklon upraveného terénu $s_1 = 0,00^\circ$

Sklon základové spáry $s_2 = 0,00^\circ$

Objemová tíha zeminy nad základem = 20,00 kN/m³

Geologický profil a přiřazení zemín

Číslo	Mocnost vrstvy t [m]	Hloubka z [m]	Přiřazená zemina	Vzorek
1	-	0,00 .. ∞	MR4	

Zatížení

Číslo	Zatížení nové změna	Název	Typ	N [kN]	M _x [kNm]	M _y [kNm]	H _x [kN]	H _y [kN]
1	Ano	MSU-b-MVL-Gmin-MVL-max	Návrhové	34018,52	-23984,14	-23229,64	-37891,66	-1074,51
2	Ano	MSU-b-MVL-Gmin-MVL-min	Návrhové	65793,68	25356,59	-400385,54	-48827,53	1074,51
3	Ano	MSU-b-MVL-Gmin-T-max	Návrhové	34995,74	-23846,04	-31709,43	-37724,54	-1067,53
4	Ano	MSU-b-MVL-Gmin-T-min	Návrhové	62160,35	25218,49	-381678,40	-46592,48	1067,53
5	Ano	MSU-b-MVL-Gmin-W-max	Návrhové	35665,90	-32187,57	-50261,85	-37794,90	-1435,16
6	Ano	MSU-b-MVL-Gmin-W-min	Návrhové	61488,60	34017,51	-363119,86	-46571,12	1435,16
7	Ano	MSU-a-MVL-Gmax-max	Návrhové	50820,79	-24028,25	-112167,92	-51048,16	-1074,19
8	Ano	MSU-a-MVL-Gmax-min	Návrhové	76643,50	25400,70	-425025,93	-59824,38	1074,19

9	Ano	MSU-b-MVL-Gmax-MVL-max	Návrhové	40513,48	-23984,14	-49760,81	-43571,63	-1074,51
10	Ano	MSU-b-MVL-Gmax-MVL-min	Návrhové	72288,64	25356,59	-426916,71	-54507,50	1074,51
11	Ano	MSU-b-MVL-Gmax-T-max	Návrhové	41490,70	-23846,04	-58240,60	-43404,50	-1067,53
12	Ano	MSU-b-MVL-Gmax-T-min	Návrhové	68655,31	25218,49	-408209,58	-52272,45	1067,53
13	Ano	MSU-b-MVL-Gmax-W-max	Návrhové	42160,85	-32187,57	-76793,02	-43474,87	-1435,16
14	Ano	MSU-b-MVL-Gmax-W-min	Návrhové	67983,56	34017,51	-389651,03	-52251,09	1435,16
15	Ano	Char-MVL-max	Užitné	36909,87	-15984,36	-74452,38	-37776,70	-716,38
16	Ano	Char-MVL-min	Užitné	58777,51	16899,33	-333280,21	-45315,52	716,38
17	Ano	Char-T-max	Užitné	37599,22	-15893,31	-80727,00	-37663,06	-711,71
18	Ano	Char-T-min	Užitné	56256,32	16808,27	-319952,10	-43773,62	711,71
19	Ano	Char-W-max	Užitné	38045,99	-21454,33	-93095,28	-37709,97	-956,80
20	Ano	Char-W-min	Užitné	55808,48	22674,28	-307579,74	-43759,38	956,80

Hladina podzemní vody

Hladina podzemní vody je v hloubce 6,00 m od původního terénu.

Posouzení čís. 1

Výpočet proveden s automatickým výběrem nejnejpříznivějších zatěžovacích stavů.

Spočtená vlastní tíha patky $G = 16328,40$ kN
Spočtená tíha nadloží $Z = 1648,40$ kN

Posouzení svislé únosnosti

Tvar kontaktního napětí : obecný
Nejpříznivější zatěžovací stav číslo 1. (MSU-b-MVL-Gmin-MVL-max)

Parametry smykové plochy pod základem:
Hloubka smykové plochy $z_{sp} = 20,92$ m
Dosah smykové plochy $l_{sp} = 68,84$ m

Výpočtová únosnost zákl. půdy $R_d = 149027,78$ kPa
Extrémní kontaktní napětí $\sigma = 929,39$ kPa

Svislá únosnost VYHOVUJE

Posouzení excentricity zatížení

Max. excentricita ve směru délky patky $e_x = 0,263 < 0,333$
Max. excentricita ve směru šířky patky $e_y = 0,068 < 0,333$
Max. prostorová excentricita $e_t = 0,269 < 0,333$

Excentricita zatížení základu VYHOVUJE

Posouzení vodorovné únosnosti

Nejpříznivější zatěžovací stav číslo 9. (MSU-b-MVL-Gmax-MVL-max)
Zemní odpor: klidový
Výpočtová velikost zemního odporu $S_{pd} = 953,63$ kN

Horizontální únosnost základu $R_{dh} = 105610,72$ kN
Extrémní horizontální síla $H = 43584,87$ kN

Vodorovná únosnost VYHOVUJE

Únosnost základu VYHOVUJE

Posouzení čís. 1

Sednutí středu hrany x - 1 = 0,9 mm
Sednutí středu hrany x - 2 = 0,6 mm
Sednutí středu hrany y - 1 = 1,4 mm
Sednutí středu hrany y - 2 = 0,0 mm
Sednutí středu základu = 1,6 mm
Sednutí charakterist. bodu = 0,9 mm
(1-hrana max.tlačená; 2-hrana min.tlačená)

Sednutí a natočení základu - výsledky

Tuhost základu:

Spočtený vážený průměrný modul přetvárnosti $E_{\text{def}} = 1250,00 \text{ MPa}$

Základ je ve směru délky tuhý ($k=2,41$)

Základ je ve směru šířky tuhý ($k=3,12$)

Posouzení excentricity zatížení

Max. excentricita ve směru délky patky $e_x = 0,169 < 0,333$

Max. excentricita ve směru šířky patky $e_y = 0,043 < 0,333$

Max. prostorová excentricita $e_t = 0,172 < 0,333$

Excentricita zatížení základu VYHOVUJE

Celkové sednutí a natočení základu:

Sednutí základu = 0,9 mm

Hloubka deformační zóny = 12,29 m

Natočení ve směru x = 0,117 (tan*1000); (6,7E-03 °)

Natočení ve směru y = 0,029 (tan*1000); (1,7E-03 °)

- Konec životnosti

Posouzení plošného základu

Vstupní data

Založení

Typ základu: excentrická patka

Hloubka od původního terénu $h_z = 6,05 \text{ m}$

Hloubka základové spáry $d = 6,05 \text{ m}$

Tloušťka základu $t = 5,40 \text{ m}$

Sklon upraveného terénu $s_1 = 0,00^\circ$

Sklon základové spáry $s_2 = 0,00^\circ$

Objemová tíha zeminy nad základem = 20,00 kN/m³

Geologický profil a přiřazení zemín

Číslo	Mocnost vrstvy t [m]	Hloubka z [m]	Přiřazená zemina	Vzorek
1	-	0,00 .. ∞	MR4	

Zatížení

Číslo	Zatížení nové změna	Název	Typ	N [kN]	M _x [kNm]	M _y [kNm]	H _x [kN]	H _y [kN]
1	Ano	MSU-b-MVL-Gmin-MVL-max	Návrhové	34000,49	-23984,14	-32066,99	-37380,63	-1074,51
2	Ano	MSU-b-MVL-Gmin-MVL-min	Návrhové	65775,65	25356,59	-409222,89	-48316,50	1074,51
3	Ano	MSU-b-MVL-Gmin-T-max	Návrhové	34977,71	-23846,04	-40546,78	-37213,51	-1067,53
4	Ano	MSU-b-MVL-Gmin-T-min	Návrhové	62142,32	25218,49	-390515,75	-46081,45	1067,53
5	Ano	MSU-b-MVL-Gmin-W-max	Návrhové	35647,87	-32187,57	-59099,20	-37283,87	-1435,16
6	Ano	MSU-b-MVL-Gmin-W-min	Návrhové	61470,57	34017,51	-371957,21	-46060,09	1435,16
7	Ano	MSU-a-MVL-Gmax-max	Návrhové	50802,76	-24028,25	-121005,28	-50537,13	-1074,19
8	Ano	MSU-a-MVL-Gmax-min	Návrhové	76625,47	25400,70	-433863,28	-59313,35	1074,19
9	Ano	MSU-b-MVL-Gmax-MVL-max	Návrhové	40495,45	-23984,14	-58598,16	-43060,60	-1074,51
10	Ano	MSU-b-MVL-Gmax-MVL-min	Návrhové	72270,61	25356,59	-435754,06	-53996,47	1074,51
11	Ano	MSU-b-MVL-Gmax-T-max	Návrhové	41472,67	-23846,04	-67077,95	-42893,47	-1067,53
12	Ano	MSU-b-MVL-Gmax-T-min	Návrhové	68637,28	25218,49	-417046,93	-51761,42	1067,53
13	Ano	MSU-b-MVL-Gmax-W-max	Návrhové	42142,82	-32187,57	-85630,38	-42963,84	-1435,16
14	Ano	MSU-b-MVL-Gmax-W-min	Návrhové	67965,53	34017,51	-398488,38	-51740,06	1435,16
15	Ano	Char-MVL-max	Užitné	36891,84	-15984,36	-83289,73	-37265,67	-716,38
16	Ano	Char-MVL-min	Užitné	58759,48	16899,33	-342117,56	-44804,49	716,38
17	Ano	Char-T-max	Užitné	37581,19	-15893,31	-89564,36	-37152,03	-711,71
18	Ano	Char-T-min	Užitné	56238,29	16808,27	-328789,46	-43262,59	711,71
19	Ano	Char-W-max	Užitné	38027,96	-21454,33	-101932,64	-37198,94	-956,80
20	Ano	Char-W-min	Užitné	55790,45	22674,28	-316417,09	-43248,35	956,80

Hladina podzemní vody

Hladina podzemní vody je v hloubce 6,00 m od původního terénu.

Posouzení čís. 1

Výpočet proveden s automatickým výběrem nejnepriznivějších zatěžovacích stavů.

Spočtená vlastní tíha patky $G = 16328,40$ kN
Spočtená tíha nadloží $Z = 1648,40$ kN

Posouzení svislé únosnosti

Tvar kontaktního napětí : obecný
Nejnepriznivější zatěžovací stav číslo 9. (MSU-b-MVL-Gmax-MVL-max)

Parametry smykové plochy pod základem:
Hloubka smykové plochy $z_{sp} = 20,92$ m
Dosah smykové plochy $l_{sp} = 68,84$ m

Výpočtová únosnost zákl. půdy $R_d = 165316,79$ kPa
Extrémní kontaktní napětí $\sigma = 868,73$ kPa

Svislá únosnost VYHOVUJE

Posouzení excentricity zatížení

Max. excentricita ve směru délky patky $e_x = 0,245 < 0,333$
Max. excentricita ve směru šířky patky $e_y = 0,068 < 0,333$
Max. prostorová excentricita $e_t = 0,250 < 0,333$

Excentricita zatížení základu VYHOVUJE

Posouzení vodorovné únosnosti

Nejnepriznivější zatěžovací stav číslo 9. (MSU-b-MVL-Gmax-MVL-max)

Zemní odpor: klidový
Výpočtová velikost zemního odporu $S_{pd} = 953,63$ kN

Horizontální únosnost základu $R_{dh} = 107376,72$ kN
Extrémní horizontální síla $H = 43074,00$ kN

Vodorovná únosnost VYHOVUJE

Únosnost základu VYHOVUJE

Posouzení čís. 1

Sednutí středu hrany x - 1 = 0,9 mm
Sednutí středu hrany x - 2 = 0,6 mm
Sednutí středu hrany y - 1 = 1,5 mm
Sednutí středu hrany y - 2 = 0,0 mm
Sednutí středu základu = 1,7 mm
Sednutí charakterist. bodu = 0,9 mm
(1-hrana max.tlačená; 2-hrana min.tlačená)

Sednutí a natočení základu - výsledky

Tuhost základu:

Spočtený vážený průměrný modul přetvárnosti $E_{def} = 1250,00$ MPa
Základ je ve směru délky tuhý ($k=2,41$)
Základ je ve směru šířky tuhý ($k=3,12$)

Posouzení excentricity zatížení

Max. excentricita ve směru délky patky $e_x = 0,151 < 0,333$
Max. excentricita ve směru šířky patky $e_y = 0,043 < 0,333$
Max. prostorová excentricita $e_t = 0,155 < 0,333$

Excentricita zatížení základu VYHOVUJE

Celkové sednutí a natočení základu:

Sednutí základu = 0,9 mm

Hloubka deformační zóny = 12,29 m

Natočení ve směru x = 0,125 (tan*1000); (7,1E-03 °)

Natočení ve směru y = 0,029 (tan*1000); (1,7E-03 °)

9 Mezní stavy z pohledu bezpečnosti železniční dopravy

9.1 Zkroucení nosné konstrukce

9.2 Svislá přetvoření nosné konstrukce

V souladu s požadavky kapitoly A2.4.4.2.3 v ČSN EN 1990 nesmí celkový maximální průhyb od klasifikovaného zatížení přesáhnout hodnotu $L/600$.

Požadavek je stanoven pro hlavní nosnou konstrukci, v tomto případě tedy oblouk v hlavním poli, respektive dvourámovou část mostovky v částech nad břehem. S ohledem na působení obloukové konstrukce není uvažováno L = rozpětí oblouku, ale jako délka přičiňující části příčinkové čáry pro bod maximálního průhybu, který byl vypočten v cca 1/4 rozpětí.

Oblouk:

- Účinná délka příčinkové čáry $L = 84,4 \text{ m}$
 - Limitní průhyb $\delta_{lim} = 84,4/600 = 0,14 \text{ m}$
 - Vypočtený průhyb $\delta_{skut} = \alpha \cdot \delta_{calc} = 0,046 \text{ m} < 0,14 \text{ m}$ **Vyhovuje**

Mostovka:

- Účinná délka příčinkové čáry $L = 23,5 \text{ m}$
 - Limitní průhyb $\delta_{lim} = 23,5/600 = 0,04 \text{ m}$
 - Vypočtený průhyb $\delta_{skut} = \alpha \cdot \delta_{calc} = 0,014 \text{ m} < 0,04 \text{ m}$ **Vyhovuje**

9.3 Svislá přetvoření nosné konstrukce

V souladu s požadavky kapitoly A2.4.4.2.3 v ČSN EN 1990 nesmí celkový maximální průhyb od klasifikovaného zatížení přesáhnout hodnotu $L/600$.

Požadavek je stanoven pro hlavní nosnou konstrukci, v tomto případě tedy oblouk v hlavním poli, respektive dvourámovou část mostovky v částech nad břehem. S ohledem na působení obloukové konstrukce není uvažováno L = rozpětí oblouku, ale jako délka přičiňující části příčinkové čáry pro bod maximálního průhybu, který byl vypočten v cca 1/4 rozpětí.

Oblouk:

- Účinná délka příčinkové čáry $L = 84,4 \text{ m}$
 - Limitní průhyb $\delta_{lim} = 84,4/600 = 0,14 \text{ m}$
 - Vypočtený průhyb $\delta_{skut} = \alpha \cdot \delta_{calc} = 0,046 \text{ m} < 0,14 \text{ m}$ **Vyhovuje**

Mostovka:

- Účinná délka příčinkové čáry $L = 23,5 \text{ m}$
 - Limitní průhyb $\delta_{lim} = 23,5/600 = 0,04 \text{ m}$
 - Vypočtený průhyb $\delta_{skut} = \alpha \cdot \delta_{calc} = 0,014 \text{ m} < 0,04 \text{ m}$ **Vyhovuje**

9.4 Mezní hodnoty pro deformaci konstrukce

S ohledem na umístění dilatačního zařízení za mostem nejsou mezní hodnoty deformace konstrukce dle kap. 6.5.4.5.2 v ČSN EN 1991-2 porovnávány.

- Podélné posunutí konce od brždění $\delta_B = 0,013 \text{ m}$
 - S ohledem na přerušení kolejového lože a umístění dilatačního zařízení možno překročit 30 mm.
- Podélné posunutí horního povrchu konce NK $\delta_H = 0,019 \text{ m}$
 - V souladu s poznámkou umístěno dilatační zařízení
- Svislý posun konce $\delta_v = 1,08 \text{ mm}$
 - Limitní hodnota $\delta_{v,lim} = 3,00 \text{ mm}$ **Vyhovuje**

• Natočení konce	$\alpha = 1,80 \text{ mrad}$	
○ Limitní hodnota	$\alpha_1 = 3,00 \text{ mrad}$	Vyhovuje
• Maximální změna poloměru křivosti	$r = 46000 \text{ m}$	
○ Limitní hodnota	$r_4 = 3500,0 \text{ m}$	Vyhovuje

9.5 Průhyb při ověření pohody cestujících

V souladu s požadavky kapitoly A2.4.4.3.2 v ČSN EN 1990 nesmí celkový maximální průhyb od klasifikovaného zatížení přesáhnout hodnotu určenou z obrázku A2.3. Maximální rychlost $V < 120 \text{ km/h}$. Zatížení pro výpočet pohody cestujících není klasifikováno.

Požadavek je stanoven pro hlavní nosnou konstrukci, v tomto případě tedy oblouk v hlavním poli, respektive dvoutřímovou část mostovky v částech nad břehem. S ohledem na působení obloukové konstrukce není uvažováno $L = \text{rozpětí oblouku}$, ale jako délka příčinnující části příčinkové čáry pro bod maximálního průhybu, který byl vypočten v cca 1/4 rozpětí.

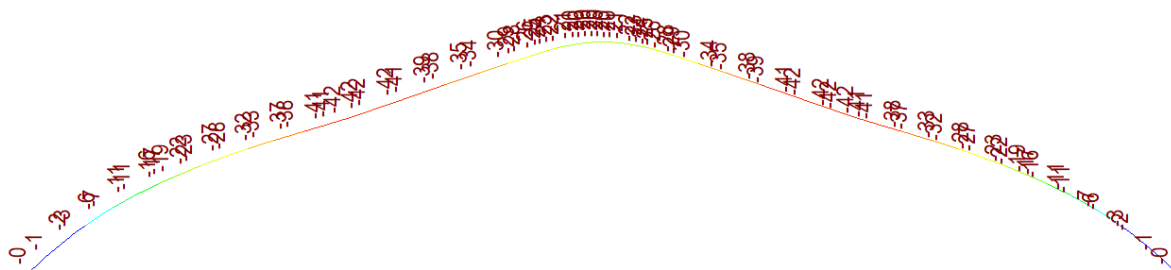
Oblouk (stanoveno $L/600$):

• Účinná délka příčinkové čáry	$L = 84,4 \text{ m}$	
○ Limitní průhyb	$L/\delta = 84,4/600 = 0,14 \text{ m}$	
○ Vypočtený průhyb	$\delta_{\text{skut}} = \delta_{\text{calc}} = 0,042 \text{ m} < 0,14 \text{ m}$	Vyhovuje

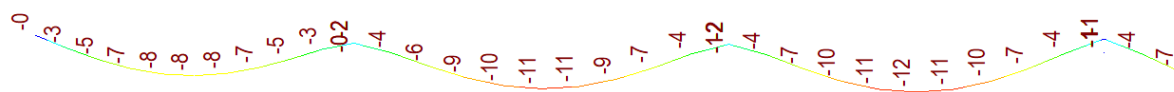
Mostovka (stanoveno $L/900$):

• Účinná délka příčinkové čáry	$L = 23,5 \text{ m}$	
○ Limitní průhyb	$\delta_{\text{lim}} = 23,5/900 = 0,026 \text{ m}$	
○ Vypočtený průhyb	$\delta_{\text{skut}} = 0,013 \text{ m} < 0,026 \text{ m}$	Vyhovuje

Průhyb oblouku (obálka LM71 a SW/0, bez δ a α) [mm]



Průhyb břehové části mostovky (obálka LM71 a SW/0, bez δ a α) [mm]



10 Předběžné ověření zatížení pro ZZ

V rámci projektu byla ověřena případná možná zatížení použitelná pro zatěžovací zkoušku mostu. Ověření proběhlo pro následující zatěžovací schémata:

- Parní lokomotiva 556.0 (Štokr)
- Parní lokomotiva 475.1 (Šlechtična)
- Dieselová lokomotiva T679.1 (Sergej)
- Kolejový jeřáb EDK 300/5
- Kombinace vozíků sestavených z dvojic podvozků vz. 53

S ohledem na dosažené výsledky se jako nejvhodnější varianta prokázalo využití vozidel sestavených z podvozků vz. 53.

Mostovka																								
Bod	α-LM71 / SW/0			4 vozíky za sebou			3 vozíky za sebou			EDK 300-5			Sergej			2xSergej			Šiechtična			Štokr		
	U _{vs}	Ø ₃	Ø ₃ · U _{vs}	U _N	k _{stat}	U _N	U _N	k _{stat}	U _N	U _N	k _{stat}	U _N	U _N	k _{stat}	U _N	U _N	k _{stat}	U _N	U _N	k _{stat}	U _N	U _N	k _{stat}	
	[mm]	[-]	[mm]	[mm]	[%]	[mm]	[mm]	[%]	[mm]	[mm]	[%]	[mm]	[mm]	[%]	[mm]	[mm]	[%]	[mm]	[mm]	[%]	[mm]	[mm]	[%]	
1. pole	10.2	1.111	11.3	7.9	69.4%	7.5	66.3%	66.3%	4.5	39.6%	4.5	40.1%	4.5	40.1%	4.6	40.3%	4.6	40.3%	5.1	45.2%	5.7	50.7%	5.7	50.7%
2. pole	13.5	1.111	15.0	10.7	71.4%	9.6	64.1%	64.1%	5.5	36.8%	5.8	38.7%	5.8	38.7%	6.2	41.7%	6.2	41.7%	7.0	46.6%	7.7	51.7%	7.7	51.7%
3. pole	14.3	1.111	15.9	10.4	65.5%	9.4	59.1%	59.1%	5.4	34.0%	5.7	35.7%	5.7	35.7%	6.1	38.1%	6.1	38.1%	6.8	42.7%	7.5	47.5%	7.5	47.5%
4. pole (1091)	18.5	1.111	20.6	12.6	61.3%	11.0	53.5%	53.5%	6.2	30.2%	6.7	32.3%	6.7	32.3%	7.7	37.4%	7.7	37.4%	8.3	40.3%	9.2	44.4%	9.2	44.4%
5. pole (1118)	45.2	1.111	50.2	28.4	56.6%	23.0	45.8%	45.8%	12.3	24.5%	13.9	27.7%	13.9	27.7%	21.2	42.2%	21.2	42.2%	19.0	37.9%	20.6	41.0%	20.6	41.0%
6. pole (1141)	56.9	1.111	63.2	32.9	51.9%	26.4	41.7%	41.7%	14.0	22.2%	15.9	25.2%	15.9	25.2%	24.9	39.3%	24.9	39.3%	22.0	34.8%	23.8	37.6%	23.8	37.6%
Oblouk																								
Bod	α-LM71			4 vozíky za sebou			3 vozíky za sebou			EDK 300-5			Sergej			2xSergej			Šiechtična			Štokr		
	U _{vs}	Ø ₃	Ø ₃ · U _{vs}	U _N	k _{stat}	U _N	U _N	k _{stat}	U _N	U _N	k _{stat}	U _N	U _N	k _{stat}	U _N	U _N	k _{stat}	U _N	U _N	k _{stat}	U _N	U _N	k _{stat}	
	[mm]	[-]	[mm]	[mm]	[%]	[mm]	[mm]	[%]	[mm]	[mm]	[%]	[mm]	[mm]	[%]	[mm]	[mm]	[%]	[mm]	[mm]	[%]	[mm]	[mm]	[%]	
1/4 (node 112)	46.4	1.000	46.4	26.5	57.1%	20.4	44.0%	44.0%	10.5	22.5%	12.3	26.5%	12.3	26.5%	22.0	47.4%	22.0	47.4%	17.9	38.5%	19.2	41.3%	19.2	41.3%
1/2	21.6	1.000	21.6	12.5	57.9%	9.6	44.3%	44.3%	4.9	22.6%	5.8	26.8%	5.8	26.8%	10.6	49.1%	10.6	49.1%	8.5	39.2%	9.1	41.9%	9.1	41.9%
3/4 (node212)	46.4	1.000	46.4	26.5	57.1%	20.5	44.1%	44.1%	10.5	22.5%	12.3	26.5%	12.3	26.5%	22.0	47.4%	22.0	47.4%	17.9	38.5%	19.2	41.3%	19.2	41.3%

11 Závěr

Mostní objekt byl posouzen ve smyslu platného souboru norem ČSN a ČSN EN. Veškeré posouzené prvky vyhověly požadavkům na mezní stavy únosnosti i použitelnosti.

Statický výpočet byl zpracován bez znalosti konkrétního zhotovitele SO 20-01. Případné změny, které by vyplynuly z realizační dokumentace zhotovitele, musí být odsouhlaseny odpovědným projektantem objektu a schváleny objednatelem.

!!! Projektová dokumentace neslouží k realizaci stavby !!!

V Praze, květen '20

Vypracoval:

Ing. Jakub Göringer, Ph.D.

SUDOP PRAHA a.s, Olšanská 1a, 130 80 Praha 3

tel: 267 094 128

e-mail: jakub.goringer@sudop.cz

12 Předpisy, normy, použité podklady

12.1 Normy

[1.1]	ČSN EN 1990 ed.2	Eurokód: Zásady navrhování konstrukcí (02/2011),
[1.2]	ČSN EN 1991-1-1	Eurokód 1: Zatížení konstrukcí. Část 1-1: Obecná zatížení-Objemové tíhy, vlastní tíha a užitná zat. pozemních staveb (03/2004, vč. změn),
[1.3]	ČSN EN 1991-1-4 ed.2	Eurokód 1: Zatížení konstrukcí - Část 1-4: Obecná zatížení – Zatížení větrem (04/2013),
[1.4]	ČSN EN 1991-1-5	Eurokód 1: Zatížení konstrukcí. Část 1-5: Obecná zatížení – Zatížení teplotou (05/2005, včetně změn),
[1.5]	ČSN EN 1991-1-6	Eurokód 1: Zatížení konstrukcí. Část 1-6: Obecná zatížení – Zatížení během provádění (10/2006, včetně změn),
[1.6]	ČSN EN 1997-1	Eurokód 7: Navrhování geotechnických konstrukcí - Část 1: Obecná pravidla (09/2006, včetně změn)
[1.7]	ČSN EN 1991-2 ed.2	Eurokód 1: Zatížení konstrukcí - Část 2: Zatížení mostů dopravou (11/2015),
[1.8]	ČSN EN 1992-1-1 ed.2	Eurokód 2: Navrhování betonových konstrukcí. Část 1-1: Obecná pravidla a pravidla pro pozemní stavby (07/2011, včetně změn),
[1.9]	ČSN EN 1992-2	Navrhování betonových konstrukcí - Část 2: Betonové mosty (05/2007, včetně změn),
[1.10]	ČSN EN 1998-1 ed.2	Eurokód 8: Navrhování konstrukcí odolných proti zemětřesení – Část 1: Obecná pravidla, seizmická zatížení a pravidla pro pozemní stavby (09/2013, včetně změn),
[1.11]	ČSN EN 1998-2 ed.2	Eurokód 8: Navrhování konstrukcí odolných proti zemětřesení – Část 2: Mosty (06/2013),
[1.12]	ČSN 73 0037/1990	Zemní tlak na stavební konstrukce,
[1.13]	ČSN 73 1001/1988	Zakládání staveb. Základová půda pod plošnými základy,
[1.14]	ČSN 73 1002/1989	Pilotové základy
[1.15]	ČSN EN 1536+A1	Provádění speciálních geotechnických prací – Vrtané piloty (12/2016),
[1.16]	ČSN EN 206	Beton – Část 1: Specifikace, vlastnosti, výroba a shoda,
[1.17]	ČSN 73 6201	Projektování mostních objektů (10/2008, vč. změn),
[1.18]	ČSN EN 13670	Provádění betonových konstrukcí (06/2010, vč. změn),
[1.19]	ČSN EN 1337-1	Stavební ložiska - Část 1: Všeobecná pravidla navrhování (02/2002),
[1.20]	ČSN EN 1337-2	Stavební ložiska - Část 2: Kluzné prvky (06/2005),
[1.21]	ČSN EN 1337-5	Stavební ložiska - Část 5: Hrnková ložiska (12/2005),
[1.22]	TNI 73 6270	Mostní ložiska (02/2014),

12.2 Použitá literatura

LEONHARDT F., REINMANN H. *Heft 175: Betongelenke. Versuchsbericht, Vorschläge zur Bemessung und konstruktiven Ausbildung / Kritische Spannungszustände des Betons bei mehrachsiger, ruhender Kurzzeitbelastung.* Ernst & Sohn Verlag, 1965.

NICHITA, C., D. LUCA, B. DAKYO a E. CEANGA. Large Band Simulation of the Wind Speed for Real-Time Wind Turbine Simulators. *IEEE Power Engineering Review* [online]. 2002, **22**(8), 63-63 [cit. 2020-05-29]. DOI: 10.1109/MPER.2002.4312482. ISSN 0272-1724.

12.3 Použitý software

MIDAS Civil 2020 (v1.2) – prutový model

SCIA Engineer 2008.1 (v8.1.238) – desko-stěnový model pro posudky kotevních oblastí

GEO5 Piloty – posouzení pilotového založení

GEO5 Patky – posouzení plošných základů, posouzení sedání náhradního základu skupiny pilot

IDEA StatiCa – posouzení betonových průřezů

Wolfram Mathematica – generace zatížení větrem

MS Office EXCEL 365, Microsoft – tabulkové zpracování výpočtů

MS Office WORD 365, Microsoft – zpracování textové části statického výpočtu

13 Přehled zatížitelnosti částí mostu

A. Identifikace mostu

TÚ (číslo, název): 1811 Tábor (mimo) – Písek (mimo) DÚ: 14 km: **41,791**

B. Identifikace části mostu

Část mostu: **nová nosná konstrukce**, poř. číslo: 1 pod kolejí č.: 1
(ve směru staničení)

C. Doplnující údaje části mostu

Kategorie zatížitelnosti: **C** Výpočtový model: prutový

Geometrie koleje, uvažovaná v přepočtu části mostu (ve směru staničení):

	na začátku	uprostřed	na konci
poloměr oblouku [m]	301	-	310
převýšení koleje [mm]	70	0	87
excentricita osy koleje [m]	0,123	0	-0,514
poznámka: (-/+ = vlevo/vpravo; excentricita vztažena k ose nosné konstrukce)			

Popis závad uvažovaných v přepočtu části mostu:

Datum zjištění technického stavu mostu: SŽDC, s.o.:
zpracovatelem přepočtu:

Poznámka k části mostu:

č.	Prvek	Detail	Namáhání	k _i	typ	L _p	Ø _i	L _ø	γ _{Q,LM71}	γ _{Q,LM71,E¹⁾}	Z _{LM71}	Z _{LM71,E²⁾}
1	2	3	4	5	6	7	8	9	10	11	13	14
Mezní stavy únosnosti												
1	NK	oblouk	ohyb	1,0	A	156	1,0	78	1,45		1,1	
2	NK	Mostovka	M+N+V	1,0	A	23,5	1,11	34,4	1,45		1,21	
3	SS	Opěry	M+N+V	1,0	A	-	1,11	34,4	1,45		1,1	
4	SS	Pilíře	M+N+V	1,0	A	-	1,11	34,4	1,45		1,1	
Mezní stavy použitelnosti												
5	NK	oblouk	omezení napětí	1,0	A	156	1,0	78	1,0		1,1	
6	NK	Mostovka	omezení napětí	1,0	A	23,5	1,11	34,4	1,0		1,21	
7	SS	Opěry	omezení napětí	1,0	A	-	1,11	34,4	1,0		1,1	
8	SS	Pilíře	omezení napětí	1,0	A	-	1,11	34,4	1,0		1,1	

č.	Prvek	Detail	Namáhání	k_i	typ	L_p	\emptyset_i	L_\emptyset	$\gamma_{Q,LM71}$	$\gamma_{Q,LM71,E}^{1)}$	Z_{LM71}	$Z_{LM71,E}^{2)}$
1	2	3	4	5	6	7	8	9	10	11	13	14
Založení												
9	Piloty OP1		únosnost	1,0	A	-	1,00	-	1,45		1,1	
10	Pilíře		únosnost	1,0	A	-	1,00	-	1,45		1,1	
11	Oblouk		únosnost	1,0	A	-	1,00	-	1,45		1,1	

Dne: 29. 5. 2020

zatížitelnost určil: Ing. Jakub Göringer, Ph.D.